

**PERBANDINGAN PERANCANGAN STRUKTUR GEDUNG
SRPMK MENGGUNAKAN ETABS DAN TEKLA STRUCTURAL
*DESIGNER***

SKRIPSI

Disusun sebagai salah satu syarat untuk memperoleh gelar Sarjana Teknik (S.T.)



**Disusun Oleh:
RIZKI ARDIYANSAH
3336210023**

**JURUSAN TEKNIK SIPIL
FAKULTAS TEKNIK
UNIVERSITAS SULTAN AGENG TIRTAYASA
2025**

PERNYATAAN KEASLIAN SKRIPSI

Dengan ini saya sebagai penulis Skripsi berikut :

Judul : PERBANDINGAN PERANCANGAN STRUKTUR
GEDUNG SRPMK MENGGUNAKAN ETABS DAN
TEKLA STRUCTURAL DESIGNER

Nama : Rizki Ardiyansah

Nim : 3336210023

Fakultas/Jurusan : Teknik/Teknik Sipil

Menyatakan dengan sesungguhnya bahwa Skripsi tersebut di atas adalah benar-benar hasil karya asli saya dan tidak memuat hasil karya orang lain, kecuali dinyatakan melalui rujukan yang benar dan dapat dipertanggung jawabkan. Apabila dikemudian hari ditemukan hal – hal yang menunjukkan bahwa sebagian atau seluruh karya ini bukan karya saya, maka saya bersedia dituntut melalui hukum yang berlaku. Saya juga bersedia menanggung segala akibat hukum yang timbul dari pernyataan yang secara sadar dan sengaja akibat hukum yang timbul dari pernyataan yang secara sadar dan sengaja saya nyatakan melalui lembar ini.

Cilegon, Juni 2025



SKRIPSI
PERBANDINGAN PERANCANGAN STRUKTUR GEDUNG SRPMK
MENGGUNAKAN ETABS DAN TEKLA STRUCTURAL DESIGNER

Dipersiapkan dan disusun oleh:

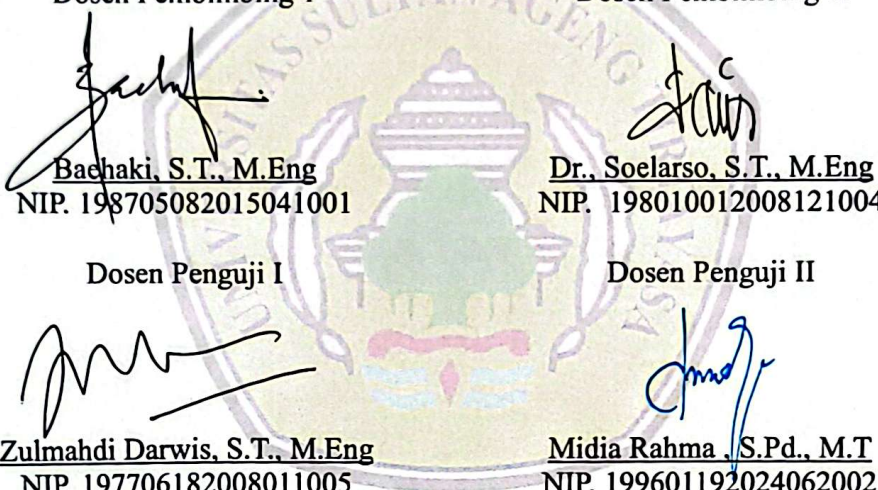
RIZKI ARDIYANSAH / 3336210023

Telah dipertahankan di depan Dewan Penguji

Pada Tanggal : Juni 2025

Susunan Dewan Penguji

Dosen Pembimbing I



Dosen Pembimbing II

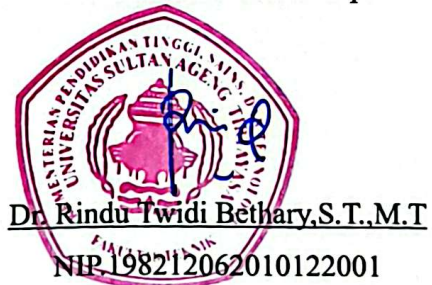
Skripsi ini telah diterima sebagai salah satu persyaratan

Untuk memperoleh gelar Sarjana Teknik

Tanggal : Juni 2025

Mengetahui

Ketua Jurusan Teknik Sipil



PRAKATA

Puji syukur penulis panjatkan kepada Allah SWT, karena atas berkat dan rahmat-Nya, penulis dapat menyelesaikan Skripsi. Skripsi ini diajukan untuk memenuhi salah satu persyaratan memperoleh derajat kesarjanaan Strata-1 dalam rangka menyelesaikan studi Strata (S1) di Jurusan Teknik Sipil, Fakultas Teknik, Universitas Sultan Ageng Tirtayasa.

Dalam proses penyusunan skripsi ini saya turut mengucapkan terima kasih yang besar kepada :

- 1) Bapak Baehaki, S.T., M.Eng., selaku dosen pembimbing I Skripsi.
- 2) Bapak Dr. Soelarso, S.T., M.Eng., selaku dosen pembimbing II Skripsi.
- 3) Bapak Zulmahdi Darwis, S.T., M.Eng., selaku dosen penguji I Skripsi.
- 4) Ibu Midia Rahma, S.Pd., M.T., selaku dosen penguji II Skripsi.
- 5) Ibu Dr. Rindu Twidi Bethary, ST., MT., selaku Ketua Jurusan Teknik Sipil Fakultas Teknik, Universitas Sultan Ageng Tirtayasa.
- 6) Bapak Ngakan Putu Purnaditya, ST., MT., selaku Kepala Laboratorium Teknik Sipil Universitas Sultan Ageng Tirtayasa.
- 7) Ibu Dwi Ainun Naseha, ST., selaku Admin Jurusan Teknik Sipil, Fakultas Teknik, Universitas Sultan Ageng Tirtayasa.
- 8) PT. Tibki Konsultan Nusantara yang telah memberikan kesempatan dan membantu saya dalam proses pengumpulan data sebagai kebutuhan Skripsi.
- 9) Kedua orang tua tercinta yaitu Bapak Ngadiman dan Ibu Kasianah yang selalu senantiasa memberikan dukungan dan do'anya kepada saya.
- 10) Teman – teman Asisten Laboratorium Teknik Sipil Untirta yang telah memberikan dukungan dan menjadi tempat bagi saya untuk berdiskusi banyak hal selama masa perkuliahan.
- 11) Teman – teman terdekat saya yang telah menemani kehidupan saya diluar dunia perkuliahan dan menjadi tempat saya untuk berbagi cerita.

Karena telah memberikan banyak bantuan dan bimbingan kepada saya. Akhir kata semoga Skripsi ini dapat bermanfaat bagi pembacanya.

Cilegon, 2025

Penulis

PERBANDINGAN PERANCANGAN STRUKTUR GEDUNG SRPMK MENGGUNAKAN *ETABS* DAN *TEKLA STRUCTURAL DESIGNER*

Rizki Ardiyansah

INTISARI

Seiring perkembangan teknologi dalam bidang teknik sipil, khususnya dalam perancangan struktur, berbagai perangkat lunak telah dikembangkan untuk membantu dalam perencanaan struktur. Dua di antaranya adalah *ETABS* (*Extended Three-Dimensional Analysis of Building Systems*) dan *TSD* (*Tekla Structural Designer*). Studi ini melakukan perbandingan terhadap kedua perangkat lunak dalam hal gaya gempa, simpangan, dan detailing tulangan yang dihasilkan oleh kedua perangkat lunak.

Studi ini bertujuan untuk mengetahui perbandingan nilai gaya gempa, simpangan, dan detailing tulangan yang dihasilkan kedua perangkat lunak. Penelitian dilakukan pada gedung imajiner dengan sistem rangka pemikul momen khusus (SRPMK), fungsi gedung sebagai perkantoran dengan jumlah 10 lantai, tinggi antar lantai 4 meter, panjang 30 meter, dan lebar 18 meter. Perencanaan struktur mengacu pada SNI 1726:2019, SNI 1727:2020, SNI 2847:2019, ACI 318-14, dan ASCE 7-16. Perhitungan dibantu dengan *Microsoft Excel*, *ETABS*, dan *TSD*.

Hasil menunjukkan bahwa *TSD* menghasilkan gaya gempa lebih besar dari *ETABS*, dengan selisih maksimum 680,374 kg pada lantai 10. Simpangan antar tingkat pada keduanya sama. Rasio tulangan lentur pelat, tulangan geser balok, dan tulangan lentur kolom lebih besar di *TSD*, sedangkan rasio lentur balok lebih besar di *ETABS*. Rasio tulangan geser kolom dan sambungan balok-kolom menunjukkan hasil yang sama pada kedua perangkat lunak. Dalam perencanaan struktur gedung, disarankan untuk memilih acuan standar yang digunakan karena berpengaruh pada nilai-nilai yang dihasilkan.

Kata kunci: SRPMK, *ETABS*, *Tekla Structural Designer*, gaya gempa, tulangan, struktur gedung

Comparison of Structural Design for SMRF Buildings Using ETABS and Tekla Structural Designer

Rizki Ardiyansah

ABSTRACT

With the advancement of technology in the field of civil engineering, particularly in structural design, various software programs have been developed to assist in structural planning. Two of these are ETABS (Extended Three-Dimensional Analysis of Building Systems) and TSD (Tekla Structural Designer). This study compares both software programs in terms of seismic forces, displacements, and reinforcement detailing produced by each.

The objective of this study is to identify the differences in seismic force values, displacements, and reinforcement detailing produced by the two software programs. The research is conducted on a hypothetical building with a Special Moment Resisting Frame (SMRF) system, designed as a 10-story office building with a floor-to-floor height of 4 meters, a length of 30 meters, and a width of 18 meters. The structural design is based on SNI 1726:2019, SNI 1727:2020, SNI 2847:2019, ACI 318-14, and ASCE 7-16. The calculations are supported by Microsoft Excel, ETABS, and TSD.

The results show that TSD generates higher seismic forces than ETABS, with a maximum difference of 680.374 kg on the 10th floor. The inter-story drifts from both software are identical. The flexural reinforcement ratio of slabs, shear reinforcement of beams, and flexural reinforcement of columns are greater in TSD, while the flexural reinforcement ratio of beams is higher in ETABS. The shear reinforcement ratio of columns and the reinforcement of beam-column joints yielded the same results in both software. In structural design, it is recommended to carefully consider the design standards being applied, as they significantly influence the resulting values.

Keywords: SMRF, ETABS, Tekla Structural Designer, seismic load, reinforcement ratio, structural design

DAFTAR ISI

HALAMAN JUDUL	i
HALAMAN PERNYATAAN.....	ii
HALAMAN PENGESAHAN.....	iii
PRAKATA	iv
INTISARI	v
ABSTRACT	vi
DAFTAR ISI.....	vii
DAFTAR TABEL	x
DAFTAR GAMBAR.....	xiii
DAFTAR ISTILAH	xxi
BAB 1 PENDAHULUAN	
1.1 Latar Belakang	1
1.2 Rumusan Masalah	2
1.3 Tujuan Penelitian	2
1.4 Batasan Masalah.....	2
1.5 Manfaat Penelitian	3
1.6 Keaslian Penelitian.....	3
BAB 2 TINJAUAN PUSTAKA	
2.1 Gaya Gempa dan Simpangan Antar Tingkat	4
2.2 Sistem Rangka Pemikul Momen Khusus.....	4
2.3 Keterkaitan Penelitian	6
BAB 3 LANDASAN TEORI	
3.1 Struktur Beton Bertulang	9
3.2 Daktilitas	10
3.3 Sistem Struktur Bangunan Gedung Tahan Gempa	10
3.4 Pembebanan	11
3.4.1 Beban mati	11
3.4.2 Beban hidup	11
3.4.3 Beban gempa.....	12

3.4.4 Kombinasi beban.....	18
3.5 Simpangan Antar Tingkat	20
3.6 Pelat.....	21
3.7 Balok	22
3.8 Kolom.....	33
3.9 Hubungan Balok-Kolom (HBK)	42

BAB 4 METODE PENELITIAN

4.1 Umum.....	45
4.2 Bagan Alir Metode Penelitian	45
4.3 Tahapan Penelitian	46
4.4 Pedoman Analisa Struktur.....	48
4.5 Deskripsi Gedung.....	48
4.6 Parameter Gedung dan Data Response Spektra	49
4.7 Data Material.....	50
4.8 Jadwal Penelitian.....	50

BAB 5 ANALISIS DAN PEMBAHASAN

5.1 Spesifikasi Gedung	51
5.1.1 Data perencanaan	51
5.1.2 Data Jumlah dan Fungsi Lantai.....	52
5.1.3 Geometri Struktur.....	53
5.2 Analisis Pembebanan	54
5.2.1 Beban mati (DL)	54
5.2.2 Beban mati tambahan (SDL).....	54
5.2.3 Beban hidup (LL).....	55
5.2.4 Beban gempa.....	55
5.3 Kombinasi Beban.....	61
5.4 Perkiraan Awal Dimensi Struktur	69
5.4.1 Perkiraan awal dimensi balok	69
5.4.2 Perkiraan awal dimensi pelat	72
5.4.3 Perkiraan awal dimensi kolom	74
5.5 Permodelan Struktur.....	81

5.5 Permodelan struktur pada <i>ETABS</i>	82
5.5 Permodelan struktur pada TSD	99
5.6 Hasil Analisis Struktur	109
5.6.1 Berat seismik aktif	109
5.6.2 Periode getar alami.....	113
5.6.3 Gaya lateral akibat gempa.....	114
5.6.4 Displacement.....	119
5.6.5 Simpangan struktur	119
5.6.6 Pengaruh P- Δ	127
5.6.7 Analisa ketidakberaturan struktur	129
5.7 Desain Elemen Struktur	142
5.7.1 Desain pelat.....	142
5.7.2 Desain balok.....	149
5.7.3 Desain kolom	166
5.7.4 Desain hubungan balok-kolom (HBK)	188

BAB 6 KESIMPULAN DAN SARAN

6.1 Kesimpulan	196
6.2 Saran.....	196

DAFTAR PUSTAKA

LAMPIRAN

DAFTAR TABEL

Tabel 2.1 Penelitian Terdahulu yang Relevan	7
Tabel 3.1 Nilai Parameter Periode Pendekatan.....	13
Tabel 3.2 Pemilihan Faktor Keutamaan Gempa	14
Tabel 3.3 Faktor R, Cd, dan Ω_0 Untuk Sistem Pemikul Gaya Seismik	14
Tabel 3.4 Spasi Maksimum Tulangan Geser Balok.....	28
Tabel 4.1 Jadwal Penelitian Penulis.....	50
Tabel 5.1 Jumlah dan Fungsi Lantai	52
Tabel 5.2 Kategori Risiko	55
Tabel 5.3 Pemilihan Faktor Keutamaan Gempa	56
Tabel 5.4 Koefisien Situs, F_a	57
Tabel 5.5 Koefisien Situs, F_v	57
Tabel 5.6 Kategori Desain Seismik Periode Pendek.....	57
Tabel 5.7 Kategori Desain Seismik Periode 1 Detik	57
Tabel 5.8 Pemilihan Faktor R, Cd, dan Ω_0 Untuk Sistem Pemikul Gaya Seismik.....	58
Tabel 5.9 Prosedur Analisis Yang Diizinkan.....	58
Tabel 5.10 Rekapitulasi Kombinasi Beban.....	69
Tabel 5.11 Pemilihan Tinggi Minimum Balok Nonprategang.....	69
Tabel 5.12 Ketebalan Minimum Pelat Dua Arah Nonprategang Dengan Balok Di Antara Tumpuan Pada Semua Sisinya	73
Tabel 5.13 Pembagian Tributary Area Lantai 10	77
Tabel 5.14 Pembagian Tributary Area Per Lantai 5-9	78
Tabel 5.15 Pembagian Tributary Area Per Lantai 1-4	79
Tabel 5.16 Momen Inersia Dan Luas Penampang Yang Diizinkan Untuk Analisis Elastis Pada Level Beban Terfaktor	84
Tabel 5.17 Perhitungan Manual Berat Seismik Aktif Lantai 10.....	110
Tabel 5.18 Perhitungan Manual Berat Seismik Aktif Lantai 6-9.....	111
Tabel 5.19 Perhitungan Manual Berat Seismik Aktif Lantai 5	111
Tabel 5.20 Perhitungan Manual Berat Seismik Aktif Lantai 1-4.....	112
Tabel 5.21 Rekapitulasi Hasil Berat Seismik Aktif Manual Dan Perangkat Lunak	112

Tabel 5.22 Perbandingan Hasil Berat Seismik Aktif <i>ETABS</i> dengan <i>TSD</i>	112
Tabel 5.23 Pemilihan Nilai Parameter Periode Pendekatan.....	113
Tabel 5.24 Koefisien Batas Atas Periode.....	114
Tabel 5.25 Hasil Output Periode Getar Alami	114
Tabel 5.26 Hasil Output Periode Getar Alami	114
Tabel 5.27 Perhitungan Pembebaan Gempa Statik Ekivalen Arah X	117
Tabel 5.28 Perhitungan Pembebaan Gempa Statik Ekivalen Arah Y	117
Tabel 5.29 Hasil Gaya Lateral Dengan Prosedur Analisis Gempa Statik Arah X.....	118
Tabel 5.30 Perbandingan Gaya Lateral <i>ETABS</i> Dengan <i>TSD</i>	118
Tabel 5.31 Hasil Output <i>Displacement</i> Dengan Prosedur Analisis Gempa Statik	119
Tabel 5.32 Pengecekan Syarat Redudansi	120
Tabel 5.33 Simpangan Antar Tingkat Izin Menurut SNI 1726:2019.....	120
Tabel 5.34 Hasil Analisis Simpangan Antar Lantai.....	121
Tabel 5.35 Hasil Analisis Simpangan Total.....	122
Tabel 5.36 Penggantian Dimensi Elemen Struktur	123
Tabel 5.37 Rekapitulasi Berat Seismik Aktif Setelah Pergantian Dimensi Struktur.....	124
Tabel 5.38 Rekapitulasi Periode Getar Alami Setelah Pergantian Dimensi Struktur.....	124
Tabel 5.39 Rekapitulasi Gaya Lateral Setelah Pergantian Dimensi Struktur ..	124
Tabel 5.40 Rekapitulasi Simpangan Antar Lantai Setelah Pergantian Dimensi Struktur.....	125
Tabel 5.41 Rekapitulasi Simpangan Total Setelah Pergantian Dimensi Struktur.....	125
Tabel 5.42 Hasil Analisis Pengaruh P- Δ Setiap Lantai (<i>ETABS</i>)	128
Tabel 5.43 Hasil Analisis Pengaruh P- Δ Setiap Lantai (<i>TSD</i>)	129
Tabel 5.44 Ketidakberaturan Horizontal Pada Struktur	129
Tabel 5.45 Ketidakberaturan Horizontal Kategori 1a dan 1b Arah X (<i>ETABS</i>)	132
Tabel 5.46 Ketidakberaturan Horizontal Kategori 1a dan 1b Arah Y	

(ETABS)	132
Tabel 5.47 Ketidakberaturan Horizontal Kategori 1a dan 1b Arah X (TSD)...	132
Tabel 5.48 Ketidakberaturan Horizontal Kategori 1a dan 1b Arah Y (TSD)...	132
Tabel 5.49 Ketidakberaturan Vertikal Pada Struktur.....	136
Tabel 5.50 Rekapitulasi Kekakuan Lateral Setiap Lantai	138
Tabel 5.51 Analisa Ketidakberaturan Vertikal Kategori 1a.....	139
Tabel 5.52 Analisa Ketidakberaturan Vertikal Kategori 1b.....	139
Tabel 5.53 Analisa Ketidakberaturan Massa Kategori 2	140
Tabel 5.54 Rekapitulasi Gaya Momen Yang Terjadi Pada Pelat Lantai.....	145
Tabel 5.55 Rekapitulasi Hasil Desain Tulangan Lentur Pelat	148
Tabel 5.56 Rekapitulasi Momen Ultimit Pada Balok (Grid 2C-D)	150
Tabel 5.57 Rekapitulasi Hasil Desain Tulangan Lentur Balok (Grid 2C-D Lantai 1)	154
Tabel 5.58 Pemilihan Ve Pakai.....	157
Tabel 5.59 Syarat Gaya Geser di Muka Kolom Kiri dan Kanan	158
Tabel 5.60 Hasil Desain Tulangan Geser Pada Balok	160
Tabel 5.61 Rekapitulasi Perhitungan Desain Tulangan Torsi Balok (Grid 2C-D).....	161
Tabel 5.62 Pengecekan Kekuatan Momen Pada Tumpuan Balok SRPMK....	163
Tabel 5.63 Pengecekan Kekuatan Momen Pada Sepanjang Bentang Balok SRPMK	164
Tabel 5.64 Pengecekan Kelangsingan Kolom	169
Tabel 5.65 Rekapitulasi Perhitungan Nilai ϕM_n dan ϕP_n Arah X dan Arah Y.....	174
Tabel 5.66 Data nilai P, M ₃ , dan M ₂ pada Kolom K1 (Grid 2/D Lantai 1)	176
Tabel 5.67 Rekapitulasi Pengecekan Kapasitas Kolom K1 (Grid 2/D Lantai 1)	177
Tabel 5.68 Gaya Aksial Yang Terjadi Pada Kolom Desain, Atas, dan Bawah	179
Tabel 5.69 Pemilihan Gaya Geser Ultimit Kolom	183
Tabel 5.70 Rekapitulasi Perhitungan Desain Tulangan Geser Kolom.....	185
Tabel 5.71 Rekapitulasi Perbandingan Hasil Desain Tulangan Geser Kolom.	188
Tabel 5.72 Rekapitulasi Hasil Desain Tulangan Geser HBK	194

DAFTAR GAMBAR

Gambar 1.1 Hotel Roa Roa Sebelum Dan Sesudah Terjadinya Gempa	1
Gambar 2.1 Flowchart Keterkaitan Penelitian Terhadap Penelitian Terdahulu	6
Gambar 3.1 Hubungan Tegangan Dan Regangan Beton.	9
Gambar 3.2 Diagram Regangan Pada Balok Lentur, (a) <i>compression-controlled section</i> , (b) <i>transition region</i> , dan (c) <i>tension-controlled section</i>	10
Gambar 3.3 Konsep Dasar Metode Statik Ekuivalen.....	12
Gambar 3.4 Konsep Perhitungan Beban Pada Bangunan	13
Gambar 3.5 Peta transisi periode panjang (<i>TL</i>) Wilayan Indonesia.....	14
Gambar 3.6 Grafik respon spektrum.....	16
Gambar 3.7 Diagram Alir Analisis Gaya Geser Gempa (V) Sesuai SNI 1726:2019.....	18
Gambar 3.8 Ilustrasi Arah Datang Gempa.....	19
Gambar 3.9 Simpangan Antar Lantai.....	20
Gambar 3.10 Diagram Alir Prosedur Desain Tulangan Lentur Pelat	22
Gambar 3.11 Lentur Pada Balok Beton Bertulang.....	23
Gambar 3.12 Variasi nilai faktor reduksi (ϕ) sesuai kategori penampang	23
Gambar 3.13 Diagram Tegangan Regangan Balok Tulangan Tunggal	24
Gambar 3.14 Diagram Alir Prosedur Desain Tulangan Lentur Balok.....	27
Gambar 3.15 Sengkang Pada Balok.....	27
Gambar 3.16 Diagram Alir Prosedur Desain Tulangan Sengkang Balok.....	30
Gambar 3.17 Gaya Torsi Pada Balok.....	31
Gambar 3.18 Diagram Alir Prosedur Desain Tulangan Torsi Balok	33
Gambar 3.19. (a) Beban aksial dan momen lentur (b) Beban eksenstris	34
Gambar 3.20. Beban Terkonsentrasi.....	35
Gambar 3.21. Kondisi Regangan Berimbang Untuk Penampang Persegi	36
Gambar 3.22. Diagram Interaksi Kolom.....	37
Gambar 3.23. Diagram Alir Prosedur Desain Tulangan Lentur Kolom	38

Gambar 3.24 Momen Mpr Kolom	40
Gambar 3.25 Momen Probabilitas Balok Pada Kolom.....	40
Gambar 3.26 Diagram Alir Perhitungan Tulangan Geser Kolom.....	42
Gambar 3.27 Model 3D Skema Analisis HBK	43
Gambar 3.28 Diagram Alir Prosedur Desain Tulangan Geser Joint	44
Gambar 4.1 Diagram alir penelitian.....	46
Gambar 4.2 (a) Potongan 1-1 dan (b) Potongan A-A	48
Gambar 4.3 Denah Gedung.....	49
Gambar 4.4 Tampak 3D Gedung	49
Gambar 5.1 Lokasi Gedung Rencana.....	51
Gambar 5.2 Denah Bangunan	53
Gambar 5.3 Potongan A-A.....	53
Gambar 5.4 Potongan 1-1.	54
Gambar 5.5 Website RSA Cipta Karya	57
Gambar 5.6 Grafik Spektrum Respons Desain Jakarta Dengan Tanah Lunak	61
Gambar 5.7 Ilustrasi Arah Datang Gempa.....	63
Gambar 5.8 Ilustrasi Arah Gaya Gempa Kombinasi 3	63
Gambar 5.9 Ilustrasi Arah Gaya Gempa Kombinasi 4	64
Gambar 5.10 Ilustrasi Arah Gaya Gempa Kombinasi 5	64
Gambar 5.11 Ilustrasi Arah Gaya Gempa Kombinasi 6	64
Gambar 5.12 Ilustrasi Arah Gaya Gempa Kombinasi 7	65
Gambar 5.13 Ilustrasi Arah Gaya Gempa Kombinasi 8	65
Gambar 5.14 Ilustrasi Arah Gaya Gempa Kombinasi 9	65
Gambar 5.15 Ilustrasi Arah Gaya Gempa Kombinasi 10	66
Gambar 5.16 Ilustrasi Arah Gaya Gempa Kombinasi 11	66
Gambar 5.17 Ilustrasi Arah Gaya Gempa Kombinasi 12	66
Gambar 5.18 Ilustrasi Arah Gaya Gempa Kombinasi 13	67
Gambar 5.19 Ilustrasi Arah Gaya Gempa Kombinasi 14	67
Gambar 5.20 Ilustrasi Arah Gaya Gempa Kombinasi 15	67
Gambar 5.21 Ilustrasi Arah Gaya Gempa Kombinasi 16	68
Gambar 5.22 Ilustrasi Arah Gaya Gempa Kombinasi 17	68
Gambar 5.23 Ilustrasi Arah Gaya Gempa Kombinasi 18	68

Gambar 5.24 Ilustrasi Kondisi Perletakan (a) Perletakan sederhana, (b) Perletakan menerus, dan (c) Perletakan kantilever.....	70
Gambar 5.25 Ilustrasi Kondisi Perletakan Balok Pada Penelitian	70
Gambar 5.26 Denah Balok Lantai 1-5	71
Gambar 5.27 Denah Balok Lantai 6-10	71
Gambar 5.28 Penampang Balok – Pelat.....	72
Gambar 5.29 Denah Pelat Lantai 1-10	74
Gambar 5.30 Lokasi Kolom Yang Ditinjau	75
Gambar 5.31 Potongan Kolom Yang Ditinjau.....	75
Gambar 5.32 3D Tributary Area Kolom C-3	76
Gambar 5.33 Denah Kolom Lantai 1-4.....	81
Gambar 5.34 Denah Kolom Lantai 5-9.....	81
Gambar 5.35 Pengaturan Permodelan Pada ETABS	82
Gambar 5.36 Pengaturan <i>Grid</i> Dan <i>Story</i> Pada ETABS	82
Gambar 5.37 Denah <i>Grid</i> Pada ETABS	83
Gambar 5.38 Pendefinisian Material Beton F_c' 30 Mpa Pada ETABS.....	83
Gambar 5.39 Pendefinisian Elemen Balok Induk (B1) Pada ETABS	84
Gambar 5.40 Pendefinisian Elemen Balok Induk (B2) Pada ETABS	85
Gambar 5.41 Pendefinisian Elemen Balok Anak (B3) Pada ETABS	85
Gambar 5.42 Pendefinisian Elemen Kolom (K1) Pada ETABS	85
Gambar 5.43 Pendefinisian Elemen Kolom (K2) Pada ETABS	86
Gambar 5.44 Pendefinisian Elemen Pelat Pada ETABS.....	86
Gambar 5.45 Permodelan Struktur Pada ETABS	86
Gambar 5.46 Denah Lantai 1-5 Pada ETABS.....	87
Gambar 5.47 Denah Lantai 6-10 Pada ETABS	87
Gambar 5.48 Potongan 1 - 1 Pada ETABS	88
Gambar 5.49 Potongan A - A Pada ETABS	88
Gambar 5.50 Beban Mati Tambahan (SDL) Pelat Lantai 1-10 Pada ETABS ..	89
Gambar 5.51 Tampak 3D Beban Mati Tambahan (SDL) Pelat Pada ETABS..	89
Gambar 5.52 Beban Mati Tambahan (SDL) Dinding Lantai 1-4 Pada ETABS90	
Gambar 5.53 Beban Mati Tambahan (SDL) Dinding Lantai 5-9 Pada ETABS90	
Gambar 5.54 Beban Mati Tambahan (SDL) Dinding Lantai 10 Pada ETABS 91	

Gambar 5.55 Tampak 3D Beban Mati Tambahan (SDL) Dinding Pada ETABS	91
Gambar 5.56 Beban Hidup (LL) Lantai 1-9 Pada ETABS	92
Gambar 5.57 Beban Hidup (LL) Lantai 10 Pada ETABS.....	92
Gambar 5.58 Tampak 3D Beban Hidup (LL) Pelat Pada ETABS.....	93
Gambar 5.59 Permodelan Diafragma Pada ETABS	93
Gambar 5.60 Penginputan <i>Mass Source</i> Pada ETABS	94
Gambar 5.61 Penamaan Beban Pada ETABS.....	94
Gambar 5.62 Penginputan Beban Gempa Statis Arah X Pada ETABS	95
Gambar 5.63 Penginputan Beban Gempa Statis Arah Y Pada ETABS	95
Gambar 5.64 Penginputan Respon Spektrum Pada ETABS	96
Gambar 5.65 Pendefinisian Beban Gempa Dinamik Arah X dan Y Pada ETABS	96
Gambar 5.66 Penginputan Kombinasi Beban Pada ETABS.....	97
Gambar 5.67 Jenis Perletakan Kolom Pada ETABS.....	97
Gambar 5.68 <i>End Length Offset</i> Dan <i>Rigid Zone Factor</i> Pada ETABS	98
Gambar 5.69 Pengaturan <i>Load Case</i> Yang Akan Running Pada ETABS	98
Gambar 5.70 Pengaturan Kode Desain Pada TSD	99
Gambar 5.71 Pengaturan <i>Grid</i> Pada TSD	99
Gambar 5.72 Pengaturan Jumlah Dan Ketinggian Lantai Pada TSD.....	99
Gambar 5.73 Denah <i>Grid</i> Pada TSD.....	100
Gambar 5.74 Pendefinisian Material Beton Fc' 30 Mpa Pada ETABS.....	100
Gambar 5.75 Modifikasi Faktor Elemen Pada TSD.....	101
Gambar 5.76 Pendefinisian Elemen Balok Induk (B1) Pada TSD.....	101
Gambar 5.77 Pendefinisian Elemen Balok Induk (B2) Pada TSD	101
Gambar 5.78 Pendefinisian Elemen Balok Anak (B3) Pada TSD	102
Gambar 5.79 Pendefinisian Elemen Kolom (K1) Pada TSD	102
Gambar 5.80 Pendefinisian Elemen Kolom (K2) Pada TSD	103
Gambar 5.81 Pendefinisian Elemen Pelat Pada TSD	103
Gambar 5.82 Permodelan 3D Pada TSD	104
Gambar 5.83 Denah Lantai 1-10 Pada TSD	105
Gambar 5.84 Beban Mati Tambahan (SDL) Pelat dan Dinding Lantai 1-10	

Pada <i>TSD</i>	105
Gambar 5.85 Beban Hidup (LL) Lantai 1-10 Pada <i>TSD</i>	105
Gambar 5.86 Penginputan Beban Gempa Statis Pada <i>TSD</i>	106
Gambar 5.87 Analisis Gempa Statik Dan Ketidakberaturan Struktur Pada <i>TSD</i>	106
Gambar 5.88 Penginputan Periode Dan Tipe Struktur Pada <i>TSD</i>	107
Gambar 5.89 Penginputan Sistem Struktur Pada <i>TSD</i>	107
Gambar 5.90 Penginputan Berat Seismik Pada <i>TSD</i>	107
Gambar 5.90 Pemilihan Kombinasi Pada <i>TSD</i>	108
Gambar 5.91 Hasil <i>Generate</i> Otomatis Pada <i>TSD</i>	108
Gambar 5.92 Jenis Perletakan Kolom Pada <i>TSD</i>	108
Gambar 5.93 <i>End Length Offset</i> Dan <i>Rigid Zone Factor</i> Pada <i>TSD</i>	109
Gambar 5.94 Fitur Analisis Dan Desain Pada <i>TSD</i>	109
Gambar 5.95 Ilustrasi Konsep Distribusi Berat Seismik Aktif Tiap Lantai	110
Gambar 5.96 Ilustrasi Penggunaan Csperlu Arah X	115
Gambar 5.97 Grafik Gaya Gempa	119
Gambar 5.98 Grafik Simpangan Antar Lantai	122
Gambar 5.99 Grafik Simpangan Total	123
Gambar 5.100 Grafik Simpangan Antar Lantai Setelah Pergantian Dimensi Struktur.....	126
Gambar 5.101 Grafik Simpangan Total Setelah Pergantian Dimensi Struktur	126
Gambar 5.102 Ketidakberaturan Horizontal Kategori 1a dan 1b	130
Gambar 5.103 Ketidakberaturan Horizontal Kategori 2	134
Gambar 5.104 Ketidakberaturan Horizontal Kategori 3	134
Gambar 5.105 Ketidakberaturan Horizontal Kategori 4	135
Gambar 5.106 Ketidakberaturan Horizontal Kategori 5	135
Gambar 5.107 Ketidakberaturan Vertikal Kategori 1a dan 1b	137
Gambar 5.108 Ketidakberaturan Vertikal Kategori 2.....	140
Gambar 5.109 Ketidakberaturan Vertikal Kategori 3.....	141
Gambar 5.110 Ketidakberaturan Vertikal Kategori 4	142
Gambar 5.111 Ketidakberaturan Vertikal Kategori 5	142
Gambar 5.112 Pelat Yang Didesain Pada Lantai 10 Grid 2-3/A-B	143

Gambar 5.113 Distribusi Momen Pelat Pada <i>ETABS</i> (a) Arah x (b) Arah Y ..	143
Gambar 5.114 Distribusi Momen Pelat Tinjauan Pada <i>ETABS</i> (a) Arah x (b) Arah Y	144
Gambar 5.115 Distribusi Momen Pelat Pada <i>TSD</i> (a) Arah x (b) Arah Y.....	144
Gambar 5.116 Distribusi Momen Pelat Tinjauan Pada <i>TSD</i> (a) Arah x (b) Arah Y	145
Gambar 5.117 Tampilan Perhitungan Otomatis Desain Tulangan Lentur Pelat Pada <i>TSD</i>	148
Gambar 5.118 Potongan A-A Pelat.....	148
Gambar 5.119 Potongan B-B Pelat	148
Gambar 5.120 Penulangan Pelat	149
Gambar 5.121 3D Penulangan Pelat	149
Gambar 5.122 Balok Tinjauan (Grid 2/C-D Lantai 1).....	150
Gambar 5.123 Diagram Tegangan Regangan pada Balok Tulangan Tumpuan Atas	153
Gambar 5.124 Tampilan Perhitungan Otomatis Tulangan Lentur Tumpuan Atas Balok (Grid 2C-D Lantai 1) Pada <i>TSD</i>	154
Gambar 5.125 Kuat Lentur Mungkin Maksimum (Mpr1 dan Mpr3) Pada Balok Akibat Goyangan ke Kanan.....	155
Gambar 5.126 Kuat Lentur Mungkin Maksimum (Mpr2 dan Mpr4) Pada Balok Akibat Goyangan ke Kiri.....	156
Gambar 5.127 Diagram Gaya Geser Balok (Grid 2C-D Lantai 1) <i>ETABS</i>	157
Gambar 5.128 Tampilan Perhitungan Otomatis Tulangan Geser Sendi Plastis Balok (Grid 2C-D) Pada <i>TSD</i>	160
Gambar 5.129 Perhitungan Otomatis Maksimum Tinggi Efektif Izin Balok Pada <i>TSD</i>	162
Gambar 5.130 Perhitungan Otomatis Minimum Lebar Izin Balok Pada <i>TSD</i> . 162	
Gambar 5.131 Perhitungan Otomatis Maksimum Lebar Balok Pada <i>TSD</i>	163
Gambar 5.132 Perhitungan Syarat Momen Tumpuan Balok SRPMK Pada <i>TSD</i>	163
Gambar 5.133 Perhitungan Syarat Momen Tumpuan Balok SRPMK Pada <i>TSD</i>	164

Gambar 5.134 Potongan Portal Balok B1(Grid 2C-D)	164
Gambar 5.135 Detail Penulangan Balok B1 (Grid 2C-D)	165
Gambar 5.136 Potongan Portal Balok B1 (Grid 2C-D) Hasil <i>TSD</i>	165
Gambar 5.137 Detail Penulangan Balok B1 (Grid 2C-D) Hasil <i>TSD</i>	165
Gambar 5.138 Lokasi Kolom Kolom Tinjauan (Grid 2/D Lantai 1)	166
Gambar 5.139 Perhitungan Otomatis Pengecekan Kolom Pendek/Panjang Pada <i>TSD</i>	168
Gambar 5.140 Diagram Tegangan Regangan Kondisi $c = cb$	170
Gambar 5.141 Diagram Tegangan Regangan Kondisi $c > cb$	171
Gambar 5.142 Diagram Tegangan Regangan Kondisi $c < cb$	173
Gambar 5.143 Diagram Interaksi Uniaksial (P-M3) Kapasitas Kolom K1 (Grid 2/D lantai 1).....	175
Gambar 5.144 Diagram Interaksi Uniaksial (P-M2) Kapasitas Kolom K1 (Grid 2/D lantai 1).....	175
Gambar 5.145 Pengecekan Kapasitas Pada Diagram Uniaxial (P-M3) Kolom K1 (Grid 2/D lantai 1)	176
Gambar 5.146 Pengecekan Kapasitas Pada Diagram Uniaxial (P-M2) Kolom K1 (Grid 2/D lantai 1)	176
Gambar 5.147 Diagram Biaxial Metode ACI (Beban M2max).....	177
Gambar 5.148 Ilustrasi Kuat Kolom Balok Lemah (Gempa Kanan).....	178
Gambar 5.149 Diagram Interaksi Kapasitas Momen Kolom Desain.....	179
Gambar 5.150 Pengecekan Otomatis Kuat Kolom Balok Lemah Pada <i>TSD</i> ... 180	
Gambar 5.151 Kapasitas Momen Max ($f_y = 1,25$ dan $\phi = 1$) Kolom K1.....	182
Gambar 5.152 Momen Ujung (Mpr) Pada Kolom	182
Gambar 5.153 Tampilan Perhitungan Otomatis Desain Tulangan Geser Kolom Pada <i>TSD</i>	185
Gambar 5.154 Potongan Kolom K1 Grid 2/D Lantai 1	186
Gambar 5.155 (a) Detail kolom daerah lo, (b) Detail kolom luar daerah lo	186
Gambar 5.156 Hasil Gambar Potongan Kolom Grid 2/D Lantai 1 (Hasil <i>TSD</i>)	187
Gambar 5.157 Hasil Gambar Detail Kolom Grid 2/D Lantai 1 (Hasil <i>TSD</i>)... 187	
Gambar 5.158 Perhitungan Otomatis Syarat Dimensi Kolom (K11) SRPMK	

Pada <i>TSD</i>	188
Gambar 5.159 Skema Hubungan Balok-Kolom	189
Gambar 5.160 Skema Momen Kapasitas Arah Y ketika Gempa Kanan	190
Gambar 5.161 Skema Momen Kapasitas Arah Y ketika Gempa Kiri	190
Gambar 5.162 Detail Joint 2/D-2	194
Gambar 5.163 Potongan Joint (a) Arah X dan (b) Arah Y	194
Gambar 5.164 3D Joint 2/D-2	195
Gambar 5.165 Tampilan Perhitungan Kapasitas Geser Joint 2/D-2 Pada <i>TSD</i>	195

DAFTAR ISTILAH

Istilah	Keterangan
P	; Beban terpusat (kN)
d	: Tinggi efektif balok (m)
c	: Tinggi garis netral (mm)
d_t	: Jarak lapisan terluar tulangan tarik terhadap serat tekan balok (mm)
ε_t	: Regangan tulangan tarik
ε_{cu}	: Regangan penampang beton
a	: Tinggi blok tekan beton (mm).
d	: Tinggi efektif balok (mm).
b	: Lebar balok (mm).
f_c	: Kuat tekan beton (Mpa).
A_s	: Luas tulangan (mm^2).
f_y	: Kuat leleh tulangan longitudinal (Mpa).
β_1	: Koefisien reduksi tinggi garis netral.
ρ	: Rasio tulangan.
ε_s	: Regangan tulangan baja.
ε_{cu}	: Regangan penampang beton.
V_u	: Gaya geser <i>ultimate</i> (kN).
V_c	: Kuat geser beton (kN).
V_s	: Kuat geser tulangan geser (kN).
s	: Spasi tulangan geser (mm).
f_{yt}	: Kuat leleh tulangan geser (Mpa).
A_v	: Luas tulangan geser (mm^2).
λ	: Koefisien faktor modifikasi beton
T_n	: Momen torsi nominal (kNm)
T_u	: Momen torsi <i>ultimate</i> (kNm)
A_{cp}	: Luas penampang balok (mm^2).
P_{cp}	: Keliling penampang balok (mm).
P_h	: Luas penampang balok dengan as sengkang (mm^2).
S_{MS}	: Parameter respon spektrum pada periode 0,2 detik (g).

S_{M1}	: Parameter respon spektrum pada periode 1 detik (g).
S_S	: Percepatan batuan dasar pada periode pendek 0,2 detik (g).
S_1	: Percepatan batuan dasar pada periode 1 detik (g).
F_a	: Koefisien situs pada periode pendek 0,2 detik.
F_v	: Koefisien situs pada periode 1 detik.
C_t dan x	: Koefisien parameter periode.
h_n	: Ketinggian bangunan (m).
C_u	: Koefisien batas periode.
C_s	: Koefisien respon seismik.
W	: Berat bangunan (kN).
I	: Koefisien faktor keutamaan gempa.
R	: Koefisien modifikasi respons.
Δ_a	: Simpangan ijin sebelum dibagi faktor redundansi (mm).
ρ	: Koefisien faktor redundansi.
C_d	: Koefisien faktor pembesaran simpangan.
δ_e	: Simpangan ditingkat-x sebelum diperbesar (mm).
l_d	: Panjang penyaluran kondisi tarik (mm).
l_{dc}	: Panjang penyaluran kondisi tekan (mm).
l_{dh}	: Panjang penyaluran kait standar (mm).
l_{ext}	: Panjang kait lurus (mm).

BAB 1

PENDAHULUAN

1.1 Latar Belakang

Indonesia merupakan negara yang terletak di wilayah rawan gempa, sehingga bencana gempa bumi seperti yang terjadi di Palu, Sulawesi Tengah, pada 28 September 2018, menjadi salah satu peristiwa tragis yang menyadarkan pentingnya perencanaan struktur yang tahan gempa. Salah satu infrastruktur yang terdampak adalah Hotel Roa Roa, sebuah gedung bertingkat yang runtuh setelah gempa terjadi.



Gambar 1.1 Hotel Roa Roa Sebelum Dan Sesudah Terjadinya Gempa

(Sumber: Madutujuh, 2018)

Runtuhnya Hotel Roa Roa menjadi pertanyaan mengenai perancangan yang digunakan pada bangunan tersebut. Hotel yang dibangun pada tahun 2012 ini kemungkinan dirancang berdasarkan peta gempa tahun 2002 yang menyebabkan ketidaksesuaian dengan gempa aktual yang terjadi, selain itu ditemukan bahwa adanya kesalahan perencanaan pada bagian sambungan (Madutujuh, 2018). Kasus ini menyoroti pentingnya pemilihan sistem struktur yang tepat, khususnya gedung dengan Sistem Rangka Pemikul Momen Khusus (SRPMK) yang dirancang untuk memiliki daktilitas tinggi dan mampu menyerap energi gempa secara maksimal.

Seiring perkembangan teknologi dalam bidang teknik sipil, khususnya dalam perancangan struktur, berbagai perangkat lunak telah dikembangkan untuk membantu dalam perencanaan struktur. Dua di antaranya adalah *ETABS (Extended Three-Dimensional Analysis of Building Systems)* dan *TSD (Tekla Structural Designer)*. Perlu diketahui hasil perancangan struktur gedung pada kedua perangkat lunak, khususnya pada sistem SRPMK untuk mengetahui sejauh mana perbedaan hasil perancangan struktur yang dihasilkan dari kedua perangkat lunak tersebut.

Dengan membandingkan hasil perancangan struktur gedung SRPMK menggunakan *ETABS* dan *TSD*, diharapkan memberikan gambaran mengenai hasil perencanaan dari masing-masing perangkat lunak sehingga dapat dipilih perangkat yang sesuai untuk mendesain struktur yang aman, serta menghindari terulangnya kejadian runtuhnya Hotel Roa Roa di masa yang akan datang. Perbandingan kedua perangkat lunak antara *ETABS* dan *Tekla Structural Designer* juga telah diteliti oleh (Aziz dkk, 2023) dengan model gedung 3 lantai. Penelitian kedua perangkat lunak ini dapat dikembangkan dengan menambahkan lantai gedung untuk mengetahui perbandingan secara lebih signifikan.

1.2 Rumusan Masalah

Berdasarkan latar belakang masalah tersebut, dapat dirumuskan permasalahan sebagai berikut.

- a. Bagaimana perbandingan nilai gaya gempa yang dihasilkan oleh *ETABS* dan *Tekla Structural Designer*?
- b. Bagaimana perbandingan nilai simpangan yang dihasilkan oleh *ETABS* dan *Tekla Structural Designer*?
- c. Bagaimana perbandingan hasil desain tulangan balok, kolom, hubungan balok-kolom, dan pelat pada *ETABS* dan *Tekla Structural Designer*?

1.3 Tujuan Penelitian

Berdasarkan rumusan masalah tersebut, didapat tujuan dari penelitian ini. Berikut tujuan dari penelitian ini.

- a. Untuk mengetahui perbandingan nilai gaya gempa yang dihasilkan oleh *ETABS* dan *Tekla Structural Designer*.
- b. Untuk mengetahui perbandingan nilai simpangan yang dihasilkan oleh *ETABS* dan *Tekla Structural Designer*.
- c. Untuk mengetahui perbandingan hasil desain tulangan balok, kolom, hubungan balok-kolom, dan pelat pada *ETABS* dan *Tekla Structural Designer*.

1.4 Batasan Masalah

Agar pembahasan tidak meluas dan dapat dibahas secara terstruktur, maka pembahasan topik penelitian ini diberi batasan masalah sebagai berikut.

- a. Perancangan struktur mengacu pada standar yang berlaku (SNI 1726:2019, SNI 1727:2020, SNI 2847:2019, ACI 318-14, dan ASCE 7-16).
- b. Permodelan gedung yang dimodelkan adalah gedung imajiner dengan 10 lantai yang berfungsi sebagai perkantoran dan atap dak.
- c. Sistem struktur menggunakan Sistem Rangka Pemikul Momen Khusus (SRPMK).
- d. Tanah diasumsikan tanah lunak (SE) dan berlokasi di Jakarta.
- e. Data parameter respon spektrum diambil dari situs Puskim PU.
- f. Perhitungan membahas elemen struktur atas yaitu balok, kolom hubungan balok-pelat, dan pelat.
- g. Pelat pada *ETABS* dimodelkan sebagai *shell* dan pada *TSD* dimodelkan sebagai *slab on beam*.
- h. Tumpuan diasumsikan sebagai jepit.
- i. Kedua perangkat lunak yang digunakan merupakan versi terbaru yaitu *ETABS V22 Evaluation* dan *TSD 2024 Student Version*.

1.5 Manfaat Penelitian

Manfaat dari penelitian ini adalah sebagai berikut.

- a. Penelitian dalam perbandingan nilai gaya gempa yang dihasilkan oleh *ETABS* dan *TSD* dapat bermanfaat untuk menentukan perangkat lunak yang sesuai dengan kebutuhan perencanaan. .
- b. Penelitian dalam perbandingan nilai simpangan yang dihasilkan oleh *ETABS* dan *TSD* dapat membantu dalam menilai efektivitas masing-masing perangkat lunak dalam memprediksi perilaku struktur terhadap beban lateral.
- c. Penelitian dalam membandingkan hasil desain tulangan dapat memberikan manfaat dalam menentukan perangkat lunak mana yang menghasilkan desain yang lebih efisien dan sesuai dengan kebutuhan perencanaan.

1.6 Keaslian Penelitian

Penelitian ini merupakan hasil karya penulis yang dilakukan secara mandiri dan semua analisis, interpretasi data, serta kesimpulan yang disajikan adalah murni hasil pemikiran penulis dengan mengacu pada sumber-sumber yang telah diakui keabsahannya.

BAB 2

TINJAUAN PUSTAKA

2.1 Gaya Gempa dan Simpangan Antar Tingkat

Gaya gempa dan simpangan sangat dipengaruhi oleh nilai dari parameter lainnya seperti berat bangunan, kekakuan struktur, dan waktu getar alaminya. Dibuktikan dengan penelitian yang disusun oleh (Rifandi, 2020) bahwa semakin besar berat seismik maka gaya lateral ekivalen akan semakin besar dan semakin tinggi gedung yang dianalisis maka semakin besar juga nilai periode struktur yang dihasilkan. Selain itu pada penelitian yang disusun oleh (Bingly et al., 2021) dalam penggunaan nilai kuat tekan beton apabila semakin besar nilai f'_c maka gaya geser gempa, simpangan, gaya dalam dan dimensi elemen struktur yang dihasilkan semakin kecil.

Gaya gempa dan simpangan yang dihasilkan juga dipengaruhi oleh prosedur analisis yang digunakan. Pada penelitian yang disusun oleh (Nurkhusnaedi, 2025) dengan membandingkan hasil gaya gempa dari prosedur analisis statik ekivalen, respon spektrum, dan *time history* dengan hasil bahwa gaya gempa dan simpangan dari yang terbesar hingga terkecil secara berturut-turut yaitu prosedur analisis statik ekivalen, respon spektrum, dan yang paling kecil yaitu *time history*.

Dalam penelitian yang disusun oleh (Azis Syah et al., 2023) dengan membandingkan hasil dari simpangan dan gaya geser pada *ETABS* dan *TSD* dengan hasil pada perangkat lunak *ETABS* lebih besar dibandingkan dengan *TSD* dikarenakan tidak adanya faktor skala pada *TSD*. Dalam penelitian yang disusun oleh (Rusliyana, 2024) dengan membandingkan *SAP2000* dengan *TSD* didapat nilai periode pada *SAP2000* lebih besar dari *TSD*, simpangan pada arah x dan y pada *SAP2000* lebih besar dari *TSD*, sedangkan gaya geser arah x lebih besar *TSD* namun gaya geser arah y lebih besar *SAP2000*.

2.2 Sistem Rangka Pemikul Momen Khusus

Dalam mendesain gedung SRPMK, perlu ditinjau konsep *strong column weak beam* yang telah digunakan pada penelitian yang dilakukan oleh (Jaglien et al., 2020) mengenai analisis Perencanaan Struktur Beton Bertulang Gedung Kuliah 5 Lantai pada Juli tahun 2020. Penelitian ini bertujuan untuk perencanaan Gedung Kuliah

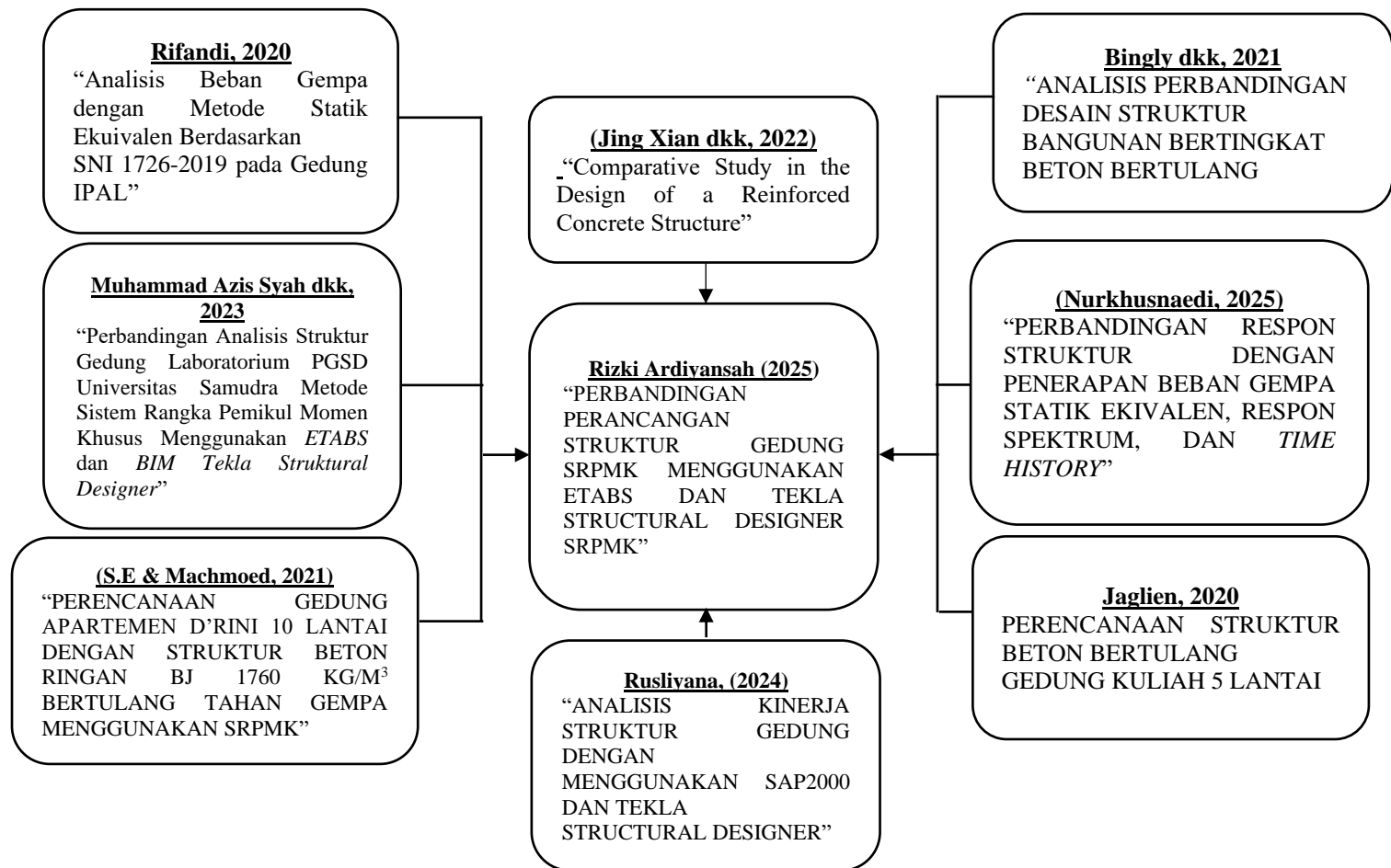
Fakultas Teknik Unsrat Manado yang terdiri dari 5 lantai akan dilakukan dengan memperhitungkan aspek kegempaan tersebut agar struktur bangunan tahan terhadap gempa. Dari penelitian ini didapatkan hasil perencanaan gedung yang telah mencakup prinsip SRPMK yaitu, *strong column weak beam*, dihasilkan gaya geser dasar nominal sebesar 1453,896 kN untuk arah X dan 1266,698 kN untuk arah Y dengan pensekalaan 100% sesuai dengan peraturan SNI 1726:2019.

Penelitian perencanaan struktur beton bertulang bangunan gedung SRPMK juga sudah pernah diteliti oleh (S.E & Machmoed, 2021) .. Dari penelitian ini dihasilkan penampang kolom, balok, dan elemen struktur lainnya yang sudah sesuai dengan SNI 2847:2013 dan sudah memenuhi persyaratan *strong column weak beam* ($\Sigma M_{nc} > 1,2 \Sigma M_{nb}$). Dihasilkan juga komponen balok, kolom, dan hubungan balok-kolom dengan penulangan mampu menahan gaya geser yang terjadi akibat gempa dengan terpenuhinya syarat-syarat desain kapasitas geser dimana kapasitas geser nominal (Vn) lebih besar dari gaya yang bekerja (Vu).

Dalam penelitian yang disusun oleh (Jing Xian dkk, 2022) didapat hasil bahwa pada perangkat lunak *Tekla Structural Designer* memerlukan kebutuhan luasan tulangan balok, kolom, dan pilecap 35% lebih besar dibandingkan kebutuhan luasan tulangan pada perangkat lunak *Esteem*.

2.3 Keterkaitan Penelitian

Berikut flowchart keterkaitan penelitian ini terhadap penelitian terdahulu.



Gambar 2.1 Flowchart Keterkaitan Penelitian Terhadap Penelitian Terdahulu

(Sumber: Hasil Analisis Penulis, 2025)

Tabel 2.1 Penelitian Terdahulu yang Relevan

No	Judul	Penulis (tahun)	Yang diteliti	Hasil
1	Perbandingan Analisis Struktur Gedung Laboratorium PGSD Universitas Samudra Metode Sistem Rangka Pemikul Momen Khusus Menggunakan ETABS dan BIM Tekla Struktural Designer	Muhammad Azis Syah dkk (2023)	a. Gaya gempa b. Simpangan	Hasil perbandingan dari simpangan dan gaya geser pada ETABS dan TSD dengan hasil pada perangkat lunak ETABS lebih besar dibandingkan dengan TSD dikarenakan tidak adanya faktor skala pada TSD
2	Analisis Beban Gempa dengan Metode Statik Ekuivalen Berdasarkan SNI 1726-2019 pada Gedung IPAL	Rifandi (2020)	a. Berat bangunan b. Gaya gempa c. Waktu getar alami	Hasil penelitian menunjukkan bahwa semakin besar berat seismik maka gaya lateral ekuivalen akan semakin besar dan semakin tinggi gedung yang dianalisis maka semakin besar juga nilai periode struktur yang dihasilkan
3	ANALISIS PERBANDINGAN DESAIN STRUKTUR BANGUNAN BERTINGKAT BETON BERTULANG MENGGUNAKAN MATERIAL MUTU NORMAL DAN MUTU TINGGI	Bingly (2021)	a. Gaya gempa b. Simpangan c. Gaya dalam elemen struktur	Dalam penggunaan nilai kuat tekan beton apabila semakin besar nilai f'_c maka gaya geser gempa, simpangan, gaya dalam dan dimensi elemen struktur yang dihasilkan semakin kecil
4	PERBANDINGAN RESPON STRUKTUR DENGAN PENERAPAN BEBAN GEMPA STATIK EKIVALEN, RESPON SPEKTRUM, DAN TIME HISTORY	Nurkhusnaedi (2025)	a. Gaya gempa b. Simpangan	Hasil menunjukkan bahwa gaya gempa dan simpangan dari yang terbesar hingga terkecil secara berturut-turut yaitu prosedur analisis statik ekivalen, respon spektrum, dan yang paling kecil yaitu time history
5	ANALISIS KINERJA STRUKTUR GEDUNG DENGAN MENGGUNAKAN SAP2000 DAN TEKLA STRUCTURAL DESIGNER	Rusliyana, (2024)	a. Waktu getar alami b. Gaya gempa c. Simpangan	Hasil periode dari SAP2000 lebih besar dari TSD, simpangan pada arah x dan y pada SAP2000 lebih besar dari TSD, sedangkan gaya geser arah x lebih besar TSD namun gaya geser arah y lebih besar SAP2000
6	PERENCANAAN STRUKTUR BETON BERTULANG GEDUNG KULIAH 5 LANTAI	Jaglien dkk (2020)	a. Balok b. Kolom c. Pelat d. Tangga e. Dinding geser f. Beban gempa g. Pondasi	Hasil perencanaan gedung telah mencakup prinsip SRPMK yaitu, <i>strong column weak beam</i> , dihasilkan gaya geser dasar nominal sebesar 1453,896 kN untuk arah X dan 1266,698 kN untuk arah Y dengan penelekalan 100% sesuai dengan peraturan SNI 1726:2019.

No	Judul	Penulis (tahun)	Yang diteliti	Hasil
7	PERENCANAAN GEDUNG APARTEMEN D'RINI 10 LANTAI DENGAN STRUKTUR BETON RINGAN BJ 1760 KG/M ³ BERTULANG TAHAN GEMPA MENGGUNAKAN SRPMK	S.E & Machmoed (2021)	a. Balok b. Kolom c. Pelat d. Tangga e. Hubungan balok-kolom f. Pondasi	Dari penelitian ini dihasilkan penampang kolom, balok, dan elemen struktur lainnya yang sudah sesuai dengan SNI 2847:2013 dan sudah memenuhi persyaratan strong column weak beam ($\Sigma M_{nc} > 1,2 \Sigma M_{nb}$). Dihasilkan juga komponen balok, kolom, dan hubungan balok-kolom dengan penulangan mampu menahan gaya geser yang terjadi akibat gempa dengan terpenuhinya syarat-syarat desain kapasitas geser dimana kapasitas geser nominal (V_n) lebih besar dari gaya yang bekerja (V_u).
8	Comparative Study in the Design of a Reinforced Concrete Structure	(Jing Xian dkk, 2022)	a. Balok b. Kolom c. Pilecap	Penelitian ini menghasilkan bahwa pada perangkat lunak <i>Tekla Structural Designer</i> memerlukan kebutuhan luasan tulangan balok, kolom, dan pilecap 35% lebih besar dibandingkan kebutuhan luasan tulangan pada perangkat lunak <i>Esteem</i>

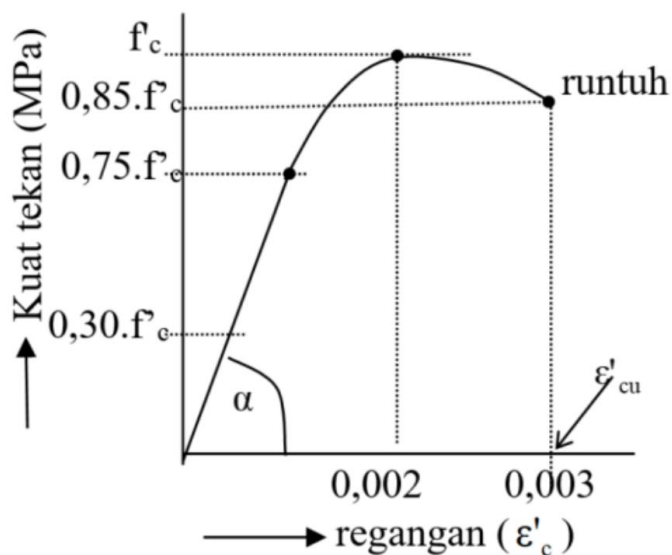
(Sumber: Hasil Analisis Penulis, 2025)

BAB 3

LANDASAN TEORI

3.1 Struktur Beton Bertulang

Beton bertulang merupakan gabungan dari material beton polos dan tulangan baja yang saling bekerja sama, sehingga beton memiliki kekuatan untuk memikul tegangan tarik (Lesmana, 2020). Hubungan antara tegangan regangan tekan beton dapat dilihat pada gambar berikut.



Gambar 3.1 Hubungan Tegangan Dan Regangan Beton

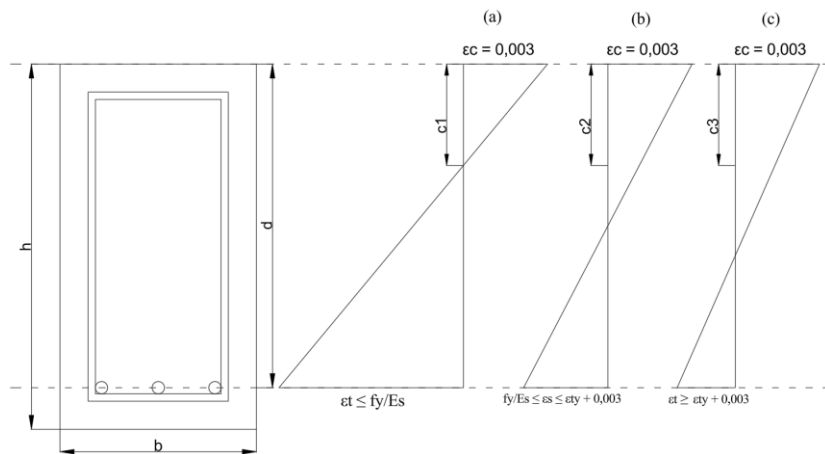
(Sumber: Ir Ali Asroni, 2017)

Menurut Ir Ali Asroni (2017) terdapat 3 prilaku yang menunjukkan perilaku tegangan regangan tekan beton sebagai berikut.

- Pada saat beban tekan mencapai $0,3f'_c$ sampai $0,4f'_c$, perilaku tegangan regangan beton pada dasarnya masih linear (f'_c merupakan kekuatan batas tekan beton).
- Pada saat beban melebihi $0,3f'_c$ sampai $0,4f'_c$, retak-retak lekatan mulai terbentuk. Pada saat ini mulai terjadi deviasi pada hubungan tegangan-regangan dari kondisi linear.
- Pada saat beban tekan mencapai $0,75f'_c$ sampai $0,9f'_c$, retak-retak lekatan tersebut merambat ke mortar sehingga terbentuk pola retak yang kontinu.

3.2 Daktilitas

Daktilitas merupakan kemampuan struktur untuk berdeformasi hingga melewati batas elastisnya tanpa mengalami kegagalan (Lesmana, 2020). Baja tulangan mempengaruhi sifat daktilitas pada beton sehingga beton memiliki sifat daktail saat diberi tulangan. Namun, banyaknya jumlah tulangan baja mempengaruhi garis netral (c) pada tegangan regangan beton, apabila tulangan dipasang terlalu banyak beton akan getas dimana beton runtuh sebelum tulangannya leleh.



Gambar 3.2 Diagram Regangan Pada Balok Lentur, (a) compression-controlled section, (b) transition region, dan (c) tension-controlled section.

(Sumber: Hassoun & Al-Manaseer, 2020)

3.3 Sistem Struktur Bangunan Gedung Tahan Gempa

Dalam mendesain struktur bangunan gedung tahan gempa, harus diperhatikan kekuatan dan kemampuan layan dari struktur bangunan tersebut. Kedua aspek tersebut harus dipenuhi agar ketika terjadi gempa pada struktur bangunan, tidak ada korban jiwa akibat keruntukan struktur dan kondisi idealnya struktur gedung hanya mengalami kerusakan non-struktural sehingga bisa segera dihuni kembali pasca gempa. Secara umum, terdapat 3 sistem struktur yang sering digunakan oleh para engineers (Lesmana, 2019).

a. Sistem rangka struktural

Sistem struktur ini terdiri dari rangkaian balok dan kolom sebagai komponen struktur utamanya. Adapun komponen struktur sekundernya bisa terdiri dari balok sekunder, pelat lantai, dan tangga. Komponen sekunder berfungsi untuk

memikul beban dan kemudian menyalurkan beban tersebut ke dalam komponen struktur utama.

b. Sistem dinding struktur

Sistem struktur ini mempunyai dinding struktur yang difungsikan secara khusus untuk memikul beban lateral berupa gempa. Istilah dinding struktur ini biasanya lebih dikenal dengan istilah dinding geser atau *shear wall*. Dalam sistem ini, perlu diperhatikan penempatan dinding struktur demi mencegah efek torsi yang berlebihan pada struktur.

c. Sistem ganda

Sistem ganda merupakan sistem struktur gabungan struktur rangka dan dinding struktur. Kombinasi kedua struktur ini sangat menguntungkan karena interaksi antar rangka dan dinding struktur akan membuat penyerapan energi yang lebih besar. Dengan adanya kekakuan dinding struktur yang besar, perilaku struktur bangunan gedung saat terjadi gempa lebih terkontrol.

3.4 Pembebanan

Menurut Badan Standarisasi Nasional (2020), beban merupakan gaya atau tindakan lain akibat berat semua bahan bangunan, penghuni dan properti, dampak lingkungan, perbedaan gerakan dan gaya penahan akibat dari perubahan dimensi. Pembebanan gedung diatur dalam SNI 1727:2020.

3.4.1 Beban mati

Menurut Badan Standarisasi Nasional (2020) beban mati merupakan berat semua material konstruksi terpasang, termasuk dinding, lantai, atap, langit-langit, tangga, partisi tetap, penyelesaian akhir, bangunan dan komponen arsitektur dan struktural lainnya serta peralatan servis terpasang lainnya, termasuk termasuk derek dan sistem pengangkutan material. Beban mati diatur dalam SNI 1727:2020 Pasal 3.1 Hal-21.

3.4.2 Beban hidup

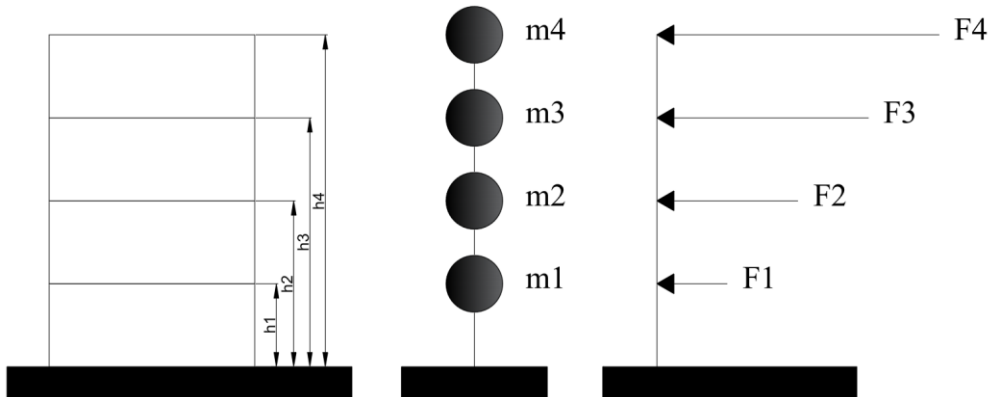
Beban hidup menurut Badan Standarisasi Nasional (2020) merupakan beban yang disebabkan oleh pengguna dan penghuni atau bangunan lain yang tidak termasuk beban dan beban lingkungan, seperti beban hujan, beban seismik, beban atau beban permanen. Beban hidup diatur dalam SNI 1727:2020 Pasal 4 Hal-25.

3.4.3 Beban gempa

Beban gempa merupakan energi yang dilepas selama gempa bumi terjadi sehingga mempengaruhi struktur bangunan. Berdasarkan SNI 1726:2019 terdapat 3 jenis prosedur yang digunakan untuk menganalisis beban gempa yang terjadi pada struktur yaitu prosedur *static equivalent*, *response spectrum (RS)*, dan *linear time history*.

a. *Static Equivalent*

Prosedur analisis statik ekivalen merupakan metode pendekatan untuk mempresentasikan pengaruh beban dinamik gempa menjadi beban statik yang berupa gaya terpusat yang terdistribusi pada tiap tingkat struktur bangunan sesuai besaran massa pada tingkat yang di tinjau (Lesmana, 2020). Metode ini diatur dalam SNI 1726:2019 pasal 7.8 Hal-59. Berikut konsep dasar dan tahapan analisis beban gempa menggunakan prosedur analisis statik ekuivalen.

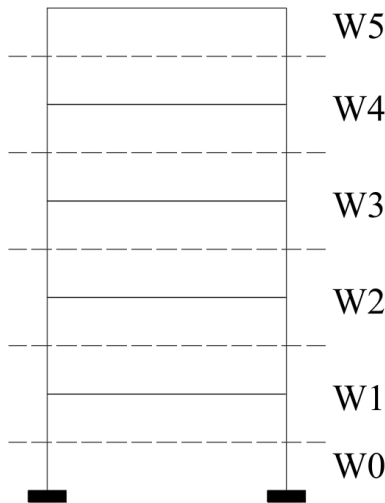


Gambar 3.3 Konsep Dasar Metode Statik Ekuivalen

(Sumber: Lesmana, 2020)

1) Perhitungan berat seismik (W)

Pada tahap ini akan dilakukan proses perhitungan berat pada tiap tingkat berdasarkan sumbu memanjang dan melintang untuk memperoleh gaya gempa pada setiap sumbu dan tiap level tingkat. Berdasarkan SNI 1726:2019 Pasal 7.7.2 Hal-68, berat seismik meliputi beban mati, beban mati tambahan, dan beban hidup.



Gambar3.4 Konsep Perhitungan Beban Pada Bangunan

(Sumber: Lesmana, 2020)

2) Estimasi periode struktur (T)

Penentuan periode struktur diatur dalam SNI 1726:2019 Pasal 7.8.2 Hal-71.

Ada 2 pendekatan yang digunakan antara lain

- Pendekatan 1 (Pasal 7.8.2.1 Hal-72)

$$T_a = C_t \times h_n^x \quad (3.1)$$

Dengan nilai C_t dan x diperoleh dari SNI 1726:2019 Tabel 18 Hal-72

Tabel 3.1 Nilai Parameter Periode Pendekatan

Tipe struktur	C_1	x
Sistem rangka pemikul momen dimana rangka memikul 100% gaya seismik yang diisyaratkan dan tidak dilingkupi atau dihubungkan dengan komponen yang lebih kaku dan akan mencegah rangka dari defleksi jika dikenai gaya seismik: <ul style="list-style-type: none"> • Rangka baja pemikul momen • Rangka beton pemikul momen 	0,0724 0,0466	0,8 0,9
Rangka baja dengan bresing eksentris	0,0731	0,75
Rangka baja dengan bresing tekekang terhadap tekuk	0,0731	0,75
Semua sistem struktur lainnya	0,0488	0,75

(Sumber: SNI 1726:2019 Tabel 18 Hal 72)

- Pendekatan 2 (Pasal 7.8.2.1 Hal-72)

$$T_a = 0,1 N \quad (3.2)$$

Dengan nilai N merupakan jumlah tingkat.

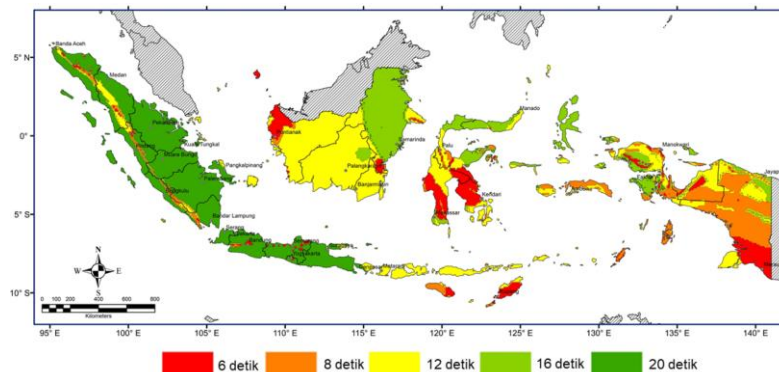
Apabila periode struktur ditentukan dengan perangkat lunak *ETABS* atau *TSD*, maka nilai T tidak boleh melampaui $C_u T_a$ dan tidak boleh kurang dari T_a .

3) Perhitungan gaya geser (V)

Perhitungan gaya geser seismik struktur diatur dalam SNI 1726:2019 Pasal 7.8 Hal-69.

$$V = C_s \times W \quad (3.3)$$

Untuk menghitung nilai koefisien seismik (C_s) dibutuhkan parameter pendukung seperti panjang periode (T_L) (SNI 1726:2019 Gambar 20 Hal-238), faktor keamanan (I_e) (SNI 1726:2019 Pasal 4.1.2 Tabel 4 Hal-25), faktor modifikasi (R) (SNI 1726:2019 Tabel 12 Hal-49).



Gambar 3.5 Peta transisi periode panjang (T_L) Wilayah Indonesia

(Sumber: SNI 1726:2019 Gambar 20 Hal-238)

Tabel 3.2 Pemilihan Faktor Keutamaan Gempa

Kategori risiko	Faktor keutamaan gempa, I_e
I atau II	1,0
III	1,25
IV	1,5

(Sumber: Tabel 4 SNI 1727:2020 Hal 25)

Tabel 3.3 Faktor R, C_d, dan Ω₀ Untuk Sistem Pemikul Gaya Seismik

Sistem pemikul gaya seismik	Koefisien modifikasi respon	Faktor kuat lebih sistem	Faktor pembesaran defleksi	Batasan sistem struktur dan batasan tinggi struktur				
				Kategori desain seismik				
				B	C	D	E	F
C. Sistem rangka pemikul momen								
1. Rangka baja pemikul momen khusus	8	3	5,5	TB	TB	TB	TB	TB
2. Rangka batang baja pemikul momen khusus	7	3	5,5	TB	TB	40	30	TI
3. Rangka baja pemikul momen menengah	4,5	3	4	TB	TB	10	TI	TI
4. rangka baja pemikul momen biasa	3,5	3	3	TB	TB	TI	TI	TI

Sistem pemikul gaya seismik	Koefisien modifikasi respon	Faktor kuat lebih sistem	Faktor pembesaran defleksi	Batasan sistem struktur dan batasan tinggi struktur				
				Kategori desain seismik				
				B	C	D	E	F
5. Rangka beton bertulang pemikul momen khusus	8	3	5,5	TB	TB	TB	TB	TB
6. Rangka beton bertulang pemikul momen menengah	5	3	4,5	TB	TB	TI	TI	TI
7. Rangka beton bertulang pemikul momen biasa	3	3	2,5	TB	TI	TI	TI	TI
8. Rangka baja dan beton komposit pemikul momen khusus	8	3	5,5	TB	TB	TB	TB	TB
9. Rangka baja dan beton komposit pemikul momen menengah	5	3	4,5	TB	TB	TI	TI	TI
10. Rangka baja dan beton komposit terkekang parsial pemikul beban	6	3	5,4	48	48	30	TI	TI
11. Rangka baja dan beton komposit pemikul momen biasa	3	3	2,5	TB	TI	TI	TI	TI
12. Rangka baja canal dingin pemikul momen khusus dengan pembautan	3,5	3	5,5	10	10	10	10	10

(Sumber : SNI 1726:2019 Tabel 12 Hal 50)

Pada SNI 1726:2019 Pasal 7.8.1.1 ditentukan nilai C_s dan juga membatasi nilai maksimum dan minimumnya.

$$C_{s \text{ perlu}} = \frac{S_{ds}}{\left(\frac{R}{I_e}\right)} \quad (3.4)$$

Untuk $T \leq T_L$

$$C_{s \text{ max}} = \frac{S_{sd1}}{T\left(\frac{R}{I_e}\right)} \quad (3.5)$$

Untuk $T > T_L$

$$C_{s \text{ max}} = \frac{T_L \cdot S_{dl}}{T\left(\frac{R}{I_e}\right)} \quad (3.6)$$

C_s harus tidak kurang dari

$$C_{s \text{ min}} = 0,044 \cdot S_{ds} \cdot I_e \quad (3.7)$$

Jika S_I sama dengan atau lebih besar dari 0,6g, C_s harus tidak kurang dari

$$C_{s \text{ min}} = \frac{0,5}{T\left(\frac{R}{I_e}\right)} \quad (3.8)$$

4) Perhitungan gaya gempa (F)

Perhitungan gaya gempa (F) diatur dalam SNI 1726:2019 Pasal 7.8.3 Hal

73. Rumus yang digunakan merupakan sebagai berikut.

$$F = C_{vx} \times V \quad (3.9)$$

dimana:

V = gaya geser dasar total bangunan

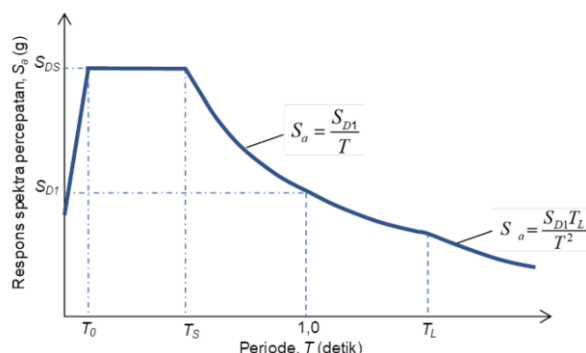
$C_{vx} = \frac{W_{xx} h_i^k}{\sum_{i=1}^n W_{ix} h_i^k}$, dengan nilai k apabila nilai T_a kurang dari 0,5 maka nilai $k=1$, jika nilai T_a lebih dari 2,5 maka nilai $k=2$, jika nilai T_a diantara 0,5 sampai 2,5 maka k menggunakan interpolasi.

b. Response Spectrum (RS)

Prosedur analisis respons spektrum merupakan metode yang digunakan untuk mengetahui respon struktur terhadap getaran seismik berdasarkan spektrum respons. Spektrum respons digunakan untuk memperkirakan respon maksimum struktur terhadap gerakan tanah akibat gempa. Untuk memodelkan grafik respon spektrum diatur dalam SNI 1726:2019 Pasal 6.4 Gambar 3 Hal 35-36. Untuk membuat grafik respon spektrum, diperlukan data seismik gempa (S_I , S_s , dll). Untuk nilai T_L dapat dilihat pada SNI 1726:2019 Gambar 20 Hal-238. Untuk mencari T_0 dan T_s menggunakan rumus berikut.

$$T_0 = 0,2 \times \frac{S_{dl}}{S_{ds}} \quad (3.10)$$

$$T_s = \frac{S_{dl}}{S_{ds}} \quad (3.11)$$



Gambar 3.6 Grafik respon spektrum

(Sumber: SNI 1726:2019 Gambar 3 Hal-36)

Untuk $T < T_0$

$$S_a = S_{ds} (0,4 + 0,6 \frac{T}{T_0}) \quad (3.12)$$

Untuk $T_0 < T \leq T_s$

$$S_a = S_{ds} \quad (3.13)$$

Untuk $T_s < T \leq T_L$

$$S_a = \frac{S_{d1}}{T} \quad (3.14)$$

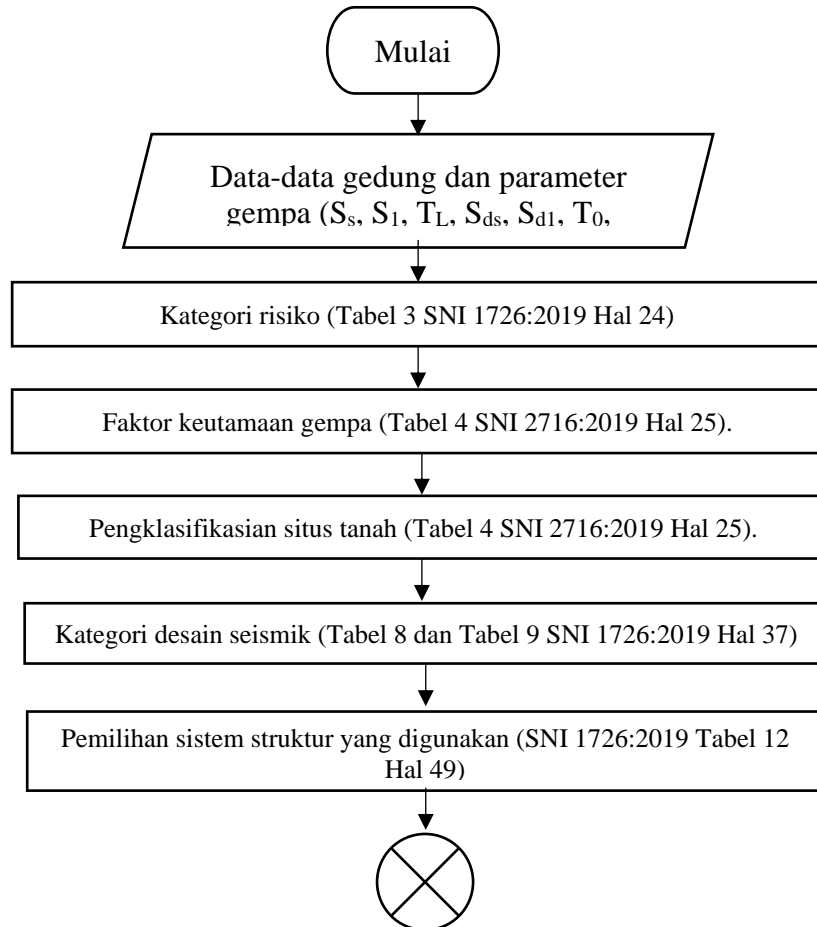
Untuk $T > T_L$

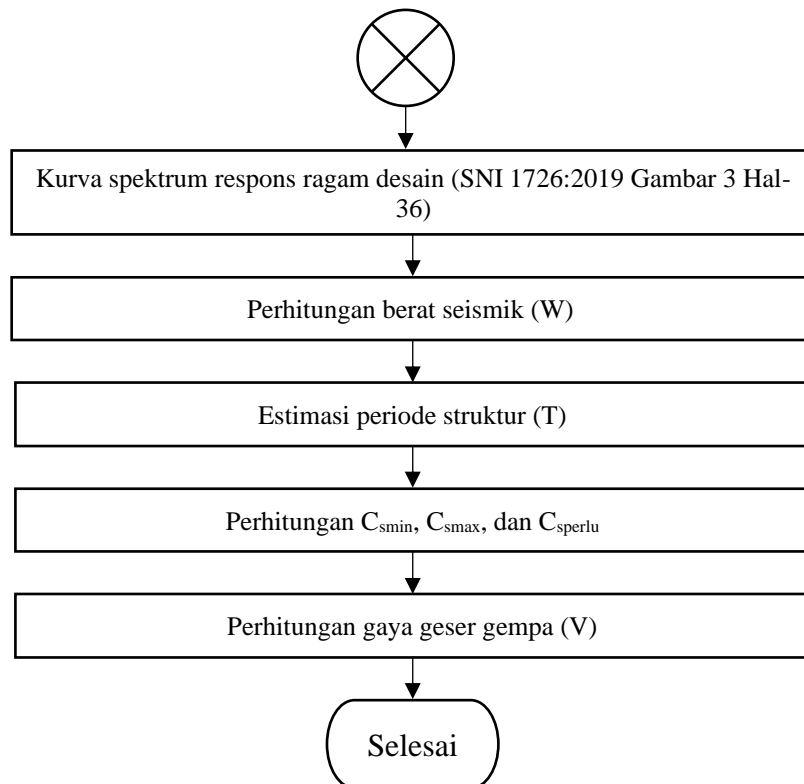
$$S_a = \frac{T_L \cdot S_{d1}}{T^2} \quad (3.15)$$

c. *Linear Time History (LTH)*

Menurut Lesmana (2020), metode *linear time history* merupakan metode analisa beban gempa dengan menggunakan rekaman gempa asli (*ground motion*) yang diperoleh secara langsung dari alat peredam gempa (*seismograph*). Metode ini diatur dalam SNI 1726:2019 Pasal 7.9.2 Hal-78. Berdasarkan SNI 1726:2019 Pasal 7.9.2.3 Hal-79 menysaratkan minimal pemakaian rekaman gempa asli (*ground motion*) minimal 3 dan tidak disebutkan untuk penggunaan maksimalnya.

Berikut merupakan diagram alir analisis perhitungan gaya gempa.





Gambar 3.7 Diagram Alir Analisis Gaya Geser Gempa (V) Sesuai SNI 1726:2019

(Sumber: Hasil Analisis Penulis, 2025)

3.4.4 Kombinasi beban

Menurut Badan Standarisasi Nasional (2020), kombinasi beban digunakan untuk memastikan bahwa struktur dapat menahan berbagai kombinasi pembebanan yang mungkin terjadi selama masa pakainya. Berdasarkan SNI 1726:2019 Pasal 7.5.3 gaya seismik untuk memikul kombinasi beban yang ditetapkan yaitu 100% gaya satu arah ditambah 30% gaya untuk arah tegak lurus.

a. Kombinasi beban dasar

- 1) 1,4D
- 2) 1,2D + 1,6 L + 0,5 (Lr atau S atau R)
- 3) 1,2D + 1,6 (Lr atau S atau R) + (L atau 0,5 W)
- 4) 1,2D + E + L + 0,5 (Lr atau S atau R)
- 5) 0,9D + E

b. Kombinasi yang digunakan

- 1) 1,4D
- 2) 1,2D + 1,6 L

3) $1,2D + E + L$

4) $0,9D + E$

Dikarenakan dalam perencanaan beban mati terbagi menjadi dua yaitu *Super Dead Load* (SDL) dan *Dead Load* (DL).

1) $1,4DL + 1,4 \text{SDL}$

2) $1,2D + 1,2 \text{SDL} + 1,6L$

3) $1,2D + 1,2 \text{SDL} + E + L$

4) $0,9D + 0,9 \text{SDL} + E$

c. Pengaruh beban gempa horizontal (E_h) dan vertikal (E_v)

Pada SNI 1726:2019 dijabarkan pengaruh beban gempa. Pengaruh beban gempa (E) pada kombinasi 3 harus ditentukan sesuai dengan persamaan sebagai berikut.

$$E = E_h + E_v \quad (3.16)$$

Sedangkan untuk kombinasi 4, beban gempa dijabarkan sebagai berikut.

$$E = E_h - E_v \quad (3.17)$$

$$E_h = \rho \times Q_E \quad (3.18)$$

$$E_v = 0,2S_{DS} \times D \quad (3.19)$$

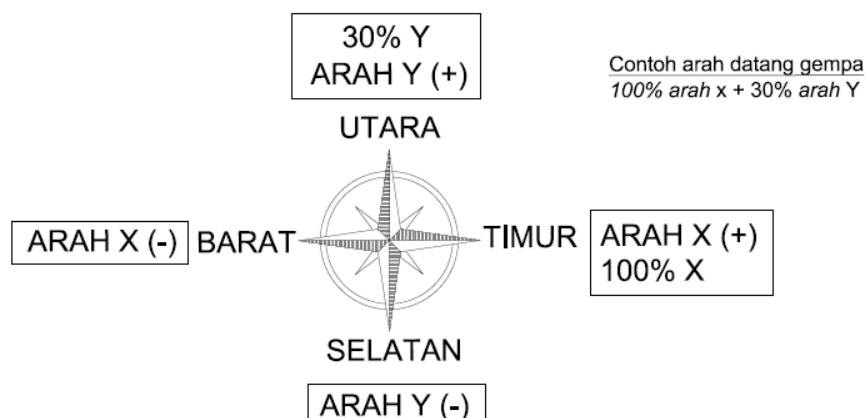
Keterangan:

ρ = faktor redundansi

Q_E = Pengaruh gaya gempa horizontal

S_{DS} = Parameter percepatan spektrum respons desain pada perioda pendek

d. Arah pembebanan



Gambar 3.8 Ilustrasi Arah Datang Gempa

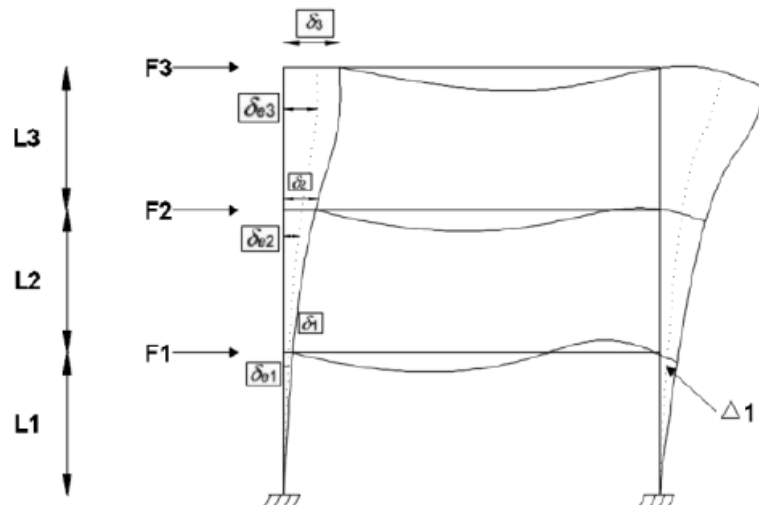
(Sumber : Hasil Analisis Penulis, 2025)

Berdasarkan gambar diatas maka kombinasi beban gempa dijabarkan menjadi:

- 1) $1,4DL + 1,4 \text{SDL}$
- 2) $1,2D + 1,2 \text{SDL} + 1,6L$
- 3) $(1,2 + 0,2S_{DS}) DL + (1,2 + 0,2S_{DS}) \text{SDL} + 1. \rho . Ex + 0,3. \rho . Ey + L$
- 4) $(1,2 + 0,2SDS) DL + (1,2 + 0,2SDS) \text{SDL} + 0,3. \rho . Ex + 1. \rho . Ey + L$
- 5) $(0,9 - 0,2SDS) DL + (0,9 - 0,2SDS) \text{SDL} + 1. \rho . Ex + 0,3. \rho . Ey$
- 6) $(0,9 - 0,2SDS) DL + (0,9 - 0,2SDS) \text{SDL} + 0,3. \rho . Ex + 1. \rho . Ey$

3.5 Simpangan Antar Tingkat

Simpangan antar tingkat merupakan perpindahan horizontal di bagian atas tingkat yang ditinjau relatif terhadap bagian bawahnya. Simpangan antar tingkat diatur dalam SNI 1726:2019 Pasal 7.8.6 Hal-75.



Gambar 3.9 Simpangan Antar Lantai

(Sumber : SNI 1726, 2019)

Untuk menghitung simpangan antar tingkat menggunakan rumus berikut:

$$\Delta = \frac{Cd \times \delta ex}{Ie} \quad (3.20)$$

dimana:

Cd = faktor pembesaran simpangan lateral

δex = simpangan di tingkat-x yang disyaratkan pada pasal ini, yang ditentukan dengan analisis elastik

Ie = faktor keutamaan gempa

3.5 Pelat

Pelat lantai merupakan struktur dengan bidang permukaan yang lurus, datar dan tebalnya lebih kecil dibandingkan struktur lainnya yang berfungsi untuk menerima beban yang akan disalurkan ke struktur lainnya (Zebua, 2018). Pelat lantai diberi tulangan baja dengan posisi melintang dan memanjang yang diikat dengan kawat bendar serta tidak menempel pada permukaan pelat bagian bawah maupun atas.

Secara umum pelat lantai dibagi menjadi dua tipe yaitu pelat satu arah (*one way*) dan pelat dua arah. Pelat satu arah merupakan jenis pelat yang mengalami lendutan pada satu arah sumbunya, sebaliknya, pelat dua arah merupakan pelat yang mengalami lendutan pada kedua arah sumbunya. Ketentuan pelat satu arah diatur pada SNI 2847:2019 Pasal 7 Hal-119, sedangkan pelat dua arah diatur dalam SNI 2847:2019 Pasal 8 Hal-131.

Dalam meninjau syarat kuat lentur, pelat dalam ketebalan tertentu diharuskan memikul momen terfaktor yang terjadi dengan pendekatan faktor tahanan (R_n). Berikut hubungan persamaan R_n dan M_n .

$$M_n = \frac{Mu}{\phi} = R_n \cdot b \cdot d^2 \quad (3.21)$$

Dimana:

M_n = Momen nominal pelat (Nmm)

M_u = Momen terfaktor pelat (Nmm)

b = Lebar pelat ($b = 1000$ mm)

d = Tinggi efektif pelat (mm)

Dalam SNI 2847:2019 Tabel 8.6.1.1 mengatur luasan minimum tulangan lentur pelat nonprategang.

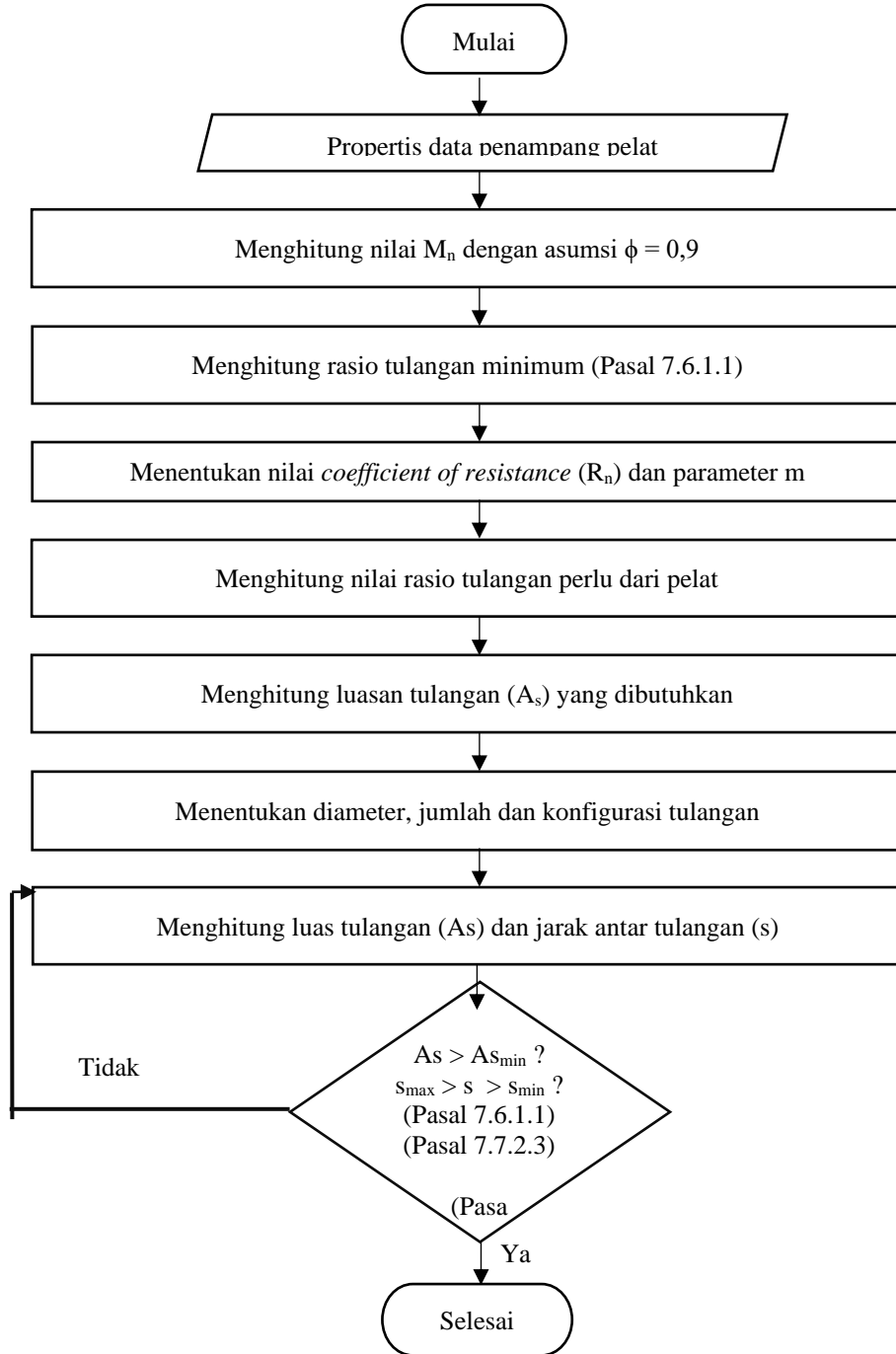
$$A_g = b \times h \quad (3.22)$$

dimana:

b = Lebar pelat per satuan meter ($b = 1000$ mm)

h = Tebal pelat (mm)

Berikut diagram alir prosedur desain tulangan lentur pelat.



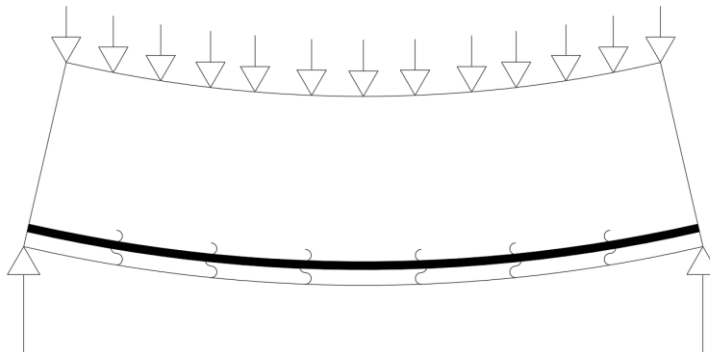
Gambar 3.10 Diagram Alir Prosedur Desain Tulangan Lentur Pelat

(Sumber: Hasil Analisis Penulis, 2025)

3.7 Balok

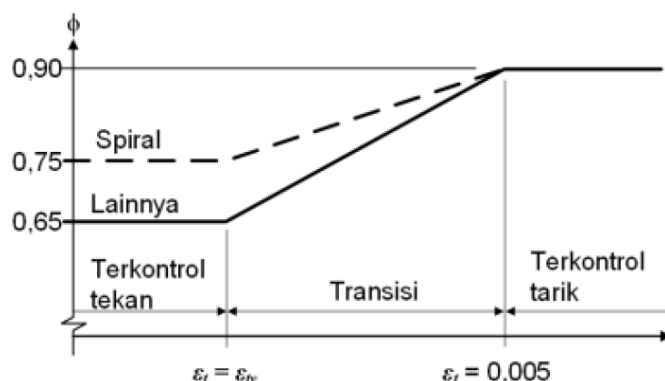
Balok merupakan salah satu elemen utama penyusun struktur gedung yang umumnya terpasang secara horizontal atau lateral (Lesmana, 2020). Fungsi utama

balok yaitu menyalurkan beban kedalam elemen kolom berupa gaya dan momen. Terdapat beberapa gaya dan momen yang terjadi pada balok yaitu gaya aksial, gaya geser, momen torsi dan momen lentur.



Gambar 3.11 Lentur Pada Balok Beton Bertulang

(Sumber: Hasil Analisis Penulis, 2025)

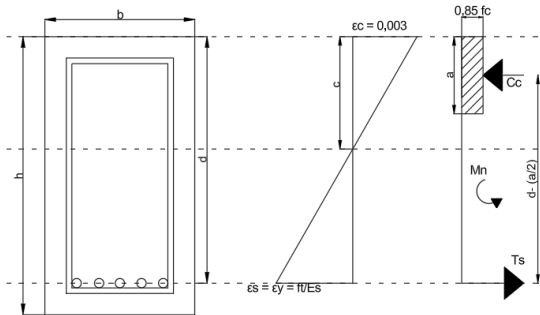


Gambar 3.12 Variasi nilai faktor reduksi (ϕ) sesuai kategori penampang

((Sumber : SNI 2847:2019 Gambar R21.2.2b))

Dalam tahap menghitung parameter ϵ_t , dapat juga digunakan c/d_t , untuk memastikan bahwa penampang dapat terjaga dalam kondisi tarik, regangan pada tulangan tarik perlu mencapai angka 0,005 dan regangan pada beton harus berada di angka 0,003 (Lesmana, 2020). Dengan menggunakan persamaan segitiga sebangun, maka didapatkan:

$$\frac{c}{d_t} = \frac{\epsilon_{cu}}{\epsilon_t + \epsilon_{cu}} = \frac{0,003}{0,005 + 0,003} = 0,375$$



Gambar 3.13 Diagram Tegangan Regangan Balok Tulangan Tunggal

(Sumber: Hasil Analisis Penulis, 2025)

Lesmana (2020), berdasarkan diagram tegangan dan regangan balok didapatkan persamaan untuk mendapatkan nilai momen nominal balok (M_n) adalah

$$M_n = T(d - a/2) = C(d - a/2) \quad (3.23)$$

Gaya tekan (C) pada penampang adalah

$$C = 0,85 x f'c x b x \beta I x c \quad (3.24)$$

Berdasarkan SNI 2847:2019 Hal. 478, nilai β dipengaruhi oleh nilai $f'c$:

- a. Jika $17 \text{ Mpa} \leq f'c \leq 28 \text{ Mpa}$, maka nilai β diambil sebesar 0,85
- b. Jika $28 \text{ Mpa} < f'c \leq 55 \text{ Mpa}$, maka nilai β diambil sebesar $0,85 - (f'c - 28)/7$
- c. Jika $55 \text{ Mpa} < f'c$, maka nilai β diambil sebesar 0,65

Gaya tarik (T) pada tulangan baja adalah

$$T = As x f_y = \rho x b x d x f_y \quad (3.25)$$

Karena nilai $C = T$, maka

$$0,85 x f'c x b x \beta I x c = \rho x b x d x f_y \quad (3.26)$$

$$a = \beta I x c \quad (3.27)$$

$$0,85 x f'c x b x a = \rho x b x d x f_y \quad (3.28)$$

Nilai tinggi blok tekan (a) adalah

$$a = \rho \frac{f_y}{0,85 x f'c} x d \quad (3.29)$$

Jika persamaan 3.28 disubstitusikan kedalam persamaan 3.22, maka rumus momen nominal menjadi

$$M_n = \rho b d x f_y (d - \rho \frac{f_y}{0,85 x f'c} x d) = \rho b d^2 x f_y (1 - \rho m/2) \quad (3.30)$$

$$m = \frac{f_y}{0,85 x f'c} \quad (3.31)$$

Persamaan 3.9 jika dibagi dengan bd^2 akan menghasilkan parameter koefisien resistansi (R_n)

$$R_n = \frac{Mn}{bd^2} = \rho x f_y (1 - \rho m/2) \quad (3.32)$$

Sehingga persamaan rasio tulangan bisa didapatkan sebagai berikut

$$\rho = \frac{I}{m} \left(1 - \sqrt{\frac{I}{I} - \frac{2xm \times R_n}{f_y}} \right) \quad (3.33)$$

Pada SNI 2849:2019 Pasal 9.6.1.2 mengatur bahwa rasio tulangan minimal pada elemen lentur balok diambil terbesar dari dua persamaan berikut ini

$$\rho_{min} = \frac{0,25\sqrt{f'_c}}{f_y} \quad (3.34)$$

$$\rho_{min} = \frac{1,4}{f_y} \quad (3.35)$$

Sedangkan rasio tulangan seimbang adalah

$$\rho b = \frac{0,85 \times f'_c \times \beta_1}{f_y} \frac{\varepsilon_{cu}}{f_y/E_s + \varepsilon_{cu}} \quad (3.36)$$

Demi menjamin penampang terkontrol tarik, maka rasio tulangan yang digunakan harus dibawah rasio tulangan seimbang. Kategori penampang juga bisa diperiksa melalui regangan tulangan tarik yang terjadi (ε_t)

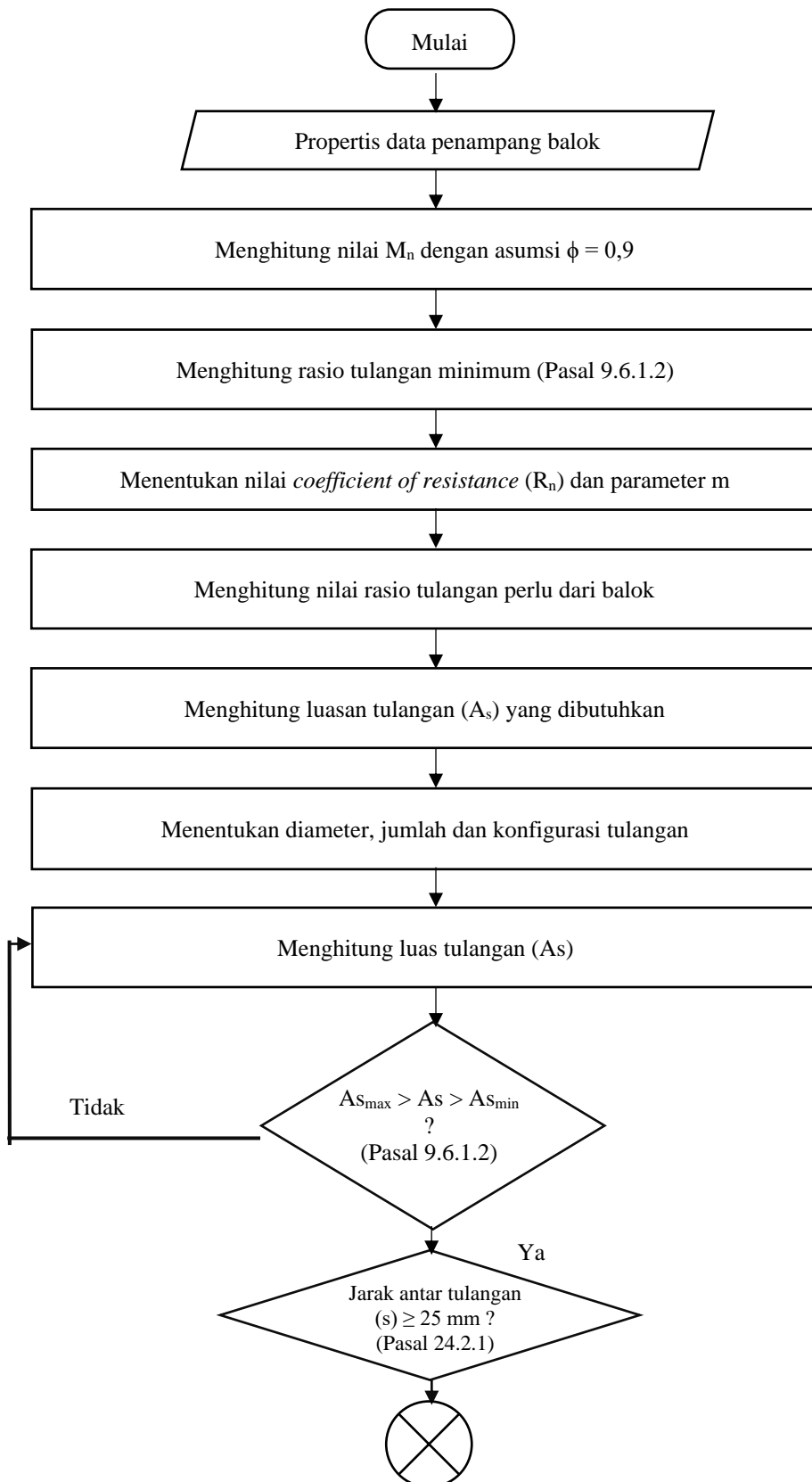
$$\varepsilon_t = 0,003 \frac{(d_t - c)}{c} \quad (3.37)$$

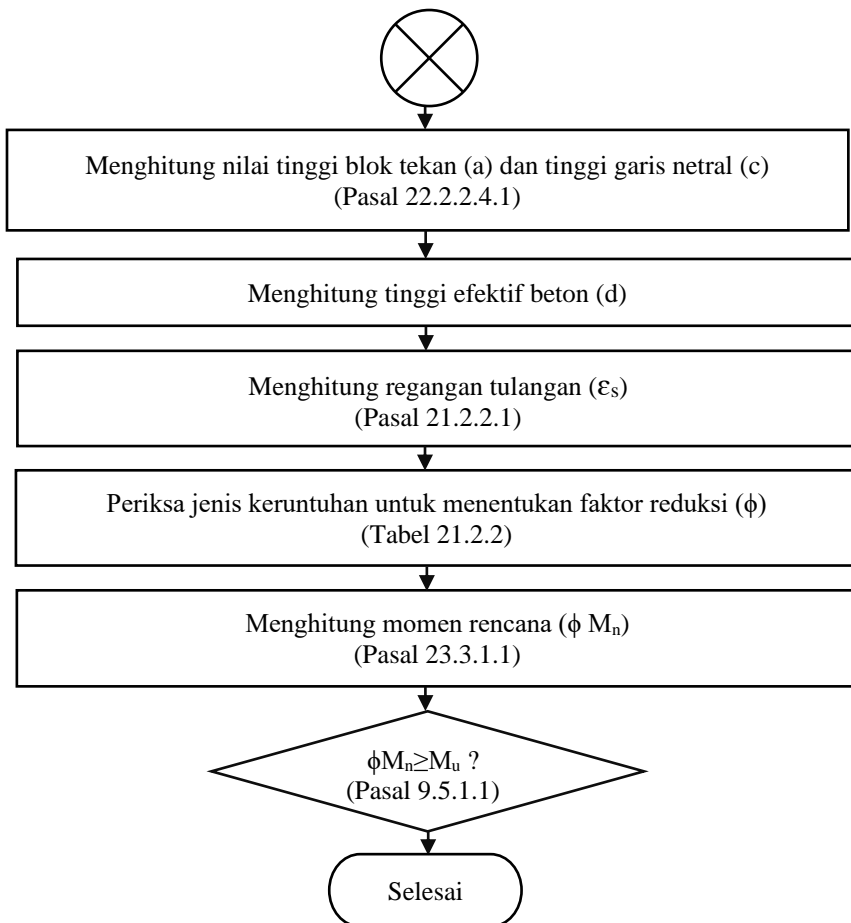
Jika $\varepsilon_t \geq 0,005$ maka balok tergolong terkontrol tarik, bila $\varepsilon_t < 0,002$ maka balok tergolong terkontrol tekan dan diantara kedua itu balok tergolong transisi.

Keterangan:

- a : Tinggi blok tekan beton (mm).
- d : Tinggi efektif balok (mm).
- b : Lebar balok (mm).
- f'_c : Kuat tekan beton (Mpa).
- A_s : Luas tulangan (mm²).
- f_y : Kuat leleh tulangan (Mpa).
- β_1 : Koefisien reduksi tinggi garis netral.
- ρ : Rasio tulangan.
- ε_s : Regangan tulangan baja.
- ε_{cu} : Regangan penampang beton.

Prosedur desain tulangan longitudinal pada balok berdasarkan SNI 2847:2019, dapat dilihat pada diagram alir berikut ini.

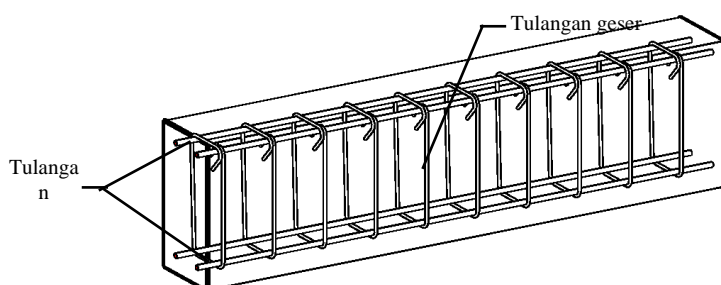




Gambar 3.14 Diagram Alir Prosedur Desain Tulangan Lentur Balok

(Sumber : Hasil Analisis Penulis, 2025)

Selain momen lentur yang perlu ditahan oleh balok, ada gaya geser yang dapat menyebabkan patahan pada balok. Bentuk dan ukuran dari retakan yang muncul dapat ditangani dengan menambahkan tulangan geser pada balok, yang biasanya dipasang tegak lurus terhadap tulangan lenturnya (Lesmana, 2020)



Gambar 3.15 Sengkang Pada Balok

(Sumber : Hasil Analisis Penulis, 2025)

Berdasarkan SNI 2847:2019 Pasal 22.5.1.1 persamaan untuk kuat geser nominal (V_n) adalah:

$$V_n = V_c + V_s \quad (3.38)$$

Dimana nilai kuat geser beton (V_c) didapatkan dari persamaan

$$V_c = 0,17 x \lambda x \sqrt{f'_c} x b x d \quad (3.39)$$

Pemeriksaan dimensi penampang beton apakah mampu untuk memikul beban geser melalui persamaan

$$V_u \leq \phi (V_c + 0,66 x \sqrt{f'_c} x b x d) \quad (3.40)$$

Pada proses desain, kebutuhan tulangan geser didasarkan pada nilai geser *ultimate* terhadap nilai geser beton (ϕV_c).

- a. Kategori C ($V_u \leq 0,5 \phi V_c$), pada kondisi ini secara teoritis balok tidak memerlukan tulangan geser.
- b. Kategori B ($0,5 \phi V_c \leq V_u \leq \phi V_c$), pada kondisi dapat digunakan tulangan geser minimum, nilai A_v min harus lebih besar dari persamaan berikut ini (Pasal 9.6.3.3)

$$A_v \text{ min} = 0,062 \sqrt{f'_c} b.s / f_{yt} \quad (3.41)$$

$$A_v \text{ min} = 0,35 b.s / f_{yt} \quad (3.42)$$

- c. Kategori A ($\phi V_c < V_u$), pada kondisi ini nilai V_s dan A_v minimum diperoleh dari persamaan berikut ini (Pasal 22.5.10.1 dan Pasal 22.5.10.5.3)

$$V_s = (V_u - \phi V_c) / \phi \quad (3.43)$$

$$A_v = (V_s . s) / (f_{yt} . d) \quad (3.44)$$

Spasi (s) maksimum tulangan geser ditentukan berdasarkan tabel berikut ini

Tabel 3.4 Spasi Maksimum Tulangan Geser Balok

Vs	Maksimum s (mm)
$\leq 0,33.b.d.\sqrt{f'_c}$	Terkecil dari
	d/2 600
$\geq 0,33.b.d.\sqrt{f'_c}$	Terkecil dari
	d/4 300

(Sumber : SNI 2847:2019, Tabel 9.7.6.2.2)

Dengan catatan bahwa nilai faktor reduksi (ϕ) kuat geser pada beton adalah sebesar 0,75 (Pasal 21.2.1).

Keterangan :

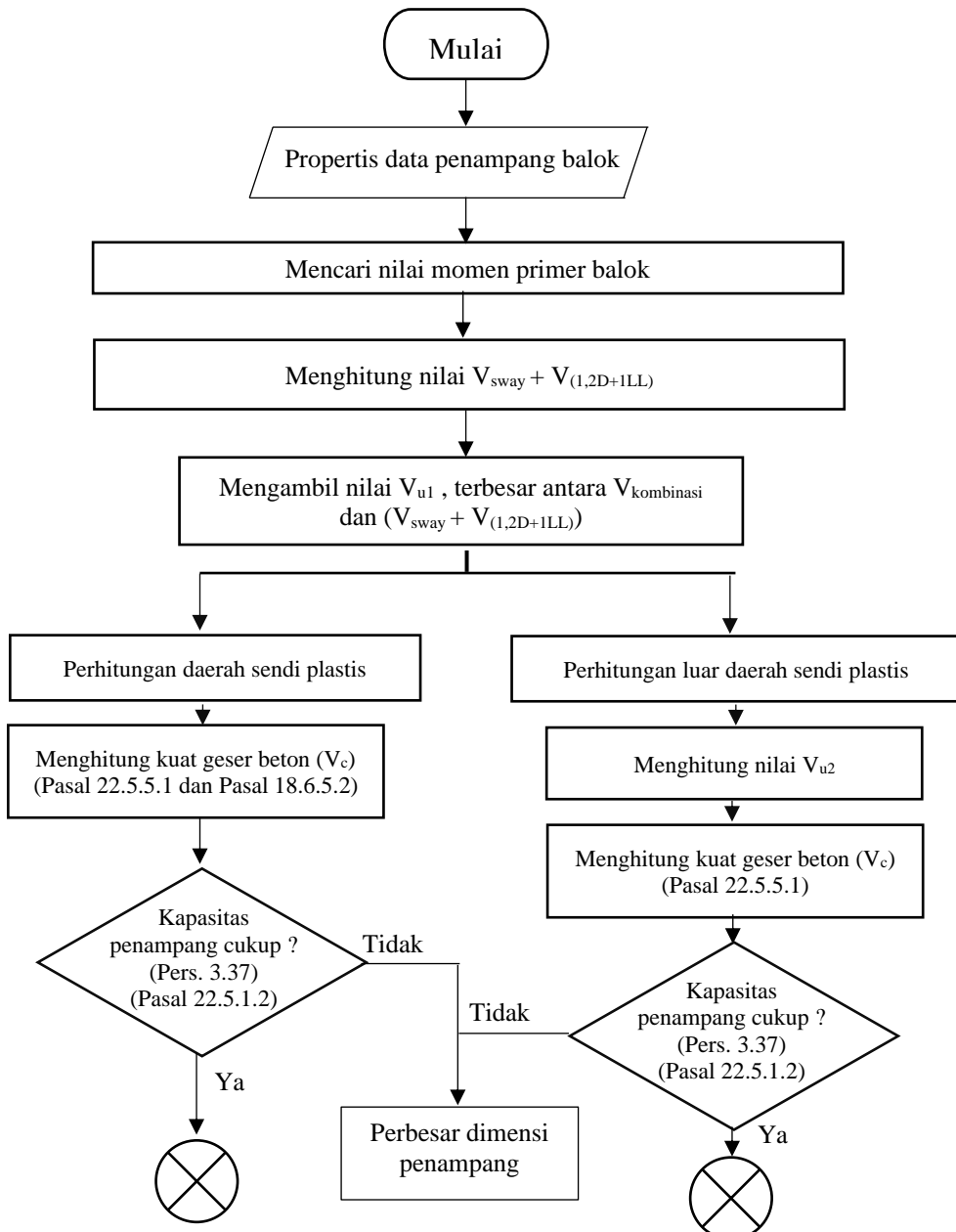
V_u : Gaya geser *ultimate* (kN).

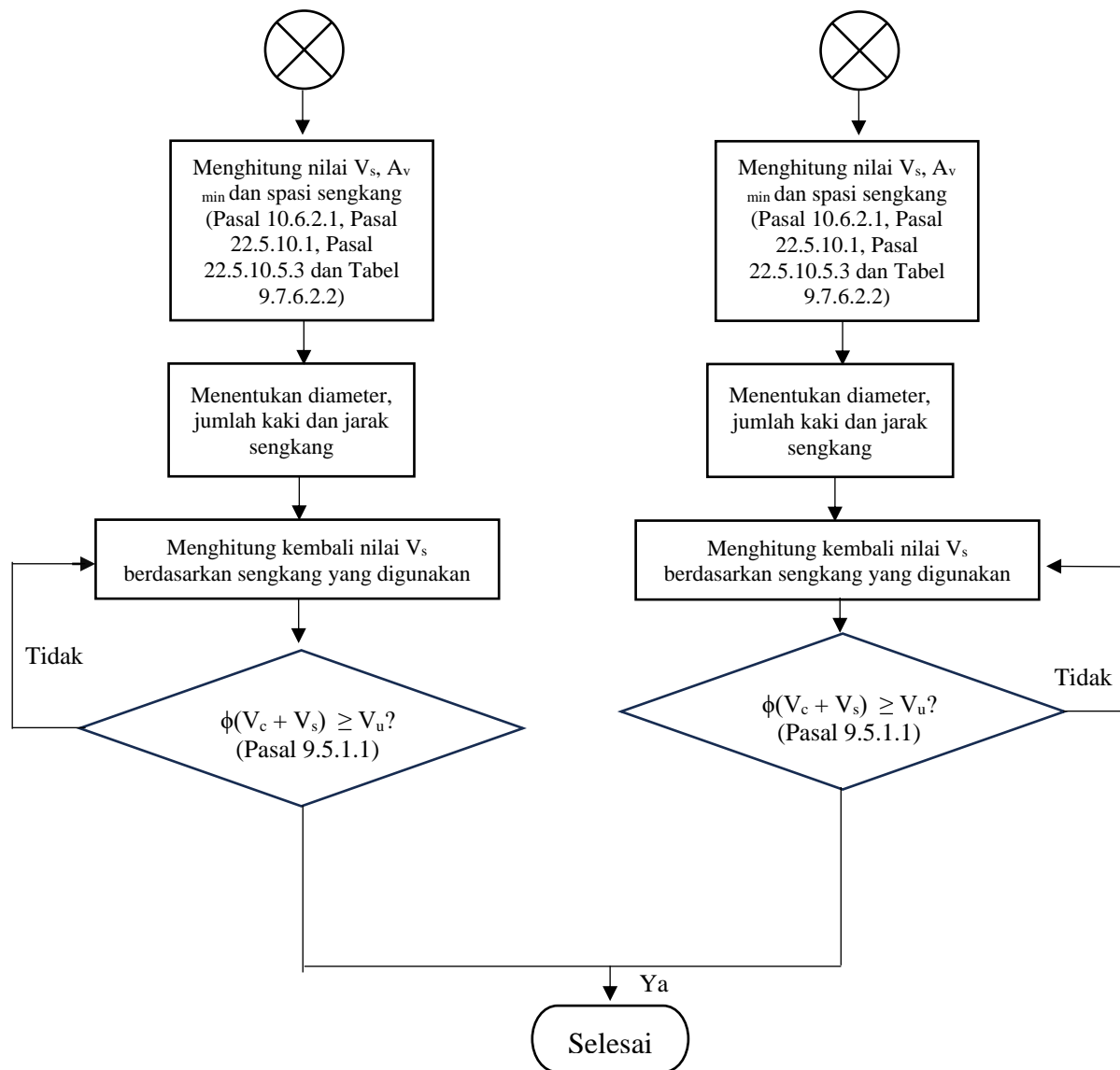
V_c : Kuat geser beton (kN).

V_s : Kuat geser tulangan geser (kN).

- b : lebar penampang beton (mm).
 d : Tinggi efektif penampang beton (mm).
 s : Spasi tulangan geser (mm).
 fyt : Kuat leleh tulangan geser (Mpa).
 Av : Luas tulangan geser (mm²).
 λ : Koefisien faktor modifikasi beton (pada beton normal diambil sebesar 1).

Prosedur desain tulangan transversal (sengkang) pada balok berdasarkan SNI 2847:2019, dapat dilihat pada diagram alir berikut ini.

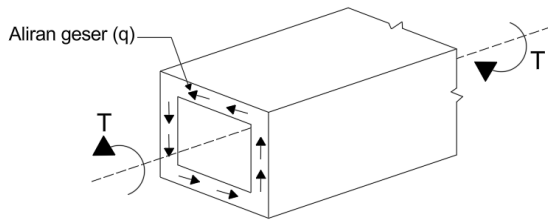




Gambar 3.16 Diagram Alir Prosedur Desain Tulangan Sengkang Balok

(Sumber : Hasil Analisis Penulis, 2025)

Torsi yang terjadi pada balok merupakan momen yang berputar di sumbu longitudinal balok, sehingga menyebabkan balok itu berputar. Umumnya, momen torsi muncul pada balok yang hanya menerima beban di salah satu sisi, sementara sisi lainnya tidak terbebani. Contoh kasus yang sering terlihat adalah pada balok tepi.



Gambar 3.17 Gaya Torsi Pada Balok

(Sumber : SNI 2847:2019, Gambar 22.7)

Karena torsi dalam balok melibatkan kombinasi geser dan torsi, perencanaan untuk tulangan torsi perlu mencakup tulangan transvers dan longitudinal. Biasanya, pengaruh torsi diatur dalam SNI 2847:2019 Pasal 22.7.1, di mana pengaruh torsi pada balok dapat diabaikan apabila nilai torsi pada balok melebihi torsi ultimate ($\phi T_n \geq Tu$) (Lesmana, 2020). Nilai torsi nominal (T_n) didapatkan berdasarkan persamaan berikut ini.

Torsi statis tertentu (torsi kesetimbangan)

$$T_n = 0,083 x \lambda x \sqrt{f'c} x (Acp^2/Pcp) \quad (3.45)$$

$$Acp = b x h \quad (3.46)$$

$$Pcp = 2 (b + h) \quad (3.47)$$

Penampang balok harus dipastikan mampu memikul torsi melalui persamaan berikut ini

$$\sqrt{\left(\frac{Vu}{b.d}\right)^2 + \left(\frac{Tu.Ph}{1,7Aoh^2}\right)^2} \leq 0,75 \left(\frac{Vc}{b.d} + 0,66\sqrt{f'c}\right) \quad (3.48)$$

$$Aoh = (b - 2 x ts) x (h - 2 x ts) \quad (3.49)$$

$$Ph = 2 ((b - 2 x ts) + (h - 2 x ts)) \quad (3.50)$$

Karena torsi pada balok mempengaruhi tulangan geser dan longitudinal, maka luasan tulangan geser (At) dan longitudinal (Al) akibat pengaruh torsi ditentukan melalui persamaan berikut ini ($\phi = 0,75$)

$$At = \frac{Tu x s}{\phi x 2 x Ao x fyt} \tan 45^\circ \quad (3.51)$$

$$Al = \frac{Tu x Ph}{\phi x 2 x Ao x fyt} \cot 45^\circ \quad (3.52)$$

$$Ao = 0,85 Aoh \quad (3.53)$$

Jika luasan yang dihitung lebih besar dari luasan sebelumnya, maka perlu adanya penyesuaian luas tulangan yang baru. Setelah didapatkan luasan tulangan geser dan longitudinal yang baru, untuk memastikan bahwa luasan tersebut mampu memikul momen torsi pada balok perlu diperiksa melalui persamaan berikut ini

$$Tn \text{ (geser)} = \phi \frac{2 \times A_o \times A_t \times f_y}{s} \cot 45^\circ \geq Tu \quad (3.54)$$

$$Tn \text{ (longitudinal)} = \phi \frac{2 \times A_o \times A_t \times f_y}{P_h} \tan 45^\circ \geq Tu \quad (3.55)$$

Keterangan :

Tn : Momen torsi nominal (kNm)

Tu : Momen torsi *ultimate* (kNm)

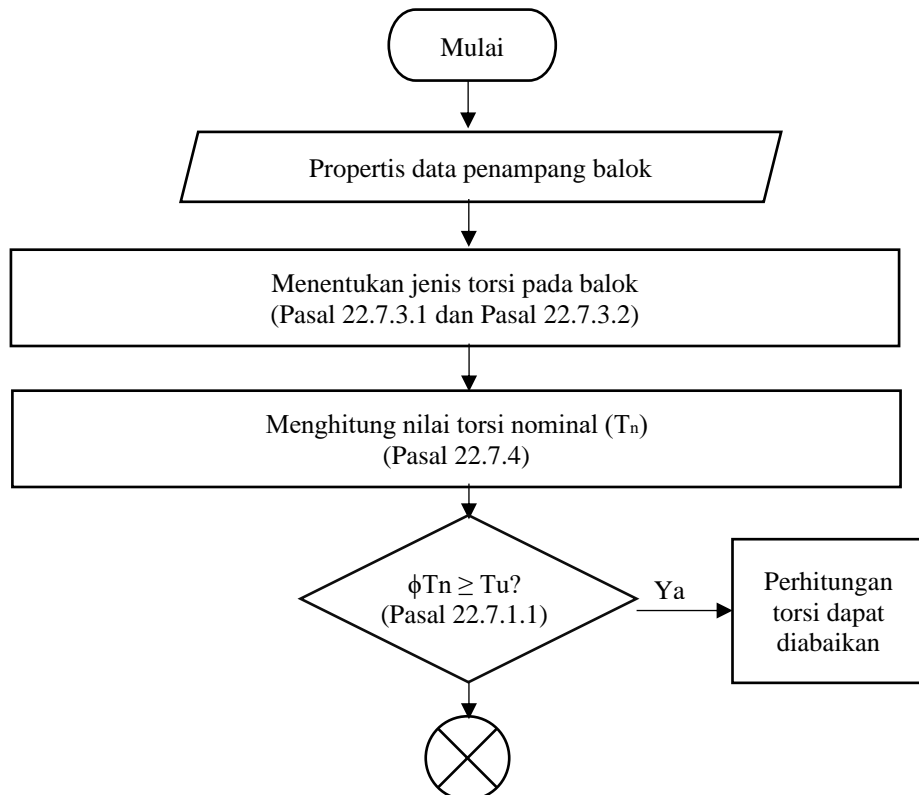
Acp : Luas penampang balok (mm^2).

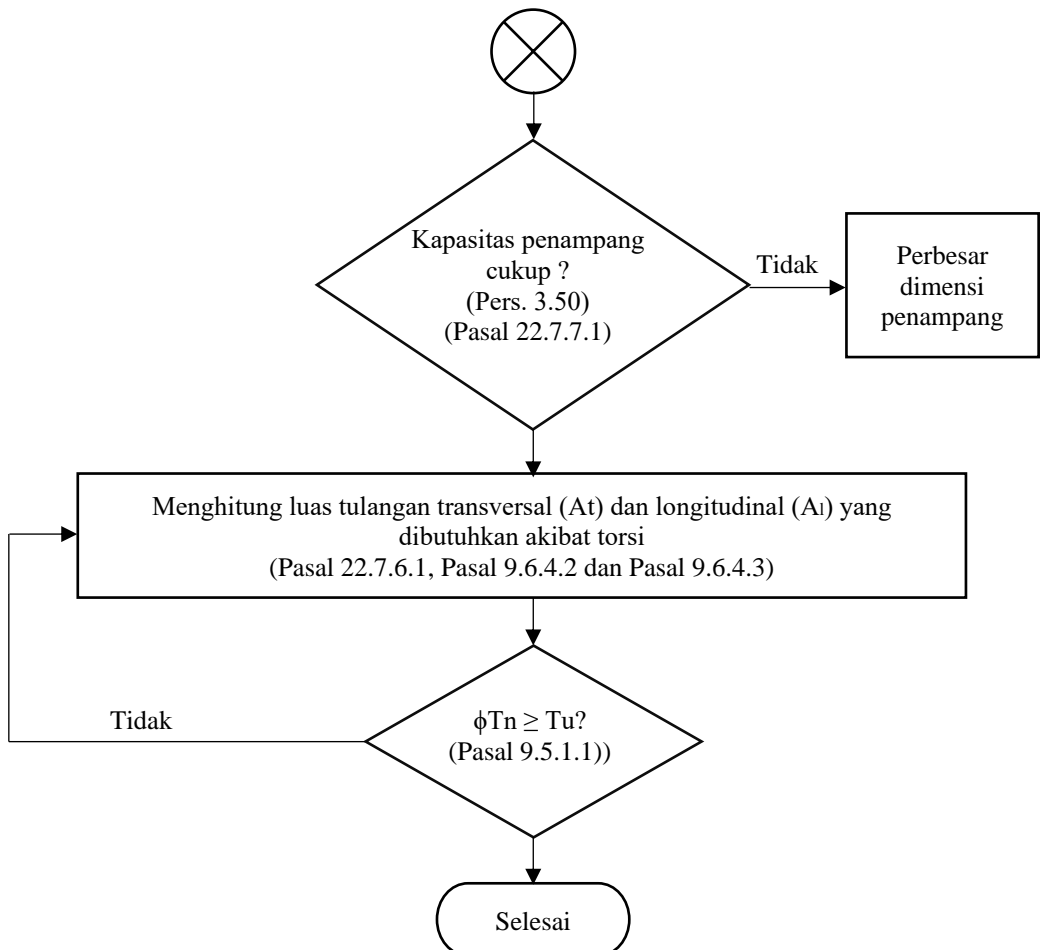
Pcp : Keliling penampang balok (mm).

Aoh : Keliling penampang balok dengan as sengkang (mm).

Ph : Luas penampang balok dengan as sengkang (mm^2).

Prosedur desain tulangan torsi pada balok berdasarkan SNI 2847:2019, dapat dilihat pada diagram alir berikut ini.





Gambar 3.18 Diagram Alir Prosedur Desain Tulangan Torsi Balok

(Sumber : Hasil Analisis Penulis, 2024)

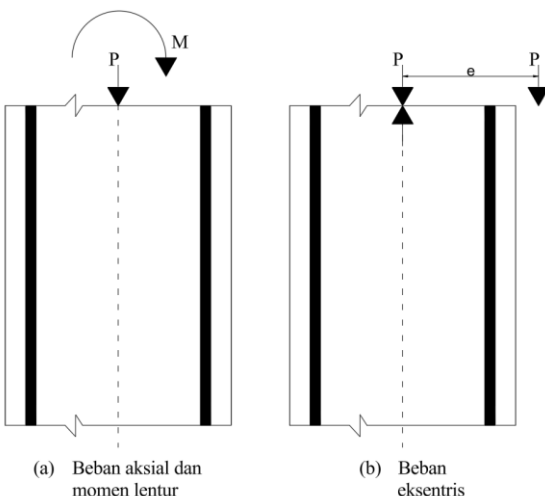
3.8 Kolom

Kolom merupakan elemen struktur utama yang memikul beban kombinasi aksial tekan dan momen lentur (Lesmana, 2020). Kolom juga merupakan elemen struktur yang berperan memikul beban lateral pada struktur gedung. Perencanaan elemen struktur kolom diatur dalam SNI 2847:2019 Pasal 10 Hal-211 dan Pasal 18.7 Hal-384.

Berdasarkan kelangsingannya, kolom dikelompokkan menjadi dua jenis, yaitu kolom pendek dan kolom langsing. Perbedaan mendasar dari kedua jenis kolom terletak berdasarkan jenis kerutuhannya. Kolom pendek tergolong keruntuhan material, dimana kolom tersebut hancur akibat beban yang dipikul melebihi dari kekuatan material penyusunnya. Kolom panjang tergolong keruntuhan tekuk, dimana kolom tersebut hancur akibat penampang kolom yang terlalu langsing

sehingga ketika menerima beban aksial tekan lalu mengalami tekuk meskipun belum mencapai batas kekuatan materialnya.

Kolom juga dibedakan menjadi dua akibat sistem struktur dan tipe pembebanan, yaitu kolom tak bergoyang dan kolom bergoyang. Kolom tak bergoyang terjadi pada struktur yang mengalami beban gravitasi yang simetris, sehingga kolom tidak mengalami perpindahan secara lateral. Kolom bergoyang terjadi pada struktur yang mengalami beban gravitasi yang tidak simetris, sehingga membuat kolom mengalami perpindahan lateral (bergoyang).



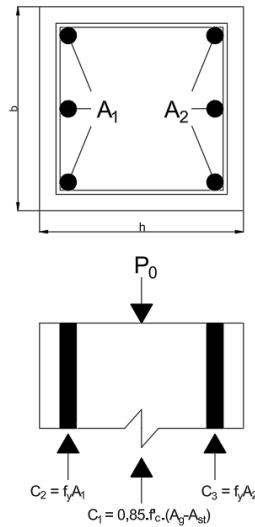
Gambar 3.19. (a) Beban aksial dan momen lentur (b) Beban eksenstris

(Sumber: Lesmana, 2020)

Keadaan beban aksial yang bekerja pada kolom, dibedakan menjadi 5 kondisi yaitu, beban aksial sentris, beton tekan menentukan, seimbang, tulangan tarik menentukan, dan beban $P = 0$.

a. Kondisi beban sentris

Pada kondisi ini beban bekerja pada sumbu (as) longitudinal kolom, sehingga beton maupun baja tulangan semuanya menahan beban tekan. Kekuatan penampang kolom dianggap semua baja tulangan sudah mencapai leleh dan regangan tekan beton sudah mencapai batas maksimum.



Gambar 3.20. Beban Terkonsentrasi

(Sumber: Lesmana, 2020)

$$P_0 = 0,85f'_c(A_g - A_{st}) + A_{sfy} \quad (3.56)$$

Keterangan:

A_g : Luasan penampang kolom

A_{st} : Luasan tulangan longitudinal (memanjang) kolom.

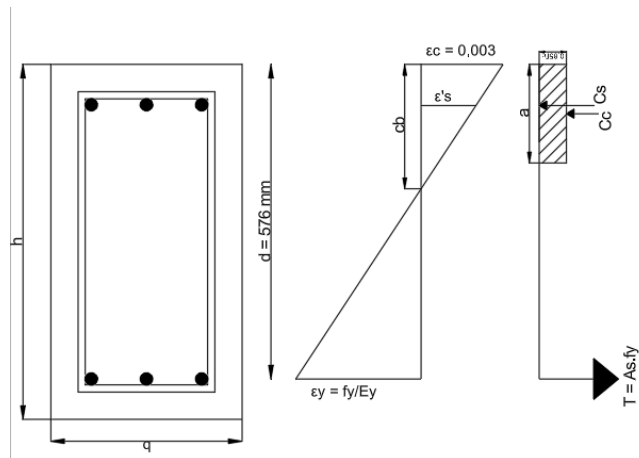
Berdasarkan SNI 2847:2019 Tabel 22.4.2.1 Hal-481, kuat nominal yang digunakan dalam desain tidak boleh melebihi $0,8P_0$.

b. Kondisi beton tekan menentukan

Pada kondisi ini kolom terjadi sedikit beban tarik sehingga sebagian baja tulangan tarik belum leleh sedangkan sebagian tetap menahan beban tekan yang cukup besar. Pada sedikit tulangan baja yang terkena tarik belum mengalami leleh, tulangan baja yang mengalami tekan sudah leleh, dan regangan tekan beton telah mencapai batas ultimitnya.

c. Kondisi seimbang

Pada kondisi ini, penampang kolom dalam keadaan seimbang, maka tulangan tarik mengalami kelebihan bersamaan dengan regangan tekan beton mencapai batas ultimitnya.



Gambar 3.21. Kondisi Regangan Berimbang Untuk Penampang Persegi

(Sumber: Lesmana, 2020)

Sehingga persamaan C_c , T , C_s , dan P_b , sebagai berikut.

$$C_c = 0,85 \cdot f' \cdot c \cdot c_b \cdot \beta_1 \cdot b \quad (3.57)$$

$$T_s = A_s \cdot f_y \quad (3.58)$$

$$C_s = A'_s (f_y - 0,85 f_{c'}) \quad (3.59)$$

$$P_b = 0,85 \cdot f' \cdot c \cdot c_b \cdot \beta_1 \cdot b + A_s' (f_y - 0,85 f_{c'}) - A_s f_y \quad (3.60)$$

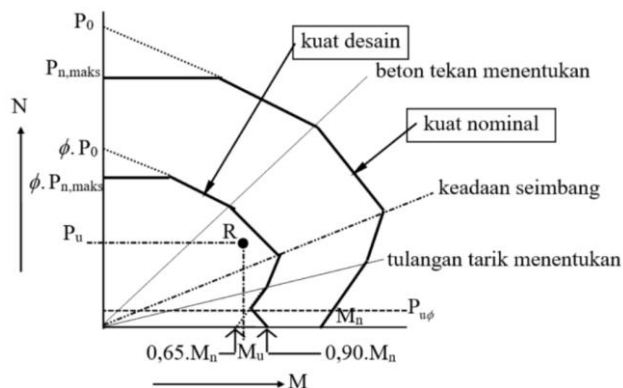
d. Kondisi tulangan tarik menentukan

Pada kondisi ini luas penampang beton tekan semakin kecil, sehingga regangan tekan beton juga semakin kecil. Namun sebaliknya, luas penampang tarik semakin besar, sehingga regangan tulangan tarik melebihi batas leleh.

e. Kondisi beban $P = 0$

Pada kondisi ini beban aksial $P=0$ yang berarti kolom hanya menahan momen lentur. Karena hanya menahan momen lentur, maka kolom tersebut dihitung seperti balok biasa.

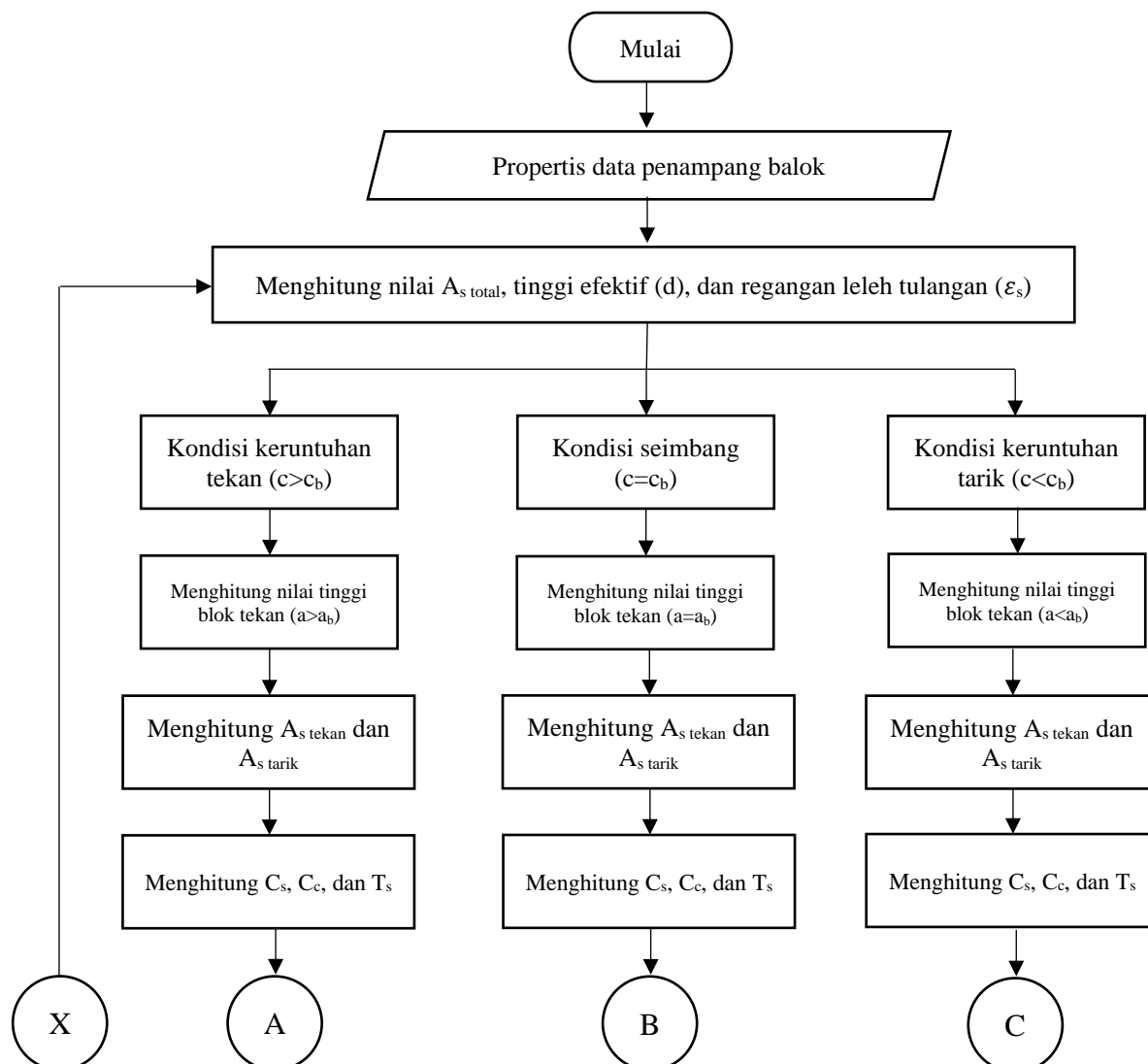
Interaksi dari beban aksial tekan (P) dan momen lentur (M) diwujudkan dalam sebuah kurva yang dikenal sebagai diagram interaksi P - M (aksial momen) kolom. Manfaat dari diagram interaksi yaitu dapat memberikan gambaran tentang kekuatan dari kolom

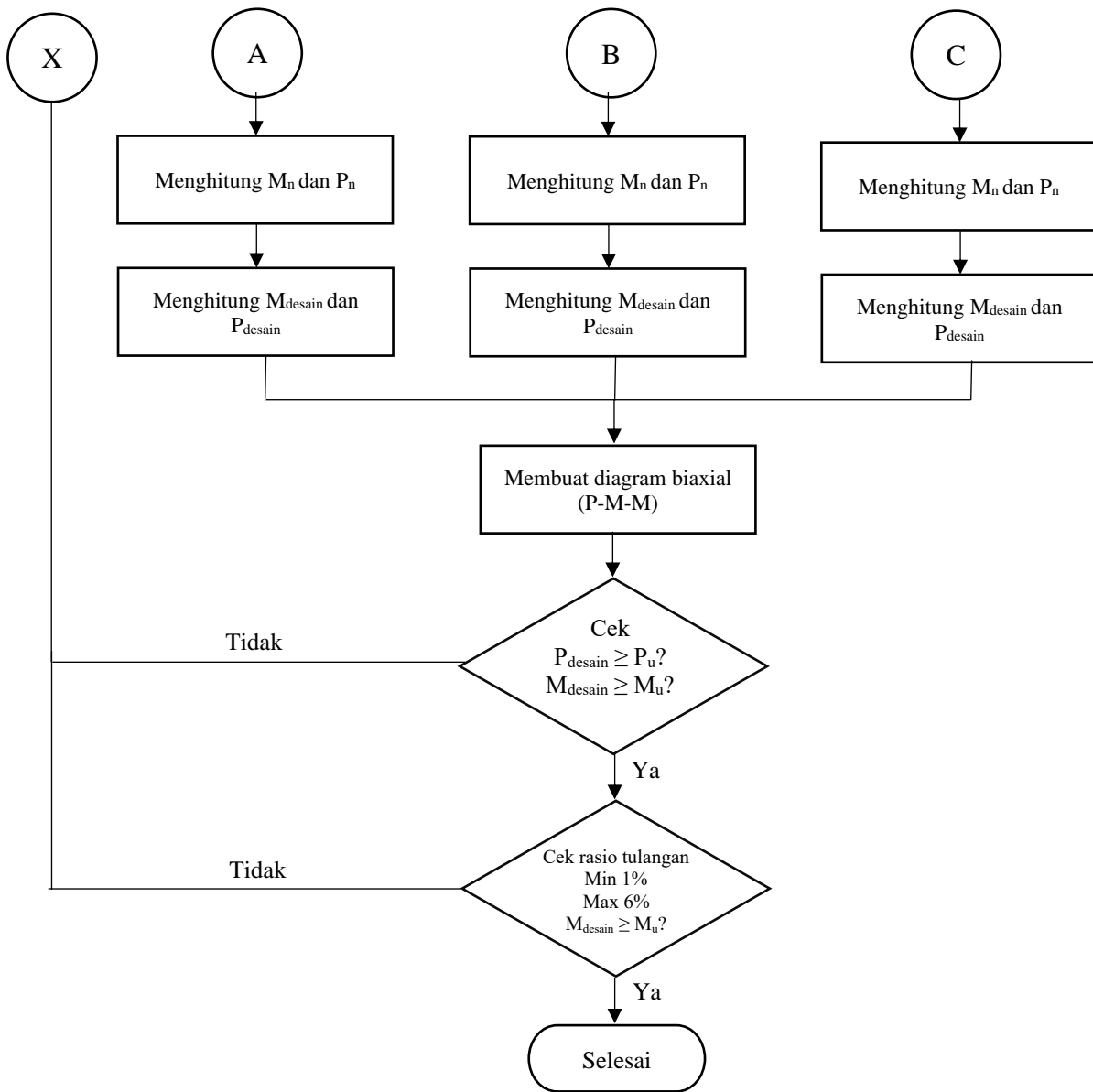


Gambar 3.22. Diagram Interaksi Kolom

(Ir Ali Asroni, n.d.)

Langkah desain tulangan longitudinal pada kolom dapat dilihat pada diagram alir berikut ini.





Gambar 3.23. Diagram Alir Prosedur Desain Tulangan Lentur Kolom

(Sumber: Hasil Analisis Penulis, 2025)

Dalam mendesain kapasitas kolom, perlu menerapkan konsep *strong column-weak beam* yakni konsep desain struktur dengan menjamin kekuatan kolom lebih besar dibandingkan kekuatan balok. Tujuan konsep ini yaitu saat terjadi beban bolak-balik gempa, sendi plastis yang pertama kali muncul harus pada komponen struktur balok, kemudian selanjutnya muncul pada komponen struktur kolom.

$$\sum M_{nc} \geq 1,2 \sum M_{nb} \quad (3.61)$$

Dalam mendesain tulangan geser pada kolom sama halnya dengan yang telah dijelaskan pada konsep geser balok. Hal yang menjadi perbedaan adalah besaran

nilai kuat geser yang berasal dari material beton yaitu V_c . Berdasarkan SNI 2847:2019 Pasal 22.5.6.1 Hal-486, persamaan V_c untuk elemen kolom adalah

$$V_c = 0,17 \left(I + \frac{N_u}{14.A_g} \right) \lambda \cdot \sqrt{f'_c} \cdot b_w \cdot d \quad (3.62)$$

Dimana:

N_u : Gaya aksial terfaktor

A_g : Luas penampang kolom

λ : 1,0 (beton normal)

d : tinggi efektif

Berdasarkan SNI 2847:2019 pasal 18.7.6.1.1, dijelaskan bahwa gaya geser desain V_e perlu ditentukan melalui analisis terhadap gaya maksimum yang mungkin timbul di area joint di setiap sisi kolom. Gaya-gaya di joint ini harus dihitung dengan memanfaatkan kekuatan lentur maksimum yang mungkin ada, M_{pr} , di setiap sisi kolom yang berhubungan dengan beban aksial terfaktor, P_u , yang diterapkan pada kolom. Gaya geser kolom tersebut tidak boleh melebihi nilai geser yang dihitung berdasarkan kekuatan joint yang terkait M_{pr} balok yang menghubungkan ke joint. Nilai V_e tidak diperbolehkan kurang dari geser terfaktor yang didapat dari analisis struktur.

Menurut Anugrah Pamungkas, 2021 menjelaskan bahwa kuat rencana V_e di tentukan dari 3 hal berikut.

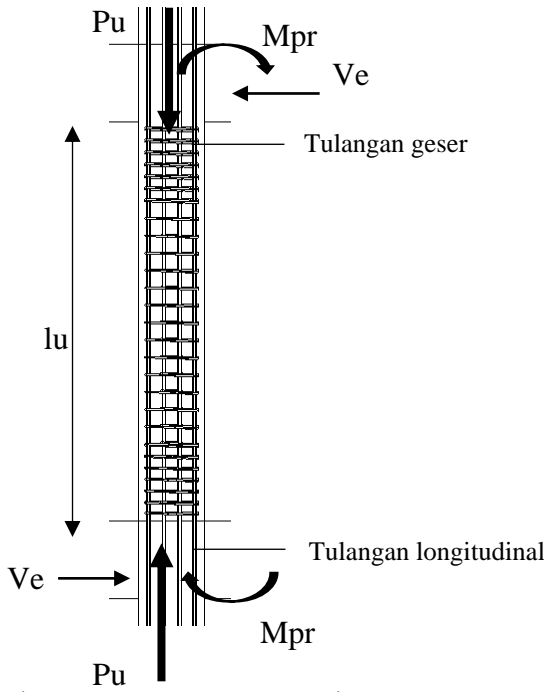
- Kapasitas momen kolom yang dihitung berdasarkan tulangan longitudinal kolom yang direncanakan menghasilkan V_{e-k} ,
- Kapasitas momen balok menghasilkan V_{e-b} .
- Gaya geser dari hasil perhitungan analisis struktur, menghasilkan V_u .

Dimana ketiganya harus memenuhi : $V_u \leq V_{e-k} \leq V_{e-b}$. Untuk menyusun tulangan geser pada kolom dapat dilakukan langkah-langkah berikut.

- Hitung V_{e-k} , dalam perhitungan V_{e-k} kualitas baja ditingkatkan menjadi 1,25fy dan faktor reduksi yang diterapkan adalah $\phi = 1$, sedangkan nilai M_n diperoleh dari kombinasi nilai terbesar.

$$M_{pr} = \frac{M_n}{\phi} \quad (3.63)$$

$$V_{e-k} = \frac{M_{prtop} + M_{prbot}}{l_u} \quad (3.64)$$

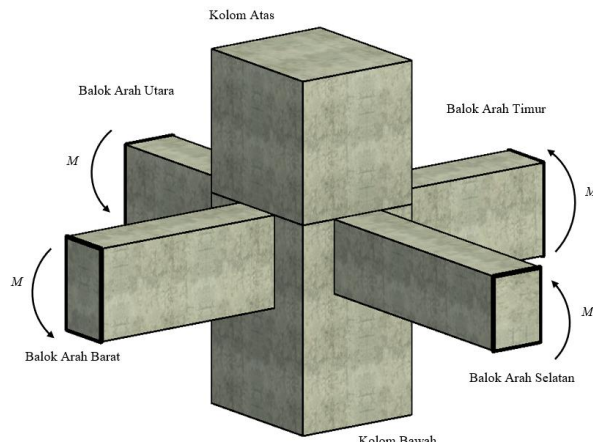


Gambar 3.24 Momen M_{pr} Kolom

(Sumber: Buku Contoh Laporan Perencanaan Struktur Gedung Beton Bertulang, 2021)

- b. Dalam analisis penguatan geser kolom, perhatian juga diberikan kepada momen balok yang ada di sisi kolom pada sumbu-X dan sumbu-Y, serta gaya geser yang dihasilkan oleh balok tersebut. Kualitas baja yang dipakai ditetapkan menjadi $1,25f_y$.

$$V_{e-b} = \frac{(M_{pr(Bki)}) + (M_{pr(Bka)})}{l_u} \quad (3.65)$$



Gambar 3.25 Momen Probabilitas Balok Pada Kolom

(Sumber: Hasil Analisis Penulis, 2025)

- c. Nilai Vu di dapat dari analisis struktur yang dihasilkan dari bantuan program.
- d. Mencari nilai Vc, menurut SNI 2847:2019 Pasal 18.7.6.2 untuk nilai Vc dianggap 0 apabila syarat berikut terpenuhi
 - 1) Gaya geser akibat gempa berdasarkan pasal 18.7.6.1 setidaknya setengah kekuatan geser perlu maksimum di sepanjang l_0 .
 - 2) Gaya tekan aksial terfaktor P_u termasuk pengaruh gempa kurang dari $A_g f'_c / 20$.
- e. Menurut SNI 2847:2019 pasal 22.5.10.5.3, nilai Vs untuk tulangan geser dihitung menggunakan persamaan berikut.

$$V_{e-k} = \frac{A_v \cdot f_y \cdot d}{l_u} \quad (3.66)$$

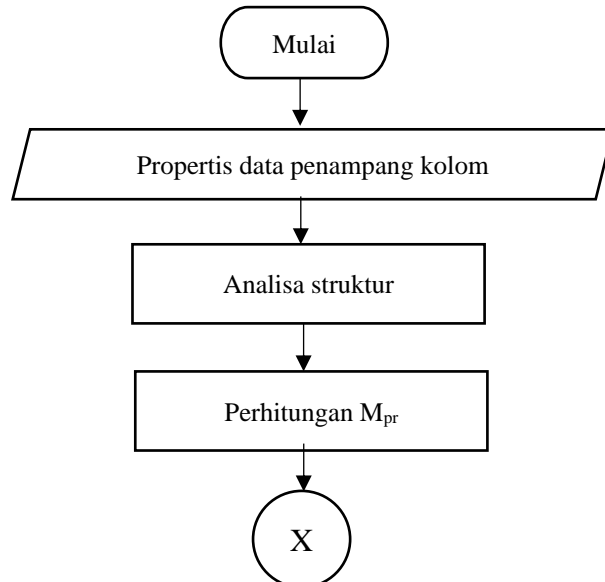
- f. Gaya geser total V_n yang dapat ditahan oleh beton dihitung dengan persamaan berikut.

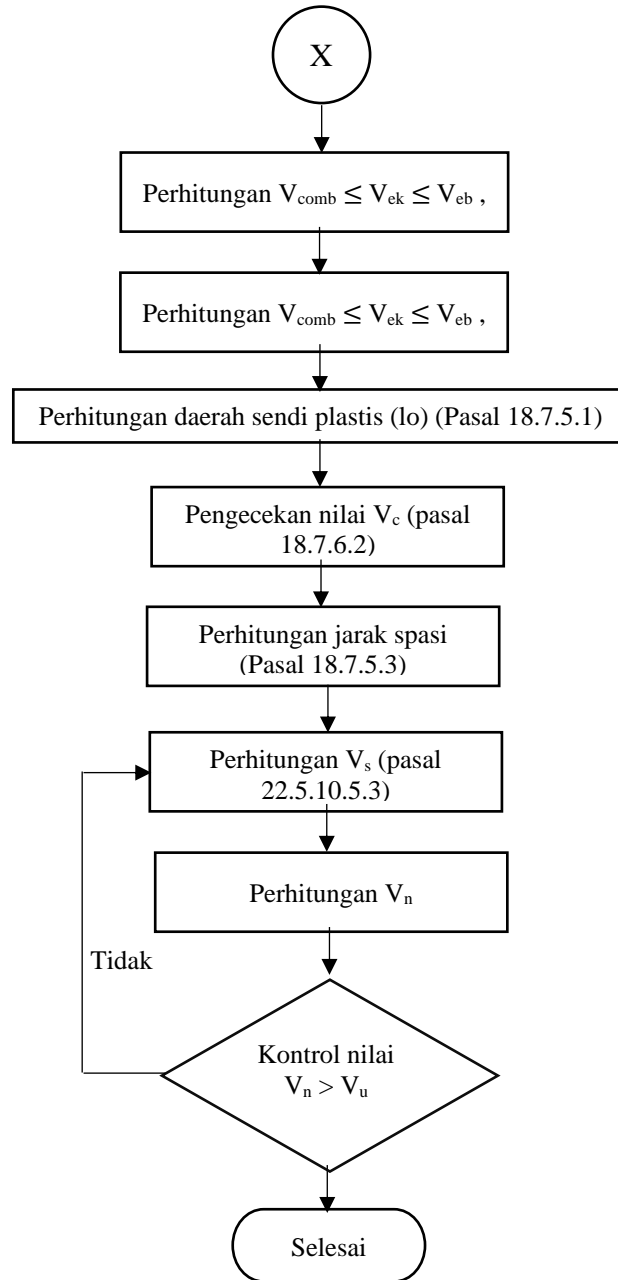
$$\emptyset V_n = \emptyset (V_c + V_s) \quad (3.67)$$

Nilai $\emptyset V_n$ harus lebih besar dari nilai V_e .

- g. Kontrol tulangan geser menurut SNI 2847:2019 pasal 10.7.6.5.2 sebagai berikut.
 - 1) Jika $V_s \leq 0,33 \times \sqrt{f_c} \times b_w \times d$, maka untuk spasi maksimum kolom nonprategang $d/2$ atau 600 mm.
 - 2) Jika $V_s \geq 0,33 \times \sqrt{f_c} \times b_w \times d$, maka untuk spasi maksimum kolom nonprategang $d/4$ atau 300 mm.

Adapun diagram alir desain tulangan geser kolom sebagai berikut.





Gambar 3.26 Diagram Alir Perhitungan Tulangan Geser Kolom

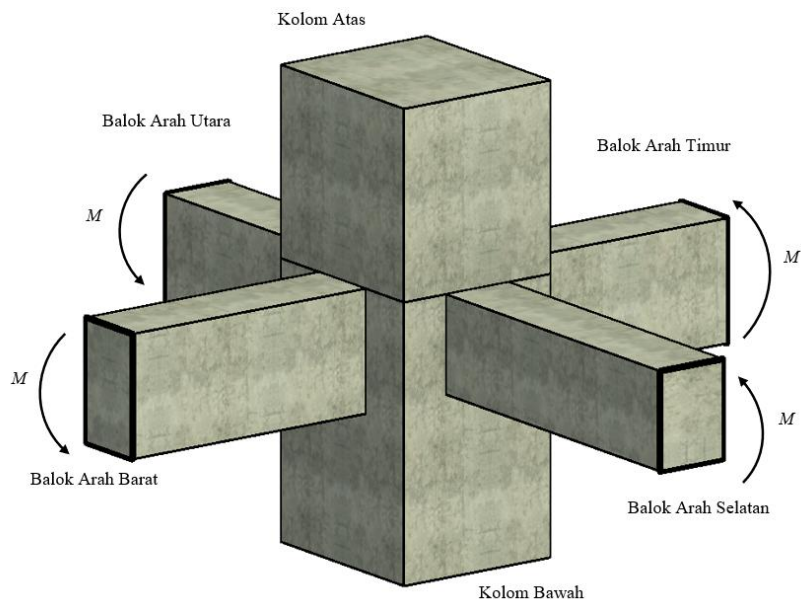
(Sumber : Hasil Analisa Penulis, 2025)

3.9 Hubungan Balok-Kolom (HBK)

Perbedaan yang paling terlihat antara struktur SRMK dengan struktur lainnya (SRMB dan SRMM) merupakan dengan adanya perhitungan sambungan balok kolom yang dikenal dengan istilah hubungan balok kolom (HBK) (Lesmana, 2019). HBK yang dimaksud disini merupakan perhitungan menentukan jumlah tulangan

geser (sengkang) yang akan dipasang pada daerah sambungan balok kolom pada struktur.

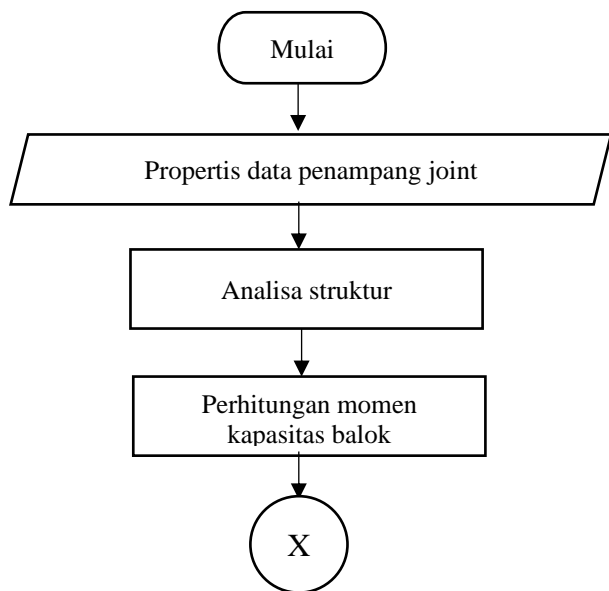
Beberapa gaya yang terjadi seperti gaya tarik pada tulangan, momen akibat balok, dan gaya geser pada ujung kolom dan pada bagian tengah HBK. Kombinasi gaya tersebut bekerja pada satu titik temu yang memiliki potensi kegagalan geser bila tidak direncanakan dengan baik. Untuk mendesain HBK mengacu pada SNI 2847:2019 Pasal 18.8 Hal-392.

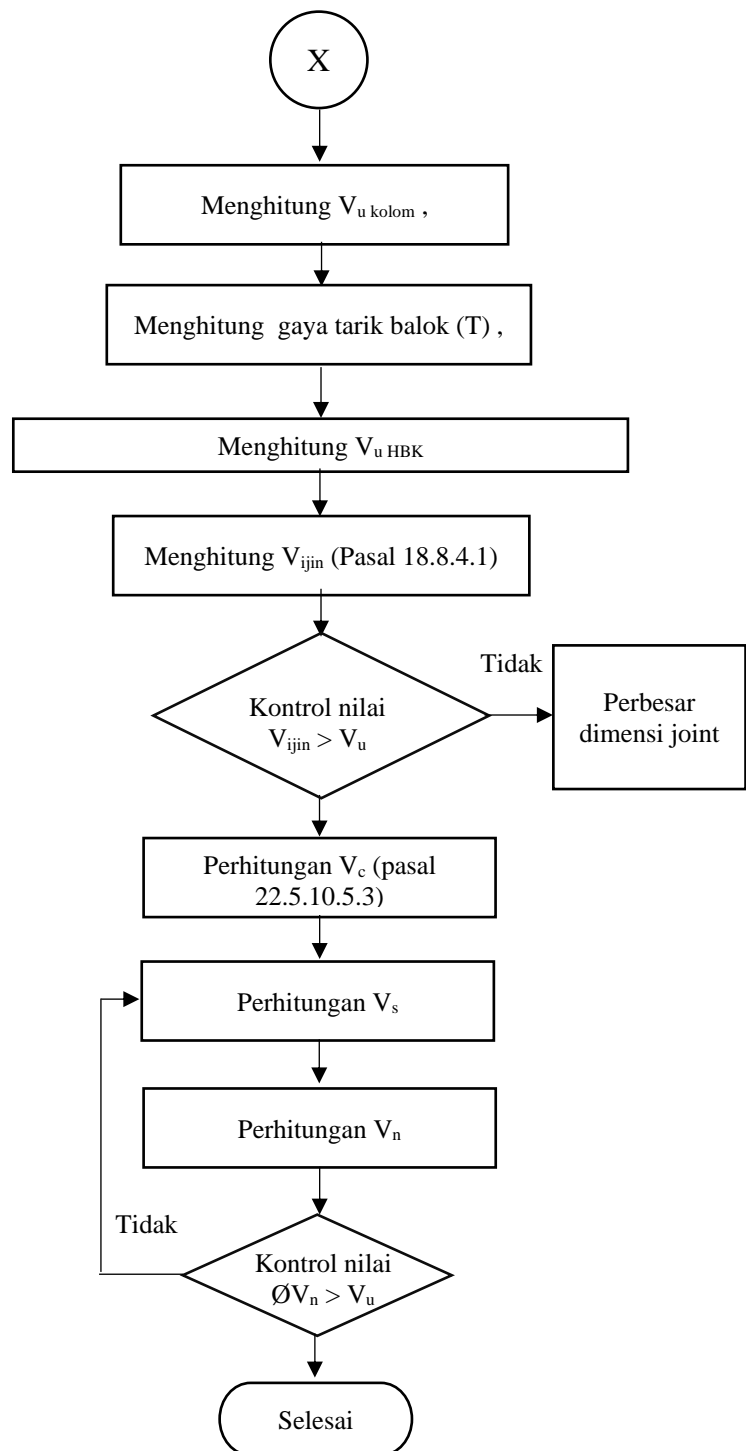


Gambar 3.27 Model 3D Skema Analisis HBK

(Sumber: Lesmana, 2019)

Adapun diagram alir desain tulangan geser joint sebagai berikut.





Gambar 3.28 Diagram Alir Prosedur Desain Tulangan Geser Joint

(Sumber: Hasil Analisis Penulis, 2025)

BAB 4

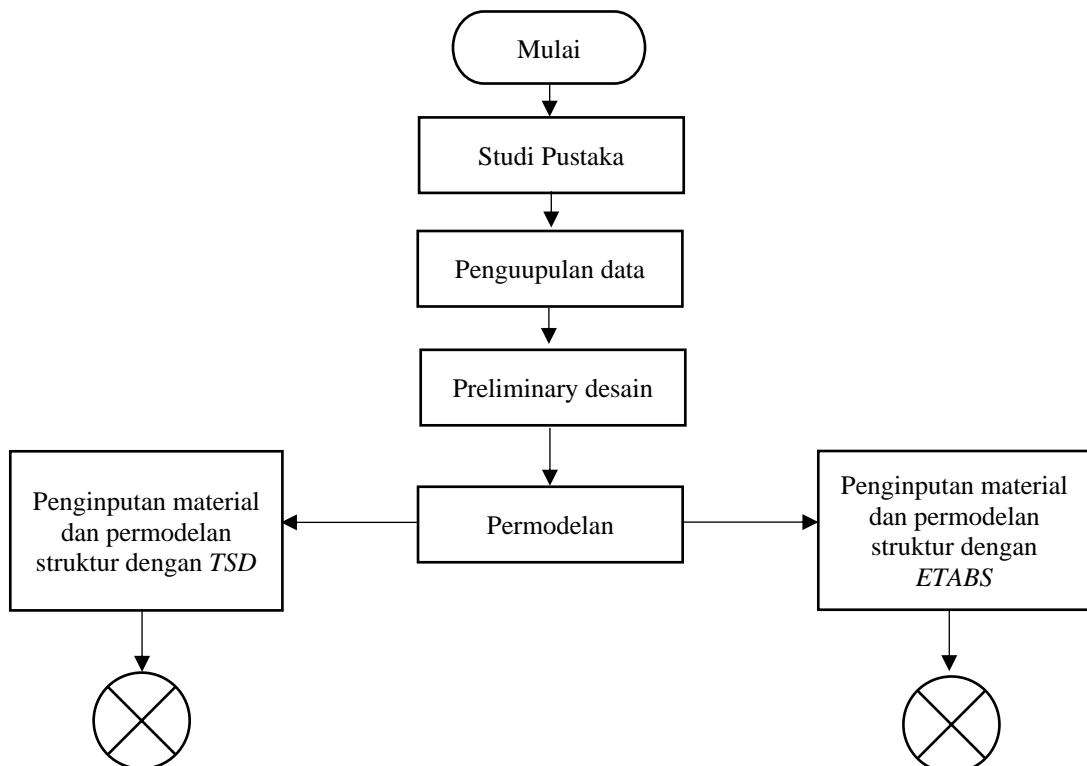
METODE PENELITIAN

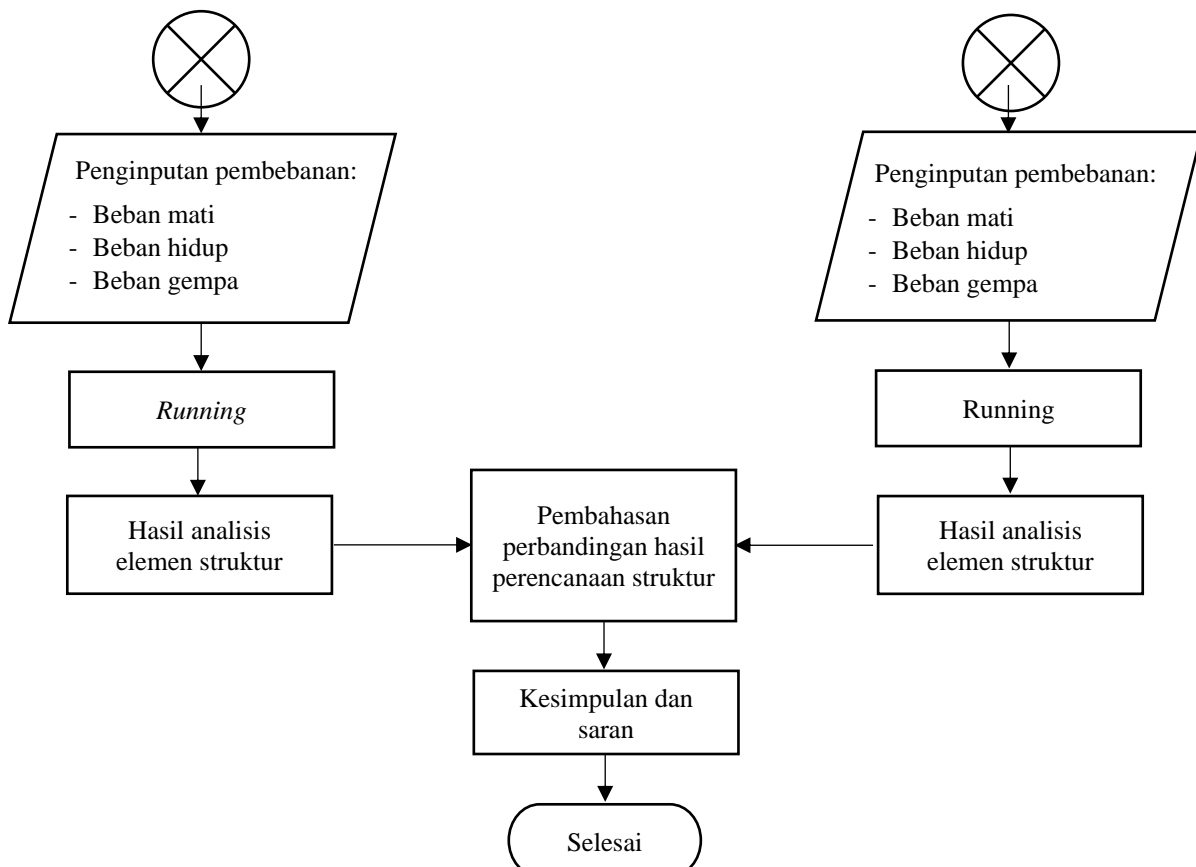
4.1 Umum

Penelitian ini membahas Perbandingan Perancangan Struktur Gedung SRPMK Menggunakan *ETABS* dan *TSD* dengan spesifikasi bangunan yang akan dijadikan penelitian adalah gedung perkantoran dengan Sistem Rangka Pemikul Momen Khusus (SRPMK) yang terdiri dari 10 lantai dengan tinggi antar lantai 4 meter dan memiliki lebar 18 meter serta memiliki panjang 30 meter. Lokasi bangunan yang dijadikan penelitian berada di Jakarta dengan jenis tanah lunak (SE). Perhitungan dalam tugas akhir ini dibantu dengan *software Microsoft excel* dan untuk permodelan struktur gedung menggunakan perangkat lunak *ETABS V22* dan *TSD 2024*.

4.2 Bagan Alir Metode Penelitian

Penelitian ini dilakukan dengan beberapa tahapan. Berikut merupakan alur penelitian yang disajikan dalam bentuk diagram alir.





Gambar 4.1 Diagram alir penelitian

(Sumber: Hasil Analisis Penulis, 2025)

4.3 Tahapan Penelitian

Penelitian ini memiliki beberapa tahapan, secara garis besar tahapan penggerjaan tersebut seperti di bawah ini :

a. Tahap Persiapan

Tahap persiapan adalah tahap awal di mana penulis melakukan studi literatur dengan cara mengumpulkan referensi, buku acuan, dan peraturan-peraturan mengenai perencanaan gedung. Literatur pedoman yang digunakan pada penelitian ini adalah SNI 2847:2019 sebagai pedoman dalam perencanaan struktur beton bertulang, SNI 1727:2020 sebagai pedoman dalam pembebanan gedung dan SNI 1726:2019 sebagai pedoman perencanaan gaya gempa yang akan di input pada permodelan.

b. Tahap Pengumpulan Data

Data dalam penelitian ini dikumpulkan melalui studi literatur dengan mengacu pada berbagai sumber referensi, seperti jurnal ilmiah dan buku yang relevan

dengan topik penelitian. Penulis melakukan analisis terhadap data yang diperoleh dari referensi tersebut untuk mendukung temuan dalam penelitian ini.

c. Preliminary desain

Dimensi elemen struktur seperti kolom, balok, dan pelat harus dihitung dengan mengacu pada SNI 2847:2019. Pada preliminary balok digunakan data jarak antar kolom yang digunakan untuk mencari dimensi balok. Pada preliminary pelat dibutuhkan data bentang dan mengasumsikan tebal pelat yang digunakan untuk mencari tebal pelat minimum. Pada preliminary kolom dicari beban yang terjadi pada kolom untuk mencari luasan minimal kolom.

d. Permodelan Gedung

Gedung dimodelkan menggunakan program *ETABS V22* dan *TSD 2024* dalam skala 3 dimensi dengan memasukan elemen struktur yang berupa balok, kolom dan plat. Dimana penampang balok dan kolom dimodelkan sebagai *frame sections*. Pondasi dimodelkan sebagai tumpuan jepit dan plat dimodelkan sebagai *shell* pada *ETABS* dan dimodelkan sebagai *slab on beam* pada *TSD*. Material yang digunakan yaitu beton dengan f'_c 30 Mpa. Pembebatan yang di imput adalah beban hidup, beban mati, beban mati tambahan (*super dead load*) dan beban gempa. Untuk parameter gempa diambil dari situs Puskim PU dengan lokasi gedung di Jakarta dan menggunakan tanah lunak (SE).

e. Pembahasan perbandingan hasil perencanaan struktur

Pada tahap ini setelah gedung dimodelkan pada kedua perangkat lunak akan menghasilkan analisis dan desain sesuai perhitungan yang dijalankan oleh kedua perangkat lunak tersebut. Kemudian hasil analisis seperti berat bangunan, waktu getar alami, gaya gempa, *displacement*, simpangan antar lantai, pengaruh P- Δ , dan ketidakberaturan struktur akan dibandingkan antara kedua perangkat lunak. Kemudian dari hasil analisis tersebut bisa dihitung desain tulangan elemen struktur yang dibutuhkan berdasarkan hasil *output* yang dikeluarkan oleh kedua perangkat lunak lalu membandingkan hasil desain tulangan elemen struktur yang telah memenuhi syarat yang berlaku.

f. Kesimpulan dan Saran

Menarik kesimpulan dan saran dari penelitian yang sudah dilakukan.

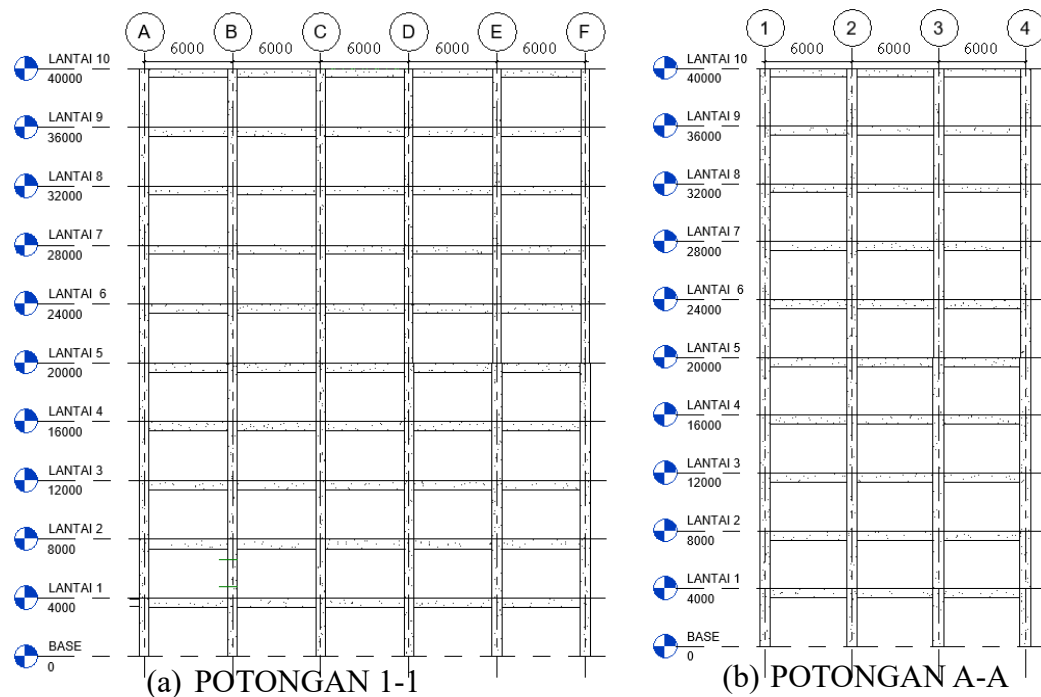
4.4 Pedoman Analisa Struktur

Pedoman yang digunakan pada Penelitian ini adalah standar SNI sebagai berikut :

- a. SNI 2847:2019, yaitu tentang “Tata Cara Perencanaan Persyaratan Beton Struktural Untuk Bangunan Gedung dan Penjelasan”.
- b. SNI 1726:2019, yaitu tentang “Tata Cara Ketahanan Gempa Untuk Struktur Bangunan Gedung dan Non-Gedung”.
- c. SNI 1727:2020, yaitu tentang “Beban Minimum Untuk Perancangan Bangunan Gedung dan Struktur Lain”.
- d. ASCE/SEI 7-16, yaitu tentang “*Minimum Design Loads and Associated Criteria for Buildings and Other Structures*”
- e. ACI 318-14, yaitu tentang “*Building Code Requirements for Structural Concrete and Commentary*”.

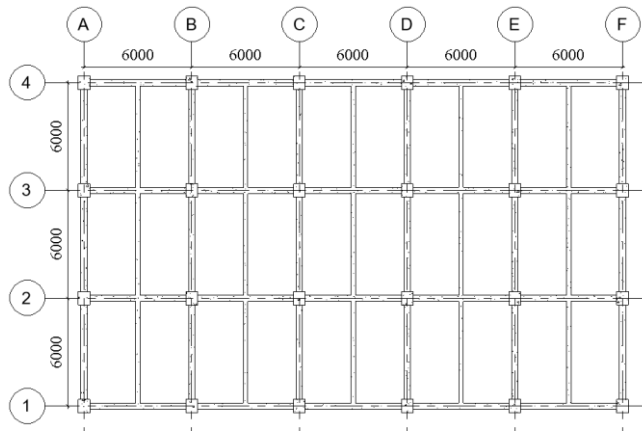
4.5 Deskripsi Gedung

Berikut denah dan potongan gedung yang di teliti.



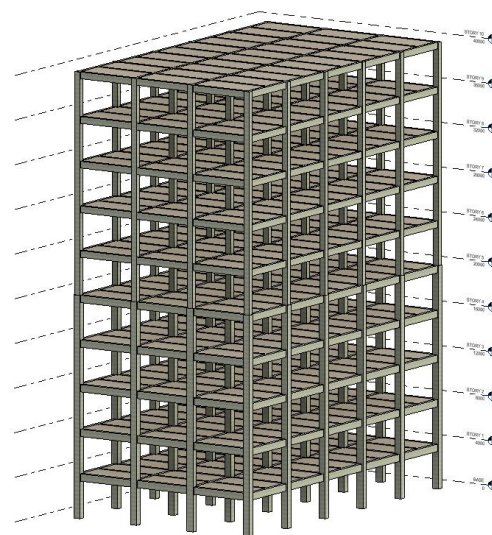
Gambar 4.2 (a) Potongan 1-1 dan (b) Potongan A-A

(Sumber : Hasil Analisis Penulis, 2025)



Gambar 4.3 Denah Gedung

(Sumber : Hasil Analisis Penulis, 2025)



Gambar 4.4 Tampak 3D Gedung

(Sumber : Hasil Analisis Penulis, 2025)

4.6 Parameter Gedung dan Data Response Spektra

Berikut data parameter gedung dan respons spektra

- Fungsi bangunan : Gedung perkantoran dengan atap dak
- Panjang bangunan : 30 meter
- Lebar bangunan : 18 meter
- Tinggi bangunan : 40 meter
- Tinggi antar lantai : 4 meter
- Model bangunan : Persegi panjang
- Data Response Spektra

Lokasi bangunan : Jakarta

Jenis tanah	: Tanah lunak (SE)
S _s	: 0,7806 g
S ₁	: 0,3823 g
S _{ds}	: 0,67 g
S _{d1}	: 0,63 g
T ₀	: 0,19 detik
T _s	: 0,94 detik
T _L	: 20 detik

4.7 Data Material

Material yang digunakan pada penelitian ini menggunakan beton dengan tulangan baja. Mutu beton yang digunakan yaitu beton normal dengan berat jenis 2400 kg/m^3 dan mempunyai kuat tekan (f_c') sebesar 30 Mpa. Semua diameter tulangan baja tulangan diseragamkan menggunakan kuat leleh baja (f_y) sebesar 420 Mpa.

4.8 Jadwal Penelitian

Berikut jadwal dari penelitian ini.

Tabel 4.1 Jadwal Penelitian Penulis

No	Nama Kegiatan	2025															
		Februari				Maret				April				Mei			
		1	2	3	4	1	2	3	4	1	2	3	4	1	2	3	4
1	Pengajuan Judul	Red															
2	Pengumpulan Data		Red														
3	Pembuatan Usulan Penelitian			Red													
4	Bimbingan Usulan Penelitian				Red	Red	Red	Red	Red	Red	Red	Red	Red				
5	Seminar Proposal													Red			
6	Penelitian					Red	Red	Red	Red	Red	Red	Red	Red				
7	Pengolahan Data					Red	Red	Red	Red	Red	Red	Red	Red				
8	Seminar Hasil														Red		
9	Sidang Akhir															Red	
Keterangan		Red	Rencana			Jadwal Penelitian Tugas Akhir Rizki Ardiyansah (3336210023)											
		Green	Aktual														

(Sumber : Hasil Analisis Penulis, 2025)

BAB 5

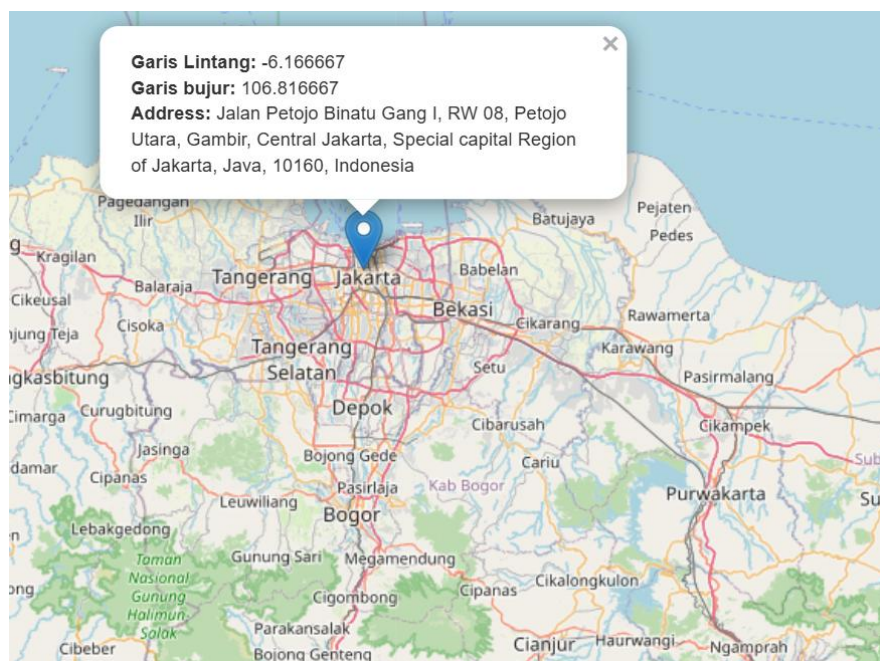
ANALISIS DAN PEMBAHASAN

5.1 Spesifikasi Gedung

5.1.1 Data perencanaan

Berikut ini merupakan data perencanaan yang digunakan dalam penelitian.

- a. Fungsi bangunan : Gedung perkantoran
- b. Panjang bangunan : 30 m
- c. Lebar bangunan : 18 m
- d. Luas bangunan : 540 m²
- e. Tinggi bangunan : 28 m
- f. Tinggi antar lantai : 4 m
- g. Jumlah lantai : 10 lantai
- h. Lokasi bangunan : Jakarta
- i. Mutu beton : 30 Mpa : K-305,915
- j. fy tulangan : 420 Mpa
- k. Jenis tanah : Tanah lunak (SE)



Gambar 5.1 Lokasi Gedung Rencana

(Sumber: *Google Earth Pro*)

Fungsi bangunan dipilih sebagai gedung perkantoran dan berlokasi di Jakarta karena pusat pemerintahan dan perekonomian Indonesia berada di Jakarta dengan sehingga dibutuhkan gedung perkantoran untuk memenuhi kebutuhan yang ada. Jenis tanah lunak dipilih karena mempunyai karakteristik mekanis yang terburuk sehingga penting untuk memahami perilaku struktur gedung dengan keadaan terburuk.

Nilai kuat tekan beton sebesar 30 Mpa digunakan karena sudah memenuhi standar pemakaian kuat tekan beton untuk sistem struktur SRPMK dengan jenis beton normal yang diatur dalam SNI 2847:2019 Tabel 19.2.1.1 Hal-433. Nilai kuat tarik baja tulangan sebesar 420 Mpa, dan modulus elastisitas sebesar 200000 Mpa digunakan karena nilai ini mewakili material yang umum digunakan dalam kontruksi bangunan yang memenuhi standar kekuatan dan ketersediaan material di pasar Indonesia.

5.1.2 Data Jumlah dan Fungsi Lantai

Berikut ini merupakan data jumlah dan fungsi lantai beserta beban hidup yang dipikul pada setiap lantai sesuai SNI 1727:2020 Tabel 4.3-1 Hal 26

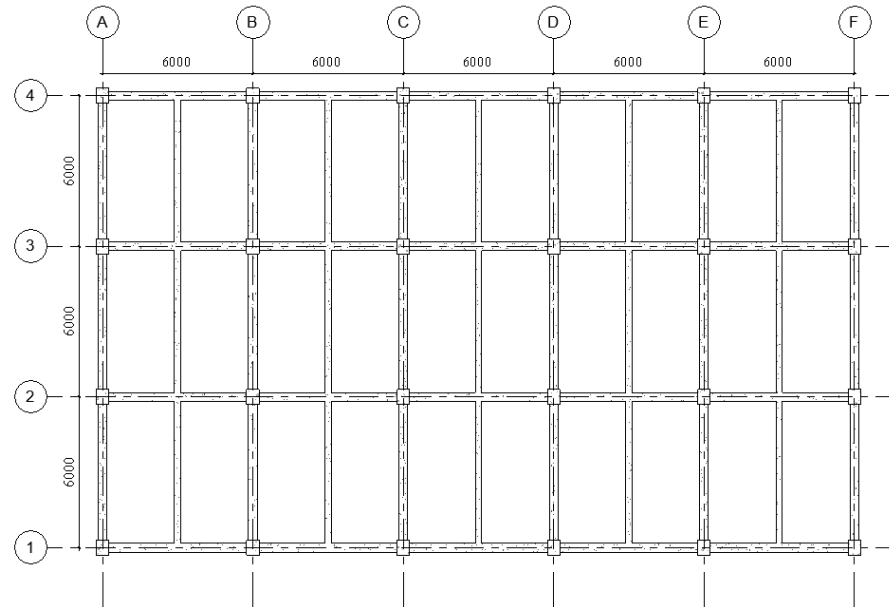
Tabel 5.1 Jumlah dan Fungsi Lantai

Lantai	Tinggi lantai (m)	Elevasi (m)	Fungsi lantai	LL (kg/m ²)
Lantai 10	4	+40	Balkon/Dak	367,1
Lantai 9	4	+36	Kantor	244,73
Lantai 8	4	+32	Kantor	244,73
Lantai 7	4	+28	Kantor	244,73
Lantai 6	4	+24	Kantor	244,73
Lantai 5	4	+20	Kantor	244,73
Lantai 4	4	+16	Kantor	244,73
Lantai 3	4	+12	Kantor	244,73
Lantai 2	4	+8	Kantor	244,73
Lantai 1	4	+4	Kantor	244,73
BASE	-	±0		

(Sumber: Hasil Analisis Penulis, 2025)

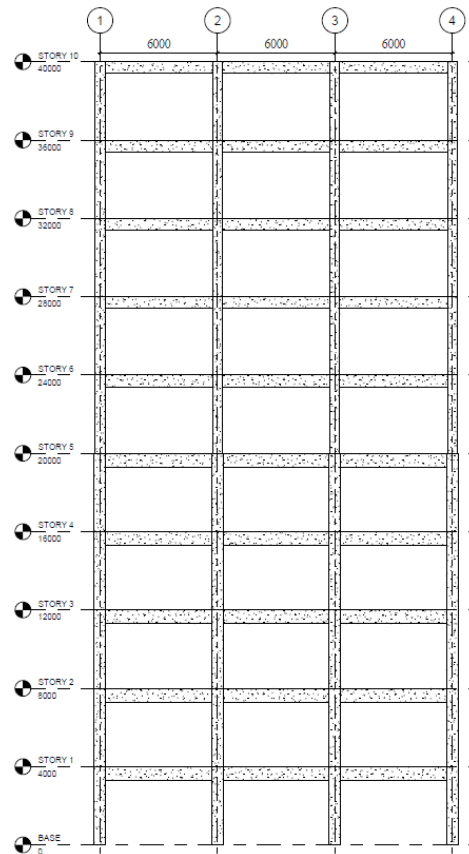
5.1.3 Geometri Struktur

Berikut ini geometri struktur yang digunakan dalam penelitian.



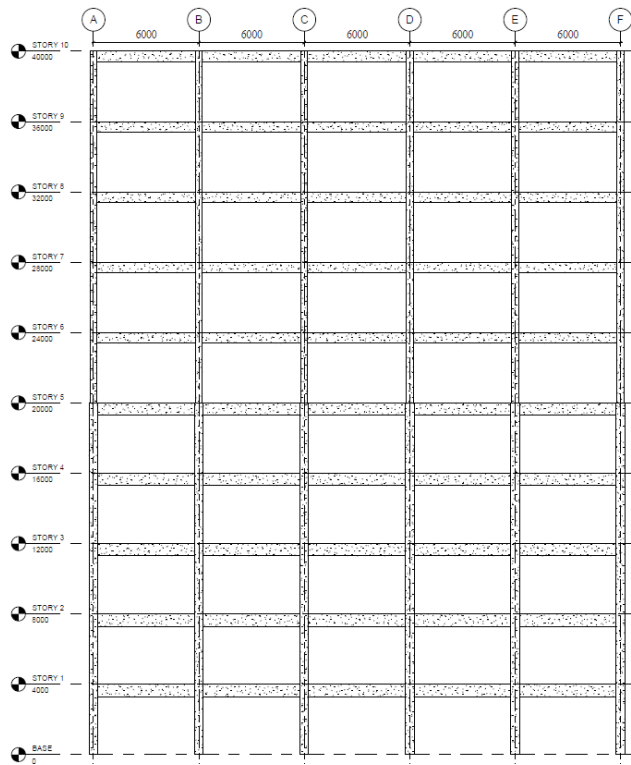
Gambar 5.2 Denah Bangunan

(Sumber: Hasil Analisis Penulis, 2025)



Gambar 5.3 Potongan A-A

(Sumber: Hasil Analisis Penulis, 2025)



Gambar 5.4 Potongan 1-1

(Sumber: Hasil Analisis Penulis, 2025)

5.2 Analisis Pembebanan

Pembebanan menggunakan beban gravitasi yaitu beban mati (DL), beban mati tambahan (SDL), beban hidup (LL) dan beban lateral yang berupa beban gempa (E). Pembebanan mengacu pada SNI 1727:2020 yang mengatur Beban desain minimum dan kriteria terkait untuk bangunan gedung dan struktur lain.

5.2.1 Beban mati (DL)

Beban mati dihitung secara otomatis oleh program *ETABS* dan *TSD* berdasarkan input data dimensi dan karakteristik material yang digunakan. Beban yang digunakan berdasarkan PPURG 1987, PBI 1983, dan referensi lain.

Berat jenis material beton (DL) = 2400 kg/m^3

Berat jenis material baja (DL) = 7850 kg/m^3

5.2.2 Beban mati tambahan (SDL)

Berikut beban mati tambahan ini yang terdistribusi pada pelat.

Keramik (SDL) = 24 kg/m^2

Plester 2 cm (SDL) = 53 kg/m^2

MEP (SDL) = 25 kg/m^2

Plafond dan penggantung (SDL)	= 18 kg/m ²
Total SDL pelat lantai	= 120 kg/m ²
Pasangan dinding ½ batu (SDL)	= 250 kg/m ²

Dinding berada pada balok perimeter bangunan pada semua lantai. Khusus lantai 10, tinggi dinding hanya 1m.

5.2.3 Beban hidup (LL)

Beban hidup mengacu pada Tabel 4.3-1 SNI 1727:2020 Hal 26 yang terdistribusi pada pelat. Berikut beban hidup yang dipakai pada penelitian ini.

Perkantoran	= 2,4 kN/m ²	= 244,732 kg/m ²
Balok/dak beton	= 3,6 kN/m ² ($1,5 \times 2,4 = 3,6$ kN/m ²)	= 367,098 kg/m ²

5.2.4 Beban gempa

Beban gempa mengacu pada SNI 1726:2019, berikut uraian analisis beban gempa.

a. Kategori risiko : II (Gedung perkantoran, Tabel 3 SNI 1726:2019 Hal 24)

Tabel 5.2 Kategori Risiko

Jenis pemanfaatan	Kategori risiko
Gedung dan nongedung yang memiliki risiko rendah terhadap jiwa manusia pada saat terjadi kegagalan, termasuk, tapi tidak dibatasi untuk, antara lain: - Fasilitas pertanian, perkebunan, perternakan, dan perikanan - Fasilitas sementara - Gudang penyimpanan - Rumah jaga dan struktur kecil lainnya	I
Semua gedung dan struktur lain, kecuali yang termasuk dalam kategori risiko I,III,IV, termasuk, tapi tidak dibatasi untuk: - Perumahan - Rumah toko dan rumah kantor - Pasar - Gedung perkantoran	II
Gedung dan nongedung yang memiliki risiko tinggi terhadap jiwa manusia pada saat terjadi kegagalan, termasuk, tapi tidak dibatasi untuk: - Bioskop - Gedung pertemuan - Stadion - Fasilitas kesehatan yang tidak memiliki unit bedah dan unit gawat darurat - Fasilitas penitipan anak	III

Jenis pemanfaatan	Kategori risiko
<ul style="list-style-type: none"> - Penjara - Bangunan untuk orang jompo <p>Gedung dan nongedung, tidak termasuk kedalam kategori risiko IV, yang memiliki potensi untuk menyebabkan dampak ekonomi yang besar dan/atau gangguan massal terhadap kehidupan masyarakat sehari-hari bila terjadi kegagalan, termasuk, tapi tidak dibatasi untuk:</p> <ul style="list-style-type: none"> - Pusat pembangkit listrik biasa - Fasilitas penanganan air - Fasilitas penanganan limbah - Pusat telekomunikasi <p>Gedung dan nongedung yang tidak termasuk dalam kategori risiko IV, (termasuk, tetapi tidak dibatasi untuk fasilitas manufaktur, proses, penanganan, penyimpanan, penggunaan atau tempat pembuangan bahan bakar berbahaya, bahan kimia berbahaya, limbah berbahaya, atau bahan yang mudah meledak) yang mengandung bahan beracun atau peledak di mana jumlah kandungan bahannya melebihi nilai batas yang disyaratkan oleh instansi yang berwenang dan cukup menimbulkan bahaya bagi masyarakat jika terjadi kebocoran.</p>	
<p>Gedung dan nongedung yang dikategorikan sebagai fasilitas yang penting, termasuk, tetapi tidak dibatasi untuk:</p> <ul style="list-style-type: none"> - Bangunan-bangunan monumental - Gedung sekolah dan fasilitas pendidikan - Rumah ibadah - Rumah sakit dan fasilitas kesehatan lainnya yang memiliki fasilitas bedah dan unit gawat darurat - Fasilitas pemadam kebakaran, ambulans, dan kantor polisi, serta garasi kendaraan darurat - Tempat perlindungan terhadap gempa bumi, tsunami, angin badai, dan tempat perlindungan darurat lainnya - Fasilitas kesiapan darurat, komunikasi, pusat operasi dan fasilitas lainnya untuk tanggap darurat - Pusat pembangkit energi dan fasilitas publik lainnya yang dibutuhkan pada saat keadaan darurat - Struktur tambahan (termasuk menara telekomunikasi, tangki penyimpanan bahan bakar, menara pendingin, struktur stasiun listrik, tangki air pemadam kebakaran atau struktur rumah atau struktur pendukung air atau material atau peralatan pemadam kebakaran) yang disyaratkan untuk beroperasi pada saat keadaan darurat <p>Gedung dan nongedung yang dibutuhkan untuk mempertahankan fungsi struktur bangunan lain yang masuk ke dalam kategori risiko IV.</p>	IV

(Sumber: Tabel 3 SNI 1727:2020 Hal 24)

- b. Faktor keutamaan untuk kategori risiko II adalah 1,0 (Tabel 4 SNI 2716:2019 Hal 25).

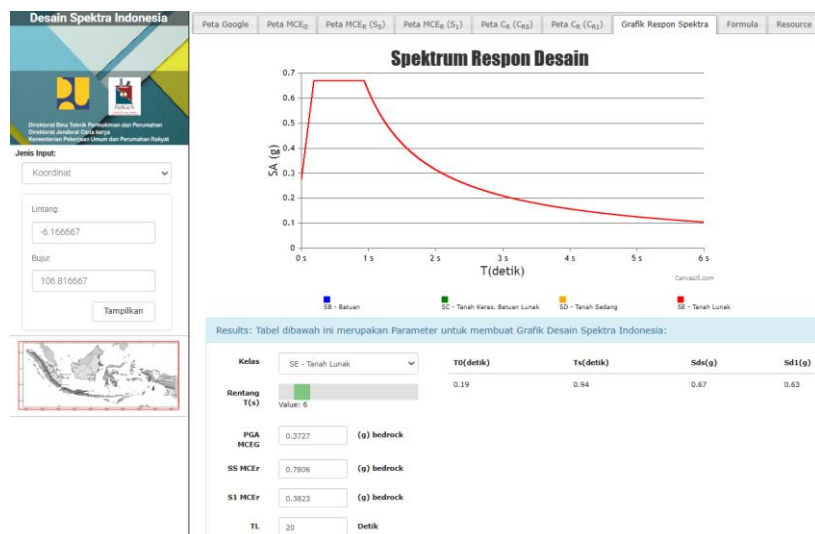
Tabel 5.3 Pemilihan Faktor Keutamaan Gempa

Kategori risiko	Faktor keutamaan gempa, I_e
I atau II	1,0
III	1,25
IV	1,5

(Sumber: Tabel 4 SNI 1727:2020 Hal 25)

- c. Klasifikasi situs berdasarkan jenis tanah adalah SE (Tanah lunak)
- d. Parameter respon spektrum diambil dari website RSA Cipta Karya yang disajikan sebagai berikut:

$$\begin{aligned}
 SS &= 0,7806 \text{ g} \\
 S1 &= 0,3823 \text{ g} \\
 TL &= 20 \text{ detik} \\
 Sds &= 0,6638 \text{ g} \\
 Sd1 &= 0,6297 \text{ g} \\
 T0 &= 0,1897 \text{ detik} \\
 Ts &= 0,9487 \text{ detik}
 \end{aligned}$$



Gambar 5.5 Website RSA Cipta Karya

(Sumber : rsa.ciptakarya.pu.go.id)

- e. Kategori desain seismik berdasarkan Tabel 8 dan Tabel 9 SNI 1726:2019 Hal 37 adalah D.

$$\begin{aligned}
 Fa &= 1,2755 \text{ (Tabel 6 SNI 1726:2019 Hal 34)} \\
 Fv &= 2,4708 \text{ (Tabel 7 SNI 1726:2019 Hal 34)} \\
 Sms &= Fa \times Ss = 1,2755 \times 0,7806 = 0,9957 \text{ g} \\
 Sm1 &= Fv \times S_1 = 2,4708 \times 0,3823 = 0,9446 \text{ g} \\
 Sds &= 2/3 \times Sms \\
 &= 2/3 \times 0,9957 \\
 &= 0,6638 \text{ g (Tabel 8 SNI 1726:2019 Hal 37, kategori D)} \\
 Sd1 &= 2/3 \times Sm1
 \end{aligned}$$

$$= 2/3 \times 0,9446$$

= 0,6297 g (Tabel 9 SNI 1726:2019 Hal 37, kategori D)

Tabel 5.4 Koefisien Situs, F_a

Kelas situs	Parameter respons spektral percepatan gempa maksimum yang dipertimbangkan risiko-tertarget (MCER) terpetakan pada periode pendek, T =0,2 detik, S.					
	$S \leq 0,25$	$S_s = 0,5$	$S_s = 0,75$	$S_s = 1,0$	$S_s = 1,25$	$S_s \geq 1,5$
SA	0,8	0,8	0,8	0,8	0,8	0,8
SB	0,9	0,9	0,9	0,9	0,9	0,9
SC	1,3	1,3	1,2	1,2	1,2	1,2
SD	1,6	1,4	1,2	1,1	1	1
SE	2,4	1,7	1,3	1,1	0,9	0,8
SF	SS					

(Sumber: SNI 1726:2019 Tabel 3 Hal 34)

Tabel 5.5 Koefisien Situs, F_v

Kelas situs	Parameter respons spektral percepatan gempa maksimum yang dipertimbangkan risiko-tertarget (MCER) terpetakan pada periode 1 detik, SI.					
	$SI \leq 0,1$	$SI = 0,2$	$SI = 0,3$	$SI = 0,4$	$SI = 0,5$	$SI \geq 0,6$
SA	0,8	0,8	0,8	0,8	0,8	0,8
SB	0,8	0,8	0,8	0,8	0,8	0,8
SC	1,5	1,5	1,5	1,5	1,5	1,4
SD	2,4	2,2	2	1,9	1,8	1,7
SE	4,2	3,3	2,8	2,4	2,2	2
SF	SS					

(Sumber: SNI 1726:2019 Tabel 4 Hal 34)

Tabel 5.6 Kategori Desain Seismik Periode Pendek

Nilai SDS	Kategori Resiko		
	I atau II atau III		IV
$SDS < 0,167$	A		A
$0,167 \leq SDS < 0,33$	B		C
$0,33 \leq SDS < 0,5$	C		D
$0,50 \leq SDS$	D		D

(Sumber : SNI 1726:2019 Tabel 8 Hal 37)

Tabel 5.7 Kategori Desain Seismik Periode 1 Detik

Nilai SDS	Kategori Resiko		
	I atau II atau III		IV
$SD1 < 0,067$	A		A
$0,067 \leq SD1 < 0,133$	B		C
$0,133 \leq SD1 < 0,2$	C		D
$0,20 \leq SD1$	D		D

(Sumber : SNI 1726:2019 Tabel 9 Hal 37)

- f. Sistem struktur yang digunakan menurut SNI 1726:2019 Tabel 12 Hal 49 adalah Sistem Rangka Pemikul Momen Khusus (SRPMK) dengan nilai $R = 8$; $\Omega_0 = 3$; $C_d = 5,5$.

Tabel 5.8 Pemilihan Faktor R , C_d , dan Ω_0 Untuk Sistem Pemikul Gaya Seismik

Sistem pemikul gaya seismik	Koefisien modifikasi respon	Faktor kuat lebih sistem	Faktor pembesaran defleksi	Batasan sistem struktur dan batasan tinggi struktur				
				Kategori desain seismik				
				B	C	D	E	F
C. Sistem rangka pemikul momen								
1. Rangka baja pemikul momen khusus	8	3	5,5	TB	TB	TB	TB	TB
2. Rangka batang baja pemikul momen khusus	7	3	5,5	TB	TB	40	30	TI
3. Rangka baja pemikul momen menengah	4,5	3	4	TB	TB	10	TI	TI
4. rangka baja pemikul momen biasa	3,5	3	3	TB	TB	TI	TI	TI
5. Rangka beton bertulang pemikul momen khusus	8	3	5,5	TB	TB	TB	TB	TB
6. Rangka beton bertulang pemikul momen menengah	5	3	4,5	TB	TB	TI	TI	TI
7. Rangka beton bertulang pemikul momen biasa	3	3	2,5	TB	TI	TI	TI	TI
8. Rangka baja dan beton komposit pemikul momen khusus	8	3	5,5	TB	TB	TB	TB	TB
9. Rangka baja dan beton komposit pemikul momen menengah	5	3	4,5	TB	TB	TI	TI	TI
10. Rangka baja dan beton komposit terkekang parsial pemikul beban	6	3	5,4	48	48	30	TI	TI
11. Rangka baja dan beton komposit pemikul momen biasa	3	3	2,5	TB	TI	TI	TI	TI
12. Rangka baja canal dingin pemikul momen khusus dengan pembautan	3,5	3	5,5	10	10	10	10	10

(Sumber : SNI 1726:2019 Tabel 12 Hal 50)

- g. Prosedur analisis yang digunakan dalam penelitian ini adalah analisis spektrum respon ragam atau analisis gaya lateral equivalen. Prosedur ini dipilih karena periode yang digunakan dalam analisis, $T < 3,5 T_s$. Untuk periode (T) yang dipakai sebesar 1,805 detik untuk arah x dan arah y. Untuk pembahasan periode akan dibahas pada poin selanjutnya.

Tabel 5.9 Prosedur Analisis Yang Diizinkan

Kategori desain seismik	Karakteristik struktur	Analisis gaya lateral ekivalen pasal 7.8	Analisis spektrum respons ragam pasal 7.9	Prosedur respons riwayat waktu seismik pasal 11
B, C	Semua struktur	I	I	I
D, E, F	Bangunan dengan kategori risiko I atau II yang tidak melebihi 2 tingkat diatas dasar	I	I	I
	Struktur tanpa ketidakberaturan struktural dan ketinggiannya tidak melebihi 48,8 m	I	I	I

Kategori desain seismik	Karakteristik struktur	Analisis gaya lateral ekivalen pasal 7.8	Analisis spektrum respons ragam pasal 7.9	Prosedur respons riwayat waktu seismik pasal 11
	Struktur tanpa ketidakberaturan struktural dengan ketinggian melebihi 48,8 m dan $T < 3,5 T_s$	I	I	I
	Struktur dengan ketinggian tidak melebihi 48,8 m dan hanya memiliki ketidakberaturan horizontal tipe 2,3,4 atau 5 atau ketidaberaturan vertikal tipe 4, 5a atau 5b	I	I	I
	Se semua struktur lainnya	TI	I	I

(Sumber : SNI 1726:2019 Tabel 16 Hal 68)

$$T \quad < 3,5 T_s$$

$$1,805 \quad < 3,5 (0,9487)$$

$$1,805 \text{ detik} < 3,32 \text{ detik}$$

Karena $T < 3,5 T_s$, maka prosedur analisis gaya lateral ekivalen dapat digunakan untuk menganalisis gempa yang terjadi pada permodelan struktur.

- h. Kurva spektrum respons ragam desain harus mengacu pada SNI 1726:2019 Gambar 3 Hal 36 yang merupakan grafik hubungan antara percepatan respons spektra (S_a) dan periode (T).

$$T_0 = 0,2 \times \frac{S_{D1}}{S_{Ds}}$$

$$= 0,2 \times \frac{0,6297}{0,6638}$$

$$= 0,1897 \text{ detik}$$

$$T_s = \frac{S_{D1}}{S_{Ds}}$$

$$= \frac{0,6297}{0,6638}$$

$$= 0,9487 \text{ detik}$$

Untuk periode yang lebih kecil dari $T_0, T = 0$

$$S_a = S_{Ds} (0,4 + 0,6 \times \frac{T}{T_0})$$

$$= 0,6638 (0,4 + 0,6 \times \frac{0}{0,1897}) \\ = 0,2655$$

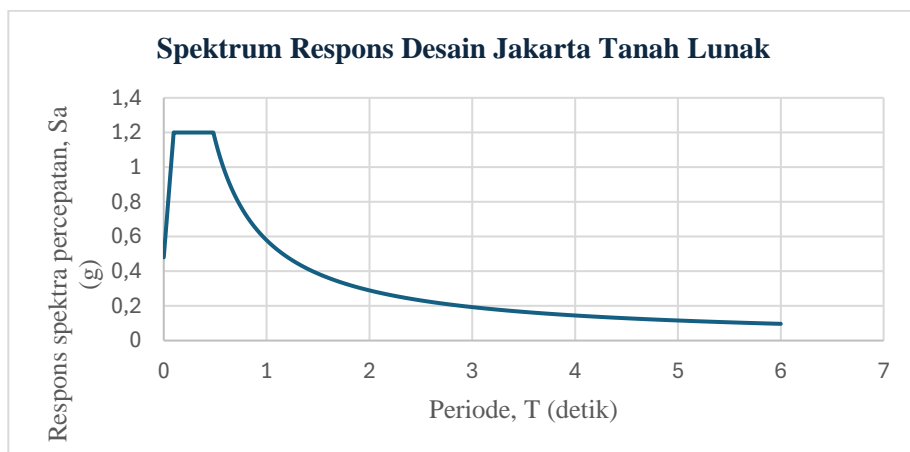
Untuk periode T antara $T_0 = 0,1897$ dan $T_s = 0,9487$
 $S_a = S_{ds} = 0,6638$

Untuk periode yang lebih besar dari $T_s, T > 0,9487$

$$S_a = \frac{S_{D1}}{T} \\ = \frac{0,6297}{0,95} \\ = 0,6629$$

Untuk periode $T > T_L = 20$

$$S_a = \frac{S_{D1} \times T_L}{T^2} \\ = \frac{0,6297 \times 20}{T^2} \\ = \frac{12,5945}{T^2}$$



Gambar 5.6 Grafik Spektrum Respons Desain Jakarta Dengan Tanah Lunak
 (Sumber : Hasil Analisis Penulis, 2025)

5.3 Kombinasi Beban

Berdasarkan SNI 1726:2019 Pasal 7.5.3 gaya seismik untuk memikul kombinasi beban yang ditetapkan yaitu 100% gaya satu arah ditambah 30% gaya untuk arah

tegak lurus. Pada pasal 7.3.4.2 untuk kategori desain seismik D, E, atau F, ρ harus sebesar 1,3 yang penentuan nilainya akan dibahas pada poin selanjutnya.

e. Kombinasi beban dasar

- 1) 1,4D
- 2) 1,2D + 1,6 L + 0,5 (Lr atau S atau R)
- 3) 1,2D + 1,6 (Lr atau S atau R) + (L atau 0,5 W)
- 4) 1,2D + E + L + 0,5 (Lr atau S atau R)
- 5) 0,9D + E

f. Kombinasi yang digunakan

- 1) 1,4D
- 2) 1,2D + 1,6 L
- 3) 1,2D + E + L
- 4) 0,9D + E

Dikarenakan dalam perencanaan beban mati terbagi menjadi dua yaitu *Super Dead Load* (SDL) dan *Dead Load* (DL).

- 1) 1,4DL + 1,4 SDL
- 2) 1,2D + 1,2 SDL + 1,6 L
- 3) 1,2D + 1,2 SDL + E + L
- 4) 0,9D + 0,9 SDL + E

g. Pengaruh beban gempa horizontal (Eh) dan vertikal (Ev)

Pada SNI 1726:2019 dijabarkan pengaruh beban gempa. Pengaruh beban gempa (E) pada kombinasi 3 harus ditentukan sesuai dengan persamaan sebagai berikut.

$$E = Eh + Ev$$

Sedangkan untuk kombinasi 4, beban gempa dijabarkan sebagai berikut.

$$E = Eh - Ev$$

$$Eh = \rho \times Q_E$$

$$Ev = 0,2S_{DS} \times D$$

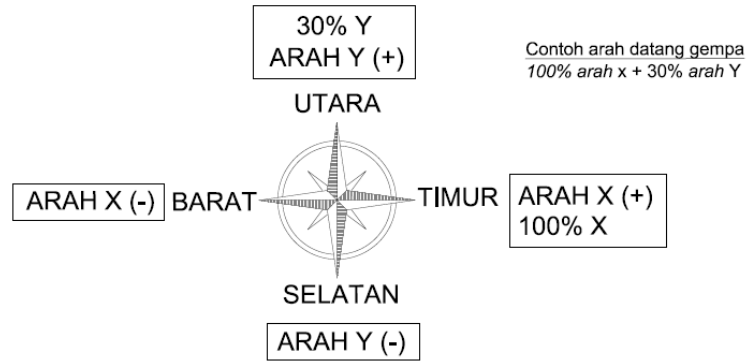
Keterangan:

$$\rho = \text{faktor redundansi}$$

$$Q_E = \text{Pengaruh gaya gempa horizontal}$$

$$S_{DS} = \text{Parameter percepatan spektrum respons desain pada perioda pendek}$$

h. Arah pembebanan

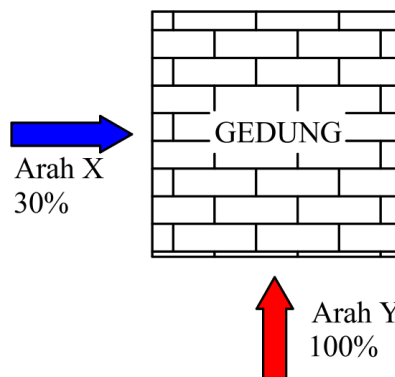


Gambar 5.7 Ilustrasi Arah Datang Gempa

(Sumber : Hasil Analisis Penulis, 2025)

Berdasarkan gambar diatas maka kombinasi beban gempa dijabarkan menjadi:

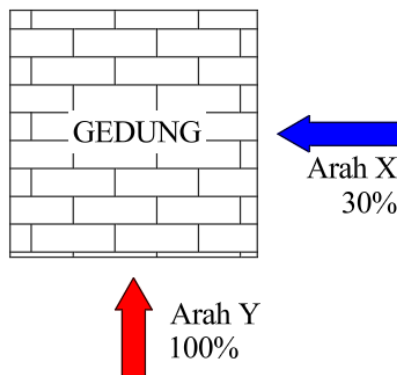
- 1) 1,4DL + 1,4 SDL
 - 2) 1,2D + 1,2 SDL + 1,6 L
 - 3) $(1,2 + 0,2S_{DS}) DL + (1,2 + 0,2S_{DS}) SDL + 1. \rho . Ex + 0,3. \rho . Ey + L$
 - 4) $(1,2 + 0,2SDS) DL + (1,2 + 0,2SDS) SDL + 0,3. \rho . Ex + 1. \rho . Ey + L$
 - 5) $(0,9 - 0,2SDS) DL + (0,9 - 0,2SDS) SDL + 1. \rho . Ex + 0,3. \rho . Ey$
 - 6) $(0,9 - 0,2SDS) DL + (0,9 - 0,2SDS) SDL + 0,3. \rho . Ex + 1. \rho . Ey$
- i. Turunan kombinasi
 - 1) 1,4DL + 1,4 SDL
 - 2) 1,2D + 1,2 SDL + 1,6 L
 - 3) $(1,2 + 0,2SDS) DL + (1,2 + 0,2SDS) SDL + 0,3. \rho . Ex + 1. \rho . Ey + L$



Gambar 5.8 Ilustrasi Arah Gaya Gempa Kombinasi 3

(Sumber : Hasil Analisis Penulis, 2025)

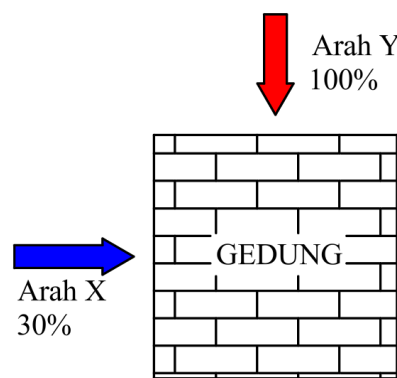
$$4) (1,2 + 0,2\text{SDS}) \text{DL} + (1,2 + 0,2\text{SDS}) \text{SDL} - 0,3 \cdot \rho \cdot \text{Ex} + 1 \cdot \rho \cdot \text{Ey} + \text{L}$$



Gambar 5.9 Ilustrasi Arah Gaya Gempa Kombinasi 4

(Sumber : Hasil Analisis Penulis, 2025)

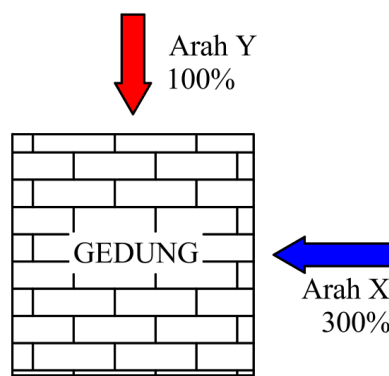
$$5) (1,2 + 0,2\text{SDS}) \text{DL} + (1,2 + 0,2\text{SDS}) \text{SDL} + 0,3 \cdot \rho \cdot \text{Ex} - 1 \cdot \rho \cdot \text{Ey} + \text{L}$$



Gambar 5.10 Ilustrasi Arah Gaya Gempa Kombinasi 5

(Sumber : Hasil Analisis Penulis, 2025)

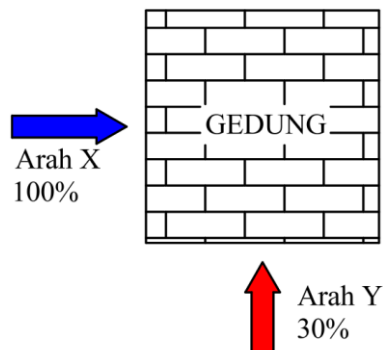
$$6) (1,2 + 0,2\text{SDS}) \text{DL} + (1,2 + 0,2\text{SDS}) \text{SDL} - 0,3 \cdot \rho \cdot \text{Ex} - 1 \cdot \rho \cdot \text{Ey} + \text{L}$$



Gambar 5.11 Ilustrasi Arah Gaya Gempa Kombinasi 6

(Sumber : Hasil Analisis Penulis, 2025)

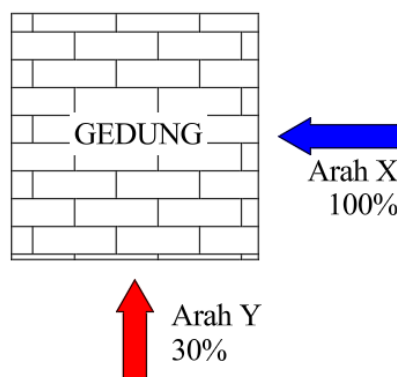
7) $(1,2 + 0,2\text{SDS}) \text{DL} + (1,2 + 0,2\text{SDS}) \text{SDL} + 1. \rho . \text{Ex} + 0,3. \rho . \text{Ey} + \text{L}$



Gambar 5.12 Ilustrasi Arah Gaya Gempa Kombinasi 7

(Sumber : Hasil Analisis Penulis, 2025)

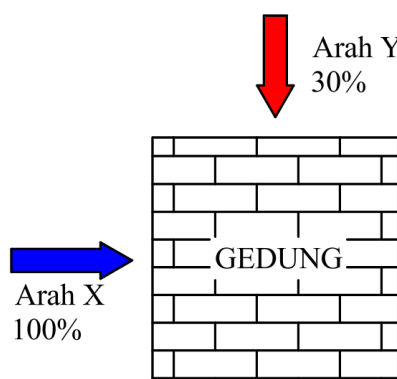
8) $(1,2 + 0,2\text{SDS}) \text{DL} + (1,2 + 0,2\text{SDS}) \text{SDL} - 1. \rho . \text{Ex} + 0,3. \rho . \text{Ey} + \text{L}$



Gambar 5.13 Ilustrasi Arah Gaya Gempa Kombinasi 8

(Sumber : Hasil Analisis Penulis, 2025)

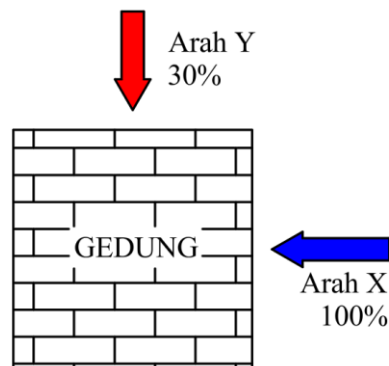
9) $(1,2 + 0,2\text{SDS}) \text{DL} + (1,2 + 0,2\text{SDS}) \text{SDL} + 1. \rho . \text{Ex} - 0,3. \rho . \text{Ey} + \text{L}$



Gambar 5.14 Ilustrasi Arah Gaya Gempa Kombinasi 9

(Sumber : Hasil Analisis Penulis, 2025)

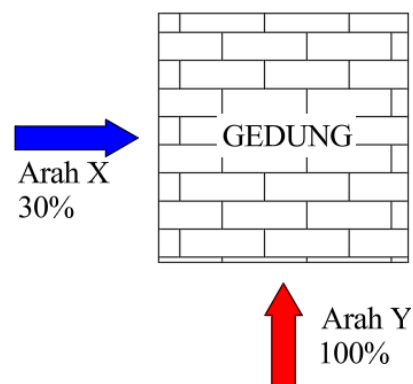
$$10) (1,2 + 0,2\text{SDS}) \text{DL} + (1,2 + 0,2\text{SDS}) \text{SDL} - 1 \cdot \rho \cdot \text{Ex} - 0,3 \cdot \rho \cdot \text{Ey} + \text{L}$$



Gambar 5.15 Ilustrasi Arah Gaya Gempa Kombinasi 10

(Sumber : Hasil Analisis Penulis, 2025)

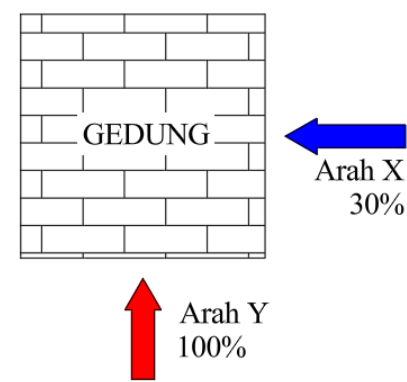
$$11) (0,9 - 0,2\text{SDS}) \text{DL} + (0,9 - 0,2\text{SDS}) \text{SDL} + 0,3 \cdot \rho \cdot \text{Ex} + 1 \cdot \rho \cdot \text{Ey}$$



Gambar 5.16 Ilustrasi Arah Gaya Gempa Kombinasi 11

(Sumber : Hasil Analisis Penulis, 2025)

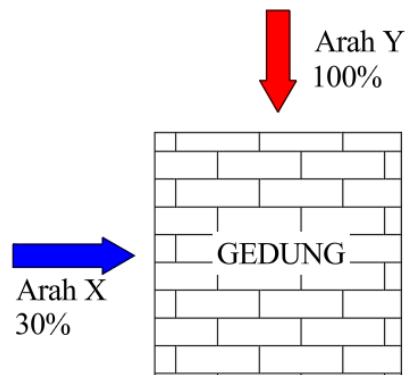
$$12) (0,9 - 0,2\text{SDS}) \text{DL} + (0,9 - 0,2\text{SDS}) \text{SDL} - 0,3 \cdot \rho \cdot \text{Ex} + 1 \cdot \rho \cdot \text{Ey}$$



Gambar 5.17 Ilustrasi Arah Gaya Gempa Kombinasi 12

(Sumber : Hasil Analisis Penulis, 2025)

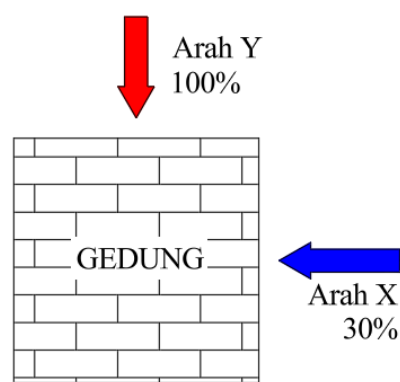
13) $(0,9 - 0,2\text{SDS}) \text{DL} + (0,9 - 0,2\text{SDS}) \text{SDL} + 0,3 \cdot \rho \cdot \text{Ex} - 1 \cdot \rho \cdot \text{Ey}$



Gambar 5.18 Ilustrasi Arah Gaya Gempa Kombinasi 13

(Sumber : Hasil Analisis Penulis, 2025)

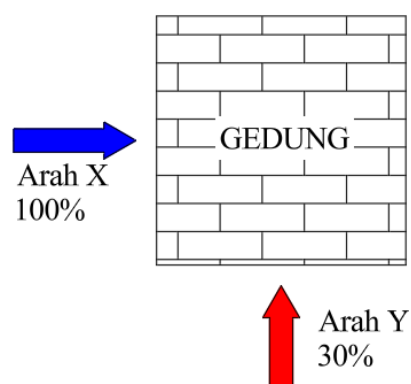
14) $(0,9 - 0,2\text{SDS}) \text{DL} + (0,9 - 0,2\text{SDS}) \text{SDL} - 0,3 \cdot \rho \cdot \text{Ex} - 1 \cdot \rho \cdot \text{Ey}$



Gambar 5.19 Ilustrasi Arah Gaya Gempa Kombinasi 14

(Sumber : Hasil Analisis Penulis, 2025)

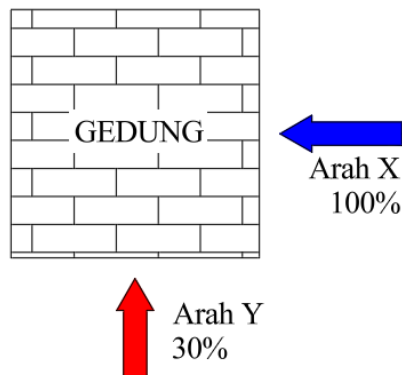
15) $(0,9 - 0,2\text{SDS}) \text{DL} + (0,9 - 0,2\text{SDS}) \text{SDL} + 1 \cdot \rho \cdot \text{Ex} + 0,3 \cdot \rho \cdot \text{Ey}$



Gambar 5.20 Ilustrasi Arah Gaya Gempa Kombinasi 15

(Sumber : Hasil Analisis Penulis, 2025)

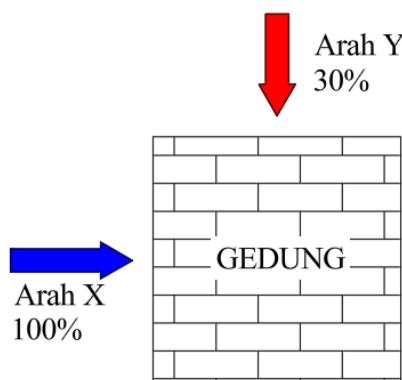
16) $(0,9 - 0,2\text{SDS}) \text{DL} + (0,9 - 0,2\text{SDS}) \text{SDL} - 1. \rho . \text{Ex} + 0,3. \rho . \text{Ey}$



Gambar 5.21 Ilustrasi Arah Gaya Gempa Kombinasi 16

(Sumber : Hasil Analisis Penulis, 2025)

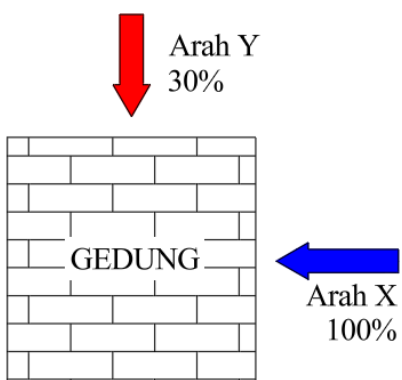
17) $(0,9 - 0,2\text{SDS}) \text{DL} + (0,9 - 0,2\text{SDS}) \text{SDL} + 1. \rho . \text{Ex} - 0,3. \rho . \text{Ey}$



Gambar 5.22 Ilustrasi Arah Gaya Gempa Kombinasi 17

(Sumber : Hasil Analisis Penulis, 2025)

18) $(0,9 - 0,2\text{SDS}) \text{DL} + (0,9 - 0,2\text{SDS}) \text{SDL} - 1. \rho . \text{Ex} - 0,3. \rho . \text{Ey}$



Gambar 5.23 Ilustrasi Arah Gaya Gempa Kombinasi 18

(Sumber : Hasil Analisis Penulis, 2025)

j. Rekapitulasi kombinasi beban yang digunakan

Dalam hal ini, faktor redundansi (ρ) = 1,3 dan $S_{ds} = 0,6638$. Sehingga kombinasi pembebanan menjadi sebagai berikut.

Tabel 5.10 Rekapitulasi Kombinasi Beban

Kombinasi	Jenis Beban				
	DL	SDL	LL	EX	EY
K1	1,4	1,4	-	-	-
K2	1,2	1,2	1,6	-	-
K3	1,333	1,333	1	0,39	1,3
K4	1,333	1,333	1	-0,39	1,3
K5	1,333	1,333	1	0,39	-1,3
K6	1,333	1,333	1	-0,39	-1,3
K7	1,333	1,333	1	1,3	0,39
K8	1,333	1,333	1	-1,3	0,39
K9	1,333	1,333	1	1,3	-0,39
K10	1,333	1,333	1	-1,3	-0,39
K11	0,767	0,767	-	0,39	1,3
K12	0,767	0,767	-	-0,39	1,3
K13	0,767	0,767	-	0,39	-1,3
K14	0,767	0,767	-	-0,39	-1,3
K15	0,767	0,767	-	1,3	0,39
K16	0,767	0,767	-	-1,3	0,39
K17	0,767	0,767	-	1,3	-0,39
K18	0,767	0,767	-	-1,3	-0,39

(Sumber : Hasil Analisis Penulis, 2025)

5.4 Perkiraan Awal Dimensi Struktur

5.4.1 Perkiraan awal dimensi balok

Pada preliminary design balok mengacu pada SNI 2847:2019 Tabel 9.3.1.1 Hal 180. Dikarenakan jarak antar kolom simetris, maka bentang terpanjang diambil 6m. Untuk pengecekan batasan dimensi balok pada SRPMK akan dibahas selanjutnya.

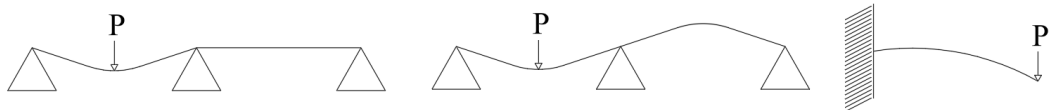
Tabel 5.11 Pemilihan Tinggi Minimum Balok Nonprategang

Kondisi perletakan	Minimum, h
Perletakan sederhana	$\ell/16$
Menerus satu sisi	$\ell/18,5$
Menerus dua sisi	$\ell/21$
Kantilever	$\ell/5$

(Sumber : SNI 2847:2019 Tabel 9.3.1.1 Hal 180)

Kondisi perletakan sederhana yaitu balok yang menahan suatu beban di satu bentang dan menyebabkan momen lentur dan kelengkungan hanya pada batang tersebut. Kondisi perletakan menerus yaitu balok yang menahan suatu beban di satu bentang yang dapat menyebabkan timbulnya momen dan kelengkungan pada

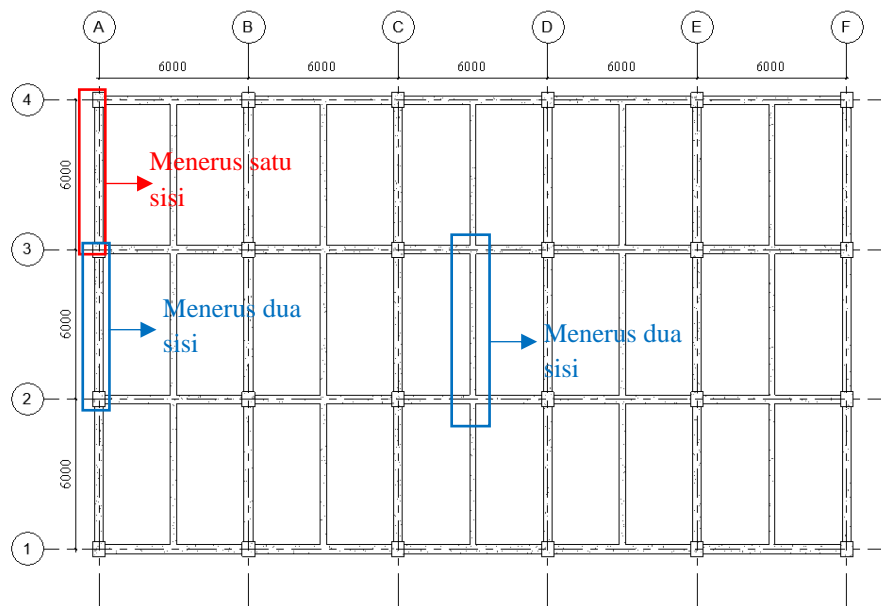
bentang tersebut dan pada bentang lainnya. Kondisi perletakan kantilever yaitu balok yang dijepit kaku pada satu sisinya sedangkan ujung lainnya bebas. Pada penelitian ini kondisi perletakan balok ada yang mengalami kondisi perletakan menerus satu sisi atau menerus dua sisi.



Gambar 5.24 Ilustrasi Kondisi Perletakan (a) Perletakan sederhana, (b) Perletakan

menerus, dan (c) Perletakan kantilever

(Sumber : Hasil Analisis Penulis, 2025)



Gambar 5.25 Ilustrasi Kondisi Perletakan Balok Pada Penelitian

(Sumber : Hasil Analisis Penulis, 2025)

a. Balok induk (B1)

$$h = \frac{\text{Panjang Bentang}}{18,5} = \frac{6000}{18,5} = 324,324 \text{ mm, digunakan } 500 \text{ mm}$$

$$b_{\min} = 0,5 \times h = 0,5 \times 500 = 250 \text{ mm}$$

$$b_{\max} = 0,75 \times h = 0,75 \times 500 = 375 \text{ mm}$$

$$b_{\text{pakai}} = 250 \text{ mm}$$

b. Balok induk (B2)

$$h = \frac{\text{Panjang Bentang}}{18,5} = \frac{6000}{18,5} = 324,324 \text{ mm, digunakan } 450 \text{ mm}$$

$$b_{\min} = 0,5 \times h = 0,5 \times 450 = 225 \text{ mm}$$

$$b_{\max} = 0,75 \times h = 0,75 \times 450 = 337,5 \text{ mm}$$

$$b_{\text{pakai}} = 250 \text{ mm}$$

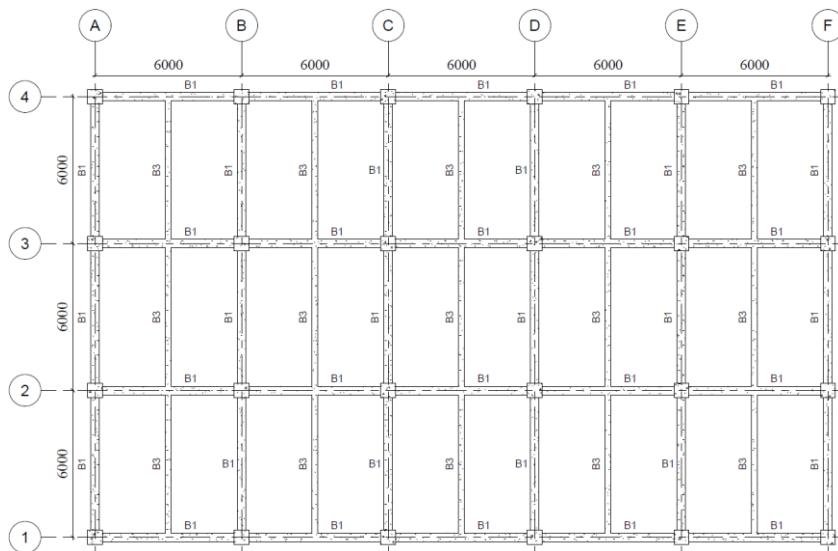
c. Balok anak (B3)

$$h = \frac{\text{Panjang Bentang}}{18,5} = \frac{6000}{21} = 285,714 \text{ mm, digunakan } 400 \text{ mm}$$

$$b_{\min} = 0,5 \times h = 0,5 \times 400 = 200 \text{ mm}$$

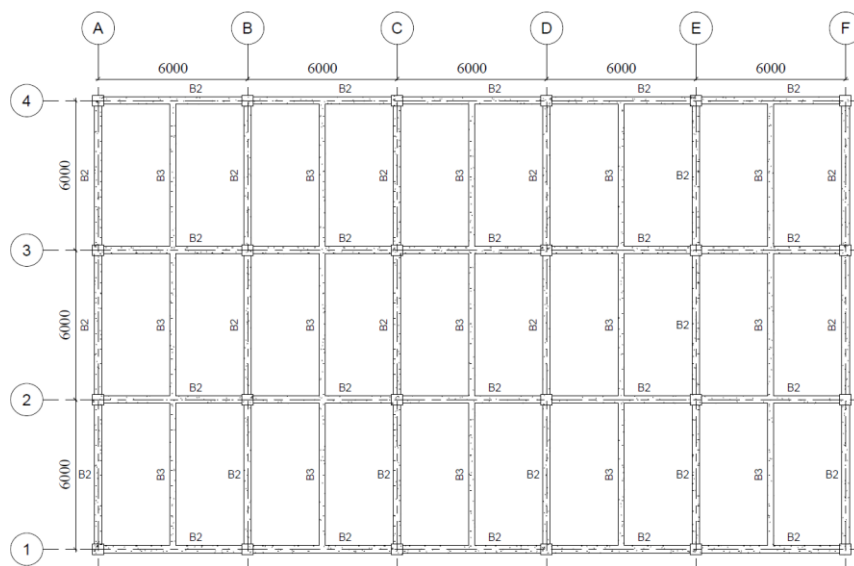
$$b_{\max} = 0,75 \times h = 0,75 \times 400 = 300 \text{ mm}$$

$$b_{\text{pakai}} = 250 \text{ mm}$$



Gambar 5.26 Denah Balok Lantai 1-5

(Sumber: Hasil Analisis Penulis, 2025)

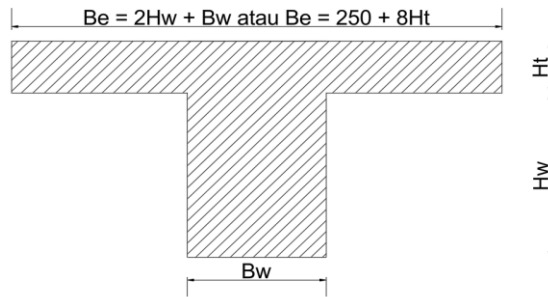


Gambar 5.27 Denah Balok Lantai 6-10

(Sumber: Hasil Analisis Penulis, 2025)

5.4.2 Perkiraan awal dimensi pelat

Batasan dimensi pelat mengacu pada Tabel 8.3.1.2 SNI 2847:2019 Hal 134. Pada penelitian ini tebal pelat diasumsikan sebesar 130 mm.



Gambar 5.28 Penampang Balok – Pelat

(Sumber: Hasil Analisis Penulis, 2025)

Berdasarkan preliminary design, ditentukan bahwa nilai $Bw = 250$ mm, $Hw = 270$ mm, dan $Ht = 130$ mm.

$$Be1 = 2 Hw \times Bw = 2 \times 270 \times 250 = 790 \text{ mm}$$

$$Be2 = Bw + 8 Ht = 250 + 8 \times 130 = 1290 \text{ mm}$$

Be diambil dari nilai terkecil dari dua diatas yaitu sebesar 790 mm. Kemudian dihitung nilai titik berat penampang (y) dari balok T untuk kemudian dihitung momen inersianya.

$$\begin{aligned} \text{Luas bagian sayap} &= Be \times Ht \\ &= 790 \times 130 = 102700 \text{ mm}^2 \end{aligned}$$

$$\begin{aligned} \text{Luas bagian badan} &= Bw \times Hw = 250 \times 270 \\ &= 67500 \text{ mm}^2 \end{aligned}$$

$$\begin{aligned} \text{Luas total penampang} &= 102700 + 67500 \\ &= 170200 \text{ mm}^2 \end{aligned}$$

$$\begin{aligned} \text{Titik berat penampang} &= \frac{102700 \times (\frac{130}{2}) + 67500 \times (130 + \frac{270}{2})}{170200} \\ &= 144,318 \text{ mm} \end{aligned}$$

Momen inersia balok T:

$$\begin{aligned} I_b &= (\frac{1}{12} \times 790 \times 130^3) + (102700 \times (144,318 - (\frac{130}{2}))^2) + (\frac{1}{12} \\ &\quad \times 250 \times 270^3) + (67500 \times (144,318 - (130 + \frac{270}{2}))^2) \end{aligned}$$

$$= 2183899273 \text{ mm}^4$$

Momen inersia pelat arah pendek:

$$\begin{aligned} I_s &= \frac{1}{12} \times Ly \times Ht^3 \\ &= \frac{1}{12} \times (6000 - 250) \times 130^3 \\ &= 1052729167 \text{ mm}^2 \\ \alpha_{fs} &= \frac{E_b \times I_b}{E_s \times I_s} = \frac{4700 \sqrt{30} \times 2183899273}{4700 \sqrt{30} \times 1052729167} = 2,0745 \end{aligned}$$

Momen inersia pelat arah panjang:

$$\begin{aligned} I_l &= \frac{1}{12} \times Lx \times Ht^3 \\ &= \frac{1}{12} \times (\frac{6000}{2} - \frac{250}{2} - \frac{250}{2}) \times 130^3 \\ &= 503479166,7 \text{ mm}^4 \\ \alpha_{fl} &= \frac{E_b \times I_b}{E_s \times I_l} = \frac{4700 \sqrt{30} \times 2183899273}{4700 \sqrt{30} \times 503479166,7} = 4,338 \end{aligned}$$

Kemudian dapat dihitung nilai α_{fm} dan β , untuk menentukan tebal pelat minimum sesuai dengan SNI 2847:2019 Tabel 8.3.1.2 Hal 134.

$$\alpha_{fm} = \frac{\alpha_{fs} + \alpha_{fl}}{2} = \frac{2,0745 + 4,338}{2} = 3,206$$

Tabel 5.12 Ketebalan Minimum Pelat Dua Arah Nonprategang Dengan Balok Di Antara Tumpuan Pada Semua Sisinya

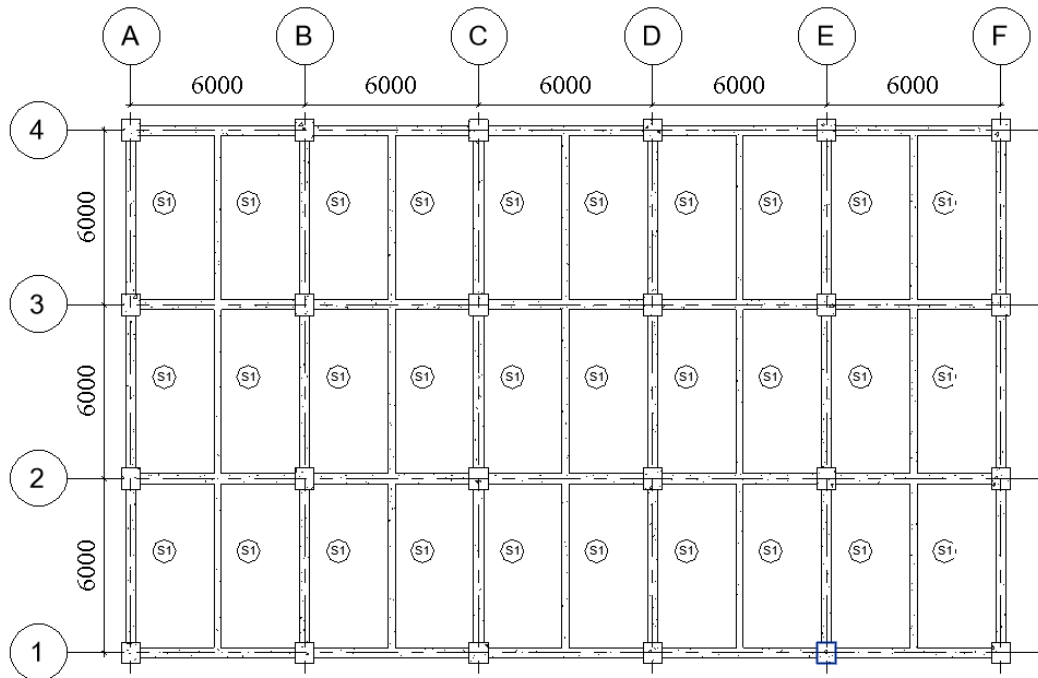
α_{fm}	<i>h</i> minimum, mm		
$\alpha_{fm} < 0,2$	8.3.1.1 berlaku		(a)
$0,2 < \alpha_{fm} \leq 2,0$	Terbesar dari:	$\frac{\ell_n (0,8 + \frac{f_y}{1400})}{36 + 5\beta(\alpha_{fm} - 0,2)}$	(b)
		125	(c)
$\alpha_{fm} \geq 2,0$	Terbesar dari:	$\frac{\ell_n (0,8 + \frac{f_y}{1400})}{36 + 9\beta}$	(d)
		90	(e)

(Sumber: Tabel 8.3.1.2 SNI 2847:2019 Hal 134)

Karena $\alpha_{fm} > 2$, maka tebal minimum h:

$$\begin{aligned}\beta &= \frac{6000}{\frac{6000}{2}} \\ &= 2 \\ \ln &= 6000 \text{ mm} \\ h &= \frac{\ln (0,8 + \frac{f_y}{1400})}{36 + 9\beta} \\ &= \frac{6000 (0,8 + \frac{420}{1400})}{36 + 9(2)} \\ &= 122,222 \text{ mm}\end{aligned}$$

Maka perkiraan awal dengan tebal pelat sebesar 130mm telah memenuhi syarat dan dapat digunakan.

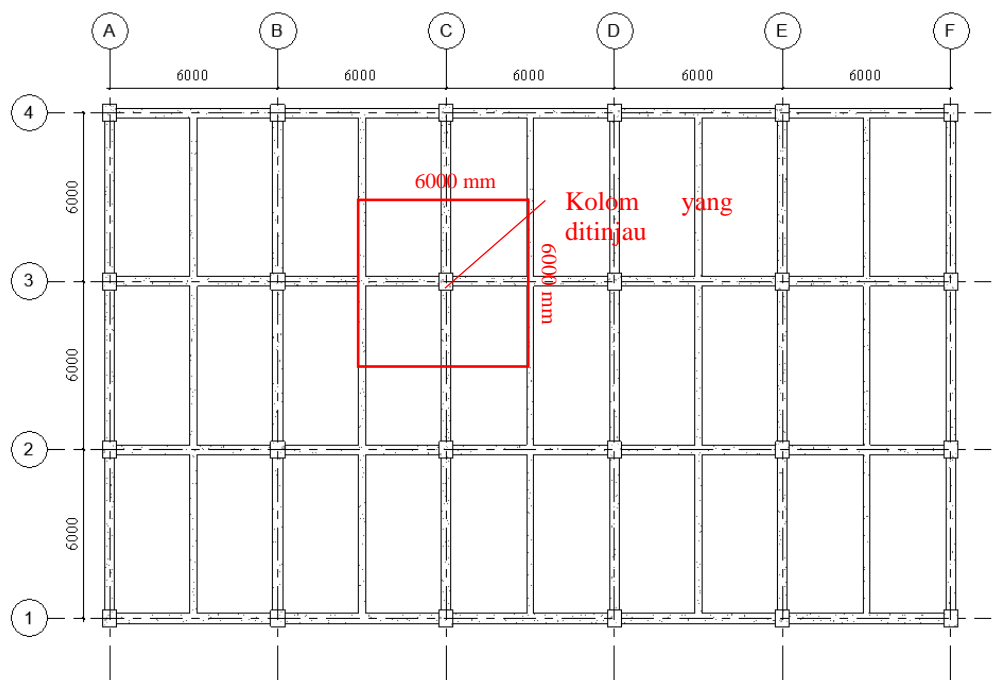


Gambar 5.29 Denah Pelat Lantai 1-10

(Sumber: Hasil Analisis Penulis, 2025)

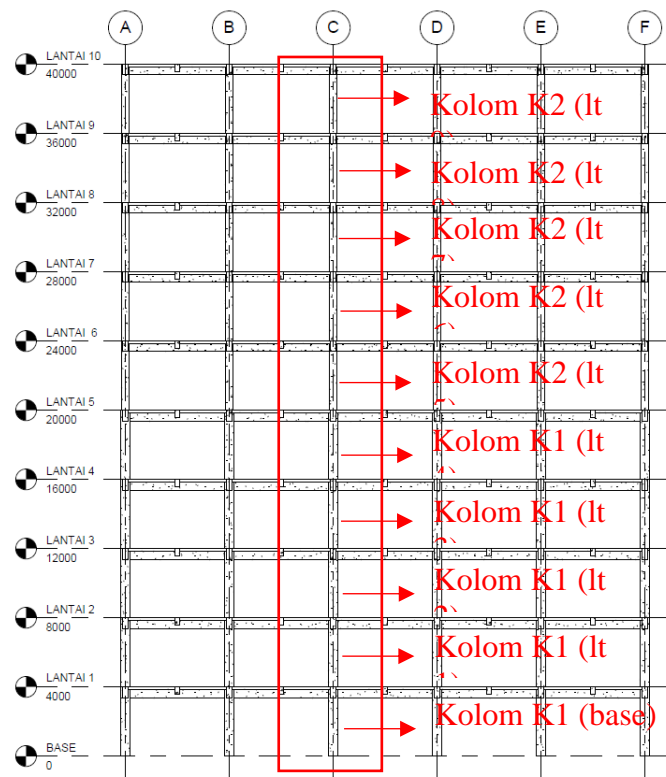
5.4.3 Perkiraan awal dimensi kolom

Untuk memperkirakan dimensi awal kolom kita perlu mengambil sebuah kolom yang sekiranya memikul beban terbesar. Pada kasus ini diambil kolom yang berada di tengah bangunan yaitu pada grid C3.



Gambar 5.30 Lokasi Kolom Yang Ditinjau

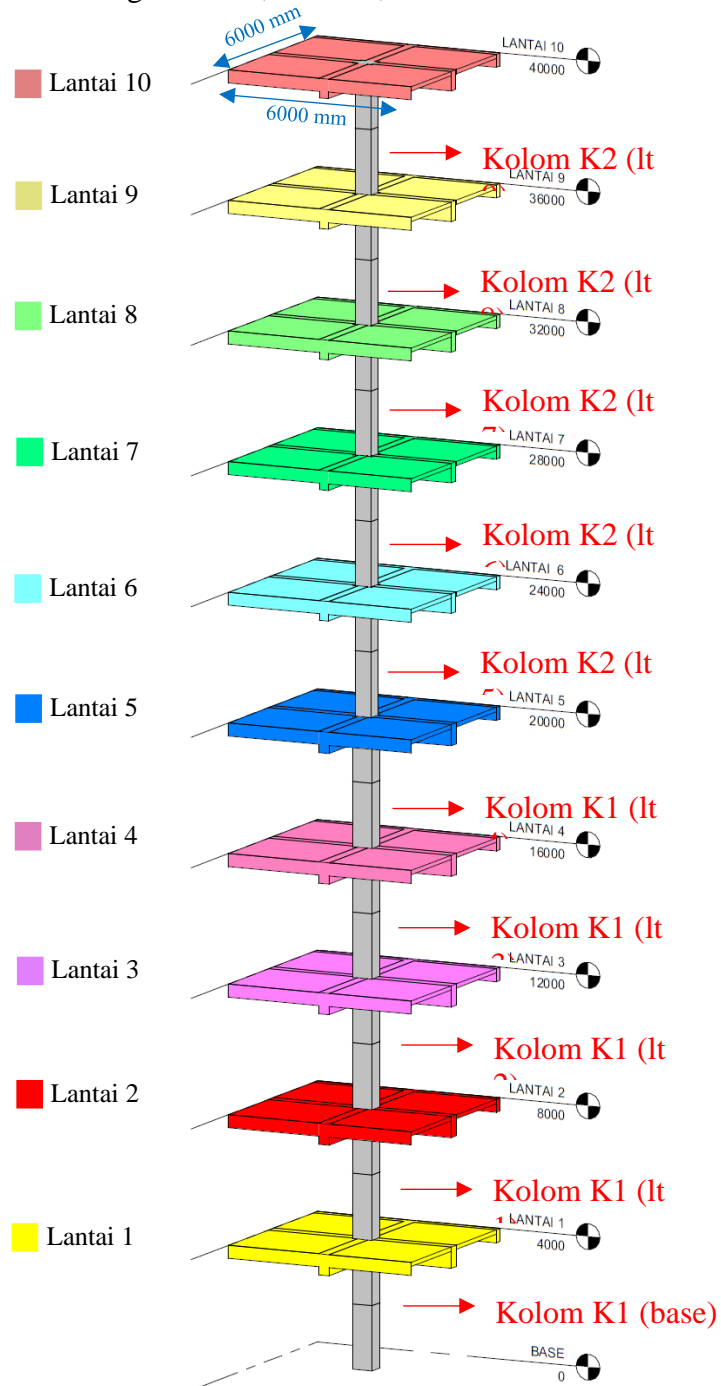
(Sumber: Hasil Analisis Penulis, 2025)



Gambar 5.31 Potongan Kolom Yang Ditinjau

(Sumber: Hasil Analisis Penulis, 2025)

Untuk mencari dimensi kolom yang dibutuhkan, perlu dicari terlebih dahulu beban yang dipikul oleh kolom tersebut. Dikarenakan jarak antar kolom C-3 dengan kolom disekitarnya yang simetris maka luas beban yang dipikul oleh kolom C-3 seluas 6m x 6m dihitung dari as kolom C-3. Berikut perhitungan beban yang dipikul kolom C-3 dengan kombinasi gravitasi 1,2DL + 1,6LL.



Gambar 5.32 3D Tributary Area Kolom C-3

(Sumber: Hasil Analisis Penulis, 2025)

Setelah beban diketahui, maka dapat dicari kebutuhan dimensi kolom dengan menggunakan rumus tegangan (σ)

$$\sigma = \frac{P}{A}$$

Dalam penelitian ini digunakan tegangan beton (f_c') sebesar 30 Mpa, namun untuk mencari kebutuhan dimensi kolom dalam persamaan digunakan tegangan beton maksimal sebesar $0,4f_c'$ karena beton masih bersifat elastis. Dalam penelitian ini digunakan nilai $0,4f_c'$ dengan harapan dapat digunakan dimensi kolom sekecil mungkin.

a. Kolom (K2) lt 9

Berikut pembebanan tributary area lantai 10.

Tabel 5.13 Pembebanan Tributary Area Lantai 10

No	Jenis Bahan	Tipe	Luas	Lebar	Tinggi	Panjang	BJ	Total	Satuan
1	Balok	B2		0,25	0,45	12	2400	3240	kg
2	Balok	B3		0,25	0,4	6	2400	1440	kg
3	Pelat		36		0,13		2400	11232	kg
4	Plester 2cm		36				53	1908	kg
5	Keramik		36				24	864	kg
6	MEP		36				25	900	kg
7	Plafond dan penggantung		36				18	648	kg
8	LL Atap		36				367,0978	13215,5	kg
Total Beban mati								15912	kg
Total Beban mati tambahan								4320	kg
Total Beban hidup								13215,5	kg
Total Pembebanan (kombinasi 2) $1,2(DL+SDL)+1,6LL$								45423,2	kg

(Sumber: Hasil Analisis Penulis, 2025)

Setelah mencari beban yang dipikul oleh kolom, selanjutnya bisa dicari dimensi kolom yang dibutuhkan sesuai beban yang dipikul. Berikut perhitungan dimensi kolom yang dibutuhkan.

$$\begin{aligned}
 b = h &= \sqrt{\frac{\text{Beban lt 10}}{0,4 \times f_c'}} \\
 &= \sqrt{\frac{45423,2}{0,4 \times 305,915}} \\
 &= 19,27 \text{ cm},
 \end{aligned}$$

Dipakai dimensi 45cm x 45cm mengikuti kebutuhan dimensi kolom lt 5 yang akan dihitung selanjutnya.

b. Kolom (K2) lt 8

Berikut pembebanan tributary area lantai 5-9.

Tabel 5.14 Pembebanan Tributary Area Per Lantai 5-9

No	Jenis Bahan	Tipe	Luas	Lebar	Tinggi	Panjang	BJ	Total	Satuan
1	Balok	B2		0,25	0,45	12	2400	3240	kg
2	Balok	B3		0,25	0,4	6	2400	1440	kg
3	Kolom	K2		0,45	4	0,45	2400	1944	kg
4	Pelat		36		0,13		2400	11232	kg
5	Plester 2cm		36				53	1908	kg
6	Keramik		36				24	864	kg
7	MEP		36				25	900	kg
8	Plafond dan penggantung		36				18	648	kg
9	LL Atap		36				244,7319	8810,45	kg
Total Beban mati								17856	kg
Total Beban mati tambahan								4320	kg
Total Beban hidup								8810,45	kg
Total Pembebanan (kombinasi 2) 1,2(DL+SDL)+1,6LL								40707,8	kg

(Sumber: Hasil Analisis Penulis, 2025)

$$\begin{aligned}
 b = h &= \sqrt{\frac{\text{Beban (lt 10 + lt 9)}}{0,4 \times fc}} \\
 &= \sqrt{\frac{40707,8 + 45423,2}{0,4 \times 305,915}} \\
 &= 26,53 \text{ cm, dipakai dimensi kolom } 45\text{cm} \times 45\text{cm.}
 \end{aligned}$$

c. Kolom (K2) lt 7

$$\begin{aligned}
 b = h &= \sqrt{\frac{\text{Beban (lt 10 + lt 9 + lt 8)}}{0,4 \times fc}} \\
 &= \sqrt{\frac{40707,8 + 45423,2 \times 2}{0,4 \times 305,915}} \\
 &= 32,2 \text{ cm, dipakai dimensi kolom } 45\text{cm} \times 45\text{cm.}
 \end{aligned}$$

d. Kolom (K2) lt 6

$$\begin{aligned}
 b = h &= \sqrt{\frac{\text{Beban (lt 10 + lt 9 + lt 8 + lt 7)}}{0,4 \times fc}} \\
 &= \sqrt{\frac{40707,8 + 45423,2 \times 3}{0,4 \times 305,915}} \\
 &= 37 \text{ cm, dipakai dimensi kolom } 45\text{cm} \times 45\text{cm.}
 \end{aligned}$$

e. Kolom (K2) lt 5

$$\begin{aligned}
 b = h &= \sqrt{\frac{\text{Beban (lt 10 + lt 9 + lt 8 + lt 7 + lt 6)}}{0,4 \times f_c}} \\
 &= \sqrt{\frac{40707,8 + 45423,2 \times 4}{0,4 \times 305,915}} \\
 &= 41,25 \text{ cm, dipakai dimensi kolom } 45\text{cm} \times 45\text{cm.}
 \end{aligned}$$

f. Kolom (K1) lt 4

$$\begin{aligned}
 b = h &= \sqrt{\frac{\text{Beban (lt 10 + lt 9 + lt 8 + lt 7 + lt 6 + lt 5)}}{0,4 \times f_c}} \\
 &= \sqrt{\frac{40707,8 + 45423,2 \times 5}{0,4 \times 305,915}} \\
 &= 45,1 \text{ cm}
 \end{aligned}$$

Dipakai dimensi 60cm x 60cm mengikuti kebutuhan dimensi pedestal yang akan dihitung selanjutnya.

g. Kolom (K1) lt 3

Berikut pembebanan tributary area per lantai 1-4.

Tabel 5.15 Pembebanan Tributary Area Per Lantai 1-4

No	Jenis Bahan	Tipe	Luas	Lebar	Tinggi	Panjang	BJ	Total	Satuan
1	Balok	B1		0,25	0,5	12	2400	3600	kg
2	Balok	B3		0,25	0,4	6	2400	1440	kg
3	Kolom	K1		0,6	4	0,6	2400	3456	kg
4	Pelat		36		0,13		2400	11232	kg
5	Plester 2cm		36				53	1908	kg
6	Keramik		36				24	864	kg
7	MEP		36				25	900	kg
8	Plafond dan penggantung		36				18	648	kg
9	LL Perkantoran		36				244,7319	8810,45	kg
Total Beban mati								19728	kg
Total Beban mati tambahan								4320	kg
Total Beban hidup								8810,45	kg
Total Pembebanan (kombinasi 2) 1,2(DL+SDL)+1,6LL								42954,2	kg

(Sumber: Hasil Analisis Penulis, 2025)

$$\begin{aligned}
 b = h &= \sqrt{\frac{\text{Beban (lt 10 + lt 9 + lt 8 + lt 7 + lt 6 + lt 5 + lt 4)}}{0,4 \times fc}} \\
 &= \sqrt{\frac{43818,157 + 46719,235 \times 5 + 42954,2}{0,4 \times 305,915}} \\
 &= 48,84 \text{ cm, dipakai dimensi kolom } 60\text{cm} \times 60\text{cm.}
 \end{aligned}$$

h. Kolom (K1) lt 2

$$\begin{aligned}
 b = h &= \sqrt{\frac{\text{Beban (lt 10 + lt 9 + lt 8 + lt 7 + lt 6 + lt 5 + lt 4 + lt 3)}}{0,4 \times fc}} \\
 &= \sqrt{\frac{43818,157 + 46719,235 \times 5 + 42954,2 \times 2}{0,4 \times 305,915}} \\
 &= 52,31 \text{ cm, dipakai dimensi kolom } 60\text{cm} \times 60\text{cm.}
 \end{aligned}$$

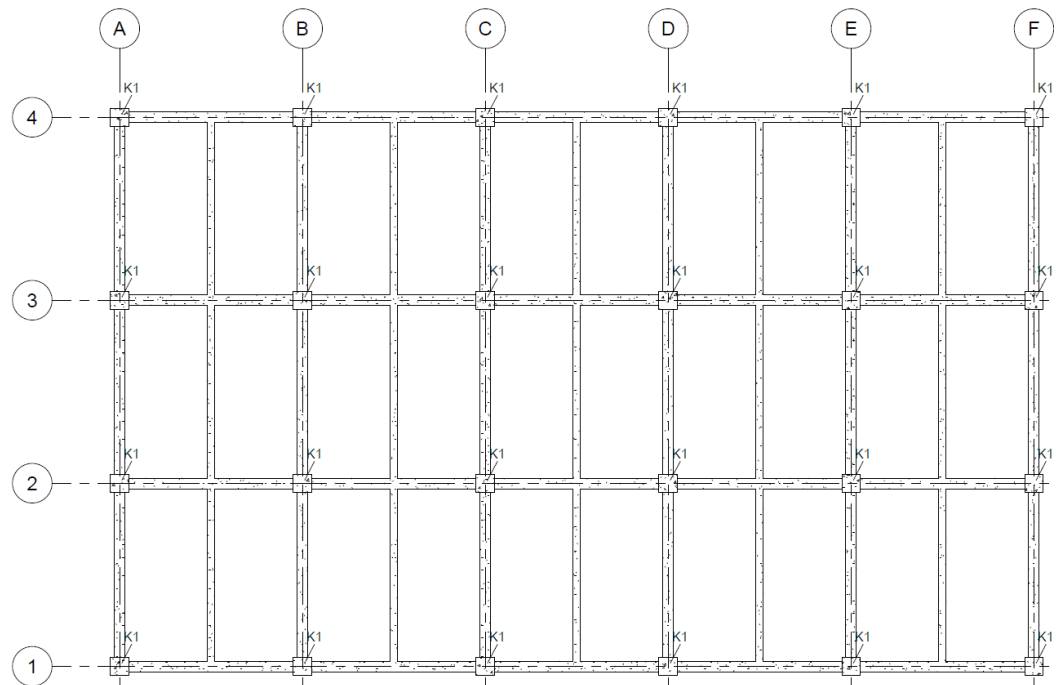
i. Kolom (K1) lt 1

$$\begin{aligned}
 b = h &= \sqrt{\frac{\text{Beban (lt 10 + lt 9 + lt 8 + lt 7 + lt 6 + lt 5 + lt 4 + lt 3 + lt 2)}}{0,4 \times fc}} \\
 &= \sqrt{\frac{43818,157 + 46719,235 \times 5 + 42954,2 \times 3}{0,4 \times 305,915}} \\
 &= 55,57 \text{ cm, dipakai dimensi kolom } 60\text{cm} \times 60\text{cm.}
 \end{aligned}$$

j. Kolom (K1) pedestal

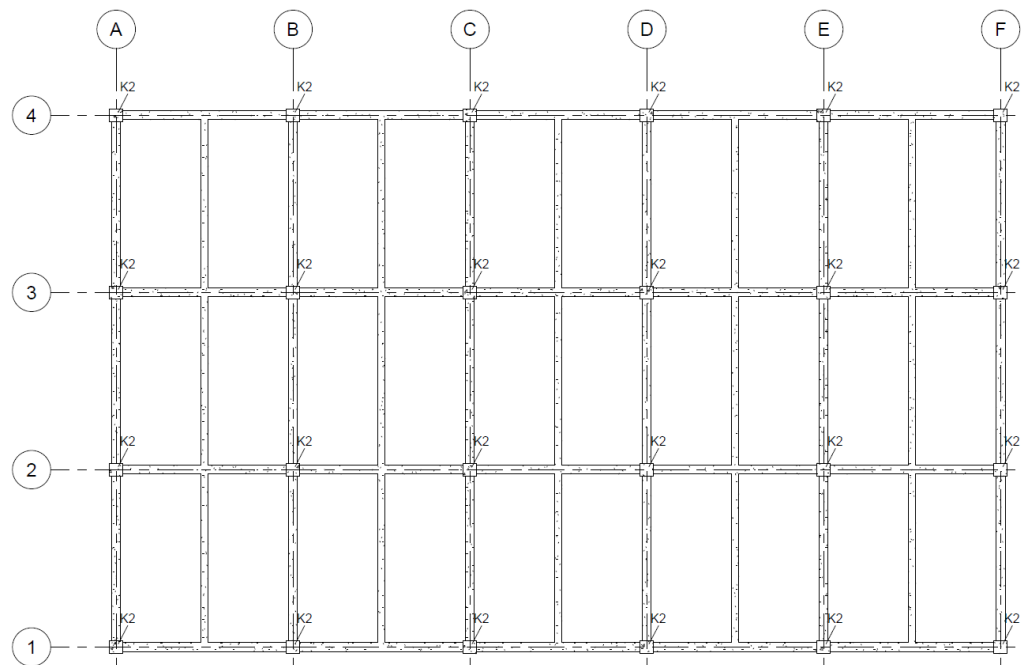
$$\begin{aligned}
 b = h &= \sqrt{\frac{\text{Beban (lt 10 + lt 9 + lt 8 + lt 7 + lt 6 + lt 5 + lt 4 + lt 3 + lt 2 + lt 1)}}{0,4 \times fc}} \\
 &= \sqrt{\frac{43818,157 + 46719,235 \times 5 + 42954,2 \times 4}{0,3 \times 305,915}} \\
 &= 58,64 \text{ cm, dipakai dimensi kolom } 60\text{cm} \times 60\text{cm.}
 \end{aligned}$$

Setelah dilakukan perhitungan, didapat dimensi kolom (K1) sebesar 60cm x 60cm dan dimensi kolom (K2) sebesar 45cm x 45cm. Untuk pengecekan batasan dimensi kolom pada SRPMK akan dibahas pada poin selanjutnya.



Gambar 5.33 Denah Kolom Lantai 1-4

(Sumber: Hasil Analisis Penulis, 2025)



Gambar 5.34 Denah Kolom Lantai 5-9

(Sumber: Hasil Analisis Penulis, 2025)

5.5 Permodelan Struktur

Struktur dimodelkan pada perangkat lunak *ETABS* dan *TSD*. Struktur dimodelkan dalam skala 3 dimensi dengan memasukkan elemen struktur yang berupa kolom,

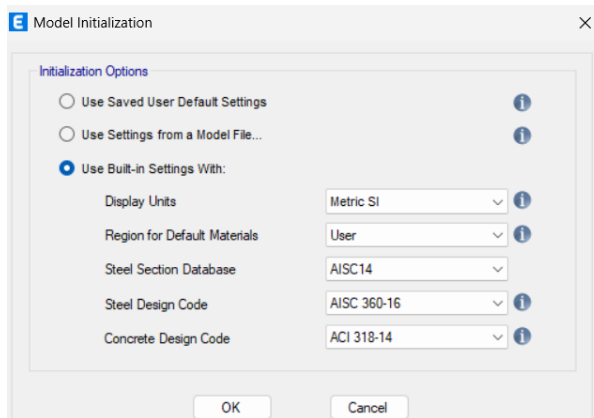
balok, dan pelat. Pelat beton dimodelkan sebagai *shell* (pada *ETABS*) dan *slab on beams* (pada *TSD*) dengan asumsi pelat membantu dalam menahan gaya yang terjadi. Beban struktur meliputi beban mati (DL), beban mati tambahan (SDL), beban hidup (LL), dan beban gempa. Jenis tumpuan berupa perletakan jepit. Tahapan permodelan pada kedua perangkat lunak tidak jauh berbeda.

5.5.1 Permodelan struktur pada *ETABS*

Berikut step step permodelan struktur pada perangkat lunak *ETABS*.

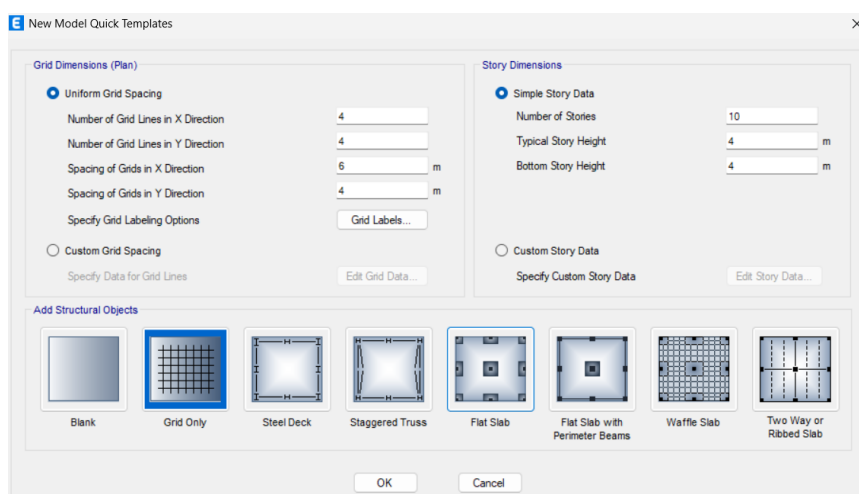
a. Pengaturan permodelan dan pembuatan grid

Permodelan menggunakan unit *Metric SI* dengan kode desain beton ACI 318:14 sesuai acuan dari standar peraturan Indonesia yaitu SNI 2847:2019. Grid dan jumlah lantai mengikuti data pada poin sebelumnya.



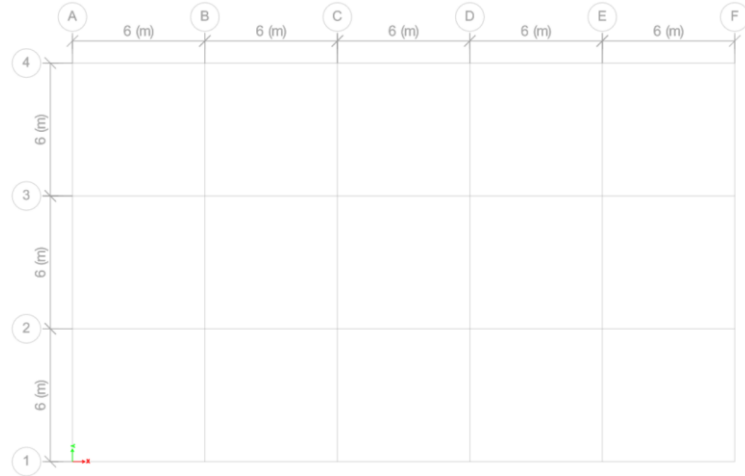
Gambar 5.35 Pengaturan Permodelan Pada *ETABS*

(Sumber: Hasil Analisis Penulis, 2025)



Gambar 5.36 Pengaturan Grid Dan Story Pada *ETABS*

(Sumber: Hasil Analisis Penulis, 2025)

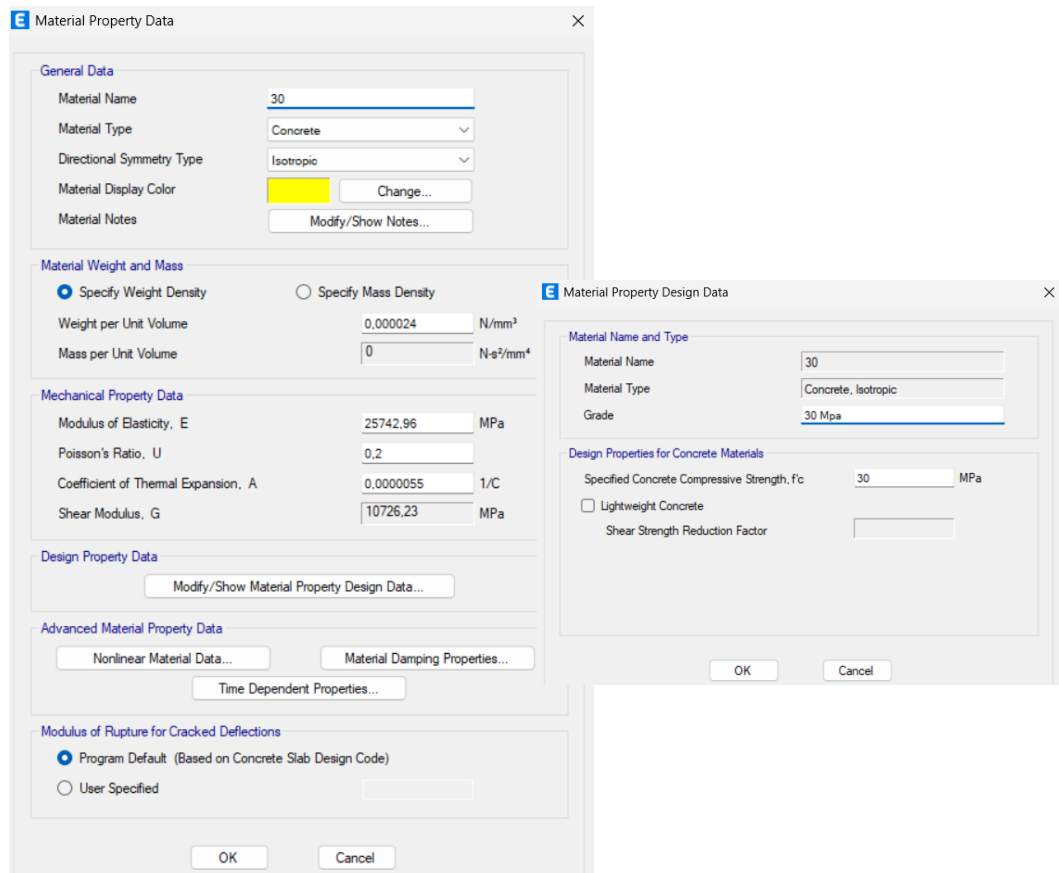


Gambar 5.37 Denah Grid Pada ETABS

(Sumber: Hasil Analisis Penulis, 2025)

b. Pendefinisian material

Material beton menggunakan mutu benton $f_c' = 30 \text{ Mpa}$, berat jenis 2400 kg/m^3 , dan modulus elastisitas beton sebesar $4700\sqrt{30} = 25742,96 \text{ Mpa}$.



Gambar 5.38 Pendefinisian Material Beton $F_c' = 30 \text{ Mpa}$ Pada ETABS

(Sumber: Hasil Analisis Penulis, 2025)

- c. Pendefinisan elemen struktur (balok kolom pelat)

Berikut ukuran elemen struktur:

Ukuran balok induk (B1) = 250 x 500 mm

Ukuran balok induk (B2) = 250 x 450 mm

Ukuran balok anak (B3) = 250 x 400 mm

Ukuran kolom (K1) = 600 x 600 mm

Ukuran kolom (K2) = 450 x 450 mm

Ukuran pelat = 130 mm dimodelkan sebagai *membrane*

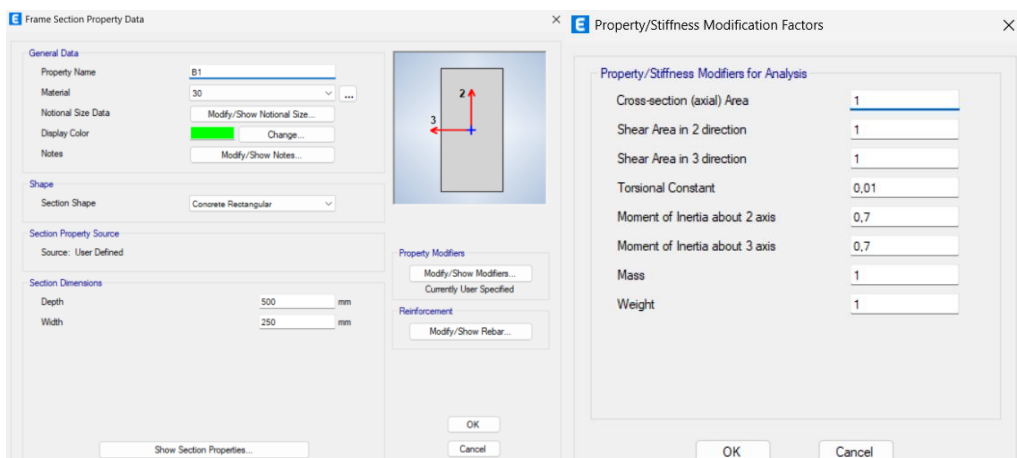
Pada pendefinisan elemen struktur, dibutuhkan besaran momen inersia dan luas penampang yang diatur berdasarkan SNI 2847:2019 Tabel 6.6.3.1.1(a) atau Tabel 6.6.3.1.1(b) Hal 103.

Tabel 5.16 Momen Inersia Dan Luas Penampang Yang Diizinkan Untuk Analisis Elastis Pada Level Beban Terfaktor

Bagian dan kondisi	Momen inersia	Luas penampang
Kolom	$0,70 I_g$	1,0A _g
Dinding	Tidak retak Retak	
Balok	$0,35 I_g$	
Pelat datar dan <i>slab</i> datar	$0,25 I_g$	

(Sumber: SNI 2847:2019 Tabel 6.6.3.1.1(a) Hal 103)

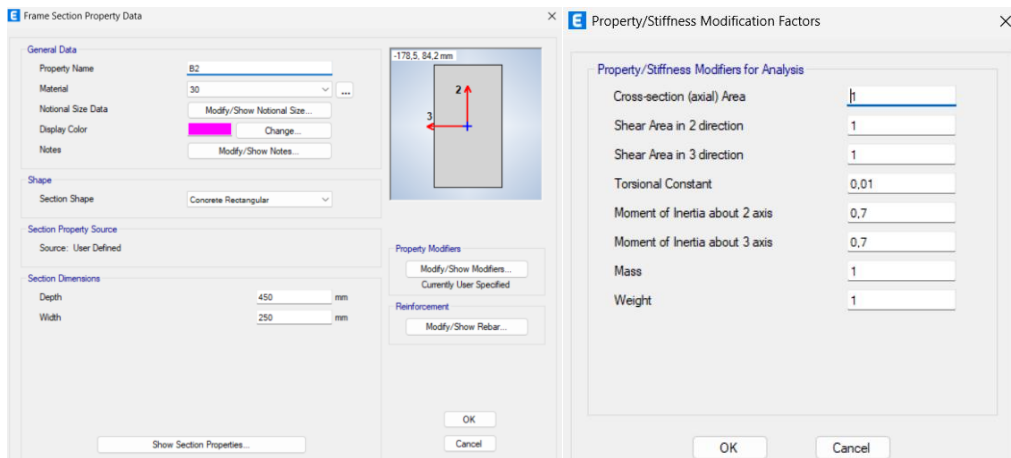
Berikut pendefinisan elemen balok induk (B1) 250 mm x 500 mm pada ETABS.



Gambar 5.39 Pendefinisan Elemen Balok Induk (B1) Pada ETABS

(Sumber: Hasil Analisis Penulis, 2025)

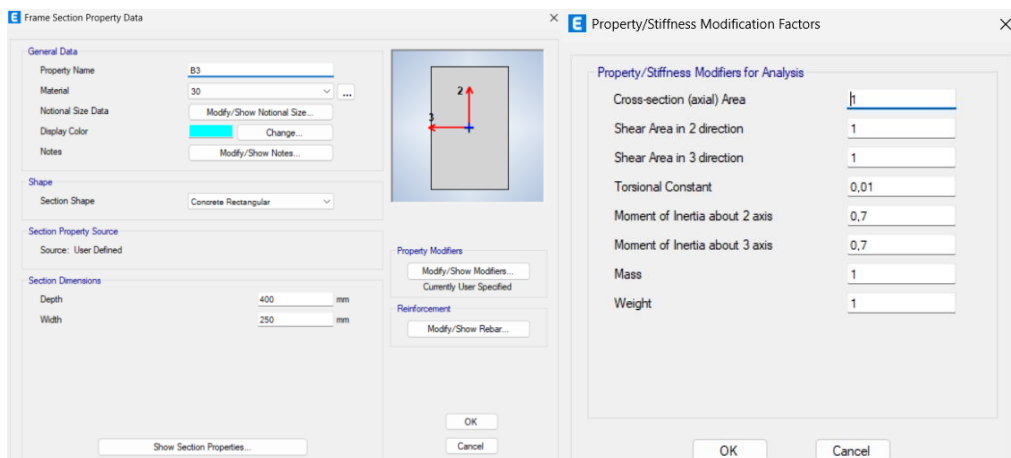
Berikut pendefinisan elemen balok induk (B2) 250 mm x 450 mm pada ETABS.



Gambar 5.40 Pendefinisian Elemen Balok Induk (B2) Pada ETABS

(Sumber: Hasil Analisis Penulis, 2025)

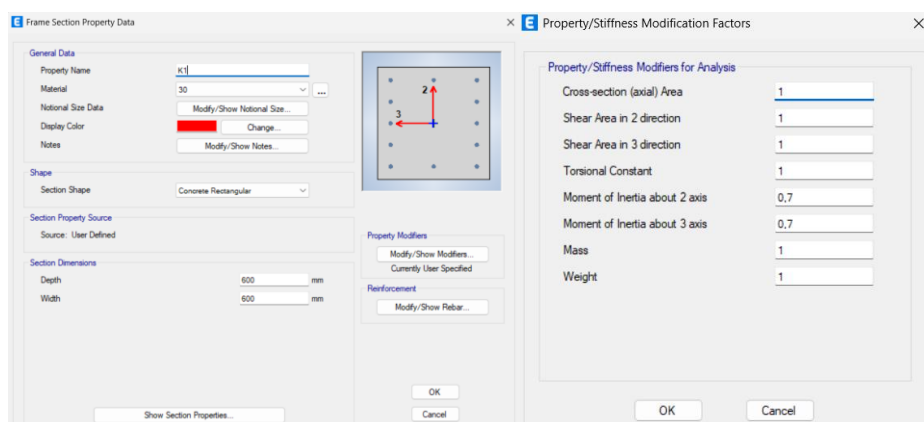
Berikut pendefinisan elemen balok anak (B3) 250 mm x 400 mm pada ETABS.



Gambar 5.41 Pendefinisian Elemen Balok Anak (B3) Pada ETABS

(Sumber: Hasil Analisis Penulis, 2025)

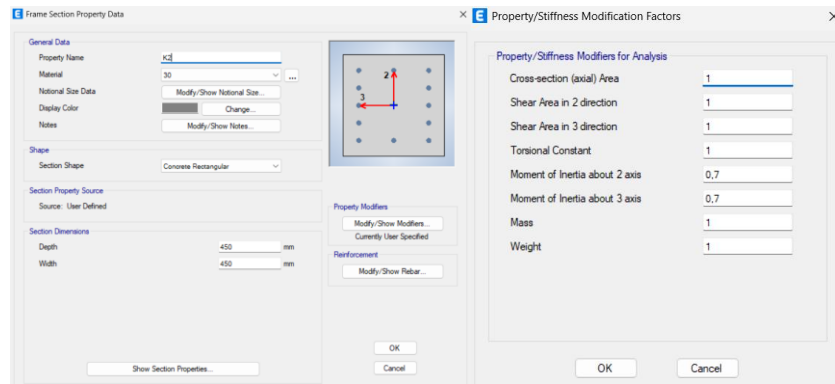
Berikut pendefinisan elemen kolom (K1) 600 mm x 600 mm pada ETABS.



Gambar 5.42 Pendefinisian Elemen Kolom (K1) Pada ETABS

(Sumber: Hasil Analisis Penulis, 2025)

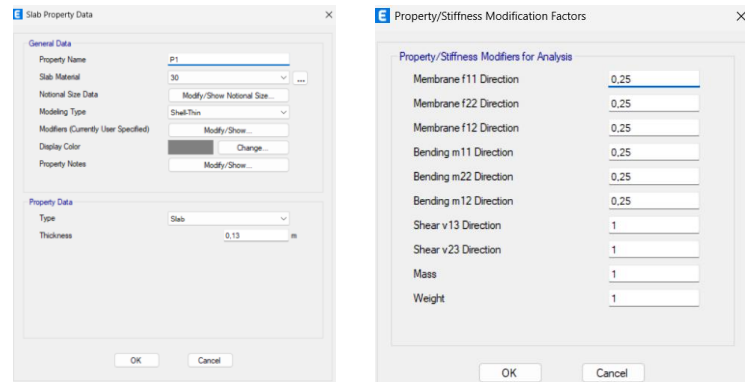
Berikut pendefinisan elemen kolom (K2) 450 mm x 450 mm pada *ETABS*.



Gambar 5.43 Pendefinisan Elemen Kolom (K2) Pada *ETABS*

(Sumber: Hasil Analisis Penulis, 2025)

Berikut pendefinisan elemen pelat dengan tebal 130 mm pada *ETABS*.

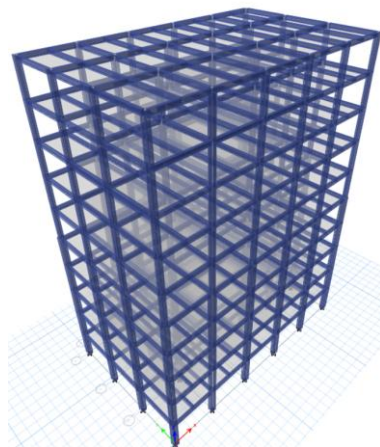


Gambar 5.44 Pendefinisan Elemen Pelat Pada *ETABS*

(Sumber: Hasil Analisis Penulis, 2025)

d. Permodelan struktur pada *ETABS*

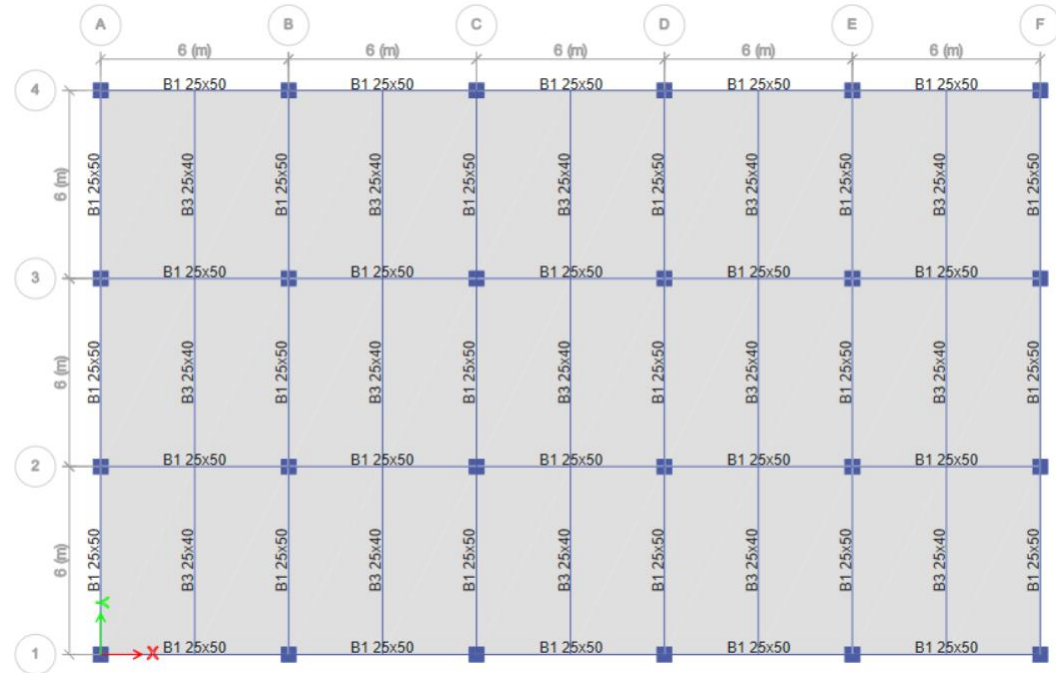
Berikut permodelan struktur pada *ETABS*.



Gambar 5.45 Permodelan Struktur Pada *ETABS*

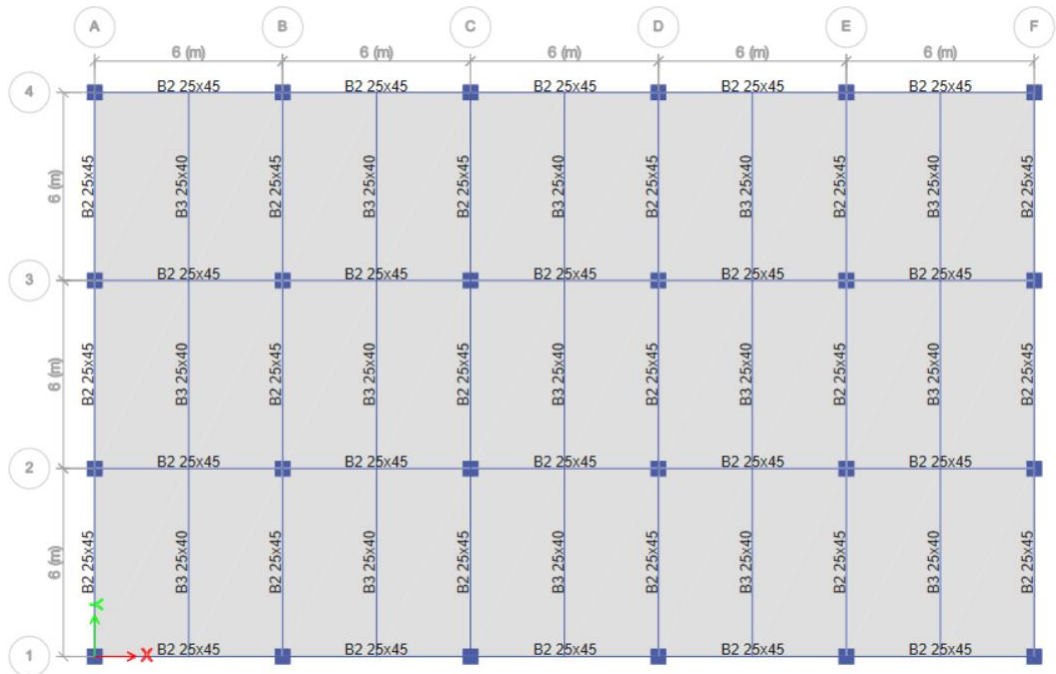
(Sumber: Hasil Analisis Penulis, 2025)

Berikut denah lantai 1-10 pada permodelan *ETABS*.



Gambar 5.46 Denah Lantai 1-5 Pada *ETABS*

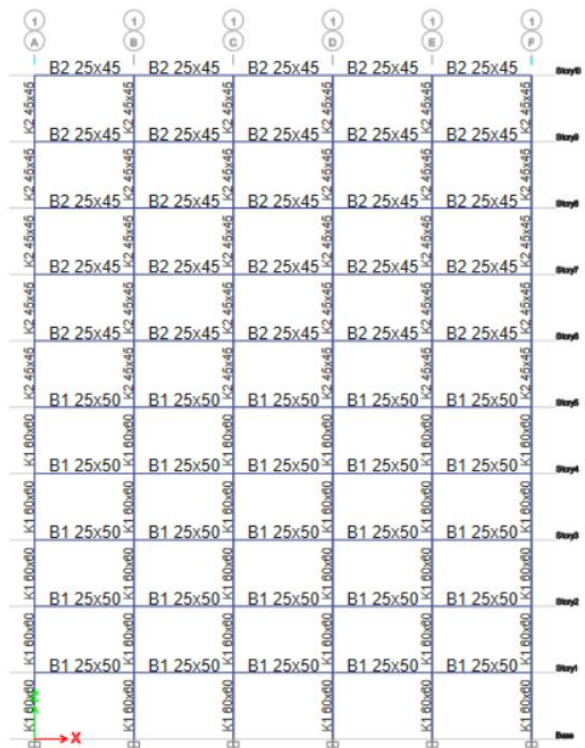
(Sumber: Hasil Analisis Penulis, 2025)



Gambar 5.47 Denah Lantai 6-10 Pada *ETABS*

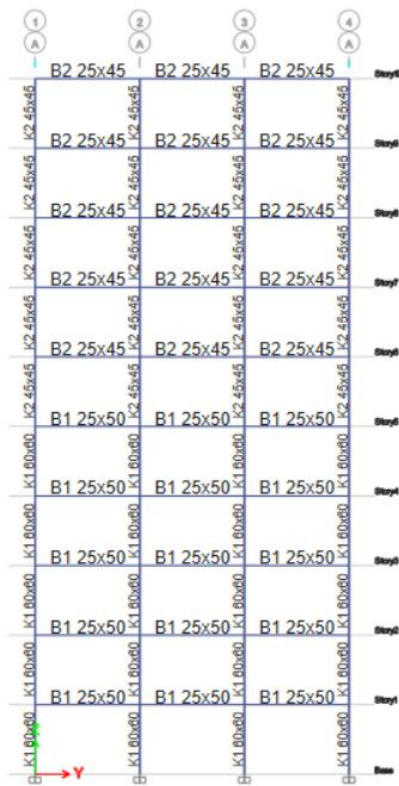
(Sumber: Hasil Analisis Penulis, 2025)

Berikut potongan 1-1 dan potongan A-A pada permodelan *ETABS*.



Gambar 5.48 Potongan 1 - 1 Pada ETABS

(Sumber: Hasil Analisis Penulis, 2025)



Gambar 5.49 Potongan A - A Pada ETABS

(Sumber: Hasil Analisis Penulis, 2025)

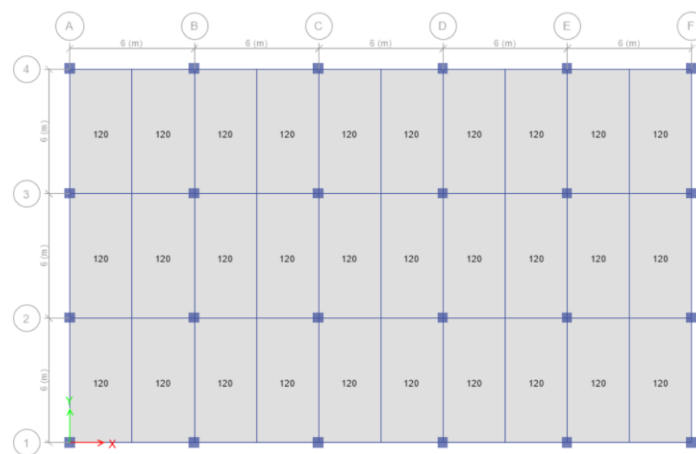
e. Penginputan beban

Beban yang diinput berupa beban mati tambahan (SDL), beban hidup (LL), dan beban gempa. Untuk beban mati (DL) dihitung secara otomatis oleh *ETABS*.

1) Beban mati tambahan (SDL)

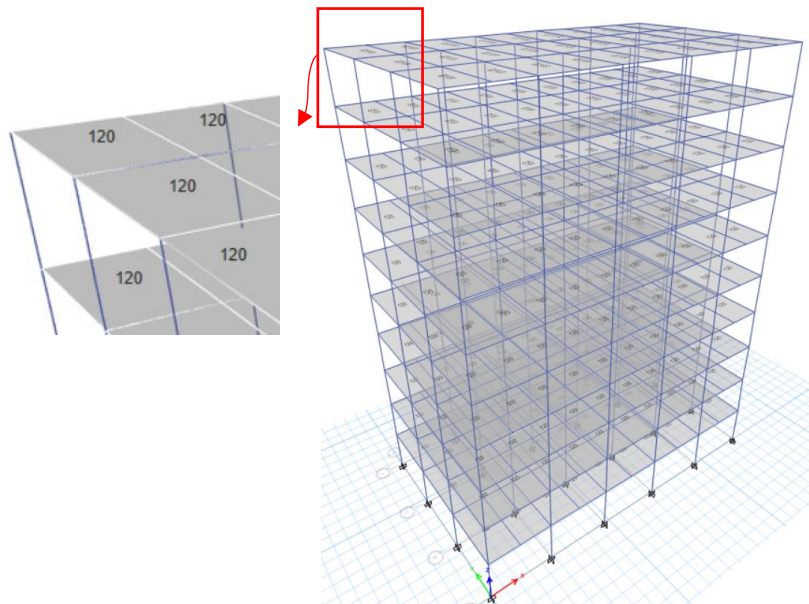
Beban mati tambahan berupa beban yang ada pada pelat yang telah dihitung sebelumnya sebesar 120 kg/m^2 pada semua lantai dan beban akibat dinding yang ada pada balok perimeter bangunan, khusus untuk lantai 10 tinggi dinding hanya 1m.

$$\text{Beban mati tambahan (SDL) pelat lantai 1-10} = 120 \text{ kg/m}^2$$



Gambar 5.50 Beban Mati Tambahan (SDL) Pelat Lantai 1-10 Pada *ETABS*

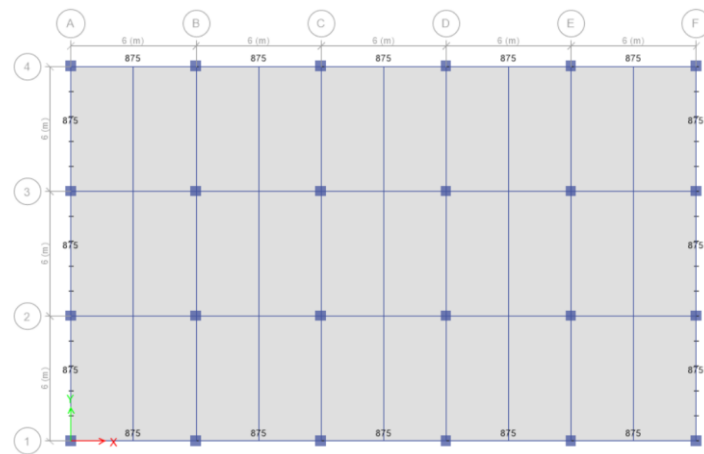
(Sumber: Hasil Analisis Penulis, 2025)



Gambar 5.51 Tampak 3D Beban Mati Tambahan (SDL) Pelat Pada *ETABS*

(Sumber: Hasil Analisis Penulis, 2025)

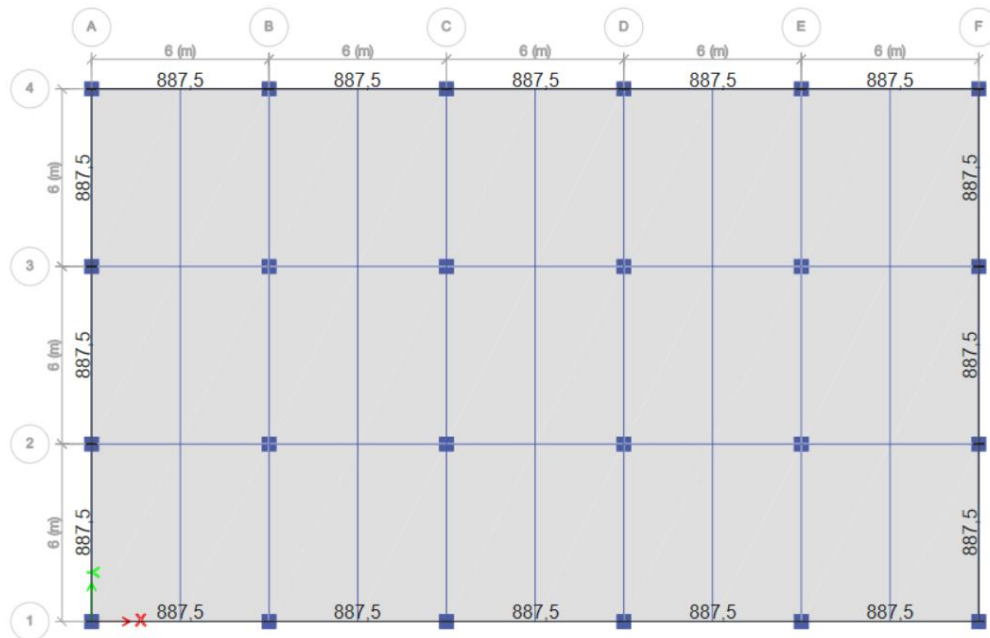
$$\begin{aligned}
 \text{Beban mati tambahan (SDL) dinding lantai 1-4} &= (4 - 0,5)\text{m} \times 250 \text{ kg/m}^2 \\
 &= 875 \text{ kg/m}^2
 \end{aligned}$$



Gambar 5.52 Beban Mati Tambahan (SDL) Dinding Lantai 1-4 Pada ETABS

(Sumber: Hasil Analisis Penulis, 2025)

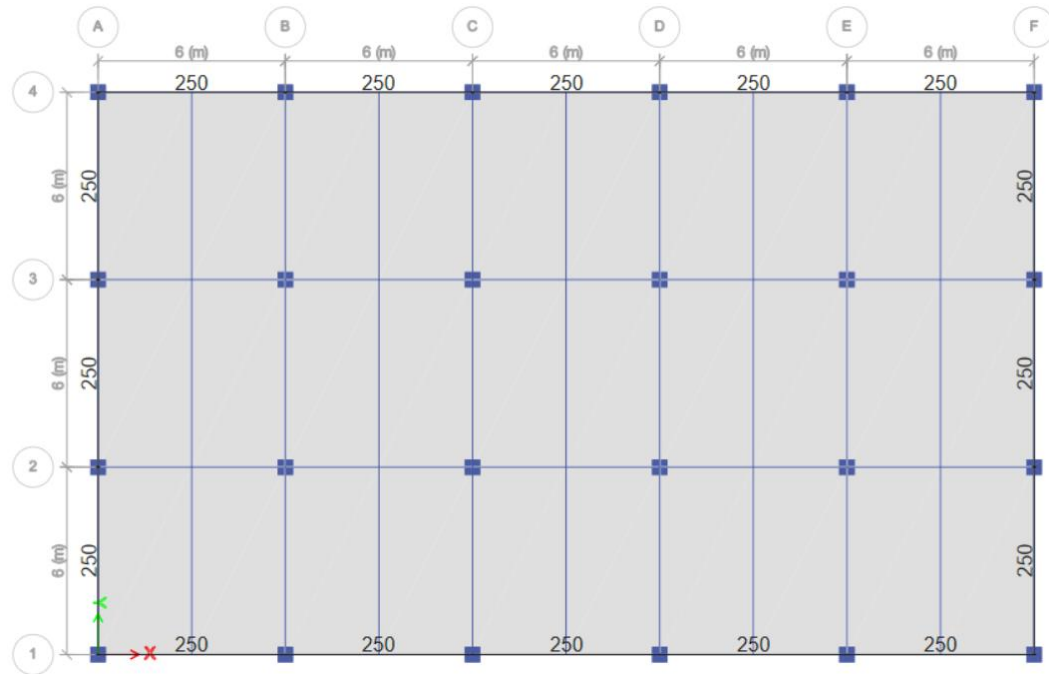
$$\begin{aligned}
 \text{Beban mati tambahan (SDL) dinding lantai 5-9} &= (4 - 0,45)\text{m} \times 250 \text{ kg/m}^2 \\
 &= 887,5 \text{ kg/m}^2
 \end{aligned}$$



Gambar 5.53 Beban Mati Tambahan (SDL) Dinding Lantai 5-9 Pada ETABS

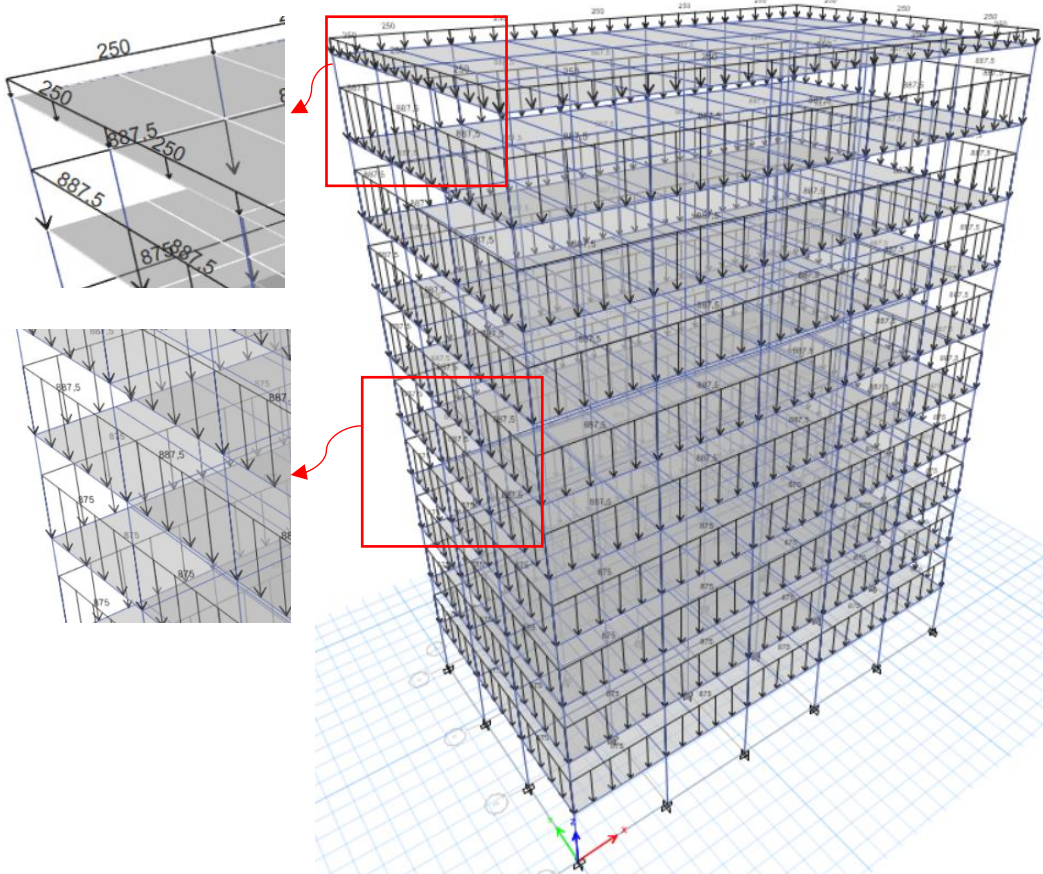
(Sumber: Hasil Analisis Penulis, 2025)

$$\begin{aligned}
 \text{Beban mati tambahan (SDL) dinding lantai 10} &= 1 \text{ m} \times 250 \text{ kg/m}^2 \\
 &= 250 \text{ kg/m}^2
 \end{aligned}$$



Gambar 5.54 Beban Mati Tambahan (SDL) Dinding Lantai 10 Pada ETABS

(Sumber: Hasil Analisis Penulis, 2025)



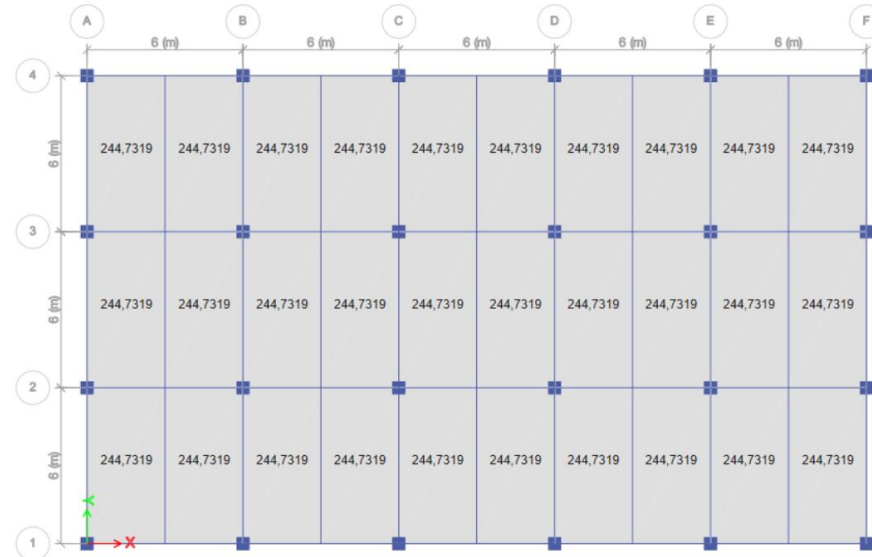
Gambar 5.55 Tampak 3D Beban Mati Tambahan (SDL) Dinding Pada ETABS

(Sumber: Hasil Analisis Penulis, 2025)

2) Beban hidup (LL)

Beban hidup mengacu pada Tabel 4.3-1 SNI 1727:2020 Hal 26 yang terdistribusi pada pelat. Beban hidup pada lantai 1-9 dengan fungsi lantai perkantoran sebesar $2,4 \text{ kN/m}^2$ dan beban hidup pada lantai 10 dengan fungsi lantai balkon atau dak sebesar $1,5 \times 2,4 \text{ kN/m}^2 = 3,6 \text{ kN/m}^2$

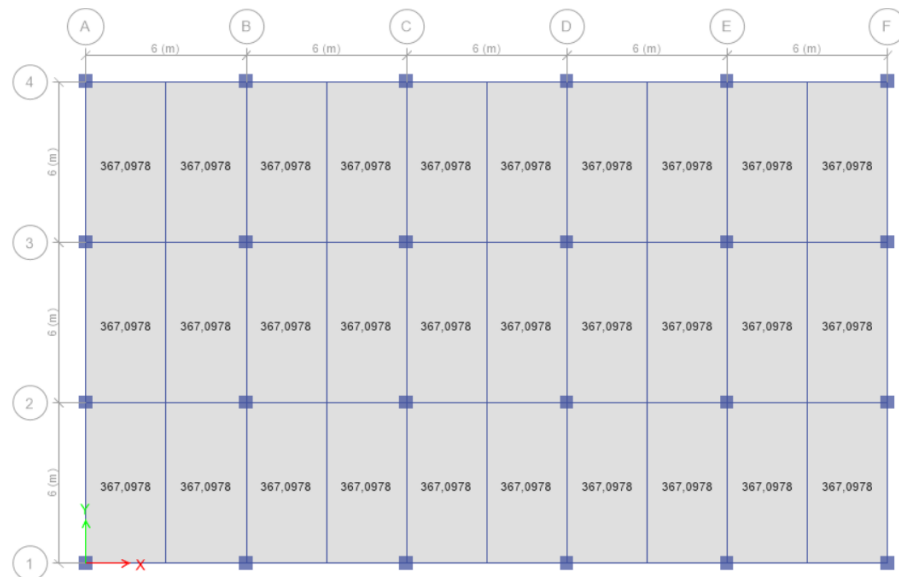
$$\text{Beban hidup (LL) lantai 1-9} = 2,4 \text{ kN/m}^2 \times 101,972 = 244,7319 \text{ kg/m}^2$$



Gambar 5.56 Beban Hidup (LL) Lantai 1-9 Pada ETABS

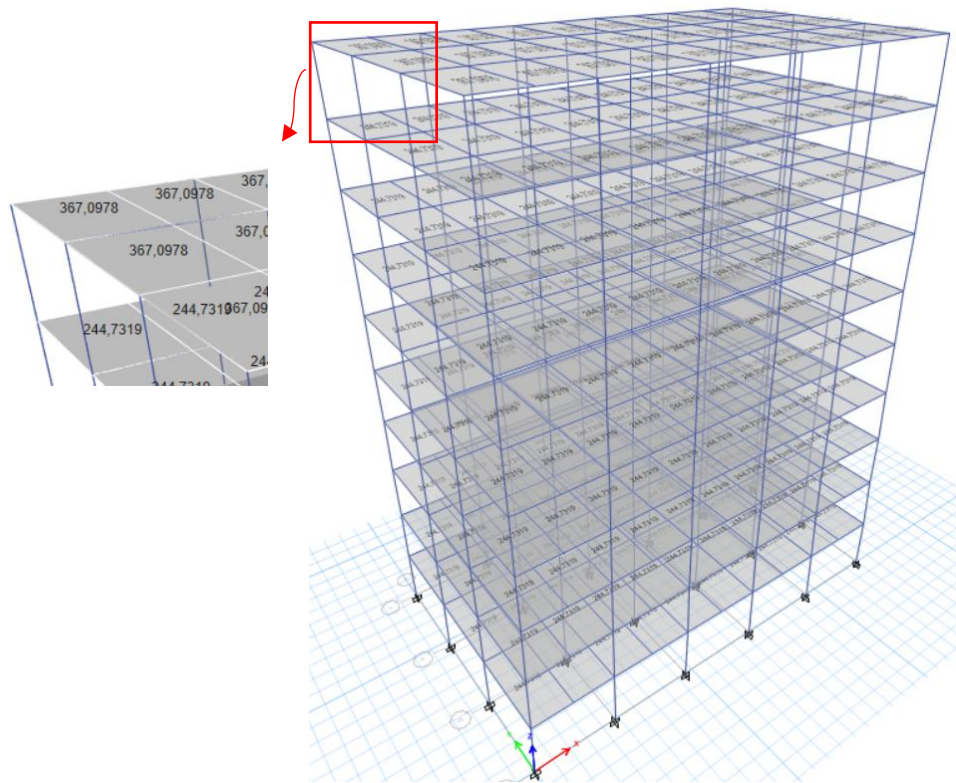
(Sumber: Hasil Analisis Penulis, 2025)

$$\text{Beban hidup (LL) lantai 10} = 1,5 \times 2,4 \text{ kN/m}^2 \times 101,972 = 367,0978 \text{ kg/m}^2$$



Gambar 5.57 Beban Hidup (LL) Lantai 10 Pada ETABS

(Sumber: Hasil Analisis Penulis, 2025)



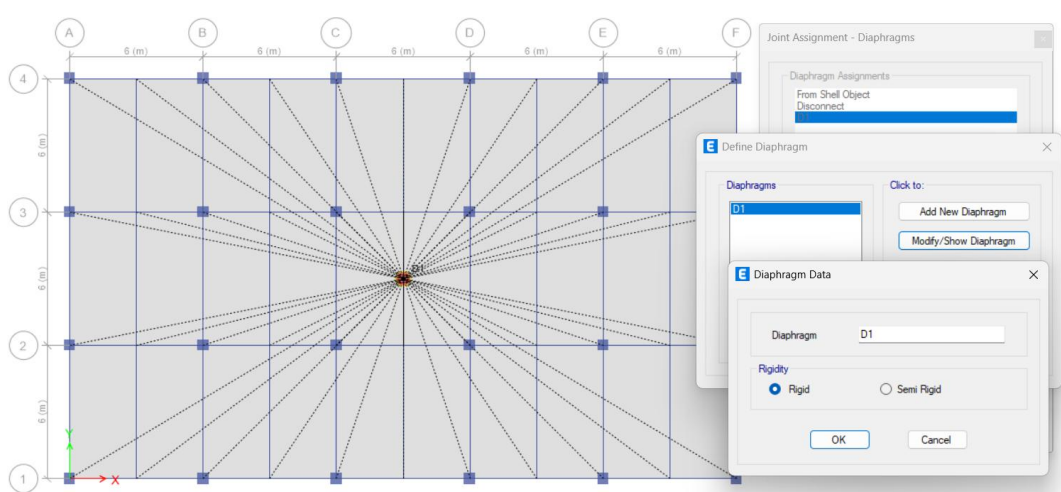
Gambar 5.58 Tampak 3D Beban Hidup (LL) Pelat Pada ETABS

(Sumber: Hasil Analisis Penulis, 2025)

3) Beban gempa

- a) Karena dalam kasus penelitian ini perbandingan panjang penutup lantai dengan lebar penutup lantai sebesar $\frac{30}{18} = 1,667 \leq 3$ (SNI 1726:2020

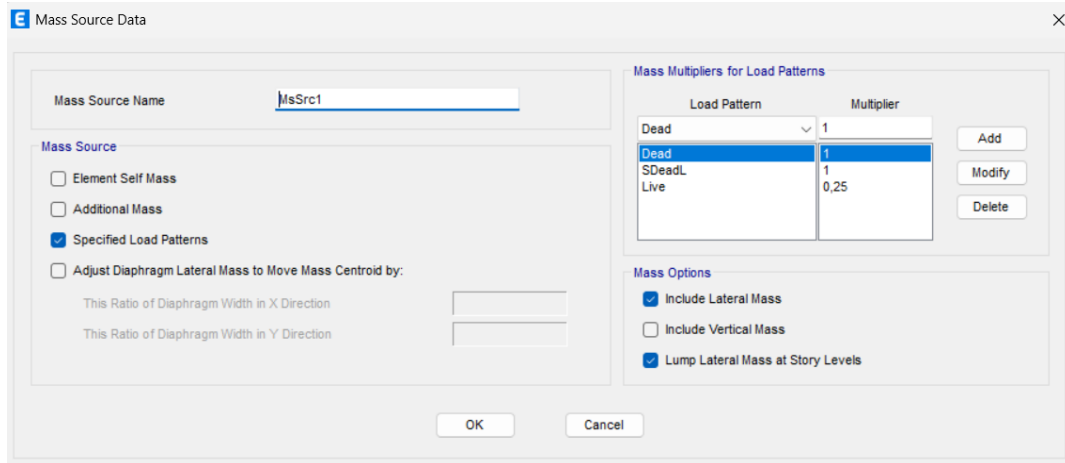
Pasal 7.3.1.2 Hal 56) maka diafragma pelat yang digunakan adalah rigid.



Gambar 5.59 Permodelan Diafragma Pada ETABS

(Sumber: Hasil Analisis Penulis, 2025)

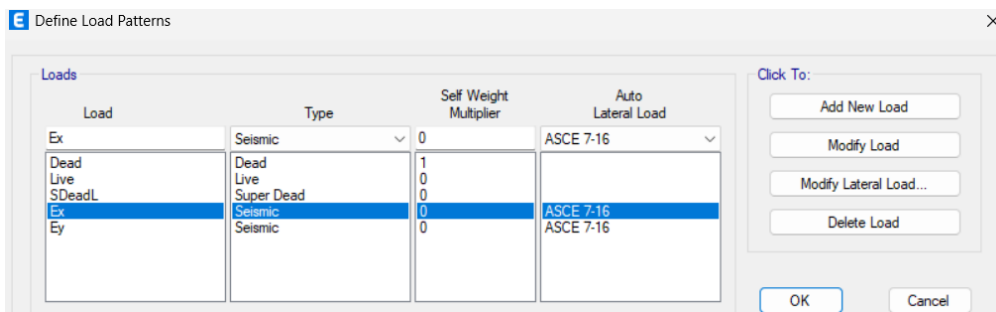
- b) Berat seismik mengacu pada SNI 1726:2019 Pasal 7.7.2 Hal 68.
- Beban yang harus disertakan ke dalam permodelan yaitu 100% beban mati (DL), 100% beban mati tambahan (SDL), dan minimal 25% beban hidup (LL). Untuk penginputan beban seismik pada *ETABS* dapat dilihat pada gambar dibawah ini.



Gambar 5.60 Penginputan *Mass Source* Pada *ETABS*

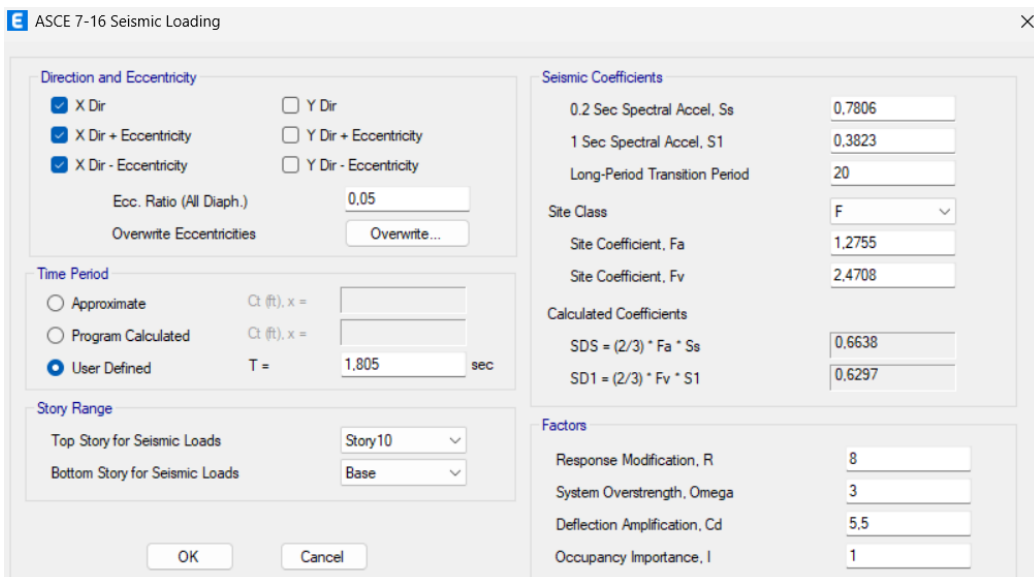
(Sumber: Hasil Analisis Penulis, 2025)

- c) Beban gempa statis diinput sesuai data parameter respon spektrum yang diambil dari website RSA Cipta Karya. Untuk penggunaan nilai periode akan dijelaskan pada poin selanjutnya. Berikut penginputan beban gempa statis pada *ETABS*.



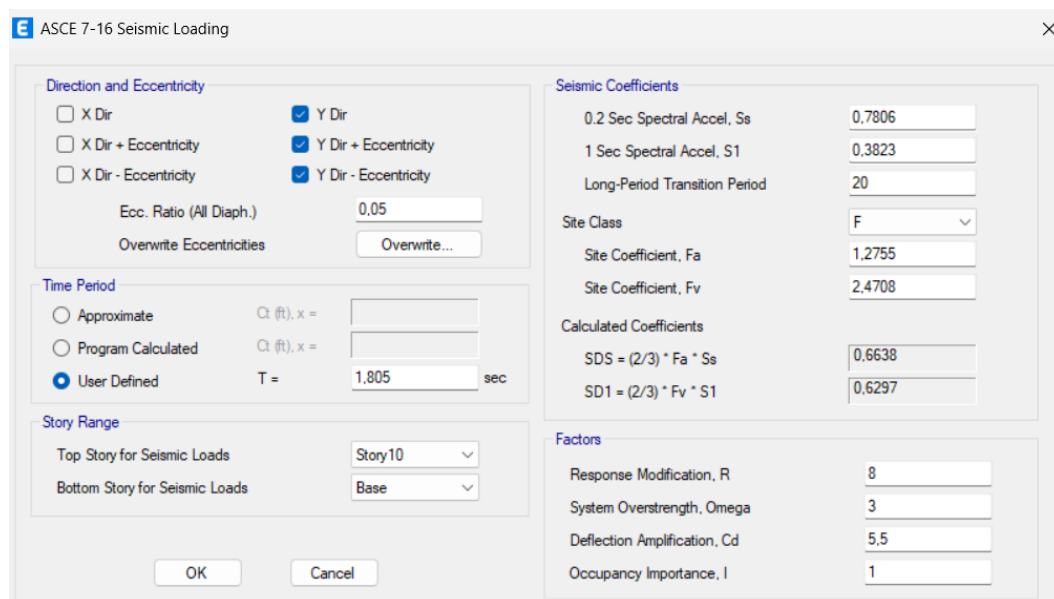
Gambar 5.61 Penamaan Beban Pada *ETABS*

(Sumber: Hasil Analisis Penulis, 2025)



Gambar 5.62 Penginputan Beban Gempa Statis Arah X Pada ETABS

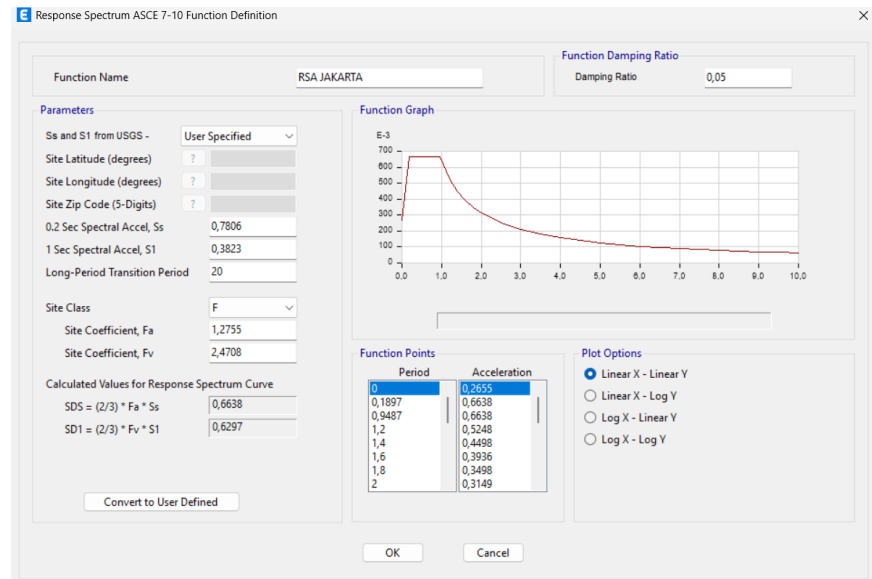
(Sumber: Hasil Analisis Penulis, 2025)



Gambar 5.63 Penginputan Beban Gempa Statis Arah Y Pada ETABS

(Sumber: Hasil Analisis Penulis, 2025)

- d) Beban gempa dinamik diinput sesuai data parameter respon spektrum yang diambil dari website RSA Cipta Karya.



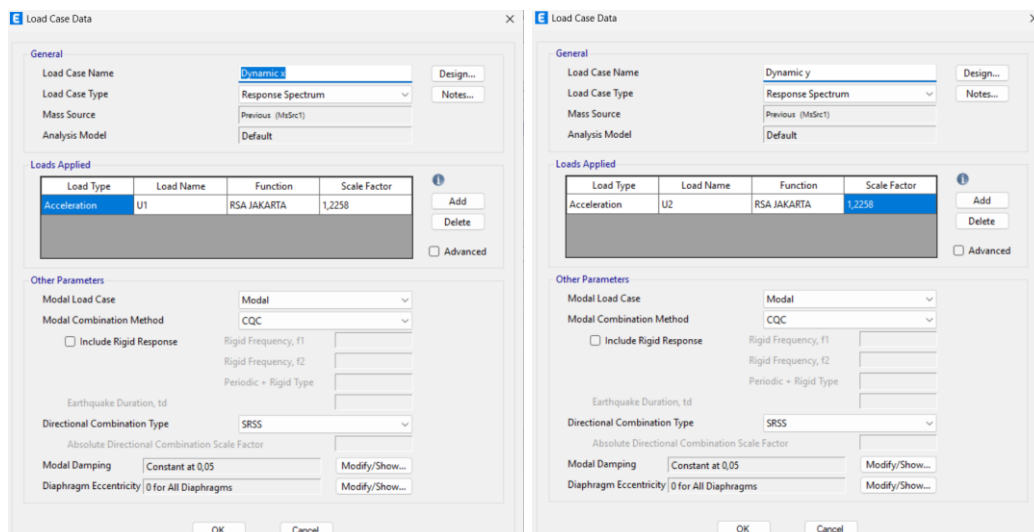
Gambar 5.64 Penginputan Respon Spektrum Pada ETABS

(Sumber: Hasil Analisis Penulis, 2025)

Lalu perlu didefinisikan beban gempa dinamik untuk pengecekan apakah gempa dinamik lebih besar dari statik. Pada kolom *scale* diisi dengan menggunakan rumus berikut.

$$- \text{ Arah x (U1)} = \frac{g}{R} = \frac{9,81}{8} = 1,22625$$

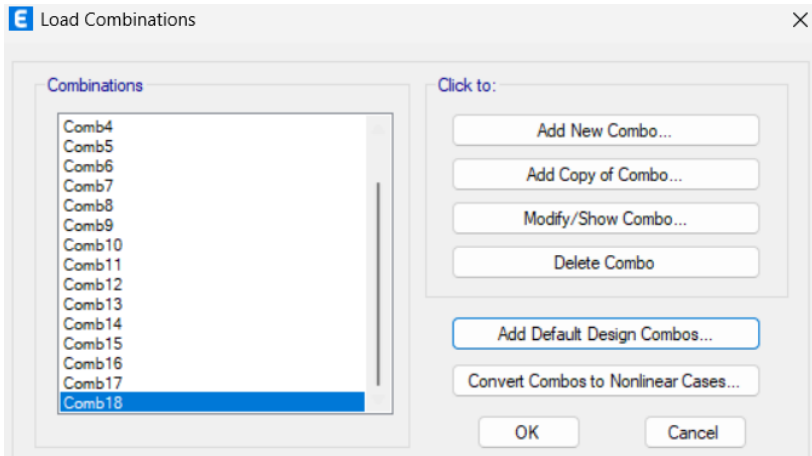
$$- \text{ Arah y (U2)} = \frac{g}{R} = \frac{9,81}{8} = 1,22625$$



Gambar 5.65 Pendefinisan Beban Gempa Dinamik Arah X dan Y Pada ETABS

(Sumber: Hasil Analisis Penulis, 2025)

- f. Kombinasi beban yang telah dibuat pada poin sebelumnya perlu diinput pada *ETABS* untuk mengetahui pengaruh gaya yang terjadi pada setiap kombinasi terhadap struktur yang telah dimodelkan.

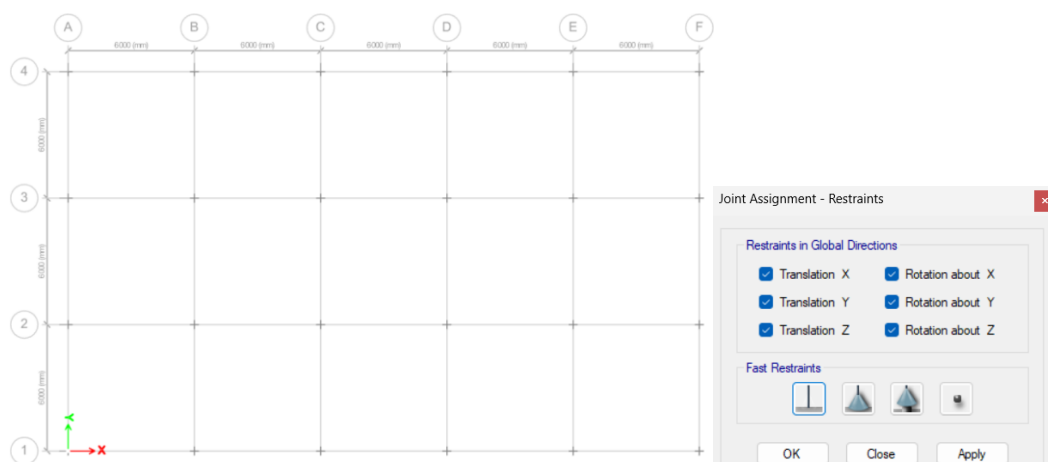


Gambar 5.66 Penginputan Kombinasi Beban Pada *ETABS*

(Sumber: Hasil Analisis Penulis, 2025)

- g. Jenis perletakan

Perletakan kolom dimodelkan sebagai jepit.

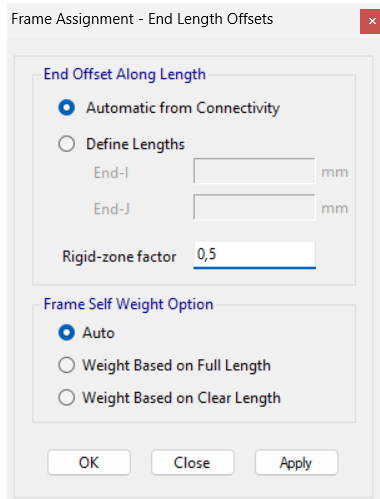


Gambar 5.67 Jenis Perletakan Kolom Pada *ETABS*

(Sumber: Hasil Analisis Penulis, 2025)

Pada setiap pertemuan kolom balok, *End length offset* atau pemotongan panjang pada setiap pertemuan kolom balok akan dihitung secara otomatis oleh *ETABS*. Untuk *rigid zone factor* atau faktor zona kekakuan sambungan pada kolom balok digunakan sebesar 0,5. Angka 0,5 diambil karena secara aktual sambungan kolom balok tidak sepenuhnya kaku, melainkan memiliki sedikit fleksibilitas.

Maka dari itu nilai 0,5 merupakan nilai pendekatan untuk menggambarkan sambungan kolom balok secara aktual.

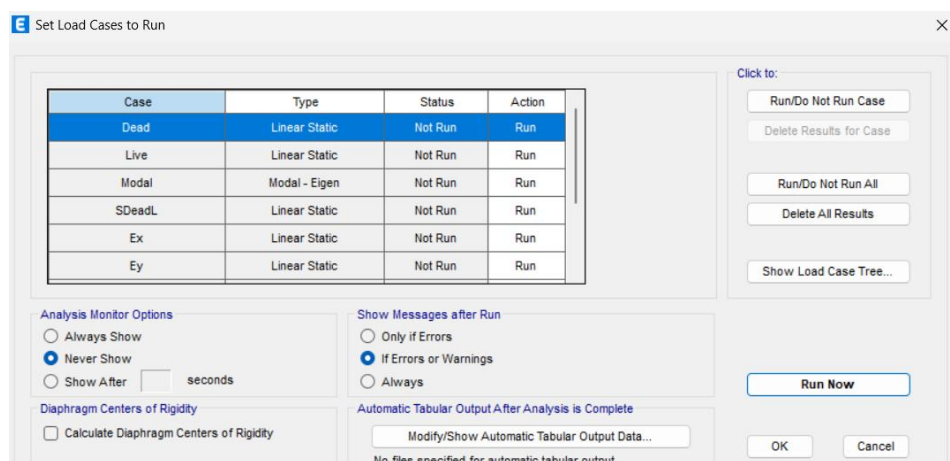


Gambar 5.68 *End Length Offset Dan Rigid Zone Factor* Pada *ETABS*

(Sumber: Hasil Analisis Penulis, 2025)

h. Running permodelan

Untuk melihat hasil analisis struktur, perlu di running agar perhitungan analisis struktur dihitung otomatis oleh *ETABS*.



Gambar 5.69 Pengaturan *Load Case* Yang Akan Running Pada *ETABS*

(Sumber: Hasil Analisis Penulis, 2025)

i. Permodelan *uncrack*

Setelah permodelan *crack* dibuat pada poin sebelumnya, perlu dibuat permodelan *uncrack* pada file *ETABS* terpisah untuk digunakan mencari periode yang akan dipakai. Perbedaan permodelan *uncrack* dan *crack* hanya pada modifikasi faktor elemen yang bernilai 1.

5.5.2 Permodelan struktur pada TSD

Berikut step step permodelan struktur pada perangkat lunak *TSD*.

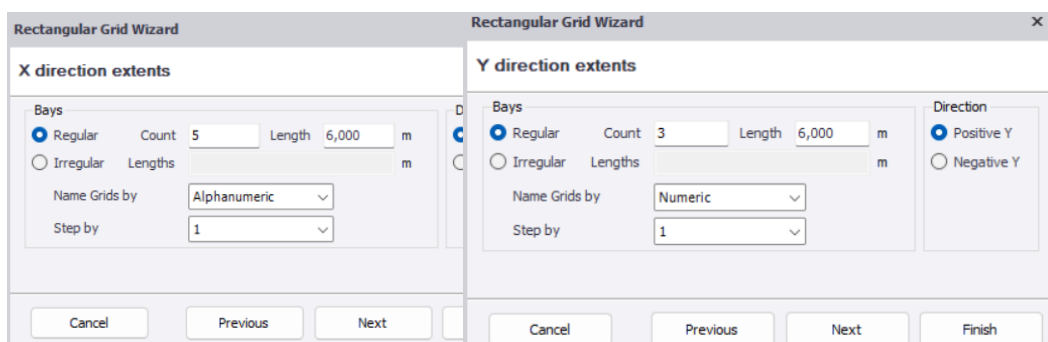
a. Pengaturan permodelan dan pembuatan grid

Permodelan menggunakan kode desain beton ACI 318-14 dan kode desain seismik ASCE7-16 sesuai acuan dari standar peraturan Indonesia yaitu SNI 2847:2019 dan SNI 1726:2019. Grid dan jumlah lantai mengikuti data pada poin sebelumnya.

Design codes			
Action codes	Resistance codes	Year	Info text
Steel Design	AISC 360/341 ASD	2016	
Concrete Design	ACI 318	2014	
Composite Design	AISC 360/341 ASD	2016	
Timber Design	NDS LRFD	2018	
Masonry Design	TMS 402/602 ASD	2022	
Foundation Design			
Seismic Design and Detailing	ASCE7	2016	
Steel Fire Design			

Gambar 5.70 Pengaturan Kode Desain Pada *TSD*

(Sumber: Hasil Analisis Penulis, 2025)



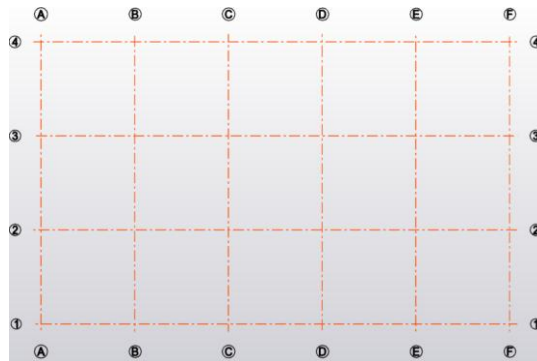
Gambar 5.71 Pengaturan Grid Pada *TSD*

(Sumber: Hasil Analisis Penulis, 2025)

Construction Levels							
Ref	Name	Type	Level [m]	Spacing [m]	Source	Slab Th. [mm]	Floor
10	10	S.S.L	40,000	4,000	-uniqu...	0,0	<input checked="" type="checkbox"/>
9	9	S.S.L	36,000	4,000	-uniqu...	0,0	<input checked="" type="checkbox"/>
8	8	S.S.L	32,000	4,000	-uniqu...	0,0	<input checked="" type="checkbox"/>
7	7	S.S.L	28,000	4,000	-uniqu...	0,0	<input checked="" type="checkbox"/>
6	6	S.S.L	24,000	4,000	-uniqu...	0,0	<input checked="" type="checkbox"/>
5	5	S.S.L	20,000	4,000	-uniqu...	0,0	<input checked="" type="checkbox"/>
4	4	S.S.L	16,000	4,000	-uniqu...	0,0	<input checked="" type="checkbox"/>
3	3	S.S.L	12,000	4,000	-uniqu...	0,0	<input checked="" type="checkbox"/>
2	2	S.S.L	8,000	4,000	-uniqu...	0,0	<input checked="" type="checkbox"/>
1	1	S.S.L	4,000	4,000	-uniqu...	0,0	<input checked="" type="checkbox"/>
Base	Base	S.S.L	0,000	-uniqu...		0,0	<input checked="" type="checkbox"/>

Gambar 5.72 Pengaturan Jumlah Dan Ketinggian Lantai Pada *TSD*

(Sumber: Hasil Analisis Penulis, 2025)

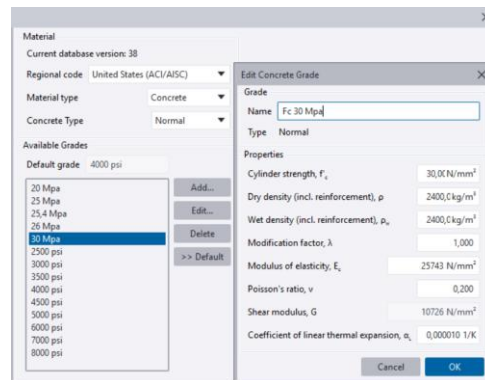


Gambar 5.73 Denah Grid Pada TSD

(Sumber: Hasil Analisis Penulis, 2025)

b. Pendefinisian material

Material beton menggunakan mutu benton $f_c' = 30 \text{ Mpa}$, berat jenis 2400 kg/m^3 , dan modulus elastisitas beton sebesar $4700\sqrt{30} = 25742,96 \text{ Mpa}$.



Gambar 5.74 Pendefinisian Material Beton $F_c' = 30 \text{ Mpa}$ Pada ETABS

(Sumber: Hasil Analisis Penulis, 2025)

c. Pendefinisian elemen struktur (balok kolom pelat)

Berikut ukuran elemen struktur:

Ukuran balok induk (B1) = $250 \times 500 \text{ mm}$

Ukuran balok induk (B2) = $250 \times 450 \text{ mm}$

Ukuran balok anak (B3) = $250 \times 400 \text{ mm}$

Ukuran kolom (K1) = $600 \times 600 \text{ mm}$

Ukuran kolom (K2) = $450 \times 450 \text{ mm}$

Ukuran pelat = 130 mm dimodelkan sebagai *slab on beams*

Perlu diatur modifikasi faktor setiap elemen seperti yang diatur SNI 2847:2019

Tabel 6.6.3.1.1(a) dan Tabel 6.6.3.1.1(b) Hal 103. Berikut pengaturan modifikasi faktor pada TSD.

Analysis Settings

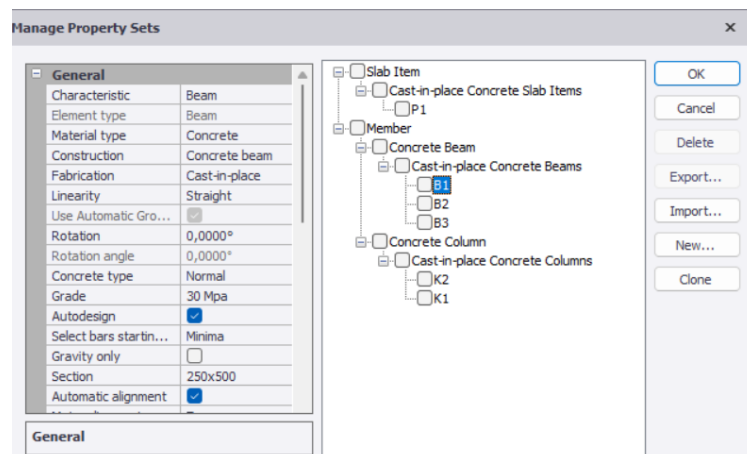
Element Type	E	G	I torsion	I major	I minor	Area	A mino	A majc	t
Mid Pier Wall Cracked	0,35	0,35	1,00	1,00	1,00	1,00	1,00	1,00	
Mid Pier Wall Uncracked	0,70	0,70	1,00	1,00	1,00	1,00	1,00	1,00	
Meshed Wall Cracked	0,35	0,35							1,00
Meshed Wall Uncracked	0,70	0,70							1,00
Column Cracked	1,00	1,00	0,70	0,70	0,70	1,00	1,00	1,00	
Column Uncracked	1,00	1,00	1,00	1,00	1,00	1,00	1,00	1,00	
Beam Cracked	1,00	1,00	0,01	0,70	0,70	1,00	1,00	1,00	
Beam Uncracked	1,00	1,00	0,01	1,00	1,00	1,00	1,00	1,00	
Flat Slab	0,25	0,25							1,00
Foundation Mat	0,20	0,20							1,00
Slab on Beams	0,05	0,05							1,00
Precast Slab	1,00	1,00							1,00
Composite Slab	1,00	1,00							1,00

Save... Load... Cancel OK

Gambar 5.75 Modifikasi Faktor Elemen Pada TSD

(Sumber: Hasil Analisis Penulis, 2025)

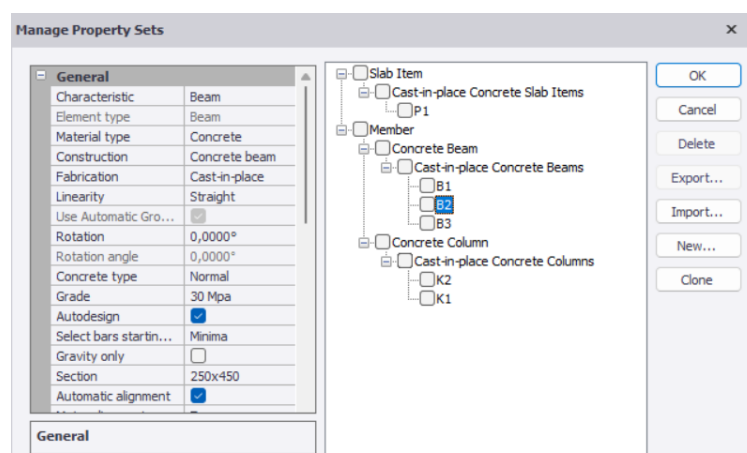
Berikut pendefinisan elemen balok induk (B1) 250 mm x 500 mm pada TSD.



Gambar 5.76 Pendefinisan Elemen Balok Induk (B1) Pada TSD

(Sumber: Hasil Analisis Penulis, 2025)

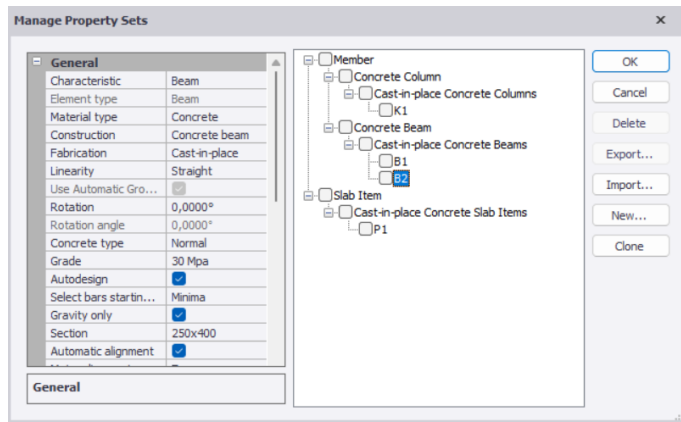
Berikut pendefinisan elemen balok induk (B2) 250 mm x 450 mm pada TSD.



Gambar 5.77 Pendefinisan Elemen Balok Induk (B2) Pada TSD

(Sumber: Hasil Analisis Penulis, 2025)

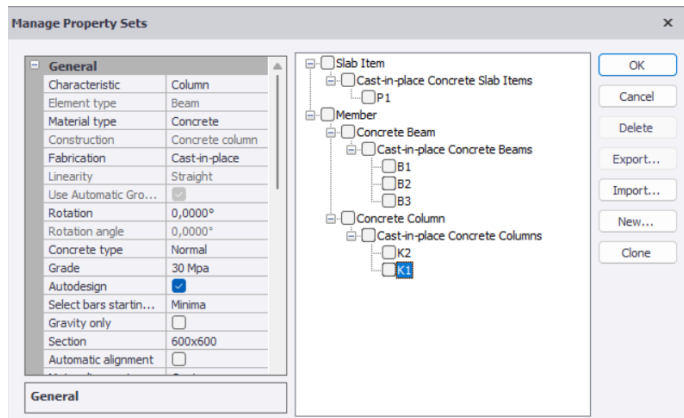
Berikut pendefinisan elemen balok anak (B3) 250 mm x 400 mm pada TSD.



Gambar 5.78 Pendefinisan Elemen Balok Anak (B3) Pada TSD

(Sumber: Hasil Analisis Penulis, 2025)

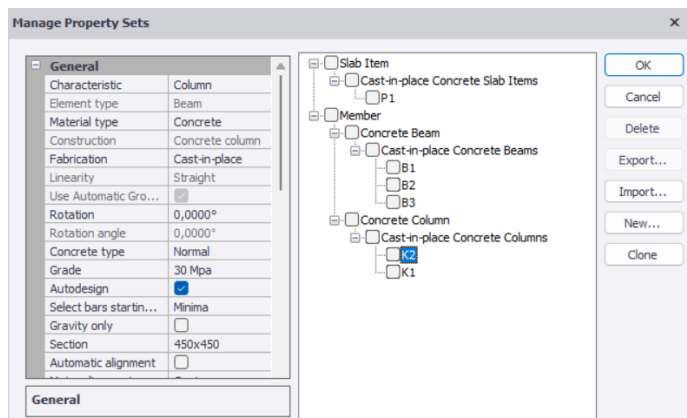
Berikut pendefinisan elemen kolom (K1) 600 mm x 600 mm pada TSD.



Gambar 5.79 Pendefinisan Elemen Kolom (K1) Pada TSD

(Sumber: Hasil Analisis Penulis, 2025)

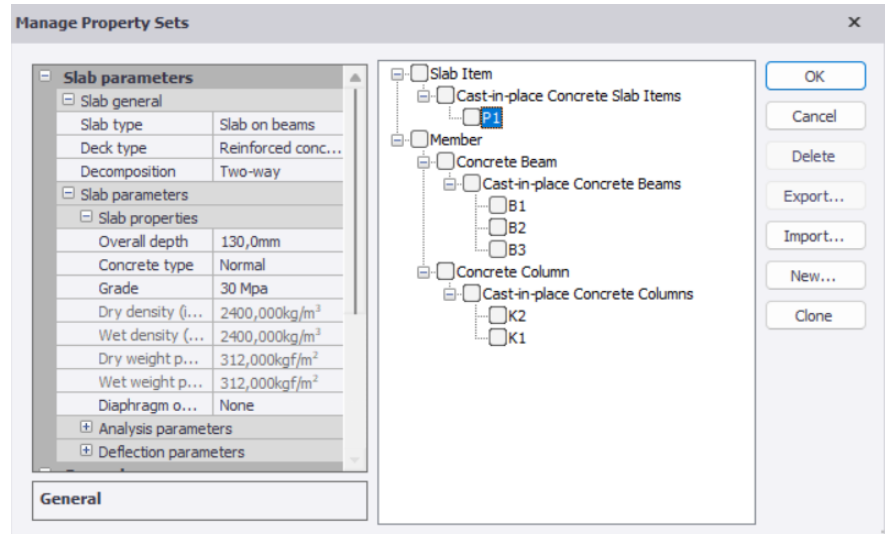
Berikut pendefinisan elemen kolom (K2) 450 mm x 450 mm pada TSD.



Gambar 5.80 Pendefinisan Elemen Kolom (K2) Pada TSD

(Sumber: Hasil Analisis Penulis, 2025)

Berikut pendefinisan elemen pelat dengan tebal 130 mm pada *TSD*.

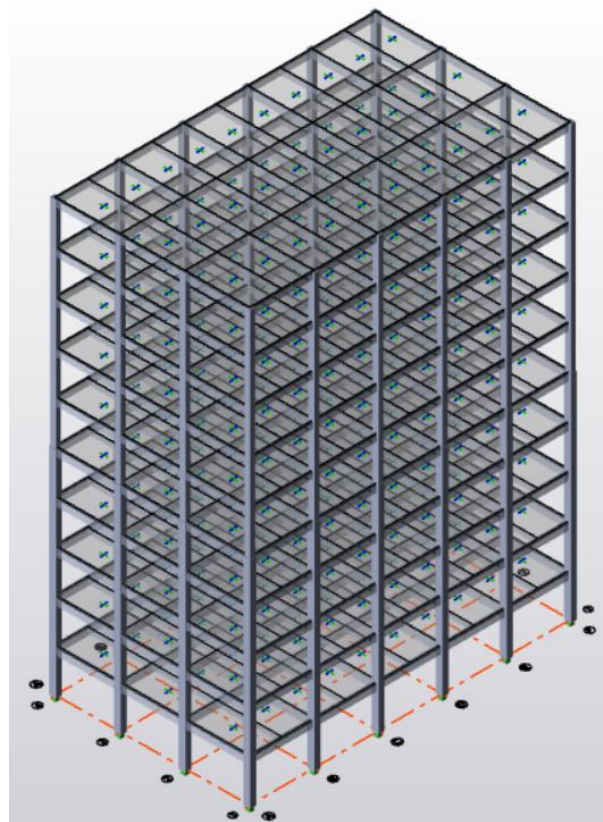


Gambar 5.81 Pendefinisan Elemen Pelat Pada *TSD*

(Sumber: Hasil Analisis Penulis, 2025)

d. Permodelan struktur pada *TSD*

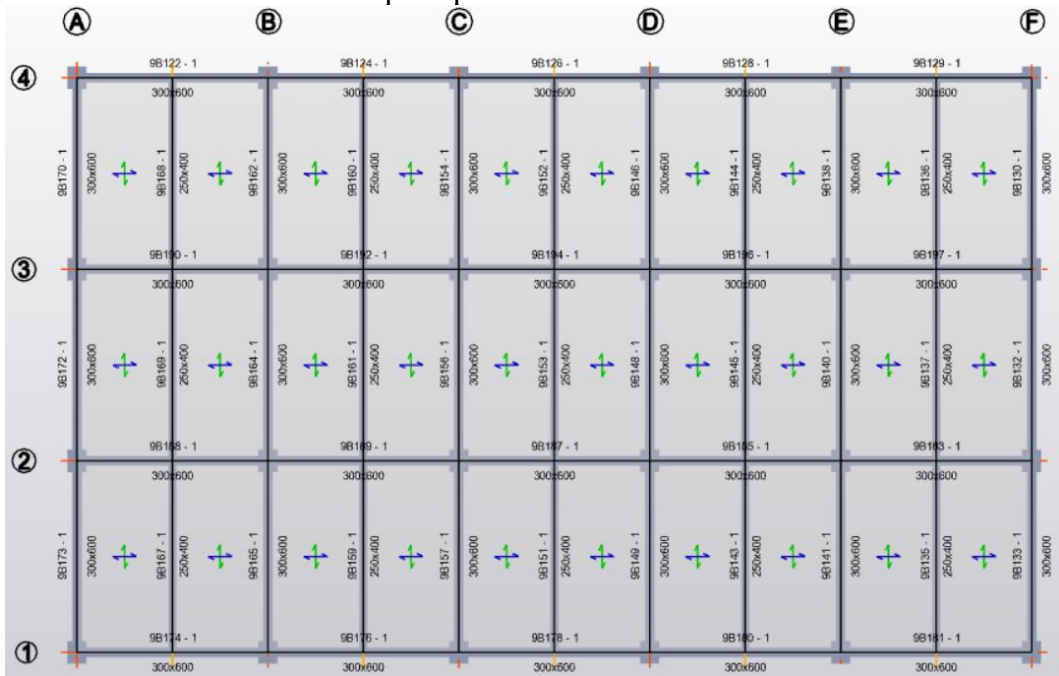
Berikut permodelan struktur pada *TSD*.



Gambar 5.82 Permodelan 3D Pada *TSD*

(Sumber: Hasil Analisis Penulis, 2025)

Berikut denah lantai 1-10 pada permodelan *TSD*.



Gambar 5.83 Denah Lantai 1-10 Pada *TSD*

(Sumber: Hasil Analisis Penulis, 2025)

e. Penginputan beban

Beban yang diinput berupa beban mati tambahan (SDL), beban hidup (LL), dan beban gempa. Untuk beban mati (DL) dihitung secara otomatis oleh *TSD*.

1) Beban mati tambahan (SDL)

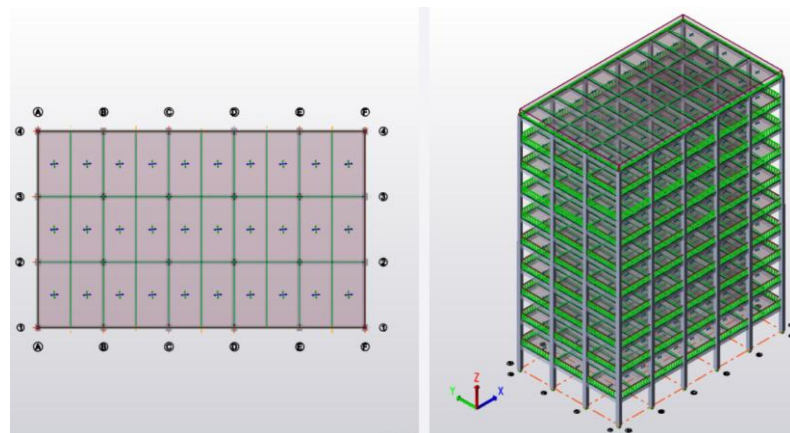
Beban mati tambahan berupa beban mati tambahan yang ada pada pelat yang telah dihitung sebelumnya sebesar 120 kg/m^2 pada semua lantai dan beban mati tambahan akibat dinding yang ada pada balok perimeter bangunan, khusus untuk lantai 10 tinggi dinding hanya 1m.

$$\text{Beban mati tambahan (SDL) pelat lantai 1-10} = 120 \text{ kg/m}^2$$

$$\begin{aligned} \text{Beban mati tambahan (SDL) dinding lantai 1-4} &= (4 - 0,5)m \times 250 \text{ kg/m}^2 \\ &= 875 \text{ kg/m}^2 \end{aligned}$$

$$\begin{aligned} \text{Beban mati tambahan (SDL) dinding lantai 5-9} &= (4 - 0,45)m \times 250 \text{ kg/m}^2 \\ &= 887,5 \text{ kg/m}^2 \end{aligned}$$

$$\begin{aligned} \text{Beban mati tambahan (SDL) dinding lantai 10} &= 1 \text{ m} \times 250 \text{ kg/m}^2 \\ &= 250 \text{ kg/m}^2 \end{aligned}$$



Gambar 5.84 Beban Mati Tambahan (SDL) Pelat dan Dinding Lantai 1-10 Pada TSD

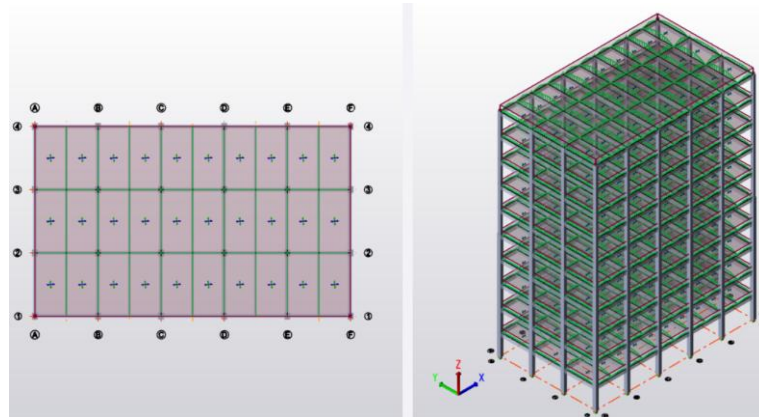
(Sumber: Hasil Analisis Penulis, 2025)

2) Beban hidup (LL)

Beban hidup mengacu pada Tabel 4.3-1 SNI 1727:2020 Hal 26 yang terdistribusi pada pelat. Beban hidup pada lantai 1-9 dengan fungsi lantai perkantoran sebesar $2,4 \text{ kN/m}^2$ dan beban hidup pada lantai 10 dengan fungsi lantai balkon atau dak sebesar $1,5 \times 2,4 \text{ kN/m}^2 = 3,6 \text{ kN/m}^2$

$$\text{Beban hidup (LL) lantai 1-9} = 2,4 \text{ kN/m}^2 \times 101,972 = 244,7319 \text{ kg/m}^2$$

$$\text{Beban hidup (LL) lantai 10} = 1,5 \times 2,4 \text{ kN/m}^2 \times 101,972 = 367,098 \text{ kg/m}^2$$

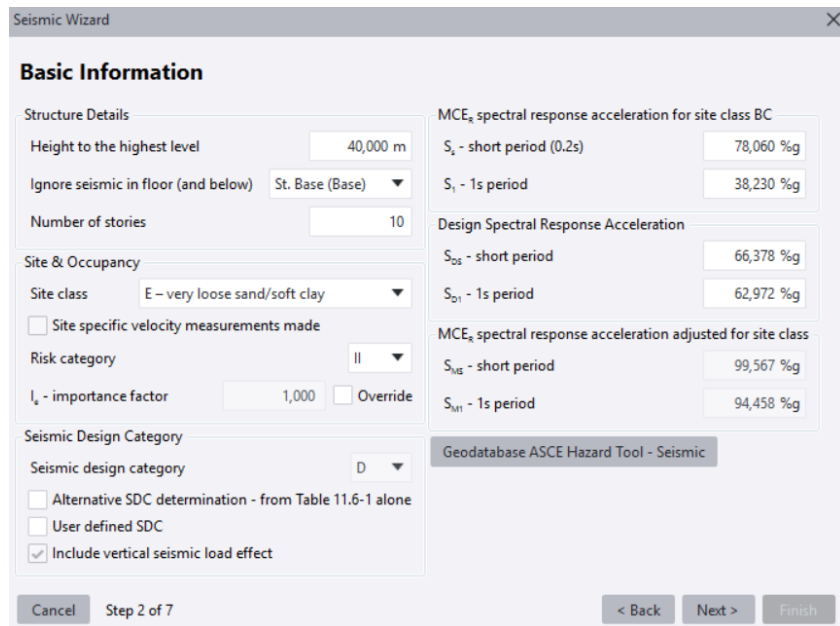


Gambar 5.85 Beban Hidup (LL) Lantai 1-10 Pada TSD

(Sumber: Hasil Analisis Penulis, 2025)

3) Beban gempa

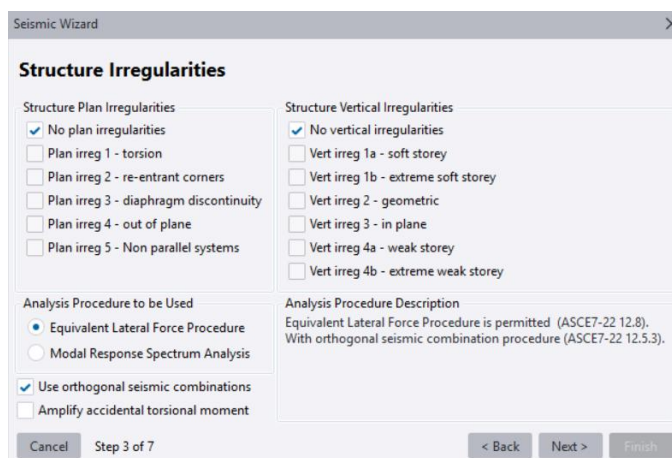
Beban gempa statis diinput sesuai data parameter respon spektrum yang diambil dari website RSA Cipta Karya. Untuk penggunaan nilai periode akan dijelaskan pada poin selanjutnya. Berikut penginputan beban gempa statis pada TSD.



Gambar 5.86 Penginputan Beban Gempa Statis Pada TSD

(Sumber: Hasil Analisis Penulis, 2025)

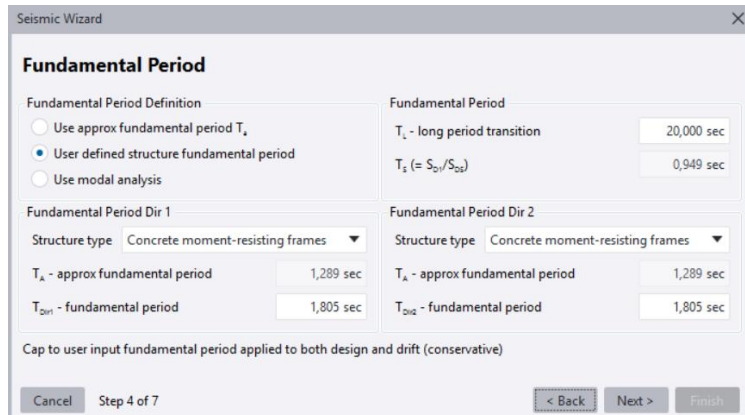
Pada permodelan TSD, kita perlu menginput ketidakberaturan struktur yang terjadi pada model struktur. Analisis ketidakberaturan struktur akan dibahas pada poin selanjutnya. Pada kasus ini struktur tidak termasuk ketidakberaturan struktur vertikal maupun horizontal.



Gambar 5.87 Analisis Gempa Statik Dan Ketidakberaturan Struktur Pada TSD

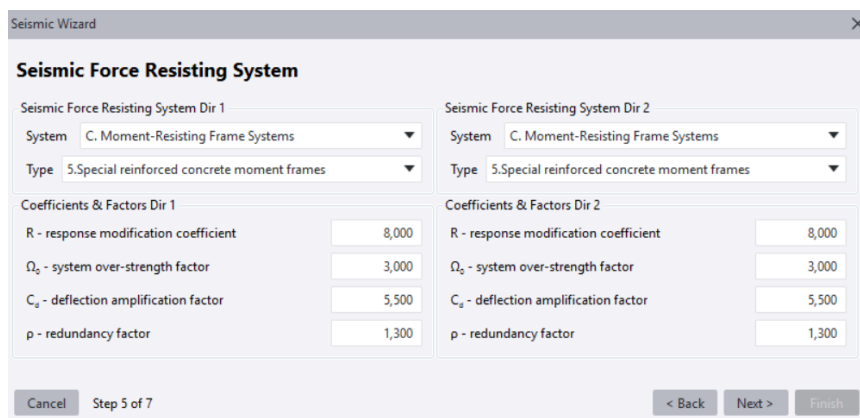
(Sumber: Hasil Analisis Penulis, 2025)

Sistem struktur merupakan sistem rangka beton pemikul momen khusus. Periode arah x dan arah y diinput sebesar 1,805 detik. Untuk perhitungan periode yang dipakai akan dibahas pada poin selanjutnya.



Gambar 5.88 Penginputan Periode Dan Tipe Struktur Pada TSD

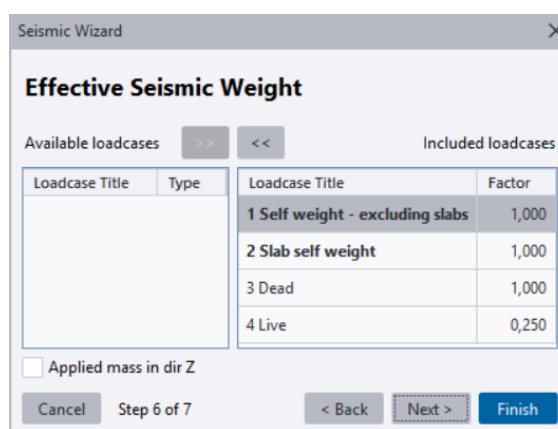
(Sumber: Hasil Analisis Penulis, 2025)



Gambar 5.89 Penginputan Sistem Struktur Pada TSD

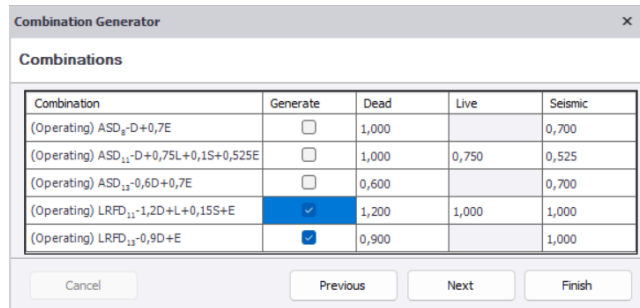
(Sumber: Hasil Analisis Penulis, 2025)

Untuk berat seismik sama seperti sebelumnya yaitu 100% beban mati (DL), 100% beban mati tambahan (SDL), dan 25% beban hidup (LL).



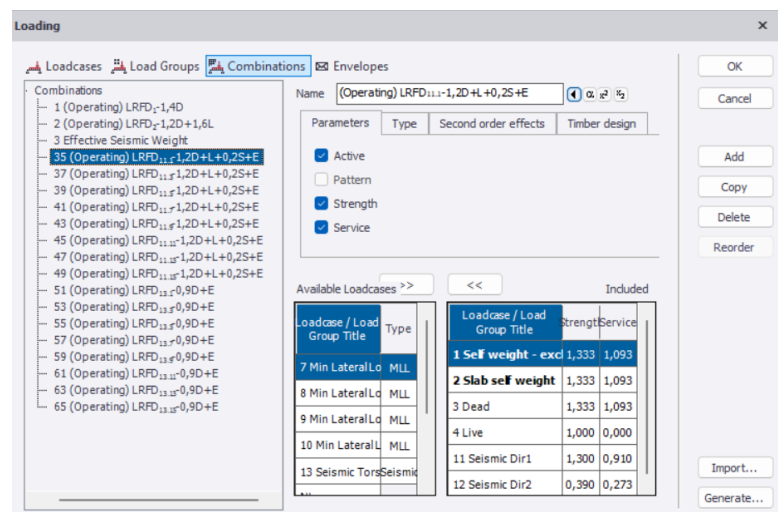
Gambar 5.90 Penginputan Berat Seismik Pada TSD

(Sumber: Hasil Analisis Penulis, 2025)



Gambar 5.90 Pemilihan Kombinasi Pada TSD

(Sumber: Hasil Analisis Penulis, 2025)

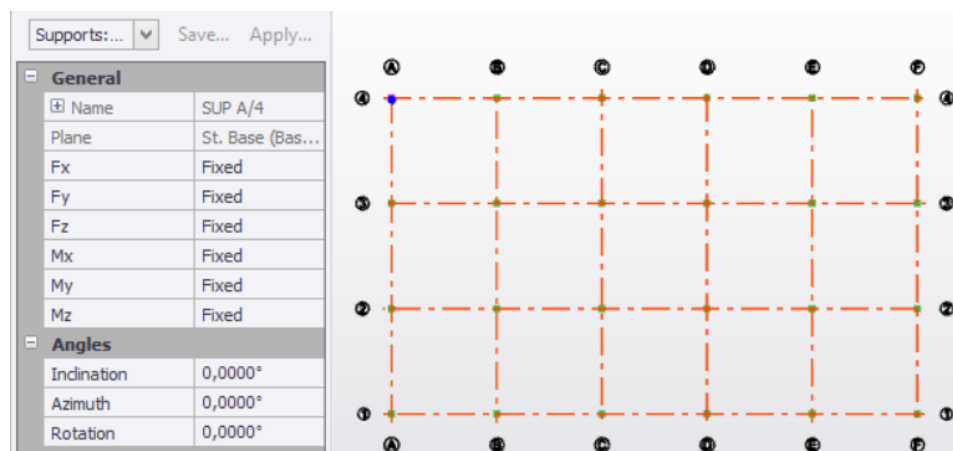


Gambar 5.91 Hasil *Generate* Otomatis Pada TSD

(Sumber: Hasil Analisis Penulis, 2025)

f. Jenis perletakan

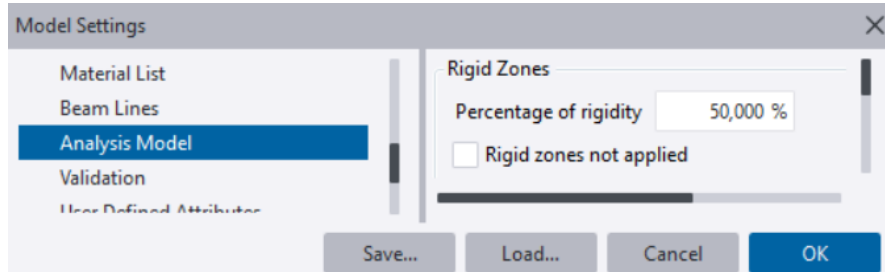
Perletakan kolom dimodelkan sebagai jepit.



Gambar 5.92 Jenis Perletakan Kolom Pada TSD

(Sumber: Hasil Analisis Penulis, 2025)

Seperti pada *ETABS*, *end length offset* dan *Rigid zone factor* juga perlu diatur pada *TSD* yakni sebesar 0,5 atau 50%.



Gambar 5.93 *End Length Offset* Dan *Rigid Zone Factor* Pada *TSD*

(Sumber: Hasil Analisis Penulis, 2025)

g. Running permodelan

Untuk melihat hasil analisis struktur, perlu di running agar perhitungan analisis struktur dihitung otomatis oleh *TSD*. Hasil *running* *TSD* juga bisa langsung mendesain kebutuhan tulangan pada setiap elemen.



Gambar 5.94 Fitur Analisis Dan Desain Pada *TSD*

(Sumber: Hasil Analisis Penulis, 2025)

h. Permodelan *uncrack*

Setelah permodelan *crack* dibuat pada poin sebelumnya, perlu dibuat permodelan *uncrack* pada file *TSD* terpisah untuk digunakan mencari periode yang akan dipakai. Perbedaan permodelan *uncrack* dan *crack* hanya pada modifikasi faktor elemen yang bernilai 1.

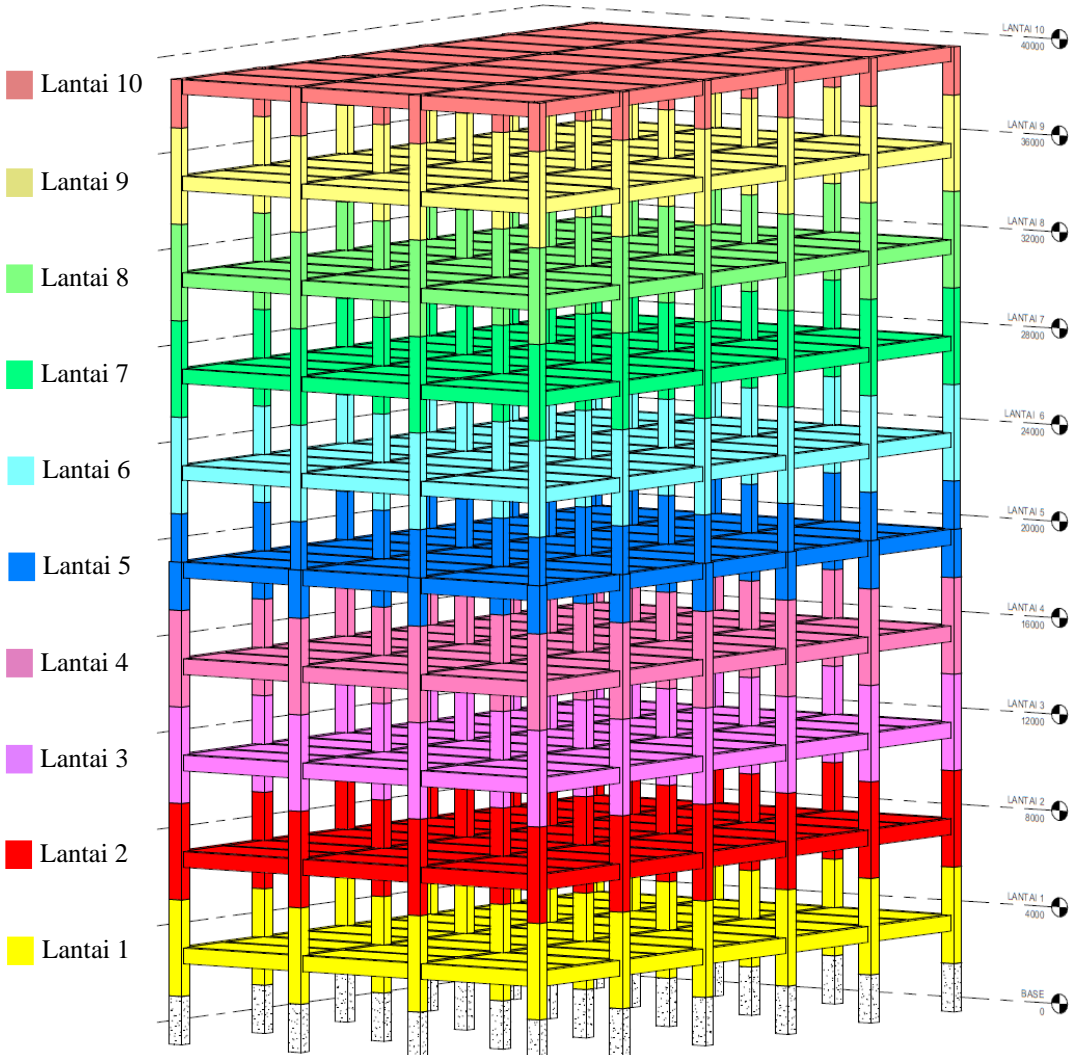
5.6 Hasil Analisis Struktur

Hasil analisis struktur yang diamati yaitu berat seismik aktif, waktu getar alami, gaya gempa, simpangan antar lantai, pengaruh P- Δ , dan ketidakberaturan struktur. Berikut hasil analisis struktur yang dihasilkan pada kedua perangkat lunak.

5.6.1 Berat seismik aktif

Berat seismik aktif dihitung secara manual dan otomatis oleh kedua perangkat lunak dengan kombinasi beban mengacu pada SNI 1726:2019 Pasal 7.7.2 Hal 68 yakni 100% beban mati (DL), 100% beban mati tambahan (SDL), dan 25% beban hidup

(LL). Berikut perhitungan berat seismik aktif yang dihitung secara manual dan otomatis oleh kedua perangkat lunak. Berat seismik aktif setiap lantai dihitung dari $\frac{1}{2}$ lantai keatas dan $\frac{1}{2}$ lantai kebawah.



Gambar 5.95 Ilustrasi Konsep Distribusi Berat Seismik Aktif Tiap Lantai

(Sumber: Hasil Analisis Penulis, 2025)

Tabel 5.17 Perhitungan Manual Berat Seismik Aktif Lantai 10

No	Jenis Bahan	Tipe	Luas	Lebar	Tinggi	Panjang	BJ	Total	Satuan
1	Balok	B2		0,3	0,6	209,1	2400	90331,2	kg
2	Balok	B3		0,25	0,4	90	2400	21600	kg
3	Kolom	K2		0,45	48	0,55	2400	28512	kg
4	Pelat		540		0,13		2400	168480	kg
5	Plester 2cm		540				53	28620	kg
6	Keramik		540				24	12960	kg
7	MEP		540				25	13500	kg
8	Plafond dan penggantung		540				18	9720	kg

No	Jenis Bahan	Tipe	Luas	Lebar	Tinggi	Panjang	BJ	Total	Satuan
9	Dinding (tinggi 1m)				1	96	250	24000	kg
10	LL Atap		540				367,0978	198232,832	kg
Total Beban mati								308923,2	kg
Total Beban mati tambahan								88800	kg
Total Beban hidup								198232,832	kg
Total Pembebatan 1(DL+SDL)+0,25LL								447281,408	kg

(Sumber: Hasil Analisis Penulis, 2025)

Tabel 5.18 Perhitungan Manual Berat Seismik Aktif Lantai 6-9

No	Jenis Bahan	Tipe	Luas	Lebar	Tinggi	Panjang	BJ	Total	Satuan
1	Balok	B2		0,3	0,6	209,1	2400	90331,2	kg
2	Balok	B3		0,25	0,4	90	2400	21600	kg
3	Kolom	K2		0,45	96	0,55	2400	57024	kg
4	Pelat		540		0,13		2400	168480	kg
5	Plester 2cm		540				53	28620	kg
6	Keramik		540				24	12960	kg
7	MEP		540				25	13500	kg
8	Plafond dan penggantung		540				18	9720	kg
9	Dinding				3,55	96	250	85200	kg
10	LL Perkantoran		540				244,7319	132155,221	kg
Total Beban mati								337435,2	kg
Total Beban mati tambahan								150000	kg
Total Beban hidup								132155,221	kg
Total Pembebatan 1(DL+SDL)+0,25LL								520474,005	kg

(Sumber: Hasil Analisis Penulis, 2025)

Tabel 5.19 Perhitungan Manual Berat Seismik Aktif Lantai 5

No	Jenis Bahan	Tipe	Luas	Lebar	Tinggi	Panjang	BJ	Total	Satuan
1	Balok	B1		0,35	0,65	205,3	2400	112093,8	kg
2	Balok	B3		0,25	0,4	90	2400	21600	kg
3	Kolom	K2		0,45	48	0,55	2400	28512	kg
4	Kolom	K1		0,55	48	0,65	2400	41184	kg
5	Pelat		540		0,13		2400	168480	kg
6	Plester 2cm		540				53	28620	kg
7	Keramik		540				24	12960	kg
8	MEP		540				25	13500	kg
9	Plafond dan penggantung		540				18	9720	kg
10	Dinding				3,55	96	250	85200	kg
11	LL Perkantoran		540				244,7319	132155,221	kg
Total Beban mati								371869,8	kg
Total Beban mati tambahan								150000	kg
Total Beban hidup								132155,221	kg
Total Pembebatan 1(DL+SDL)+0,25LL								554908,605	kg

(Sumber: Hasil Analisis Penulis, 2025)

Tabel 5.20 Perhitungan Manual Berat Seismik Aktif Lantai 1-4

No	Jenis Bahan	Tipe	Luas	Lebar	Tinggi	Panjang	BJ	Total	Satuan
1	Balok	B1		0,35	0,65	205,3	2400	112093,8	kg
2	Balok	B2		0,25	0,4	90	2400	21600	kg
3	Kolom	K1		0,55	96	0,65	2400	82368	kg
4	Pelat lantai 12cm		540		0,13		2400	168480	kg
5	Plester 2cm		540				53	28620	kg
6	Keramik		540				24	12960	kg
7	MEP		540				25	13500	kg
8	Plafond dan penggantung		540				18	9720	kg
9	Dinding				3,5	96	250	84000	kg
9	LL Perkantoran		540				244,7319	132155,221	kg
Total Beban mati								384541,8	kg
Total Beban mati tambahan								148800	kg
Total Beban hidup								132155,221	kg
Total Pembebatan 1(DL+SDL)+0,25LL								566380,605	kg

(Sumber: Hasil Analisis Penulis, 2025)

Tabel 5.21 Rekapitulasi Hasil Berat Seismik Aktif Manual Dan Perangkat Lunak

STORY	Manual (kg)	ETABS (kg)	TSD (kg)
Story10	447281,408	447281,405	451558,279
Story9	520474,005	520474,023	520474,066
Story8	520474,005	520474,023	520474,066
Story7	520474,005	520474,023	520474,066
Story6	520474,005	520474,023	520474,066
Story5	554908,605	554908,604	556124,161
Story4	566380,605	566380,619	566380,568
Story3	566380,605	566380,619	566380,568
Story2	566380,605	566380,619	566380,568
Story1	566380,605	566380,619	566380,568
Σ	5349608,456	5349608,578	5355100,977

(Sumber: Hasil Analisis Penulis, 2025)

Tabel 5.22 Perbandingan Hasil Berat Seismik Aktif ETABS dengan TSD

STORY	ETABS (kg)	TSD (kg)	Selisih (kg)
Story10	408709,202	411333,636	2624,434
Story9	476717,830	476717,839	0,010
Story8	476717,830	476717,839	0,010
Story7	476717,830	476717,839	0,010
Story6	476717,830	476717,839	0,010
Story5	499478,770	502038,413	2559,643
Story4	516422,798	516422,836	0,037
Story3	516422,798	516422,836	0,037

STORY	ETABS (kg)	TSD (kg)	Selisih (kg)
Story2	516422,798	516422,836	0,037
Story1	516422,798	516422,836	0,037
Σ	4880750,484	4885934,748	5184,264

(Sumber: Hasil Analisis Penulis, 2025)

Pada berat seismik aktif dengan perhitungan manual dan *ETABS*, semua berat per lantai adalah sama. Namun pada *TSD* terdapat perbedaan berat seismik aktif pada lantai 5 dan lantai 10. Berat seismik aktif pada *TSD* cenderung lebih besar dibandingkan manual dan *ETABS*. Berikut hasil perhitungan berat oleh kedua perangkat lunak.

5.6.2 Periode getar alami

Pada SNI 1726:2019 Pasal 7.8.2.1 Hal 72, periode fundamental pendekatan (T_a) dihitung berdasarkan persamaan berikut.

Tabel 5.23 Pemilihan Nilai Parameter Periode Pendekatan

Tipe struktur	C_t	x
Sistem rangka pemikul momen dimana rangka memikul 100% gaya seismik yang diisyaratkan dan tidak dilingkupi atau dihubungkan dengan komponen yang lebih kaku dan akan mencegah rangka dari defleksi jika dikenai gaya seismik:		
• Rangka baja pemikul momen	0,0724	0,8
• Rangka beton pemikul momen	0,0466	0,9
Rangka baja dengan bresing eksentris	0,0731	0,75
Rangka baja dengan bresing tekekang terhadap tekuk	0,0731	0,75
Semua sistem struktur lainnya	0,0488	0,75

(Sumber: SNI 1726:2019 Tabel 18 Hal 72)

$$T_a = C_t \times h^x = 0,0466 \times 40^{0,9} = 1,289 \text{ detik}$$

Dimana h adalah tinggi struktur dari dasar sampai atas setinggi 40 meter dan C_t serta x dapat diambil dari nilai pada SNI 1726:2019 Tabel 18 Hal 72.

Pada SNI 1726:2019 Pasal 7.8.2 Hal 71, periode fundamental struktur tidak boleh melebihi hasil perkalian C_u dengan T_a . Koefisien C_u mengacu pada SNI 1726:2019 Tabel 17 Hal 72.

Tabel 5.24 Koefisien Batas Atas Periode

Parameter percepatan respons spektral desain pada 1 detik,SD1	Koefisien Cu
$\geq 0,4$	1,4
0,3	1,4
0,2	1,5
0,15	1,6
$\leq 0,1$	1,7

(Sumber: SNI 1726:2019 Tabel 17 Hal 72)

$$T_{max} = C_u \times T_a = 1,4 \times 1,289 = 1,805 \text{ detik}$$

Maka didapat T_a arah x dan y sebesar 1,289 detik dan T_{max} arah x dan y sebesar 1,309 detik. Periode getar alami juga dihitung secara otomatis oleh kedua perangkat lunak pada permodelan *crack* maupun *uncrack*. Terdapat perbedaan periode getar alami yang dihasilkan oleh kedua perangkat. Hasil periode getar alami yang dihasilkan *TSD* senderung lebih besar dibandingkan *ETABS*. Untuk periode yang dipakai diseragamkan sebesar 1,805 detik pada arah x dan arah y untuk meminimalisir perbedaan yang lebih jauh dalam perhitungan gempa.

Tabel 5.25 Hasil Output Periode Getar Alami

Arah	<i>ETABS</i>				<i>TSD</i>			
	Tmin (s)	Tcrack (s)	Tuncrack (s)	Tempiris (s)	Tmin (s)	Tcrack (s)	Tuncrack (s)	Tempiris (s)
Arah X	1,289	2,616	2,238	1,805	1,289	2,618	2,203	1,805
Arah Y	1,289	2,736	2,192	1,805	1,289	2,738	2,307	1,805

(Sumber: Hasil Analisis Penulis, 2025)

Tabel 5.26 Hasil Output Periode Getar Alami

ARAH	Tcrack (s)			Tuncrack (s)		
	<i>ETABS</i>	<i>TSD</i>	Selisih	<i>ETABS</i>	<i>TSD</i>	Selisih
Arah X	2,616	2,618	0,002	2,238	2,203	0,035
Arah Y	2,736	2,738	0,002	2,192	2,307	0,115

(Sumber: Hasil Analisis Penulis, 2025)

5.6.3 Gaya lateral akibat gempa

Gaya lateral pada setiap lantai akibat prosedur analisis gempa statik dihitung secara otomatis oleh kedua perangkat lunak. Pada poin sebelumnya terdapat perbedaan berat seismik yang dapat mempengaruhi gaya lateral akibat gempa statik pada setiap lantai yang dihasilkan oleh kedua perangkat lunak. Berikut perhitungan manual gaya lateral yang terjadi pada struktur.

a. Koefisien seismik (C_s)

Dalam perhitungan C_{sperlu} , karena nilai periode (T) pada arah x dan y adalah sama maka nilai C_{sperlu} pada arah x dan arah y pun akan sama.

1) Perhitungan C_{smax}

$$C_{smax} = \frac{S_{DS}}{\left(\frac{R}{I}\right)}$$

$$C_{smax} = \frac{0,6638}{\left(\frac{8}{1}\right)}$$

$$C_{smax} = 0,083$$

2) Perhitungan C_{smin}

$$C_{smin} = 0,044 \cdot S_{DS} \cdot Ie \geq 0,001$$

$$C_{smin} = 0,044 \times 0,6638 \times 1 \geq 0,001$$

$$C_{smin} = 0,0292 \geq 0,001 \dots \text{OKE}$$

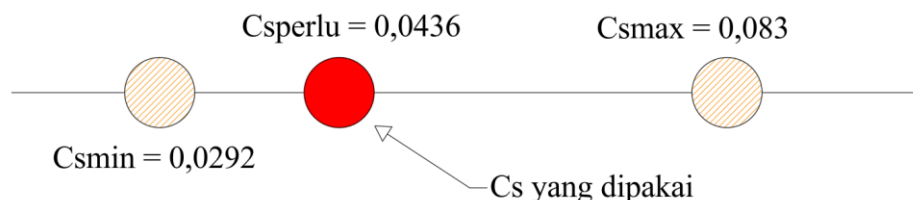
3) Perhitungan C_{sperlu}

$$C_{sperlu} = \frac{S_{D1}}{T \left(\frac{R}{I}\right)}$$

$$C_{sperlu} = \frac{0,630}{1,805 \left(\frac{8}{1}\right)}$$

$$C_{sperlu} = 0,0436$$

Berdasarkan hasil analisis sebelumnya, diketahui nilai C_{smin} sebesar 0,0292, nilai C_{smax} sebesar 0,083, dan nilai C_{sperlu} sebesar 0,0436, sehingga $C_{smin} < C_{sperlu} < C_{smax}$ ($0,0292 < 0,0436 < 0,083$). Maka nilai C_s yang digunakan pada arah x dan arah y adalah 0,0436.



Gambar 5.96 Ilustrasi Penggunaan C_{sperlu} Arah X

(Sumber : Hasil Analisis Penulis, 2025)

b. Nilai Gaya Geser Gempa (V)

Nilai V dapat diperoleh dengan menggunakan rumus berikut.

$$V = C_S \times W_{\text{total}}$$

Karena C_s arah x = C_s arah y maka $V_x = V_y$, dengan $W_{\text{total}} = 5349608,456 \text{ kg}$

$$V_x = V_y = C_S \text{ arah x} \times W_{\text{total}}$$

$$V_x = V_y = 0,0436 \times 5349608,456$$

$$V_x = V_y = 233353,7 \text{ kg}$$

c. Nilai k

Selanjutnya mencari nilai k dengan aturan sebagai berikut.

- 1) Untuk struktur yang mempunyai $T \leq 0,5$ detik nilai k = 1
- 2) Untuk struktur yang mempunyai $T \geq 2,5$ detik nilai k = 2
- 3) Untuk struktur yang mempunyai $0,5 < T < 2,5$ detik nilai k diperoleh menggunakan interpolasi

Karena nilai $T_{\text{arah x}} = T_{\text{arah y}} = 1,805$ detik, maka nilai k arah x dan y diperoleh melalui interpolasi.

$$k_x = k_y = y_1 + (y_2 - y_1) \times \frac{x - x_1}{x_2 - x_1}$$

$$k_x = k_y = 1 + (2 - 1) \times \frac{1,805 - 0,5}{2,5 - 0,5}$$

$$k_x = k_y = 1,652$$

d. Nilai C_v

Pada perhitungan nilai k pada arah x dan y didapat hasilnya sama, maka koefisien seismik terjadi pada arah x dan y akan sama pada masing masing sumbu. Berikut perhitungan nilai C_v

Tinggi antar lantai = 4 m

Berat seismik aktif lantai = 566380,605 kg

$$C_x = \sum_{i=0}^n \frac{w_i h_i^k}{w_i h_i^k}$$

$$C_{vx} = \frac{566380,605 \times 4^{1,652}}{970695440,501}$$

$$C_v = 0,006$$

e. Gaya seismik tiap lantai

Pada perhitungan koefisien seismik (C_v) pada kedua arah sumbunya adalah sama, maka gaya seismik pada setiap lantainya akan sama pada masing-masing sumbunya. Berikut perhitungan nilai gaya gempa per-lantai

$$F_x = F_y = C_v \times V$$

$$F_x = F_y = 0,006 \times 233353,70$$

$$F_x = F_y = 1345,264 \text{ kg}$$

Berikut merupakan rekapitulasi gempa statik ekivalen tiap lantai dengan perhitungan manual.

Tabel 5.27 Perhitungan Pembebatan Gempa Statik Ekivalen Arah X

Story	hx (m)	Wx (kg)	Wx.hx (kgm)	Wx.hx^k	Cvx	Fx (kg)	Vx (kg)
Story 10	40	447281,408	17891256,318	198436369,264	0,204	47703,800	47703,800
Story 9	36	520474,005	18737064,191	194015132,550	0,200	46640,942	94344,742
Story 8	32	520474,005	16655168,170	159704691,585	0,165	38392,764	132737,506
Story 7	28	520474,005	14573272,148	128085258,101	0,132	30791,501	163529,007
Story 6	24	520474,005	12491376,127	99285259,800	0,102	23868,025	187397,032
Story 5	20	554908,605	11098172,106	78320988,400	0,081	18828,246	206225,278
Story 4	16	566380,605	9062089,685	55289578,327	0,057	13291,530	219516,808
Story 3	12	566380,605	6796567,264	34372441,372	0,035	8263,082	227779,891
Story 2	8	566380,605	4531044,842	17589745,329	0,018	4228,548	232008,439
Story 1	4	566380,605	2265522,421	5595975,772	0,006	1345,264	233353,703
Σ				970695440,501	1,000	233353,703	

(Sumber : Hasil Analisis Penulis, 2025)

Tabel 5.28 Perhitungan Pembebatan Gempa Statik Ekivalen Arah Y

Story	hy (m)	Wy (kg)	Wy.hy (kgm)	Wy.hy^k	Cvy	Fy (kg)	Vy (kg)
Story 10	40	447281,408	17891256,318	198436369,264	0,204	47703,800	47703,800
Story 9	36	520474,005	18737064,191	194015132,550	0,200	46640,942	94344,742
Story 8	32	520474,005	16655168,170	159704691,585	0,165	38392,764	132737,506
Story 7	28	520474,005	14573272,148	128085258,101	0,132	30791,501	163529,007
Story 6	24	520474,005	12491376,127	99285259,800	0,102	23868,025	187397,032
Story 5	20	554908,605	11098172,106	78320988,400	0,081	18828,246	206225,278
Story 4	16	566380,605	9062089,685	55289578,327	0,057	13291,530	219516,808
Story 3	12	566380,605	6796567,264	34372441,372	0,035	8263,082	227779,891
Story 2	8	566380,605	4531044,842	17589745,329	0,018	4228,548	232008,439
Story 1	4	566380,605	2265522,421	5595975,772	0,006	1345,264	233353,703
Σ				970695440,501	1,000	233353,703	

(Sumber : Hasil Analisis Penulis, 2025)

Berikut rekapitulasi hasil gaya lateral dengan perhitungan manual dan perangkat lunak menggunakan prosedur analisis gempa statik.

Tabel 5.29 Hasil Gaya Lateral Dengan Prosedur Analisis Gempa Statik Arah X

Story	Arah X			Arah Y		
	Vx Manual (kg)	Vx ETABS (kg)	Vx TSD (kg)	Vy Manual (kg)	Vy ETABS (kg)	Vy TSD (kg)
Story 10	43524,455	43516,960	43767,342	43524,455	43516,960	43767,342
Story 9	86180,091	86164,230	86386,279	86180,091	86164,230	86386,279
Story 8	121292,327	121268,640	121467,372	121292,327	121268,640	121467,372
Story 7	149452,802	149421,980	149602,056	149452,802	149421,980	149602,056
Story 6	171281,387	171244,280	171409,911	171281,387	171244,280	171409,911
Story 5	188203,409	188160,730	188401,748	188203,409	188160,730	188401,748
Story 4	200304,341	200257,060	200490,076	200304,341	200257,060	200490,076
Story 3	207827,252	207776,620	208004,670	207827,252	207776,620	208004,670
Story 2	211677,024	211624,320	211849,816	211677,024	211624,320	211849,816
Story 1	212901,785	212848,230	213072,864	212901,785	212848,230	213072,864

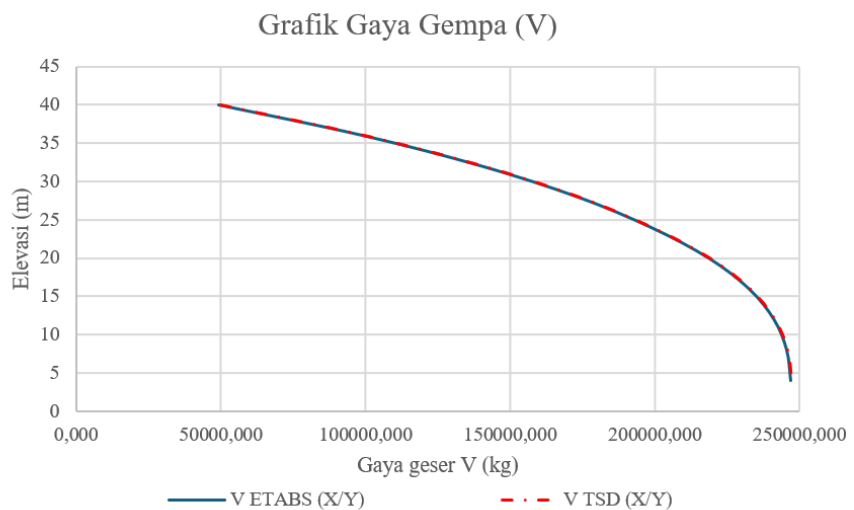
(Sumber: Hasil Analisis Penulis, 2025)

Tabel 5.30 Perbandingan Gaya Lateral ETABS Dengan TSD

Story	Arah X			Arah Y		
	Vx ETABS (kg)	Vx TSD (kg)	Selisih (kg)	Vx ETABS (kg)	Vy TSD (kg)	Selisih (kg)
Story 10	43516,960	43767,342	250,382	43516,960	43767,342	250,382
Story 9	86164,230	86386,279	222,049	86164,230	86386,279	222,049
Story 8	121268,640	121467,372	198,732	121268,640	121467,372	198,732
Story 7	149421,980	149602,056	180,076	149421,980	149602,056	180,076
Story 6	171244,280	171409,911	165,631	171244,280	171409,911	165,631
Story 5	188160,730	188401,748	241,018	188160,730	188401,748	241,018
Story 4	200257,060	200490,076	233,016	200257,060	200490,076	233,016
Story 3	207776,620	208004,670	228,050	207776,620	208004,670	228,050
Story 2	211624,320	211849,816	225,496	211624,320	211849,816	225,496
Story 1	212848,230	213072,864	224,634	212848,230	213072,864	224,634

(Sumber: Hasil Analisis Penulis, 2025)

Dari hasil diatas, gaya gempa setiap lantai antara perhitungan manual dengan *ETABS* maupun *TSD* pada arah x dan y mempunyai perbedaan yang sangat kecil. Seperti pada poin berat seismik aktif sebelumnya, berat seismik *TSD* cenderung lebih besar dibandingkan dengan manual maupun *ETABS* yang mempengaruhi hasil gaya lateral tiap lantai pada *TSD*, hal ini sesuai dengan hasil penelitian yang dilakukan oleh (Rifandi, 2020) bahwa semakin besar berat bangunan maka semakin besar juga gaya gempa yang terjadi. Sehingga hasil *TSD* lebih besar dibandingkan dengan *ETABS* dengan selisih terbesar pada lantai 10 sebesar 250,382 kg pada arah x dan arah y, hal ini bertolak belakang dengan penelitian yang disusun oleh (Aziz dkk, 2023) dengan hasil gaya gempa statik yang dihasilkan *ETABS* lebih besar dibandingkan *TSD*.



Gambar 5.97 Grafik Gaya Gempa

(Sumber : Hasil Analisis Penulis, 2025)

5.6.4 Displacement

Displacement pada setiap lantai dihitung secara otomatis pada kedua perangkat lunak dan memiliki hasil *displacement* pada setiap lantai yang berbeda pada kedua perangkat lunak. Nilai *displacement* yang dihasilkan dari prosedur analisis gempa statik memiliki perbedaan nilai sebagai berikut.

Tabel 5.31 Hasil Output *Displacement* Dengan Prosedur Analisis Gempa Statik

Story	Z	MovX (mm)			MovY (mm)		
	[m]	ETABS	TSD	Selisih	ETABS	TSD	Selisih
Story 10	40	146,396	144,800	1,596	160,602	157,100	3,502
Story 9	36	139,666	138,400	1,266	152,984	150,000	2,984
Story 8	32	127,93	126,900	1,030	140,004	137,500	2,504
Story 7	28	111,613	110,900	0,713	122,079	120,100	1,979
Story 6	24	91,877	91,300	0,577	100,488	99,000	1,488
Story 5	20	71,453	71,100	0,353	78,209	77,200	1,009
Story 4	16	55,403	55,100	0,303	60,416	59,700	0,716
Story 3	12	38,958	38,800	0,158	42,276	41,800	0,476
Story 2	8	22,583	22,500	0,083	24,332	24,000	0,332
Story 1	4	7,91	7,900	0,010	8,426	8,300	0,126

(Sumber: Hasil Analisis Penulis, 2025)

5.6.5 Simpangan struktur

Pemeriksaan simpangan antartingkat mengacu pada SNI 1726:2019 Pasal 7.8.6. Simpangan antartingkat desain yang diizinkan mengacu pada SNI 1726:2019 Pasal 7.12.1 Tabel 20 Hal 88 dengan jenis gedung adalah gedung perkantoran dengan kategori risiko II. Pada SNI 1726:2019 Pasal 7.12.1.1 Hal 88, simpangan

antartingkat tidak boleh melebihi $\frac{\Delta a}{\rho}$. Dengan nilai redundansi (ρ) sebesar 1,3 karena syarat pada setiap tingkat untuk menahan minimal 35% gaya geser dasar tidak terpenuhi pada arah x maupun y yang diatur pada SNI 1726:2019 Pasal 7.3.4.2 Hal 64.

Tabel 5.32 Pengecekan Syarat Redudansi

Story	ETABS		TSD	
	Vx (kg)	Vy (kg)	Vx (kg)	Vy (kg)
Story10	49401,56	49401,56	50081,9342	50081,9342
Story9	99221,83	99221,83	99811,6584	99811,6584
Story8	140230,6	140230,6	140745,82	140745,82
Story7	173119,1	173119,1	173574,564	173574,564
Story6	198611,8	198611,8	199020,868	199020,868
Story5	218484,9	218484,9	218880,454	218880,454
Story4	232383	232383	232753,285	232753,285
Story3	241022,7	241022,7	241377,229	241377,229
Story2	245443,5	245443,5	245790,051	245790,051
Story1	246849,7	246849,7	247193,69	247193,69
35% V	86397,39	86397,39	86517,7915	86517,7915
CEK	NOT OK	NOT OK	NOT OK	NOT OK

(Sumber: Hasil Analisis Penulis, 2025)

Tabel 5.33 Simpangan Antar Tingkat Izin Menurut SNI 1726:2019

Tipe Struktur	Kategori Risiko		
	I atau II	III	IV
Struktur, selain dari struktur dinding geser batu bata, 4 tingkat atau kurang dengan dinding interior, partisi, langit-langit dan sistem dinding eksterior yang telah didesain untuk mengakomodasi simpangan antar tingkat.	0,025 h_{sx}	0,020 h_{sx}	0,015 h_{sx}
Struktur dinding geser kantilever batu bata	0,010 h_{sx}	0,010 h_{sx}	0,010 h_{sx}
Struktur dinding geser batu bata lainnya	0,007 h_{sx}	0,007 h_{sx}	0,007 h_{sx}
Semua struktur lainnya	0,020 h_{sx}	0,015 h_{sx}	0,010 h_{sx}

(Sumber: Pada SNI 1726:2019 Pasal 7.12.1.1 Hal 88)

Simpangan antar izin diambil semua struktur lainnya dengan kategori resiko II = 0,020 h_{sx} . Nilai h_{sx} merupakan tinggi antar tingkat sebesar 4000 mm. Beikut perhitungan simpangan dengan prosedur analisis statik sebagai berikut.

$$\Delta_{izin} = 0,020 \times \frac{hsx}{\rho} = 0,020 \times \frac{4000}{1,5} = 61,538 \text{ mm}$$

$$C_d = 5,5 \text{ (SRPMK, SNI 2716:2019 Tabel 12 Hal 49)}$$

$$I_e = 1 \text{ (Kategori risiko II, SNI 1726:2019 Tabel 3 Hal 24)}$$

a. Simpangan antar tingkat (Δ) ETABS

$$\delta_{ex} = 7,91$$

$$\Delta_x = \frac{C_d \times (\delta_{ex} \text{ lt } 1)}{I_e} = \frac{5,5 \times (7,91)}{1}$$

$$= 43,505 \text{ mm} < 61,538 \text{ mm} \text{ (memenuhi syarat)}$$

$$\delta_{ey} = 8,426$$

$$\Delta_y = \frac{C_d \times (\delta_{ey} \text{ lt } 1)}{I_e}$$

$$= \frac{5,5 \times (8,426)}{1}$$

$$= 46,343 \text{ mm} < 61,538 \text{ mm} \text{ (memenuhi syarat)}$$

b. Simpangan antar tingkat (Δ) *TSD*

$$\delta_{ex} = 7,9$$

$$\Delta_x = \frac{C_d \times (\delta_{ex} \text{ lt } 1)}{I_e} = \frac{5,5 \times (7,9)}{1}$$

$$= 43,45 \text{ mm} < 61,538 \text{ mm} \text{ (memenuhi syarat)}$$

$$\delta_{ey} = 8,4$$

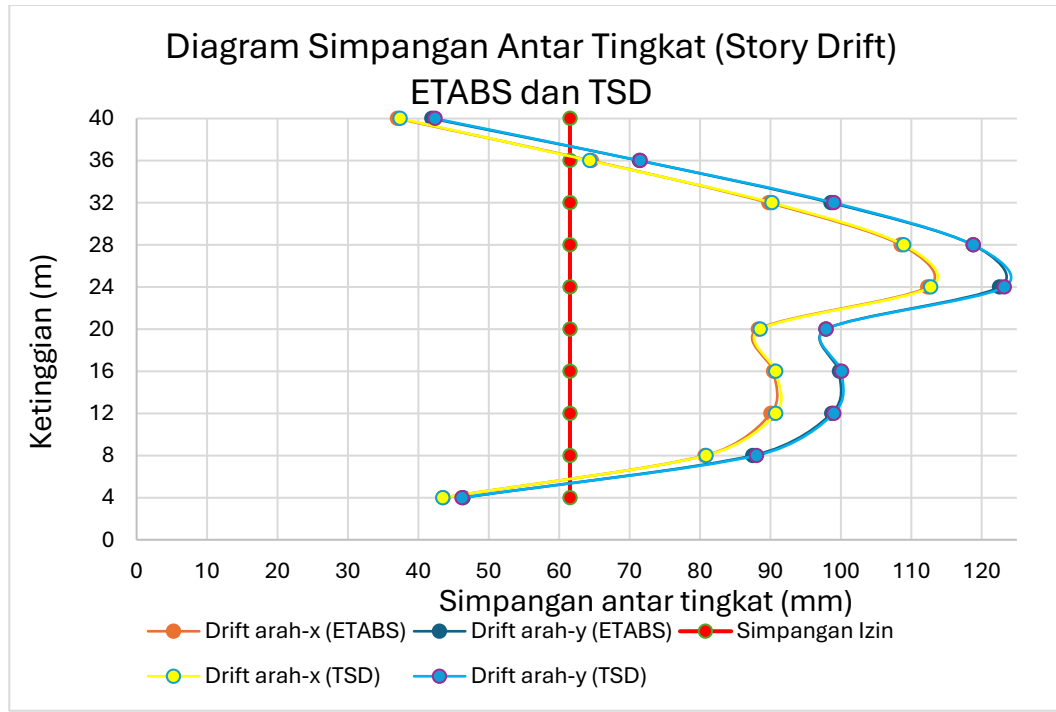
$$\Delta_y = \frac{C_d \times (\delta_{ey} \text{ lt } 1)}{I_e} = \frac{5,5 \times (8,4)}{1} = 46,2 \text{ mm} < 61,538 \text{ mm} \text{ (memenuhi syarat)}$$

Berikut rekapitulasi analisis simpangan dengan prosedur analisis gempa statik pada kedua perangkat lunak.

Tabel 5.34 Hasil Analisis Simpangan Antar Lantai

Story	Drift Limit (mm)	ETABS				TSD			
		$\Delta X \text{ (mm)}$	Ratio	$\Delta Y \text{ (mm)}$	Ratio	$\Delta X \text{ (mm)}$	Ratio	$\Delta Y \text{ (mm)}$	Ratio
Story 10	61,538	37,015	0,601	41,899	0,681	37,400	0,608	42,350	0,688
Story 9	61,538	64,548	1,049	71,390	1,160	64,350	1,046	71,500	1,162
Story 8	61,538	89,744	1,458	98,588	1,602	90,200	1,466	99,000	1,609
Story 7	61,538	108,548	1,764	118,751	1,930	108,900	1,770	118,800	1,931
Story 6	61,538	112,332	1,825	122,535	1,991	112,750	1,832	123,200	2,002
Story 5	61,538	88,275	1,434	97,862	1,590	88,550	1,439	97,900	1,591
Story 4	61,538	90,448	1,470	99,770	1,621	90,750	1,475	100,100	1,627
Story 3	61,538	90,063	1,464	98,692	1,604	90,750	1,475	99,000	1,609
Story 2	61,538	80,702	1,311	87,483	1,422	80,850	1,314	88,000	1,430
Story 1	61,538	43,505	0,707	46,343	0,753	43,450	0,706	46,200	0,751
Rata-rata			1,308		1,435		1,313		1,440

(Sumber: Hasil Analisis Penulis, 2025)



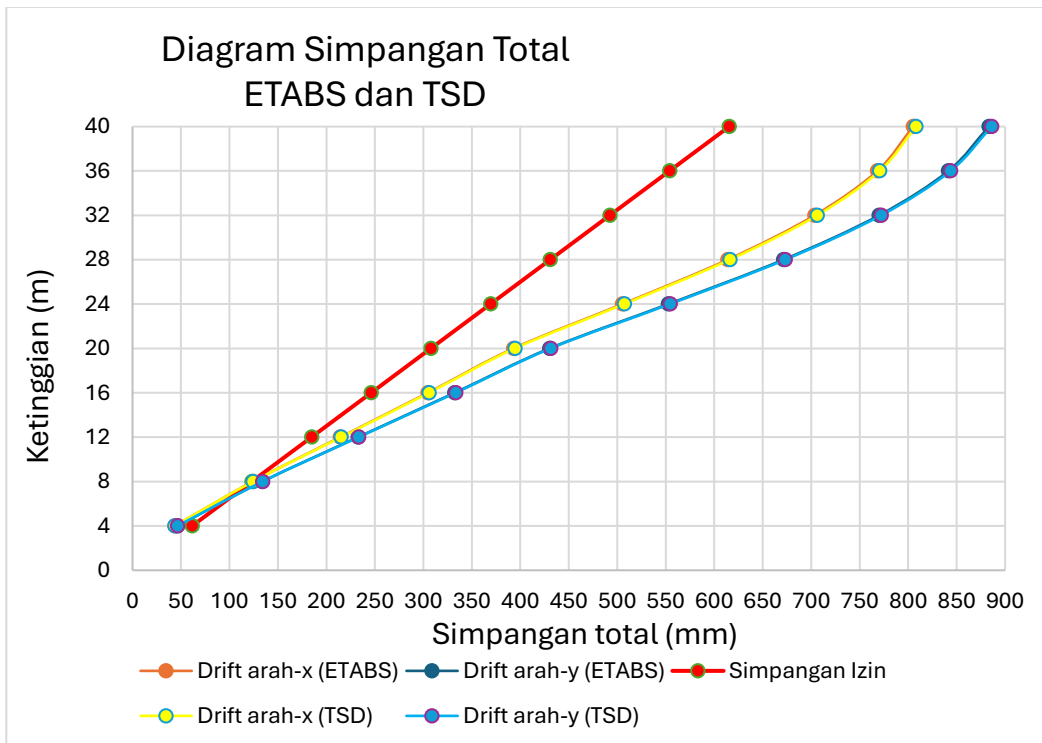
Gambar 5.98 Grafik Simpangan Antar Lantai

(Sumber: Hasil Analisis Penulis, 2025)

Tabel 5.35 Hasil Analisis Simpangan Total

Story	Drift Limit (mm)	ETABS				TSD			
		ΔX (mm)	Ratio	ΔY (mm)	Ratio	ΔX (mm)	Ratio	ΔY (mm)	Ratio
Story 10	615,385	805,178	1,308	883,311	1,435	807,950	1,313	886,050	1,440
Story 9	553,846	768,163	1,387	841,412	1,519	770,550	1,391	843,700	1,523
Story 8	492,308	703,615	1,429	770,022	1,564	706,200	1,434	772,200	1,569
Story 7	430,769	613,872	1,425	671,435	1,559	616,000	1,430	673,200	1,563
Story 6	369,231	505,324	1,369	552,684	1,497	507,100	1,373	554,400	1,502
Story 5	307,692	392,992	1,277	430,150	1,398	394,350	1,282	431,200	1,401
Story 4	246,154	304,717	1,238	332,288	1,350	305,800	1,242	333,300	1,354
Story 3	184,615	214,269	1,161	232,518	1,259	215,050	1,165	233,200	1,263
Story 2	123,077	124,207	1,009	133,826	1,087	124,300	1,010	134,200	1,090
Story 1	61,538	43,505	0,707	46,343	0,753	43,450	0,706	46,200	0,751
Rata-rata			1,231		1,342		1,235		1,346

(Sumber: Hasil Analisis Penulis, 2025)



Gambar 5.99 Grafik Simpangan Total

(Sumber: Hasil Analisis Penulis, 2025)

Pada prosedur analisis gempa statik, nilai simpangan antar lantai yang kedua perangkat lunak hasilkan masih melebihi simpangan antar lantai maksimum yang dibatasi oleh SNI 1726 Pasal 7.12.1.1 Hal 88. Sehingga perlu merubah konfigurasi dimensi maupun posisi elemen struktur sampai simpangan yang dihasilkan tidak melebihi simpangan yang diizinkan. Berikut konfigurasi dimensi elemen struktur dengan simpangan antar tingkat kurang dari simpangan yang diizinkan.

Tabel 5.36 Penggantian Dimensi Elemen Struktur

Elemen	Lebar (b)	Tinggi (h)	Tebal (t)
B1	350	650	-
B2	300	600	-
B3	250	400	-
Pelat	-	-	130
K1	650	750	-
K2	600	700	-

(Sumber: Hasil Analisis Penulis, 2025)

Berikut rekapitulasi berat seismik aktif, periode getar alami, gaya lateral akibat gempa statik, dan simpangan yang terjadi setelah penggantian dimensi elemen struktur pada kedua perangkat lunak.

Tabel 5.37 Rekapitulasi Berat Seismik Aktif Setelah Pergantian Dimensi Struktur

STORY	ETABS (kg)	TSD (kg)	Selisih (kg)
Story10	464691	471948,6267	7257,627
Story9	557755,6	557755,6046	0,005
Story8	557755,6	557755,6046	0,005
Story7	557755,6	557755,6046	0,005
Story6	557755,6	557755,6046	0,005
Story5	587681,8	588350,2521	668,452
Story4	594257,8	594257,7741	0,026
Story3	594257,8	594257,7741	0,026
Story2	594257,8	594257,7741	0,026
Story1	594257,8	594257,7741	0,026
Σ	5660426,4	5668352,394	7925,994

(Sumber: Hasil Analisis Penulis, 2025)

Tabel 5.38 Rekapitulasi Periode Getar Alami Setelah Pergantian Dimensi Struktur

STORY	Tcrack (s)			Tuncrack (s)		
	ETABS	TSD	Selisih	ETABS	TSD	Selisih
Arah X	1,698	1,698	0,000	1,433	1,435	0,002
Arah Y	1,707	1,706	0,001	1,421	1,447	0,026

(Sumber: Hasil Analisis Penulis, 2025)

Tabel 5.39 Rekapitulasi Gaya Lateral Setelah Pergantian Dimensi Struktur

Story	Arah X			Arah Y		
	Vx ETABS (kg)	Vx TSD (kg)	Selisih (kg)	Vy ETABS (kg)	Vy TSD (kg)	Selisih (kg)
Story 10	49401,560	50081,934	680,374	49401,560	50081,934	680,374
Story 9	99221,830	99811,658	589,828	99221,830	99811,658	589,828
Story 8	140230,580	140745,820	515,240	140230,580	140745,820	515,240
Story 7	173119,130	173574,564	455,434	173119,130	173574,564	455,434
Story 6	198611,800	199020,868	409,068	198611,800	199020,868	409,068
Story 5	218484,940	218880,454	395,514	218484,940	218880,454	395,514
Story 4	232383,040	232753,285	370,245	232383,040	232753,285	370,245
Story 3	241022,650	241377,229	354,579	241022,650	241377,229	354,579
Story 2	245443,480	245790,051	346,571	245443,480	245790,051	346,571
Story 1	246849,690	247193,690	344,000	246849,690	247193,690	344,000

(Sumber: Hasil Analisis Penulis, 2025)

Berdasarkan penelitian yang disusun oleh (Rifandi, 2020) dengan hasil bahwa semakin besar berat bangunan (W) akan semakin besar pula gaya geser yang terjadi. Hal ini sesuai dengan hasil penelitian ini bahwa semakin besar berat bangunan maka semakin besar juga gaya geser yang terjadi.

Tabel 5.40 Rekapitulasi Simpangan Antar Lantai Setelah Pergantian Dimensi Struktur

Story	Drift Limit (mm)	ETABS				TSD			
		ΔX (mm)	Ratio	ΔY (mm)	Ratio	ΔX (mm)	Ratio	ΔY (mm)	Ratio
Story 10	61,538	14,647	0,238	16,605	0,270	14,300	0,232	16,500	0,268
Story 9	61,538	24,585	0,400	26,032	0,423	24,750	0,402	25,850	0,420
Story 8	61,538	33,869	0,550	35,052	0,570	34,100	0,554	35,200	0,572
Story 7	61,538	40,623	0,660	41,520	0,675	40,700	0,661	41,800	0,679
Story 6	61,538	41,470	0,674	42,306	0,687	41,250	0,670	42,350	0,688
Story 5	61,538	37,356	0,607	38,951	0,633	37,400	0,608	38,500	0,626
Story 4	61,538	38,550	0,626	39,749	0,646	39,050	0,635	40,150	0,652
Story 3	61,538	39,122	0,636	39,732	0,646	39,050	0,635	39,600	0,644
Story 2	61,538	36,779	0,598	36,234	0,589	36,850	0,599	36,300	0,590
Story 1	61,538	22,083	0,359	20,482	0,333	22,000	0,358	20,350	0,331
Rata-rata			0,535		0,547		0,535		0,547

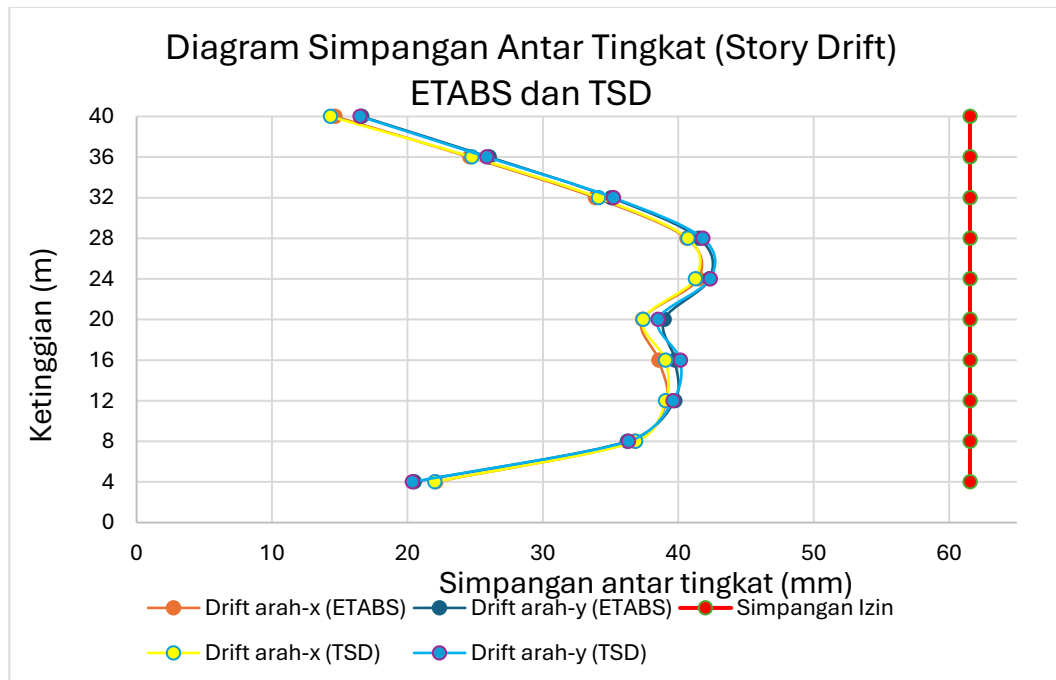
(Sumber: Hasil Analisis Penulis, 2025)

Tabel 5.41 Rekapitulasi Simpangan Total Setelah Pergantian Dimensi Struktur

Story	Drift Limit (mm)	ETABS				TSD			
		ΔX (mm)	Ratio	ΔY (mm)	Ratio	ΔX (mm)	Ratio	ΔY (mm)	Ratio
Story 10	615,385	329,082	0,535	336,661	0,547	338,250	0,550	336,600	0,547
Story 9	553,846	314,435	0,568	320,056	0,578	321,750	0,581	320,100	0,578
Story 8	492,308	289,850	0,589	294,025	0,597	295,900	0,601	294,250	0,598
Story 7	430,769	255,981	0,594	258,973	0,601	260,700	0,605	259,050	0,601
Story 6	369,231	215,358	0,583	217,454	0,589	218,900	0,593	217,250	0,588
Story 5	307,692	173,888	0,565	175,148	0,569	176,550	0,574	174,900	0,568
Story 4	246,154	136,532	0,555	136,197	0,553	138,050	0,561	136,400	0,554
Story 3	184,615	97,983	0,531	96,448	0,522	97,900	0,530	96,250	0,521
Story 2	123,077	58,861	0,478	56,716	0,461	58,300	0,474	56,650	0,460
Story 1	61,538	22,083	0,359	20,482	0,333	22,000	0,358	20,350	0,331
Rata-rata			0,536		0,535		0,543		0,535

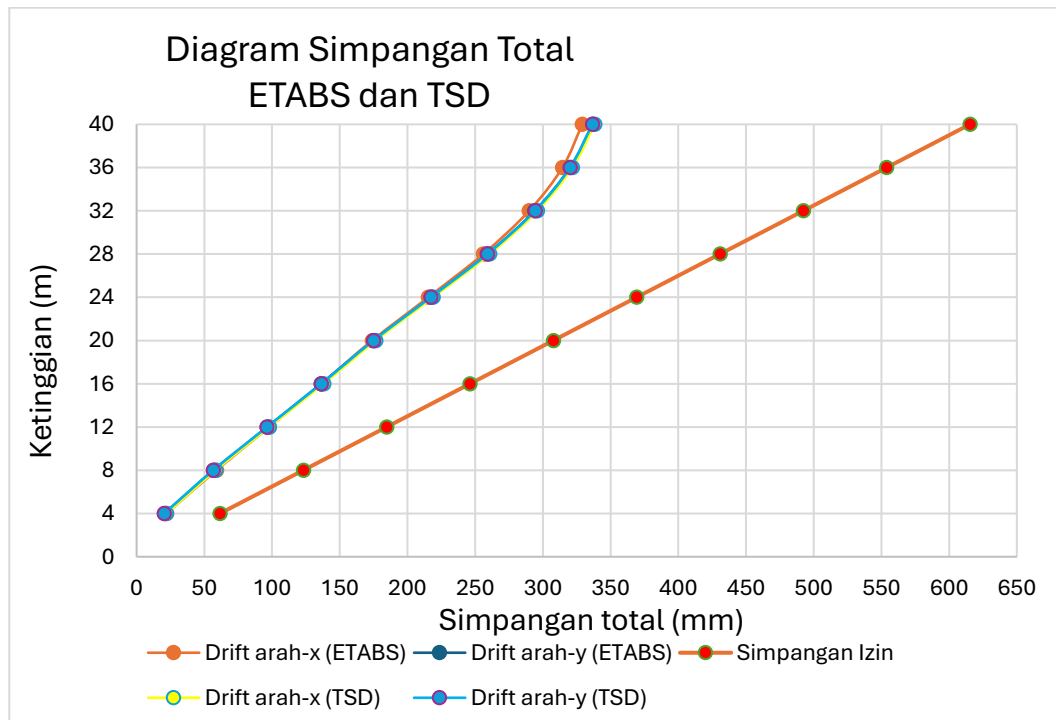
(Sumber: Hasil Analisis Penulis, 2025)

Hasil yang didapat yaitu simpangan antar tingkat pada TSD memiliki rasio rata-rata yang sama dengan ETABS yaitu sebesar 0,535 pada arah x dan 0,547 pada arah y. Hal tidak sesuai dengan penelitian yang dilakukan oleh (Aziz dkk, 2023) dengan hasil penelitian yang didapat ialah nilai simpangan yang dihasilkan pada ETABS lebih besar dibandingkan dengan TSD dan penelitian yang disusun oleh (Rusliyana, 2024) dengan hasil simpangan TSD lebih kecil dibandingkan dengan SAP2000.



Gambar 5.100 Grafik Simpangan Antar Lantai Setelah Pergantian Dimensi Struktur

(Sumber: Hasil Analisis Penulis, 2025)



Gambar 5.101 Grafik Simpangan Total Setelah Pergantian Dimensi Struktur

(Sumber: Hasil Analisis Penulis, 2025)

5.6.6 Pengaruh P-Δ

Analisa pengaruh P-Δ mengacu pada SNI 1726:2019 Pasal 7.8.7 Hal 76. Berdasarkan pasal tersebut dikatakan bahwa pengaruh P-Δ tidak perlu diperhitungkan bila koefisien stabilitas (θ) $\leq 0,10$. Koefisien stabilitas (θ) tidak boleh melebihi θ_{max} karena struktur berpotensi tidak stabil. Dalam analisis pengaruh P-Δ menggunakan nilai beban aksial (P) total pada tingkat yang diambil dari kombinasi 1DL + 1SDL + 1LL, gaya geser seismik (V) yang bekerja pada tingkat, simpangan antar tingkat (Δ), dan tinggi tingkat dibawah lantai yang ditinjau (h_s). Berikut perhitungan analisis pengaruh P-Δ pada kedua perangkat lunak.

a. Pengaruh P-Δ dengan output yang dihasilkan *ETABS*

$$C_d = 5,5 \text{ (SRPMK, SNI 2716:2019 Tabel 12 Hal 49)}$$

$$I_e = 1 \text{ (Kategori risiko II, SNI 1726:2019 Tabel 3 Hal 24)}$$

$$\beta = 1 \text{ (Rasio kebutuhan geser terhadap kapasitas geser, SNI 1726:2019)}$$

$$\theta_{maks} = \frac{0,5}{\beta C_d} = \frac{0,5}{1 \times 5,5} = 0,091$$

$$P = 6710274,800 \text{ kg}$$

$$V_x = V_y = 246911,804 \text{ kg}$$

$$\Delta_x = 22,083 \text{ mm}$$

$$\Delta_y = 20,482 \text{ mm}$$

$$h_s = 4000 \text{ mm}$$

$$\begin{aligned} \theta_x &= \frac{P \Delta_x I_e}{V_x h_s C_d} \\ &= \frac{6710274,800 \times 22,083 \times 1}{246911,804 \times 4000 \times 5,5} \\ &= 0,027 < 0,091 \text{ (pengaruh P-Δ tidak perlu diperhitungkan)} \end{aligned}$$

$$\begin{aligned} \theta_y &= \frac{P \Delta_y I_e}{V_y h_s C_d} \\ &= \frac{6710274,800 \times 20,482 \times 1}{246911,804 \times 4000 \times 5,5} \\ &= 0,025 < 0,091 \text{ (pengaruh P-Δ tidak perlu diperhitungkan)} \end{aligned}$$

b. Pengaruh P-Δ dengan output yang dihasilkan *TSD*

$$C_d = 5,5 \text{ (SRPMK, SNI 2716:2019 Tabel 12 Hal 49)}$$

$I_e = 1$ (Kategori risiko II, SNI 1726:2019 Tabel 3 Hal 24)

$\beta = 1$ (Rasio kebutuhan geser terhadap kapasitas geser, SNI 1726:2019)

$$\theta_{\max} = \frac{0,5}{\beta C_d} = \frac{0,5}{1 \times 5,5} = 0,091$$

$$P = 6756109,479 \text{ kg}$$

$$V_x = V_y = 246849,690 \text{ kg}$$

$$\Delta_x = 22 \text{ mm}$$

$$\Delta_y = 20,35 \text{ mm}$$

$$h_s = 4000 \text{ mm}$$

$$\theta_x = \frac{P \Delta_x I_e}{V_x h_s C_d}$$

$$= \frac{6756109,479 \times 22 \times 1}{246849,690 \times 4000 \times 5,5}$$

= 0,027 < 0,091 (pengaruh P- Δ tidak perlu diperhitungkan)

$$\theta_y = \frac{P \Delta_y I_e}{V_y h_s C_d}$$

$$= \frac{6756109,479 \times 20,35 \times 1}{246849,690 \times 4000 \times 5,5}$$

$$= 0,025 < 0,091 (\text{pengaruh P-}\Delta \text{ tidak perlu diperhitungkan})$$

Berikut rekapitulasi pengaruh P- Δ setiap lantai pada hasil output kedua perangkat lunak.

Tabel 5.42 Hasil Analisis Pengaruh P- Δ Setiap Lantai (ETABS)

Story	h (mm)	P (kg)	Vx (kg)	Vy (kg)	Δx (mm)	Δy (mm)	θ_x	θ_y	θ_{\max}	Cek
Story 10	4000	661749,640	49410,061	49410,061	14,647	16,605	0,009	0,010	0,909	$\leq \theta_{\max}$
Story 9	4000	1318621,640	99240,097	99240,097	24,585	26,032	0,015	0,016	0,909	$\leq \theta_{\max}$
Story 8	4000	1975493,720	140257,983	140257,983	33,869	35,052	0,022	0,022	0,909	$\leq \theta_{\max}$
Story 7	4000	2632365,720	173154,865	173154,865	40,623	41,520	0,028	0,029	0,909	$\leq \theta_{\max}$
Story 6	4000	3289237,640	198654,877	198654,877	41,470	42,306	0,031	0,032	0,909	$\leq \theta_{\max}$
Story 5	4000	3983811,880	218534,568	218534,568	37,356	38,951	0,031	0,032	0,909	$\leq \theta_{\max}$
Story 4	4000	4677186,120	232437,951	232437,951	38,550	39,749	0,035	0,036	0,909	$\leq \theta_{\max}$
Story 3	4000	5370560,280	241081,411	241081,411	39,122	39,732	0,040	0,040	0,909	$\leq \theta_{\max}$
Story 2	4000	6063934,520	245504,613	245504,613	36,779	36,234	0,041	0,041	0,909	$\leq \theta_{\max}$
Story 1	4000	6710274,800	246911,804	246911,804	22,083	20,482	0,027	0,025	0,909	$\leq \theta_{\max}$

(Sumber: Hasil Analisis Penulis, 2025)

Tabel 5.43 Hasil Analisis Pengaruh P- Δ Setiap Lantai (TSD)

Story	h (mm)	P (kg)	Vx (kg)	Vy (kg)	Ax (mm)	Δy (mm)	θx	θy	θmax	Cek
Story 10	4000	661749,729	49401,560	49401,560	13,750	15,400	0,008	0,009	0,909	$\leq \theta_{max}$
Story 9	4000	1318621,818	99221,830	99221,830	23,650	24,750	0,014	0,015	0,909	$\leq \theta_{max}$
Story 8	4000	1975493,907	140230,580	140230,580	33,550	33,550	0,021	0,021	0,909	$\leq \theta_{max}$
Story 7	4000	2632365,996	173119,130	173119,130	39,600	40,150	0,027	0,028	0,909	$\leq \theta_{max}$
Story 6	4000	3289238,085	198611,800	198611,800	40,700	40,700	0,031	0,031	0,909	$\leq \theta_{max}$
Story 5	4000	3982612,367	218484,940	218484,940	37,400	37,950	0,031	0,031	0,909	$\leq \theta_{max}$
Story 4	4000	4675986,645	232383,040	232383,040	37,950	39,050	0,035	0,036	0,909	$\leq \theta_{max}$
Story 3	4000	5369360,923	241022,650	241022,650	39,050	39,050	0,040	0,040	0,909	$\leq \theta_{max}$
Story 2	4000	6062735,201	245443,480	245443,480	36,300	35,200	0,041	0,040	0,909	$\leq \theta_{max}$
Story 1	4000	6756109,479	246849,690	246849,690	22,000	20,350	0,027	0,025	0,909	$\leq \theta_{max}$

(Sumber: Hasil Analisis Penulis, 2025)

5.6.7 Analisa ketidakberaturan struktur

Klasifikasi struktur beraturan dan tidak beraturan diatur dalam SNI 1726:2019; Pasal 7.3.2; Hal-57. Klasifikasi ini berdasarkan kondisi horizontal dan vertikal struktur yang diatur dalam SNI 1726:2019 Pasal 7.3.2 Tabel 13 Hal-59 (Ketidakberaturan horizontal) dan SNI 1726:2019 Pasal 7.3.2 Tabel 14 Hal-61 (Ketidakberaturan vertikal). Berikut analisis ketidakberaturan pada hasil permodelan kedua perangkat lunak.

a. Ketidakberaturan struktur horizontal

Dalam analisa ketidakberaturan horizontal, terdapat beberapa kategori (1a, 1b, 2, 3, 4, 5a, 5b) yang perlu diperhitungkan yang sesuai dengan isi dari SNI 1726:2019 Tabel 13 Hal-59. Berikut analisa ketidakberaturan horizontal dalam kasus ini.

Tabel 5.44 Ketidakberaturan Horizontal Pada Struktur

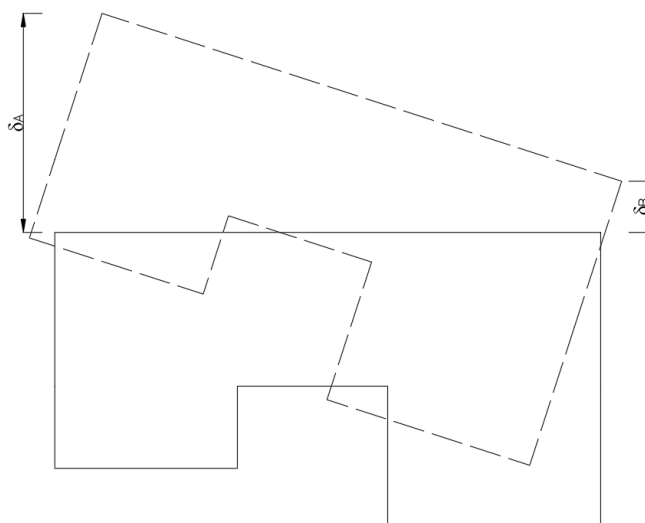
Kategori	Tipe dan penjelasan ketidakberaturan
1a	Ketidakberaturan torsi didefinisikan ada jika simpangan antar tingkat maksimum, yang dihitung termasuk torsi tak terduga dengan $Ax = 1,0$, di salah satu ujung struktur melintang terhadap suatu sumbu adalah lebih dari 1,2 kali simpangan antar tingkat rata-rata di kedua ujung struktur. Persyaratan ketidakberaturan torsi dalam pasal-pasal referensi berlaku hanya untuk struktur di mana diafragmanya kaku atau setengah kaku.
1b	Ketidakberaturan torsi berlebihan didefinisikan ada jika simpangan antar tingkat maksimum yang dihitung termasuk akibat torsi tak terduga dengan $Ax = 1,0$, di salah satu ujung struktur melintang terhadap suatu sumbu adalah lebih dari 1,4 kali simpangan antar tingkat rata-rata di kedua ujung struktur. Persyaratan ketidakberaturan torsi berlebihan dalam pasal-pasal referensi berlaku hanya untuk struktur di mana diafragmanya kaku atau setengah kaku.
2	Ketidakberaturan sudut dalam didefinisikan ada jika kedua dimensi proyeksi denah struktur dari lokasi sudut dalam lebih besar dari 15 % dimensi denah struktur dalam arah yang ditinjau.

Kategori	Tipe dan penjelasan ketidakberaturan
3	Ketidakberaturan diskontinuitas diafragma didefinisikan ada jika terdapat suatu diafragma yang memiliki diskontinuitas atau variasi kekakuan mendadak, termasuk yang mempunyai daerah terpotong atau terbuka lebih besar dari 50 % daerah diafragma bruto yang tertutup, atau perubahan kekakuan diafragma efektif lebih dari 50 % dari suatu tingkat ke tingkat selanjutnya.
4	Ketidakberaturan akibat pergeseran tegak lurus terhadap bidang didefinisikan ada jika terdapat diskontinuitas dalam lintasan tahanan gaya lateral, seperti pergeseran tegak lurus terhadap bidang pada setidaknya satu elemen vertikal pemikul gaya lateral.
5	Ketidakberaturan sistem nonparalel didefinisikan ada jika elemen vertikal pemikul gaya lateral tidak paralel terhadap sumbu-sumbu ortogonal utama sistem pemikul gaya seismik.

(Sumber: SNI 1726:2019 Pasal 7.3.2 Tabel 13 Hal-59)

1) Kategori 1a dan 1b

Kategori 1a dan 1b adalah menganalisa simpangan maksimum yang terjadi akibat gempa disetiap tingkatnya dengan syarat simpangan maksimumnya melebihi 1,2 simpangan rata – rata untuk kategori 1a ($\delta_{max} > 1,2 \delta_{avg}$) dan melebihi 1,4 simpangan rata-rata untuk kategori 1b ($\delta_{max} > 1,4 \delta_{avg}$).



Gambar 5.102 Ketidakberaturan Horizontal Kategori 1a dan 1b

(Sumber: SNI 1726:2019)

Berikut perhitungan ketidakberaturan horizontal pada kedua perangkat lunak.

- Gempa arah x (ETABS)

$$\delta_A = 4,015 \text{ mm}$$

$$\delta_B = 4,015 \text{ mm}$$

$$1,2 \delta_{Average} = 1,2 \times \frac{\delta_A + \delta_B}{2}$$

$$= 1,2 \times \frac{4,015 + 4,015}{2}$$

$$= 4,818 \text{ mm}$$

$$1,4 \delta_{Average} = 1,4 \times \frac{\delta_A + \delta_B}{2}$$

$$= 1,4 \times \frac{4,015 + 4,015}{2}$$

$$= 5,621 \text{ mm}$$

$\delta_{Max} = 4,015 \text{ mm} < 1,2 \delta_{Average} < 1,4 \delta_{Average}$ (tidak termasuk kategori 1a dan 1b)

- Gempa arah y (ETABS)

$$\delta_A = 3,724 \text{ mm}$$

$$\delta_B = 3,724 \text{ mm}$$

$$1,2 \delta_{Average} = 1,2 \times \frac{\delta_A + \delta_B}{2}$$

$$= 1,2 \times \frac{3,724 + 3,724}{2}$$

$$= 4,469 \text{ mm}$$

$$1,4 \delta_{Average} = 1,4 \times \frac{\delta_A + \delta_B}{2}$$

$$= 1,4 \times \frac{3,724 + 3,724}{2}$$

$$= 5,214 \text{ mm}$$

$\delta_{Max} = 4,469 \text{ mm} < 1,2 \delta_{Average} < 1,4 \delta_{Average}$ (tidak termasuk kategori 1a dan 1b)

- Gempa arah x (TSD)

$$\delta_A = 4 \text{ mm}$$

$$\delta_B = 4 \text{ mm}$$

$$1,2 \delta_{Average} = 1,2 \times \frac{\delta_A + \delta_B}{2}$$

$$= 1,2 \times \frac{4 + 4}{2}$$

$$= 4,8 \text{ mm}$$

$$1,4 \delta_{Average} = 1,4 \times \frac{\delta_A + \delta_B}{2}$$

$$= 1,4 \times \frac{4 + 4}{2}$$

$$= 5,6 \text{ mm}$$

$\delta_{Max} = 4 \text{ mm} < 1,2 \delta_{Average} < 1,4 \delta_{Average}$ (tidak termasuk kategori 1a dan 1b)

- Gempa arah y (*TSD*)

$$\delta_A = 3,7 \text{ mm}$$

$$\delta_B = 3,7 \text{ mm}$$

$$1,2 \delta_{Average} = 1,2 \times \frac{\delta_A + \delta_B}{2}$$

$$= 1,2 \times \frac{3,7 + 3,7}{2}$$

$$= 4,4 \text{ mm}$$

$$1,4 \delta_{Average} = 1,4 \times \frac{\delta_A + \delta_B}{2}$$

$$= 1,4 \times \frac{3,7 + 3,7}{2}$$

$$= 5,18 \text{ mm}$$

$\delta_{Max} = 4,4 \text{ mm} < 1,2 \delta_{Average} < 1,4 \delta_{Average}$ (tidak termasuk kategori 1a dan 1b)

Berikut rekapitulasi perhitungan ketidakberaturan horizontal kategori 1a dan 1b setiap lantai pada hasil output kedua perangkat lunak.

Tabel 5.45 Ketidakberaturan Horizontal Kategori 1a dan 1b Arah X (*ETABS*)

Story	height (mm)	Perpindahan		δmax (mm)	$1,2 \delta avg$ (mm)	$1,4 \delta avg$ (mm)	$\delta max > 1,2 \delta avg$ atau $\delta max > 1,4 \delta avg$
		δa (mm)	δb (mm)				
Story 10	4000	59,833	59,833	59,833	71,800	83,766	NOT OK
Story 9	4000	57,170	57,170	57,170	68,604	80,038	NOT OK
Story 8	4000	52,700	52,700	52,700	63,240	73,780	NOT OK
Story 7	4000	46,542	46,542	46,542	55,850	65,159	NOT OK
Story 6	4000	39,156	39,156	39,156	46,987	54,818	NOT OK
Story 5	4000	31,616	31,616	31,616	37,939	44,262	NOT OK
Story 4	4000	24,824	24,824	24,824	29,789	34,754	NOT OK
Story 3	4000	17,815	17,815	17,815	21,378	24,941	NOT OK
Story 2	4000	10,702	10,702	10,702	12,842	14,983	NOT OK
Story 1	4000	4,015	4,015	4,015	4,818	5,621	NOT OK

(Sumber: Hasil Analisis Penulis, 2025)

Tabel 5.46 Ketidakberaturan Horizontal Kategori 1a dan 1b Arah Y (ETABS)

Story	height	Perpindahan		$\delta \text{ max}$	$1,2 \delta \text{ avg}$	$1,4 \delta \text{ avg}$	$\delta \text{ max} > 1,2 \delta \text{ avg}$ atau $\delta \text{ max} > 1,4 \delta \text{ avg}$
		δa	δb				
	(mm)	(mm)	(mm)	(mm)	(mm)	(mm)	
Story 10	4000	61,211	61,211	61,211	73,453	85,695	NOT OK
Story 9	4000	58,192	58,192	58,192	69,830	81,469	NOT OK
Story 8	4000	53,459	53,459	53,459	64,151	74,843	NOT OK
Story 7	4000	47,086	47,086	47,086	56,503	65,920	NOT OK
Story 6	4000	39,537	39,537	39,537	47,444	55,352	NOT OK
Story 5	4000	31,845	31,845	31,845	38,214	44,583	NOT OK
Story 4	4000	24,763	24,763	24,763	29,716	34,668	NOT OK
Story 3	4000	17,536	17,536	17,536	21,043	24,550	NOT OK
Story 2	4000	10,312	10,312	10,312	12,374	14,437	NOT OK
Story 1	4000	3,724	3,724	3,724	4,469	5,214	NOT OK

(Sumber: Hasil Analisis Penulis, 2025)

Tabel 5.47 Ketidakberaturan Horizontal Kategori 1a dan 1b Arah X (TSD)

Story	height	Perpindahan		$\delta \text{ max}$	$1,2 \delta \text{ avg}$	$1,4 \delta \text{ avg}$	$\delta \text{ max} > 1,2 \delta \text{ avg}$ atau $\delta \text{ max} > 1,4 \delta \text{ avg}$
		δa	δb				
	(mm)	(mm)	(mm)	(mm)	(mm)	(mm)	
Story 10	4000	58,9	58,9	58,900	70,680	82,460	NOT OK
Story 9	4000	56,4	56,4	56,400	67,680	78,960	NOT OK
Story 8	4000	52,1	52,1	52,100	62,520	72,940	NOT OK
Story 7	4000	46	46	46,000	55,200	64,400	NOT OK
Story 6	4000	38,8	38,8	38,800	46,560	54,320	NOT OK
Story 5	4000	31,4	31,4	31,400	37,680	43,960	NOT OK
Story 4	4000	24,6	24,6	24,600	29,520	34,440	NOT OK
Story 3	4000	17,7	17,7	17,700	21,240	24,780	NOT OK
Story 2	4000	10,6	10,6	10,600	12,720	14,840	NOT OK
Story 1	4000	4	4	4,000	4,800	5,600	NOT OK

(Sumber: Hasil Analisis Penulis, 2025)

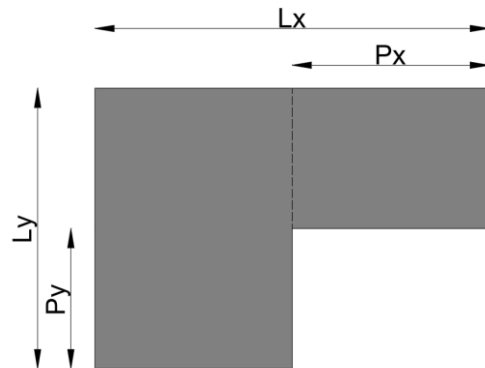
Tabel 5.48 Ketidakberaturan Horizontal Kategori 1a dan 1b Arah Y (TSD)

Story	height	Perpindahan		$\delta \text{ max}$	$1,2 \delta \text{ avg}$	$1,4 \delta \text{ avg}$	$\delta \text{ max} > 1,2 \delta \text{ avg}$ atau $\delta \text{ max} > 1,4 \delta \text{ avg}$
		δa	δb				
	(mm)	(mm)	(mm)	(mm)	(mm)	(mm)	
Story 10	4000	59,3	59,3	59,300	71,160	83,020	NOT OK
Story 9	4000	56,5	56,5	56,500	67,800	79,100	NOT OK
Story 8	4000	52	52	52,000	62,400	72,800	NOT OK
Story 7	4000	45,9	45,9	45,900	55,080	64,260	NOT OK
Story 6	4000	38,6	38,6	38,600	46,320	54,040	NOT OK
Story 5	4000	31,2	31,2	31,200	37,440	43,680	NOT OK
Story 4	4000	24,3	24,3	24,300	29,160	34,020	NOT OK
Story 3	4000	17,2	17,2	17,200	20,640	24,080	NOT OK
Story 2	4000	10,1	10,1	10,100	12,120	14,140	NOT OK
Story 1	4000	3,7	3,7	3,700	4,440	5,180	NOT OK

(Sumber: Hasil Analisis Penulis, 2025)

2) Kategori 2

Kategori ini merupakan parameter yang mengindikasikan sebuah struktur memiliki ketidakberaturan sudut dalam. Dalam penelitian ini denah yang digunakan adalah persegi panjang tanpa adanya cekungan atau sudut dalam didenahnya, sehingga struktur tidak tergolong kategori 2.



Gambar 5.103 Ketidakberaturan Horizontal Kategori 2

(Sumber: SNI 1726:2019)

3) Kategori 3

Kategori ini merupakan parameter yang mengindikasikan sebuah struktur memiliki diskontinuitas diafragma dengan luasan lantai terbuka lebih dari 50%. Pada penelitian ini setiap lantai ditutup oleh pelat sehingga tidak termasuk kategori 3.



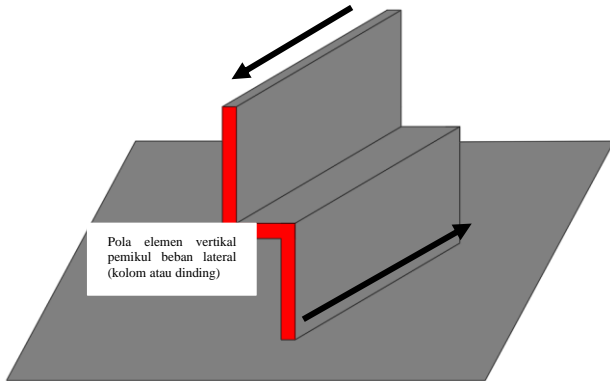
Gambar 5.104 Ketidakberaturan Horizontal Kategori 3

(Sumber: SNI 1726:2019)

4) Kategori 4

Kategori ini merupakan parameter yang mengindikasikan sebuah struktur memiliki diskontinuitas dalam lintasan gaya lateral. Dalam penelitian ini

struktur tidak menggunakan *shear wall* yang menahan gaya lateral. Sehingga tidak tergolong kategori 4.

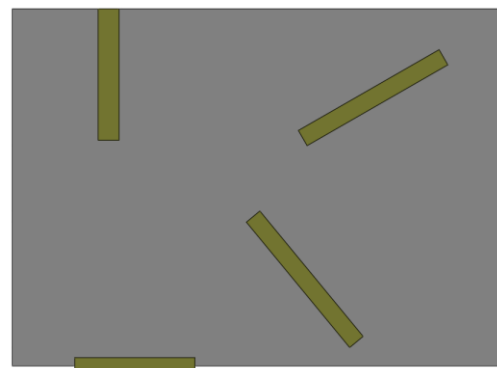


Gambar 5.105 Ketidakberaturan Horizontal Kategori 4

(Sumber: SNI 1726:2019)

5) Kategori 5

Kategori ini merupakan parameter yang mengindikasikan sebuah struktur memiliki ketidakberaturan sistem non paralel. Pada penelitian ini kolom posisinya paralel terhadap sumbu utama struktur. Jadi tidak tergolong kategori 5.



Gambar 5.106 Ketidakberaturan Horizontal Kategori 5

(Sumber: SNI 1726:2019)

b. Analisa ketidakberaturan vertikal

Dalam analisa ketidakberaturan vertikal, terdapat beberapa kategori (1a, 1b, 2, 3, 4, 5a, 5b) yang perlu diperhitungkan yang sesuai dengan isi dari SNI 1726:2019; Tabel 14; Hal-61. Berikut analisis ketidakberaturan vertikal dalam kasus ini.

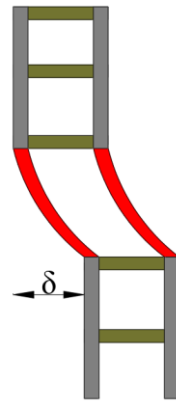
Tabel 5.49 Ketidakberaturan Vertikal Pada Struktur

Kategori	Tipe dan penjelasan ketidakberaturan
1a	Ketidakberaturan Kekakuan Tingkat Lunak didefinisikan ada jika terdapat suatu tingkat yang kekakuan lateralnya kurang dari 70 % kekakuan lateral tingkat di atasnya atau kurang dari 80 % kekakuan rata-rata tiga tingkat di atasnya.
1b	Ketidakberaturan Kekakuan Tingkat Lunak Berlebihan didefinisikan ada jika terdapat suatu tingkat yang kekakuan lateralnya kurang dari 60 % kekakuan lateral tingkat di atasnya atau kurang dari 70 % kekakuan rata-rata tiga tingkat di atasnya.
2	Ketidakberaturan Berat (Massa) didefinisikan ada jika massa efektif di sebarang tingkat lebih dari 150 % massa efektif tingkat di dekatnya. Atap yang lebih ringan dari lantai di bawahnya tidak perlu ditinjau.
3	Ketidakberaturan Geometri Vertikal didefinisikan ada jika dimensi horizontal sistem pemikul gaya seismik di sebarang tingkat lebih dari 130 % dimensi horizontal sistem pemikul gaya seismik tingkat didekatnya.
4	Ketidakberaturan Akibat Diskontinuitas Bidang pada Elemen Vertikal Pemikul Gaya Lateral didefinisikan ada jika pergeseran arah bidang elemen pemikul gaya lateral lebih besar dari panjang elemen itu atau terdapat reduksi kekakuan elemen pemikul di tingkat di bawahnya.
5a	Ketidakberaturan tingkat lemah akibat diskontinuitas pada kekuatan lateral tingkat didefinisikan ada jika kekuatan lateral suatu tingkat kurang dari 80 % kekuatan lateral tingkat di atasnya. Kekuatan lateral tingkat adalah kekuatan total semua elemen pemikul seismik yang berbagi geser tingkat pada arah yang ditinjau.
5b	Ketidakberaturan tingkat lemah berlebihan akibat diskontinuitass pada kekuatan lateral tingkat didefinisikan ada jika kekuatan lateral suatu tingkat kurang dari 65 % kekuatan lateral tingkat di atasnya. Kekuatan lateral tingkat adalah kekuatan total semua elemen pemikul seismik yang berbagi geser tingkat pada arah yang ditinjau.

(Sumber: SNI 1726:2019; Tabel 14; Hal-61)

1) Kategori 1a dan 1b

Kategori ini mengklasifikasikan struktur memiliki kekakuan tingkat lunak dengan ketentuan kekakuan lateral kurang dari 70% kekakuan di tingkat atasnya atau 80% kekakuan lateral dari rata-rata tiga tingkat diatasnya (kategori 1a). Sedangkan untuk kategori 1b parameter yang dipakai yaitu <60% dan <70%.



Gambar 5.107 Ketidakberaturan Vertikal Kategori 1a dan 1b

(Sumber: SNI 1726:2019)

Berikut perhitungan analisis ketidakberaturan vertikal kategori 1a dan 1b pada setiap lantai

$$E_{\text{beton}} = 4700 \times \sqrt{f'c'} = 4700 \times \sqrt{30} = 25742,96 \text{ Mpa}$$

$$I_x (\text{K2} = 600/700) = \frac{b \times h^3}{12} = \frac{600 \times 700^3}{12} = 17150000000 \text{ mm}^4$$

$$I_y (\text{K2} = 600/700) = \frac{h \times b^3}{12} = \frac{700 \times 600^3}{12} = 12600000000 \text{ mm}^4$$

$$K_x (\text{K2} = 600/700) = \frac{12 \times E \times I_y}{L^3} \times n \text{ kolom pada lantai yang ditinjau}$$

$$= \frac{12 \times 25742,96 \times 12600000000}{4000^3} \times 24$$

$$= 1459625,843 \text{ N/mm}$$

$$K_y (\text{K2} = 600/700) = \frac{12 \times E \times I_x}{L^3} \times n \text{ kolom pada lantai yang ditinjau}$$

$$= \frac{12 \times 25742,96 \times 17150000000}{4000^3} \times 24$$

$$= 1986712,954 \text{ N/mm}$$

$$I_x (\text{K1} = 650/750) = \frac{b \times h^3}{12} = \frac{650 \times 750^3}{12} = 22851562500 \text{ mm}^4$$

$$I_y (\text{K1} = 650/750) = \frac{h \times b^3}{12} = \frac{750 \times 650^3}{12} = 17164062500 \text{ mm}^4$$

$$K_x (\text{K1} = 650/750) = \frac{12 \times E \times I_y}{L^3} \times n \text{ kolom pada lantai yang ditinjau}$$

$$\begin{aligned}
&= \frac{12 \times 25742,96 \times 17164062500}{4000^3} \times 24 \\
&= 1988342 \text{ N/mm} \\
K_y \quad (K1 = 650/750) &= \frac{12 \times E \times I_x}{L^3} \times n \text{ kolom pada lantai yang ditinjau} \\
&= \frac{12 \times 25742,96 \times 22851562500}{4000^3} \times 24 \\
&= 2647200,888 \text{ N/mm}
\end{aligned}$$

Tabel 5.50 Rekapitulasi Kekakuan Lateral Setiap Lantai

Story	L (mm)	Jumlah Kolom (n)	Jenis Kolom	b (mm)	h (mm)	$I_x (\text{mm}^4)$	$I_y (\text{mm}^4)$	$K_x (\text{N/mm})$	$K_y (\text{N/mm})$
Story 10	4000	24	K2	600	700	17150000000,000	12600000000,000	1459625,843	1986712,954
Story 9	4000	24	K2	600	700	17150000000,000	12600000000,000	1459625,843	1986712,954
Story 8	4000	24	K2	600	700	17150000000,000	12600000000,000	1459625,843	1986712,954
Story 7	4000	24	K2	600	700	17150000000,000	12600000000,000	1459625,843	1986712,954
Story 6	4000	24	K2	600	700	17150000000,000	12600000000,000	1459625,843	1986712,954
Story 5	4000	24	K1	650	750	22851562500,000	17164062500,000	1988342,000	2647200,888
Story 4	4000	24	K1	650	750	22851562500,000	17164062500,000	1988342,000	2647200,888
Story 3	4000	24	K1	650	750	22851562500,000	17164062500,000	1988342,000	2647200,888
Story 2	4000	24	K1	650	750	22851562500,000	17164062500,000	1988342,000	2647200,888
Story 1	4000	24	K1	650	750	22851562500,000	17164062500,000	1988342,000	2647200,888

(Sumber: Hasil Analisis Penulis, 2025)

a) Lantai 1

$$K_x \text{ lantai } 1 = K_x \text{ lantai } 2 = K_x \text{ lantai } 3 = K_x \text{ lantai } 4 = 1988342 \text{ N/mm}$$

$$K_y \text{ lantai } 1 = K_y \text{ lantai } 2 = K_y \text{ lantai } 3 = K_y \text{ lantai } 4 = 2647200,888 \text{ N/mm}$$

$$70\% K_x \text{ lantai } 2 = \frac{70}{100} \times 1988342$$

$$= 1391839,400 \text{ N/mm}$$

$$60\% K_x \text{ lantai } 2 = \frac{60}{100} \times 1988342$$

$$= 1193005,200 \text{ N/mm}$$

$$80\% (\text{rata-rata } K_x \text{ lantai } 2 \text{ sampai } 4) = \frac{80}{100} \times \frac{1988342 \times 3}{3}$$

$$= 1590673,600 \text{ N/mm}$$

$$\begin{aligned}
70\% \text{ (rata-rata } K_x \text{ lantai 2 sampai 4)} &= \frac{70}{100} \times \frac{1988342 \times 3}{3} \\
&= 1391839,400 \text{ N/mm} \\
70\% K_y \text{ lantai 2} &= \frac{70}{100} \times 2647200,888 \\
&= 1853040,622 \text{ N/mm} \\
60\% K_y \text{ lantai 2} &= \frac{60}{100} \times 2647200,888 \\
&= 1588320,533 \text{ N/mm} \\
80\% \text{ (rata-rata } K_y \text{ lantai 2 sampai 4)} &= \frac{80}{100} \times \frac{2647200,888 \times 3}{3} \\
&= 2117760,710 \text{ N/mm} \\
70\% \text{ (rata-rata } K_y \text{ lantai 2 sampai 4)} &= \frac{70}{100} \times \frac{2647200,888 \times 3}{3} \\
&= 1853040,622 \text{ N/mm}
\end{aligned}$$

Berikut rekapitulasi analisis ketidakberaturan vertikal kategori 1a dan 1b.

Tabel 5.51 Analisa Ketidakberaturan Vertikal Kategori 1a

Story	Kx	Cek Persyaratan kategori 1a				Ky	Cek Persyaratan kategori 1a			
	N/mm	<70%		<80%		N/mm	<70%		<80%	
Story 10	1459625,843	-		-		1986712,954	-		-	
Story 9	1459625,843	1021738,090	NOT OK	-		1986712,954	1390699,068	NOT OK	-	
Story 8	1459625,843	1021738,090	NOT OK	-		1986712,954	1390699,068	NOT OK	-	
Story 7	1459625,843	1021738,090	NOT OK	1167700,675	NOT OK	1986712,954	1390699,068	NOT OK	1589370,363	NOT OK
Story 6	1459625,843	1021738,090	NOT OK	1167700,675	NOT OK	1986712,954	1390699,068	NOT OK	1589370,363	NOT OK
Story 5	1988342,000	1021738,090	NOT OK	1167700,675	NOT OK	2647200,888	1390699,068	NOT OK	1589370,363	NOT OK
Story 4	1988342,000	1391839,400	NOT OK	1308691,650	NOT OK	2647200,888	1853040,622	NOT OK	1765500,479	NOT OK
Story 3	1988342,000	1391839,400	NOT OK	1449682,625	NOT OK	2647200,888	1853040,622	NOT OK	1941630,595	NOT OK
Story 2	1988342,000	1391839,400	NOT OK	1590673,600	NOT OK	2647200,888	1853040,622	NOT OK	2117760,710	NOT OK
Story 1	1988342,000	1391839,400	NOT OK	1590673,600	NOT OK	2647200,888	1853040,622	NOT OK	2117760,710	NOT OK

(Sumber: Hasil Analisis Penulis, 2025)

Tabel 5.52 Analisa Ketidakberaturan Vertikal Kategori 1b

Story	Kx	Cek Persyaratan kategori 1b				Ky	Cek Persyaratan kategori 1b			
	N/mm	<60%		<70%		N/mm	<60%		<70%	
Story 10	1459625,843	-		-		1986712,954	-		-	
Story 9	1459625,843	875775,506	NOT OK	-		1986712,954	1192027,772	NOT OK	-	
Story 8	1459625,843	875775,506	NOT OK	-		1986712,954	1192027,772	NOT OK	-	
Story 7	1459625,843	875775,506	NOT OK	1021738,090	NOT OK	1986712,954	1192027,772	NOT OK	1390699,068	NOT OK
Story 6	1459625,843	875775,506	NOT OK	1021738,090	NOT OK	1986712,954	1192027,772	NOT OK	1390699,068	NOT OK
Story 5	1988342,000	875775,506	NOT OK	1021738,090	NOT OK	2647200,888	1192027,772	NOT OK	1390699,068	NOT OK
Story 4	1988342,000	1193005,200	NOT OK	1145105,194	NOT OK	2647200,888	1588320,533	NOT OK	1544812,919	NOT OK

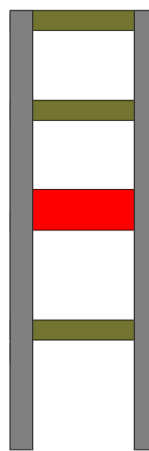
Story	Kx	Cek Persyaratan kategori 1b				Ky	Cek Persyaratan kategori 1b			
	N/mm	<60%		<70%		N/mm	<60%		<70%	
Story 3	1988342,000	1193005,200	NOT OK	1268472,297	NOT OK	2647200,888	1588320,533	NOT OK	1698926,770	NOT OK
Story 2	1988342,000	1193005,200	NOT OK	1391839,400	NOT OK	2647200,888	1588320,533	NOT OK	1853040,622	NOT OK
Story 1	1988342,000	1193005,200	NOT OK	1391839,400	NOT OK	2647200,888	1588320,533	NOT OK	1853040,622	NOT OK

(Sumber: Hasil Analisis Penulis, 2025)

Dapat disimpulkan bahwa antara parameter ketidakberaturan vertikal kategori 1a dan kategori 1b tidak ada satupun yang memenuhi. Sehingga struktur dapat dikatakan tidak tergolong ketidakberaturan vertikal kategori 1a dan 1b.

2) Kategori 2

Kategori ini mengklasifikasikan struktur memiliki ketidakberaturan berat (massa) jika massa disuatu tingkat melebihi 150% massa tingkat didekatnya (SNI 1726:2019; Gambar 6b; Hal-62). Pada penelitian ini tidak ada massa di suatu tingkat yang melebihi 150% massa tigkat didekatnya, maka tidak termasuk ketidakberaturan vertikal kategori 2.



Gambar 5.109 Ketidakberaturan Vertikal Kategori 2

(Sumber: SNI 1726:2019)

Tabel 5.53 Analisa Ketidakberaturan Massa Kategori 2

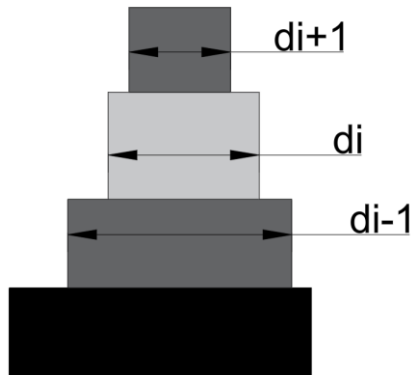
Story	ETABS				TSD					
	Berat (kg)	Diatas Wi		Dibawah Wi		Berat (kg)	Diatas Wi		Dibawah Wi	
		1,5 Wi+1		1,5 Wi-1			1,5 Wi+1		1,5 Wi-1	
Story 10	464691,000	-	-	836633,400	NOT OK	471948,627	-	-	836633,407	NOT OK
Story 9	557755,600	697036,500	NOT OK	836633,400	NOT OK	557755,605	707922,940	NOT OK	836633,407	NOT OK

Story	ETABS						TSD					
	Berat (kg)	Diatas W_i		Dibawah W_i		Berat (kg)	Diatas W_i		Dibawah W_i			
		$1,5 W_{i+1}$		$1,5 W_{i-1}$			$1,5 W_{i+1}$		$1,5 W_{i-1}$			
Story 8	557755,600	836633,400	NOT OK	836633,400	NOT OK	557755,605	836633,407	NOT OK	836633,407	NOT OK		
Story 7	557755,600	836633,400	NOT OK	836633,400	NOT OK	557755,605	836633,407	NOT OK	836633,407	NOT OK		
Story 6	557755,600	836633,400	NOT OK	881522,700	NOT OK	557755,605	836633,407	NOT OK	882525,378	NOT OK		
Story 5	587681,800	836633,400	NOT OK	891386,700	NOT OK	588350,252	836633,407	NOT OK	891386,661	NOT OK		
Story 4	594257,800	881522,700	NOT OK	891386,700	NOT OK	594257,774	882525,378	NOT OK	891386,661	NOT OK		
Story 3	594257,800	891386,700	NOT OK	891386,700	NOT OK	594257,774	891386,661	NOT OK	891386,661	NOT OK		
Story 2	594257,800	891386,700	NOT OK	891386,700	NOT OK	594257,774	891386,661	NOT OK	891386,661	NOT OK		
Story 1	594257,800	891386,700	NOT OK	-	-	594257,774	891386,661	NOT OK	-	-		

(Sumber: Hasil Analisis Penulis, 2025)

3) Kategori 3

Kategori ini mengklasifikasikan ketidakberaturan dari geometri vertikal struktur jika dimensi horizontal disembarang tingkat melebihi 130% dari dimensi terdekatnya. Pada penelitian ini, dimensi horizontal setiap lantai adalah sama, maka struktur tidak termasuk ketidakberaturan vertikal kategori 3.

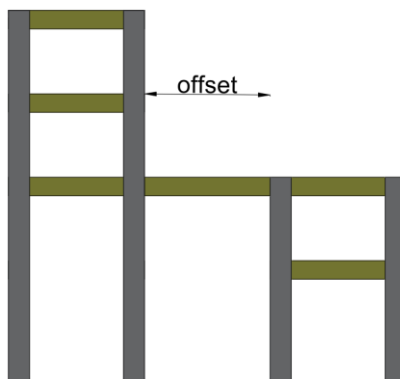


Gambar 5.109 Ketidakberaturan Vertikal Kategori 3

(Sumber: SNI 1726:2019)

4) Kategori 4

Kategori ini terkait diskontinuitas bidang pada elemen vertikal pemikul gaya lateral. Pada penelitian ini elemen vertikal seperti kolom saling menerus dari bawah keatas, sehingga tidak tergolong kategori 4.

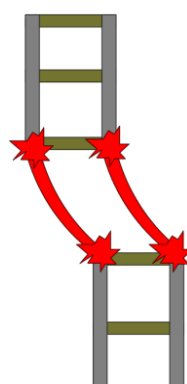


Gambar 5.10 Ketidakberaturan Vertikal Kategori 4

(Sumber: SNI 1726:2019)

5) Kategori 5a dan 5b

Kategori ini terkait tingkat tinggi lemah akibat diskontinuitas kekuatan lateral. Pada penelitian ini seperti pada perhitungan kekakuan lateral sebelumnya, bahwa kekakuan lateral tiap lantai relatif sama sehingga dapat disimpulkan struktur tidak tergolong kategori 5a dan 5b.



Gambar 5.111 Ketidakberaturan Vertikal Kategori 5

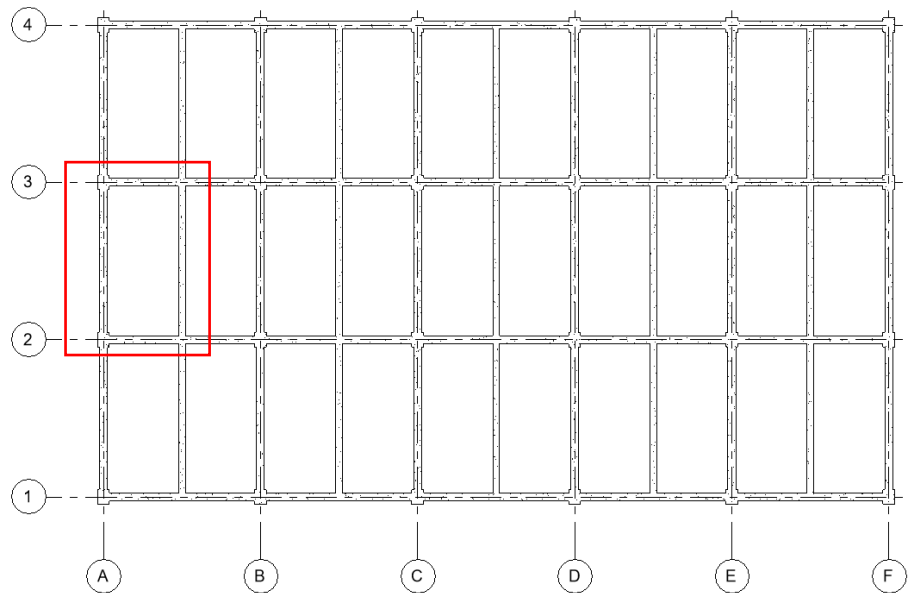
(Sumber: SNI 1726:2019)

5.7 Desain Elemen Struktur

Elemen struktural yang didesain meliputi pelat, balok, kolom, dan hubungan balok-kolom.

5.7.1 Desain pelat

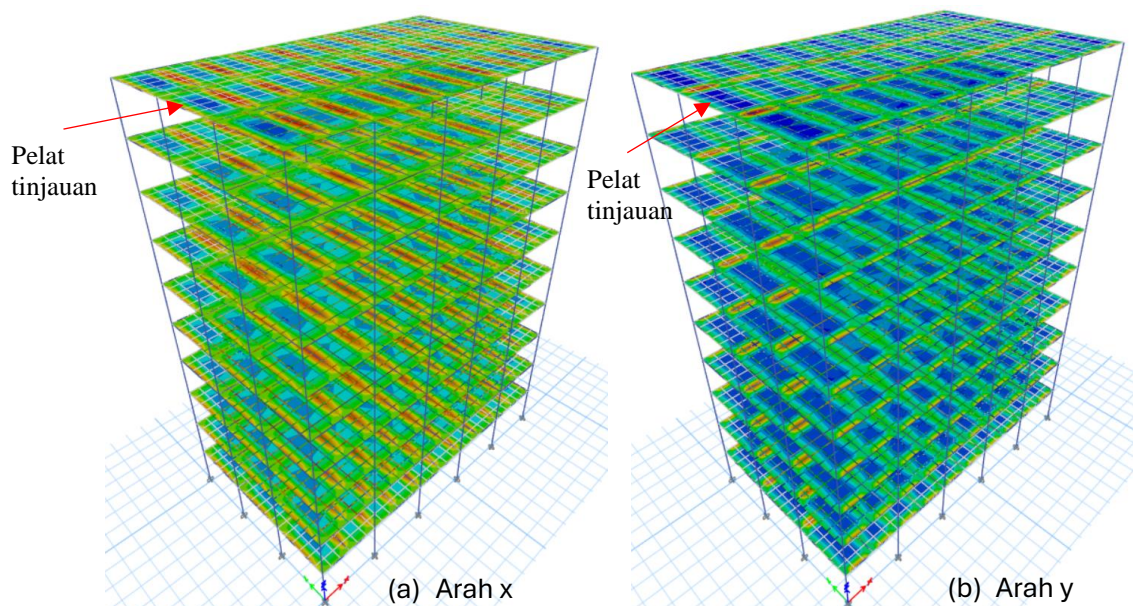
Pelat yang didesain merupakan pelat yang berada di lantai 10 dengan panjang 6000 mm, lebar 3000 mm, tebal pelat 130 mm, selimut setebal 20 mm, mutu kuat tekan beton ($f_{c'}$) sebesar 30 Mpa, dan mutu tulangan leleh baja (f_y) sebesar 420 Mpa. Berikut perhitungan desain pelat pada kedua perangkat lunak.



Gambar 5.112 Pelat Yang Didesain Pada Lantai 10 Grid 2-3/A-B

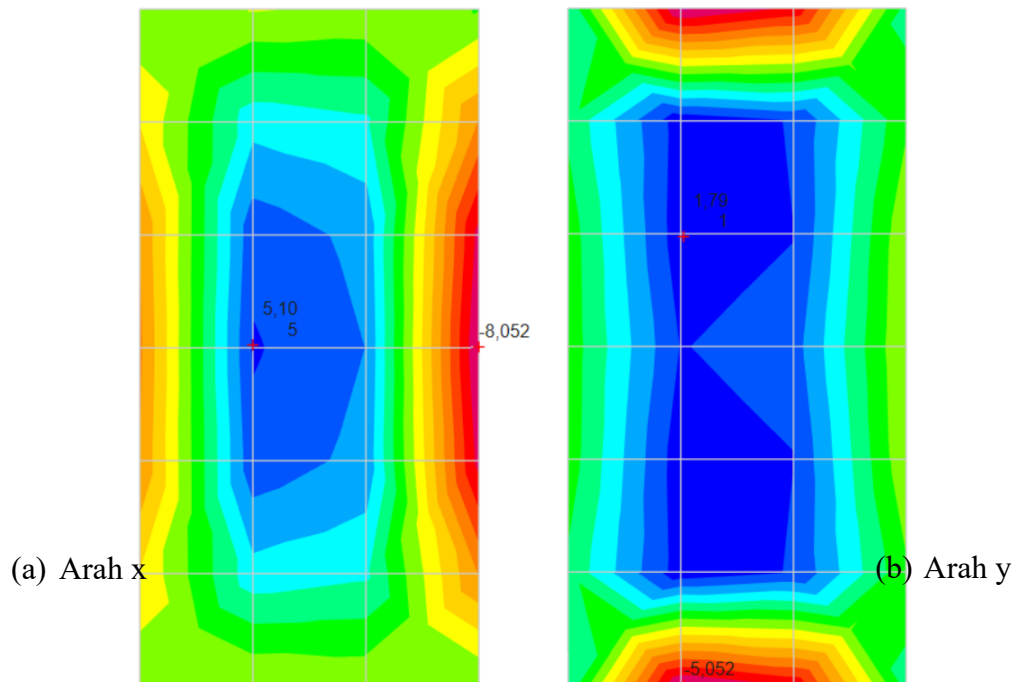
(Sumber: Hasil Analisis Penulis, 2025)

Pada saat permodelan struktur dengan *ETABS*, pelat dimodelkan sebagai *shell*, pelat difungsikan untuk membantu menahan gaya yang terjadi. Gaya dalam yang terjadi dapat dilihat pada *ETABS*.



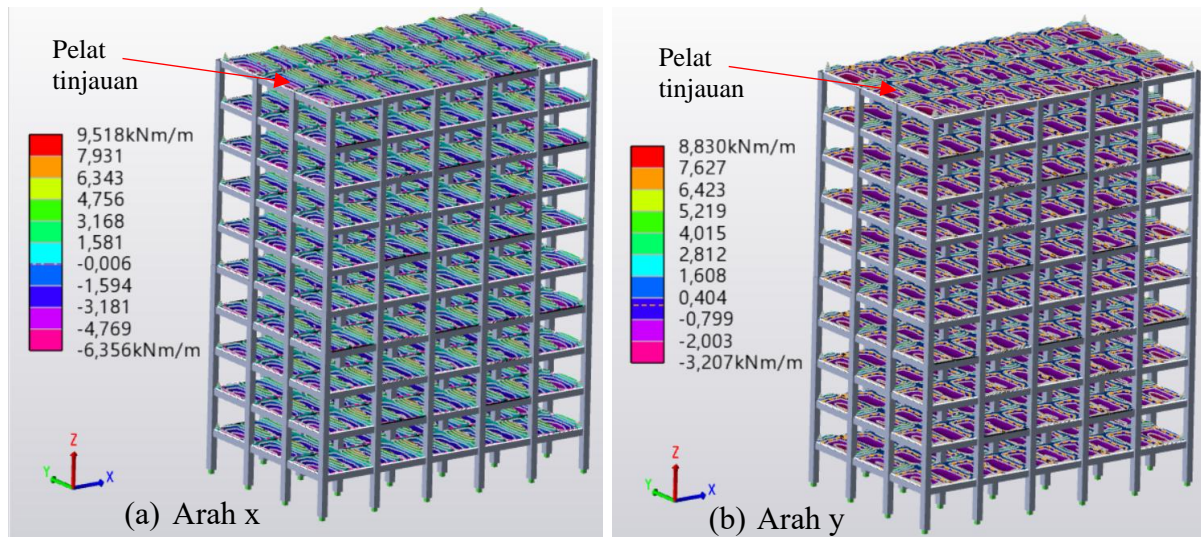
Gambar 5.113 Distribusi Momen Pelat Pada *ETABS* (a) Arah x (b) Arah Y

(Sumber: Hasil Analisis Penulis, 2025)

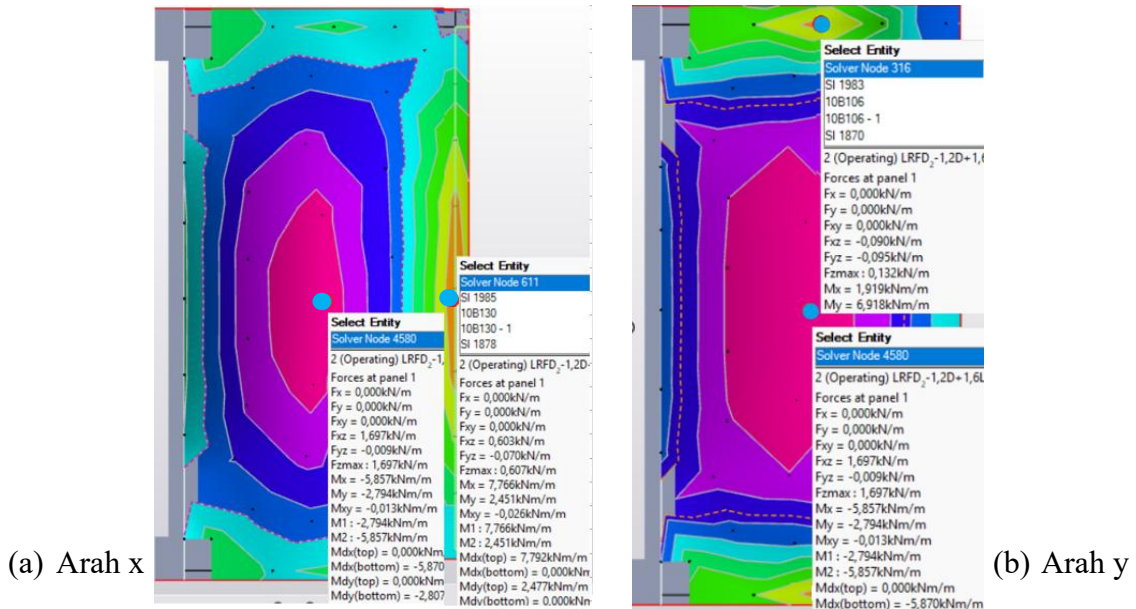


Gambar 5.114 Distribusi Momen Pelat Tinjauan Pada ETABS (a) Arah x (b) Arah Y
(Sumber: Hasil Analisis Penulis, 2025)

Pada saat permodelan struktur dengan *TSD*, pelat dimodelkan sebagai *slab on beam*, pelat difungsikan untuk membantu menahan gaya yang terjadi. Gaya dalam yang terjadi dapat dilihat pada *TSD*.



Gambar 5.115 Distribusi Momen Pelat Pada TSD (a) Arah x (b) Arah Y
(Sumber: Hasil Analisis Penulis, 2025)



Gambar 5.116 Distribusi Momen Pelat Tinjauan Pada TSD (a) Arah x (b) Arah Y

(Sumber: Hasil Analisis Penulis, 2025)

Tabel 5.54 Rekapitulasi Gaya Momen Yang Terjadi Pada Pelat Lantai

Posisi	Mu ETABS (kNm)	Mu TSD (kNm)	COMB
MLX	5,105	5,857	COMB2
MTX	8,05	7,77	COMB2
MLY	1,791	2,794	COMB2
MTY	5,052	6,918	COMB2

(Sumber: Hasil Analisis Penulis, 2025)

Berikut merupakan perhitungan tulangan lentur pada lapangan arah x pada ETABS dengan momen sebesar 5105000 Nmm, dicoba menggunakan tulangan lentur (D_t) 10 mm.

a. Step 1, menghitung nilai momen nominal M_n

Nilai awal ϕ diasumsikan sebesar $\phi = 0,9$

$$M_n = \frac{Mu}{\phi} = \frac{5105000}{0,9} = 5672222,222 \text{ Nmm}$$

b. Step 2, menghitung luas tulangan minimum

Berdasarkan SNI 2847-2019; Tabel 7.6.1.1; Hal-123, nilai A_{smin} untuk $f_y \geq 420$

Mpa diambil dari nilai terbesar dua persamaan berikut:

$$A_{smin1} = 0,0014 A_g = 0,0014 \times 1000 \times 130 = 182 \text{ mm}^2$$

$$A_{smin2} = \frac{0,0018 \times 420}{f_y} \times A_g = \frac{0,0018 \times 420}{420} \times 1000 \times 130 = 234 \text{ mm}^2$$

Maka diambil luas tulangan minimum sebesar, $A_{smin} = 234 \text{ mm}^2$

c. Step 3, hitung nilai R_n dan m

$$\begin{aligned} \text{Tinggi efektif balok (d)} &= (h - t_s - \frac{1}{2} \times D_t) \\ &= (130 - 20 - \frac{1}{2} \times 10) \\ &= 105 \text{ mm} \end{aligned}$$

$$\begin{aligned} \text{Coefficient of resistance (R}_n\text{)} &= \frac{M_n}{b \times d^2} \\ &= \frac{5672222,222}{1000 \times 105^2} \\ &= 0,514 \end{aligned}$$

$$\text{Nilai parameter (m)} = \frac{f_y}{0,85 \times f_{c'}} = \frac{420}{0,85 \times 30} = 16,471$$

d. Step 4, hitung nilai rasio tulangan

$$\rho = \frac{1}{m} \left(1 - \sqrt{1 - \frac{2 \times m \times R_n}{f_y}} \right) = \frac{1}{16,471} \left(1 - \sqrt{1 - \frac{2 \times 16,471 \times 0,514}{420}} \right) = 0,0123$$

e. Step 5, hitung nilai luas tulangan yang dibutuhkan

$$\begin{aligned} \text{Tulangan (A}_{sperlu}\text{)} &= \rho \times b \times d \\ &= 0,0123 \times 1000 \times 105 \\ &= 129,9462 \text{ mm}^2 \end{aligned}$$

Karena $A_{sperlu} < A_{smin}$, dipakai luas tulangan perlu sebesar $A_{smin} = 234 \text{ mm}^2$

f. Step 6, hitung jarak spasi pelat (s) dan jarak spasi maksimum pelat (s_{max})

$$s_{perlu} = \frac{b \times 1/4 \times \pi \times D_t^2}{A_{sperlu}} = \frac{1000 \times 1/4 \times \pi \times 10^2}{234} = 335,64 \text{ mm}$$

Berdasarkan SNI 2847:2019 Pasal 7.7.2.3 Hal-126, nilai spasi pelat maksimal harus kurang dari 3h atau 450 mm.

$$s_{max1} = 3 \times h = 3 \times 130 = 390 \text{ mm}$$

$$s_{max2} = 450 \text{ mm}$$

Maka jarak spasi (s) pelat digunakan 330 mm

Jadi dengan jarak spasi 330 mm, didapat $A_{sterpasang}$ sebesar:

$$A_{sterpasang} = \frac{b \times 1/4 \times \pi \times D_t^2}{s_{pakai}} = \frac{1000 \times 1/4 \times \pi \times 10^2}{234} = 238 \text{ mm}$$

g. Step 7, hitung nilai a berdasarkan tulangan pakai

$$a = \frac{A_{sterpasang} \times f_y}{0,85 \times f'_c \times b} = \frac{238 \times 420}{0,85 \times 30 \times 1000} = 3,92 \text{ mm}$$

h. Step 8, hitung nilai tinggi garis netral (c)

$$\beta = 0,85 - 0,05 \left(\frac{f'_c - 28}{7} \right) \text{ (SNI 2847:2019 Tabel 22.2.2.4.3 Hal-478)}$$

$$= 0,836$$

$$c = \frac{a}{\beta} = \frac{3,92}{0,836} = 4,691 \text{ mm}$$

i. Step 9, cek kategori penampang

Dikarenakan satu lapis, maka $d_t = d$. Maka untuk cek kategori penampang menggunakan:

$$\frac{c}{d_t} < 0,375$$

$$\frac{4,691}{105} < 0,375$$

$0,0447 < 0,375$ (Terkontrol tarik), sehingga nilai reduksi yang digunakan adalah

$$\emptyset = 0,9$$

j. Step 10, hitung dan periksa kapasitas penampang

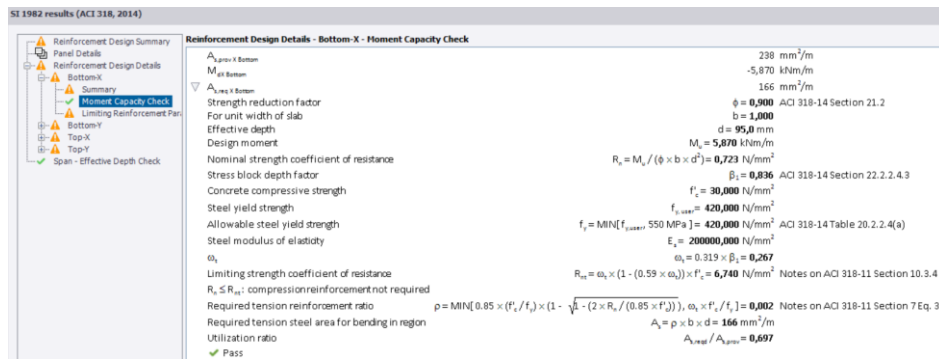
$$\emptyset M_n = \emptyset \times A_{sterpasang} \times f_y \times \left(d - \frac{a}{2} \right)$$

$$= 0,9 \times 238 \times 420 \times \left(105 - \frac{3,92}{2} \right)$$

$$= 9269869,30 \text{ Nmm} > 5105000,00 \text{ Nmm (Mu)} \dots \dots \text{(OK)}$$

$\emptyset M_n > Mu$, sehingga tulangan D10-330 mm dapat digunakan untuk menahan momen lapangan pelat arah x.

Dalam mendesain tulangan lentur pada *TSD* dapat dilakukan secara otomatis oleh *TSD* itu sendiri dengan mengacu ACI 318-14. Perhitungan meliputi pengecekan syarat dan juga perhitungan desain tulangan lentur pada tulangan atas dan bawah arah x maupun arah y. Berikut tampilan perhitungan otomatis desain tulangan lentur bawah arah x pada *TSD*.



Gambar 5.117 Tampilan Perhitungan Otomatis Desain Tulangan Lentur Pelat Pada *TSD*

(Sumber: Hasil Analisis Penulis, 2025)

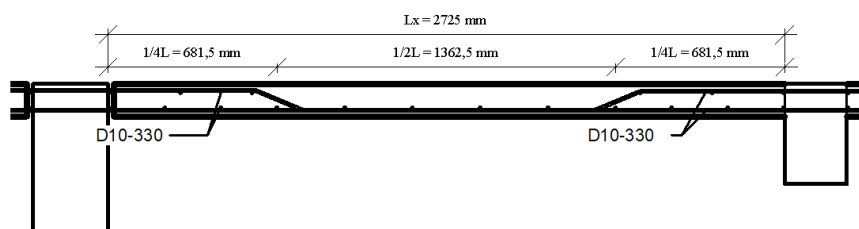
Berikut rekapitulasi hasil desain tulangan lentur pada pelat.

Tabel 5.55 Rekapitulasi Hasil Desain Tulangan Lentur Pelat

Posisi	<i>ETABS</i>				<i>TSD</i>			
	Tulangan Lentur	ϕM_n (kNm)	Mu (kNm)	Ratio	Tulangan Lentur	ϕM_n (kNm)	Mu (kNm)	Ratio
MLX	D10-330	9,270	5,105	0,551	D10-330	9,270	5,857	0,632
MTX	D10-330	9,270	8,052	0,869	D10-330	9,270	7,766	0,838
MLY	D10-330	8,370	1,791	0,214	D10-390	8,370	2,794	0,334
MTY	D10-330	8,370	5,052	0,604	D10-330	8,370	6,918	0,827
Rata-rata				0,559	Rata-rata			

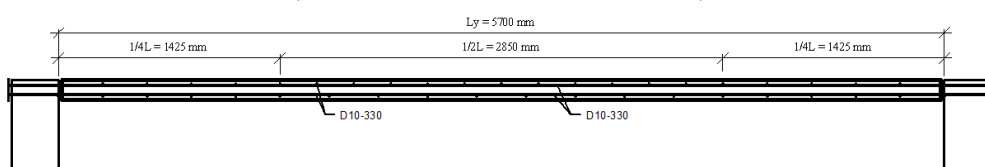
(Sumber: Hasil Analisis Penulis, 2025)

Hasil desain tulangan lentur pelat didapat hasil bahwa rasio tulangan rata-rata yang dihasilkan oleh *TSD* cenderung lebih besar dibandingkan dengan *ETABS*. Rasio tulangan yang dihasilkan oleh *TSD* sebesar 0,657, sedangkan *ETABS* memiliki rasio lebih kecil yaitu sebesar 0,559.



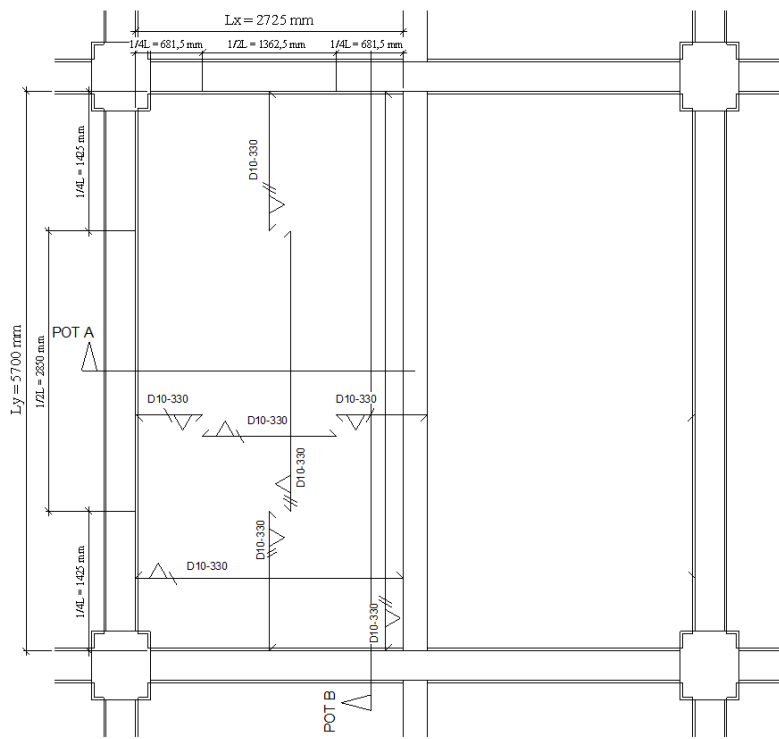
Gambar 5.118 Potongan A-A Pelat

(Sumber: Hasil Analisis Penulis, 2025)



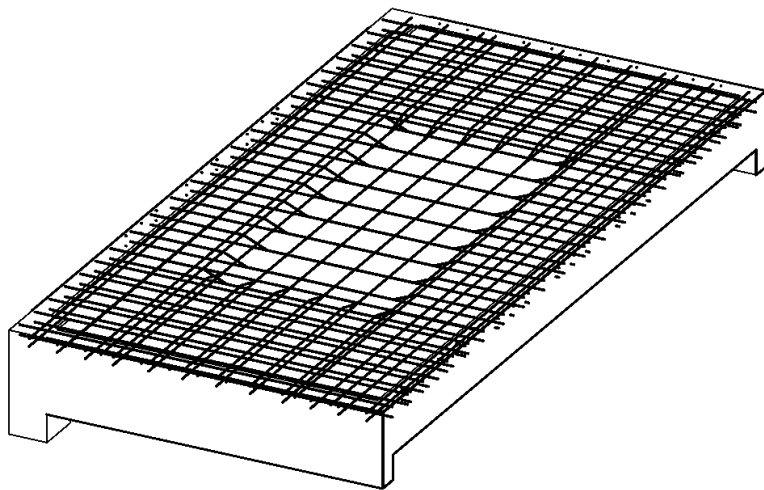
Gambar 5.119 Potongan B-B Pelat

(Sumber: Hasil Analisis Penulis, 2025)



Gambar 5.120 Penulangan Pelat

(Sumber: Hasil Analisis Penulis, 2025)

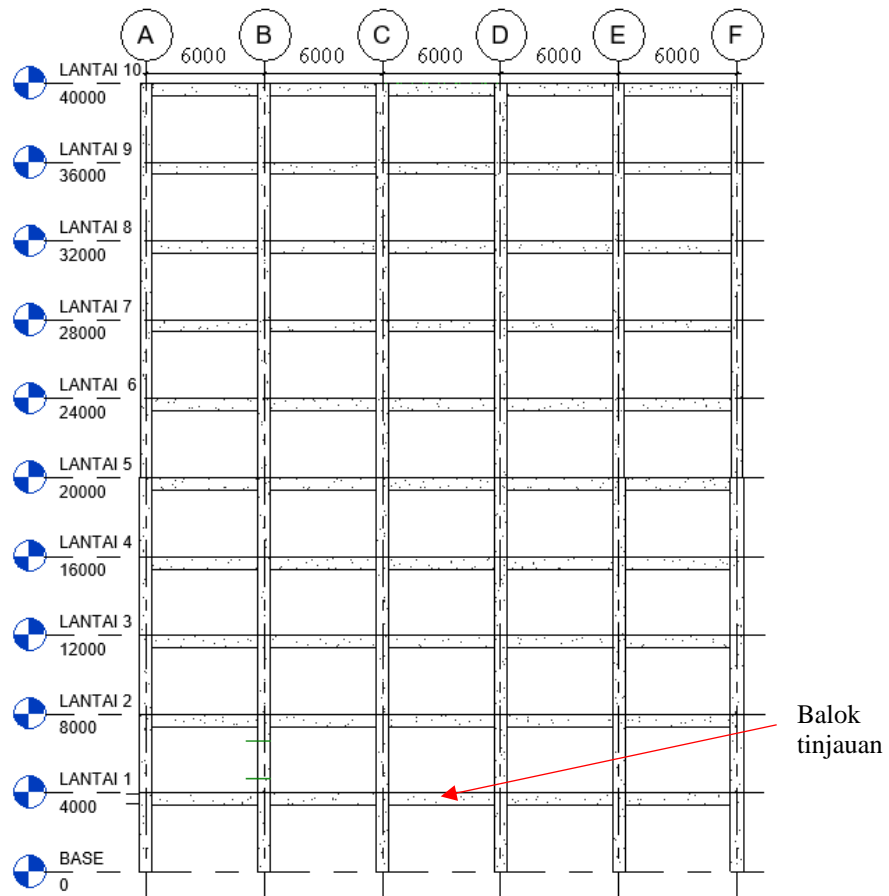


Gambar 5.121 3D Penulangan Pelat

(Sumber: Hasil Analisis Penulis, 2025)

5.7.2 Desain balok

Desain pada balok meliputi desain tulangan lentur, tulangan geser, dan tulangan torsi. Setelah melakukan pendesain-an tulangan, perlu dilakukan pengecekan syarat-syarat yang berlaku untuk balok SRPMK mengacu SNI 2847:2019 Pasal 18.6 Hal-376. Pada penelitian ini balok yang ditinjau pada grid 2C-D lantai 1



Gambar 5.122 Balok Tinjauan (Grid 2/C-D Lantai 1)

(Sumber: Hasil Analisis Penulis, 2025)

a. Desain tulangan lentur

Pada desain tulangan lentur, hasil analisis yang dikeluarkan berupa momen yang terjadi pada balok. Untuk mendapatkan konfigurasi tulangan balok, perlu dihitung dengan mengacu SNI 2847:2019 Pasal 9. Berikut rekapitulasi momen ultimit yang terjadi pada balok yang dihasilkan oleh kedua perangkat lunak.

Tabel 5.56 Rekapitulasi Momen Ultimit Pada Balok (Grid 2C-D)

Posisi	Mu ETABS (kNm)	COMB	Mu TSD (kNm)	COMB
Tumpuan atas	-357,4222	Comb9	-351,103	COMB9
Tumpuan bawah	165,1698	Comb16	160,572	COMB15
Lapangan atas	-126,3375	Comb9	-102,485	COMB18
Lapangan bawah	133,0535	Comb2	132,252	COMB2

(Sumber: Hasil Analisis Penulis, 2025)

Berikut perhitungan tulangan lentur tumpuan atas pada balok B1 350 x 650 (grid 2C-D) dengan momen ultimate sebesar -357422200 Nmm. Tulangan balok dicoba dengan tulangan utama (D_t) 22 mm dan tulangan sengkang ($\emptyset s$) 10 mm.

- 1) Step 1, menghitung nilai momen nominal M_n

Nilai awal ϕ diasumsikan sebesar $\phi = 0,9$

$$M_n = \frac{Mu}{\phi} = \frac{357422200,00}{0,9} = 397135777,8 \text{ Nmm}$$

- 2) Step 2, menghitung rasio minimum dan maksimum

Berdasarkan SNI 2847-2019; Pasal 9.7.1.2; Hal-189, nilai rasio minimum diambil dari nilai terbesar dua persamaan berikut:

$$\rho_{min1} = \frac{0,25\sqrt{fc'}}{fy} = \frac{0,25\sqrt{30}}{420} = 0,00326$$

$$\rho_{min2} = \frac{1,4}{fy} = \frac{1,4}{420} = 0,00333$$

Maka diambil rasio minimum sebesar, $\rho_{min} = 0,00333$. Nilai rasio maksimum mengacu pada SNI 2847-2019; Pasal 18.6.3.1; Hal-378, bahwa nilai rasio tidak boleh melebihi dari 0,025.

- 3) Step 3, hitung nilai R_n dan m

$$\begin{aligned} \text{Tinggi efektif balok (d)} &= (h - t_s - \phi s - \frac{1}{2} \times D_t) \\ &= (650 - 50 - 10 - \frac{1}{2} \times 22) \\ &= 579 \text{ mm} \end{aligned}$$

$$\begin{aligned} \text{Coefficient of resistance (R}_n\text{)} &= \frac{M_n}{b \times d^2} \\ &= \frac{397135777,8}{350 \times 579^2} \\ &= 3,385 \end{aligned}$$

$$\text{Nilai parameter (m)} = \frac{fy}{0,85 \times fc'} = \frac{420}{0,85 \times 30} = 16,471$$

- 4) Step 4, hitung nilai rasio tulangan

$$\begin{aligned} \rho &= \frac{1}{m} \left(1 - \sqrt{1 - \frac{2 \times m \times R_n}{fy}} \right) \\ &= \frac{1}{16,471} \left(1 - \sqrt{1 - \frac{2 \times 16,471 \times 3,385}{420}} \right) \\ &= 0,00868 \end{aligned}$$

Karena nilai $\rho > \rho_{min}$ maka $\rho_{pakai} = \rho = 0,00868 < 0,025$ (ρ_{max}) (memenuhi syarat).

5) Step 5, hitung nilai luas tulangan tarik yang dibutuhkan

$$\begin{aligned} \text{Tulangan tarik (As)} &= \rho \times b \times d \\ &= 0,00868 \times 350 \times 579 \\ &= 1758,8 \text{ mm}^2 \end{aligned}$$

6) Step 6, hitung nilai luasan pakai

$$\begin{aligned} n \text{ tulangan} &= \frac{\text{As hitung}}{1/4 \times \pi \times D_t^2} \\ &= \frac{1758,8}{1/4 \times \pi \times 22^2} \\ &= 4,62 \text{ tulangan, dipakai 5 tulangan} \end{aligned}$$

Perlu dipastikan spasi tulangan bila dipasang dalam satu lapis

$$\begin{aligned} S_{\min} &= \frac{b - (2 \times ts) - (2 \times \emptyset s) - (n \times Dt)}{(n-1)} \\ &= \frac{350 - (2 \times 50) - (2 \times 10) - (5 \times 22)}{(5-1)} \\ &= 30 \text{ mm} > 25 \text{ mm (SNI 2847:2019 Pasal 25.2.1 Hal 559)} \end{aligned}$$

Jadi tulangan bisa dipasang dalam satu lapis sebanyak 5D22 mm. Sehingga tulangan pakai adalah:

$$\begin{aligned} \text{As pakai} &= (1/4 \times \pi \times D_t^2) \times n \\ &= (1/4 \times \pi \times 22^2) \times 5 \\ &= 1900,663 \text{ mm}^2 \end{aligned}$$

7) Step 7, hitung nilai a berdasarkan tulangan pakai

$$\begin{aligned} a &= \frac{\text{As pakai} \times f_y}{0,85 \times f_c' \times b} \\ &= \frac{1900,663 \times 420}{0,85 \times 30 \times 350} \\ &= 89,443 \text{ mm} \end{aligned}$$

8) Step 8, hitung nilai tinggi garis netral (c)

$$\begin{aligned} \beta &= 0,85 - 0,05 \left(\frac{f_c' - 28}{7} \right) \text{ (SNI 2847:2019 Tabel 22.2.2.4.3 Hal-478)} \\ &= 0,836 \\ c &= \frac{a}{\beta} = \frac{89,443}{0,836} = 107,026 \text{ mm} \end{aligned}$$

9) Step 9, cek kategori penampang

Dikarenakan satu lapis, maka $d_t = d$. Maka untuk cek kategori penampang menggunakan:

$$\frac{c}{d_t} < 0,375$$

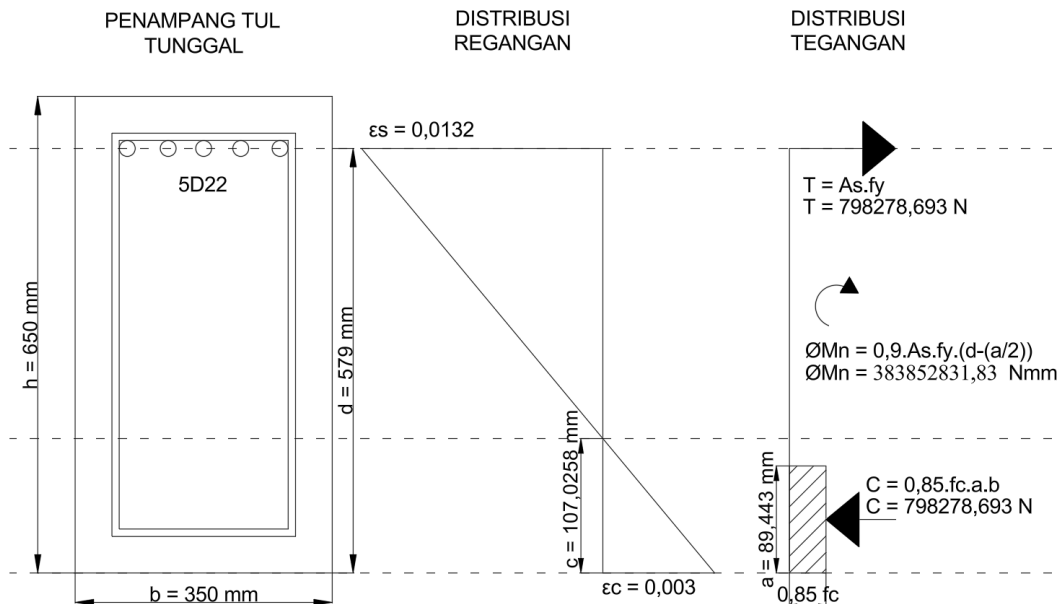
$$\frac{107,026}{579} < 0,375$$

$0,185 < 0,375$ (Terkontrol tarik), sehingga nilai reduksi yang digunakan adalah $\phi = 0,9$

10) Step 10, hitung dan periksa kapasitas penampang

$$\begin{aligned}\phi M_n &= \phi \times A_{spakai} \times f_y \times \left(d - \frac{a}{2}\right) \\ &= 0,9 \times 1900,663 \times 420 \times \left(579 - \frac{89,443}{2}\right) \\ &= 383852831,83 \text{ Nmm} > 357422200 \text{ Nmm (Mu)} \dots\dots (\text{OK})\end{aligned}$$

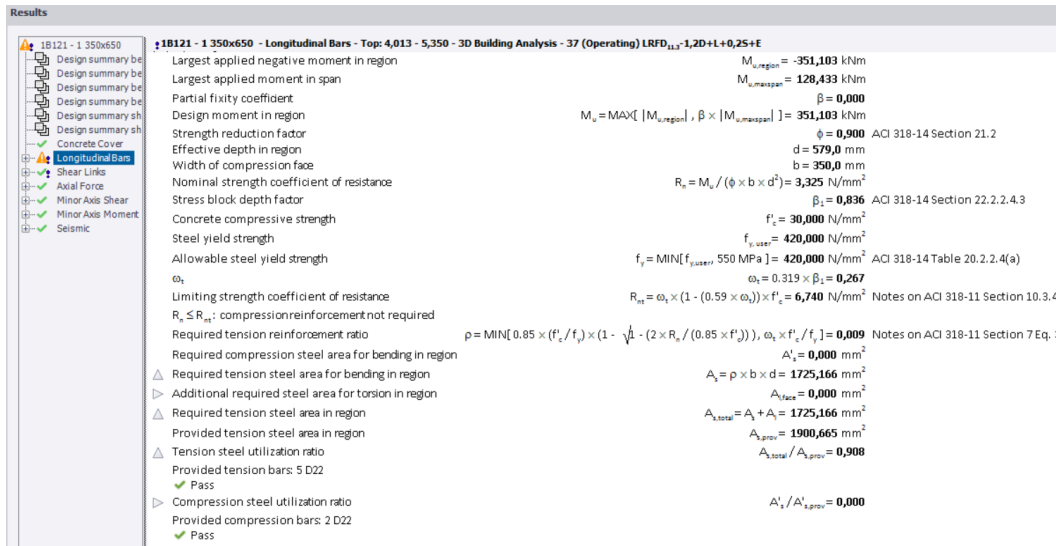
$\phi M_n > Mu$, sehingga tulangan 5D22 dapat digunakan.



Gambar 5.123 Diagram Tegangan Regangan pada Balok Tulangan Tumpuan Atas

(Sumber: Hasil Analisis Penulis, 2025)

Desain tulangan lentur balok pada *TSD* dapat dihitung secara otomatis oleh *TSD* dengan menghitung sesuai kebutuhan momen ultimit yang terjadi. Perhitungan tulangan lentur balok pada *TSD* mengacu pada ACI 318-14. Berikut tampilan perhitungan otomatis tulangan lentur balok pada tumpuan atas oleh *TSD*.



Gambar 5.124 Tampilan Perhitungan Otomatis Tulangan Lentur Tumpuan Atas

Balok (Grid 2C-D Lantai 1) Pada *TSD*

(Sumber: Hasil Analisis Penulis, 2025)

Berikut rekapitulasi hasil desain tulangan lentur balok (grid 2C-D).

Tabel 5.57 Rekapitulasi Hasil Desain Tulangan Lentur Balok (Grid 2C-D Lantai 1)

Posisi	ETABS				TSD			
	Tulangan Lentur	ØMn (kNm)	Mu (kNm)	Ratio	Tulangan Lentur	ØMn (kNm)	Mu (kNm)	Ratio
Tumpuan atas	5D22	383,853	357,422	0,931	5D22	383,853	351,103	0,915
Tumpuan bawah	3D22	238,023	165,170	0,694	3D22	238,023	160,572	0,675
Lapangan atas	2D22	161,252	126,338	0,783	2D22	161,252	102,485	0,636
Lapangan bawah	2D22	161,252	133,054	0,825	2D22	161,252	132,252	0,820
Rata-rata				0,808	Rata-rata			
								0,761

(Sumber: Hasil Analisis Penulis, 2025)

Hasil perencanaan tulangan lentur balok didapat hasil bahwa rata-rata rasio tulangan yang dihasilkan oleh *ETABS* lebih besar dibandingkan *TSD*. Hasil rata-rata rasio tulangan pada *ETABS* sebesar 0,808, sedangkan *TSD* sebesar 0,761.

b. Desain tulangan geser

Geser rencana akibat gempa pada balok dihitung dengan mengasumsikan sendi plastis terbentuk di ujung-ujung balok dengan tulangan lentur balok mencapai 1,25 f_y dan faktor reduksi kuat lentur $\phi = 1$. Berikut perhitungan desain tulangan geser.

1) Kapasitas momen ujung-ujung balok bila struktur bergoyang ke kiri

a) Kondisi 1

$$a_{pr1} = \frac{1,25 \cdot A_s \cdot f_y}{0,85 \cdot f_c' \cdot b} = \frac{1,25 \cdot 1900,663 \cdot 420}{0,85 \cdot 30.350} = 111,804 \text{ mm}$$

$$M_{pr1} = 1,25 \cdot A_s \cdot f_y \left(d - \frac{a_{pr1}}{2} \right)$$

$$= 1,25 \cdot 1900,663 \cdot 420 \cdot \left(579 - \frac{111,804}{2} \right)$$

$$= 521972615,3 \text{ Nmm}$$

Momen primer searah jarum jam dimuka kolom kiri.

b) Kondisi 3

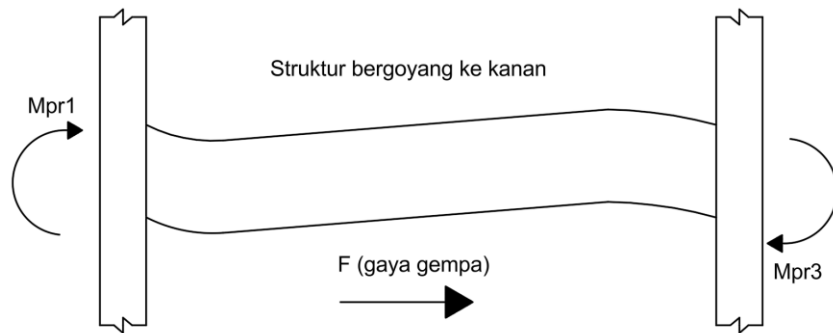
$$a_{pr3} = \frac{1,25 \cdot A_s \cdot f_y}{0,85 \cdot f_c' \cdot b} = \frac{1,25 \cdot 1140,398 \cdot 420}{0,85 \cdot 30.350} = 67,082 \text{ mm}$$

$$M_{pr3} = 1,25 \cdot A_s \cdot f_y \left(d - \frac{a_{pr1}}{2} \right)$$

$$= 1,25 \cdot 1140,398 \cdot 420 \cdot \left(579 - \frac{67,082}{2} \right)$$

$$= 326571150,5 \text{ Nmm}$$

Momen primer searah jarum jam dimuka kolom kanan.



Gambar 5.125 Kuat Lentur Mungkin Maksimum (M_{pr1} dan M_{pr3}) Pada Balok

Akibat Goyangan ke Kanan

(Sumber: Hasil Analisis Penulis, 2025)

c) Kondisi 2

Karena *detailing* penampang kedua ujung balok adalah identik, kapasitas momen probabel ujung-ujung balok ketika struktur bergoyang ke kanan akan sama dengan pada saat struktur bergoyang yang ke kiri, hanya arahnya saja yang berbeda.

$$a_{pr2} = 111,804 \text{ mm}$$

$$M_{pr2} = 521972615,3 \text{ Nmm}$$

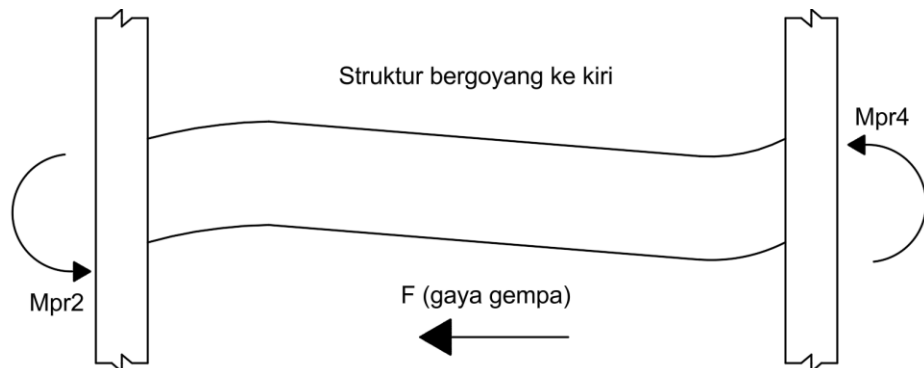
Momen primer berlawanan arah jarum jam dimuka kolom kiri

d) Kondisi 4

$$a_{pr4} = 67,082 \text{ mm}$$

$$M_{pr4} = 326571150,5 \text{ Nmm}$$

Momen primer berlawanan arah jarum jam dimuka kolom kanan



Gambar 5.126 Kuat Lentur Mungkin Maksimum (M_{pr2} dan M_{pr4}) Pada Balok Akibat Goyangan ke Kiri
 (Sumber: Hasil Analisis Penulis, 2025)

Untuk menentukan gaya geser ultimit, perlu dikeluarkan terlebih dahulu gaya geser yang bekerja pada ujung kanan dan kiri pada struktur dengan 18 kombinasi yang telah dimasukkan dan kombinasi 1,2D + 1LL.

$$V_{(1,2D+1LL)} = 91964,2 \text{ N (COMB 1,2D+LL)}$$

$$V_{(\text{envelope})} = 183257,1 \text{ N (COMB 9)}$$

1) Struktur begroyang ke kiri

$$V_{\text{sway ka}} = \frac{M_{pr1} + M_{pr3}}{\ln}$$

$$= \frac{521972615,3 + 326571150,5}{(6000 - 650)}$$

$$= 158606,311 \text{ N}$$

$$\text{Total gaya geser ujung kiri balok} = 158606,311 + 91964,2$$

$$= 250570,511 \text{ N (kearah atas)}$$

$$\text{Total reaksi geser ujung kanan balok} = 158606,311 - 91964,2$$

$$= 66642,111 \text{ N (kearah bawah)}$$

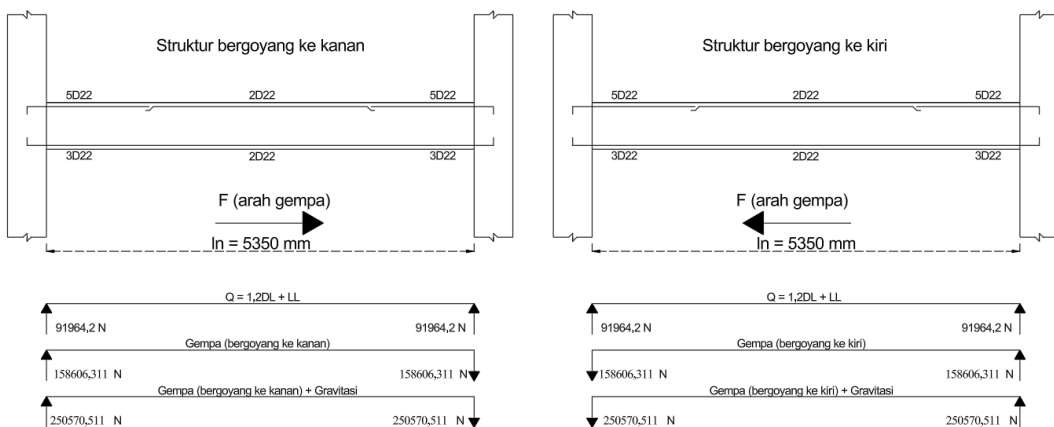
2) Struktur begoyang ke kanan

$$V_{\text{sway ka}} = \frac{M_{\text{pr2}} + M_{\text{pr4}}}{ln}$$

$$= \frac{521972615,3 + 326571150,5}{(6000 - 650)}$$

$$= 158606,311 \text{ N}$$

Total reaksi geser ujung kiri balok	= 158606,311 - 91964,2
	= 66642,111 N (kearah bawah)
Total reaksi geser ujung kanan balok	= 158606,311 + 91964,2
	= 250570,511 N (kearah atas)



Gambar 5.127 Diagram Gaya Geser Balok (Grid 2C-D Lantai 1) ETABS

(Sumber: Hasil Analisis Penulis, 2025)

Untuk menghitung kebutuhan sengkang, harus pilih gaya geser yang terjadi pada struktur dengan memilih gaya geser terbesar antara $V_{(\text{envelope})}$ dan $V_{(\text{sway})} + V_{(1,2D+LL)}$ setelah pentotalan goyangan ke arah kiri dan kanan.

Tabel 5.58 Pemilihan V_e Pakai

Gaya geser	ETABS (N)	TSD (N)
$V_{(1,2D+LL)}$	91964,200	122125
$V_{(\text{sway kanan})}$	158606,311	
$V_{(\text{sway kanan})} + V_{(1,2D+LL)}$	250570,511	280731,311
$V_{(\text{sway kiri})}$	158606,311	
$V_{(\text{sway kiri})} + V_{(1,2D+LL)}$	250570,511	280731,311
$V_{(\text{comb})}$	183257,100 (COMB9)	203601 (COMB10)
$V_e(\text{pakai})$	250570,511	280731,311

(Sumber: Hasil Analisis Penulis, 2025)

Pada SNI 2847-2019 Pasal 18.6.5.2 Hal 382, kontribusi beton dalam menahan geser, V_c harus diambil = 0 pada didaerah sendi plastis apabila:

- 1) Gaya geser V_{sway} akibat sendi plastis diujung-ujung balok melebihi $\frac{1}{2}$ (atau lebih) kuat geser perlu maksimum, V_u di sepanjang bentang. Pada arah gempa ke kanan, gaya geser akibat momen gempa dan gravitasi dengan $V_{sway-ka}$ yang pada dasarnya sudah melebihi $\frac{1}{2}$ gaya geser perlu maksimum di ujung balok.

Tabel 5.59 Syarat Gaya Geser di Muka Kolom Kiri dan Kanan

Perangkat Lunak	Arah gempa	V_{sway} (N)	Ujung Kiri		Ujung Kanan		CEK
			V_u (N)	$1/2V_u$ (N)	V_u (N)	$1/2V_u$ (N)	
ETABS	Kanan	158606,311	250570,511	125285,256	250570,511	125285,256	$V_c = 0$
	Kiri	158606,311	250570,511	125285,256	250570,511	125285,256	$V_c = 0$
TSD	Kanan	158606,311	280731,311	140365,656	280731,311	140365,656	$V_c = 0$
	Kiri	158606,311	280731,311	140365,656	280731,311	140365,656	$V_c = 0$

(Sumber: Hasil Analisis Penulis, 2025)

- 2) Gaya tekan aksial terfaktor, termasuk akibat pembebahan gempa kurang dari $A_{gf_c}'/20$.

$$A_{gf_c}'/20 = (350.650).(30)/20 = 341250 \text{ N}$$

$$P_u = 0 \text{ N}$$

$$A_{gf_c}'/20 \geq P_u, \text{ maka } V_c = 0$$

Karena salah satu pada kedua syarat diatas terpenuhi, sehingga pada perencanaan tulangan geser dilakukan dengan tidak memperhitungkan kontribusi beton (V_c) disepanjang zona sendi plastis di masing-masing muka kolom. Berikut perhitungan tulangan geser pada sendi plastis dengan gaya dalam yang dihasilkan ETABS.

- 1) Muka kolom kiri ($V_u = 250570,511 \text{ N}$)

$$V_c = 0 \text{ N}$$

$$V_u = \frac{V_u}{\phi} - V_c = \frac{250570,511}{0,75} - 0 = 334094,015 \text{ N}$$

$$V_{smax} = \frac{2 \cdot \sqrt{fc'}}{3} \cdot b_w \cdot d = \frac{2 \cdot \sqrt{30}}{3} \cdot 350.579 = 739973,175 \text{ N}$$

Mencari spasi tulangan dengan mencoba diameter tulangan sengkang D10 dipasang 3 kaki.

$$s = \frac{A_v \cdot f_y \cdot d}{V_s} = \frac{(3.1/4 \cdot \pi \cdot 10^2) \cdot 350.579}{334094,015} = 171,502 \text{ mm}$$

Pada SNI 2847:2019 Pasal 18.6.4.4 Hal-381 diperlukan sengkang tertutup di sepanjang $2h = 2(650) = 1300$ mm dari sisi (muka) kolom terdekat yang sengkang pertamanya dipasang pada jarak 50 mm dari muka kolom terdekat, dan yang berikutnya dipasang dengan spasi terkecil antara poin berikut.

- a) $d/4 = 579/4 = 144,75$ mm
- b) $6D_t = 6(22) = 132$ mm
- c) 150 mm

Sengkang yang dipasang tidak perlu lebih kecil dari 100 mm, maka pada daerah sendi plastis dipasang tulangan sengkang tertutup 3 kaki D10 dengan spasi 130 mm. Kemudian hitung V_s

$$\begin{aligned}
 V_s &= \frac{A_v \cdot f_y \cdot d}{s} \\
 &= \frac{(3.1/4 \cdot \pi \cdot 10^2) \cdot 350.579}{130} \\
 &= 440753,366 \text{ N} \geq 334094,015 \text{ N} (V_u) \text{ (memenuhi geser rencana)}
 \end{aligned}$$

Maka dari perhitungan diatas pada zona sendi plastis muka kolom kiri menggunakan sengkang tertutup 3 kaki D10 dengan spasi 130 mm.

- 2) Muka kolom kanan ($V_u = 250570,511$ N).

Karena gaya geser yang dibutuhkan sama, maka tulangan sengkang yang dibutuhkan pada muka kolom kanan akan sama seperti muka kolom kiri, diperlukan tulangan sengkang tertutup 3 kaki D10 dengan spasi 130 mm.

- 3) Ujung zona sendi plastis

Gaya geser maksimum, V_u diujung zona sendi plastis yaitu $2h = 2(650) = 1300$ mm dari muka kolom adalah

$$\begin{aligned}
 V_{u2} &= V_u - (2h \times \frac{2V_u}{\ln}) \\
 &= 250570,511 - (1300 \times \frac{250570,511 \times 2}{5,35}) \\
 &= 128797,926 \text{ N}
 \end{aligned}$$

$$V_c = (1/6) \cdot \sqrt{fc'} \cdot b_w \cdot d = (1/6) \cdot \sqrt{30} \cdot 350.579 = 184993,294 \text{ N}$$

$$V_s = \frac{V_u}{\emptyset} - V_c = \frac{166051,028}{0,75} - 184993,294 = -13262,725 \text{ N}$$

$$V_{smax} = \frac{2\sqrt{fc'}}{3} \cdot b_w \cdot d = \frac{2\sqrt{30}}{3} \cdot 350.579 = 739973,175 \text{ N}$$

Pada SNI 2847:2019 Pasal 18.6.4.6 Hal-381 spasi maksimum tulangan geser di sepanjang balok SRPMK adalah d/2.

$$s_{max} = d/2 = 579/2 = 289,5 \text{ mm}$$

Dipakai sengkang dengan spasi 280 mm. Kemudian hitung V_s

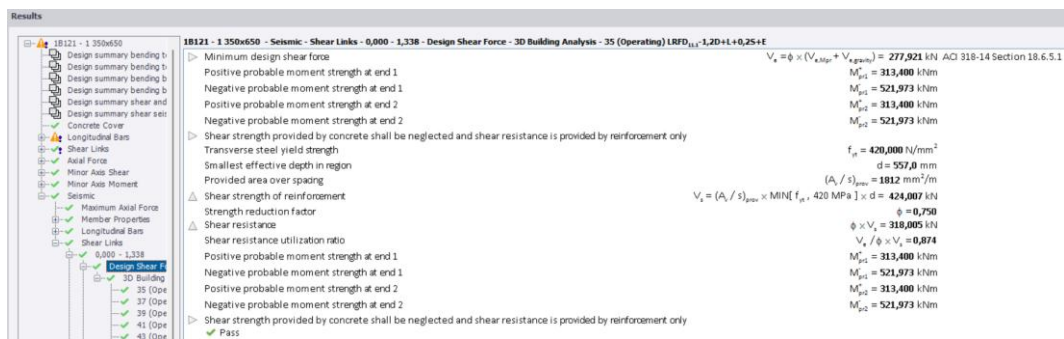
$$V_s = \frac{A_v \cdot f_y \cdot d}{s}$$

$$= \frac{(3.1/4 \cdot \pi \cdot 10^2) \cdot 350.579}{280}$$

$$= 229191,75 \text{ N} \geq 166051,028 \text{ N} (V_{u2}) (\text{OK})$$

Maka dari perhitungan diatas untuk diluar zona sendi plastis digunakan sengkang 3 kaki D10 dengan spasi 280mm.

Desain tulangan geser balok dapat dihitung oleh *TSD* dengan menghitung sesuai kebutuhan geser ultimit akibat gempa yang terjadi. Perhitungan tulangan geser balok pada *TSD* mengacu pada ACI 318-14. Berikut tampilan perhitungan otomatis tulangan lentur balok pada sendi plastis oleh *TSD*.



Gambar 5.128 Tampilan Perhitungan Otomatis Tulangan Geser Sendi Plastis

Balok (Grid 2C-D) Pada *TSD*

(Sumber: Hasil Analisis Penulis, 2025)

Berikut merupakan rekapitulasi hasil desain tulangan geser balok (Grid 2C-D).

Tabel 5,60 Hasil Desain Tulangan Geser Pada Balok

Perangkat Lunak	Posisi	Tulangan geser	Vs (kN)	Vc (kN)	ØVn (kN)	Ve (kN)	Ratio	Rasio Rata-rat
<i>ETABS</i>	Sendi plastis	3D10-130	440,753	0,000	330,565	250,571	0,758	0,599
	Luar sendi plastis	3D10-280	204,635	184,993	292,222	128,798	0,441	
<i>TSD</i>	Sendi plastis	3D10-130	440,753	0,000	330,565	280,731	0,849	0,672
	Luar sendi plastis	3D10-280	204,635	184,993	292,222	144,301	0,494	

(Sumber: Hasil Analisis Penulis, 2025)

Hasil perencanaan tulangan geser balok didapat hasil bahwa rata-rata rasio tulangan yang dihasilkan oleh *TSD* lebih besar dibandingkan *ETABS*. Hasil rata-rata rasio tulangan pada *TSD* sebesar 0,672, sedangkan *TSD* sebesar 0,599.

c. Desain tulangan torsi

Berdasarkan SNI 2847:2019 Pasal 22.7.1.1 Hal-509, pengaruh torsi dapat diabaikan jika $\phi T_{th} \geq Tu$. T_{th} adalah nilai ambang batas torsi. Persamaan T_{th} termuat dalam SNI 2847:2019 Tabel 22.7.4.1 (a) Hal-512. Pada balok (grid 2C-D), torsi maksimum yang terjadi sebesar 711200 Nmm pada *ETABS* dan 732000 Nmm pada *TSD*.

$$\phi T_{th} \geq Tu$$

$$\phi \times 0,083 \times \lambda \times \sqrt{fc'} \times \left(\frac{A_{cp}^2}{P_{cp}} \right) \geq 711200 \text{ Nmm}$$

$$\phi \times 0,083 \times \lambda \times \sqrt{30} \times \left(\frac{(b \times h)^2}{2 \times (b + h)} \right) \geq 711200 \text{ Nmm}$$

$$0,75 \times 0,083 \times 1 \times \sqrt{30} \times \left(\frac{(350 \times 650)^2}{2 \times (350 + 650)} \right) \geq 711200 \text{ Nmm}$$

$$8823335,423 \text{ Nmm} \geq 1733500 \text{ Nmm}$$

Tabel 5.61 Rekapitulasi Perhitungan Desain Tulangan Torsi Balok (Grid 2C-D)

Perangkat Lunak	ϕT_{th} (kNm)	Tu (kNm)	Ratio
<i>ETABS</i>	8,823	0,711	0,081
<i>TSD</i>	8,823	0,732	0,083

(Sumber: Hasil Analisis Penulis, 2025)

d. Kontrol syarat SRPMK

Ada beberapa syarat yang harus dipenuhi dalam mendesain balok SRPMK.

Berikut syarat yang harus dipenuhi berdasarkan SNI 2847:2019.

- 1) Gaya aksial tekan terfaktor maksimum $0,1A_g f_c'$ (SNI 2847:2019 Pasal R18.6.1 Hal-376)

$$\begin{aligned} 0,1A_g f_c' &= 0,1 \times 350 \times 650 \times 30 \\ &= 682500 \text{ N} \end{aligned}$$

$$Pu \max (\text{iTABS}) = 0 \text{ N}$$

$$Pu \max (\text{TSD}) = 0 \text{ N}$$

Maka $Pu \max$ pada *ETABS* maupun *TSD* $< 0,1A_g f_c'$ (memenuhi syarat)

- 2) Bentang bersih balok (l_n) harus minimal 4d (SNI 2847:2019 Pasal 18.6.2.1 poin (a) Hal-377)

$$4d = 4(h - \text{seimut beton}) = 4(650 - 50) = 2400 \text{ mm}$$

$$l_n = 6000 - h_{K1} = 6000 - 750 = 5250 \text{ mm}$$

Maka $l_n \geq 4d$ (memenuhi syarat)

1B62 - 2 350x650 - Seismic - Member Properties - Maximum Allowed Effective Depth	
Largest effective depth in span	$d = 576,0 \text{ mm}$
Clear span length	$l_n = 5,350 \text{ m}$
Maximum allowed effective depth	$d_{max} = 0.25 \times l_n = 1337,5 \text{ mm}$ ACI 318-14 Section 18.6.2.1(a)
Pass	

Gambar 5.129 Perhitungan Otomatis Maksimum Tinggi Efektif Izin Balok Pada TSD

(Sumber: Hasil Analisis Penulis, 2025)

- 3) Lebar penampang (b_w) minimal nilai terkecil dari $0,3h$ dan 250 mm (SNI 2847:2019 Pasal 18.6.2.1 poin (b) Hal-377)

$$b_w = 350 \text{ mm}$$

$$0,3h = 0,3(650) = 195 \text{ mm}$$

Maka $b_w > 250 \text{ mm} > 0,3h$ (memenuhi syarat)

1B62 - 2 350x650 - Seismic - Member Properties - Minimum Allowed Width	
Beam width	$b_w = 350,0 \text{ mm}$
Overall beam depth	$h = 650,0 \text{ mm}$
Minimum allowed width	$b_{w,min} = \text{MAX}[0,3 \times h, 250\text{mm}] = 250,0 \text{ mm}$ ACI 318-14 Section 18.6.2.1(b)
Pass	

Gambar 5.130 Perhitungan Otomatis Minimum Lebar Izin Balok Pada TSD

(Sumber: Hasil Analisis Penulis, 2025)

- 4) Lebar penampang (b_w) tidak boleh melebihi lebar pendukung (c_2) ditambah nilai terkecil dari lebar kolom atau $\frac{3}{4}$ kali dimensi kolom dalam arah sejajar komponen struktur (c_1) (SNI 2847:2019 Pasal 18.6.2.1 poin (c) Hal-377)

$$b_w = 300 \text{ mm}$$

$$c_1 = 750 \text{ mm}$$

$$c_2 = 650 \text{ mm}$$

$$0,75c_1 = 0,75(750) = 562,5 \text{ mm}$$

$$c_2 + 2 \times 0,75c_1 = 650 + 2 \times 562,5 = 1875 \text{ mm}$$

Maka $b_w < c_2 + 2 \times 0,75c_1$ (memenuhi syarat)

1B62 - 2 350x650 - Seismic - Member Properties - Maximum Allowed Width	
Beam width	b _w = 350,0 mm
Breadth of the supporting member	c ₁ = 650,0 mm
Width of the supporting member	c ₂ = 550,0 mm
△ Maximum allowed width at end 1 b _{w,max,1} = c ₂ + (2 × MIN[c ₂ , 0,75 × c ₁]) = 1525,0 mm ACI 318-14 Section 18.6.2.1(c)	c ₁ = 650,0 mm
Breadth of the supporting member	c ₂ = 550,0 mm
Width of the supporting member	c ₂ = 550,0 mm
△ Maximum allowed width at end 2 b _{w,max,2} = c ₂ + (2 × MIN[c ₂ , 0,75 × c ₁]) = 1525,0 mm ACI 318-14 Section 18.6.2.1(c)	
✓ Pass	

Gambar 5.131 Perhitungan Otomatis Maksimum Lebar Balok Pada TSD

(Sumber: Hasil Analisis Penulis, 2025)

- 5) Kekuatan momen positif pada muka *joint* harus tidak kurang dari setengah kekuatan momen negatif pada muka *joint* tersebut (SNI 2847:2019 Pasal 18.6.3.2 Hal-379).

$$\emptyset M_{n(-)} \text{ tumpuan B1(Grid 2C-D)} = 426503146,48 \text{ Nmm}$$

$$\emptyset M_{n(+)} \text{ tumpuan B1(Grid 2C-D)} = 264469939,95 \text{ Nmm}$$

$$\emptyset M_{n(+)} \text{ tumpuan B1(Grid 2C-D)} \geq 0,5 \cdot \emptyset M_{n(-)} \text{ tumpuan B1(Grid 2C-D)}$$

$$264469939,95 \geq 0,5 \cdot 426503146,48$$

$$264469939,95 \text{ Nmm} \geq 213251573,2 \text{ Nmm} \text{ (memenuhi syarat)}$$

1B121 - 1 350x650 - Seismic - Longitudinal Bars - Bottom: 0,000 - 0,803 - Flexural Strength	
Strength reduction factor	ϕ = 1,000
Tension reinforcement area provided for flexure	A _s = 1140,399 mm ²
Steel yield strength	f _{y, user} = 420,000 N/mm ²
Allowable steel yield strength	f _y = MIN[f _{y, user} , 420 MPa] = 420,000 N/mm ² ACI 318-14 Table 20.2.2.4(a)
Concrete compressive strength	f' _c = 30,000 N/mm ²
Beam width	b _w = 350,0 mm
Compression block height	a = (A _s × f _y) / (0,85 × f' _c × b _w) = 53,7 mm
Effective depth in region	d = 557,0 mm
△ Nominal moment strength	ϕ × M _n = ϕ × A _s × f _y × (d - (a / 2)) = 253,933 kNm
Positive nominal moment strength at end 1	M _{n,1} = 253,933 kNm
Negative nominal moment strength at end 1	M _{n,1} = 426,503 kNm
Positive nominal moment strength at end 2	M _{n,2} = 253,933 kNm
Negative nominal moment strength at end 2	M _{n,2} = 426,503 kNm
△ Minimum nominal moment strength	M _{n,min} = (1 / 4) × MAX[M _{n,1} , M _{n,2} , M _{n,1} , M _{n,2}] = 106,626 kNm ACI 318-14 Section 18.6.3.2
Flexural strength utilization ratio	M _{n,min} / M _n = 0,420
✓ Pass	M _n = 426,503 kNm
Negative nominal moment strength at this end	M _{n,min} = (1 / 2) × M _n = 213,252 kNm ACI 318-14 Section 18.6.3.2
△ Minimum nominal moment strength for bottom support regions	M _{n,min} / M _n = 0,840
✓ Pass	

Gambar 5.132 Perhitungan Syarat Momen Tumpuan Balok SRPMK Pada TSD

(Sumber: Hasil Analisis Penulis, 2025)

Tabel 5.62 Pengecekan Kekuatan Momen Pada Tumpuan Balok SRPMK

Perangkat Lunak	M _n (kNm)			Cek syarat
	Tumpuan atas	Tumpuan bawah	1/2 Tumpuan atas	
ETABS	426,503	264,470	213,252	Memenuhi syarat
TSD	426,503	264,470	213,252	Memenuhi syarat

(Sumber: Hasil Analisis Penulis, 2025)

- 6) Kekuatan momen negatif dan positif pada sebarang penampang di sepanjang bentang komponen struktur tidak boleh kurang dari seperempat kekuatan momen maksimum pada muka kedua *joint* (SNI 2847:2019 Pasal 18.6.3.2 Hal-379).

$$M_{n(max)} = 426503146,48 \text{ Nmm}$$

$$M_{n(min)} = 179169310,65 \text{ Nmm}$$

$$M_{n(min)} \geq 0,25 \cdot M_{n(max)}$$

$$179169310,65 \geq 0,25 \cdot 426503146,48$$

$179169310,65 \text{ Nmm} \geq 106625786,6 \text{ Nmm}$ (memenuhi syarat)

1B121 - 1 350x650 - Seismic - Longitudinal Bars - Top: 1,338 - 4,013 - Flexural Strength	
Strength reduction factor	$\phi = 1,000$
Tension reinforcement area provided for flexure	$A_s = 760,266 \text{ mm}^2$
Steel yield strength	$f_y, user = 420,000 \text{ N/mm}^2$
Allowable steel yield strength	$f_y = \text{MIN}[f_y, user, 420 \text{ MPa}] = 420,000 \text{ N/mm}^2 \text{ ACI 318-14 Table 20.2.2.4(a)}$
Concrete compressive strength	$f'_c = 30,000 \text{ N/mm}^2$
Beam width	$b_w = 350,0 \text{ mm}$
Compression block height	$a = (A_s \times f_y) / (0,85 \times f'_c \times b_w) = 35,8 \text{ mm}$
Effective depth in region	$d = 579,0 \text{ mm}$
△ Nominal moment strength	$\phi \times M_n = \phi \times A_s \times f_y \times (d - (a / 2)) = 179,169 \text{ kNm}$
Positive nominal moment strength at end 1	$M_{n1}^+ = 253,933 \text{ kNm}$
Negative nominal moment strength at end 1	$M_{n1}^- = 426,503 \text{ kNm}$
Positive nominal moment strength at end 2	$M_{n2}^+ = 253,933 \text{ kNm}$
Negative nominal moment strength at end 2	$M_{n2}^- = 426,503 \text{ kNm}$
△ Minimum nominal moment strength	$M_{n,min} = (1 / 4) \times \text{MAX}[M_{n1}^+, M_{n1}^-, M_{n2}^+, M_{n2}^-] = 106,626 \text{ kNm ACI 318-14 Section 18.6.3.2}$
Flexural strength utilization ratio	$M_{n,min} / M_n = 0,595$
✓ Pass	

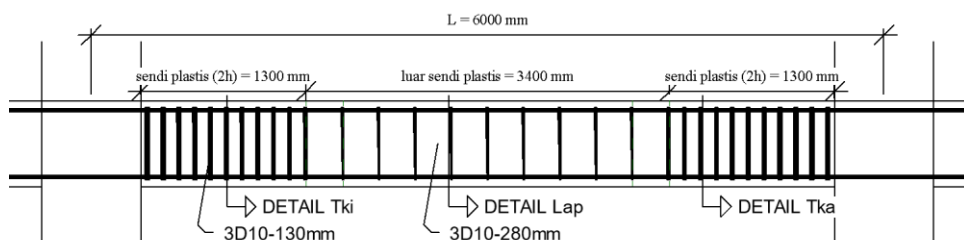
Gambar 5.133 Perhitungan Syarat Momen Tumpuan Balok SRPMK Pada TSD

(Sumber: Hasil Analisis Penulis, 2025)

Tabel 5.63 Pengecekan Kekuatan Momen Pada Sepanjang Bentang Balok SRPMK

Perangkat Lunak	Posisi	M _n (kNm)	0,25.M _{n(max)} (kNm)	Cek syarat
ETABS	Tumpuan atas	426,503	106,626	Memenuhi syarat
	Tumpuan bawah	264,470		Memenuhi syarat
	Lapangan atas	179,169		Memenuhi syarat
	Lapangan bawah	179,169		Memenuhi syarat
TSD	Tumpuan atas	426,503	106,626	Memenuhi syarat
	Tumpuan bawah	264,470		Memenuhi syarat
	Lapangan atas	179,169		Memenuhi syarat
	Lapangan bawah	179,169		Memenuhi syarat

(Sumber: Hasil Analisis Penulis, 2025)



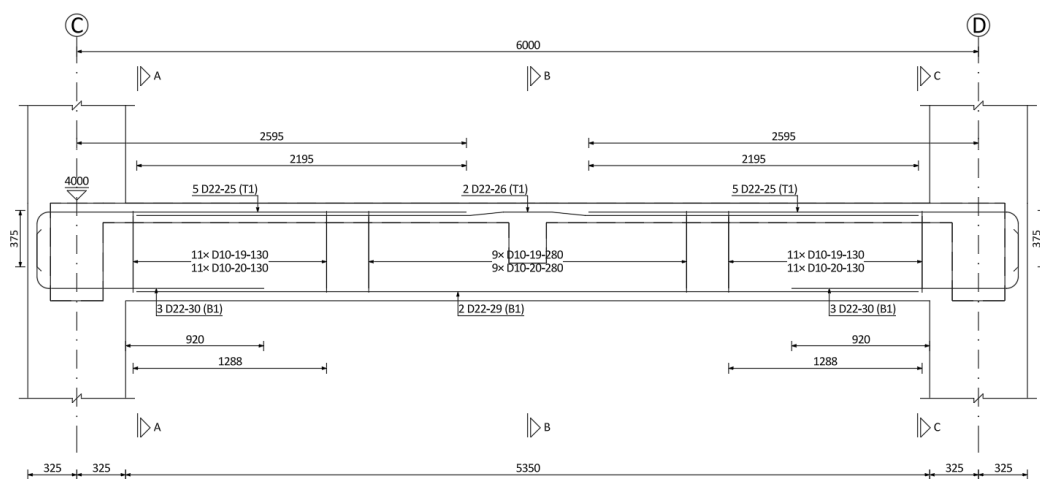
Gambar 5.134 Potongan Portal Balok B1(Grid 2C-D)

(Sumber: Hasil Analisis Penulis, 2025)

TYPE	B1		
	LEFT SUP	MIDSPAN	RIGHT SUP
POSITION			
SECTION			
DIMENSI	350X650	350X650	350X650
TOP BAR	5D22	2D22	5D22
BOT BAR	3D22	2D22	3D22
SENGKANG	3D10-130mm	3D10-280mm	3D10-130mm
Cover	50 mm	50 mm	50 mm

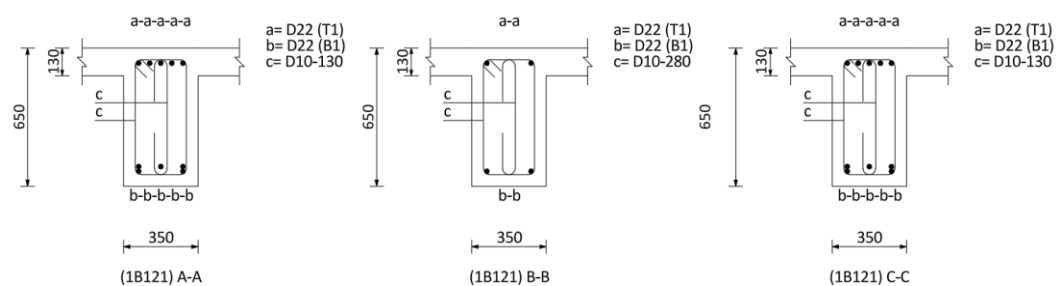
Gambar 5.135 Detail Penulangan Balok B1 (Grid 2C-D)

(Sumber: Hasil Analisis Penulis, 2025)



Gambar 5.136 Potongan Portal Balok B1 (Grid 2C-D) Hasil TSD

(Sumber: Hasil Analisis Penulis, 2025)

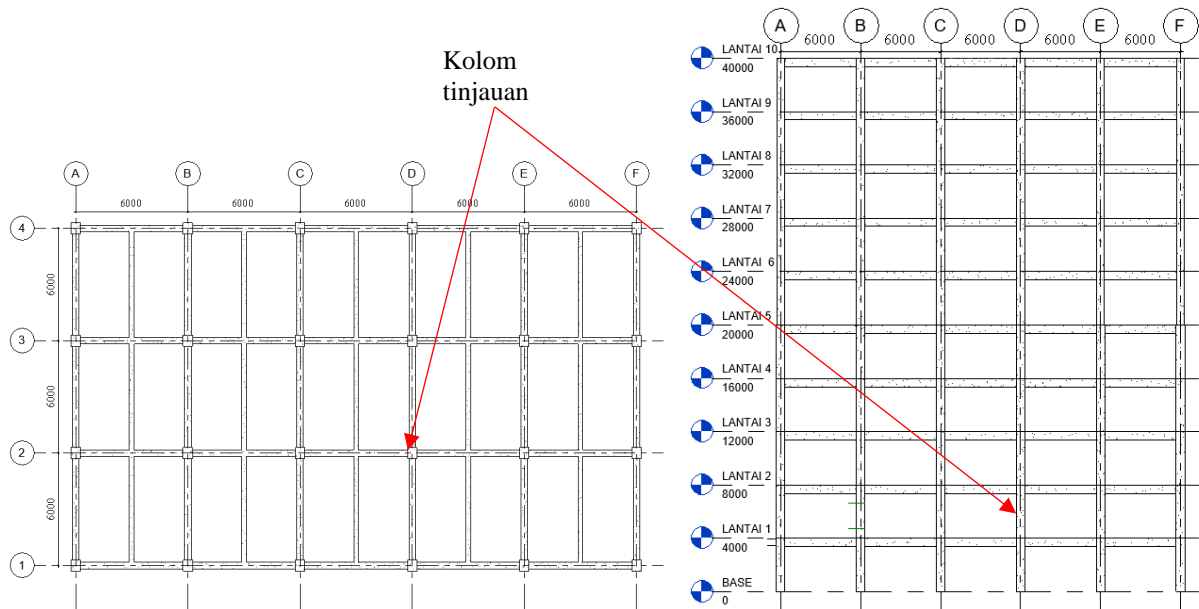


Gambar 5.137 Detail Penulangan Balok B1 (Grid 2C-D) Hasil TSD

(Sumber: Hasil Analisis Penulis, 2025)

5.7.3 Desain kolom

Desain pada kolom meliputi pengecekan kelangsungan kolom, desain tulangan lentur, tulangan geser, dan pada kolom SRPMK perlu dicek kekuatan momen kolom terhadap balok yang mengekang kolom. Setelah melakukan pendesain-an tulangan, perlu dilakukan pengecekan syarat-syarat yang berlaku untuk kolom SRPMK. Kolom yang ditinjau yaitu kolom pada grid 2/D lantai 1.



Gambar 5.138 Lokasi Kolom Kolom Tinjauan (Grid 2/D Lantai 1)

(Sumber: Hasil Analisis Penulis, 2025)

a. Pengecekan kolom bergoyang/tidak bergoyang

Perlu dicari *stability index* (Q) untuk mengetahui kolom bergoyang atau tidak. Dikatakan tidak bergoyang jika Q kurang dari 0,05. Pengecekan pada kolom dilakukan pada setiap jenis kolom di setiap lantainya. Pada *ETABS* dilakukan secara manual untuk perhitungan indeks stabilitas, pada *TSD* stabilitas indeks sudah dihitung secara otomatis namun tidak diperlihatkan hasil perhitungannya.

$$P_u = 6894000,265 \text{ kg (COMB2)}$$

$$\Delta_0 = 36,778 \text{ mm}$$

$$V_u = 246849,69 \text{ kg}$$

$$L_c = \text{Tinggi antar lantai} = 4000 \text{ mm}$$

$$Q = \frac{P_u \Delta_0}{V_u L_c}$$

$$Q = \frac{6894000,265 \times 36,778}{246849,69 \times 4000}$$

$$Q = 0,257 > 0,05, \text{ maka kolom bergoyang.}$$

SNI 2847:2019 Pasal 6.2.5 Hal-91 mengizinkan untuk memperhitungkan kolom menahan goyangan samping apabila elemen pengaku menahan pergerakan lateral sebuah tingkat dengan kekakuan total sebesar paling sedikit 12 kali kekakuan lateral bruto kolom dalam arah tinjauan, diizinkan untuk memperhitungkan kolom dalam tingkat yang ditahan terhadap goyangan samping. Karena pada denah penelitian terdapat jumlah kolom 24 sehingga dapat diizinkan memperhitungkan kolom menahan goyangan samping.

b. Pengecekan kolom pendek/panjang

Untuk mengetahui jenis kolom pendek/panjang, dilakukan perhitungan nilai faktor kelangsingan (kI/r). Karena kolom pada penelitian ini adalah kolom tidak bergoyang maka untuk pengecekan kolom pendek/panjang dikatakan kolom pendek jika faktor kelangsingan $< (34 - 12(M1/M2))$. Pada pengecekan ini dilakukan pada masing-masing arah, pada penelitian ini balok yang mengekang kolom memiliki dimensi dan panjang yang sama maka dapat dilakukan satu arah saja untuk mewakili. Perhitungan menggunakan arah timur-barat.

$$I_{K(3B-1)} = I_{K.\text{atas}} = I_{K.\text{bawah}} = \frac{1}{12}bh^3 = \frac{1}{12} \times 650 \times 750^3 = 22851562500 \text{ mm}^4$$

$$I_{B.\text{kiri}} = I_{B.\text{kanan}} = \frac{1}{12}bh^3 = \frac{1}{12} \times 350 \times 650^3 = 8009895833 \text{ mm}^4$$

$$r = \sqrt{\frac{I_K}{A_g}} = \sqrt{\frac{22851562500}{650 \times 750}} = 216,506 \text{ mm}$$

$$\Psi_a = \frac{\frac{EI}{Lc_{(\text{top})}} + \frac{EI}{Lc_{(\text{mid})}}}{\frac{EI}{L_B.\text{Kanan}} + \frac{EI}{L_B.\text{Kiri}}}$$

$$= \frac{\frac{25742,9602 \times 22851562500}{3350} + \frac{25742,9602 \times 22851562500}{3350}}{\frac{25742,9602 \times 8009895833}{5250} + \frac{25742,9602 \times 8009895833}{5250}}$$

$$= 4,471$$

$$\Psi_b = \frac{\frac{EI}{Lc_{(\text{bot})}} + \frac{EI}{Lc_{(\text{mid})}}}{\frac{EI}{L_B.\text{Kanan}} + \frac{EI}{L_B.\text{Kiri}}}$$

$$\begin{aligned}
& \frac{25742,9602 \times 22851562500}{3350} + \frac{25742,9602 \times 22851562500}{3350} \\
& = \frac{\frac{25742,9602 \times 8009895833}{5250} + \frac{25742,9602 \times 8009895833}{5250}}{3350} \\
& = 4,471
\end{aligned}$$

Untuk mencari nilai faktor panjang efektif (k) diambil dari nilai terkecil dari:

$$k_1 = 0,7 + 0,05 \times (\Psi_a + \Psi_b) \leq 1$$

$$k_1 = 0,7 + 0,05 \times (4,471 + 4,471) \leq 1$$

$$k_1 = 1,15 \leq 1 \text{ (diambil nilai } = 1)$$

$$k_2 = 0,85 + 0,05 \times \Psi_{\min} \leq 1$$

$$k_2 = 0,85 + 0,05 \times 4,471 \leq 1$$

$$k_2 = 1,07 \leq 1 \text{ (diambil nilai } = 1)$$

Digunakan nilai k terkecil yaitu k_1 sebesar 1. Selanjutnya dapat diperoleh nilai faktor kelangsingan sebagai berikut dengan nilai momen diambil pada salah satu kolom yaitu kolom pada lantai K1 grid 3B dengan nilai momen $M_{1(\text{comb 11})} = -207,9862 \text{ kNm}$ dan $M_{2(\text{comb 11})} = 358,0303 \text{ kNm}$

$$\frac{k \cdot L_u}{r} < 34 - 12 \times \frac{M_1}{M_2} < 40$$

$$\frac{1 \times 3350}{216,506} < 34 - 12 \times \frac{-207,9862}{358,0303} < 40$$

$15,473 < 40$, maka kolom dikategorikan sebagai kolom pendek dan tidak perlu memperhitungkan efek kelangsingan.

Pengecekan kolom pendek/panjang juga dapat dilakukan secara otomatis oleh *TSD*. Berikut tampilan pengecekan kelangsingan kolom.

Stack 1 650x750 - Longitudinal Bars - 3D Building Analysis - 47 (Operating) LRFD _{11.13} -1,2D+L+0,25+E - Design moments major	
Braced stack in this direction	
Moment at the top	$M_{\text{top}} = -215,885 \text{ kNm}$
Moment at the bottom	$M_{\text{btm}} = 354,467 \text{ kNm}$
$M_{\text{top}} < M_{\text{btm}}$: $M_2 = M_{\text{btm}}$, $M_1 = M_{\text{top}}$	$M_{\text{mid}} = 126,326 \text{ kNm}$
Mid-fifth moment	$P_u = 403,702 \text{ kN}$
Largest applied compressive force	$l_u = 3,350 \text{ m}$
Unsupported length	
▷ Ψ_A	$\Psi_A = \text{MIN}[\text{MAX}[\Sigma(E \times l / l_{\text{col}}) / \Sigma(E \times l / l_{\text{beams}}), 0,2], 1,000] = 4,47$
▷ Ψ_B	$\Psi_B = \text{MIN}[\text{MAX}[\Sigma(E \times l / l_{\text{col}}) / \Sigma(E \times l / l_{\text{beams}}), 0,2], 1,000] = 4,47$
Effective length factor	$k = \text{MIN}[0,7 + (0,05 \times (\Psi_A + \Psi_B)), 0,85 + (0,05 \times \text{MIN}[\Psi_A, \Psi_B]), 1] = 1,000$
△ Effective length	$l_e = k \times l_u = 3,350 \text{ m}$
No point of zero shear exists in the unrestrained length	$l_e / r = 15,473$
Lateral loads are not significant	$\text{MIN}[34 - (12 \times M_1 / M_2), 40] = 40,000$
▷ Slenderness ratio	
Limiting slenderness ratio	
△ $l_e / r \leq$ limiting slenderness ratio : short	$M_{\text{des,top}} = M_{\text{top}} = -215,885 \text{ kNm}$
Top end design moment	$M_{\text{des,btm}} = M_{\text{btm}} = 354,467 \text{ kNm}$
Bottom end design moment	$M_{\text{des,mid}} = M_{\text{mid}} = 126,326 \text{ kNm}$
Mid-fifth design moment	

Gambar 5.139 Perhitungan Otomatis Pengecekan Kolom Pendek/Panjang Pada *TSD*

(Sumber: Hasil Analisis Penulis, 2025)

Tabel 5.64 Pengecekan Kelangsingan Kolom

Perangkat Lunak	k.lu/r	M1 (kNm)	M2 (kNm)	Syarat langsing	Cek
				$(34 - 12 \times (M1/M2)) < 40$	
ETABS	15,47298721	-207,9862	358,0303	40,00	Tidak Langsing
TSD	15,47298721	-215,885	354,467	40,00	Tidak Langsing

(Sumber: Hasil Analisis Penulis, 2025)

c. Perhitungan desain tulangan lentur kolom

Pada desain tulangan lentur kolom dengan *ETABS*, dilakukan dengan perhitungan manual dengan mengambil gaya-gaya yang bekerja pada kolom yang dihasilkan oleh *ETABS* untuk pengecekan dalam diagram interaksi P-M. Perhitungan dilakukan pada tinjauan desak aksial, tekan menentukan, tarik menentukan, dan tinjauan lentur murni. Sebelum dilakukan perhitungan untuk kondisi tersebut, perlu dihitung parameter pendukung sebagai berikut (arah x).

Tulangan dicoba menggunakan 14D22 dengan diameter sengkang 13 mm.

$$\begin{aligned} \text{Tinggi efektif (d)} &= h - ts - \frac{\phi_{\text{tul}}}{2} \\ &= 750 - 50 - 13 - \frac{22}{2} \\ &= 676 \text{ mm} \end{aligned}$$

$$\begin{aligned} \text{Luas tul. total (A}_{\text{stotal}}\text{)} &= n \frac{1}{4} \pi D^2 \\ &= 14 \frac{1}{4} \pi 22^2 \\ &= 5321,858 \text{ mm}^2 \end{aligned}$$

$$\text{Regangan leleh baja} = \frac{f_y}{E_s} = \frac{420}{200000} = 0,0021$$

Setelah dilakukan perhitungan diperoleh data nilai ϕM_n dan ϕP_n (arah x) sebagai berikut.

1) Analisa kolom dalam kondisi aksial tekan sentris ($M_u = 0$)

a) Rasio tulangan

$$\rho_g = \frac{A_{\text{stotal}}}{bh} = \frac{5321,858}{650 \times 750} = 0,0109$$

b) Kapasitas nominal tekan (P_n)

$$P_n = P_0 = A_g [0,85 f_c' + \rho_g (f_y - 0,85 f_c')]$$

$$P_n = P_0 = 650 \times 750 [0,85 \times 30 + 0,0109 (420 - 0,85 \times 30)]$$

$$P_n = P_0 = 14531 \text{ kN}$$

c) Kapasitas ultimate tekan (Pu)

$$Pu = \emptyset P_n = 0,65 \times 14531 = 9445 \text{ kN}$$

$$P_{n\text{ desain}} = 0,8 P_0 = 0,8 \times 9445 = 7556 \text{ kN}$$

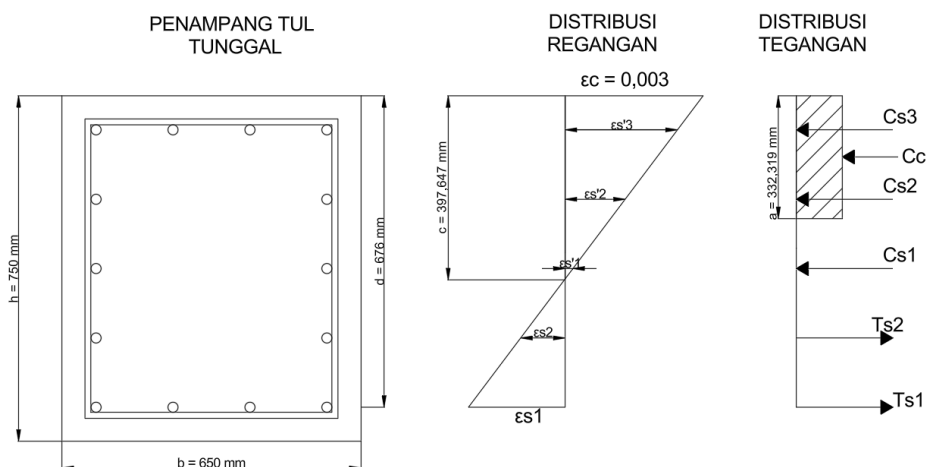
d) Kesimpulan

$$P_{n\text{ max}} = 14531 \text{ kN}$$

$$Pu = 9445 \text{ kN}$$

$$P_{n\text{ desain}} = 7556 \text{ kN}$$

2) Analisa kolom dalam kondisi keadaan berimbang ($c = cb$)



Gambar 5.140 Diagram Tegangan Regangan Kondisi $c = cb$

(Sumber: Hasil Analisis Penulis, 2025)

a) Garis nebral

$$c = \frac{600d}{600+f_y} = \frac{600 \times 676}{600+420} = 397,647 \text{ mm}$$

b) Tinggi blok tekan

$$a = \beta \times c = 0,836 \times 397,647 = 332,319 \text{ mm}$$

c) Gaya tekan dari tulangan tekan

$$A_s' = n \frac{1}{4} \pi D^2 = 8 \frac{1}{4} \pi 22^2 = 3041,062 \text{ mm}^2$$

$$C_s = A_s' f_s' = 3041,062 \times 420 = 1277245,909 \text{ N}$$

d) Gaya tarik dari tulangan tarik

$$T = A_s f_y = 3041,062 \times 420 = 957934,4319 \text{ N}$$

e) Gaya tekan dari beton

$$C_c = 0,85 \cdot f'_c \cdot b \cdot a = 0,85 \times 30 \times 650 \times 332,319 = 5508192,857 \text{ N}$$

f) Kapasitas aksial tekan nominal

$$\begin{aligned} P_{nb} &= C_c + C_s - T_s \\ &= 1277245,909 + 5508192,857 - 957934,4319 \\ &= 5827504 \text{ N} = 5828 \text{ kN} \end{aligned}$$

g) Kapasitas momen nominal

$$\begin{aligned} M_{nb} &= M_{nCs} + M_{nCc} + M_{nT} \\ &= C_c \left(\frac{(h/2) - a}{2} \right) + C_s \left(\frac{(h/2)}{2} - d' \right) + T \left(\frac{(h/2)}{2} - d' \right) \\ &= 5508192,857 \left(\frac{(750/2) - 332,319}{2} \right) + 1277245,909 \\ &\quad \left(\frac{(750/2)}{2} - 74 \right) + 957934,4319 \left(\frac{(750/2)}{2} - 74 \right) \\ &= 1823122130 \text{ Nmm} = 1823 \text{ kNm} \end{aligned}$$

h) Kesimpulan

Kuat nominal:

$$P_{nb} = 5828 \text{ kN}$$

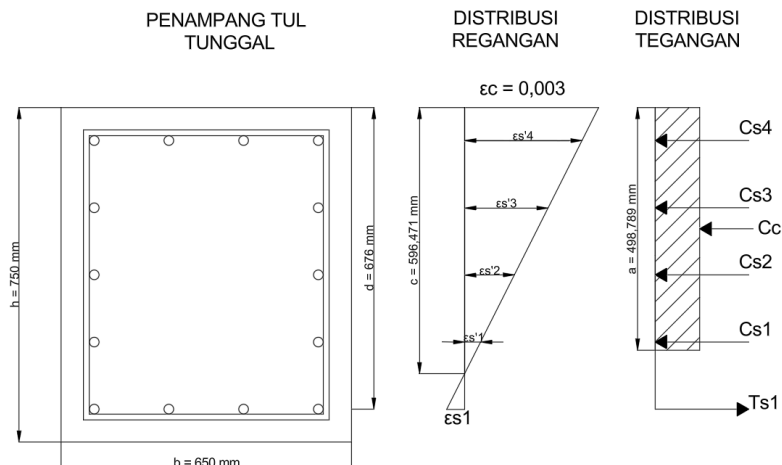
$$M_{nb} = 1823 \text{ kNm}$$

Kuat ultimate:

$$P_{ub} = \emptyset P_{nb} = 0,65 \times 5828 = 3788 \text{ kN}$$

$$M_{ub} = \emptyset M_{nb} = 0,65 \times 1823 = 1185 \text{ kNm}$$

3) Analisa kolom dalam kondisi keruntuhan tekan ($c > cb$)



Gambar 5.141 Diagram Tegangan Regangan Kondisi $c > cb$

(Sumber: Hasil Analisis Penulis, 2025)

a) Gaya tekan dari tulangan tekan

$$As' = n \frac{1}{4} \pi D^2 = 10 \frac{1}{4} \pi 22^2 = 3801,327 \text{ mm}^2$$

$$Cs = As' fs' = 3801,327 \times 420 = 1596557,387 \text{ N}$$

b) Gaya tarik dari tulangan tarik

$$T = As fy = 1520,53 \times 80 = 121642,4675 \text{ N}$$

c) Gaya tekan dari beton

$$Cc = 0,85.fc'.b.a = 0,85 \times 30 \times 650 \times 1,5 \times 397,647 = 8262289,286 \text{ N}$$

d) Kapasitas aksial tekan nominal

$$\begin{aligned} P_{nb} &= Cc + Cs - Ts \\ &= 8262289,286 + 1596557,387 - 121642,4675 \\ &= 9737204 \text{ N} = 9737 \text{ kN} \end{aligned}$$

e) Kapasitas momen nominal

$$\begin{aligned} M_{nb} &= Mn_{Cs} + Mn_{Cc} + Mn_T \\ &= Cc\left(\frac{(h/2) - a}{2}\right) + Cs\left(\frac{(h/2)}{2} - d'\right) + T\left(\frac{(h/2)}{2} - d'\right) \\ &= 8262289,286 \left(\frac{(750/2) - 498,479}{2}\right) + 1596557,387 \\ &\quad \left(\frac{(750/2)}{2} - 74\right) + 121642,4675 \left(\frac{(750/2)}{2} - 74\right) \\ &= 1556247823 \text{ Nmm} = 1556 \text{ kNm} \end{aligned}$$

f) Kesimpulan

Kuat nominal:

$$P_{nb} = 9737 \text{ kN}$$

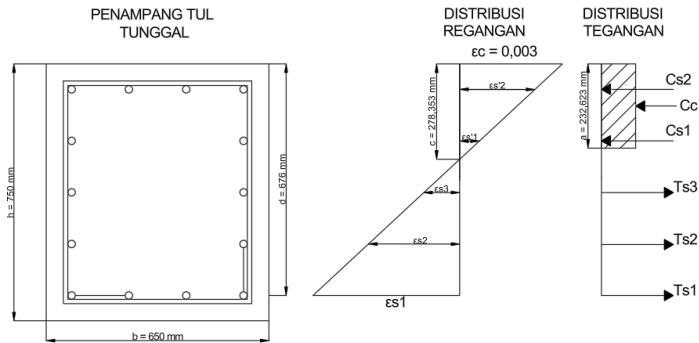
$$M_{nb} = 1556 \text{ kNm}$$

Kuat ultimate:

$$P_{ub} = \emptyset P_{nb} = 0,65 \times 9737 = 6329 \text{ kN}$$

$$M_{ub} = \emptyset M_{nb} = 0,65 \times 1556 = 1012 \text{ kNm}$$

4) Analisa kolom dalam kondisi keruntuhan tarik ($c < cb$)



Gambar 5.142 Diagram Tegangan Regangan Kondisi $c < cb$

(Sumber: Hasil Analisis Penulis, 2025)

- a) Gaya tekan dari tulangan tekan

$$As' = n \frac{1}{4} \pi D^2 = 6 \frac{1}{4} \pi 22^2 = 2280,796 \text{ mm}^2$$

$$Cs = As' fs' = 2945,243 \times 420 = 957934,4319 \text{ N}$$

- b) Gaya tarik dari tulangan tarik

$$T = As' fy = 3041,06 \times 420 = 1277245,909 \text{ N}$$

- c) Gaya tekan dari beton

$$Cc = 0,85fc'.b.a = 0,85 \times 30 \times 650 \times 0,7 \times 397,647 = 3855735 \text{ N}$$

- d) Kapasitas aksial tekan nominal

$$\begin{aligned} P_{nb} &= Cc + Cs - Ts \\ &= 3855735 + 957934,4319 - 1277245,909 \\ &= 3536424 \text{ N} = 3536 \text{ kN} \end{aligned}$$

- e) Kapasitas momen nominal

$$\begin{aligned} M_{nb} &= Mn_{Cc} + Mn_{Cs} + Mn_T \\ &= Cc \left(\frac{(h/2) - a}{2} \right) + Cs \left(\frac{(h/2)}{2} - d' \right) + T \left(\frac{(h/2)}{2} - d' \right) \\ &= 3855735 \left(\frac{(750/2) - 232,626}{2} \right) + 957934,4319 \\ &\quad \left(\frac{(750/2)}{2} - 74 \right) + 1277245,909 \left(\frac{(750/2)}{2} - 74 \right) \\ &= 1670222566 \text{ Nmm} = 1670 \text{ kNm} \end{aligned}$$

- f) Kesimpulan

Kuat nominal:

$$P_{nb} = 3536 \text{ kN}$$

$$M_{nb} = 1670 \text{ kNm}$$

Kuat ultimate:

$$P_{ub} = \phi P_{nb} = 0,65 \times 3536 = 2299 \text{ kN}$$

$$M_{ub} = \phi M_{nb} = 0,65 \times 1670 = 1086 \text{ kNm}$$

5) Analisa kolom dalam kondisi lentur murni ($P_u = 0$)

a) Tinggi blok tegangan tekan

$$a = \frac{As f_y}{0,85 f_c b} = \frac{2660,93 \times 420}{0,85 \times 30 \times 650} = 67,426 \text{ mm}$$

b) Momen nominal kondisi lentur

$$\begin{aligned} M_n &= As f_y \left(d - \frac{a}{2} \right) \\ &= 2660,93 \times 420 \times \left(676 - \frac{67,426}{2} \right) \\ &= 717813496 \text{ Nmm} = 718 \text{ kNm} \end{aligned}$$

c) Kesimpulan

Kuat nominal:

$$P_{nb} = 0 \text{ kN}$$

$$M_{nb} = 718 \text{ kNm}$$

Kuat ultimate:

$$P_{ub} = \phi P_{nb} = 0,9 \times 0 = 0 \text{ kN}$$

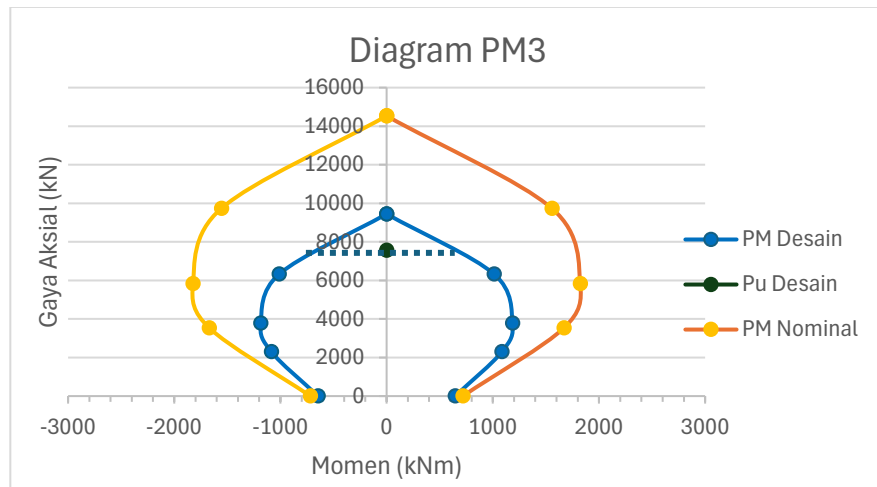
$$M_{ub} = \phi M_{nb} = 0,9 \times 718 = 646 \text{ kNm}$$

Dengan cara yang sama, kemudian dilakukan perhitungan yang sama untuk nilai ϕM_n dan ϕP_n pada arah Y. Berikut merupakan rekapitulasi perhitungan nilai ϕM_n dan ϕP_n dalam kondisi desak aksial, tekan menentukan, tarik menentukan, dan tinjauan lentur murni arah X dan arah Y.

Tabel 5.65 Rekapitulasi Perhitungan Nilai ϕM_n dan ϕP_n Arah X dan Arah Y

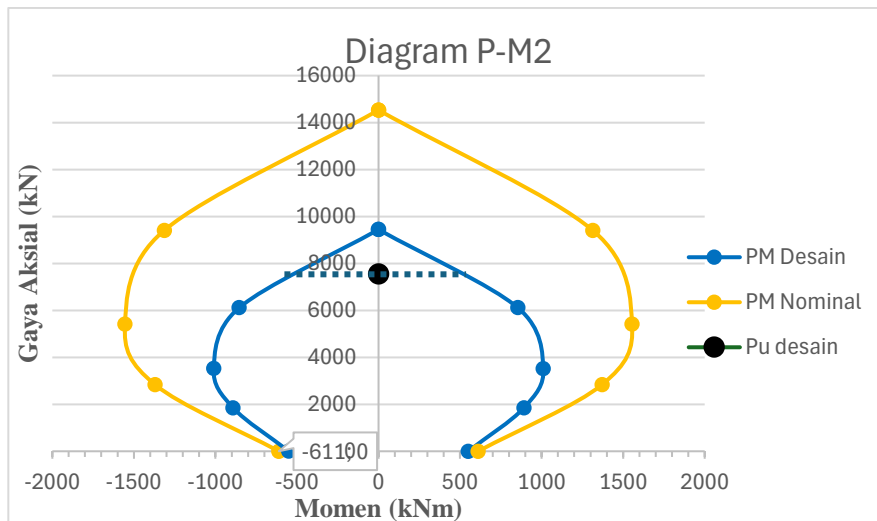
Kondisi	Arah X					Arah Y				
	Mn	Mu	Pn,max	Pu	Pn,desain	Mn	Mu	Pn,max	Pu	Pn,desain
	kNm	kN	kN	kN	kN	kNm	kN	kN	kN	kN
Desak Aksial	0	0	14531	9445	7556	0	0	14531	9445	7556
Terkendali Tekan	1556	1012	9737	-	6329	1314	854	9408	-	6115
Seimbang	1823	1185	5828	-	3788	1554	1010	5415	-	3520
Terkendali Tarik	1670	1086	3536	-	2299	1371	891	2840	-	1846
Lentur Murni	718	646	0	-	0	611	550	0	-	0

(Sumber: Hasil Analisis Penulis, 2025)



Gambar 5.143 Diagram Interaksi Uniaksial (P-M3) Kapasitas Kolom K1 (Grid 2/D lantai 1)

(Sumber: Hasil Analisis Penulis, 2025)



Gambar 5.144 Diagram Interaksi Uniaksial (P-M2) Kapasitas Kolom K1 (Grid 2/D lantai 1)

(Sumber: Hasil Analisis Penulis, 2025)

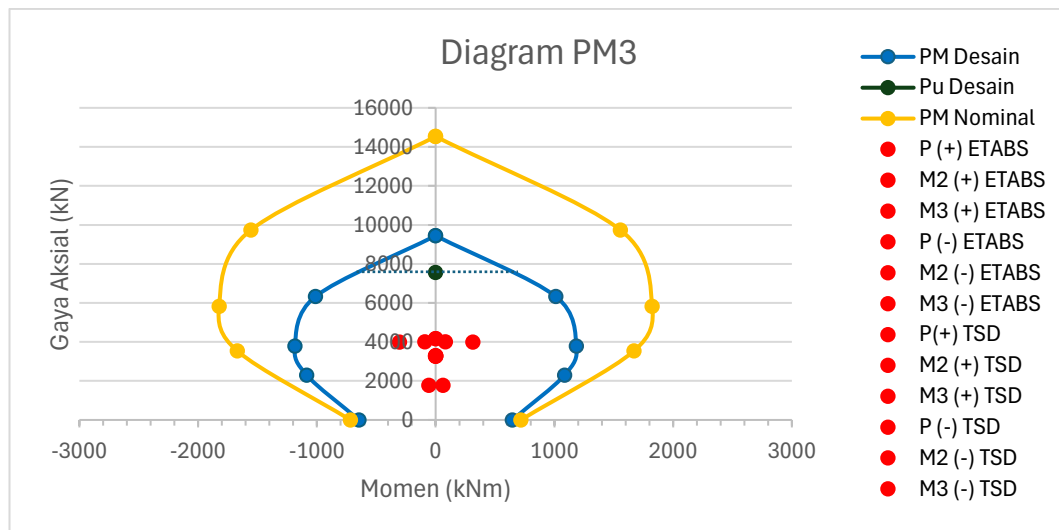
d. Pengecekan kapasitas kolom

Kolom harus dicek apakah mampu menahan beban yang ada. Pengecekan dapat dilakukan secara uniaxial dan biaxial dengan meninjau interaksi P-M3 dan P-M2. Nilai P, M2, dan M3 hasil permodelan menggunakan *ETABS*. Berikut merupakan perhitungan untuk kolom K1 pada grid 2/D lantai 1.

Tabel 5.66 Data nilai P, M3, dan M2 pada Kolom K1 (Grid 2/D Lantai 1)

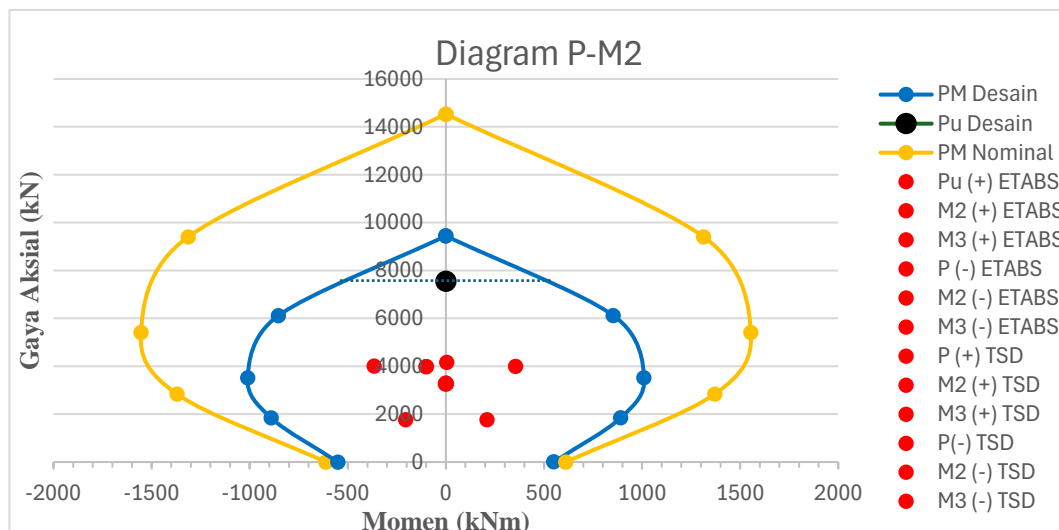
Kondisi	ETABS				TSD			
	P (kN)	M2 (kNm)	M3 (kNm)	COMB	P (kN)	M2 (kNm)	M3 (kNm)	COMB
Pu max	4168,2	-3,7	0,2	Comb2	4168,5	4,4	-0,2	Comb2
Pu min	1771,7	-204,8	-57,3	Comb11	1775,9	210,1	62,1	Comb11
M2 max	4008,5	-365,3	81,3	Comb5	4003,7	354,5	-91,7	Comb5
M2 min	3296,4	0,5	0,1	Comb1	3295,8	-0,3	0,0	Comb1
M3 max	3993,8	-99,2	313,3	Comb9	3983,3	-101,7	-305,5	Comb7
M3 min	3269,5	2,4	0,0	Comb1	3268,9	-2,6	0,0	Comb1

(Sumber: Hasil Analisis Penulis, 2025)



Gambar 5.145 Pengecekan Kapasitas Pada Diagram Uniaxial (P-M3) Kolom K1
(Grid 2/D lantai 1)

(Sumber: Hasil Analisis Penulis, 2025)



Gambar 5.146 Pengecekan Kapasitas Pada Diagram Uniaxial (P-M2) Kolom K1
(Grid 2/D lantai 1)

(Sumber: Hasil Analisis Penulis, 2025)

Untuk pengecekan secara biaksial menggunakan metode ACI dengan menggunakan syarat rasio tegangan sebagai berikut.

$$\text{Rasio tegangan} = \frac{M_{ux}}{M_{ox}} + \frac{M_{uy}}{M_{oy}} \leq 1$$

Dengan:

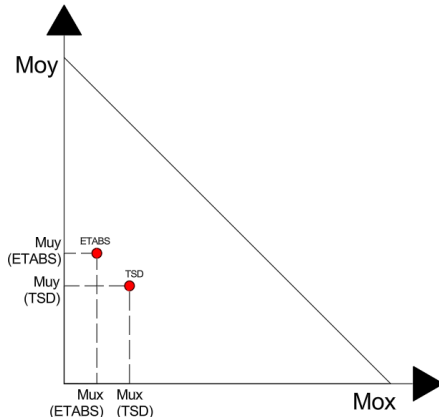
M_{ux} atau M_{uy} = Momen terfaktor arah x dan y pada beban P_u

M_{ox} atau M_{oy} = Momen kapasitas pada beban P_R

$$\begin{aligned}\text{Rasio tegangan (M2}_{\max ETABS}\text{)} &= \frac{81,3}{1200} + \frac{365,3}{1000} \leq 1 \\ &= 0,433 \leq 1 \text{ (AMAN)}\end{aligned}$$

$$\begin{aligned}\text{Rasio tegangan (M2}_{\max TSD}\text{)} &= \frac{91,7}{1200} + \frac{354,5}{1000} \leq 1 \\ &= 0,431 \leq 1 \text{ (AMAN)}\end{aligned}$$

Berikut ilustrasi pengecekan kapasitas kolom dengan diagram biaksial.



Gambar 5.147 Diagram Biaksial Metode ACI (Beban $M2_{\max}$)

(Sumber: Hasil Analisis Penulis, 2025)

Tabel 5.67 Rekapitulasi Pengecekan Kapasitas Kolom K1 (Grid 2/D Lantai 1)

Perangkat Lunak	Kondisi	P (kN)	M_{ux} (kNm)	M_{uy} (kNm)	M_{ox} (kNm)	M_{oy} (kNm)	Ratio	Ratio rata-rata
ETABS	Pu max	4168,204	0,224	3,704	1200	1000	0,004	0,184
	Pu min	1771,675	57,318	204,807	900	850	0,305	
	M2 max	4008,503	81,339	365,312	1200	1000	0,433	
	M2 min	3296,392	0,055	0,466	1200	1000	0,001	
	M3 max	3993,799	313,323	99,182	1200	1000	0,360	
	M3 min	3269,486	0,030	2,376	1200	1000	0,002	
TSD	Pu max	4168,520	0,174	4,382	1200	1000	0,005	0,185

Perangkat Lunak	Kondisi	P (kN)	M _{ux} (kNm)	M _{uy} (kNm)	M _{ox} (kNm)	M _{oy} (kNm)	Ratio	Ratio rata-rata
	Pu min	1775,857	62,125	210,056	900	850	0,316	
	M2 max	4003,702	91,748	354,467	1200	1000	0,431	
	M2 min	3295,809	0,038	0,325	1200	1000	0,000	
	M3 max	3983,250	305,464	101,701	1200	1000	0,356	
	M3 min	3268,903	0,037	2,642	1200	1000	0,003	

(Sumber: Hasil Analisis Penulis, 2025)

Hasil perencanaan tulangan longitudinal kolom pada grid 2/D lantai 1 didapat rasio rata-rata pada *TSD* lebih besar dari pada *ETABS* dengan rasio rata-rata pada *TSD* sebesar 0,185, dan *ETABS* sebesar 0,184.

e. Kuat kolom (*strong column weak beam*)

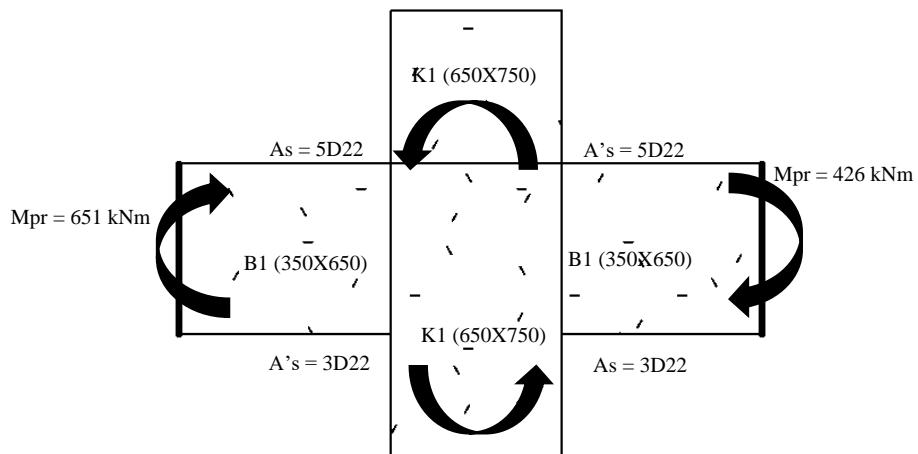
Dalam pengecekan kuat kolom, perlu dicek pada kedua arah yaitu timur-barat dan utara-selatan. Dari penelitian yang dilakukan oleh (S.E & Machmoed, 2021) dalam perencanaanya menggunakan syarat SCWB dan harus memenuhi syarat tersebut. Berdasarkan SNI 2847:2019 Pasal 18.7.3.2 Hal-385, kolom harus memenuhi persamaan sebagai berikut.

$$\sum M_c \geq 1,2 \sum M_g$$

Dimana

$\sum M_c$ = Jumlah Mn dua kolom yang bertemu di join.

$\sum M_g$ = Jumlah Mn dua balok yang bertemu di join



Gambar 5.148 Ilustrasi Kuat Kolom Balok Lemah (Gempa Kanan)

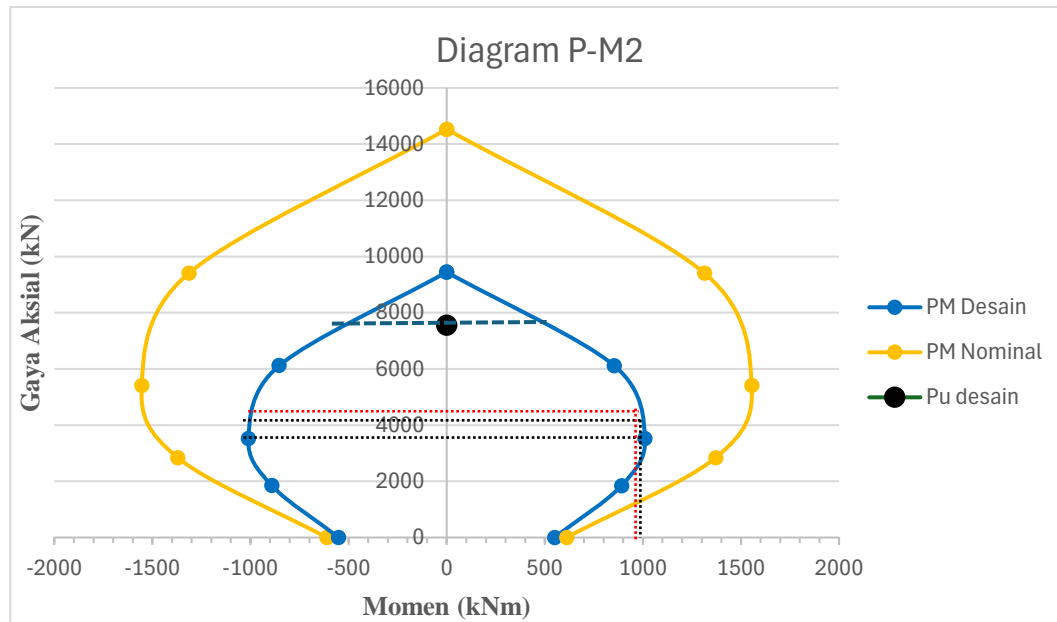
(Sumber: Hasil Analisis Penulis, 2025)

Mengambil beban aksial (P) dari kombinasi terbesar untuk mendapatkan kapasitas momen kolom, berikut beban aksial dan momen nominal yang terjadi.

Tabel 5.68 Gaya Aksial Yang Terjadi Pada Kolom Desain, Atas, dan Bawah

Perangkat Lunak	Patas (kN)	Pdesain (kN)	Pbawah (kN)	$\phi M_{n\text{atas}}$ (kNm)	$\phi M_{n\text{desain}}$ (kNm)	$\phi M_{n\text{bawah}}$ (kNm)
ETABS	3696,020	4168,204	4644,233	1000	1000	980
TSD	3696,686	4168,520	4643,836	1000	1000	980
COMBO	COMB2	COMB2	COMB2			

(Sumber: Hasil Analisis Penulis, 2025)



Gambar 5.149 Diagram Interaksi Kapasitas Momen Kolom Desain

(Sumber: Hasil Analisis Penulis, 2025)

Digunakan diagram interaksi P-M2 karena lebih konservatif. Selanjutnya, dilakukan pengecekan syarat kuat kolom untuk kolom lantai atas dan kolom lantai bawah pada arah gempa kanan sebagai berikut.

- 1) Cek kolom lantai atas $\sum Mc \geq 1,2 \sum Mg$

$$\phi M_{n\text{desain}} + \phi M_{n\text{atas}} \geq 1,2 (\text{Mpr}_1 \text{ Balok timur} + \text{Mpr}_3 \text{ Balok barat})$$

$$1000 + 1000 \geq 1,2 (521,97 + 326,57)$$

$$2000 \text{ kNm} \geq 1018,25 \text{ kNm} \text{ (Memenuhi syarat)}$$

- 2) Cek kolom lantai bawah $\sum Mc \geq 1,2 \sum Mg$

$$\phi M_{n\text{desain}} + \phi M_{n\text{bawah}} \geq 1,2 (\text{Mpr}_1 \text{ Balok timur} + \text{Mpr}_3 \text{ Balok barat})$$

$$1000 + 980 \geq 1,2 (521,97 + 326,57)$$

$$1980 \text{ kNm} \geq 1018,25 \text{ kNm} \text{ (Memenuhi syarat)}$$

Perhitungan diatas merupakan perhitungan pada arah gempa kanan, untuk arah gempa kiri nilainya sama saja. Berdasarkan pengecekan syarat kuat kolom

diatas, kolom yang di desain sudah memenuhi syarat kuat kolom balok lemah. Pengecekan syarat kuat kolom pada *TSD* juga dapat dihitung secara otomatis, berikut pengecekan *SCWB* dengan kombinasi 7 pada perangkat lunak *TSD*.

Stack 1 650x750 - Seismic - Longitudinal Bars - Flexural Strength - 3D Building Analysis - 35 (Operating) LRFD _{LL-1,2D+L+0,2S+E} - Major Load Direction	
Nominal moment strength in this stack for sway left case	M _{nc,bot} = -1489,236 kNm
Nominal moment strength in stack above for sway left case	M _{nc,top} = 1443,368 kNm
△ Sum of nominal moment strengths for sway left case	$\Sigma(M_{nc}) = M_{nc,bot} + M_{nc,top} = 2932,604$ kNm
Nominal moment strength in this stack for sway right case	M _{nc,r,bot} = 1489,236 kNm
Nominal moment strength in stack above for sway right case	M _{nc,r,top} = -1443,368 kNm
△ Sum of nominal moment strengths for sway right case	$\Sigma(M_{nc,r}) = M_{nc,r,bot} + M_{nc,r,top} = 2932,604$ kNm
Beam nominal moment strength on left for sway left case	M _{nb,l} = 253,933 kNm
Beam nominal moment strength on right for sway left case	M _{nb,r} = 426,503 kNm
△ Sum of beam nominal moment strengths for sway left case	$\Sigma(M_{nb}) = M_{nb,l} + M_{nb,r} = 680,436$ kNm
Beam nominal moment strength on left for sway right case	M _{nb,r} = 426,503 kNm
Beam nominal moment strength on right for sway right case	M _{nb,l} = 253,933 kNm
△ Sum of beam nominal moment strengths for sway right case	$\Sigma(M_{nb,r}) = M_{nb,r} + M_{nb,l} = 680,436$ kNm
Σ(M _{nc}) ≥ (6 / 5) × Σ(M _{nb})	ACI 318-14 Section 18.7.3
Σ(M _{nc,r}) ≥ (6 / 5) × Σ(M _{nb,r})	ACI 318-14 Section 18.7.3
✓ Pass	

Gambar 5.150 Pengecekan Otomatis Kuat Kolom Balok Lemah Pada *TSD*

(Sumber: Hasil Analisis Penulis, 2025)

f. Desain tulangan geser

Pada SNI 2847:2019 Pasal 18.10.7.4 Hal-413, total luas penampang hoops tidak kurang dari salah satu yang terbesar antara:

$$A_{sh} = 0,3 \left(\frac{s.b_c.fc'}{fyt} \right) \left(\frac{A_g}{A_{ch}} - 1 \right), \text{ dan } A_{sh} = \frac{0,09.s.b_c.fc'}{fyt}$$

$$\begin{aligned} b_c &= \text{lebar penampang inti beton (terkekang)} \\ &= b_w - 2(50 + 1/2d_b) \\ &= 650 - 2(50 + 1/2(25)) \\ &= 525 \text{ mm} \end{aligned}$$

$$\begin{aligned} A_{ch} &= \text{luas penampang inti beton} \\ &= (b_w - 2(50)) \times (h_w - 2(50)) \\ &= (650 - 2(50)) \times (750 - 2(50)) \\ &= 357500 \text{ mm}^2 \end{aligned}$$

Sehingga,

$$\frac{A_{sh}}{s} = 0,3 \left(\frac{b_c.fc'}{fyt} \right) \left(\frac{A_g}{A_{ch}} - 1 \right) = 0,3 \left(\frac{525.30}{420} \right) \left(\frac{650.750}{357500} - 1 \right) = 4,09 \text{ mm}^2/\text{mm}$$

$$\frac{A_{sh}}{s} = \frac{0,09.s.b_c.fc'}{fyt} = \frac{0,09.525.30}{420} = 3,38 \text{ mm}^2/\text{mm}$$

Dipakai yang terbesar $4,09 \text{ mm}^2/\text{mm}$. Dengan spasi diatur dalam SNI 2847:2019 Pasal 18.7.5.3 Hal-389 yaitu maksimal poin (1) dan minimal poin (3) sampai (4).

$$1) \frac{1}{4} \text{ dimensi kolom terkecil} = \frac{1}{4} (650) = 162,5 \text{ mm}$$

$$2) 6 \text{ kali diameter tulangan longitudinal} = 6 (25) = 150 \text{ mm}$$

$$3) s_o = 100 + \frac{350 - (2/3 \times hc - 2*(50+db/2))}{3}$$

$$= 100 + \frac{350 - (2/3 \times 750 - 2*(50+25/2))}{3}$$

$$= 75 \text{ mm}$$

$$4) \text{ Namun tidak perlu lebih kecil dari } 100 \text{ mm}$$

Maka digunakan spasi 100 mm sehingga,

$$A_{sh} = s \times A_{sh}/s = 100 \times 4,09 = 409,091 \text{ mm}^2$$

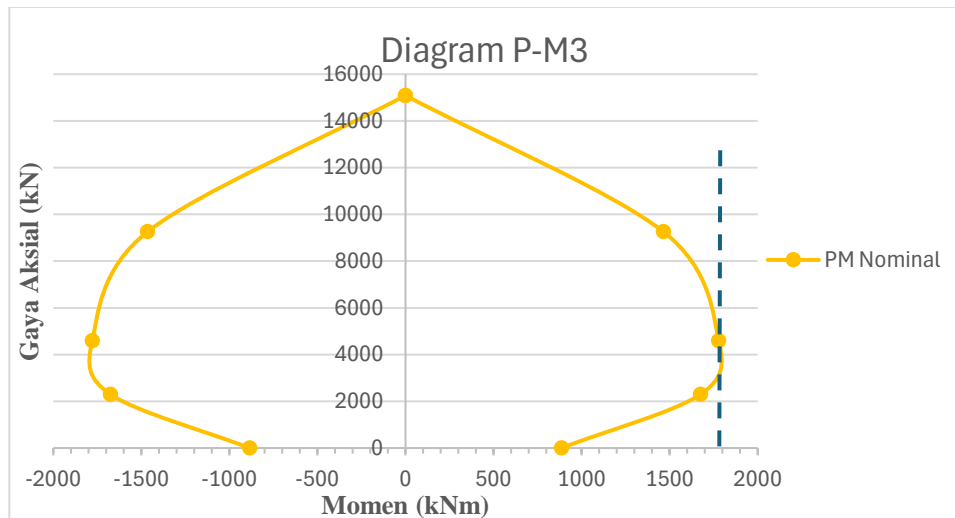
Dicoba dengan menggunakan 4 kaki baja D13 dengan luas penampang $530,93 \text{ mm}^2 > 409,091 \text{ mm}^2$ (OK, kebutuhan $A_{sh \min}$ terpenuhi). Pada SNI 2847:2019 Pasal 18.7.5.1 Hal 386, tulangan *hoop* tersebut diperlukan sepanjang l_o dari ujung-ujung kolom, l_o tidak boleh kurang dari nilai terbesar antara.

$$1) \text{ Tinggi elemen kolom, } h = 750 \text{ mm}$$

$$2) \frac{1}{6} \text{ tinggi bersih kolom} = \frac{1}{6} (4000 - 650) = 558,333 \text{ mm}$$

$$3) 450 \text{ mm}$$

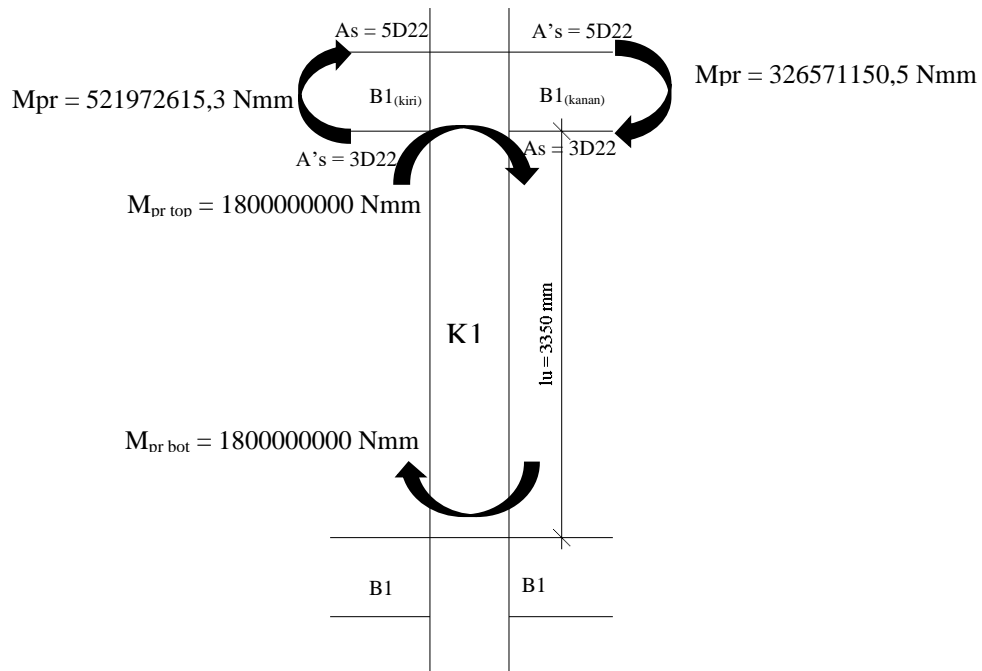
Dipakai l_o sebesar 750 mm. Lalu dicari kebutuhan geser dari kolom dengan menggunakan diagram momen kapasitas lentur kolom, namun f_y ditingkatkan 1,25 seperti balok dan reduksi sebesar 1. Lalu mengambil momen nominal terbesar. Berikut diagram momen setelah f_y ditingkatkan menjadi 1,25 dan reduksi sebesar 1.



Gambar 5.151 Kapasitas Momen Max ($f_y = 1,25$ dan $\phi = 1$) Kolom K1

(Sumber: Hasil Analisis Penulis, 2025)

$$M_n_{(K1)} = 1800 \text{ kNm}$$



Gambar 5.152 Momen Ujung (M_{pr}) Pada Kolom

(Sumber: Hasil Analisis Penulis, 2025)

$$V_e \text{ kolom} = \frac{M_{pr \text{ top}} + M_{pr \text{ bot}}}{l_n}$$

$$= \frac{1800000000 + 1800000000}{3500}$$

$$= 537313,433 \text{ N}$$

$$\begin{aligned} V_{e \text{ balok}} &= \frac{M_{pr(Bki)} + M_{pr(Bka)}}{\ln} \\ &= \frac{521972615,3 + 326571150,5}{3500} \\ &= 303955,976 \text{ N} \end{aligned}$$

$$V_{u(ETABS)} = 175490,8 \text{ N (COMB5)}$$

$$V_{u(TSD)} = 170254 \text{ N (COMB5)}$$

Tabel 5.69 Pemilihan Gaya Geser Ultimit Kolom

Perangkat Lunak	V _u terfaktor (kN)	COMB	V _e balok (kN)	V _e kolom (kN)	V _e pakai (kN)
ETABS	175490,8	COMB5	303955,976	537313,433	303955,976
TSD	170254,0	COMB5			303955,976

(Sumber: Hasil Analisis Penulis, 2025)

Dalam pemakaian V_u dijelaskan pada SNI 2847:2019 Pasal 18.7.6.1.1 Hal 391 bahwa gaya geser kolom tidak perlu melebihi geser balok dan tidak boleh kurang dari geser terfaktor. Karena pada perhitungan geser ultimit pada kolom lebih besar dari geser akibat M_{pr} balok dan masih lebih besar dari gaya geser terfaktor, maka digunakan gaya geser ultimit berdasarkan M_{pr} balok yaitu V_u sebesar 303955,976 N. Dalam memperhitungkan V_c sama seperti balok harus dicek terlebih dahulu apakah gaya geser disepanjang bentang lebih dari 0,5 dari gaya geser terbesar. Karena nilai V_e balok sebesar 303955,976 N sudah melebihi 0,5 dari V_e kolom, maka V_c tidak diperhitungkan dalam desain tulangan geser.

$$\begin{aligned} V_c &= 0 \text{ N} \\ \frac{V_u}{\emptyset} &= \frac{303955,976}{0,75} \\ &= 405274,634 \text{ N} \end{aligned}$$

Sementara itu pada poin sebelumnya sudah kita hitung kebutuhan tulangan *confinement* yaitu A_{sh} untuk 4 kaki D13 = 531 mm².

$$\begin{aligned} V_s &= \frac{A_v f_y d}{s} \\ &= \frac{531.420.676}{100} \end{aligned}$$

= 1507414,067 N > 405274,6344 N (OK, sudah melebihi kebutuhan geser, V_u)

Perlu juga dihitung kebutuhan tulangan geser di sepanjang bentang diluar l_0 dengan N_u , gaya tekan aksial terkecil dari kombinasi.

$$N_u (ETABS) = 1771674,5 \text{ N}$$

$$N_u (TSD) = 1775857 \text{ N}$$

Berikut perhitungan V_c menggunakan gaya aksial tekan dari *ETABS*

$$\begin{aligned} V_c &= 0,17 \cdot \lambda \cdot \sqrt{fc'} \cdot b_w \cdot d \left(1 + \frac{N_u}{14 \cdot A_g} \right) \\ &= 0,17 \cdot 1 \cdot \sqrt{30} \cdot 650 \cdot 676 \left(1 + \frac{1771674,5}{14 \cdot 650 \cdot 750} \right) \\ &= 496601,9288 \text{ N} \end{aligned}$$

$$\begin{aligned} V_s (\text{perlu}) &= \frac{V_u}{\emptyset} - V_c \\ &= 405274,6344 - 496601,928 \\ &= -91327,29432 \text{ N}, \end{aligned}$$

Karena V_c sudah melebihi V_u maka digunakan tulangan geser minimum, tulangan confinement sebelumnya sudah dicari yaitu sebesar 530,929 mm² (diameter 13 mm dengan 4 kaki). Berdasarkan SNI 2847:2019 Pasal 18.7.5.3, spasi transversal tidak boleh melebihi nilai terkecil dari nilai dibawah ini.

$$s_{max1} = \frac{1}{4} \text{ dimensi terkecil} = 650/4 = 162,5 \text{ mm}$$

$$s_{max2} = 6d_b = 6 \times 22 = 132 \text{ mm}$$

$$s_{max3} = 100 + \frac{350 - h_x}{3} = 100 + \frac{350 - 132}{3} = 172,667 \text{ mm}$$

Dengan h_x merupakan jarak spasi kaki sengkang. Maka dipakai jarak spasi sebesar 130 mm pada luar daerah l_0 . Hitung ulang nilai V_s berdasarkan luas tulangan yang dipakai dan spasi yang sudah ditentukan.

$$V_s = \frac{A_s \cdot f_y t \cdot d}{s}$$

$$= \frac{530,929 \cdot 420 \cdot 676}{130}$$

$$= 1159549,282 \text{ N}$$

Dengan perhitungan diatas, didapat tulangan geser menggunakan 4D13-100mm pada daerah l_o dan 4D13-130 mm pada luar daerah l_o . Pada *TSD* juga dapat menghitung secara otomatis desain tulangan geser kolom. Berikut tampilan perhitungan otomatis desain tulangan geser kolom pada *TSD* dengan kombinasi 7.

Stack 1 650x750 - Seismic - Shear Links - Design Shear Force - 3D Building Analysis - 35 (Operating) LRFD_{1.1-1,2D+L+0,25+E} - Major Load Direction	
▷ Design shear force	$V_e = \text{MAX}[V_{e,\text{left}}, V_{e,\text{right}}] = 249,365 \text{ kN}$ ACI 318-14 Section 18.7.6.1.1
▷ Shear strength provided by concrete Transverse steel yield strength Effective depth Provided link area over spacing in support regions Shear strength provided by reinforcement in support regions Strength reduction factor	$V_c = 0.17 \times (1 + (N_c / (14 \times A_g))) \times \lambda \times \sqrt{f'_c} \times b_u \times d = 644,850 \text{ kN}$ ACI 318-14 Section 22.5 $f_y = 420,000 \text{ N/mm}^2$ $d = 676,0 \text{ mm}$ $(A_c / s)_{\text{sup}} = 2655 \text{ mm}^2/\text{m}$ $V_{s,\text{sup}} = (A_c / s)_{\text{sup}} \times \text{MIN}[f_y, 420 \text{ MPa}] \times d = 753,705 \text{ kN}$ $\phi = 0,750$ $V_{e,\text{sup}} = V_c + V_{s,\text{sup}} = 1398,556 \text{ kN}$
△ Total shear strength provided in support regions	$\phi \times V_{e,\text{sup}} \geq V_e$ $V_e / \phi \times V_{e,\text{sup}} = 0,238$
Shear resistance utilization ratio	✓ Pass
Provided link area over spacing in span regions Shear strength provided by reinforcement in span regions	$(A_c / s)_{\text{span}} = 2042 \text{ mm}^2/\text{m}$ $V_{s,\text{span}} = (A_c / s)_{\text{span}} \times \text{MIN}[f_y, 420 \text{ MPa}] \times d = 579,773 \text{ kN}$ $V_{e,\text{span}} = V_c + V_{s,\text{span}} = 1224,624 \text{ kN}$
△ Total shear strength provided in span regions	$\phi \times V_{e,\text{span}} \geq V_e$ $V_e / \phi \times V_{e,\text{span}} = 0,272$
Shear resistance utilization ratio	✓ Pass

Gambar 5.153 Tampilan Perhitungan Otomatis Desain Tulangan Geser Kolom

Pada *TSD*

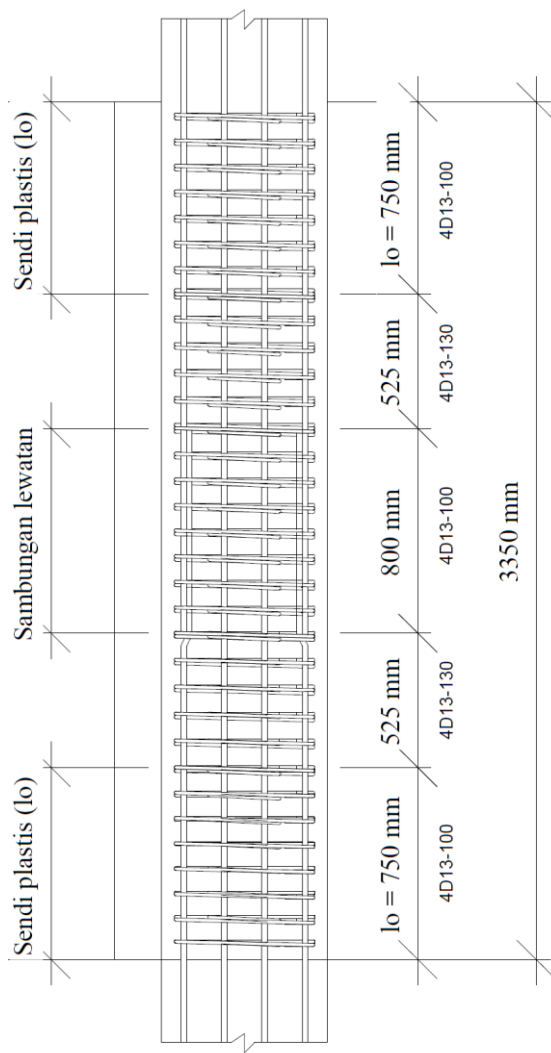
(Sumber: Hasil Analisis Penulis, 2025)

Tabel 5.70 Rekapitulasi Perhitungan Desain Tulangan Geser Kolom

Perangkat Lunak	Posisi	Tulangan geser	Vc (kN)	Vs (kN)	ØVn (kN)	Ve (kN)	Ratio	Rata-rata Rasio
ETABS	Daerah l_o	4D13-100mm	0	1507,414	1130,561	253,297	0,224	0,214
	Luar daerah l_o	4D13-130mm	496,602	1159,549	1242,113	253,297	0,204	
TSD	Daerah l_o	4D13-100mm	0	1507,414	1130,561	253,297	0,224	0,214
	Luar daerah l_o	4D13-130mm	496,808	1159,549	1242,268	253,297	0,204	

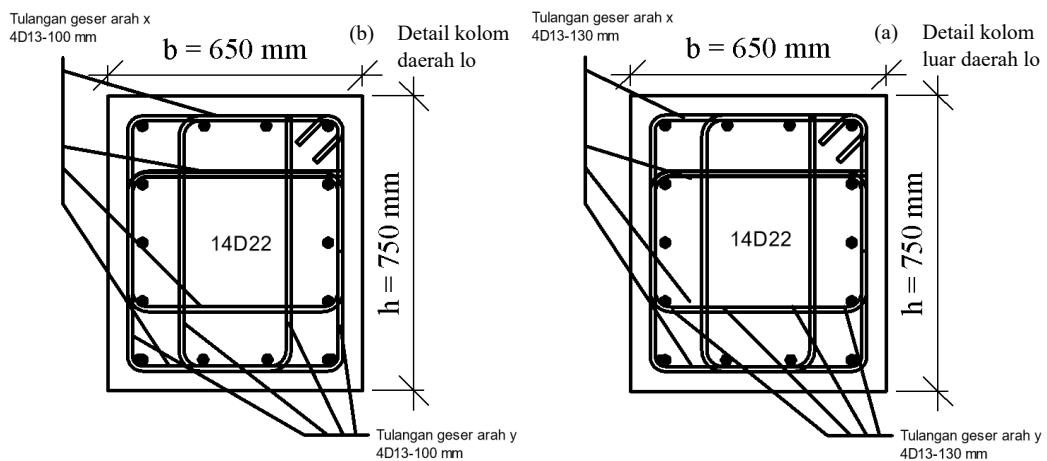
(Sumber: Hasil Analisis Penulis, 2025)

Hasil perencanaan tulangan geser kolom grid 2/D lantai 1 didapat bahwa rasio rata-rata yang dihasilkan oleh kedua perangkat lunak adalah sama yaitu sebesar 0,214.



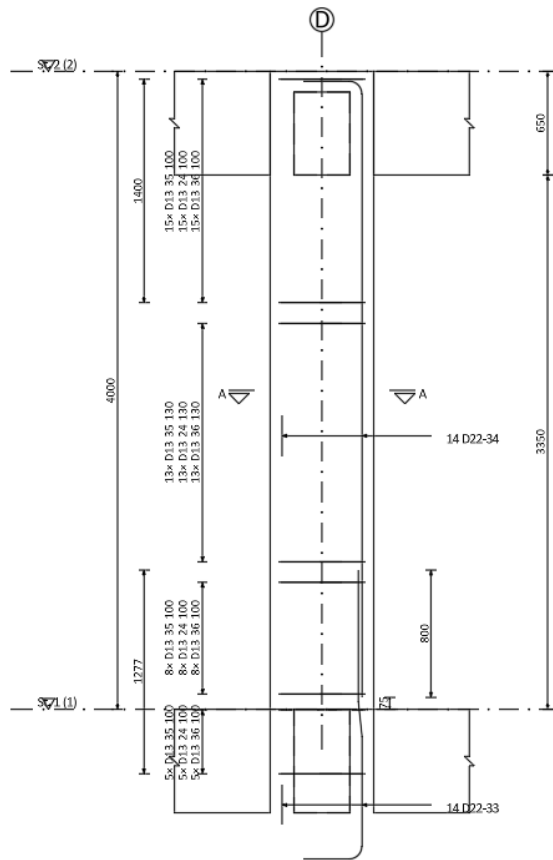
Gambar 5.154 Potongan Kolom K1 Grid 2/D Lantai 1

(Sumber: Hasil Analisis Penulis, 2025)



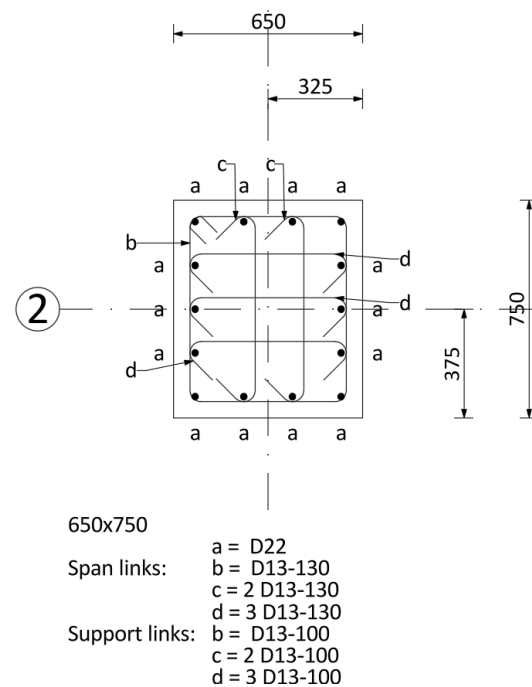
Gambar 5.155 (a) Detail kolom daerah lo, (b) Detail kolom luar daerah lo

(Sumber: Hasil Analisis Penulis, 2025)



Gambar 5.156 Hasil Gambar Potongan Kolom Grid 2/D Lantai 1 (Hasil TSD)

(Sumber: Hasil Analisis Penulis, 2025)



Gambar 5.157 Hasil Gambar Detail Kolom Grid 2/D Lantai 1 (Hasil TSD)

(Sumber: Hasil Analisis Penulis, 2025)

g. Pemeriksaan syarat dimensi kolom SRPMK

Sesuai dengan ketentuan SNI 2847 Tahun 2019 Pasal 18.7 Hal-384 terdapat beberapa persyaratan yang harus dipenuhi oleh kolom SRPMK yaitu :

- 1) Dimensi penampang terkecil tidak kurang dari 300 mm. Dimensi kolom terkecil pada K1 grid 2/D lantai 1 adalah 650 mm.
- 2) Rasio dimensi penampang terkecil terhadap dimensi tegak lurusnya tidak kurang dari 0,4.

$$K1 \text{ (grid 2/D lantai 1)} = 650/750 = 0,867 > 0,4 \text{ (memenuhi syarat)}$$

Stack 1 650x750 - Seismic - Member Properties - Minimum Section Size		
Largest height of any concrete beam		$h_{beam,max} = 650,0 \text{ mm}$
Web dimension 1		$a = 650,0 \text{ mm}$
Web dimension 2		$b = 750,0 \text{ mm}$
Minimum web dimension		minimum dimension = $\text{MAX}[0,5 \times h_{beam,max}, 0,4 \times \text{MAX}[a, b], 300\text{mm}] = 325,0 \text{ mm}$ ACI 318-14 Sections 18.7.2 and 18.8.2.4
✓ Pass		

Gambar 5.158 Perhitungan Otomatis Syarat Dimensi Kolom (K11) SRPMK Pada TSD

(Sumber: Hasil Analisis Penulis, 2025)

Tabel 5.71 Rekapitulasi Perbandingan Hasil Desain Tulangan Geser Kolom

Perangkat Lunak	Tulangan longitudinal	Posisi	Tulangan transversal
ETABS	14D22	daerah lo	4D13-100
		luar daerah lo	4D13-130
TSD	14D22	daerah lo	4D13-100
		luar daerah lo	4D13-130

(Sumber: Hasil Analisis Penulis, 2025)

5.7.4 Desain hubungan balok-kolom (HBK)

Pada desain hubungan balok-kolom dengan menggunakan ETABS dihitung dengan perhitungan manual, sedangkan desain hubungan balok-kolom dengan menggunakan TSD dilakukan secara otomatis namun hanya menghitung kapasitas join saja, tidak mendesain tulangan joint. Joint yang di desain berada pada grid Joint 2/D-2 tepat diatas kolom yang didesain sebelumnya..

a. Dimensi join

Berdasarkan SNI 2847:2019 Pasal 18.8.4.3 Hal-395, luas penampang efektif dalam suatu joint (A_j), harus dihitung dari tinggi joint kali lebar joint efektif. Tinggi joint harus sebesar lebar kolom. Lebar joint efektif harus selebar kolom, kecuali bila ada balok yang merangka ke dalam kolom yang lebih lebar, lebar joint efektif tidak boleh

melebihi nilai terkecil dari 1) dan 2):

- 1) Lebar balok ditambah tinggi joint.
- 2) Dua kali jarak tegak lurus yang lebih kecil dari sumbu longitudinal balok ke sisi kolom.

$$\text{Tinggi efektif joint} = 750 \text{ mm}$$

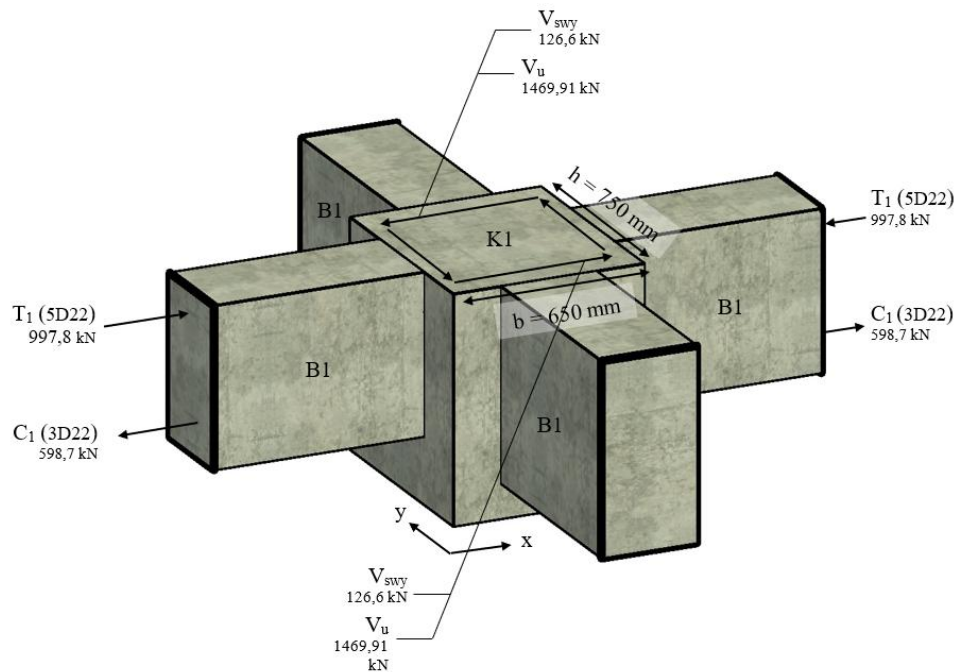
$$\begin{aligned}\text{Lebar efektif joint} &= b + h \leq b + 2 \times \frac{(b \text{ kolom}-b \text{ balok})}{2} \\ &= 350 + 750 \leq 350 + 2 \times \frac{(650 - 350)}{2} \\ &= 900 \text{ mm} \leq 650 \text{ mm}. \text{ Digunakan lebar joint } 650 \text{ mm.}\end{aligned}$$

Sehingga, diperoleh dimensi joint yaitu:

$$A_j = 650 \times 750 = 487500 \text{ mm}^2$$

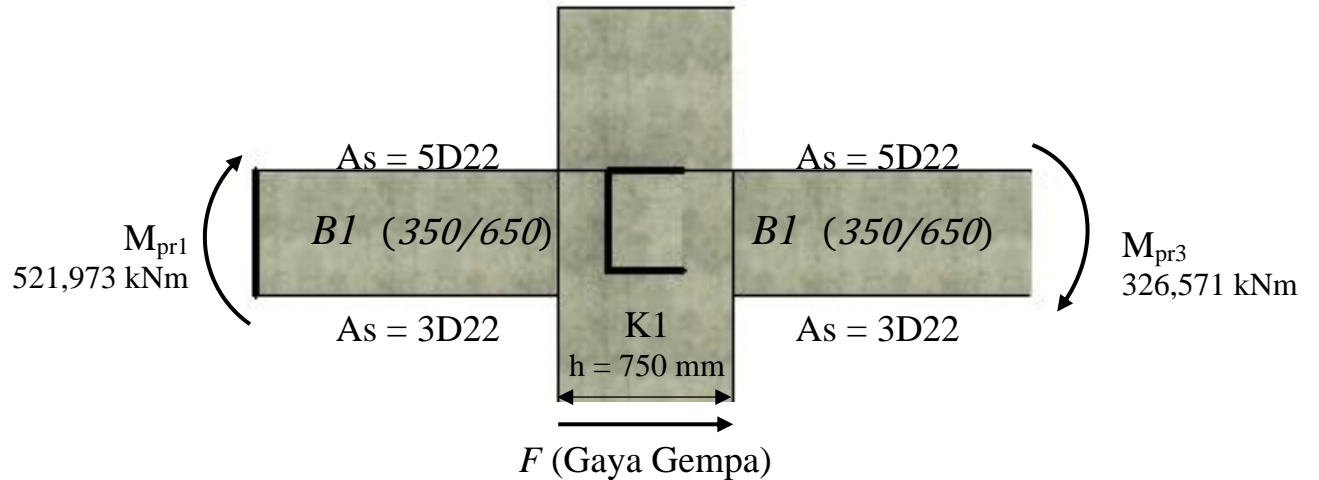
b. Momen kapasitas balok

Berikut ini tahapan perhitungan momen kapasitas dari balok-balok yang mengekang kolom pada joint yang di tinjau, baik arah X maupun arah Y. Pada penelitian ini ditinjau hanya 1 arah saja yaitu arah Y karena keempat balok yang mengekang adalah sama konfigurasi tulangannya yang akan menghasilkan M_{pr} yang sam.



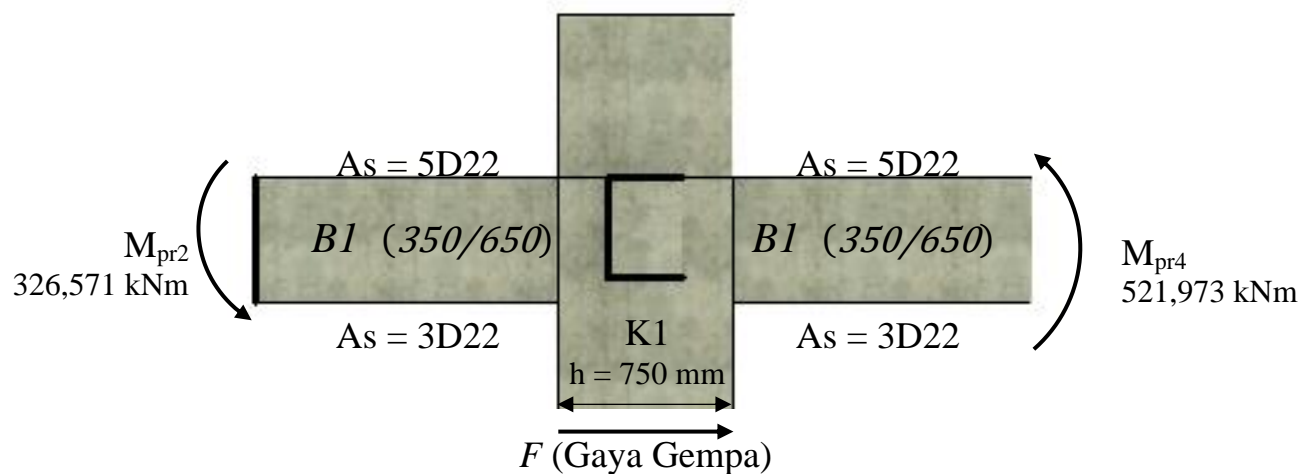
Gambar 5.159 Skema Hubungan Balok-Kolom

(Sumber: Hasil Analisis Penulis, 2025)



Gambar 5.160 Skema Momen Kapasitas Arah Y ketika Gempa Kanan

(Sumber: Hasil Analisis Penulis, 2025)



Gambar 5.161 Skema Momen Kapasitas Arah Y ketika Gempa Kiri

(Sumber: Hasil Analisis Penulis, 2025)

- 1) Perhitungan momen kapasitas; Struktur bergoyang ke kanan

Balok B1; Tulangan tarik, $As = 5D25$.

$$a_{pr1} = \frac{1,25 \cdot A_s \cdot f_y}{0,85 \cdot f_c' \cdot b}$$

$$= \frac{1,25 \cdot 1900,664 \cdot 420}{0,85 \cdot 30 \cdot 350}$$

$$= 111,804 \text{ mm}$$

$$M_{pr1} = 1,25 \cdot A_s \cdot f_y \left(d - \frac{a_{pr1}}{2} \right)$$

$$= 1,25 \cdot 1900,664 \cdot 420 \left(579 - \frac{111,804}{2} \right)$$

$$= 521972615,3 \text{ Nmm}$$

Balok B1; Tulangan tarik, As = 3D22.

$$\begin{aligned} a_{pr3} &= \frac{1,25 \cdot A_s \cdot f_y}{0,85 \cdot f_c' \cdot b} \\ &= \frac{1,25 \cdot 1520,531.420}{0,85 \cdot 30.350} \\ &= 67,082 \text{ mm} \end{aligned}$$

$$\begin{aligned} M_{pr3} &= 1,25 \cdot A_s \cdot f_y \cdot (d - \frac{a_{pr1}}{2}) \\ &= 1,25 \cdot 1140,398.420 \cdot (579 - \frac{67,082}{2}) \\ &= 326571150,5 \text{ Nmm} \end{aligned}$$

Jadi momen kapasitas arah Y ketika struktur bergoyang ke kanan adalah sebesar.

$$\sum M_{nb} - Y = 521972615,3 + 326571150,5 = 848543765,8 \text{ Nmm}$$

- 2) Perhitungan momen kapasitas; Struktur bergoyang ke kiri

Balok B1; Tulangan tarik, As = 5D22

$$\begin{aligned} a_{pr2} &= \frac{1,25 \cdot A_s \cdot f_y}{0,85 \cdot f_c' \cdot b} \\ &= \frac{1,25 \cdot 1900,664.420}{0,85 \cdot 30.350} \\ &= 111,804 \text{ mm} \\ M_{pr2} &= 1,25 \cdot A_s \cdot f_y \cdot (d - \frac{a_{pr1}}{2}) \\ &= 1,25 \cdot 1900,664.420 \cdot (579 - \frac{111,804}{2}) \\ &= 521972615,3 \text{ Nmm} \end{aligned}$$

Balok B1; Tulangan tarik, As = 3D22.

$$\begin{aligned} a_{pr4} &= \frac{1,25 \cdot A_s \cdot f_y}{0,85 \cdot f_c' \cdot b} \\ &= \frac{1,25 \cdot 1520,531.420}{0,85 \cdot 30.350} \\ &= 67,082 \text{ mm} \\ M_{pr4} &= 1,25 \cdot A_s \cdot f_y \cdot (d - \frac{a_{pr1}}{2}) \end{aligned}$$

$$= 1,25 \cdot 1140,398 \cdot 420 \cdot (579 - \frac{67,082}{2}) \\ = 326571150,5 \text{ Nmm}$$

Jadi momen kapasitas arah Y ketika struktur bergoyang ke kiri sebesar.

$$\sum M_{nb} - Y = 521972615,3 + 326571150,5 = 848543765,8 \text{ Nmm}$$

Pada arah tinjauan arah X, hasilnya tetap sama karena balok yang mengekang mempunyai konfigurasi tulangan yang sama sehingga hasil M_{pr} tetap sama para arah X maupun Y.

c. Gaya geser pada kolom

1) Struktur bergoyang ke kanan

$$V_{swy} = \frac{(M_{pr1} + M_{pr3})}{2 \times l_o} \\ = \frac{(521972615,3 + 326571150,5)}{2 \times 3350} \\ = 126648,323 \text{ Nmm}$$

2) Struktur bergoyang ke kiri

$$V_{swy} = \frac{(M_{pr2} + M_{pr4})}{2 \times l_o} \\ = \frac{(521972615,3 + 326571150,5)}{2 \times 3350} \\ = 126648,323 \text{ Nmm}$$

Pada arah tinjauan arah X, hasilnya tetap sama karena balok yang mengekang mempunyai konfigurasi tulangan yang sama sehingga hasil M_{pr} dan V_{swy} tetap sama para arah X maupun Y.

d. Gaya tarik pada tulangan balok

1) Gaya tarik pada struktur bergoyang ke kanan

$$T_1(5D25) = A_{s1} \times 1,25 f_y = 1900,664 \times 1,25 \times 420 = 997848,367 \text{ Nmm} \\ T_3(4D22) = A_{s3} \times 1,25 f_y = 1140,398 \times 1,25 \times 420 = 598709,02 \text{ Nmm}$$

2) Gaya tarik pada struktur bergoyang ke kiri

$$T_2(5D25) = A_{s2} \times 1,25 f_y = 1140,398 \times 1,25 \times 420 = 598709,02 \text{ Nmm} \\ T_4(4D22) = A_{s4} \times 1,25 f_y = 1900,664 \times 1,25 \times 420 = 997848,367 \text{ Nmm}$$

e. Gaya geser joint

1) Gaya geser (V_u) arah x gempa kanan

$$\begin{aligned}
 V_{u1} &= T_1 + T_3 - V_{swy} \\
 &= 997848,367 + 598709,02 - 126648,323 \\
 &= 1469909,063 \text{ N}
 \end{aligned}$$

2) Gaya geser (V_u) arah x gempa kanan

$$\begin{aligned}
 V_{u2} &= T_2 + T_4 - V_{swy} \\
 &= 997848,367 + 598709,02 - 126648,323 \\
 &= 1469909,063 \text{ N}
 \end{aligned}$$

Dikarenakan konfigurasi tulangan pada keempat balok yang mengekang kolom mempunyai tulangan yang sama, maka nilai V_u pada arah Y akan sama besarnya dengan arah x yaitu V_u sebesar 1469909,063 N.

f. Pengecekan Geser ijin joint (V_{ijin})

Mengacu pada SNI 2847:2019 Tabel 18.8.4.1 Hal-395 dengan reduksi sebesar 0,85 sesuai SNI 2847:2019 Pasal 21.2.4.3 Hal-475. Dikarenakan joint desain terkekang oleh keempat balok, maka nilai γ diambil sebesar 1,7.

$$\begin{aligned}
 V_{ijin} &= \emptyset \gamma \sqrt{fc} A_j \\
 &= 0,85 \times 1,7 \times \sqrt{30} \times 487500 \\
 &= 4539250,695 \text{ N} > 1469909,063 \text{ N} (V_u), \text{ sehingga memenuhi syarat.}
 \end{aligned}$$

g. Menghitung tulangan geser joint (ditinjau arah x)

Diperoleh melalui permodelan *ETABS*, $N_u = 1771674,5 \text{ N}$

$$\begin{aligned}
 V_c &= 0,17 \left(1 + \frac{N_u}{14A_g} \right) \lambda \sqrt{f_c b d} \\
 &= 0,17 \left(1 + \frac{1771674,5}{14 \times 487500} \right) 1 \sqrt{30} \times 650 \times 676 \\
 &= 515344,243 \text{ N} \\
 V_{s_{perlu}} &= \frac{V_u}{\phi} - V_c = \frac{1469909,063}{0,75} - 515344,243 = 1444534,508 \text{ N}
 \end{aligned}$$

Dicoba menggunakan 4D13 dengan jarak sengkang 80 mm dan mutu tulangan 420 MPa. Sehingga dapat dihitung luasan tulangan geser yang diperlukan sebagai berikut.

$$V_s \text{ pakai} = \frac{A_s \times f_y \times d}{s}$$

$$\begin{aligned}
 &= \frac{4 \times 1/4 \times \pi \times 13^2 \times 420 \times 676}{80} \\
 &= 1884267,583 \text{ N} > 1444534,508 \text{ N} (\text{Vsperlu})
 \end{aligned}$$

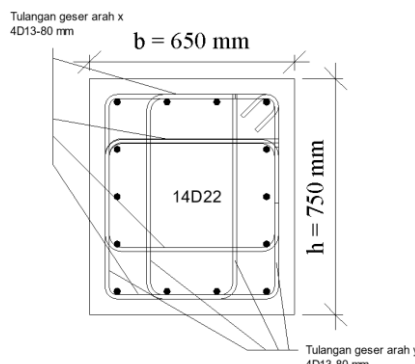
Ditinjau juga arah pada arah Y, berikut rekapitulasi perhitungan desain tulangan geser pada hubungan balok-kolom.

Tabel 5.72 Rekapitulasi Hasil Desain Tulangan Geser HBK

Perangkat Lunak	Posisi	Tulangan geser	Vc (kN)	Vs (kN)	ϕV_n (kN)	Vu (kN)	Vizin (kN)	Ratio	Rata-rata Rasio
ETABS	Arah X	4D13-80mm	515,344	1884,268	1799,709	1469,909	4539,251	0,817	0,872
	Arah Y	4D13-80mm	506,665	1605,530	1584,146	1469,909	4539,251	0,928	
TSD	Arah X	4D13-80mm	515,595	1884,268	1799,897	1469,909	4539,251	0,817	0,872
	Arah Y	4D13-80mm	506,912	1605,530	1584,331	1469,909	4539,251	0,928	

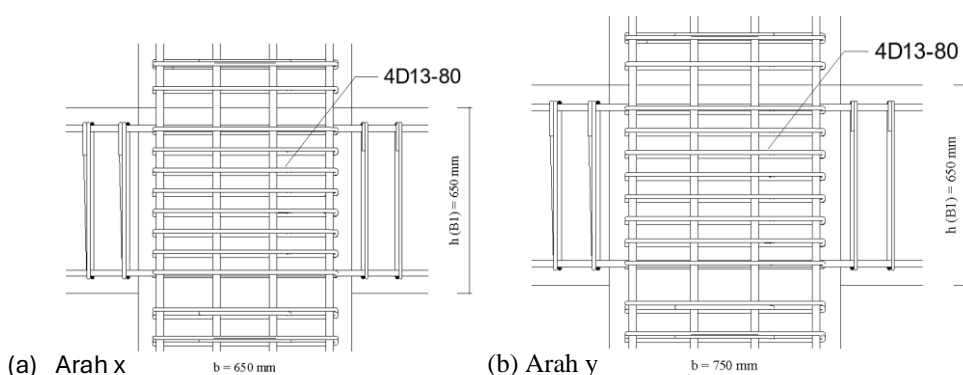
(Sumber: Hasil Analisis Penulis, 2025)

Hasil perencanaan tulangan geser HBK grid 2/D-2 lantai 2 didapat bahwa rasio rata-rata yang dihasilkan oleh kedua perangkat lunak adalah sama yaitu sebesar 0,872.



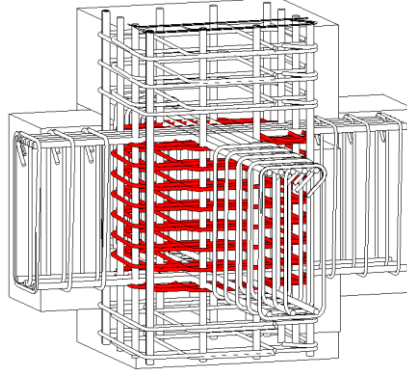
Gambar 5.1612 Detail Joint 2/D-2

(Sumber: Hasil Analisis Penulis, 2025)



Gambar 5.163 Potongan Joint (a) Arah X dan (b) Arah Y

(Sumber: Hasil Analisis Penulis, 2025)



Gambar 5.164 3D Joint 2/D-2

(Sumber: Hasil Analisis Penulis, 2025)

Desain kapasitas geser joint pada *TSD* dapat dihitung secara otomatis namun tidak dengan desain tulangan jointnya, berikut tampilan output perhitungan desain oleh *TSD*. Pada perhitungan otomatis *TSD*, kapasitas joint lebih besar dibanding gaya geser yang terjadi pada joint sehingga joint diizinkan menahan gaya geser yang terjadi.

Stack 1 650x750 - Seismic - Shear Links - Joint Shear Strength - Major Load Direction	
▷ Effective joint area	$A_j = b_{w,joint} \times h = 487500,000 \text{ mm}^2$
Strength reduction factor	$\phi = 0,850$
Concrete compressive strength	$f'_c = 30,000 \text{ N/mm}^2$
Joint strength coefficient	$\gamma = 1,000$
△ Nominal shear strength	
▷ Force in beam reinforcement for negative moments for sway left case	$\phi \times V_n = \phi \times \gamma \times \sqrt{f'_c} \times A_j = 2269,625 \text{ kN}$ ACI 318-14 Section 18.8.4.1
▷ Force in beam reinforcement for positive moments for sway left case	$T_{pl,A} = \eta \times \sum(A'_{beam} \times f_y) = 997,849 \text{ kN}$
▷ Column shear	$T_{pl,S} = \eta \times \sum(A'_{beam} \times f_y) = 598,709 \text{ kN}$
△ Expected joint shear for sway left case	$V_{col} = ((M_{pl,S}^* + M_{pl,A}) + (V_{e2,A} + V_{e1,S}) \times h / 2) / l_c = 238,678 \text{ kN}$
Joint strength utilization ratio	$V_j = 1357,881 \text{ kN}$
✓ Pass	$V_j / (\phi \times V_n) = 0,598$
▷ Force in beam reinforcement for negative moments for sway right case	$T_{pl,A} = \eta \times \sum(A'_{beam} \times f_y) = 997,849 \text{ kN}$
▷ Force in beam reinforcement for positive moments for sway right case	$T_{pl,S} = \eta \times \sum(A'_{beam} \times f_y) = 598,709 \text{ kN}$
▷ Column shear	$V_{col} = ((M_{pl,S}^* + M_{pl,A}) + (V_{e2,A} + V_{e1,S}) \times h / 2) / l_c = 238,678 \text{ kN}$
△ Expected joint shear for sway right case	$V_j = 1357,881 \text{ kN}$
Joint strength utilization ratio	$V_j / (\phi \times V_n) = 0,598$
✓ Pass	

Gambar 5.165 Tampilan Perhitungan Kapasitas Geser Joint 2/D-2 Pada *TSD*

(Sumber: Hasil Analisis Penulis, 2025)

BAB 6

KESIMPULAN DAN SARAN

6.1 Kesimpulan

Berikut kesimpulan yang didapat setelah dilakukan pembahasan pada bab sebelumnya, maka didapat kesimpulan sebagai berikut:

- a. Gaya gempa yang dihasilkan pada *TSD* lebih besar dari pada *ETABS* dengan selisih terbesar pada lantai 10 sebesar 680,374 kg pada arah x dan arah y. Perbedaan ini disebabkan karena berat bangunan yang dihasilkan kedua perangkat lunak nilainya lebih besar *TSD* sehingga nilai gaya gempa yang dihasilkan *TSD* lebih besar..
- b. Simpangan antar tingkat yang dihasilkan pada kedua perangkat lunak memiliki rasio yang bervariasi pada arah x maupun arah y, namun rata-rata rasio yang dihasilkan pada kedua perangkat lunak adalah sama sebesar 0,535 pada arah x dan 0,547 pada arah y.
- c. Hasil desain tulangan lentur pelat didapat hasil bahwa rasio tulangan rata-rata yang dihasilkan oleh *TSD* cenderung lebih besar dibandingkan dengan *ETABS*. Rasio tulangan yang dihasilkan oleh *TSD* sebesar 0,657, sedangkan *ETABS* memiliki rasio lebih kecil yaitu sebesar 0,559. Hasil perencanaan tulangan lentur balok didapat hasil bahwa rata-rata rasio tulangan yang dihasilkan oleh *ETABS* lebih besar dibandingkan *TSD*. Hasil rata-rata rasio tulangan pada *ETABS* sebesar 0,808, sedangkan *TSD* sebesar 0,761. Hasil perencanaan tulangan geser balok didapat hasil bahwa rata-rata rasio tulangan yang dihasilkan oleh *TSD* lebih besar dibandingkan *ETABS*. Hasil rata-rata rasio tulangan pada *TSD* sebesar 0,672, sedangkan *TSD* sebesar 0,599. Hasil perencanaan tulangan longitudinal kolom pada grid 2/D lantai 1 didapat rasio rata-rata pada *TSD* lebih besar dari pada *ETABS* dengan rasio rata-rata pada *TSD* sebesar 0,185, dan *ETABS* sebesar 0,184. Hasil perencanaan tulangan geser kolom grid 2/D lantai 1 didapat bahwa rasio rata-rata yang dihasilkan oleh kedua perangkat lunak adalah sama yaitu sebesar 0,214. Hasil perencanaan

tulangan geser HBK 3B-2 didapat bahwa rasio rata-rata yang dihasilkan oleh kedua perangkat lunak adalah sama yaitu sebesar 0,872. Hasil ini menunjukkan bahwa perangkat lunak *TSD* lebih konservatif dalam mendesain tulangan lentur pelat, tulangan geser balok, dan tulangan lentur kolom. Perangkat lunak *ETABS* lebih konservatif dalam mendesain tulangan lentur balok. Pada desain tulangan geser kolom dan tulangan geser HBK kedua perangkat lunak menunjukkan hasil yang sama.

6.2 Saran

Berdasarkan analisis dan perhitungan yang dilakukan dengan menggunakan perangkat lunak *ETABS* dan *TSD*, saran yang dapat peneliti berikan adalah:

- a. Disarankan ketika melakukan analisis dan desain struktur pada perangkat lunak *ETABS* maupun *TSD*, wajib diperhatikan peraturan yang dipakai dalam permodelan karena sangat berpengaruh pada nilai-nilai yang akan digunakan sesuai peraturan yang dipilih pada permodelan.
- b. Penelitian selanjutnya dapat membandingkan dengan perangkat lunak analisis struktur lain.
- c. Penelitian selanjutnya dapat meninjau perilaku struktur yang dihasilkan kedua perangkat lunak dengan beban gempa prosedur *time history analysis* untuk mengetahui perilaku struktur yang lebih mendalam.

DAFTAR PUSTAKA

- Azis Syah, M., Zacky Ardhyan, M., Fajri, H., & Purwandito, M. (2023). Jurnal Ilmiah Rekayasa Sipil Perbandingan Analisis Struktur Gedung Laboratorium PGSD Universitas Samudra Metode Sistem Rangka Pemikul Momen Khusus Menggunakan *ETABS* dan BIM Tekla Struktural Designer. *Edisi Oktober*, 20(2), 2023. <http://ejournal2.pnp.ac.id/index.php/jirs/>
- Badan Standarisasi Nasional (2019). SNI 1726:2019 *Tata Cara Perencanaan Ketahanan Gempa Untuk Struktur Bangunan Gedung Dan Nongedung*.
- Badan Standarisasi Nasional (2019). SNI 2847-2019 *Persyaratan Beton Struktural Untuk Bangunan Gedung Dan Penjelasan*.
- Badan Standarisasi Nasional (2020). SNI 1727-2020 *Beban Desain Minimum Dan Kriteria Terkait Untuk Bangunan Gedung Dan Struktur Lain*.
- Bingly, Y., Setia, L., Wibowo, B., Shofwan, M., & Cahyono, D. (2021). *Seminar Nasional Ilmu Terapan V 2021 Universitas Widya Kartika MATERIAL MUTU NORMAL DAN MUTU TINGGI*.
- Iswandi Imran, F. H. (n.d.). Perencanaan Lanjut Struktur Beton Bertulang.
- Jaglien, F., Servie, L., Dapas, O., & Wallah, S. E. (2020). PERENCANAAN STRUKTUR BETON BERTULANG GEDUNG KULIAH 5 LANTAI. *Jurnal Sipil Statik*, 8(4), 471–482.
- Lesmana, Y. (2020). *Handbook Desain Struktur Beton Bertulang Bedasarkan SNI 2847-2019* (Edisi Pert). CV. Nas Media Pustaka.
- Lesmana, Y. (2020). *Handbook Prosedur Analisa Beban Gempa Bedasarkan SNI 1726-2019* (Edisi Pert). CV. Nas Media Pustaka.
- Lesmana, Y. (2023). *Analisa Dan Desain Struktur Tahan Gempa Beton Bertulang (SRPMB, SRPMM, SRPMK)*. CV. Nas Media Pustaka.
- Jing Xian, W., & Soffi Md Noh, M. (2022). Comparative Study in the Design of a Reinforced Concrete Structure. *Recent Trends in Civil Engineering and Built Environment*, 3(1), 1169–1177. <http://publisher.uthm.edu.my/periodicals/index.php/rtcebe>
- Madutujuh, N. (2018). Rehabilitasi dan Mitigasi Pasca Bencana Gempa Palu 28 Sept 2018 " Sistem Struktur dan Pondasi Bangunan Tahan Gempa , Retakan t SEMINAR “Rehabilitasi Dan Mitigasi Pasca Bencana Gempa Palu 28 Sept

2018, " January.

- Pamungkas, A. (2021). Contoh Laporan Perencanaan Struktur Gedung Beton Bertulang (Edisi Pert). CV. Budi Utama.
- Rifandi, I. (2020). Analisis Beban Gempa dengan Metode Statik Ekuivalen Berdasarkan SNI 1726-2019 pada Gedung IPAL (Studi Kasus Proyek Pembangunan Gedung IPAL UT-HO-Jakarta Timur). *Jurnal Konstruksi*, 18(18), 72–82. <http://jurnal.sttgarut.ac.id/>
- Rusliyana, I. (2024). ANALISIS KINERJA STRUKTUR GEDUNG DENGAN MENGGUNAKAN SAP2000 DAN TEKLA STRUCTURAL DESIGNER. In *FTSP Series*.
- S.E, M. Y., & Machmoed, S. P. (2021). Perencanaan Gedung Apartemen D'Rini 10 Lantai Dengan Struktur Beton Ringan Bj 1760 Kg/M3 Bertulang Tahan Gempa Menggunakan Srpmk. *Axial : Jurnal Rekayasa Dan Manajemen Konstruksi*, 9(3), 163. <https://doi.org/10.30742/axial.v9i3.1765>

LAMPIRAN



UNIV. SULTAN AGENG
TIRTAYASA
FAKULTAS TEKNIK
JURUSAN TEKNIK SIPIL
PRODI SI

TUGAS AKHIR

PERBANDINGAN
PERENCANAAN STRUKTUR
GEDUNG SRPMK
MENGGUNAKAN *ETABS* DAN
TEKLA STRUCTURAL DESIGNER

DAFTAR GAMBAR

TUGAS AKHIR
PERBANDINGAN PERENCANAAN STRUKTUR GEDUNG SRPMK
MENGGUNAKAN *ETABS* DAN *TEKLA STRUCTURAL DESIGNER*

NAMA: RIZKI ARDIYANSAH
NIM: 3336210023

CATATAN		
GAMBAR	SKALA	
COVER		
DIGAMBAR	TGL	PARAF
	18/06/2025 15:49:55	
JML. LBR	NO. LBR	KODE
	00	STR



UNIV. SULTAN AGENG
TIRTAYASA
FAKULTAS TEKNIK
JURUSAN TEKNIK SIPIL
PRODI SI

TUGAS AKHIR

PERBANDINGAN
PERANCANGAN STRUKTUR
GEDUNG SRPMK
MENGGUNAKAN ETABS DAN
TEKLA STRUCTURAL DESIGNER

NAMA	NIM
------	-----

Rizki Ardiyansah	3336210023
------------------	------------

DIPERIKSA	TGL/PARAF
-----------	-----------

DOSEN PEMBIMBING 1	BAEHIAKU S.T, M.ENG
--------------------	---------------------

DOSEN PEMBIMBING 2	DR. SOELARSO, S.T, M.ENG
--------------------	--------------------------

DISETUJUI	TGL/PARAF
-----------	-----------

DOSEN PEMBIMBING 1	BAEHIAKU S.T, M.ENG
--------------------	---------------------

DOSEN PEMBIMBING 2	DR. SOELARSO, S.T, M.ENG
--------------------	--------------------------

CATATAN	
---------	--

GAMBAR	SKALA
--------	-------

DAFTAR ISI	
------------	--

DIGAMBAR	TGL	PARAF
----------	-----	-------

	18/06/2025 15:49:56	
--	------------------------	--

JML. LBR	NO. LBR	KODE
----------	---------	------

	01	STR
--	----	-----

DAFTAR ISI

Halaman	Judul Gambar	Skala
00	COVER	-
01	DAFTAR ISI	-
02	DENAH KOLOM BALOK PELAT LT 1-4	1:150
03	DENAH KOLOM BALOK PELAT LT 5	1:150
04	DENAH KOLOM BALOK PELAT LT 6-9	1:150
05	DENAH BALOK PELAT LT 10	1:150
06	POTONGAN A-A & POTONGAN 1-1	1:200
07	DENAH DAN POTONGAN PELAT (GRID 23/A-23/B LT 10)	As Indicated
08	POTONGAN DAN DETAIL BALOK B1 (GRID 2/C-D LT 1)	As Indicated
09	POTONGAN DAN DETAIL KOLOM K1 (GRID 2/D LT 1)	As Indicated
10	POTONGAN DAN DETAIL HBK (GRID 2/D LT 2)	As Indicated



UNIV. SULTAN AGENG
TIRTAYASA
FAKULTAS TEKNIK
JURUSAN TEKNIK SIPIL
PRODI SI

TUGAS AKHIR

PERBANDINGAN
PERANCANGAN STRUKTUR
GEDUNG SRPMK
MENGGUNAKAN ETABS DAN
TEKLA STRUCTURAL DESIGNER

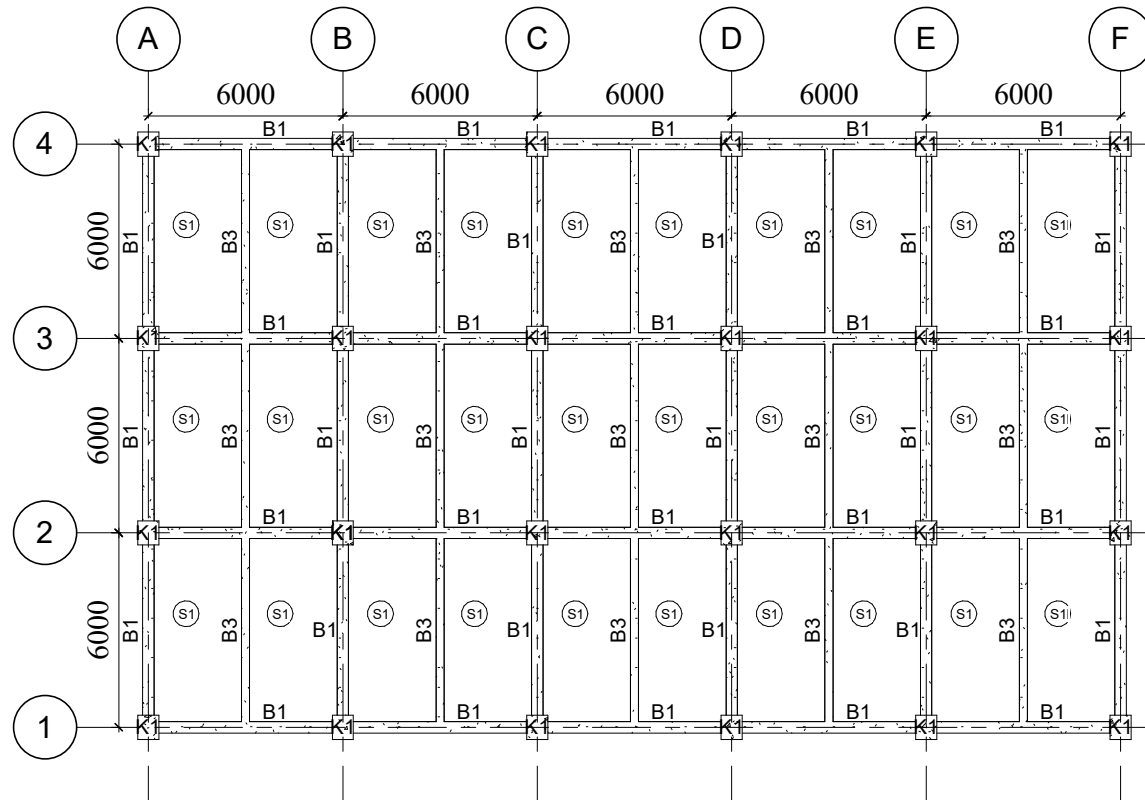
NAMA	NIM
Rizki Ardiansah	3336210023
DIPERIKSA	TGL/PARAF
DOSEN PEMBIMBING 1	BAEHIKI S.T, M.ENG
DOSEN PEMBIMBING 2	DR. SOELARSO, S.T, M.ENG
DISETUJUI	TGL/PARAF
DOSEN PEMBIMBING 1	BAEHIKI S.T, M.ENG
DOSEN PEMBIMBING 2	DR. SOELARSO, S.T, M.ENG

CATATAN

GAMBAR	SKALA
DENAH KOLOM BALOK PELAT LT 1-4	1 : 150

DIGAMBAR	TGL	PARAF
	18/06/2025 15:49:56	

JML. LBR	NO. LBR	KODE
	02	STR



1 DENAH KOLOM BALOK PELAT LT 1-4
1 : 150



UNIV. SULTAN AGENG
TIRTAYASA
FAKULTAS TEKNIK
JURUSAN TEKNIK SIPIL
PRODI SI

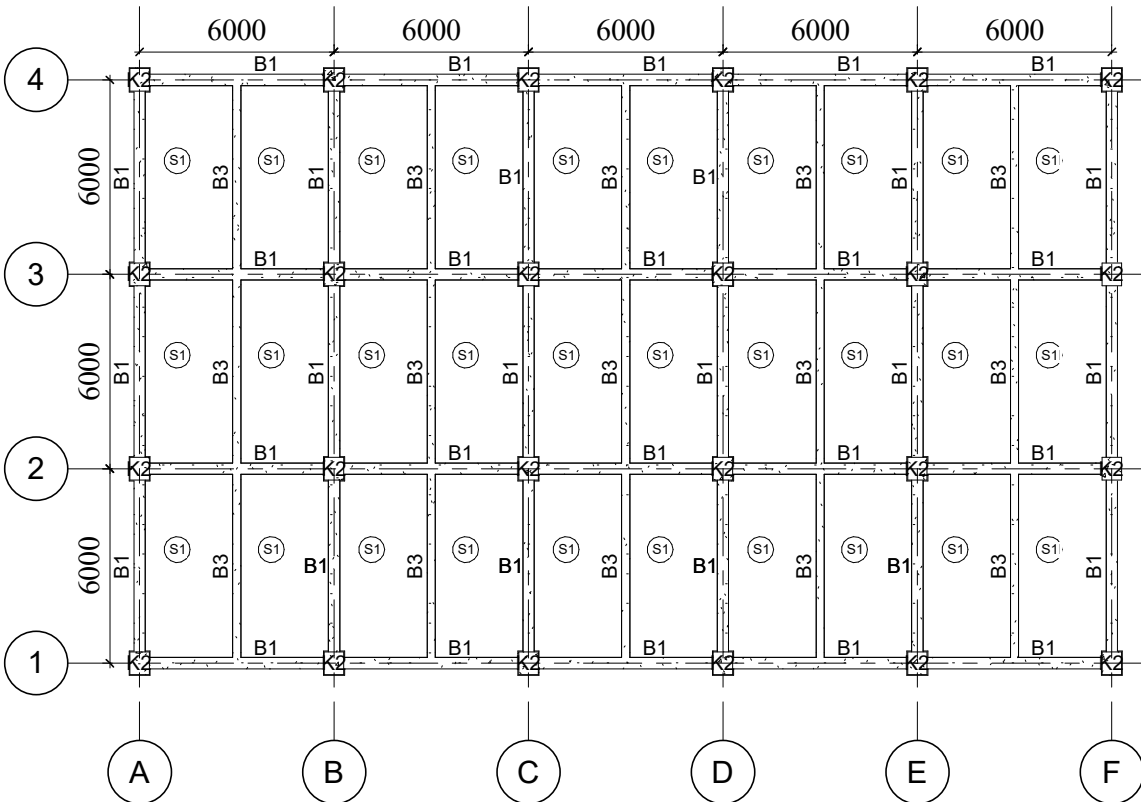
TUGAS AKHIR

PERBANDINGAN
PERANCANGAN STRUKTUR
GEDUNG SRPMK
MENGGUNAKAN ETABS DAN
TEKLA STRUCTURAL DESIGNER

NAMA	NIM
Rizki Ardiansah	3336210023
DIPERIKSA	TGL/PARAF
DOSEN PEMBIMBING 1	BAEHIKI S.T,MENG
DOSEN PEMBIMBING 2	DR. SOELARSO, S.T, M.ENG
DISETUJUI	TGL/PARAF
DOSEN PEMBIMBING 1	BAEHIKI S.T,MENG
DOSEN PEMBIMBING 2	DR. SOELARSO, S.T, M.ENG

CATATAN

GAMBAR	SKALA
DENAH KOLOM BALOK PELAT LT 5	1 : 150
DIGAMBAR	TGL
	18/06/2025 15:49:57
JML. LBR	NO. LBR
	03
KODE	STR



1 DENAH KOLOM BALOK PELAT LT 5
1 : 150



UNIV. SULTAN AGENG
TIRTAYASA
FAKULTAS TEKNIK
JURUSAN TEKNIK SIPIL
PRODI SI

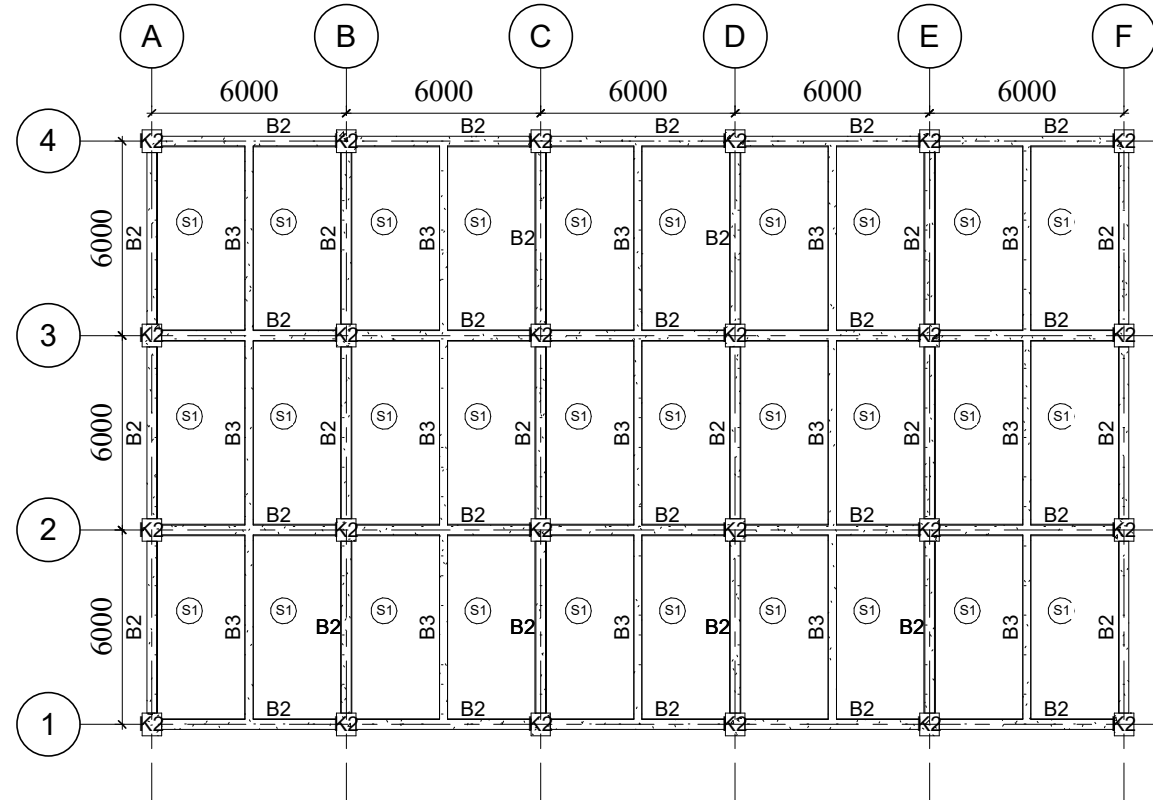
TUGAS AKHIR

PERBANDINGAN
PERANCANGAN STRUKTUR
GEDUNG SRPMK
MENGGUNAKAN ETABS DAN
TEKLA STRUCTURAL DESIGNER

NAMA	NIM
Rizki Ardiansah	3336210023
DIPERIKSA	TGL/PARAF
DOSEN PEMBIMBING 1	BAEHIKI S.T, M.ENG
DOSEN PEMBIMBING 2	DR. SOELARSO, S.T, M.ENG
DISETUJUI	TGL/PARAF
DOSEN PEMBIMBING 1	BAEHIKI S.T, M.ENG
DOSEN PEMBIMBING 2	DR. SOELARSO, S.T, M.ENG

CATATAN

GAMBAR	SKALA	
DENAH KOLOM BALOK PELAT LT 6-9	1 : 150	
DIGAMBAR	TGL	
	18/06/2025 15:49:57	
JML. LBR	NO. LBR	KODE
	04	STR



1 DENAH KOLOM BALOK PELAT LT 6-9
1 : 150



UNIV. SULTAN AGENG
TIRTAYASA
FAKULTAS TEKNIK
JURUSAN TEKNIK SIPIL
PRODI SI

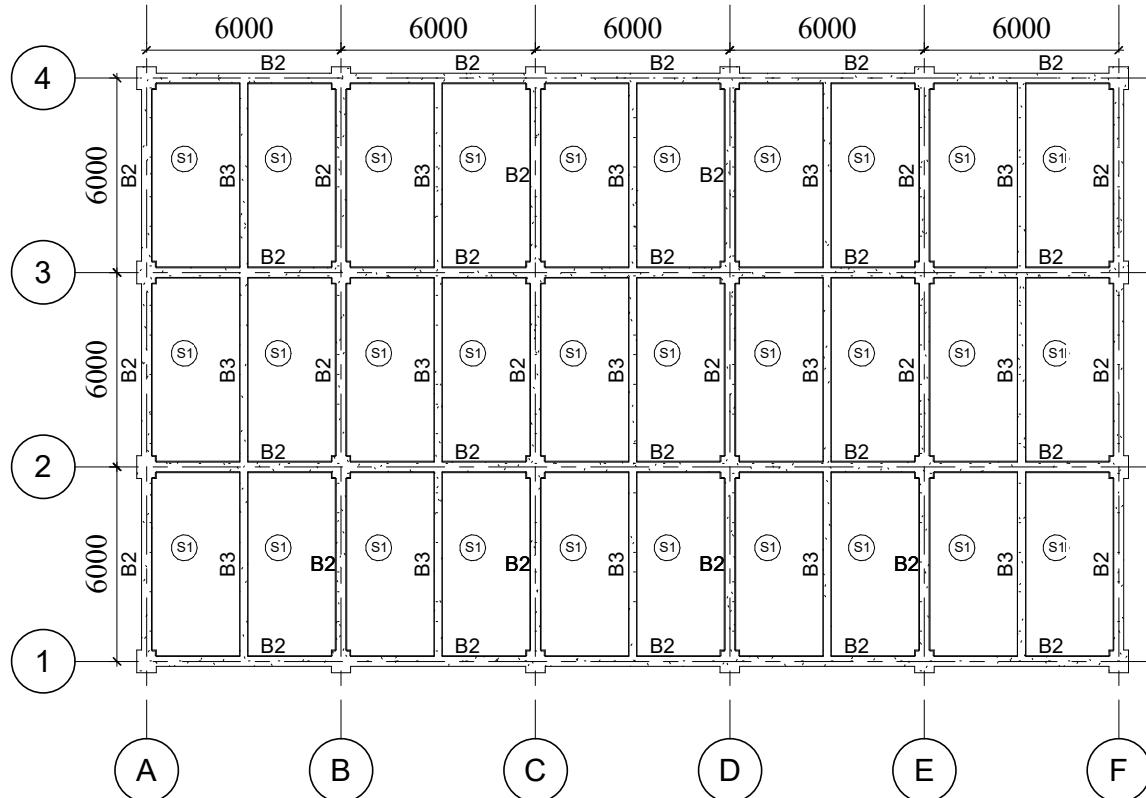
TUGAS AKHIR

PERBANDINGAN
PERANCANGAN STRUKTUR
GEDUNG SRPMK
MENGUNAKAN ETABS DAN
TEKLA STRUCTURAL DESIGNER

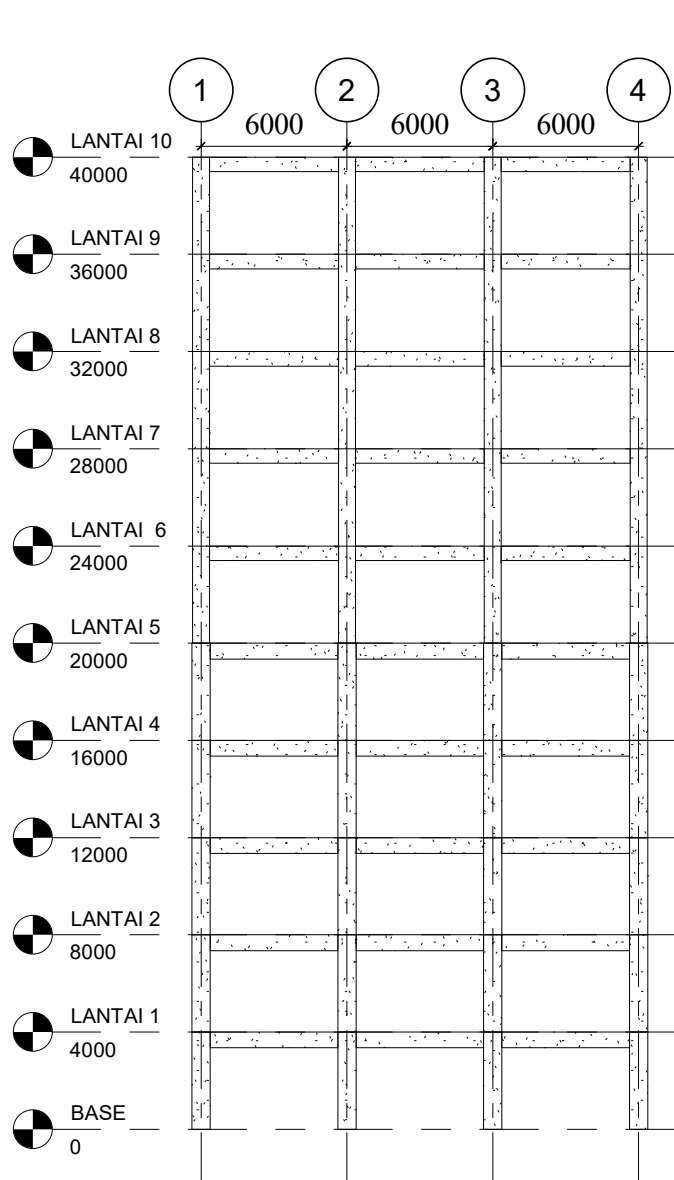
NAMA	NIM
Rizki Ardiansah	3336210023
DIPERIKSA	TGL/PARAF
DOSEN PEMBIMBING 1 BAEHIKI S.T, M.ENG	
DOSEN PEMBIMBING 2 DR. SOELARSO, S.T, M.ENG	
DISETUJUI	TGL/PARAF
DOSEN PEMBIMBING 1 BAEHIKI S.T, M.ENG	
DOSEN PEMBIMBING 2 DR. SOELARSO, S.T, M.ENG	

CATATAN

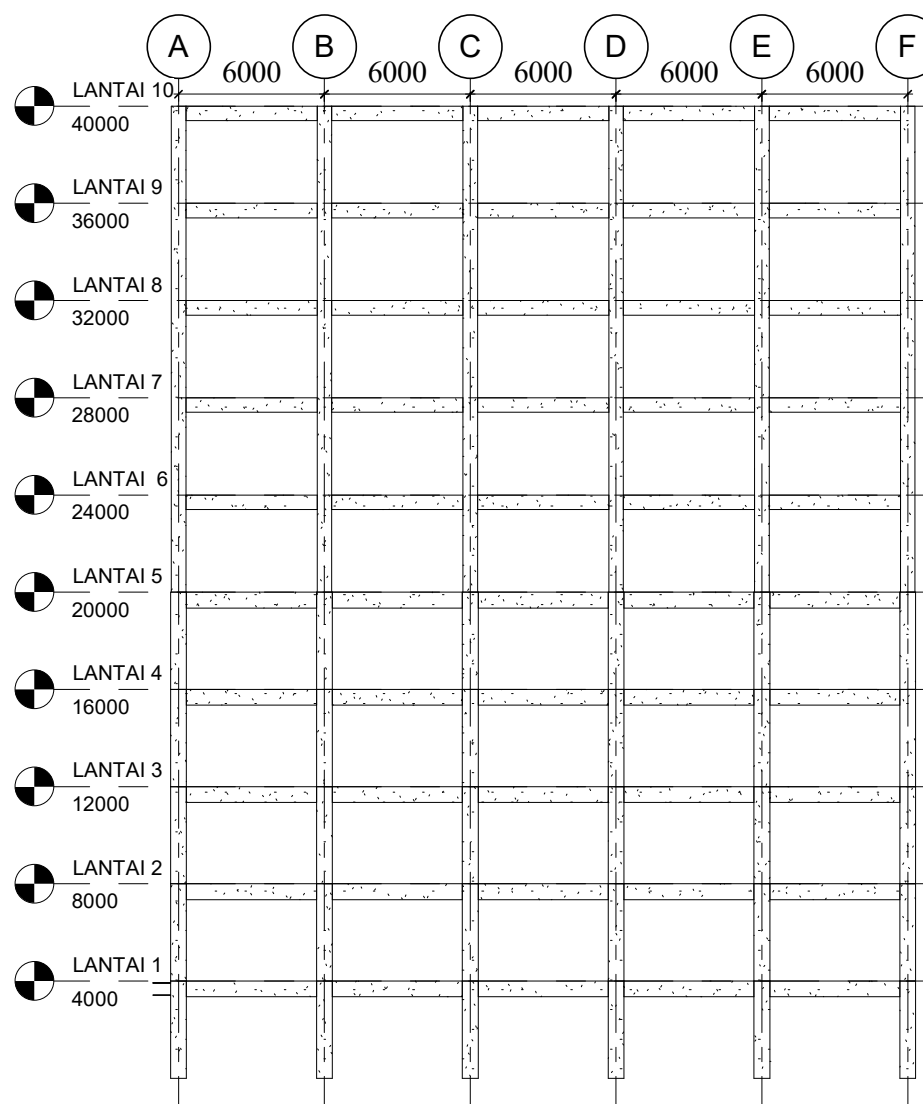
GAMBAR	SKALA	
DENAH BALOK PELAT LT 10	1 : 150	
DIGAMBAR	TGL	
	18/06/2025 15:49:58	
JML. LBR	NO. LBR	KODE
	05	STR



1 DENAH BALOK PELAT LT 10
1 : 150



1 POTONGAN A-A
1 : 200



2 POTONGAN 1-1
1 : 200



UNIV. SULTAN AGENG
TIRTAYASA
FAKULTAS TEKNIK
JURUSAN TEKNIK SIPIL
PRODI SI

TUGAS AKHIR

PERBANDINGAN
PERANCANGAN STRUKTUR
GEDUNG SRPMK
MENGGUNAKAN ETABS DAN
TEKLA STRUCTURAL DESIGNER

NAMA	NIM
Rizki Ardiansah	3336210023

DIPERIKSA	TGL/PARAF
DOSEN PEMBIMBING 1	BAEHIKI S.T, MENG
DOSEN PEMBIMBING 2	DR. SOELARSO, S.T, M.ENG

DISETUJUI	TGL/PARAF
DOSEN PEMBIMBING 1	BAEHIKI S.T, MENG
DOSEN PEMBIMBING 2	DR. SOELARSO, S.T, M.ENG

CATATAN

GAMBAR	SKALA
POTONGAN A-A & POTONGAN 1-1	1 : 200

DIGAMBAR	TGL	PARAF
	18/06/2025 15:49:58	

JML. LBR	NO. LBR	KODE
	06	STR



UNIV. SULTAN AGENG
TIRTAYASA
FAKULTAS TEKNIK
JURUSAN TEKNIK SIPIL
PRODI SI

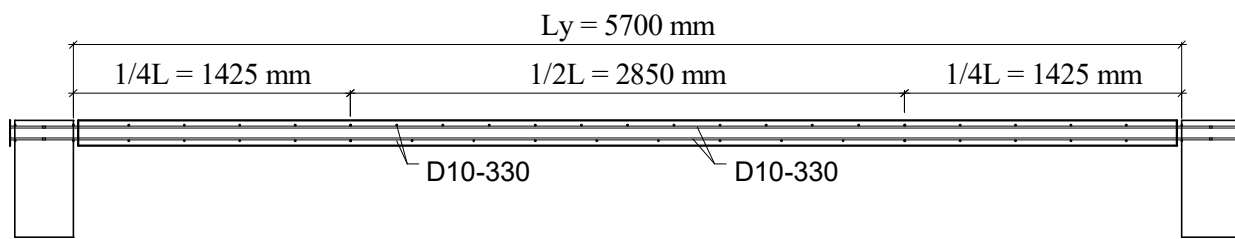
TUGAS AKHIR

PERBANDINGAN
PERANCANGAN STRUKTUR
GEDUNG SRPMK
MENGUNAKAN ETABS DAN
TEKLA STRUCTURAL DESIGNER

NAMA	NIM
Rizki Ardiansah	3336210023
DIPERIKSA	TGL/PARAF
DOSEN PEMBIMBING 1	BAEHIKI S.T, M.ENG
DOSEN PEMBIMBING 2	DR. SOELARSO, S.T, M.ENG
DISETUJUI	TGL/PARAF
DOSEN PEMBIMBING 1	BAEHIKI S.T, M.ENG
DOSEN PEMBIMBING 2	DR. SOELARSO, S.T, M.ENG

CATATAN

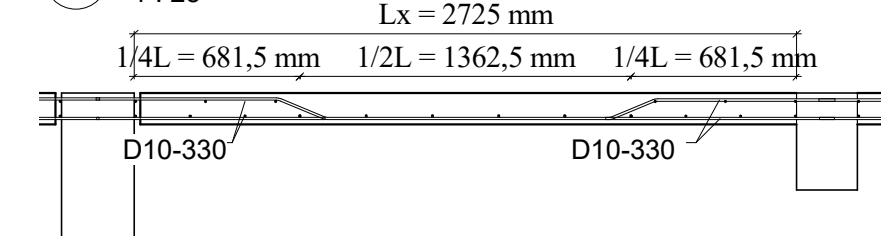
GAMBAR	SKALA
DENAH DAN POTONGAN PELAT (GRID 23/A-23/B LT 10)	As indicated
DIGAMBAR	TGL
	18/06/2025 15:49:58
JML. LBR	NO. LBR
	07
	KODE
	STR



Potongan Pelat Arah Y

3

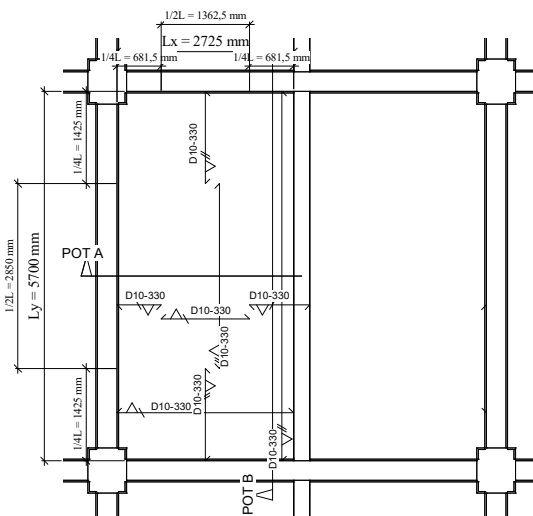
1 : 25



Potongan Pelat Arah X

2

1 : 20



Denah Tul Pelat

1 : 75



UNIV. SULTAN AGENG
TIRTAYASA
FAKULTAS TEKNIK
JURUSAN TEKNIK SIPIL
PRODI SI

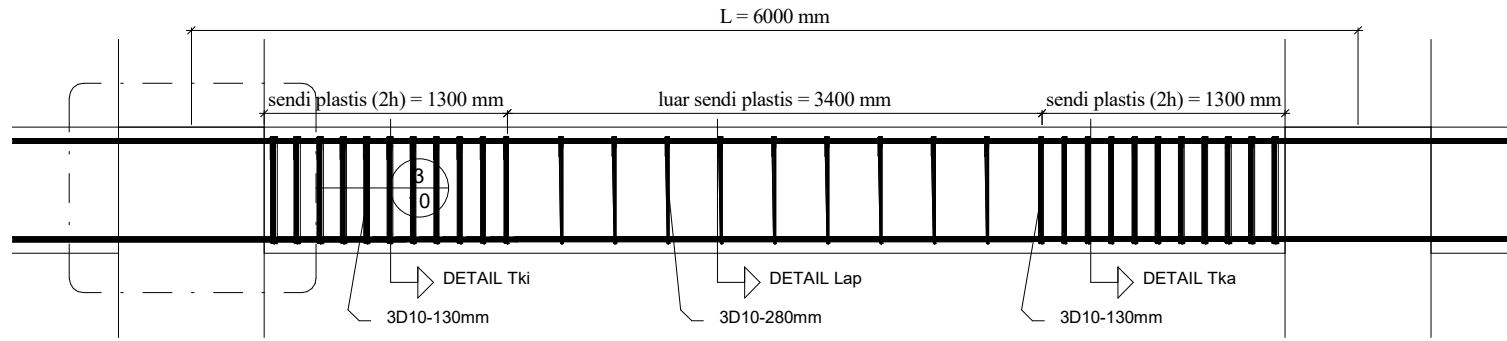
TUGAS AKHIR

PERBANDINGAN
PERANCANGAN STRUKTUR
GEDUNG SRPMK
MENGGUNAKAN ETABS DAN
TEKLA STRUCTURAL DESIGNER

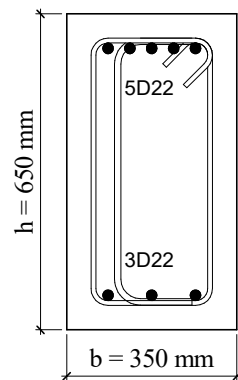
NAMA	NIM
Rizki Ardiansah	3336210023
DIPERIKSA	TGL/PARAF
DOSEN PEMBIMBING 1	BAEHIKI S.T, M.ENG
DOSEN PEMBIMBING 2	DR. SOELARSO, S.T, M.ENG
DISETUJUI	TGL/PARAF
DOSEN PEMBIMBING 1	BAEHIKI S.T, M.ENG
DOSEN PEMBIMBING 2	DR. SOELARSO, S.T, M.ENG

CATATAN

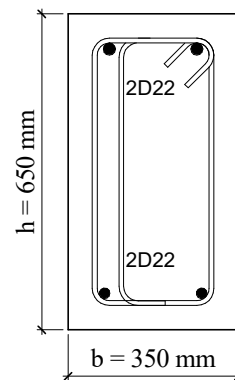
GAMBAR	SKALA
POTONGAN DAN DETAIL BALOK B1 (GRID 2/C-D LT 1)	As indicated
DIGAMBAR	TGL
	18/06/2025 15:49:59
JML. LBR	NO. LBR
	08
	KODE
	STR



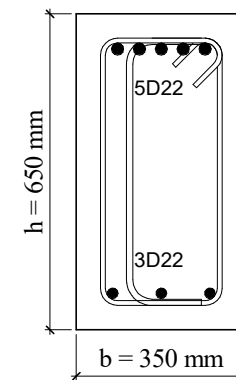
1 Potongan B1
1 : 25



2 Detail B1 TKI
1 : 10



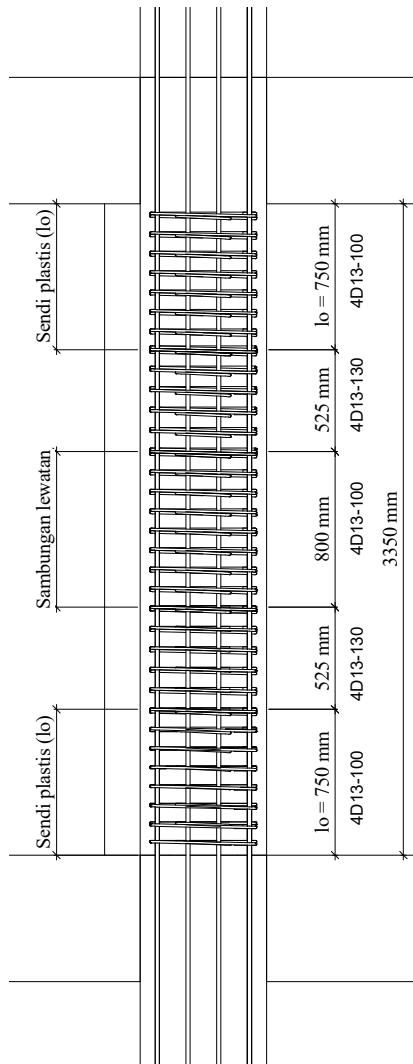
3 Detail B1 LAP
1 : 10



4 Detail B1 TKA
1 : 10

1
1 : 25

Potongan Kolom 2/D LT 1

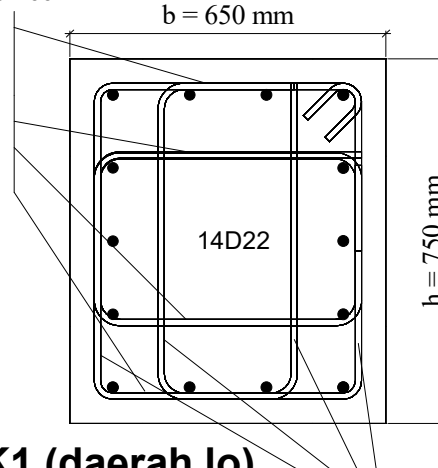


2
1 : 10

3
1 : 10

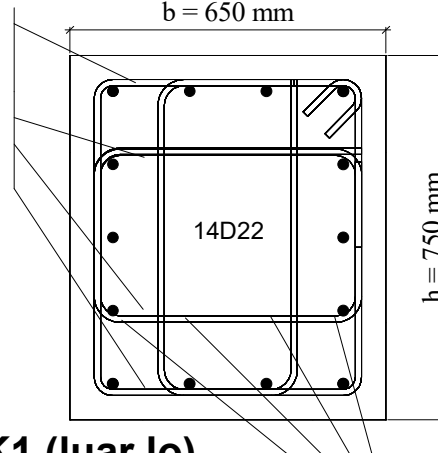
Detail Kolom K1 (daerah lo)

Tulangan geser arah x
4D13-100 mm



Tulangan geser arah y
4D13-100 mm

Tulangan geser arah x
4D13-130 mm



Tulangan geser arah y
4D13-130 mm



UNIV. SULTAN AGENG
TIRTAYASA
FAKULTAS TEKNIK
JURUSAN TEKNIK SIPIL
PRODI SI

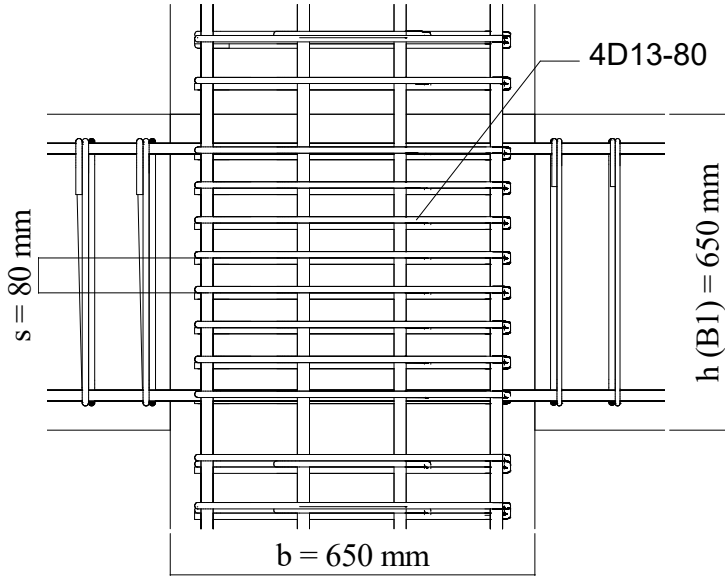
TUGAS AKHIR

PERBANDINGAN
PERANCANGAN STRUKTUR
GEDUNG SRPMK
MENGGUNAKAN ETABS DAN
TEKLA STRUCTURAL DESIGNER

NAMA	NIM
Rizki Ardiansah	3336210023
DIPERIKSA	TGL/PARAF
DOSEN PEMBIMBING 1	BAEHIAKU S.T.MENG
DOSEN PEMBIMBING 2	DR. SOELARSO, S.T, M.ENG
DISETUJUI	TGL/PARAF
DOSEN PEMBIMBING 1	BAEHIAKU S.T.MENG
DOSEN PEMBIMBING 2	DR. SOELARSO, S.T, M.ENG

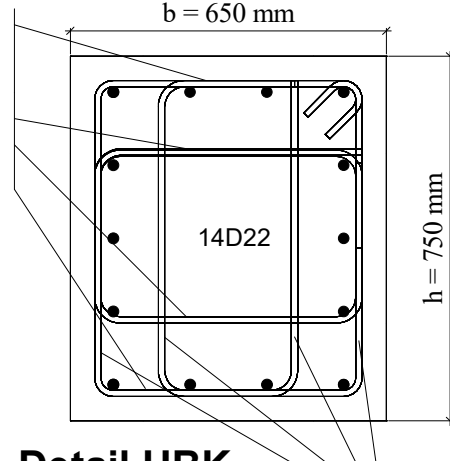
CATATAN

GAMBAR	SKALA
POTONGAN DAN DETAIL KOLOM K1 (GRID 2/D LT 1)	As indicated
DIGAMBAR	TGL
	18/06/2025 15:49:59
JML. LBR	NO. LBR
	09
	KODE
	STR

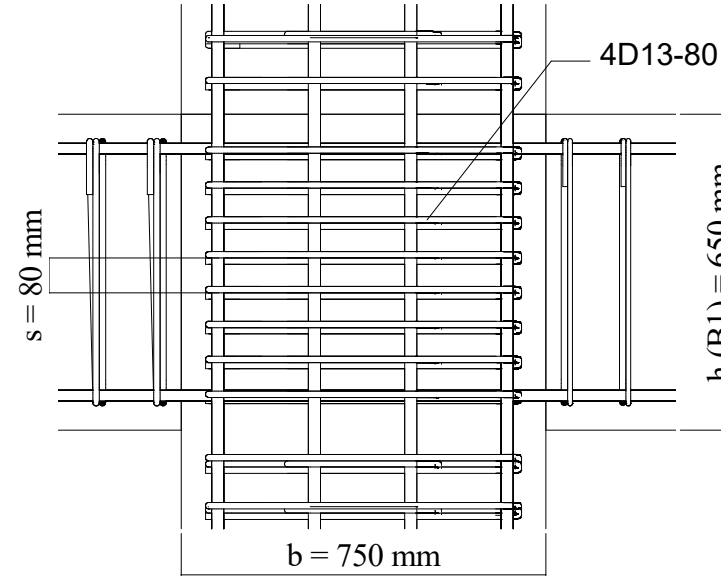


2 Potongan Joint Arah X
1 : 10

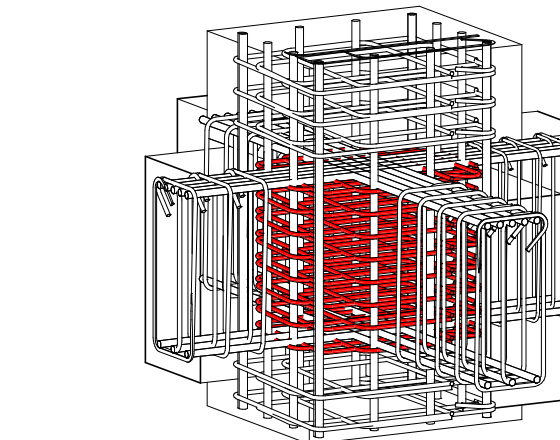
Tulangan geser arah x
4D13-80 mm



1 Detail HBK
1 : 10



3 Potongan Joint Arah Y
1 : 10



4 3D Joint



UNIV. SULTAN AGENG
TIRTAYASA
FAKULTAS TEKNIK
JURUSAN TEKNIK SIPIL
PRODI SI

TUGAS AKHIR

PERBANDINGAN
PERANCANGAN STRUKTUR
GEDUNG SRPMK
MENGGUNAKAN ETABS DAN
TEKLA STRUCTURAL DESIGNER

NAMA	NIM
Rizki Ardiansah	3336210023
DIPERIKSA	TGL/PARAF
DOSEN PEMBIMBING 1	BAEHIKI S.T, M.ENG
DOSEN PEMBIMBING 2	DR. SOELARSO, S.T, M.ENG
DISETUJUI	TGL/PARAF
DOSEN PEMBIMBING 1	BAEHIKI S.T, M.ENG
DOSEN PEMBIMBING 2	DR. SOELARSO, S.T, M.ENG

CATATAN

GAMBAR	SKALA	
POTONGAN DAN DETAIL HBK (GRID 2/D LT 2)	1 : 10	
DIGAMBAR	TGL	PARAF
	18/06/2025 15:50:09	
JML. LBR	NO. LBR	KODE
	10	STR

LAMPIRAN TABEL ELEMEN FORCE – BEAM (GRID 2/C-D LT 1) (ETABS)

Story	Beam	Unique Name	Output Case	Case Type	Step Type	Step Number	Station	P	V2	V3	T	M2	M3	Element	Elem Station
							m	kN	kN	kN	kN-m	kN-m	kN-m		m
Story1	B13	171	1,2D + 1L	Combination			1,000	0	-95,1768	0	0,3551	0	-47,5776	171-2	0
Story1	B13	171	1,2D + 1L	Combination			5,000	0	95,1768	0	-0,3551	0	-47,5776	171-5	1
Story1	B13	171	1,2D + 1L	Combination			1,000	0	-109,676	0	0,3338	0	-47,7319	171-1	1
Story1	B13	171	1,2D + 1L	Combination			5,000	0	109,6759	0	-0,3338	0	-47,7319	171-6	0
Story1	B13	171	1,2D + 1L	Combination			0,663	0	-111,845	0	0,3338	0	-85,1135	171-1	0,6625
Story1	B13	171	1,2D + 1L	Combination			5,338	0	111,8445	0	-0,3338	0	-85,1135	171-6	0,3375
Story1	B13	171	1,2D + 1L	Combination			0,325	0	-114,013	0	0,3338	0	-123,227	171-1	0,325
Story1	B13	171	1,2D + 1L	Combination			5,675	0	114,013	0	-0,3338	0	-123,227	171-6	0,675
Story1	B13	171	1,2D + 1L	Combination			4,500	0	91,9642	0	-0,3551	0	-0,7923	171-5	0,5
Story1	B13	171	1,2D + 1L	Combination			4,000	0	88,7515	0	-0,3551	0	44,3866	171-5	0
Story1	B13	171	1,2D + 1L	Combination			4,000	0	74,0321	0	-0,3322	0	44,2635	171-4	1
Story1	B13	171	1,2D + 1L	Combination			3,500	0	70,8195	0	-0,3322	0	80,4764	171-4	0,5
Story1	B13	171	1,2D + 1L	Combination			3,000	0	67,6068	0	-0,3322	0	115,083	171-4	0
Story1	B13	171	1,2D + 1L	Combination			3,000	0	-67,6068	0	0,3322	0	115,083	171-3	1
Story1	B13	171	1,2D + 1L	Combination			2,500	0	-70,8195	0	0,3322	0	80,4764	171-3	0,5
Story1	B13	171	1,2D + 1L	Combination			2,000	0	-74,0321	0	0,3322	0	44,2635	171-3	0
Story1	B13	171	1,2D + 1L	Combination			2,000	0	-88,7515	0	0,3551	0	44,3866	171-2	1
Story1	B13	171	1,2D + 1L	Combination			1,500	0	-91,9642	0	0,3551	0	-0,7923	171-2	0,5
Story1	B13	171	Comb1	Combination			2,000	0	-76,193	0	0,299	0	38,6493	171-2	1
Story1	B13	171	Comb1	Combination			1,500	0	-79,9411	0	0,299	0	-0,3842	171-2	0,5
Story1	B13	171	Comb1	Combination			3,000	0	-57,0194	0	0,2797	0	99,3207	171-3	1
Story1	B13	171	Comb1	Combination			2,500	0	-60,7675	0	0,2797	0	69,8739	171-3	0,5
Story1	B13	171	Comb1	Combination			2,000	0	-64,5156	0	0,2797	0	38,5531	171-3	0

Story	Beam	Unique Name	Output Case	Case Type	Step Type	Step Number	Station	P	V2	V3	T	M2	M3	Element	Elem Station
							m	KN	KN	KN	kN-m	kN-m	kN-m		m
Story1	B13	171	Comb1	Combination			1,000	0	-83,6892	0	0,299	0	-41,2918	171-2	0
Story1	B13	171	Comb1	Combination			5,000	0	83,6892	0	-0,299	0	-41,2918	171-5	1
Story1	B13	171	Comb1	Combination			1,000	0	-95,1855	0	0,2814	0	-41,415	171-1	1
Story1	B13	171	Comb1	Combination			5,000	0	95,1855	0	-0,2814	0	-41,415	171-6	0
Story1	B13	171	Comb1	Combination			0,663	0	-97,7155	0	0,2814	0	-73,967	171-1	0,6625
Story1	B13	171	Comb1	Combination			5,338	0	97,7155	0	-0,2814	0	-73,967	171-6	0,3375
Story1	B13	171	Comb1	Combination			0,325	0	-100,246	0	0,2814	0	-107,373	171-1	0,325
Story1	B13	171	Comb1	Combination			5,675	0	100,2455	0	-0,2814	0	-107,373	171-6	0,675
Story1	B13	171	Comb1	Combination			4,000	0	64,5156	0	-0,2797	0	38,5531	171-4	1
Story1	B13	171	Comb1	Combination			3,500	0	60,7675	0	-0,2797	0	69,8739	171-4	0,5
Story1	B13	171	Comb1	Combination			3,000	0	57,0194	0	-0,2797	0	99,3207	171-4	0
Story1	B13	171	Comb1	Combination			4,500	0	79,9411	0	-0,299	0	-0,3842	171-5	0,5
Story1	B13	171	Comb1	Combination			4,000	0	76,193	0	-0,299	0	38,6493	171-5	0
Story1	B13	171	Comb10	Combination	Max		5,000	0	22,1623	0	-0,2856	0	113,1265	171-5	1
Story1	B13	171	Comb10	Combination	Max		5,000	0	37,5515	0	-0,2447	0	112,9602	171-6	0
Story1	B13	171	Comb10	Combination	Min		5,000	0	20,7976	0	-0,2913	0	110,3977	171-5	1
Story1	B13	171	Comb10	Combination	Min		5,000	0	36,1834	0	-0,2509	0	110,2315	171-6	0
Story1	B13	171	Comb10	Combination	Max		5,338	0	39,9604	0	-0,2447	0	100,3418	171-6	0,3375
Story1	B13	171	Comb10	Combination	Min		5,338	0	38,5923	0	-0,2509	0	97,1514	171-6	0,3375
Story1	B13	171	Comb10	Combination	Max		5,675	0	42,3693	0	-0,2447	0	86,9104	171-6	0,675
Story1	B13	171	Comb10	Combination	Max		2,000	0	-176,959	0	0,2913	0	-32,873	171-2	1
Story1	B13	171	Comb10	Combination	Max		1,500	0	-180,528	0	0,2913	0	-122,245	171-2	0,5
Story1	B13	171	Comb10	Combination	Min		2,000	0	-178,324	0	0,2856	0	-34,237	171-2	1
Story1	B13	171	Comb10	Combination	Min		5,675	0	41,0011	0	-0,2509	0	83,2582	171-6	0,675
Story1	B13	171	Comb10	Combination	Min		1,500	0	-181,892	0	0,2856	0	-124,291	171-2	0,5
Story1	B13	171	Comb10	Combination	Max		3,000	0	-153,941	0	0,2805	0	124,5212	171-3	1

Story	Beam	Unique Name	Output Case	Case Type	Step Type	Step Number	Station	P	V2	V3	T	M2	M3	Element	Elem Station
							m	KN	KN	KN	kN-m	kN-m	kN-m		m
Story1	B13	171	Comb10	Combination	Max		2,500	0	-157,509	0	0,2805	0	46,6587	171-3	0,5
Story1	B13	171	Comb10	Combination	Max		2,000	0	-161,078	0	0,2805	0	-32,9882	171-3	0
Story1	B13	171	Comb10	Combination	Min		3,000	0	-155,304	0	0,2751	0	124,5211	171-3	1
Story1	B13	171	Comb10	Combination	Min		2,500	0	-158,873	0	0,2751	0	45,9768	171-3	0,5
Story1	B13	171	Comb10	Combination	Min		2,000	0	-162,442	0	0,2751	0	-34,352	171-3	0
Story1	B13	171	Comb10	Combination	Max		4,000	0	-0,7518	0	-0,2752	0	130,2057	171-4	1
Story1	B13	171	Comb10	Combination	Max		3,500	0	-4,3205	0	-0,2752	0	128,2557	171-4	0,5
Story1	B13	171	Comb10	Combination	Max		3,000	0	-7,8893	0	-0,2752	0	124,5214	171-4	0
Story1	B13	171	Comb10	Combination	Min		4,000	0	-2,1156	0	-0,2806	0	128,8419	171-4	1
Story1	B13	171	Comb10	Combination	Min		3,500	0	-5,6843	0	-0,2806	0	127,5738	171-4	0,5
Story1	B13	171	Comb10	Combination	Min		3,000	0	-9,253	0	-0,2806	0	124,5214	171-4	0
Story1	B13	171	Comb10	Combination	Max		4,500	0	18,5935	0	-0,2856	0	122,6331	171-5	0,5
Story1	B13	171	Comb10	Combination	Max		4,000	0	15,0248	0	-0,2856	0	130,3553	171-5	0
Story1	B13	171	Comb10	Combination	Min		4,500	0	17,2289	0	-0,2913	0	120,5867	171-5	0,5
Story1	B13	171	Comb10	Combination	Min		4,000	0	13,6601	0	-0,2913	0	128,9913	171-5	0
Story1	B13	171	Comb10	Combination	Max		1,000	0	-184,097	0	0,2913	0	-213,401	171-2	0
Story1	B13	171	Comb10	Combination	Max		1,000	0	-199,889	0	0,251	0	-213,567	171-1	1
Story1	B13	171	Comb10	Combination	Min		1,000	0	-185,461	0	0,2856	0	-216,13	171-2	0
Story1	B13	171	Comb10	Combination	Min		1,000	0	-201,257	0	0,2448	0	-216,295	171-1	1
Story1	B13	171	Comb10	Combination	Max		0,663	0	-202,298	0	0,251	0	-281,436	171-1	0,6625
Story1	B13	171	Comb10	Combination	Min		0,663	0	-203,666	0	0,2448	0	-284,626	171-1	0,6625
Story1	B13	171	Comb10	Combination	Max		0,325	0	-204,707	0	0,251	0	-350,118	171-1	0,325
Story1	B13	171	Comb10	Combination	Min		0,325	0	-206,075	0	0,2448	0	-353,77	171-1	0,325
Story1	B13	171	Comb11	Combination	Max		2,000	0	-15,3761	0	0,4882	0	47,52	171-2	1
Story1	B13	171	Comb11	Combination	Max		1,500	0	-17,4295	0	0,4882	0	39,3186	171-2	0,5
Story1	B13	171	Comb11	Combination	Min		2,000	0	-19,1062	0	0,4728	0	43,7916	171-2	1

Story	Beam	Unique Name	Output Case	Case Type	Step Type	Step Number	Station	P	V2	V3	T	M2	M3	Element	Elem Station
							m	KN	KN	KN	kN-m	kN-m	kN-m		m
Story1	B13	171	Comb11	Combination	Min		1,500	0	-21,1596	0	0,4728	0	33,7251	171-2	0,5
Story1	B13	171	Comb11	Combination	Max		3,000	0	-4,889	0	0,4301	0	54,4041	171-3	1
Story1	B13	171	Comb11	Combination	Max		2,500	0	-6,9424	0	0,4301	0	51,4462	171-3	0,5
Story1	B13	171	Comb11	Combination	Max		2,000	0	-8,9958	0	0,4301	0	47,4617	171-3	0
Story1	B13	171	Comb11	Combination	Min		3,000	0	-8,6166	0	0,4155	0	54,4041	171-3	1
Story1	B13	171	Comb11	Combination	Min		2,500	0	-10,67	0	0,4155	0	49,5824	171-3	0,5
Story1	B13	171	Comb11	Combination	Min		2,000	0	-12,7234	0	0,4155	0	43,7341	171-3	0
Story1	B13	171	Comb11	Combination	Max		1,000	0	-19,4829	0	0,4882	0	30,0905	171-2	0
Story1	B13	171	Comb11	Combination	Max		1,000	0	-25,7167	0	0,5384	0	30,0229	171-1	1
Story1	B13	171	Comb11	Combination	Min		1,000	0	-23,213	0	0,4728	0	22,632	171-2	0
Story1	B13	171	Comb11	Combination	Min		1,000	0	-29,4561	0	0,5215	0	22,5644	171-1	1
Story1	B13	171	Comb11	Combination	Max		0,663	0	-27,1027	0	0,5384	0	21,1096	171-1	0,6625
Story1	B13	171	Comb11	Combination	Min		0,663	0	-30,8422	0	0,5215	0	12,3891	171-1	0,6625
Story1	B13	171	Comb11	Combination	Max		0,325	0	-28,4888	0	0,5384	0	11,7286	171-1	0,325
Story1	B13	171	Comb11	Combination	Min		0,325	0	-32,2283	0	0,5215	0	1,746	171-1	0,325
Story1	B13	171	Comb11	Combination	Max		5,000	0	72,2027	0	-0,4728	0	-67,8677	171-5	1
Story1	B13	171	Comb11	Combination	Max		5,000	0	78,5679	0	-0,5215	0	-67,9351	171-6	0
Story1	B13	171	Comb11	Combination	Min		5,000	0	68,4726	0	-0,4882	0	-75,3262	171-5	1
Story1	B13	171	Comb11	Combination	Min		5,000	0	74,8284	0	-0,5384	0	-75,3936	171-6	0
Story1	B13	171	Comb11	Combination	Max		5,338	0	79,9539	0	-0,5215	0	-93,4236	171-6	0,3375
Story1	B13	171	Comb11	Combination	Min		5,338	0	76,2145	0	-0,5384	0	-102,144	171-6	0,3375
Story1	B13	171	Comb11	Combination	Max		5,675	0	81,34	0	-0,5215	0	-119,38	171-6	0,675
Story1	B13	171	Comb11	Combination	Min		5,675	0	77,6005	0	-0,5384	0	-129,363	171-6	0,675
Story1	B13	171	Comb11	Combination	Max		4,000	0	61,6815	0	-0,4154	0	-1,4965	171-4	1
Story1	B13	171	Comb11	Combination	Max		3,500	0	59,6281	0	-0,4154	0	26,9671	171-4	0,5
Story1	B13	171	Comb11	Combination	Max		3,000	0	57,5747	0	-0,4154	0	54,404	171-4	0

Story	Beam	Unique Name	Output Case	Case Type	Step Type	Step Number	Station	P	V2	V3	T	M2	M3	Element	Elem Station
							m	KN	KN	KN	kN-m	kN-m	kN-m		m
Story1	B13	171	Comb11	Combination	Min		4,000	0	57,9539	0	-0,4301	0	-5,2241	171-4	1
Story1	B13	171	Comb11	Combination	Min		3,500	0	55,9005	0	-0,4301	0	25,1033	171-4	0,5
Story1	B13	171	Comb11	Combination	Min		3,000	0	53,8471	0	-0,4301	0	54,404	171-4	0
Story1	B13	171	Comb11	Combination	Max		4,500	0	70,1493	0	-0,4728	0	-34,1448	171-5	0,5
Story1	B13	171	Comb11	Combination	Max		4,000	0	68,0959	0	-0,4728	0	-1,4485	171-5	0
Story1	B13	171	Comb11	Combination	Min		4,500	0	66,4192	0	-0,4882	0	-39,7382	171-5	0,5
Story1	B13	171	Comb11	Combination	Min		4,000	0	64,3658	0	-0,4882	0	-5,1769	171-5	0
Story1	B13	171	Comb12	Combination	Max		2,000	0	-63,547	0	0,4916	0	-0,6301	171-2	1
Story1	B13	171	Comb12	Combination	Max		1,500	0	-65,6004	0	0,4916	0	-32,9169	171-2	0,5
Story1	B13	171	Comb12	Combination	Min		2,000	0	-68,9147	0	0,4695	0	-5,9953	171-2	1
Story1	B13	171	Comb12	Combination	Min		1,500	0	-70,9681	0	0,4695	0	-40,966	171-2	0,5
Story1	B13	171	Comb12	Combination	Max		3,000	0	-53,0288	0	0,4333	0	54,404	171-3	1
Story1	B13	171	Comb12	Combination	Max		2,500	0	-55,0822	0	0,4333	0	27,3762	171-3	0,5
Story1	B13	171	Comb12	Combination	Max		2,000	0	-57,1356	0	0,4333	0	-0,6782	171-3	0
Story1	B13	171	Comb12	Combination	Min		3,000	0	-58,3929	0	0,4122	0	54,404	171-3	1
Story1	B13	171	Comb12	Combination	Min		2,500	0	-60,4464	0	0,4122	0	24,6942	171-3	0,5
Story1	B13	171	Comb12	Combination	Min		2,000	0	-62,4998	0	0,4122	0	-6,0424	171-3	0
Story1	B13	171	Comb12	Combination	Max		5,000	0	24,0318	0	-0,4695	0	31,7277	171-5	1
Story1	B13	171	Comb12	Combination	Max		5,000	0	30,277	0	-0,5178	0	31,6601	171-6	0
Story1	B13	171	Comb12	Combination	Max		5,338	0	31,6631	0	-0,5178	0	23,0239	171-6	0,3375
Story1	B13	171	Comb12	Combination	Min		5,000	0	18,6641	0	-0,4916	0	20,9948	171-5	1
Story1	B13	171	Comb12	Combination	Min		5,000	0	24,8958	0	-0,5421	0	20,9272	171-6	0
Story1	B13	171	Comb12	Combination	Max		5,675	0	33,0491	0	-0,5178	0	13,9199	171-6	0,675
Story1	B13	171	Comb12	Combination	Min		5,338	0	26,2819	0	-0,5421	0	10,4748	171-6	0,3375
Story1	B13	171	Comb12	Combination	Min		5,675	0	27,6679	0	-0,5421	0	-0,4453	171-6	0,675
Story1	B13	171	Comb12	Combination	Max		1,000	0	-67,6538	0	0,4916	0	-66,2305	171-2	0

Story	Beam	Unique Name	Output Case	Case Type	Step Type	Step Number	Station	P	V2	V3	T	M2	M3	Element	Elem Station
							m	KN	KN	KN	kN-m	kN-m	kN-m		m
Story1	B13	171	Comb12	Combination	Max		1,000	0	-74,0075	0	0,5421	0	-66,2979	171-1	1
Story1	B13	171	Comb12	Combination	Min		1,000	0	-73,0215	0	0,4695	0	-76,9634	171-2	0
Story1	B13	171	Comb12	Combination	Min		1,000	0	-79,3887	0	0,5178	0	-77,0308	171-1	1
Story1	B13	171	Comb12	Combination	Max		0,663	0	-75,3936	0	0,5421	0	-91,5094	171-1	0,6625
Story1	B13	171	Comb12	Combination	Min		0,663	0	-80,7748	0	0,5178	0	-104,058	171-1	0,6625
Story1	B13	171	Comb12	Combination	Max		0,325	0	-76,7796	0	0,5421	0	-117,189	171-1	0,325
Story1	B13	171	Comb12	Combination	Min		0,325	0	-82,1609	0	0,5178	0	-131,554	171-1	0,325
Story1	B13	171	Comb12	Combination	Max		4,000	0	13,5417	0	-0,4123	0	48,2799	171-4	1
Story1	B13	171	Comb12	Combination	Max		3,500	0	11,4883	0	-0,4123	0	51,8553	171-4	0,5
Story1	B13	171	Comb12	Combination	Max		3,000	0	9,4348	0	-0,4123	0	54,4041	171-4	0
Story1	B13	171	Comb12	Combination	Min		4,000	0	8,1775	0	-0,4333	0	42,9158	171-4	1
Story1	B13	171	Comb12	Combination	Min		3,500	0	6,1241	0	-0,4333	0	49,1733	171-4	0,5
Story1	B13	171	Comb12	Combination	Min		3,000	0	4,0707	0	-0,4333	0	54,404	171-4	0
Story1	B13	171	Comb12	Combination	Max		4,500	0	21,9784	0	-0,4695	0	40,5464	171-5	0,5
Story1	B13	171	Comb12	Combination	Max		4,000	0	19,925	0	-0,4695	0	48,3384	171-5	0
Story1	B13	171	Comb12	Combination	Min		4,500	0	16,6107	0	-0,4916	0	32,4973	171-5	0,5
Story1	B13	171	Comb12	Combination	Min		4,000	0	14,5573	0	-0,4916	0	42,9732	171-5	0
Story1	B13	171	Comb13	Combination	Max		1,000	0	-18,678	0	-0,1418	0	31,7194	171-2	0
Story1	B13	171	Comb13	Combination	Max		1,000	0	-24,9074	0	-0,2095	0	31,6519	171-1	1
Story1	B13	171	Comb13	Combination	Max		0,663	0	-26,2935	0	-0,2095	0	23,0117	171-1	0,6625
Story1	B13	171	Comb13	Combination	Min		1,000	0	-24,0457	0	-0,1639	0	20,9865	171-2	0
Story1	B13	171	Comb13	Combination	Min		1,000	0	-30,2886	0	-0,2338	0	20,919	171-1	1
Story1	B13	171	Comb13	Combination	Max		0,325	0	-27,6796	0	-0,2095	0	13,9038	171-1	0,325
Story1	B13	171	Comb13	Combination	Min		0,663	0	-31,6747	0	-0,2338	0	10,4626	171-1	0,6625
Story1	B13	171	Comb13	Combination	Max		4,500	0	70,9819	0	0,164	0	-32,9183	171-5	0,5
Story1	B13	171	Comb13	Combination	Max		4,000	0	68,9285	0	0,164	0	-0,6245	171-5	0

Story	Beam	Unique Name	Output Case	Case Type	Step Type	Step Number	Station	P	V2	V3	T	M2	M3	Element	Elem Station
							m	KN	KN	KN	kN-m	kN-m	kN-m		m
Story1	B13	171	Comb13	Combination	Min		4,500	0	65,6142	0	0,1418	0	-40,9674	171-5	0,5
Story1	B13	171	Comb13	Combination	Min		4,000	0	63,5608	0	0,1418	0	-5,9898	171-5	0
Story1	B13	171	Comb13	Combination	Max		4,000	0	62,5132	0	0,1269	0	-0,6726	171-4	1
Story1	B13	171	Comb13	Combination	Max		3,500	0	60,4597	0	0,1269	0	27,3885	171-4	0,5
Story1	B13	171	Comb13	Combination	Max		3,000	0	58,4063	0	0,1269	0	54,423	171-4	0
Story1	B13	171	Comb13	Combination	Min		0,325	0	-33,0608	0	-0,2338	0	-0,4615	171-1	0,325
Story1	B13	171	Comb13	Combination	Min		4,000	0	57,149	0	0,1058	0	-6,0367	171-4	1
Story1	B13	171	Comb13	Combination	Min		3,500	0	55,0956	0	0,1058	0	24,7065	171-4	0,5
Story1	B13	171	Comb13	Combination	Min		3,000	0	53,0422	0	0,1058	0	54,423	171-4	0
Story1	B13	171	Comb13	Combination	Max		5,000	0	73,0353	0	0,164	0	-66,2387	171-5	1
Story1	B13	171	Comb13	Combination	Max		5,000	0	79,4004	0	0,2337	0	-66,3062	171-6	0
Story1	B13	171	Comb13	Combination	Min		5,000	0	67,6676	0	0,1418	0	-76,9717	171-5	1
Story1	B13	171	Comb13	Combination	Min		5,000	0	74,0192	0	0,2095	0	-77,0391	171-6	0
Story1	B13	171	Comb13	Combination	Max		5,338	0	80,7864	0	0,2337	0	-91,5216	171-6	0,3375
Story1	B13	171	Comb13	Combination	Max		3,000	0	-4,0841	0	-0,1058	0	54,4231	171-3	1
Story1	B13	171	Comb13	Combination	Max		2,500	0	-6,1375	0	-0,1058	0	51,8677	171-3	0,5
Story1	B13	171	Comb13	Combination	Max		2,000	0	-8,1909	0	-0,1058	0	48,2855	171-3	0
Story1	B13	171	Comb13	Combination	Min		3,000	0	-9,4482	0	-0,1268	0	54,423	171-3	1
Story1	B13	171	Comb13	Combination	Min		2,500	0	-11,5016	0	-0,1268	0	49,1856	171-3	0,5
Story1	B13	171	Comb13	Combination	Min		2,000	0	-13,5551	0	-0,1268	0	42,9214	171-3	0
Story1	B13	171	Comb13	Combination	Max		2,000	0	-14,5711	0	-0,1418	0	48,344	171-2	1
Story1	B13	171	Comb13	Combination	Max		1,500	0	-16,6246	0	-0,1418	0	40,5451	171-2	0,5
Story1	B13	171	Comb13	Combination	Min		5,338	0	75,4052	0	0,2095	0	-104,071	171-6	0,3375
Story1	B13	171	Comb13	Combination	Min		2,000	0	-19,9388	0	-0,1639	0	42,9787	171-2	1
Story1	B13	171	Comb13	Combination	Min		1,500	0	-21,9922	0	-0,1639	0	32,496	171-2	0,5
Story1	B13	171	Comb13	Combination	Max		5,675	0	82,1725	0	0,2337	0	-117,205	171-6	0,675

Story	Beam	Unique Name	Output Case	Case Type	Step Type	Step Number	Station	P	V2	V3	T	M2	M3	Element	Elem Station
							m	KN	KN	KN	kN-m	kN-m	kN-m		m
Story1	B13	171	Comb13	Combination	Min		5,675	0	76,7913	0	0,2095	0	-131,57	171-6	0,675
Story1	B13	171	Comb14	Combination	Max		5,000	0	23,2269	0	0,1606	0	30,0822	171-5	1
Story1	B13	171	Comb14	Combination	Max		5,000	0	29,4678	0	0,2301	0	30,0146	171-6	0
Story1	B13	171	Comb14	Combination	Min		5,000	0	19,4968	0	0,1452	0	22,6237	171-5	1
Story1	B13	171	Comb14	Combination	Min		5,000	0	25,7283	0	0,2132	0	22,5562	171-6	0
Story1	B13	171	Comb14	Combination	Max		5,338	0	30,8538	0	0,2301	0	21,0975	171-6	0,3375
Story1	B13	171	Comb14	Combination	Min		5,338	0	27,1144	0	0,2132	0	12,3769	171-6	0,3375
Story1	B13	171	Comb14	Combination	Max		5,675	0	32,2399	0	0,2301	0	11,7125	171-6	0,675
Story1	B13	171	Comb14	Combination	Max		4,500	0	21,1734	0	0,1606	0	39,3172	171-5	0,5
Story1	B13	171	Comb14	Combination	Max		4,000	0	19,12	0	0,1606	0	47,5256	171-5	0
Story1	B13	171	Comb14	Combination	Min		4,500	0	17,4434	0	0,1452	0	33,7238	171-5	0,5
Story1	B13	171	Comb14	Combination	Min		5,675	0	28,5004	0	0,2132	0	1,7298	171-6	0,675
Story1	B13	171	Comb14	Combination	Min		4,000	0	15,3899	0	0,1452	0	43,7972	171-5	0
Story1	B13	171	Comb14	Combination	Max		4,000	0	12,7368	0	0,1236	0	47,4673	171-4	1
Story1	B13	171	Comb14	Combination	Max		3,500	0	10,6834	0	0,1236	0	51,4585	171-4	0,5
Story1	B13	171	Comb14	Combination	Max		3,000	0	8,63	0	0,1236	0	54,4231	171-4	0
Story1	B13	171	Comb14	Combination	Min		4,000	0	9,0092	0	0,109	0	43,7397	171-4	1
Story1	B13	171	Comb14	Combination	Min		3,500	0	6,9558	0	0,109	0	49,5947	171-4	0,5
Story1	B13	171	Comb14	Combination	Min		3,000	0	4,9023	0	0,109	0	54,4231	171-4	0
Story1	B13	171	Comb14	Combination	Max		1,000	0	-68,4864	0	-0,1452	0	-67,876	171-2	0
Story1	B13	171	Comb14	Combination	Max		1,000	0	-74,84	0	-0,2132	0	-67,9434	171-1	1
Story1	B13	171	Comb14	Combination	Min		1,000	0	-72,2165	0	-0,1606	0	-75,3344	171-2	0
Story1	B13	171	Comb14	Combination	Min		1,000	0	-78,5795	0	-0,23	0	-75,4019	171-1	1
Story1	B13	171	Comb14	Combination	Max		0,663	0	-76,2261	0	-0,2132	0	-93,4358	171-1	0,6625
Story1	B13	171	Comb14	Combination	Max		3,000	0	-53,8604	0	-0,109	0	54,423	171-3	1
Story1	B13	171	Comb14	Combination	Max		2,500	0	-55,9139	0	-0,109	0	26,9794	171-3	0,5

Story	Beam	Unique Name	Output Case	Case Type	Step Type	Step Number	Station	P	V2	V3	T	M2	M3	Element	Elem Station
							m	KN	KN	KN	kN-m	kN-m	kN-m		m
Story1	B13	171	Comb14	Combination	Max		2,000	0	-57,9673	0	-0,109	0	-1,4909	171-3	0
Story1	B13	171	Comb14	Combination	Min		3,000	0	-57,5881	0	-0,1237	0	54,423	171-3	1
Story1	B13	171	Comb14	Combination	Min		2,500	0	-59,6415	0	-0,1237	0	25,1156	171-3	0,5
Story1	B13	171	Comb14	Combination	Min		2,000	0	-61,6949	0	-0,1237	0	-5,2185	171-3	0
Story1	B13	171	Comb14	Combination	Max		2,000	0	-64,3796	0	-0,1452	0	-1,4429	171-2	1
Story1	B13	171	Comb14	Combination	Min		0,663	0	-79,9656	0	-0,23	0	-102,156	171-1	0,6625
Story1	B13	171	Comb14	Combination	Max		1,500	0	-66,433	0	-0,1452	0	-34,1461	171-2	0,5
Story1	B13	171	Comb14	Combination	Min		2,000	0	-68,1097	0	-0,1606	0	-5,1713	171-2	1
Story1	B13	171	Comb14	Combination	Min		1,500	0	-70,1631	0	-0,1606	0	-39,7395	171-2	0,5
Story1	B13	171	Comb14	Combination	Max		0,325	0	-77,6122	0	-0,2132	0	-119,396	171-1	0,325
Story1	B13	171	Comb14	Combination	Min		0,325	0	-81,3516	0	-0,23	0	-129,379	171-1	0,325
Story1	B13	171	Comb15	Combination	Max		0,325	0	27,6185	0	0,2699	0	161,5176	171-1	0,325
Story1	B13	171	Comb15	Combination	Min		0,325	0	26,2504	0	0,2638	0	157,8654	171-1	0,325
Story1	B13	171	Comb15	Combination	Max		0,663	0	29,0045	0	0,2699	0	151,9625	171-1	0,6625
Story1	B13	171	Comb15	Combination	Min		0,663	0	27,6364	0	0,2638	0	148,772	171-1	0,6625
Story1	B13	171	Comb15	Combination	Max		1,000	0	36,4841	0	0,2617	0	142,0072	171-2	0
Story1	B13	171	Comb15	Combination	Max		1,000	0	30,3906	0	0,2699	0	141,9395	171-1	1
Story1	B13	171	Comb15	Combination	Min		1,000	0	35,1195	0	0,256	0	139,2785	171-2	0
Story1	B13	171	Comb15	Combination	Min		1,000	0	29,0225	0	0,2638	0	139,2108	171-1	1
Story1	B13	171	Comb15	Combination	Max		2,000	0	40,591	0	0,2617	0	103,4697	171-2	1
Story1	B13	171	Comb15	Combination	Max		1,500	0	38,5376	0	0,2617	0	123,2518	171-2	0,5
Story1	B13	171	Comb15	Combination	Min		2,000	0	39,2263	0	0,256	0	102,1056	171-2	1
Story1	B13	171	Comb15	Combination	Min		1,500	0	37,1729	0	0,256	0	121,2054	171-2	0,5
Story1	B13	171	Comb15	Combination	Max		3,000	0	51,0422	0	0,2368	0	54,4108	171-3	1
Story1	B13	171	Comb15	Combination	Max		2,500	0	48,9888	0	0,2368	0	79,4185	171-3	0,5
Story1	B13	171	Comb15	Combination	Max		2,000	0	46,9354	0	0,2368	0	103,3996	171-3	0

Story	Beam	Unique Name	Output Case	Case Type	Step Type	Step Number	Station	P	V2	V3	T	M2	M3	Element	Elem Station
							m	KN	KN	KN	kN-m	kN-m	kN-m		m
Story1	B13	171	Comb15	Combination	Min		3,000	0	49,6784	0	0,2315	0	54,4108	171-3	1
Story1	B13	171	Comb15	Combination	Min		2,500	0	47,625	0	0,2315	0	78,7367	171-3	0,5
Story1	B13	171	Comb15	Combination	Min		2,000	0	45,5716	0	0,2315	0	102,0358	171-3	0
Story1	B13	171	Comb15	Combination	Max		4,000	0	117,6221	0	-0,2314	0	-59,7943	171-4	1
Story1	B13	171	Comb15	Combination	Max		3,500	0	115,5686	0	-0,2314	0	-2,1785	171-4	0,5
Story1	B13	171	Comb15	Combination	Max		3,000	0	113,5152	0	-0,2314	0	54,4106	171-4	0
Story1	B13	171	Comb15	Combination	Min		4,000	0	116,2583	0	-0,2367	0	-61,1581	171-4	1
Story1	B13	171	Comb15	Combination	Min		3,500	0	114,2049	0	-0,2367	0	-2,8604	171-4	0,5
Story1	B13	171	Comb15	Combination	Min		3,000	0	112,1514	0	-0,2367	0	54,4106	171-4	0
Story1	B13	171	Comb15	Combination	Max		4,500	0	126,126	0	-0,256	0	-121,626	171-5	0,5
Story1	B13	171	Comb15	Combination	Max		4,000	0	124,0726	0	-0,256	0	-59,7587	171-5	0
Story1	B13	171	Comb15	Combination	Min		4,500	0	124,7614	0	-0,2617	0	-123,672	171-5	0,5
Story1	B13	171	Comb15	Combination	Min		4,000	0	122,7079	0	-0,2617	0	-61,1227	171-5	0
Story1	B13	171	Comb15	Combination	Max		5,000	0	128,1795	0	-0,256	0	-184,52	171-5	1
Story1	B13	171	Comb15	Combination	Max		5,000	0	134,6833	0	-0,2639	0	-184,587	171-6	0
Story1	B13	171	Comb15	Combination	Min		5,000	0	126,8148	0	-0,2617	0	-187,249	171-5	1
Story1	B13	171	Comb15	Combination	Min		5,000	0	133,3152	0	-0,27	0	-187,316	171-6	0
Story1	B13	171	Comb15	Combination	Max		5,338	0	136,0693	0	-0,2639	0	-229,815	171-6	0,3375
Story1	B13	171	Comb15	Combination	Min		5,338	0	134,7012	0	-0,27	0	-233,006	171-6	0,3375
Story1	B13	171	Comb15	Combination	Max		5,675	0	137,4554	0	-0,2639	0	-275,511	171-6	0,675
Story1	B13	171	Comb15	Combination	Min		5,675	0	136,0873	0	-0,27	0	-279,163	171-6	0,675
Story1	B13	171	Comb16	Combination	Max		5,675	0	-24,8823	0	-0,2576	0	165,1698	171-6	0,675
Story1	B13	171	Comb16	Combination	Max		5,338	0	-26,2683	0	-0,2576	0	155,1529	171-6	0,3375
Story1	B13	171	Comb16	Combination	Min		5,675	0	-28,9866	0	-0,2761	0	154,2133	171-6	0,675
Story1	B13	171	Comb16	Combination	Min		5,338	0	-30,3727	0	-0,2761	0	145,5816	171-6	0,3375
Story1	B13	171	Comb16	Combination	Max		5,000	0	-33,7548	0	-0,2504	0	144,7359	171-5	1

Story	Beam	Unique Name	Output Case	Case Type	Step Type	Step Number	Station	P	V2	V3	T	M2	M3	Element	Elem Station
							m	KN	KN	KN	kN-m	kN-m	kN-m		m
Story1	B13	171	Comb16	Combination	Max		5,000	0	-27,6544	0	-0,2576	0	144,6682	171-6	0
Story1	B13	171	Comb16	Combination	Min		5,000	0	-37,8488	0	-0,2673	0	136,5498	171-5	1
Story1	B13	171	Comb16	Combination	Min		5,000	0	-31,7587	0	-0,2761	0	136,4821	171-6	0
Story1	B13	171	Comb16	Combination	Max		2,000	0	-121,343	0	0,2673	0	-58,3946	171-2	1
Story1	B13	171	Comb16	Combination	Max		1,500	0	-123,397	0	0,2673	0	-119,58	171-2	0,5
Story1	B13	171	Comb16	Combination	Min		2,000	0	-125,437	0	0,2504	0	-62,4868	171-2	1
Story1	B13	171	Comb16	Combination	Min		1,500	0	-127,491	0	0,2504	0	-125,719	171-2	0,5
Story1	B13	171	Comb16	Combination	Max		3,000	0	-110,788	0	0,2421	0	54,4106	171-3	1
Story1	B13	171	Comb16	Combination	Max		2,500	0	-112,841	0	0,2421	0	-1,4966	171-3	0,5
Story1	B13	171	Comb16	Combination	Max		2,000	0	-114,895	0	0,2421	0	-58,4306	171-3	0
Story1	B13	171	Comb16	Combination	Min		3,000	0	-114,879	0	0,226	0	54,4105	171-3	1
Story1	B13	171	Comb16	Combination	Min		2,500	0	-116,932	0	0,226	0	-3,5423	171-3	0,5
Story1	B13	171	Comb16	Combination	Min		2,000	0	-118,986	0	0,226	0	-62,5218	171-3	0
Story1	B13	171	Comb16	Combination	Max		4,000	0	-44,2078	0	-0,2261	0	104,7633	171-4	1
Story1	B13	171	Comb16	Combination	Max		3,500	0	-46,2613	0	-0,2261	0	80,1004	171-4	0,5
Story1	B13	171	Comb16	Combination	Max		3,000	0	-48,3147	0	-0,2261	0	54,4108	171-4	0
Story1	B13	171	Comb16	Combination	Min		4,000	0	-48,2991	0	-0,2422	0	100,6721	171-4	1
Story1	B13	171	Comb16	Combination	Min		3,500	0	-50,3526	0	-0,2422	0	78,0548	171-4	0,5
Story1	B13	171	Comb16	Combination	Min		3,000	0	-52,406	0	-0,2422	0	54,4108	171-4	0
Story1	B13	171	Comb16	Combination	Max		4,500	0	-35,8082	0	-0,2504	0	125,2982	171-5	0,5
Story1	B13	171	Comb16	Combination	Max		4,000	0	-37,8616	0	-0,2504	0	104,8337	171-5	0
Story1	B13	171	Comb16	Combination	Min		4,500	0	-39,9022	0	-0,2673	0	119,159	171-5	0,5
Story1	B13	171	Comb16	Combination	Min		4,000	0	-41,9556	0	-0,2673	0	100,7416	171-5	0
Story1	B13	171	Comb16	Combination	Max		1,000	0	-125,45	0	0,2673	0	-181,791	171-2	0
Story1	B13	171	Comb16	Combination	Max		1,000	0	-131,947	0	0,2762	0	-181,859	171-1	1
Story1	B13	171	Comb16	Combination	Min		1,000	0	-129,544	0	0,2504	0	-189,977	171-2	0

Story	Beam	Unique Name	Output Case	Case Type	Step Type	Step Number	Station	P	V2	V3	T	M2	M3	Element	Elem Station
							m	KN	KN	KN	kN-m	kN-m	kN-m		m
Story1	B13	171	Comb16	Combination	Min		1,000	0	-136,051	0	0,2577	0	-190,045	171-1	1
Story1	B13	171	Comb16	Combination	Max		0,663	0	-133,333	0	0,2762	0	-226,625	171-1	0,6625
Story1	B13	171	Comb16	Combination	Min		0,663	0	-137,438	0	0,2577	0	-236,196	171-1	0,6625
Story1	B13	171	Comb16	Combination	Max		0,325	0	-134,719	0	0,2762	0	-271,859	171-1	0,325
Story1	B13	171	Comb16	Combination	Min		0,325	0	-138,824	0	0,2577	0	-282,815	171-1	0,325
Story1	B13	171	Comb17	Combination	Max		0,325	0	28,9831	0	0,0506	0	165,165	171-1	0,325
Story1	B13	171	Comb17	Combination	Max		0,663	0	30,3692	0	0,0506	0	155,1493	171-1	0,6625
Story1	B13	171	Comb17	Combination	Min		0,325	0	24,8788	0	0,0321	0	154,2084	171-1	0,325
Story1	B13	171	Comb17	Combination	Min		0,663	0	26,2648	0	0,0321	0	145,5779	171-1	0,6625
Story1	B13	171	Comb17	Combination	Max		1,000	0	37,8446	0	0,0773	0	144,7335	171-2	0
Story1	B13	171	Comb17	Combination	Max		1,000	0	31,7552	0	0,0506	0	144,6658	171-1	1
Story1	B13	171	Comb17	Combination	Min		1,000	0	33,7506	0	0,0604	0	136,5473	171-2	0
Story1	B13	171	Comb17	Combination	Min		1,000	0	27,6509	0	0,0321	0	136,4796	171-1	1
Story1	B13	171	Comb17	Combination	Max		3,000	0	52,402	0	0,0804	0	54,4165	171-3	1
Story1	B13	171	Comb17	Combination	Max		2,500	0	50,3485	0	0,0804	0	80,1041	171-3	0,5
Story1	B13	171	Comb17	Combination	Max		2,000	0	48,2951	0	0,0804	0	104,765	171-3	0
Story1	B13	171	Comb17	Combination	Max		2,000	0	41,9515	0	0,0773	0	104,8354	171-2	1
Story1	B13	171	Comb17	Combination	Max		1,500	0	39,8981	0	0,0773	0	125,2978	171-2	0,5
Story1	B13	171	Comb17	Combination	Min		3,000	0	48,3107	0	0,0644	0	54,4165	171-3	1
Story1	B13	171	Comb17	Combination	Min		2,500	0	46,2572	0	0,0644	0	78,0585	171-3	0,5
Story1	B13	171	Comb17	Combination	Min		2,000	0	44,2038	0	0,0644	0	100,6737	171-3	0
Story1	B13	171	Comb17	Combination	Min		2,000	0	37,8575	0	0,0604	0	100,7433	171-2	1
Story1	B13	171	Comb17	Combination	Min		1,500	0	35,8041	0	0,0604	0	119,1586	171-2	0,5
Story1	B13	171	Comb17	Combination	Max		4,500	0	127,4948	0	-0,0604	0	-119,58	171-5	0,5
Story1	B13	171	Comb17	Combination	Max		4,000	0	125,4414	0	-0,0604	0	-58,3929	171-5	0
Story1	B13	171	Comb17	Combination	Max		4,000	0	118,9898	0	-0,0643	0	-58,4289	171-4	1

Story	Beam	Unique Name	Output Case	Case Type	Step Type	Step Number	Station	P	V2	V3	T	M2	M3	Element	Elem Station
							m	KN	KN	KN	kN-m	kN-m	kN-m		m
Story1	B13	171	Comb17	Combination	Max		3,500	0	116,9364	0	-0,0643	0	-1,493	171-4	0,5
Story1	B13	171	Comb17	Combination	Max		3,000	0	114,883	0	-0,0643	0	54,4163	171-4	0
Story1	B13	171	Comb17	Combination	Min		4,500	0	123,4008	0	-0,0773	0	-125,719	171-5	0,5
Story1	B13	171	Comb17	Combination	Min		4,000	0	121,3474	0	-0,0773	0	-62,4851	171-5	0
Story1	B13	171	Comb17	Combination	Min		4,000	0	114,8985	0	-0,0803	0	-62,5201	171-4	1
Story1	B13	171	Comb17	Combination	Min		3,500	0	112,8451	0	-0,0803	0	-3,5386	171-4	0,5
Story1	B13	171	Comb17	Combination	Min		3,000	0	110,7917	0	-0,0803	0	54,4162	171-4	0
Story1	B13	171	Comb17	Combination	Max		5,000	0	129,5483	0	-0,0604	0	-181,794	171-5	1
Story1	B13	171	Comb17	Combination	Max		5,000	0	136,0549	0	-0,0322	0	-181,861	171-6	0
Story1	B13	171	Comb17	Combination	Min		5,000	0	125,4543	0	-0,0773	0	-189,98	171-5	1
Story1	B13	171	Comb17	Combination	Min		5,000	0	131,9506	0	-0,0507	0	-190,047	171-6	0
Story1	B13	171	Comb17	Combination	Max		5,338	0	137,4409	0	-0,0322	0	-226,628	171-6	0,3375
Story1	B13	171	Comb17	Combination	Min		5,338	0	133,3366	0	-0,0507	0	-236,2	171-6	0,3375
Story1	B13	171	Comb17	Combination	Max		5,675	0	138,827	0	-0,0322	0	-271,863	171-6	0,675
Story1	B13	171	Comb17	Combination	Min		5,675	0	134,7227	0	-0,0507	0	-282,82	171-6	0,675
Story1	B13	171	Comb18	Combination	Max		5,675	0	-26,2469	0	-0,0383	0	161,5128	171-6	0,675
Story1	B13	171	Comb18	Combination	Min		5,675	0	-27,615	0	-0,0445	0	157,8606	171-6	0,675
Story1	B13	171	Comb18	Combination	Max		5,338	0	-27,633	0	-0,0383	0	151,9588	171-6	0,3375
Story1	B13	171	Comb18	Combination	Min		5,338	0	-29,0011	0	-0,0445	0	148,7684	171-6	0,3375
Story1	B13	171	Comb18	Combination	Max		5,000	0	-35,1153	0	-0,066	0	142,0047	171-5	1
Story1	B13	171	Comb18	Combination	Max		5,000	0	-29,019	0	-0,0383	0	141,9371	171-6	0
Story1	B13	171	Comb18	Combination	Min		5,000	0	-36,48	0	-0,0716	0	139,276	171-5	1
Story1	B13	171	Comb18	Combination	Min		5,000	0	-30,3871	0	-0,0445	0	139,2084	171-6	0
Story1	B13	171	Comb18	Combination	Max		3,000	0	-112,156	0	0,075	0	54,4163	171-3	1
Story1	B13	171	Comb18	Combination	Max		2,500	0	-114,209	0	0,075	0	-2,1748	171-3	0,5
Story1	B13	171	Comb18	Combination	Max		2,000	0	-116,262	0	0,075	0	-59,7926	171-3	0

Story	Beam	Unique Name	Output Case	Case Type	Step Type	Step Number	Station	P	V2	V3	T	M2	M3	Element	Elem Station
							m	KN	KN	KN	kN-m	kN-m	kN-m		m
Story1	B13	171	Comb18	Combination	Max		2,000	0	-122,712	0	0,0716	0	-59,757	171-2	1
Story1	B13	171	Comb18	Combination	Max		1,500	0	-124,766	0	0,0716	0	-121,626	171-2	0,5
Story1	B13	171	Comb18	Combination	Min		3,000	0	-113,519	0	0,0696	0	54,4163	171-3	1
Story1	B13	171	Comb18	Combination	Min		2,500	0	-115,573	0	0,0696	0	-2,8567	171-3	0,5
Story1	B13	171	Comb18	Combination	Min		2,000	0	-117,626	0	0,0696	0	-61,1564	171-3	0
Story1	B13	171	Comb18	Combination	Min		2,000	0	-124,077	0	0,066	0	-61,121	171-2	1
Story1	B13	171	Comb18	Combination	Min		1,500	0	-126,13	0	0,066	0	-123,673	171-2	0,5
Story1	B13	171	Comb18	Combination	Max		4,500	0	-37,1687	0	-0,066	0	123,2514	171-5	0,5
Story1	B13	171	Comb18	Combination	Max		4,000	0	-39,2222	0	-0,066	0	103,4713	171-5	0
Story1	B13	171	Comb18	Combination	Max		4,000	0	-45,5676	0	-0,0697	0	103,4013	171-4	1
Story1	B13	171	Comb18	Combination	Max		3,500	0	-47,621	0	-0,0697	0	79,4222	171-4	0,5
Story1	B13	171	Comb18	Combination	Max		3,000	0	-49,6744	0	-0,0697	0	54,4165	171-4	0
Story1	B13	171	Comb18	Combination	Min		4,500	0	-38,5334	0	-0,0716	0	121,205	171-5	0,5
Story1	B13	171	Comb18	Combination	Min		4,000	0	-40,5868	0	-0,0716	0	102,1073	171-5	0
Story1	B13	171	Comb18	Combination	Min		4,000	0	-46,9313	0	-0,0751	0	102,0375	171-4	1
Story1	B13	171	Comb18	Combination	Min		3,500	0	-48,9848	0	-0,0751	0	78,7404	171-4	0,5
Story1	B13	171	Comb18	Combination	Min		3,000	0	-51,0382	0	-0,0751	0	54,4165	171-4	0
Story1	B13	171	Comb18	Combination	Max		1,000	0	-126,819	0	0,0716	0	-184,523	171-2	0
Story1	B13	171	Comb18	Combination	Max		1,000	0	-133,319	0	0,0446	0	-184,59	171-1	1
Story1	B13	171	Comb18	Combination	Min		1,000	0	-128,184	0	0,066	0	-187,251	171-2	0
Story1	B13	171	Comb18	Combination	Min		1,000	0	-134,687	0	0,0384	0	-187,319	171-1	1
Story1	B13	171	Comb18	Combination	Max		0,663	0	-134,705	0	0,0446	0	-229,819	171-1	0,6625
Story1	B13	171	Comb18	Combination	Min		0,663	0	-136,073	0	0,0384	0	-233,009	171-1	0,6625
Story1	B13	171	Comb18	Combination	Max		0,325	0	-136,091	0	0,0446	0	-275,516	171-1	0,325
Story1	B13	171	Comb18	Combination	Min		0,325	0	-137,459	0	0,0384	0	-279,168	171-1	0,325
Story1	B13	171	Comb2	Combination			2,000	0	-102,817	0	0,4143	0	51,1418	171-2	1

Story	Beam	Unique Name	Output Case	Case Type	Step Type	Step Number	Station	P	V2	V3	T	M2	M3	Element	Elem Station
							m	KN	KN	KN	kN-m	kN-m	kN-m		m
Story1	B13	171	Comb2	Combination			1,500	0	-106,03	0	0,4143	0	-1,0701	171-2	0,5
Story1	B13	171	Comb2	Combination			3,000	0	-78,8466	0	0,3876	0	133,0535	171-3	1
Story1	B13	171	Comb2	Combination			2,500	0	-82,0593	0	0,3876	0	92,8271	171-3	0,5
Story1	B13	171	Comb2	Combination			2,000	0	-85,272	0	0,3876	0	50,9942	171-3	0
Story1	B13	171	Comb2	Combination			1,000	0	-109,243	0	0,4143	0	-54,8883	171-2	0
Story1	B13	171	Comb2	Combination			5,000	0	109,2428	0	-0,4143	0	-54,8883	171-5	1
Story1	B13	171	Comb2	Combination			1,000	0	-126,529	0	0,3894	0	-55,072	171-1	1
Story1	B13	171	Comb2	Combination			5,000	0	126,5289	0	-0,3894	0	-55,072	171-6	0
Story1	B13	171	Comb2	Combination			0,663	0	-128,698	0	0,3894	0	-98,1414	171-1	0,6625
Story1	B13	171	Comb2	Combination			5,338	0	128,6975	0	-0,3894	0	-98,1414	171-6	0,3375
Story1	B13	171	Comb2	Combination			0,325	0	-130,866	0	0,3894	0	-141,943	171-1	0,325
Story1	B13	171	Comb2	Combination			5,675	0	130,866	0	-0,3894	0	-141,943	171-6	0,675
Story1	B13	171	Comb2	Combination			4,000	0	85,272	0	-0,3876	0	50,9942	171-4	1
Story1	B13	171	Comb2	Combination			3,500	0	82,0593	0	-0,3876	0	92,8271	171-4	0,5
Story1	B13	171	Comb2	Combination			3,000	0	78,8466	0	-0,3876	0	133,0535	171-4	0
Story1	B13	171	Comb2	Combination			4,500	0	106,0301	0	-0,4143	0	-1,0701	171-5	0,5
Story1	B13	171	Comb2	Combination			4,000	0	102,8174	0	-0,4143	0	51,1418	171-5	0
Story1	B13	171	Comb3	Combination	Max		2,000	0	-69,623	0	0,7079	0	74,404	171-2	1
Story1	B13	171	Comb3	Combination	Max		1,500	0	-73,1918	0	0,7079	0	38,7002	171-2	0,5
Story1	B13	171	Comb3	Combination	Min		2,000	0	-73,3531	0	0,6925	0	70,6756	171-2	1
Story1	B13	171	Comb3	Combination	Min		1,500	0	-76,9219	0	0,6925	0	33,1068	171-2	0,5
Story1	B13	171	Comb3	Combination	Max		3,000	0	-46,6741	0	0,6356	0	124,509	171-3	1
Story1	B13	171	Comb3	Combination	Max		2,500	0	-50,2428	0	0,6356	0	100,2797	171-3	0,5
Story1	B13	171	Comb3	Combination	Max		2,000	0	-53,8116	0	0,6356	0	74,2661	171-3	0
Story1	B13	171	Comb3	Combination	Min		3,000	0	-50,4017	0	0,621	0	124,5089	171-3	1
Story1	B13	171	Comb3	Combination	Min		2,500	0	-53,9705	0	0,621	0	98,4159	171-3	0,5

Story	Beam	Unique Name	Output Case	Case Type	Step Type	Step Number	Station	P	V2	V3	T	M2	M3	Element	Elem Station
							m	KN	KN	KN	kN-m	kN-m	kN-m		m
Story1	B13	171	Comb3	Combination	Min		2,000	0	-57,5392	0	0,621	0	70,5385	171-3	0
Story1	B13	171	Comb3	Combination	Max		1,000	0	-76,7605	0	0,7079	0	1,2122	171-2	0
Story1	B13	171	Comb3	Combination	Max		1,000	0	-92,2871	0	0,7448	0	1,0461	171-1	1
Story1	B13	171	Comb3	Combination	Min		1,000	0	-80,4906	0	0,6925	0	-6,2463	171-2	0
Story1	B13	171	Comb3	Combination	Min		1,000	0	-96,0266	0	0,7279	0	-6,4124	171-1	1
Story1	B13	171	Comb3	Combination	Max		0,663	0	-94,696	0	0,7448	0	-30,5074	171-1	0,6625
Story1	B13	171	Comb3	Combination	Min		0,663	0	-98,4355	0	0,7279	0	-39,2279	171-1	0,6625
Story1	B13	171	Comb3	Combination	Max		0,325	0	-97,1049	0	0,7448	0	-62,8738	171-1	0,325
Story1	B13	171	Comb3	Combination	Min		0,325	0	-100,844	0	0,7279	0	-72,8564	171-1	0,325
Story1	B13	171	Comb3	Combination	Max		5,000	0	129,4803	0	-0,6925	0	-96,746	171-5	1
Story1	B13	171	Comb3	Combination	Max		5,000	0	145,1384	0	-0,7279	0	-96,912	171-6	0
Story1	B13	171	Comb3	Combination	Min		5,000	0	125,7502	0	-0,7079	0	-104,205	171-5	1
Story1	B13	171	Comb3	Combination	Min		5,000	0	141,3989	0	-0,7448	0	-104,371	171-6	0
Story1	B13	171	Comb3	Combination	Max		5,338	0	147,5473	0	-0,7279	0	-145,041	171-6	0,3375
Story1	B13	171	Comb3	Combination	Min		5,338	0	143,8078	0	-0,7448	0	-153,761	171-6	0,3375
Story1	B13	171	Comb3	Combination	Max		5,675	0	149,9561	0	-0,7279	0	-193,982	171-6	0,675
Story1	B13	171	Comb3	Combination	Min		5,675	0	146,2167	0	-0,7448	0	-203,965	171-6	0,675
Story1	B13	171	Comb3	Combination	Max		4,000	0	106,4973	0	-0,621	0	25,3079	171-4	1
Story1	B13	171	Comb3	Combination	Max		3,500	0	102,9286	0	-0,621	0	75,8006	171-4	0,5
Story1	B13	171	Comb3	Combination	Max		3,000	0	99,3598	0	-0,621	0	124,5089	171-4	0
Story1	B13	171	Comb3	Combination	Min		4,000	0	102,7697	0	-0,6356	0	21,5803	171-4	1
Story1	B13	171	Comb3	Combination	Min		3,500	0	99,2009	0	-0,6356	0	73,9368	171-4	0,5
Story1	B13	171	Comb3	Combination	Min		3,000	0	95,6322	0	-0,6356	0	124,5089	171-4	0
Story1	B13	171	Comb3	Combination	Max		4,500	0	125,9115	0	-0,6925	0	-34,7631	171-5	0,5
Story1	B13	171	Comb3	Combination	Max		4,000	0	122,3428	0	-0,6925	0	25,4355	171-5	0
Story1	B13	171	Comb3	Combination	Min		4,500	0	122,1815	0	-0,7079	0	-40,3565	171-5	0,5

Story	Beam	Unique Name	Output Case	Case Type	Step Type	Step Number	Station	P	V2	V3	T	M2	M3	Element	Elem Station
							m	KN	KN	KN	kN-m	kN-m	kN-m		m
Story1	B13	171	Comb3	Combination	Min		4,000	0	118,6127	0	-0,7079	0	21,7071	171-5	0
Story1	B13	171	Comb4	Combination	Max		2,000	0	-117,794	0	0,7112	0	26,2539	171-2	1
Story1	B13	171	Comb4	Combination	Max		1,500	0	-121,363	0	0,7112	0	-33,5353	171-2	0,5
Story1	B13	171	Comb4	Combination	Min		2,000	0	-123,162	0	0,6891	0	20,8886	171-2	1
Story1	B13	171	Comb4	Combination	Min		1,500	0	-126,73	0	0,6891	0	-41,5843	171-2	0,5
Story1	B13	171	Comb4	Combination	Max		3,000	0	-94,814	0	0,6388	0	124,5089	171-3	1
Story1	B13	171	Comb4	Combination	Max		2,500	0	-98,3827	0	0,6388	0	76,2097	171-3	0,5
Story1	B13	171	Comb4	Combination	Max		2,000	0	-101,951	0	0,6388	0	26,1262	171-3	0
Story1	B13	171	Comb4	Combination	Min		3,000	0	-100,178	0	0,6177	0	124,5089	171-3	1
Story1	B13	171	Comb4	Combination	Min		2,500	0	-103,747	0	0,6177	0	73,5277	171-3	0,5
Story1	B13	171	Comb4	Combination	Min		2,000	0	-107,316	0	0,6177	0	20,7621	171-3	0
Story1	B13	171	Comb4	Combination	Max		5,000	0	81,3094	0	-0,6891	0	2,8494	171-5	1
Story1	B13	171	Comb4	Combination	Max		5,000	0	96,8475	0	-0,7242	0	2,6833	171-6	0
Story1	B13	171	Comb4	Combination	Min		5,000	0	75,9417	0	-0,7112	0	-7,8835	171-5	1
Story1	B13	171	Comb4	Combination	Min		5,000	0	91,4663	0	-0,7485	0	-8,0496	171-6	0
Story1	B13	171	Comb4	Combination	Max		5,338	0	99,2564	0	-0,7242	0	-28,5931	171-6	0,3375
Story1	B13	171	Comb4	Combination	Min		5,338	0	93,8752	0	-0,7485	0	-41,1422	171-6	0,3375
Story1	B13	171	Comb4	Combination	Max		5,675	0	101,6653	0	-0,7242	0	-60,6825	171-6	0,675
Story1	B13	171	Comb4	Combination	Min		5,675	0	96,2841	0	-0,7485	0	-75,0477	171-6	0,675
Story1	B13	171	Comb4	Combination	Max		1,000	0	-124,931	0	0,7112	0	-95,1088	171-2	0
Story1	B13	171	Comb4	Combination	Max		1,000	0	-140,578	0	0,7485	0	-95,2748	171-1	1
Story1	B13	171	Comb4	Combination	Min		1,000	0	-130,299	0	0,6891	0	-105,842	171-2	0
Story1	B13	171	Comb4	Combination	Min		1,000	0	-145,959	0	0,7242	0	-106,008	171-1	1
Story1	B13	171	Comb4	Combination	Max		0,663	0	-142,987	0	0,7485	0	-143,126	171-1	0,6625
Story1	B13	171	Comb4	Combination	Min		0,663	0	-148,368	0	0,7242	0	-155,675	171-1	0,6625
Story1	B13	171	Comb4	Combination	Max		0,325	0	-145,396	0	0,7485	0	-191,791	171-1	0,325

Story	Beam	Unique Name	Output Case	Case Type	Step Type	Step Number	Station	P	V2	V3	T	M2	M3	Element	Elem Station
							m	KN	KN	KN	kN-m	kN-m	kN-m		m
Story1	B13	171	Comb4	Combination	Min		0,325	0	-150,777	0	0,7242	0	-206,156	171-1	0,325
Story1	B13	171	Comb4	Combination	Max		4,000	0	58,3575	0	-0,6178	0	75,0843	171-4	1
Story1	B13	171	Comb4	Combination	Max		3,500	0	54,7887	0	-0,6178	0	100,6888	171-4	0,5
Story1	B13	171	Comb4	Combination	Max		3,000	0	51,22	0	-0,6178	0	124,509	171-4	0
Story1	B13	171	Comb4	Combination	Min		4,000	0	52,9933	0	-0,6388	0	69,7202	171-4	1
Story1	B13	171	Comb4	Combination	Min		3,500	0	49,4246	0	-0,6388	0	98,0068	171-4	0,5
Story1	B13	171	Comb4	Combination	Min		3,000	0	45,8559	0	-0,6388	0	124,5089	171-4	0
Story1	B13	171	Comb4	Combination	Max		4,500	0	77,7407	0	-0,6891	0	39,9281	171-5	0,5
Story1	B13	171	Comb4	Combination	Max		4,000	0	74,1719	0	-0,6891	0	75,2224	171-5	0
Story1	B13	171	Comb4	Combination	Min		4,500	0	72,373	0	-0,7112	0	31,879	171-5	0,5
Story1	B13	171	Comb4	Combination	Min		4,000	0	68,8042	0	-0,7112	0	69,8571	171-5	0
Story1	B13	171	Comb5	Combination	Max		1,000	0	-75,9555	0	0,0778	0	2,8411	171-2	0
Story1	B13	171	Comb5	Combination	Max		1,000	0	-91,4779	0	-0,0031	0	2,675	171-1	1
Story1	B13	171	Comb5	Combination	Max		3,000	0	-45,8692	0	0,0997	0	124,528	171-3	1
Story1	B13	171	Comb5	Combination	Max		2,500	0	-49,438	0	0,0997	0	100,7011	171-3	0,5
Story1	B13	171	Comb5	Combination	Max		2,000	0	-53,0067	0	0,0997	0	75,09	171-3	0
Story1	B13	171	Comb5	Combination	Min		1,000	0	-81,3232	0	0,0557	0	-7,8918	171-2	0
Story1	B13	171	Comb5	Combination	Min		1,000	0	-96,8591	0	-0,0274	0	-8,0579	171-1	1
Story1	B13	171	Comb5	Combination	Max		0,663	0	-93,8868	0	-0,0031	0	-28,6053	171-1	0,6625
Story1	B13	171	Comb5	Combination	Min		3,000	0	-51,2334	0	0,0787	0	124,5279	171-3	1
Story1	B13	171	Comb5	Combination	Min		2,500	0	-54,8021	0	0,0787	0	98,0191	171-3	0,5
Story1	B13	171	Comb5	Combination	Min		2,000	0	-58,3708	0	0,0787	0	69,7259	171-3	0
Story1	B13	171	Comb5	Combination	Min		0,663	0	-99,268	0	-0,0274	0	-41,1544	171-1	0,6625
Story1	B13	171	Comb5	Combination	Max		2,000	0	-68,8181	0	0,0778	0	75,228	171-2	1
Story1	B13	171	Comb5	Combination	Max		1,500	0	-72,3868	0	0,0778	0	39,9267	171-2	0,5
Story1	B13	171	Comb5	Combination	Max		0,325	0	-96,2957	0	-0,0031	0	-60,6986	171-1	0,325

Story	Beam	Unique Name	Output Case	Case Type	Step Type	Step Number	Station	P	V2	V3	T	M2	M3	Element	Elem Station
							m	KN	KN	KN	kN-m	kN-m	kN-m		m
Story1	B13	171	Comb5	Combination	Min		2,000	0	-74,1858	0	0,0557	0	69,8627	171-2	1
Story1	B13	171	Comb5	Combination	Min		1,500	0	-77,7545	0	0,0557	0	31,8776	171-2	0,5
Story1	B13	171	Comb5	Combination	Max		4,500	0	126,7442	0	-0,0557	0	-33,5366	171-5	0,5
Story1	B13	171	Comb5	Combination	Max		4,000	0	123,1754	0	-0,0557	0	26,2595	171-5	0
Story1	B13	171	Comb5	Combination	Min		0,325	0	-101,677	0	-0,0274	0	-75,0638	171-1	0,325
Story1	B13	171	Comb5	Combination	Min		4,500	0	121,3765	0	-0,0778	0	-41,5857	171-5	0,5
Story1	B13	171	Comb5	Combination	Min		4,000	0	117,8078	0	-0,0778	0	20,8942	171-5	0
Story1	B13	171	Comb5	Combination	Max		4,000	0	107,3289	0	-0,0786	0	26,1318	171-4	1
Story1	B13	171	Comb5	Combination	Max		3,500	0	103,7602	0	-0,0786	0	76,222	171-4	0,5
Story1	B13	171	Comb5	Combination	Max		3,000	0	100,1915	0	-0,0786	0	124,5279	171-4	0
Story1	B13	171	Comb5	Combination	Max		5,000	0	130,3129	0	-0,0557	0	-95,117	171-5	1
Story1	B13	171	Comb5	Combination	Min		4,000	0	101,9648	0	-0,0997	0	20,7677	171-4	1
Story1	B13	171	Comb5	Combination	Min		3,500	0	98,3961	0	-0,0997	0	73,54	171-4	0,5
Story1	B13	171	Comb5	Combination	Min		3,000	0	94,8273	0	-0,0997	0	124,5279	171-4	0
Story1	B13	171	Comb5	Combination	Max		5,000	0	145,9709	0	0,0273	0	-95,283	171-6	0
Story1	B13	171	Comb5	Combination	Min		5,000	0	124,9452	0	-0,0778	0	-105,85	171-5	1
Story1	B13	171	Comb5	Combination	Min		5,000	0	140,5897	0	0,0031	0	-106,016	171-6	0
Story1	B13	171	Comb5	Combination	Max		5,338	0	148,3798	0	0,0273	0	-143,139	171-6	0,3375
Story1	B13	171	Comb5	Combination	Min		5,338	0	142,9985	0	0,0031	0	-155,688	171-6	0,3375
Story1	B13	171	Comb5	Combination	Max		5,675	0	150,7886	0	0,0273	0	-191,807	171-6	0,675
Story1	B13	171	Comb5	Combination	Min		5,675	0	145,4074	0	0,0031	0	-206,172	171-6	0,675
Story1	B13	171	Comb6	Combination	Max		5,000	0	80,5044	0	-0,0591	0	1,2039	171-5	1
Story1	B13	171	Comb6	Combination	Max		5,000	0	96,0383	0	0,0237	0	1,0378	171-6	0
Story1	B13	171	Comb6	Combination	Min		5,000	0	76,7743	0	-0,0745	0	-6,2546	171-5	1
Story1	B13	171	Comb6	Combination	Min		5,000	0	92,2988	0	0,0068	0	-6,4207	171-6	0
Story1	B13	171	Comb6	Combination	Max		3,000	0	-95,6456	0	0,0965	0	124,5279	171-3	1

Story	Beam	Unique Name	Output Case	Case Type	Step Type	Step Number	Station	P	V2	V3	T	M2	M3	Element	Elem Station
							m	KN	KN	KN	kN-m	kN-m	kN-m		m
Story1	B13	171	Comb6	Combination	Max		2,500	0	-99,2143	0	0,0965	0	75,8129	171-3	0,5
Story1	B13	171	Comb6	Combination	Max		5,338	0	98,4472	0	0,0237	0	-30,5196	171-6	0,3375
Story1	B13	171	Comb6	Combination	Max		2,000	0	-102,783	0	0,0965	0	25,3135	171-3	0
Story1	B13	171	Comb6	Combination	Min		3,000	0	-99,3732	0	0,0818	0	124,5279	171-3	1
Story1	B13	171	Comb6	Combination	Min		2,500	0	-102,942	0	0,0818	0	73,9491	171-3	0,5
Story1	B13	171	Comb6	Combination	Min		2,000	0	-106,511	0	0,0818	0	21,5859	171-3	0
Story1	B13	171	Comb6	Combination	Min		5,338	0	94,7077	0	0,0068	0	-39,2401	171-6	0,3375
Story1	B13	171	Comb6	Combination	Max		2,000	0	-118,627	0	0,0745	0	25,441	171-2	1
Story1	B13	171	Comb6	Combination	Max		1,500	0	-122,195	0	0,0745	0	-34,7644	171-2	0,5
Story1	B13	171	Comb6	Combination	Max		5,675	0	100,856	0	0,0237	0	-62,8899	171-6	0,675
Story1	B13	171	Comb6	Combination	Min		2,000	0	-122,357	0	0,0591	0	21,7126	171-2	1
Story1	B13	171	Comb6	Combination	Min		1,500	0	-125,925	0	0,0591	0	-40,3579	171-2	0,5
Story1	B13	171	Comb6	Combination	Max		4,500	0	76,9357	0	-0,0591	0	38,6989	171-5	0,5
Story1	B13	171	Comb6	Combination	Max		4,000	0	73,367	0	-0,0591	0	74,4095	171-5	0
Story1	B13	171	Comb6	Combination	Min		5,675	0	97,1166	0	0,0068	0	-72,8725	171-6	0,675
Story1	B13	171	Comb6	Combination	Min		4,500	0	73,2056	0	-0,0745	0	33,1055	171-5	0,5
Story1	B13	171	Comb6	Combination	Min		4,000	0	69,6369	0	-0,0745	0	70,6811	171-5	0
Story1	B13	171	Comb6	Combination	Max		4,000	0	57,5526	0	-0,0819	0	74,2717	171-4	1
Story1	B13	171	Comb6	Combination	Max		3,500	0	53,9839	0	-0,0819	0	100,292	171-4	0,5
Story1	B13	171	Comb6	Combination	Max		3,000	0	50,4151	0	-0,0819	0	124,528	171-4	0
Story1	B13	171	Comb6	Combination	Min		4,000	0	53,825	0	-0,0965	0	70,5441	171-4	1
Story1	B13	171	Comb6	Combination	Min		3,500	0	50,2562	0	-0,0965	0	98,4282	171-4	0,5
Story1	B13	171	Comb6	Combination	Min		3,000	0	46,6875	0	-0,0965	0	124,5279	171-4	0
Story1	B13	171	Comb6	Combination	Max		1,000	0	-125,764	0	0,0745	0	-96,7543	171-2	0
Story1	B13	171	Comb6	Combination	Max		1,000	0	-141,411	0	-0,0068	0	-96,9203	171-1	1
Story1	B13	171	Comb6	Combination	Min		1,000	0	-129,494	0	0,0591	0	-104,213	171-2	0

Story	Beam	Unique Name	Output Case	Case Type	Step Type	Step Number	Station	P	V2	V3	T	M2	M3	Element	Elem Station
							m	KN	KN	KN	kN-m	kN-m	kN-m		m
Story1	B13	171	Comb6	Combination	Min		1,000	0	-145,15	0	-0,0236	0	-104,379	171-1	1
Story1	B13	171	Comb6	Combination	Max		0,663	0	-143,819	0	-0,0068	0	-145,053	171-1	0,6625
Story1	B13	171	Comb6	Combination	Min		0,663	0	-147,559	0	-0,0236	0	-153,773	171-1	0,6625
Story1	B13	171	Comb6	Combination	Max		0,325	0	-146,228	0	-0,0068	0	-193,998	171-1	0,325
Story1	B13	171	Comb6	Combination	Min		0,325	0	-149,968	0	-0,0236	0	-203,981	171-1	0,325
Story1	B13	171	Comb7	Combination	Max		2,000	0	-13,656	0	0,4813	0	130,3537	171-2	1
Story1	B13	171	Comb7	Combination	Max		1,500	0	-17,2247	0	0,4813	0	122,6335	171-2	0,5
Story1	B13	171	Comb7	Combination	Min		2,000	0	-15,0207	0	0,4757	0	128,9896	171-2	1
Story1	B13	171	Comb7	Combination	Min		1,500	0	-18,5894	0	0,4757	0	120,5871	171-2	0,5
Story1	B13	171	Comb7	Combination	Max		3,000	0	9,257	0	0,4423	0	124,5157	171-3	1
Story1	B13	171	Comb7	Combination	Max		2,500	0	5,6883	0	0,4423	0	128,252	171-3	0,5
Story1	B13	171	Comb7	Combination	Max		2,000	0	2,1196	0	0,4423	0	130,204	171-3	0
Story1	B13	171	Comb7	Combination	Min		3,000	0	7,8933	0	0,437	0	124,5157	171-3	1
Story1	B13	171	Comb7	Combination	Min		2,500	0	4,3246	0	0,437	0	127,5701	171-3	0,5
Story1	B13	171	Comb7	Combination	Min		2,000	0	0,7558	0	0,437	0	128,8402	171-3	0
Story1	B13	171	Comb7	Combination	Max		1,000	0	-20,7934	0	0,4813	0	113,1289	171-2	0
Story1	B13	171	Comb7	Combination	Max		1,000	0	-36,1799	0	0,4763	0	112,9627	171-1	1
Story1	B13	171	Comb7	Combination	Min		1,000	0	-22,1581	0	0,4757	0	110,4002	171-2	0
Story1	B13	171	Comb7	Combination	Min		1,000	0	-37,548	0	0,4702	0	110,234	171-1	1
Story1	B13	171	Comb7	Combination	Max		0,663	0	-38,5888	0	0,4763	0	100,3455	171-1	0,6625
Story1	B13	171	Comb7	Combination	Min		0,663	0	-39,9569	0	0,4702	0	97,155	171-1	0,6625
Story1	B13	171	Comb7	Combination	Max		0,325	0	-40,9977	0	0,4763	0	86,9153	171-1	0,325
Story1	B13	171	Comb7	Combination	Min		0,325	0	-42,3658	0	0,4702	0	83,2631	171-1	0,325
Story1	B13	171	Comb7	Combination	Max		4,000	0	162,4378	0	-0,4369	0	-32,9899	171-4	1
Story1	B13	171	Comb7	Combination	Max		3,500	0	158,8691	0	-0,4369	0	46,655	171-4	0,5
Story1	B13	171	Comb7	Combination	Max		3,000	0	155,3004	0	-0,4369	0	124,5155	171-4	0

Story	Beam	Unique Name	Output Case	Case Type	Step Type	Step Number	Station	P	V2	V3	T	M2	M3	Element	Elem Station
							m	KN	KN	KN	kN-m	kN-m	kN-m		m
Story1	B13	171	Comb7	Combination	Min		4,000	0	161,0741	0	-0,4422	0	-34,3537	171-4	1
Story1	B13	171	Comb7	Combination	Min		3,500	0	157,5053	0	-0,4422	0	45,9731	171-4	0,5
Story1	B13	171	Comb7	Combination	Max		5,000	0	185,457	0	-0,4757	0	-213,398	171-5	1
Story1	B13	171	Comb7	Combination	Max		5,000	0	201,2538	0	-0,4703	0	-213,564	171-6	0
Story1	B13	171	Comb7	Combination	Min		5,000	0	184,0924	0	-0,4813	0	-216,127	171-5	1
Story1	B13	171	Comb7	Combination	Min		5,000	0	199,8857	0	-0,4764	0	-216,293	171-6	0
Story1	B13	171	Comb7	Combination	Min		3,000	0	153,9366	0	-0,4422	0	124,5154	171-4	0
Story1	B13	171	Comb7	Combination	Max		4,500	0	181,8883	0	-0,4757	0	-122,244	171-5	0,5
Story1	B13	171	Comb7	Combination	Max		4,000	0	178,3196	0	-0,4757	0	-32,8747	171-5	0
Story1	B13	171	Comb7	Combination	Min		4,500	0	180,5236	0	-0,4813	0	-124,291	171-5	0,5
Story1	B13	171	Comb7	Combination	Min		4,000	0	176,9549	0	-0,4813	0	-34,2387	171-5	0
Story1	B13	171	Comb7	Combination	Max		5,338	0	203,6627	0	-0,4703	0	-281,432	171-6	0,3375
Story1	B13	171	Comb7	Combination	Min		5,338	0	202,2946	0	-0,4764	0	-284,623	171-6	0,3375
Story1	B13	171	Comb7	Combination	Max		5,675	0	206,0716	0	-0,4703	0	-350,113	171-6	0,675
Story1	B13	171	Comb7	Combination	Min		5,675	0	204,7034	0	-0,4764	0	-353,765	171-6	0,675
Story1	B13	171	Comb8	Combination	Max		2,000	0	-175,59	0	0,4869	0	-31,5106	171-2	1
Story1	B13	171	Comb8	Combination	Max		1,500	0	-179,159	0	0,4869	0	-120,198	171-2	0,5
Story1	B13	171	Comb8	Combination	Min		2,000	0	-179,684	0	0,47	0	-35,6028	171-2	1
Story1	B13	171	Comb8	Combination	Min		1,500	0	-183,253	0	0,47	0	-126,337	171-2	0,5
Story1	B13	171	Comb8	Combination	Max		3,000	0	-152,573	0	0,4476	0	124,5155	171-3	1
Story1	B13	171	Comb8	Combination	Max		2,500	0	-156,142	0	0,4476	0	47,3368	171-3	0,5
Story1	B13	171	Comb8	Combination	Max		2,000	0	-159,71	0	0,4476	0	-31,6261	171-3	0
Story1	B13	171	Comb8	Combination	Max		5,000	0	23,5228	0	-0,47	0	115,8576	171-5	1
Story1	B13	171	Comb8	Combination	Max		5,000	0	38,9161	0	-0,464	0	115,6914	171-6	0
Story1	B13	171	Comb8	Combination	Min		3,000	0	-156,664	0	0,4315	0	124,5154	171-3	1
Story1	B13	171	Comb8	Combination	Min		2,500	0	-160,233	0	0,4315	0	45,2912	171-3	0,5

Story	Beam	Unique Name	Output Case	Case Type	Step Type	Step Number	Station	P	V2	V3	T	M2	M3	Element	Elem Station
							m	KN	KN	KN	kN-m	kN-m	kN-m		m
Story1	B13	171	Comb8	Combination	Min		2,000	0	-163,802	0	0,4315	0	-35,7174	171-3	0
Story1	B13	171	Comb8	Combination	Min		5,000	0	19,4288	0	-0,4869	0	107,6715	171-5	1
Story1	B13	171	Comb8	Combination	Min		5,000	0	34,8118	0	-0,4825	0	107,5053	171-6	0
Story1	B13	171	Comb8	Combination	Max		5,338	0	41,325	0	-0,464	0	103,5359	171-6	0,3375
Story1	B13	171	Comb8	Combination	Min		5,338	0	37,2207	0	-0,4825	0	93,9646	171-6	0,3375
Story1	B13	171	Comb8	Combination	Max		5,675	0	43,7339	0	-0,464	0	90,5674	171-6	0,675
Story1	B13	171	Comb8	Combination	Min		5,675	0	39,6296	0	-0,4825	0	79,6109	171-6	0,675
Story1	B13	171	Comb8	Combination	Max		4,000	0	0,6079	0	-0,4316	0	131,5678	171-4	1
Story1	B13	171	Comb8	Combination	Max		1,000	0	-182,728	0	0,4869	0	-210,67	171-2	0
Story1	B13	171	Comb8	Combination	Max		1,000	0	-198,518	0	0,4826	0	-210,836	171-1	1
Story1	B13	171	Comb8	Combination	Max		3,500	0	-2,9608	0	-0,4316	0	128,9339	171-4	0,5
Story1	B13	171	Comb8	Combination	Max		3,000	0	-6,5295	0	-0,4316	0	124,5157	171-4	0
Story1	B13	171	Comb8	Combination	Min		4,000	0	-3,4834	0	-0,4477	0	127,4765	171-4	1
Story1	B13	171	Comb8	Combination	Min		3,500	0	-7,0521	0	-0,4477	0	126,8883	171-4	0,5
Story1	B13	171	Comb8	Combination	Min		3,000	0	-10,6208	0	-0,4477	0	124,5157	171-4	0
Story1	B13	171	Comb8	Combination	Max		4,500	0	19,954	0	-0,47	0	124,6799	171-5	0,5
Story1	B13	171	Comb8	Combination	Max		4,000	0	16,3853	0	-0,47	0	131,7177	171-5	0
Story1	B13	171	Comb8	Combination	Min		1,000	0	-186,822	0	0,47	0	-218,856	171-2	0
Story1	B13	171	Comb8	Combination	Min		1,000	0	-202,622	0	0,4641	0	-219,022	171-1	1
Story1	B13	171	Comb8	Combination	Min		4,500	0	15,86	0	-0,4869	0	118,5407	171-5	0,5
Story1	B13	171	Comb8	Combination	Min		4,000	0	12,2913	0	-0,4869	0	127,6256	171-5	0
Story1	B13	171	Comb8	Combination	Max		0,663	0	-200,927	0	0,4826	0	-278,242	171-1	0,6625
Story1	B13	171	Comb8	Combination	Min		0,663	0	-205,031	0	0,4641	0	-287,813	171-1	0,6625
Story1	B13	171	Comb8	Combination	Max		0,325	0	-203,335	0	0,4826	0	-346,461	171-1	0,325
Story1	B13	171	Comb8	Combination	Min		0,325	0	-207,44	0	0,4641	0	-357,417	171-1	0,325
Story1	B13	171	Comb9	Combination	Max		1,000	0	-19,4329	0	0,2969	0	115,8552	171-2	0

Story	Beam	Unique Name	Output Case	Case Type	Step Type	Step Number	Station	P	V2	V3	T	M2	M3	Element	Elem Station
							m	KN	KN	KN	kN-m	kN-m	kN-m		m
Story1	B13	171	Comb9	Combination	Max		1,000	0	-34,8153	0	0,257	0	115,6889	171-1	1
Story1	B13	171	Comb9	Combination	Min		1,000	0	-23,5269	0	0,28	0	107,669	171-2	0
Story1	B13	171	Comb9	Combination	Min		1,000	0	-38,9196	0	0,2385	0	107,5028	171-1	1
Story1	B13	171	Comb9	Combination	Max		0,663	0	-37,2242	0	0,257	0	103,5323	171-1	0,6625
Story1	B13	171	Comb9	Combination	Max		2,000	0	-12,2955	0	0,2969	0	131,7194	171-2	1
Story1	B13	171	Comb9	Combination	Min		0,663	0	-41,3285	0	0,2385	0	93,9609	171-1	0,6625
Story1	B13	171	Comb9	Combination	Max		0,325	0	-39,633	0	0,257	0	90,5626	171-1	0,325
Story1	B13	171	Comb9	Combination	Max		1,500	0	-15,8642	0	0,2969	0	124,6795	171-2	0,5
Story1	B13	171	Comb9	Combination	Max		3,000	0	10,6168	0	0,2859	0	124,5214	171-3	1
Story1	B13	171	Comb9	Combination	Max		2,500	0	7,0481	0	0,2859	0	128,9376	171-3	0,5
Story1	B13	171	Comb9	Combination	Max		2,000	0	3,4793	0	0,2859	0	131,5694	171-3	0
Story1	B13	171	Comb9	Combination	Min		0,325	0	-43,7374	0	0,2385	0	79,6061	171-1	0,325
Story1	B13	171	Comb9	Combination	Min		2,000	0	-16,3895	0	0,28	0	127,6272	171-2	1
Story1	B13	171	Comb9	Combination	Min		1,500	0	-19,9582	0	0,28	0	118,5403	171-2	0,5
Story1	B13	171	Comb9	Combination	Min		3,000	0	6,5255	0	0,2699	0	124,5214	171-3	1
Story1	B13	171	Comb9	Combination	Min		2,500	0	2,9568	0	0,2699	0	126,892	171-3	0,5
Story1	B13	171	Comb9	Combination	Min		2,000	0	-0,612	0	0,2699	0	127,4782	171-3	0
Story1	B13	171	Comb9	Combination	Max		4,000	0	163,8056	0	-0,2698	0	-31,6245	171-4	1
Story1	B13	171	Comb9	Combination	Max		3,500	0	160,2369	0	-0,2698	0	47,3405	171-4	0,5
Story1	B13	171	Comb9	Combination	Max		3,000	0	156,6682	0	-0,2698	0	124,5212	171-4	0
Story1	B13	171	Comb9	Combination	Max		4,500	0	183,2571	0	-0,28	0	-120,198	171-5	0,5
Story1	B13	171	Comb9	Combination	Max		4,000	0	179,6884	0	-0,28	0	-31,509	171-5	0
Story1	B13	171	Comb9	Combination	Min		4,000	0	159,7143	0	-0,2858	0	-35,7157	171-4	1
Story1	B13	171	Comb9	Combination	Min		3,500	0	156,1456	0	-0,2858	0	45,2949	171-4	0,5
Story1	B13	171	Comb9	Combination	Min		3,000	0	152,5769	0	-0,2858	0	124,5211	171-4	0
Story1	B13	171	Comb9	Combination	Min		4,500	0	179,1631	0	-0,2969	0	-126,338	171-5	0,5

Story	Beam	Unique Name	Output Case	Case Type	Step Type	Step Number	Station	P	V2	V3	T	M2	M3	Element	Elem Station
							m	KN	KN	KN	kN-m	kN-m	kN-m		m
Story1	B13	171	Comb9	Combination	Min		4,000	0	175,5944	0	-0,2969	0	-35,6011	171-5	0
Story1	B13	171	Comb9	Combination	Max		5,000	0	186,8258	0	-0,28	0	-210,672	171-5	1
Story1	B13	171	Comb9	Combination	Max		5,000	0	202,6254	0	-0,2386	0	-210,838	171-6	0
Story1	B13	171	Comb9	Combination	Min		5,000	0	182,7318	0	-0,2969	0	-218,858	171-5	1
Story1	B13	171	Comb9	Combination	Min		5,000	0	198,5211	0	-0,2571	0	-219,024	171-6	0
Story1	B13	171	Comb9	Combination	Max		5,338	0	205,0343	0	-0,2386	0	-278,245	171-6	0,3375
Story1	B13	171	Comb9	Combination	Min		5,338	0	200,9299	0	-0,2571	0	-287,817	171-6	0,3375
Story1	B13	171	Comb9	Combination	Max		5,675	0	207,4431	0	-0,2386	0	-346,466	171-6	0,675
Story1	B13	171	Comb9	Combination	Min		5,675	0	203,3388	0	-0,2571	0	-357,422	171-6	0,675
Story1	B13	171	Px	Combination			1,500	0	-80,544	0	0,3123	0	-0,7374	171-2	0,5
Story1	B13	171	Px	Combination			2,000	0	-77,8668	0	0,3123	0	38,8653	171-2	1
Story1	B13	171	Px	Combination			2,000	0	-64,8156	0	0,2922	0	38,7559	171-3	0
Story1	B13	171	Px	Combination			2,500	0	-62,1384	0	0,2922	0	70,4944	171-3	0,5
Story1	B13	171	Px	Combination			3,000	0	-59,4612	0	0,2922	0	100,8943	171-3	1
Story1	B13	171	Px	Combination			1,000	0	-83,2212	0	0,3123	0	-41,6787	171-2	0
Story1	B13	171	Px	Combination			5,000	0	83,2212	0	-0,3123	0	-41,6787	171-5	1
Story1	B13	171	Px	Combination			1,000	0	-96,078	0	0,2936	0	-41,8155	171-1	1
Story1	B13	171	Px	Combination			5,000	0	96,078	0	-0,2936	0	-41,8155	171-6	0
Story1	B13	171	Px	Combination			0,663	0	-97,8851	0	0,2936	0	-74,5468	171-1	0,6625
Story1	B13	171	Px	Combination			5,338	0	97,8851	0	-0,2936	0	-74,5468	171-6	0,3375
Story1	B13	171	Px	Combination			0,325	0	-99,6922	0	0,2936	0	-107,888	171-1	0,325
Story1	B13	171	Px	Combination			5,675	0	99,6922	0	-0,2936	0	-107,888	171-6	0,675
Story1	B13	171	Px	Combination			3,000	0	59,4612	0	-0,2922	0	100,8943	171-4	0
Story1	B13	171	Px	Combination			3,500	0	62,1384	0	-0,2922	0	70,4944	171-4	0,5
Story1	B13	171	Px	Combination			4,000	0	64,8156	0	-0,2922	0	38,7559	171-4	1
Story1	B13	171	Px	Combination			4,000	0	77,8668	0	-0,3123	0	38,8653	171-5	0

Story	Beam	Unique Name	Output Case	Case Type	Step Type	Step Number	Station	P	V2	V3	T	M2	M3	Element	Elem Station
							m	kN	kN	kN	kN-m	kN-m	kN-m		m
Story1	B13	171	Px	Combination			4,500	0	80,544	0	-0,3123	0	-0,7374	171-5	0,5

LAMPIRAN TABEL ELEMEN FORCE – BEAM (GRID 2/C-D LT 1) (TSD)

COMBO	Member Reference	Span/Stac k	Size	Positio n	Shear Major	Shear Minor	Moment Major	Moment Minor	Axial Force	Torsio n	Deflection Major	Deflection Minor
COMB1	1B121		350x65 0	2,675	-55,441	0	98,84	0	0	0,307	1,1	0
COMB1	1B121		350x65 0	4,013	-76,531	0	13,045	0	0	0,307	0,6	0
COMB1	1B121		350x65 0	5,35	-98,616	0	-106,532	0	0	0,307	0	0
COMB1	1B121		350x65 0	0	98,982	0	-106,386	0	0	-0,307	0	0
COMB1	1B121		350x65 0	1,338	76,024	0	12,685	0	0	-0,307	0,6	0
COMB1	1B121		350x65 0	2,675	55,871	0	98,841	0	0	-0,307	1,1	0
COMB1 0	1B121		350x65 0	2,675	10,984	0	123,803	0	0	0,291	1,4	0
COMB1 0	1B121		350x65 0	3,4	1,382	0	128,829	0	0	0,291	1,6	0
COMB1 0	1B121		350x65 0	3,469	0,006	0	128,878	0	0	0,291	1,6	0
COMB1 0	1B121		350x65 0	4,013	-13,556	0	125,416	0	0	0,291	1,5	0
COMB1 0	1B121		350x65 0	5,35	-39,456	0	86,644	0	0	0,291	0	0
COMB1 0	1B121		350x65 0	0	203,601	0	-350,909	0	0	-0,291	0	0
COMB1 0	1B121		350x65 0	0,556	195,712	0	-239,536	0	0	-0,291	-0,3	0
COMB1 0	1B121		350x65 0	1,338	176,519	0	-93,943	0	0	-0,291	0,1	0
COMB1 0	1B121		350x65 0	2,675	153,23	0	123,803	0	0	-0,291	1,4	0
COMB1 1	1B121		350x65 0	2,675	-54,924	0	54,159	0	0	0,508	0,6	0

COMBO	Member Reference	Span/Stac k	Size	Positio n	Shear Major	Shear Minor	Moment Major	Moment Minor	Axial Force	Torsio n	Deflection Major	Deflection Minor
COMB1 1	1B121		350x65 0	4,013	-66,482	0	-25,682	0	0	0,508	0,1	0
COMB1 1	1B121		350x65 0	4,936	-76,196	0	-91,963	0	0	0,508	-0,1	0
COMB1 1	1B121		350x65 0	5,35	-78,585	0	-124,037	0	0	0,508	0	0
COMB1 1	1B121		350x65 0	0	29,692	0	7,367	0	0	-0,508	0	0
COMB1 1	1B121		350x65 0	1,338	17,111	0	39,782	0	0	-0,508	0,5	0
COMB1 1	1B121		350x65 0	2,163	9,052	0	50,367	0	0	-0,508	0,7	0
COMB1 1	1B121		350x65 0	2,675	6,066	0	54,159	0	0	-0,508	0,6	0
COMB1 2	1B121		350x65 0	2,675	-5,831	0	54,159	0	0	0,508	0,6	0
COMB1 2	1B121		350x65 0	3,189	-8,837	0	50,466	0	0	0,508	0,7	0
COMB1 2	1B121		350x65 0	4,013	-17,389	0	39,98	0	0	0,508	0,5	0
COMB1 2	1B121		350x65 0	5,35	-29,492	0	7,287	0	0	0,508	0	0
COMB1 2	1B121		350x65 0	0	78,785	0	-123,957	0	0	-0,508	0	0
COMB1 2	1B121		350x65 0	0,414	76,203	0	-91,784	0	0	-0,508	-0,1	0
COMB1 2	1B121		350x65 0	1,338	66,204	0	-25,88	0	0	-0,508	0,1	0
COMB1 2	1B121		350x65 0	2,675	55,16	0	54,159	0	0	-0,508	0,6	0
COMB1 3	1B121		350x65 0	0	29,705	0	7,351	0	0	0,171	0	0
COMB1 3	1B121		350x65 0	1,338	17,123	0	39,783	0	0	0,171	0,5	0
COMB1 3	1B121		350x65 0	2,163	9,063	0	50,379	0	0	0,171	0,7	0

COMBO	Member Reference	Span/Stac k	Size	Positio n	Shear Major	Shear Minor	Moment Major	Moment Minor	Axial Force	Torsio n	Deflection Major	Deflection Minor
COMB1 3	1B121		350x65 0	2,675	6,079	0	54,176	0	0	0,171	0,6	0
COMB1 3	1B121		350x65 0	2,675	-54,936	0	54,176	0	0	-0,171	0,6	0
COMB1 3	1B121		350x65 0	4,013	-66,494	0	-25,681	0	0	-0,171	0,1	0
COMB1 3	1B121		350x65 0	4,936	-76,209	0	-91,981	0	0	-0,171	-0,1	0
COMB1 3	1B121		350x65 0	5,35	-78,597	0	-124,052	0	0	-0,171	0	0
COMB1 4	1B121		350x65 0	0	78,798	0	-123,973	0	0	0,171	0	0
COMB1 4	1B121		350x65 0	0,414	76,216	0	-91,801	0	0	0,171	-0,1	0
COMB1 4	1B121		350x65 0	1,338	66,216	0	-25,879	0	0	0,171	0,1	0
COMB1 4	1B121		350x65 0	2,675	55,172	0	54,176	0	0	0,171	0,6	0
COMB1 4	1B121		350x65 0	2,675	-5,843	0	54,176	0	0	-0,171	0,6	0
COMB1 4	1B121		350x65 0	3,189	-8,848	0	50,478	0	0	-0,171	0,7	0
COMB1 4	1B121		350x65 0	4,013	-17,401	0	39,981	0	0	-0,171	0,5	0
COMB1 4	1B121		350x65 0	5,35	-29,504	0	7,271	0	0	-0,171	0	0
COMB1 5	1B121		350x65 0	2,675	-112,203	0	54,165	0	0	0,27	0,6	0
COMB1 5	1B121		350x65 0	4,013	-123,761	0	-102,287	0	0	0,27	-0,3	0
COMB1 5	1B121		350x65 0	4,534	-129,862	0	-168,485	0	0	0,27	-0,5	0
COMB1 5	1B121		350x65 0	5,35	-135,864	0	-277,254	0	0	0,27	0	0
COMB1 5	1B121		350x65 0	0	-27,579	0	160,572	0	0	-0,27	0	0

COMBO	Member Reference	Span/Stac k	Size	Positio n	Shear Major	Shear Minor	Moment Major	Moment Minor	Axial Force	Torsio n	Deflection Major	Deflection Minor
COMB1 5	1B121		350x65 0	1,338	-40,16	0	116,388	0	0	-0,27	1	0
COMB1 5	1B121		350x65 0	1,524	-42,249	0	108,691	0	0	-0,27	1	0
COMB1 5	1B121		350x65 0	2,675	-51,204	0	54,165	0	0	-0,27	0,6	0
COMB1 6	1B121		350x65 0	2,675	51,44	0	54,165	0	0	0,27	0,6	0
COMB1 6	1B121		350x65 0	3,826	42,216	0	108,915	0	0	0,27	1	0
COMB1 6	1B121		350x65 0	4,013	39,882	0	116,586	0	0	0,27	1	0
COMB1 6	1B121		350x65 0	5,35	27,779	0	160,493	0	0	0,27	0	0
COMB1 6	1B121		350x65 0	0	136,065	0	-277,174	0	0	-0,27	0	0
COMB1 6	1B121		350x65 0	0,817	129,393	0	-168,338	0	0	-0,27	-0,5	0
COMB1 6	1B121		350x65 0	1,338	123,483	0	-102,485	0	0	-0,27	-0,3	0
COMB1 6	1B121		350x65 0	2,675	112,439	0	54,165	0	0	-0,27	0,6	0
COMB1 7	1B121		350x65 0	2,675	-112,207	0	54,17	0	0	0,066	0,6	0
COMB1 7	1B121		350x65 0	4,013	-123,765	0	-102,287	0	0	0,066	-0,3	0
COMB1 7	1B121		350x65 0	4,534	-129,865	0	-168,489	0	0	0,066	-0,5	0
COMB1 7	1B121		350x65 0	5,35	-135,868	0	-277,258	0	0	0,066	0	0
COMB1 7	1B121		350x65 0	0	-27,575	0	160,568	0	0	-0,066	0	0
COMB1 7	1B121		350x65 0	1,338	-40,156	0	116,388	0	0	-0,066	1	0
COMB1 7	1B121		350x65 0	1,524	-42,246	0	108,691	0	0	-0,066	1	0

COMBO	Member Reference	Span/Stac k	Size	Positio n	Shear Major	Shear Minor	Moment Major	Moment Minor	Axial Force	Torsio n	Deflection Major	Deflection Minor
COMB1 7	1B121		350x65 0	2,675	-51,201	0	54,17	0	0	-0,066	0,6	0
COMB1 8	1B121		350x65 0	2,675	51,437	0	54,17	0	0	0,066	0,6	0
COMB1 8	1B121		350x65 0	3,826	42,212	0	108,915	0	0	0,066	1	0
COMB1 8	1B121		350x65 0	4,013	39,879	0	116,586	0	0	0,066	1	0
COMB1 8	1B121		350x65 0	5,35	27,776	0	160,488	0	0	0,066	0	0
COMB1 8	1B121		350x65 0	0	136,069	0	-277,179	0	0	-0,066	0	0
COMB1 8	1B121		350x65 0	0,817	129,397	0	-168,342	0	0	-0,066	-0,5	0
COMB1 8	1B121		350x65 0	1,338	123,487	0	-102,485	0	0	-0,066	-0,3	0
COMB1 8	1B121		350x65 0	2,675	112,443	0	54,17	0	0	-0,066	0,6	0
COMB2	1B121		350x65 0	2,675	-76,414	0	132,252	0	0	0,424	1,5	0
COMB2	1B121		350x65 0	4,013	-101,631	0	16,878	0	0	0,424	0,8	0
COMB2	1B121		350x65 0	5,35	-128,363	0	-140,612	0	0	0,424	0	0
COMB2	1B121		350x65 0	0	128,921	0	-140,399	0	0	-0,424	0	0
COMB2	1B121		350x65 0	1,338	100,88	0	16,341	0	0	-0,424	0,8	0
COMB2	1B121		350x65 0	2,675	77,04	0	132,252	0	0	-0,424	1,5	0
COMB3	1B121		350x65 0	2,675	-95,376	0	123,792	0	0	0,732	1,4	0
COMB3	1B121		350x65 0	4,013	-119,916	0	-16,853	0	0	0,732	0,6	0
COMB3	1B121		350x65 0	5,35	-145,816	0	-197,881	0	0	0,732	0	0

COMBO	Member Reference	Span/Stac k	Size	Positio n	Shear Major	Shear Minor	Moment Major	Moment Minor	Axial Force	Torsio n	Deflection Major	Deflection Minor
COMB3	1B121		350x65 0	0	97,224	0	-66,364	0	0	-0,732	0	0
COMB3	1B121		350x65 0	1,338	70,142	0	48,323	0	0	-0,732	1	0
COMB3	1B121		350x65 0	2,474	48,616	0	114,213	0	0	-0,732	1,4	0
COMB3	1B121		350x65 0	2,675	46,854	0	123,792	0	0	-0,732	1,4	0
COMB4	1B121		350x65 0	2,675	-46,283	0	123,792	0	0	0,732	1,4	0
COMB4	1B121		350x65 0	2,879	-48,078	0	114,176	0	0	0,732	1,4	0
COMB4	1B121		350x65 0	4,013	-70,823	0	48,809	0	0	0,732	1	0
COMB4	1B121		350x65 0	5,35	-96,723	0	-66,557	0	0	0,732	0	0
COMB4	1B121		350x65 0	0	146,317	0	-197,687	0	0	-0,732	0	0
COMB4	1B121		350x65 0	1,338	119,235	0	-17,338	0	0	-0,732	0,6	0
COMB4	1B121		350x65 0	2,675	95,947	0	123,792	0	0	-0,732	1,4	0
COMB5	1B121		350x65 0	2,675	-95,389	0	123,809	0	0	0,053	1,4	0
COMB5	1B121		350x65 0	4,013	-119,928	0	-16,852	0	0	0,053	0,6	0
COMB5	1B121		350x65 0	5,35	-145,828	0	-197,897	0	0	0,053	0	0
COMB5	1B121		350x65 0	0	97,237	0	-66,379	0	0	-0,053	0	0
COMB5	1B121		350x65 0	1,338	70,155	0	48,324	0	0	-0,053	1	0
COMB5	1B121		350x65 0	2,474	48,628	0	114,23	0	0	-0,053	1,4	0
COMB5	1B121		350x65 0	2,675	46,866	0	123,809	0	0	-0,053	1,4	0

COMBO	Member Reference	Span/Stac k	Size	Positio n	Shear Major	Shear Minor	Moment Major	Moment Minor	Axial Force	Torsio n	Deflection Major	Deflection Minor
COMB6	1B121		350x65 0	2,675	-46,296	0	123,809	0	0	0,053	1,4	0
COMB6	1B121		350x65 0	2,879	-48,09	0	114,193	0	0	0,053	1,4	0
COMB6	1B121		350x65 0	4,013	-70,835	0	48,81	0	0	0,053	1	0
COMB6	1B121		350x65 0	5,35	-96,735	0	-66,573	0	0	0,053	0	0
COMB6	1B121		350x65 0	0	146,33	0	-197,703	0	0	-0,053	0	0
COMB6	1B121		350x65 0	1,338	119,248	0	-17,338	0	0	-0,053	0,6	0
COMB6	1B121		350x65 0	2,675	95,959	0	123,809	0	0	-0,053	1,4	0
COMB7	1B121		350x65 0	2,675	-152,656	0	123,798	0	0	0,495	1,4	0
COMB7	1B121		350x65 0	4,013	-177,196	0	-93,458	0	0	0,495	0,1	0
COMB7	1B121		350x65 0	4,795	-196,071	0	-240,085	0	0	0,495	-0,3	0
COMB7	1B121		350x65 0	5,35	-203,096	0	-351,098	0	0	0,495	0	0
COMB7	1B121		350x65 0	0	39,953	0	86,842	0	0	-0,495	0	0
COMB7	1B121		350x65 0	1,338	12,871	0	124,929	0	0	-0,495	1,5	0
COMB7	1B121		350x65 0	1,907	0,002	0	128,43	0	0	-0,495	1,6	0
COMB7	1B121		350x65 0	1,951	-0,854	0	128,411	0	0	-0,495	1,6	0
COMB7	1B121		350x65 0	2,675	-10,417	0	123,798	0	0	-0,495	1,4	0
COMB8	1B121		350x65 0	2,675	10,988	0	123,798	0	0	0,495	1,4	0
COMB8	1B121		350x65 0	3,4	1,385	0	128,827	0	0	0,495	1,6	0

COMBO	Member Reference	Span/Stac k	Size	Positio n	Shear Major	Shear Minor	Moment Major	Moment Minor	Axial Force	Torsio n	Deflection Major	Deflection Minor
COMB8	1B121		350x65 0	3,469	0,006	0	128,875	0	0	0,495	1,6	0
COMB8	1B121		350x65 0	4,013	-13,552	0	125,415	0	0	0,495	1,5	0
COMB8	1B121		350x65 0	5,35	-39,452	0	86,648	0	0	0,495	0	0
COMB8	1B121		350x65 0	0	203,597	0	-350,904	0	0	-0,495	0	0
COMB8	1B121		350x65 0	0,556	195,708	0	-239,531	0	0	-0,495	-0,3	0
COMB8	1B121		350x65 0	1,338	176,515	0	-93,944	0	0	-0,495	0,1	0
COMB8	1B121		350x65 0	2,675	153,227	0	123,798	0	0	-0,495	1,4	0
COMB9	1B121		350x65 0	2,675	-152,66	0	123,803	0	0	0,291	1,4	0
COMB9	1B121		350x65 0	4,013	-177,199	0	-93,458	0	0	0,291	0,1	0
COMB9	1B121		350x65 0	4,795	-196,075	0	-240,09	0	0	0,291	-0,3	0
COMB9	1B121		350x65 0	5,35	-203,099	0	-351,103	0	0	0,291	0	0
COMB9	1B121		350x65 0	0	39,957	0	86,838	0	0	-0,291	0	0
COMB9	1B121		350x65 0	1,338	12,875	0	124,93	0	0	-0,291	1,5	0
COMB9	1B121		350x65 0	1,907	0,002	0	128,433	0	0	-0,291	1,6	0
COMB9	1B121		350x65 0	1,951	-0,85	0	128,414	0	0	-0,291	1,6	0
COMB9	1B121		350x65 0	2,675	-10,413	0	123,803	0	0	-0,291	1,4	0
PX	1B121		350x65 0	2,675	-57,659	0	100,308	0	0	0,32	1,1	0
PX	1B121		350x65 0	4,013	-77,186	0	12,878	0	0	0,32	0,6	0

COMBO	Member Reference	Span/Stac k	Size	Positio n	Shear Major	Shear Minor	Moment Major	Moment Minor	Axial Force	Torsio n	Deflection Major	Deflection Minor
PX	1B121		350x65 0	5,35	-97,837	0	-106,906	0	0	0,32	0	0
PX	1B121		350x65 0	0	98,251	0	-106,747	0	0	-0,32	0	0
PX	1B121		350x65 0	1,338	76,625	0	12,478	0	0	-0,32	0,6	0
PX	1B121		350x65 0	2,675	58,127	0	100,308	0	0	-0,32	1,1	0
SHEAR	1B121		350x65 0	2,675	-65,579	0	114,428	0	0	0,364	1,3	0
SHEAR	1B121		350x65 0	4,013	-88,119	0	14,742	0	0	0,364	0,7	0
SHEAR	1B121		350x65 0	5,35	-111,925	0	-122,125	0	0	0,364	0	0
SHEAR	1B121		350x65 0	0	112,391	0	-121,945	0	0	-0,363	0	0
SHEAR	1B121		350x65 0	1,338	87,486	0	14,29	0	0	-0,363	0,7	0
SHEAR	1B121		350x65 0	2,675	66,109	0	114,428	0	0	-0,363	1,3	0

LAMPIRAN TABEL ELEMEN FORCE – COLUMN (GRID 2/D LT 1) (ETABS)

TABLE: Element Forces - Columns																
Story	Column	Unique Name	Output Case	Case Type	Step Type	Step Number	Station	P	V2	V3	T	M2	M3	Element	Elem Station	
							m	kN	kN	kN	kN-m	kN-m	kN-m		m	
Story2	C14	266	Comb1	Combination			3,35	-3269,4861	0,051	-1,1401	0	2,3755	-0,0303	266	3,35	
Story2	C14	266	Comb1	Combination			1,675	-3296,3921	0,051	-1,1401	0	0,4658	0,0551	266	1,675	
Story2	C14	266	Comb1	Combination			0	-3323,2981	0,051	-1,1401	0	-1,4439	0,1406	266	0	
Story2	C14	266	Comb10	Combination	Max		3,35	-3943,7853	-151,4834	-50,9681	2,1764	69,3133	208,6344	266	3,35	
Story2	C14	266	Comb10	Combination	Min		3,35	-3944,107	-154,1088	-53,8543	-2,1764	65,6026	205,1348	266	3,35	
Story2	C14	266	Comb10	Combination	Max		1,675	-3969,4036	-151,4834	-50,9681	2,1764	-19,7689	-48,6	266	1,675	
Story2	C14	266	Comb10	Combination	Min		1,675	-3969,7253	-154,1088	-53,8543	-2,1764	-20,8927	-49,4979	266	1,675	
Story2	C14	266	Comb10	Combination	Max		0	-3995,022	-151,4834	-50,9681	2,1764	-105,1404	-302,3347	266	0	
Story2	C14	266	Comb10	Combination	Min		0	-3995,3437	-154,1088	-53,8543	-2,1764	-111,0988	-307,6302	266	0	
Story2	C14	266	Comb11	Combination	Max		3,35	-1771,6745	49,4782	171,0389	5,9488	-204,8074	-57,3178	266	3,35	
Story2	C14	266	Comb11	Combination	Min		3,35	-1772,5537	42,3021	163,1497	-5,9488	-214,9501	-66,8834	266	3,35	
Story2	C14	266	Comb11	Combination	Max		1,675	-1786,4151	49,4782	171,0389	5,9488	71,5401	15,9926	266	1,675	
Story2	C14	266	Comb11	Combination	Min		1,675	-1787,2944	42,3021	163,1497	-5,9488	68,4684	13,5382	266	1,675	
Story2	C14	266	Comb11	Combination	Max		0	-1801,1558	49,4782	171,0389	5,9488	358,0303	98,8685	266	0	
Story2	C14	266	Comb11	Combination	Min		0	-1802,0351	42,3021	163,1497	-5,9488	341,7442	84,3943	266	0	
Story2	C14	266	Comb12	Combination	Max		3,35	-1771,7519	-40,671	172,7707	8,5604	-202,5809	68,9499	266	3,35	
Story2	C14	266	Comb12	Combination	Min		3,35	-1773,0172	-50,9975	161,418	-8,5604	-217,1765	55,1848	266	3,35	
Story2	C14	266	Comb12	Combination	Max		1,675	-1786,4925	-40,671	172,7707	8,5604	72,2144	-12,939	266	1,675	
Story2	C14	266	Comb12	Combination	Min		1,675	-1787,7578	-50,9975	161,418	-8,5604	67,7941	-16,4709	266	1,675	
Story2	C14	266	Comb12	Combination	Max		0	-1801,2332	-40,671	172,7707	8,5604	361,6053	-81,0629	266	0	
Story2	C14	266	Comb12	Combination	Min		0	-1802,4985	-50,9975	161,418	-8,5604	338,1692	-101,8917	266	0	

TABLE: Element Forces - Columns

Story	Column	Unique Name	Output Case	Case Type	Step Type	Step Number	Station	P	V2	V3	T	M2	M3	Element	Elem Station
							m	kN	kN	kN	kN-m	kN-m	kN-m		m
Story2	C14	266	Comb13	Combination	Max		3,35	-1809,4055	51,0534	-162,6672	8,5604	219,7794	-55,2181	266	3,35
Story2	C14	266	Comb13	Combination	Min		3,35	-1810,6708	40,7269	-174,0199	-8,5604	205,1838	-68,9831	266	3,35
Story2	C14	266	Comb13	Combination	Max		1,675	-1824,1461	51,0534	-162,6672	8,5604	-67,2837	16,5313	266	1,675
Story2	C14	266	Comb13	Combination	Min		1,675	-1825,4114	40,7269	-174,0199	-8,5604	-71,704	12,9994	266	1,675
Story2	C14	266	Comb13	Combination	Max		0	-1838,8868	51,0534	-162,6672	8,5604	-339,7513	102,0457	266	0
Story2	C14	266	Comb13	Combination	Min		0	-1840,1521	40,7269	-174,0199	-8,5604	-363,1874	81,2169	266	0
Story2	C14	266	Comb14	Combination	Max		3,35	-1809,8689	-42,2462	-164,399	5,9488	217,553	66,8501	266	3,35
Story2	C14	266	Comb14	Combination	Min		3,35	-1810,7482	-49,4223	-172,2882	-5,9488	207,4103	57,2846	266	3,35
Story2	C14	266	Comb14	Combination	Max		1,675	-1824,6095	-42,2462	-164,399	5,9488	-67,958	-13,4778	266	1,675
Story2	C14	266	Comb14	Combination	Min		1,675	-1825,4888	-49,4223	-172,2882	-5,9488	-71,0297	-15,9322	266	1,675
Story2	C14	266	Comb14	Combination	Max		0	-1839,3502	-42,2462	-164,399	5,9488	-343,3263	-84,2403	266	0
Story2	C14	266	Comb14	Combination	Min		0	-1840,2295	-49,4223	-172,2882	-5,9488	-359,6124	-98,7145	266	0
Story2	C14	266	Comb15	Combination	Max		3,35	-1784,9112	154,2146	51,1342	2,1764	-60,1973	-205,2134	266	3,35
Story2	C14	266	Comb15	Combination	Min		3,35	-1785,2329	151,5892	48,2479	-2,1764	-63,908	-208,713	266	3,35
Story2	C14	266	Comb15	Combination	Max		1,675	-1799,6518	154,2146	51,1342	2,1764	21,7418	49,5965	266	1,675
Story2	C14	266	Comb15	Combination	Min		1,675	-1799,9735	151,5892	48,2479	-2,1764	20,618	48,6985	266	1,675
Story2	C14	266	Comb15	Combination	Max		0	-1814,3925	154,2146	51,1342	2,1764	107,3917	307,9059	266	0
Story2	C14	266	Comb15	Combination	Min		0	-1814,7142	151,5892	48,2479	-2,1764	101,4333	302,6105	266	0
Story2	C14	266	Comb16	Combination	Max		3,35	-1785,4909	-148,9079	54,0205	6,5291	-56,4865	212,1794	266	3,35
Story2	C14	266	Comb16	Combination	Min		3,35	-1786,4559	-156,7841	45,3616	-6,5291	-67,6187	201,6806	266	3,35
Story2	C14	266	Comb16	Combination	Max		1,675	-1800,2315	-148,9079	54,0205	6,5291	22,8656	-47,7402	266	1,675
Story2	C14	266	Comb16	Combination	Min		1,675	-1801,1966	-156,7841	45,3616	-6,5291	19,4942	-50,434	266	1,675
Story2	C14	266	Comb16	Combination	Max		0	-1814,9722	-148,9079	54,0205	6,5291	113,3499	-297,161	266	0
Story2	C14	266	Comb16	Combination	Min		0	-1815,9373	-156,7841	45,3616	-6,5291	95,4749	-313,0474	266	0

TABLE: Element Forces - Columns

Story	Column	Unique Name	Output Case	Case Type	Step Type	Step Number	Station	P	V2	V3	T	M2	M3	Element	Elem Station
							m	kN	kN	kN	kN-m	kN-m	kN-m		m
Story2	C14	266	Comb17	Combination	Max		3,35	-1795,9667	156,84	-46,6109	6,5291	70,2216	-201,7139	266	3,35
Story2	C14	266	Comb17	Combination	Min		3,35	-1796,9318	148,9638	-55,2697	-6,5291	59,0894	-212,2126	266	3,35
Story2	C14	266	Comb17	Combination	Max		1,675	-1810,7073	156,84	-46,6109	6,5291	-18,9838	50,4944	266	1,675
Story2	C14	266	Comb17	Combination	Min		1,675	-1811,6724	148,9638	-55,2697	-6,5291	-22,3552	47,8006	266	1,675
Story2	C14	266	Comb17	Combination	Max		0	-1825,4448	156,84	-46,6109	6,5291	-97,057	313,2014	266	0
Story2	C14	266	Comb17	Combination	Min		0	-1826,4131	148,9638	-55,2697	-6,5291	-114,932	297,315	266	0
Story2	C14	266	Comb18	Combination	Max		3,35	-1797,1898	-151,5333	-49,4972	2,1764	66,5109	208,6798	266	3,35
Story2	C14	266	Comb18	Combination	Min		3,35	-1797,5115	-154,1587	-52,3835	-2,1764	62,8002	205,1802	266	3,35
Story2	C14	266	Comb18	Combination	Max		1,675	-1811,9304	-151,5333	-49,4972	2,1764	-20,1076	-48,6381	266	1,675
Story2	C14	266	Comb18	Combination	Min		1,675	-1812,2521	-154,1587	-52,3835	-2,1764	-21,2314	-49,5361	266	1,675
Story2	C14	266	Comb18	Combination	Max		0	-1826,6711	-151,5333	-49,4972	2,1764	-103,0154	-302,4565	266	0
Story2	C14	266	Comb18	Combination	Min		0	-1826,9928	-154,1587	-52,3835	-2,1764	-108,9737	-307,7519	266	0
Story2	C14	266	Comb2	Combination			3,35	-4122,079	0,0906	-2,5932	0	4,9834	-0,079	266	3,35
Story2	C14	266	Comb2	Combination			1,675	-4145,1413	0,0906	-2,5932	0	0,6398	0,0727	266	1,675
Story2	C14	266	Comb2	Combination			0	-4168,2036	0,0906	-2,5932	0	-3,7037	0,2243	266	0
Story2	C14	266	Comb3	Combination	Max		3,35	-3918,27	49,5281	169,568	5,9488	-202,005	-57,3632	266	3,35
Story2	C14	266	Comb3	Combination	Min		3,35	-3919,1492	42,352	161,6789	-5,9488	-212,1477	-66,9288	266	3,35
Story2	C14	266	Comb3	Combination	Max		1,675	-3943,8883	49,5281	169,568	5,9488	71,8788	16,0307	266	1,675
Story2	C14	266	Comb3	Combination	Min		1,675	-3944,7676	42,352	161,6789	-5,9488	68,8071	13,5764	266	1,675
Story2	C14	266	Comb3	Combination	Max		0	-3969,5067	49,5281	169,568	5,9488	355,9053	98,9903	266	0
Story2	C14	266	Comb3	Combination	Min		0	-3970,386	42,352	161,6789	-5,9488	339,6192	84,516	266	0
Story2	C14	266	Comb4	Combination	Max		3,35	-3918,3474	-40,6211	171,2998	8,5604	-199,7785	68,9045	266	3,35
Story2	C14	266	Comb4	Combination	Min		3,35	-3919,6127	-50,9476	159,9471	-8,5604	-214,3741	55,1394	266	3,35
Story2	C14	266	Comb4	Combination	Max		1,675	-3943,9657	-40,6211	171,2998	8,5604	72,5531	-12,9009	266	1,675

TABLE: Element Forces - Columns

Story	Column	Unique Name	Output Case	Case Type	Step Type	Step Number	Station	P	V2	V3	T	M2	M3	Element	Elem Station
							m	kN	kN	kN	kN-m	kN-m	kN-m		m
Story2	C14	266	Comb4	Combination	Min		1,675	-3945,231	-50,9476	159,9471	-8,5604	68,1328	-16,4328	266	1,675
Story2	C14	266	Comb4	Combination	Max		0	-3969,5841	-40,6211	171,2998	8,5604	359,4803	-80,9412	266	0
Story2	C14	266	Comb4	Combination	Min		0	-3970,8494	-50,9476	159,9471	-8,5604	336,0442	-101,77	266	0
Story2	C14	266	Comb5	Combination	Max		3,35	-3956,001	51,1033	-164,1381	8,5604	222,5818	-55,2635	266	3,35
Story2	C14	266	Comb5	Combination	Min		3,35	-3957,2663	40,7768	-175,4908	-8,5604	207,9862	-69,0285	266	3,35
Story2	C14	266	Comb5	Combination	Max		1,675	-3981,6193	51,1033	-164,1381	8,5604	-66,9451	16,5695	266	1,675
Story2	C14	266	Comb5	Combination	Min		1,675	-3982,8846	40,7768	-175,4908	-8,5604	-71,3653	13,0376	266	1,675
Story2	C14	266	Comb5	Combination	Max		0	-4007,2377	51,1033	-164,1381	8,5604	-341,8763	102,1675	266	0
Story2	C14	266	Comb5	Combination	Min		0	-4008,503	40,7768	-175,4908	-8,5604	-365,3124	81,3387	266	0
Story2	C14	266	Comb6	Combination	Max		3,35	-3956,4644	-42,1963	-165,8699	5,9488	220,3554	66,8047	266	3,35
Story2	C14	266	Comb6	Combination	Min		3,35	-3957,3437	-49,3724	-173,759	-5,9488	210,2127	57,2392	266	3,35
Story2	C14	266	Comb6	Combination	Max		1,675	-3982,0828	-42,1963	-165,8699	5,9488	-67,6193	-13,4397	266	1,675
Story2	C14	266	Comb6	Combination	Min		1,675	-3982,962	-49,3724	-173,759	-5,9488	-70,691	-15,894	266	1,675
Story2	C14	266	Comb6	Combination	Max		0	-4007,7011	-42,1963	-165,8699	5,9488	-345,4514	-84,1185	266	0
Story2	C14	266	Comb6	Combination	Min		0	-4008,5804	-49,3724	-173,759	-5,9488	-361,7374	-98,5928	266	0
Story2	C14	266	Comb7	Combination	Max		3,35	-3931,5067	154,2645	49,6633	2,1764	-57,3949	-205,2588	266	3,35
Story2	C14	266	Comb7	Combination	Min		3,35	-3931,8284	151,6391	46,7771	-2,1764	-61,1056	-208,7584	266	3,35
Story2	C14	266	Comb7	Combination	Max		1,675	-3957,125	154,2645	49,6633	2,1764	22,0805	49,6346	266	1,675
Story2	C14	266	Comb7	Combination	Min		1,675	-3957,4467	151,6391	46,7771	-2,1764	20,9567	48,7367	266	1,675
Story2	C14	266	Comb7	Combination	Max		0	-3982,7434	154,2645	49,6633	2,1764	105,2666	308,0277	266	0
Story2	C14	266	Comb7	Combination	Min		0	-3983,0651	151,6391	46,7771	-2,1764	99,3083	302,7322	266	0
Story2	C14	266	Comb8	Combination	Max		3,35	-3932,0864	-148,8581	52,5496	6,5291	-53,6841	212,134	266	3,35
Story2	C14	266	Comb8	Combination	Min		3,35	-3933,0514	-156,7342	43,8907	-6,5291	-64,8163	201,6352	266	3,35
Story2	C14	266	Comb8	Combination	Max		1,675	-3957,7047	-148,8581	52,5496	6,5291	23,2043	-47,702	266	1,675

TABLE: Element Forces - Columns

Story	Column	Unique Name	Output Case	Case Type	Step Type	Step Number	Station	P	V2	V3	T	M2	M3	Element	Elem Station
							m	kN	kN	kN	kN-m	kN-m	kN-m		m
Story2	C14	266	Comb8	Combination	Min		1,675	-3958,6698	-156,7342	43,8907	-6,5291	19,8329	-50,3958	266	1,675
Story2	C14	266	Comb8	Combination	Max		0	-3983,3231	-148,8581	52,5496	6,5291	111,2249	-297,0393	266	0
Story2	C14	266	Comb8	Combination	Min		0	-3984,2882	-156,7342	43,8907	-6,5291	93,3499	-312,9256	266	0
Story2	C14	266	Comb9	Combination	Max		3,35	-3942,5622	156,8899	-48,0817	6,5291	73,024	-201,7593	266	3,35
Story2	C14	266	Comb9	Combination	Min		3,35	-3943,5272	149,0137	-56,7406	-6,5291	61,8918	-212,258	266	3,35
Story2	C14	266	Comb9	Combination	Max		1,675	-3968,1806	156,8899	-48,0817	6,5291	-18,6451	50,5326	266	1,675
Story2	C14	266	Comb9	Combination	Min		1,675	-3969,1456	149,0137	-56,7406	-6,5291	-22,0165	47,8388	266	1,675
Story2	C14	266	Comb9	Combination	Max		0	-3993,7989	156,8899	-48,0817	6,5291	-99,1821	313,3231	266	0
Story2	C14	266	Comb9	Combination	Min		0	-3994,764	149,0137	-56,7406	-6,5291	-117,057	297,4368	266	0

LAMPIRAN TABEL ELEMEN FORCE – COLUMN (GRID 2/D LT 1) (TSD)

COMB	Member Reference	Size	Position	Shear Major	Shear Minor	Moment Major	Moment Minor	Axial Force	Torsion	Deflection Major	Deflection Minor
COMB5	C497	650x750	3,35	-170,254	45,946	-215,885	62,17	3952,475	0,001	0	0
COMB5	C497	650x750	3,131	-170,254	45,946	-178,583	52,103	3955,825	0,001	0	0
COMB5	C497	650x750	3,016	-170,254	45,946	-159,033	46,828	3957,581	0,001	0	0
COMB5	C497	650x750	1,675	-170,254	45,946	69,291	-14,789	3978,088	0,001	0,2	-0,1
COMB5	C497	650x750	1,033	-170,254	45,946	178,643	-44,3	3987,91	0,001	0,3	-0,1
COMB5	C497	650x750	0,978	-170,254	45,946	188,025	-46,831	3988,753	0,001	0,3	-0,1
COMB5	C497	650x750	0	-170,254	45,946	354,467	-91,748	4003,702	0,001	0	0
COMB6	C497	650x750	0	-170,254	-45,814	354,467	91,436	4004,024	0	0	0
COMB6	C497	650x750	0,977	-170,254	-45,814	188,148	46,681	3989,086	0	0,3	0,1
COMB6	C497	650x750	1,033	-170,254	-45,814	178,643	44,124	3988,232	0	0,3	0,1
COMB6	C497	650x750	1,675	-170,254	-45,814	69,291	14,698	3978,41	0	0,2	0,1
COMB6	C497	650x750	3,131	-170,254	-45,814	-178,583	-52,002	3956,147	0	0	0
COMB6	C497	650x750	3,35	-170,254	-45,814	-215,885	-62,039	3952,796	0	0	0
COMB13	C497	650x750	0	-168,639	45,904	351,991	-91,654	1836,235	0	0	0
COMB13	C497	650x750	0,977	-168,639	45,904	187,155	-46,785	1827,631	0	0,3	-0,1
COMB13	C497	650x750	1,036	-168,639	45,904	177,295	-44,101	1827,116	0	0,3	-0,1
COMB13	C497	650x750	1,675	-168,639	45,904	69,52	-14,765	1821,49	0	0,2	-0,1
COMB13	C497	650x750	3,016	-168,639	45,904	-156,585	46,782	1809,687	0	0	0
COMB13	C497	650x750	3,139	-168,639	45,904	-177,333	52,429	1808,604	0	0	0
COMB13	C497	650x750	3,35	-168,639	45,904	-212,951	62,125	1806,745	0	0	0
COMB14	C497	650x750	0	-168,639	-45,855	351,991	91,53	1836,557	0	0	0
COMB14	C497	650x750	0,977	-168,639	-45,855	187,221	46,727	1827,956	0	0,3	0,1

COMB	Member Reference	Size	Position	Shear Major	Shear Minor	Moment Major	Moment Minor	Axial Force	Torsion	Deflection Major	Deflection Minor
COMB14	C497	650x750	1,036	-168,639	-45,855	177,294	44,028	1827,438	0	0,3	0,1
COMB14	C497	650x750	1,675	-168,639	-45,855	69,52	14,723	1821,812	0	0,2	0,1
COMB14	C497	650x750	3,015	-168,639	-45,855	-156,458	-46,723	1810,015	0	0	0
COMB14	C497	650x750	3,139	-168,639	-45,855	-177,333	-52,4	1808,926	0	0	0
COMB14	C497	650x750	3,35	-168,639	-45,855	-212,951	-62,085	1807,066	0	0	0
COMB9	C497	650x750	0	-52,738	152,998	108,838	-305,463	3992,516	0,001	0	0
COMB9	C497	650x750	0,977	-52,738	152,998	57,295	-155,929	3977,571	0,001	0,1	-0,3
COMB9	C497	650x750	1,021	-52,738	152,998	54,971	-149,187	3976,897	0,001	0,1	-0,3
COMB9	C497	650x750	1,675	-52,738	152,998	20,503	-49,191	3966,903	0,001	0,1	-0,2
COMB9	C497	650x750	3,016	-52,738	152,998	-50,197	155,917	3946,403	0,001	0	0
COMB9	C497	650x750	3,106	-52,738	152,998	-54,961	169,738	3945,021	0,001	0	0
COMB9	C497	650x750	3,35	-52,738	152,998	-67,833	207,081	3941,289	0,001	0	0
COMB10	C497	650x750	0	-52,737	-152,866	108,838	305,151	3993,589	0	0	0
COMB10	C497	650x750	0,977	-52,737	-152,866	57,306	155,779	3978,646	0	0,1	0,3
COMB10	C497	650x750	1,021	-52,737	-152,866	54,97	149,009	3977,969	0	0,1	0,3
COMB10	C497	650x750	1,675	-52,737	-152,866	20,503	49,1	3967,975	0	0,1	0,2
COMB10	C497	650x750	3,015	-52,737	-152,866	-50,175	-155,767	3947,481	0	0	0
COMB10	C497	650x750	3,106	-52,737	-152,866	-54,961	-169,64	3946,094	0	0	0
COMB10	C497	650x750	3,35	-52,737	-152,866	-67,833	-206,95	3942,361	0	0	0
COMB17	C497	650x750	0	-51,123	152,957	106,362	-305,37	1825,049	0	0	0
COMB17	C497	650x750	0,977	-51,123	152,957	56,399	-155,884	1816,446	0	0,1	-0,3
COMB17	C497	650x750	1,032	-51,123	152,957	53,613	-147,546	1815,966	0	0,1	-0,3
COMB17	C497	650x750	1,675	-51,123	152,957	20,731	-49,167	1810,304	0	0,1	-0,2
COMB17	C497	650x750	3,015	-51,123	152,957	-47,798	155,871	1798,503	0	0	0
COMB17	C497	650x750	3,129	-51,123	152,957	-53,595	173,215	1797,505	0	0	0

COMB	Member Reference	Size	Position	Shear Major	Shear Minor	Moment Major	Moment Minor	Axial Force	Torsion	Deflection Major	Deflection Minor
COMB17	C497	650x750	3,35	-51,123	152,957	-64,899	207,036	1795,559	0	0	0
COMB18	C497	650x750	0	-51,122	-152,908	106,362	305,245	1826,122	0	0	0
COMB18	C497	650x750	0,977	-51,122	-152,908	56,405	155,825	1817,519	0	0,1	0,3
COMB18	C497	650x750	1,032	-51,122	-152,908	53,612	147,472	1817,038	0	0,1	0,3
COMB18	C497	650x750	1,675	-51,122	-152,908	20,731	49,125	1811,376	0	0,1	0,2
COMB18	C497	650x750	3,015	-51,122	-152,908	-47,787	-155,813	1799,578	0	0	0
COMB18	C497	650x750	3,129	-51,122	-152,908	-53,595	-173,186	1798,577	0	0	0
COMB18	C497	650x750	3,35	-51,122	-152,908	-64,899	-206,995	1796,631	0	0	0
SHEAR	C497	650x750	0	-2,373	0,066	3,568	-0,156	3988,419	0	0	0
PX	C497	650x750	0	-2,044	0,055	3,095	-0,129	3198,667	0	0	0
COMB2	C497	650x750	0	-2,876	0,076	4,382	-0,174	4168,52	0,001	0	0
COMB2	C497	650x750	1,675	-2,876	0,076	-0,434	-0,047	4145,458	0,001	0	0
SHEAR	C497	650x750	1,675	-2,373	0,066	-0,407	-0,045	3962,806	0	0	0
COMB2	C497	650x750	3,35	-2,876	0,076	-5,251	0,08	4122,395	0,001	0	0
PX	C497	650x750	1,675	-2,044	0,055	-0,329	-0,036	3179,448	0	0	0
COMB1	C497	650x750	0	-1,383	0,045	1,993	-0,113	3322,715	0	0	0
PX	C497	650x750	3,35	-2,044	0,055	-3,754	0,057	3160,23	0	0	0
SHEAR	C497	650x750	3,35	-2,373	0,066	-4,382	0,065	3937,192	0	0	0
COMB1	C497	650x750	1,675	-1,383	0,045	-0,325	-0,038	3295,809	0	0	0
COMB1	C497	650x750	3,35	-1,383	0,045	-2,642	0,037	3268,903	0	0	0
COMB7	C497	650x750	3,35	47,991	152,998	59,069	207,081	3932,023	0,001	0	0
COMB7	C497	650x750	3,183	47,991	152,998	51,077	181,601	3934,57	0,001	0	0
COMB7	C497	650x750	3,016	47,991	152,998	43,021	155,917	3937,137	0,001	0	0
COMB7	C497	650x750	1,675	47,991	152,998	-21,316	-49,191	3957,637	0,001	-0,1	-0,2
COMB7	C497	650x750	1,055	47,991	152,998	-51,075	-144,064	3967,119	0,001	-0,1	-0,3

COMB	Member Reference	Size	Position	Shear Major	Shear Minor	Moment Major	Moment Minor	Axial Force	Torsion	Deflection Major	Deflection Minor
COMB7	C497	650x750	0,977	47,991	152,998	-54,796	-155,929	3968,305	0,001	-0,1	-0,3
COMB7	C497	650x750	0	47,991	152,998	-101,701	-305,464	3983,25	0,001	0	0
COMB8	C497	650x750	3,35	47,991	-152,866	59,07	-206,95	3933,095	0	0	0
COMB8	C497	650x750	3,183	47,991	-152,866	51,077	-181,492	3935,642	0	0	0
COMB8	C497	650x750	3,015	47,991	-152,866	43,001	-155,767	3938,215	0	0	0
COMB8	C497	650x750	1,675	47,991	-152,866	-21,316	49,1	3958,709	0	-0,1	0,2
COMB8	C497	650x750	1,055	47,991	-152,866	-51,075	143,891	3968,191	0	-0,1	0,3
COMB8	C497	650x750	0,977	47,991	-152,866	-54,807	155,779	3969,38	0	-0,1	0,3
COMB8	C497	650x750	0	47,991	-152,866	-101,701	305,151	3984,322	0	0	0
COMB15	C497	650x750	3,35	49,606	152,957	62,003	207,036	1786,293	0	0	0
COMB15	C497	650x750	3,157	49,606	152,957	52,413	177,464	1787,995	0	0	0
COMB15	C497	650x750	3,015	49,606	152,957	45,41	155,871	1789,237	0	0	0
COMB15	C497	650x750	1,675	49,606	152,957	-21,087	-49,167	1801,038	0	-0,1	-0,2
COMB15	C497	650x750	1,044	49,606	152,957	-52,405	-145,735	1806,596	0	-0,1	-0,3
COMB15	C497	650x750	0,977	49,606	152,957	-55,697	-155,884	1807,18	0	-0,1	-0,3
COMB15	C497	650x750	0	49,606	152,957	-104,177	-305,37	1815,783	0	0	0
COMB16	C497	650x750	3,35	49,606	-152,908	62,003	-206,995	1787,365	0	0	0
COMB16	C497	650x750	3,157	49,606	-152,908	52,413	-177,433	1789,067	0	0	0
COMB16	C497	650x750	3,015	49,606	-152,908	45,399	-155,813	1790,312	0	0	0
COMB16	C497	650x750	1,675	49,606	-152,908	-21,087	49,125	1802,11	0	-0,1	0,2
COMB16	C497	650x750	1,044	49,606	-152,908	-52,406	145,662	1807,668	0	-0,1	0,3
COMB16	C497	650x750	0,977	49,606	-152,908	-55,703	155,825	1808,253	0	-0,1	0,3
COMB16	C497	650x750	0	49,606	-152,908	-104,178	305,245	1816,856	0	0	0
COMB3	C497	650x750	3,35	165,508	45,946	207,122	62,17	3921,588	0	0	0
COMB3	C497	650x750	3,155	165,508	45,946	174,772	53,189	3924,577	0	0	0

COMB	Member Reference	Size	Position	Shear Major	Shear Minor	Moment Major	Moment Minor	Axial Force	Torsion	Deflection Major	Deflection Minor
COMB3	C497	650x750	3,016	165,508	45,946	151,855	46,828	3926,694	0	0	0
COMB3	C497	650x750	1,675	165,508	45,946	-70,104	-14,789	3947,201	0	-0,2	-0,1
COMB3	C497	650x750	1,043	165,508	45,946	-174,747	-43,838	3956,87	0	-0,3	-0,1
COMB3	C497	650x750	0,978	165,508	45,946	-185,528	-46,831	3957,866	0	-0,3	-0,1
COMB3	C497	650x750	0	165,508	45,946	-347,33	-91,748	3972,815	0	0	0
COMB4	C497	650x750	3,35	165,508	-45,814	207,122	-62,039	3921,909	0	0	0
COMB4	C497	650x750	3,155	165,508	-45,814	174,772	-53,085	3924,898	0	0	0
COMB4	C497	650x750	1,675	165,508	-45,814	-70,104	14,698	3947,523	0	-0,2	0,1
COMB4	C497	650x750	1,043	165,508	-45,814	-174,747	43,664	3957,191	0	-0,3	0,1
COMB4	C497	650x750	0,977	165,508	-45,814	-185,647	46,681	3958,198	0	-0,3	0,1
COMB4	C497	650x750	0	165,508	-45,814	-347,33	91,436	3973,137	0	0	0
COMB11	C497	650x750	3,35	167,123	45,904	210,056	62,125	1775,857	0	0	0
COMB11	C497	650x750	3,147	167,123	45,904	176,119	52,803	1777,645	0	0	0
COMB11	C497	650x750	3,016	167,123	45,904	154,197	46,782	1778,8	0	0	0
COMB11	C497	650x750	1,675	167,123	45,904	-69,875	-14,765	1790,603	0	-0,2	-0,1
COMB11	C497	650x750	1,039	167,123	45,904	-176,087	-43,938	1796,197	0	-0,3	-0,1
COMB11	C497	650x750	0,977	167,123	45,904	-186,453	-46,786	1796,743	0	-0,3	-0,1
COMB11	C497	650x750	0	167,123	45,904	-349,807	-91,654	1805,348	0	0	0
COMB12	C497	650x750	3,35	167,123	-45,855	210,056	-62,084	1776,179	0	0	0
COMB12	C497	650x750	3,147	167,123	-45,855	176,119	-52,773	1777,967	0	0	0
COMB12	C497	650x750	3,015	167,123	-45,855	154,071	-46,723	1779,128	0	0	0
COMB12	C497	650x750	1,675	167,123	-45,855	-69,875	14,723	1790,924	0	-0,2	0,1
COMB12	C497	650x750	1,039	167,123	-45,855	-176,087	43,865	1796,519	0	-0,3	0,1
COMB12	C497	650x750	0,977	167,123	-45,855	-186,518	46,727	1797,069	0	-0,3	0,1
COMB12	C497	650x750	0	167,123	-45,855	-349,807	91,53	1805,67	0	0	0

LAMPIRAN TABEL BERAT BANGUNAN

ETABS

Story	Diaphragm	Mass X	Mass Y	XCM	YCM	Cum Mass X	Cum Mass Y	XCCM	YCCM	XCR	YCR
		kg	kg	m	m	kg	kg	m	m	m	m
Story10	D1	464691	464691	15	9	464691	464691	15	9		
Story9	D1	557755,6	557755,6	15	9	1022446,6	1022446,6	15	9		
Story8	D1	557755,6	557755,6	15	9	1580202,2	1580202,2	15	9		
Story7	D1	557755,6	557755,6	15	9	2137957,8	2137957,8	15	9		
Story6	D1	557755,6	557755,6	15	9	2695713,4	2695713,4	15	9		
Story5	D1	587681,8	587681,8	15	9	3283395,2	3283395,2	15	9		
Story4	D1	594257,8	594257,8	15	9	3877653	3877653	15	9		
Story3	D1	594257,8	594257,8	15	9	4471910,79	4471910,79	15	9		
Story2	D1	594257,8	594257,8	15	9	5066168,59	5066168,59	15	9		
Story1	D1	594257,8	594257,8	15	9	5660426,38	5660426,38	15	9		

TSD

Story	Weight (kN)	Weight (kg)
Story10	4628,235	471948,627
Story9	5469,714	557755,605
Story8	5469,714	557755,605
Story7	5469,714	557755,605
Story6	5469,714	557755,605
Story5	5769,745	588350,252
Story4	5827,678	594257,774
Story3	5827,678	594257,774
Story2	5827,678	594257,774
Story1	5827,678	594257,774

LAMPIRAN TABEL GAYA LATERAL

ETABS

TABLE: Story Forces

Story	Output Case	Case Type	Step Type	Step Number	Location	P kgf	VX kgf	VY kgf	T kgf-mm	MX kgf-mm	MY kgf-mm
Story10	Ex	LinStatic	Step By Step	1	Top	0	-49401,56	0	444614016,9	0	0
Story10	Ex	LinStatic	Step By Step	1	Bottom	0	-49401,56	0	444614016,9	0	-197606230
Story10	Ex	LinStatic	Step By Step	2	Top	0	-49401,56	0	489075418,6	0	0
Story10	Ex	LinStatic	Step By Step	2	Bottom	0	-49401,56	0	489075418,6	0	-197606230
Story10	Ex	LinStatic	Step By Step	3	Top	0	-49401,56	0	400152615,2	0	0
Story10	Ex	LinStatic	Step By Step	3	Bottom	0	-49401,56	0	400152615,2	-0,00005154	-197606230
Story10	Ey	LinStatic	Step By Step	1	Top	0	0	-49401,56	-741023362	0	0
Story10	Ey	LinStatic	Step By Step	1	Bottom	0	0	-49401,56	-741023362	197606229,7	0
Story10	Ey	LinStatic	Step By Step	2	Top	0	0	-49401,56	-815125698	0	0
Story10	Ey	LinStatic	Step By Step	2	Bottom	0	0	-49401,56	-815125698	197606229,7	0
Story10	Ey	LinStatic	Step By Step	3	Top	0	0	-49401,56	-666921025	0	0
Story10	Ey	LinStatic	Step By Step	3	Bottom	0	0	-49401,56	-666921025	197606229,7	0
Story9	Ex	LinStatic	Step By Step	1	Top	0	-99221,83	0	892996434,2	0	-197606230
Story9	Ex	LinStatic	Step By Step	1	Bottom	0	-99221,83	0	892996434,2	-0,000135	-594493534
Story9	Ex	LinStatic	Step By Step	2	Top	0	-99221,83	0	982296077,6	0	-197606230
Story9	Ex	LinStatic	Step By Step	2	Bottom	0	-99221,83	0	982296077,6	-0,0001317	-594493534
Story9	Ex	LinStatic	Step By Step	3	Top	0	-99221,83	0	803696790,8	0	-197606230
Story9	Ex	LinStatic	Step By Step	3	Bottom	0	-99221,83	0	803696790,8	-0,0001358	-594493534
Story9	Ey	LinStatic	Step By Step	1	Top	0	0	-99221,83	-1488327390	197606229,7	0
Story9	Ey	LinStatic	Step By Step	1	Bottom	0	0	-99221,83	-1488327390	594493533,8	0,0001164
Story9	Ey	LinStatic	Step By Step	2	Top	0	0	-99221,83	-1637160129	197606229,7	0
Story9	Ey	LinStatic	Step By Step	2	Bottom	0	0	-99221,83	-1637160129	594493533,8	0,0001232
Story9	Ey	LinStatic	Step By Step	3	Top	0	0	-99221,83	-1339494651	197606229,7	0
Story9	Ey	LinStatic	Step By Step	3	Bottom	0	0	-99221,83	-1339494651	594493533,8	0,0001166
Story8	Ex	LinStatic	Step By Step	1	Top	0	-140230,58	0	1262075175	-0,0001323	-594493534
Story8	Ex	LinStatic	Step By Step	1	Bottom	0	-140230,58	0	1262075175	-0,0002584	-1155415834
Story8	Ex	LinStatic	Step By Step	2	Top	0	-140230,58	0	1388282693	-0,0001325	-594493534
Story8	Ex	LinStatic	Step By Step	2	Bottom	0	-140230,58	0	1388282693	-0,0002582	-1155415834
Story8	Ex	LinStatic	Step By Step	3	Top	0	-140230,58	0	1135867658	-0,0001376	-594493534
Story8	Ex	LinStatic	Step By Step	3	Bottom	0	-140230,58	0	1135867658	-0,0002639	-1155415834
Story8	Ey	LinStatic	Step By Step	1	Top	0	0	-140230,58	-2103458626	594493533,8	0,0001303
Story8	Ey	LinStatic	Step By Step	1	Bottom	0	0	-140230,58	-2103458626	1155415834	0,0002587
Story8	Ey	LinStatic	Step By Step	2	Top	0	0	-140230,58	-2313804488	594493533,8	0,000136

TABLE: Story Forces

Story	Output Case	Case Type	Step Type	Step Number	Location	P kgf	VX kgf	VY kgf	T kgf-mm	MX kgf-mm	MY kgf-mm
Story8	Ey	LinStatic	Step By Step	2	Bottom	0	0	-140230,58	-2313804488	1155415834	0,0002628
Story8	Ey	LinStatic	Step By Step	3	Top	0	0	-140230,58	-1893112763	594493533,8	0,0001319
Story8	Ey	LinStatic	Step By Step	3	Bottom	0	0	-140230,58	-1893112763	1155415834	0,000262
Story7	Ex	LinStatic	Step By Step	1	Top	0	-173119,13	0	1558072195	-0,0002637	-1155415834
Story7	Ex	LinStatic	Step By Step	1	Bottom	0	-173119,13	0	1558072195	-0,0004216	-1847892365
Story7	Ex	LinStatic	Step By Step	2	Top	0	-173119,13	0	1713879415	-0,0002642	-1155415834
Story7	Ex	LinStatic	Step By Step	2	Bottom	0	-173119,13	0	1713879415	-0,0004159	-1847892365
Story7	Ex	LinStatic	Step By Step	3	Top	0	-173119,13	0	1402264976	-0,0002658	-1155415834
Story7	Ex	LinStatic	Step By Step	3	Bottom	0	-173119,13	0	1402264976	-0,0004298	-1847892365
Story7	Ey	LinStatic	Step By Step	1	Top	0	0	-173119,13	-2596786992	1155415834	0,0002547
Story7	Ey	LinStatic	Step By Step	1	Bottom	0	0	-173119,13	-2596786992	1847892365	0,0004153
Story7	Ey	LinStatic	Step By Step	2	Top	0	0	-173119,13	-2856465691	1155415834	0,0002542
Story7	Ey	LinStatic	Step By Step	2	Bottom	0	0	-173119,13	-2856465691	1847892365	0,0004149
Story7	Ey	LinStatic	Step By Step	3	Top	0	0	-173119,13	-2337108293	1155415834	0,0002482
Story7	Ey	LinStatic	Step By Step	3	Bottom	0	0	-173119,13	-2337108293	1847892365	0,0004091
Story6	Ex	LinStatic	Step By Step	1	Top	0	-198611,8	0	1787506191	-0,0004258	-1847892365
Story6	Ex	LinStatic	Step By Step	1	Bottom	0	-198611,8	0	1787506191	-0,000611	-2642339561
Story6	Ex	LinStatic	Step By Step	2	Top	0	-198611,8	0	1966256810	-0,0004138	-1847892365
Story6	Ex	LinStatic	Step By Step	2	Bottom	0	-198611,8	0	1966256810	-0,0005923	-2642339561
Story6	Ex	LinStatic	Step By Step	3	Top	0	-198611,8	0	1608755572	-0,0004318	-1847892365
Story6	Ex	LinStatic	Step By Step	3	Bottom	0	-198611,8	0	1608755572	-0,0006239	-2642339561
Story6	Ey	LinStatic	Step By Step	1	Top	0	0	-198611,8	-2979176984	1847892365	0,0004193
Story6	Ey	LinStatic	Step By Step	1	Bottom	0	0	-198611,8	-2979176984	2642339561	0,0006077
Story6	Ey	LinStatic	Step By Step	2	Top	0	0	-198611,8	-3277094683	1847892365	0,0004238
Story6	Ey	LinStatic	Step By Step	2	Bottom	0	0	-198611,8	-3277094683	2642339561	0,0006112
Story6	Ey	LinStatic	Step By Step	3	Top	0	0	-198611,8	-2681259286	1847892365	0,0004181
Story6	Ey	LinStatic	Step By Step	3	Bottom	0	0	-198611,8	-2681259286	2642339561	0,0006072
Story5	Ex	LinStatic	Step By Step	1	Top	0	-218484,94	0	1966364475	-0,000604	-2642339561
Story5	Ex	LinStatic	Step By Step	1	Bottom	0	-218484,94	0	1966364475	-0,0008129	-3516279328
Story5	Ex	LinStatic	Step By Step	2	Top	0	-218484,94	0	2163000923	-0,000591	-2642339561
Story5	Ex	LinStatic	Step By Step	2	Bottom	0	-218484,94	0	2163000923	-0,0008022	-3516279328
Story5	Ex	LinStatic	Step By Step	3	Top	0	-218484,94	0	1769728028	-0,0006219	-2642339561
Story5	Ex	LinStatic	Step By Step	3	Bottom	0	-218484,94	0	1769728028	-0,0008295	-3516279328
Story5	Ey	LinStatic	Step By Step	1	Top	0	0	-218484,94	-3277274125	2642339561	0,0005887
Story5	Ey	LinStatic	Step By Step	1	Bottom	0	0	-218484,94	-3277274125	3516279328	0,0008012
Story5	Ey	LinStatic	Step By Step	2	Top	0	0	-218484,94	-3605001538	2642339561	0,0005934
Story5	Ey	LinStatic	Step By Step	2	Bottom	0	0	-218484,94	-3605001538	3516279328	0,0008033

TABLE: Story Forces

Story	Output Case	Case Type	Step Type	Step Number	Location	P kgf	VX kgf	VY kgf	T kgf-mm	MX kgf-mm	MY kgf-mm
Story5	Ey	LinStatic	Step By Step	3	Top	0	0	-218484,94	-2949546713	2642339561	0,0005887
Story5	Ey	LinStatic	Step By Step	3	Bottom	0	0	-218484,94	-2949546713	3516279328	0,0008035
Story4	Ex	LinStatic	Step By Step	1	Top	0	-232383,04	0	2091447366	-0,0008071	-3516279328
Story4	Ex	LinStatic	Step By Step	1	Bottom	0	-232383,04	0	2091447366	-0,001035	-4445811490
Story4	Ex	LinStatic	Step By Step	2	Top	0	-232383,04	0	2300592103	-0,0007939	-3516279328
Story4	Ex	LinStatic	Step By Step	2	Bottom	0	-232383,04	0	2300592103	-0,001024	-4445811490
Story4	Ex	LinStatic	Step By Step	3	Top	0	-232383,04	0	1882302630	-0,0008207	-3516279328
Story4	Ex	LinStatic	Step By Step	3	Bottom	0	-232383,04	0	1882302630	-0,001047	-4445811490
Story4	Ey	LinStatic	Step By Step	1	Top	0	0	-232383,04	-3485745610	3516279328	0,0007926
Story4	Ey	LinStatic	Step By Step	1	Bottom	0	0	-232383,04	-3485745610	4445811490	0,001024
Story4	Ey	LinStatic	Step By Step	2	Top	0	0	-232383,04	-3834320171	3516279328	0,0007955
Story4	Ey	LinStatic	Step By Step	2	Bottom	0	0	-232383,04	-3834320171	4445811490	0,001025
Story4	Ey	LinStatic	Step By Step	3	Top	0	0	-232383,04	-3137171049	3516279328	0,0007961
Story4	Ey	LinStatic	Step By Step	3	Bottom	0	0	-232383,04	-3137171049	4445811490	0,001028
Story3	Ex	LinStatic	Step By Step	1	Top	0	-241022,65	0	2169203856	-0,00103	-4445811490
Story3	Ex	LinStatic	Step By Step	1	Bottom	0	-241022,65	0	2169203856	-0,001271	-5409902093
Story3	Ex	LinStatic	Step By Step	2	Top	0	-241022,65	0	2386124242	-0,001019	-4445811490
Story3	Ex	LinStatic	Step By Step	2	Bottom	0	-241022,65	0	2386124242	-0,001262	-5409902093
Story3	Ex	LinStatic	Step By Step	3	Top	0	-241022,65	0	1952283471	-0,001044	-4445811490
Story3	Ex	LinStatic	Step By Step	3	Bottom	0	-241022,65	0	1952283471	-0,001283	-5409902093
Story3	Ey	LinStatic	Step By Step	1	Top	0	0	-241022,65	-3615339761	4445811490	0,001028
Story3	Ey	LinStatic	Step By Step	1	Bottom	0	0	-241022,65	-3615339761	5409902093	0,001272
Story3	Ey	LinStatic	Step By Step	2	Top	0	0	-241022,65	-3976873737	4445811490	0,001028
Story3	Ey	LinStatic	Step By Step	2	Bottom	0	0	-241022,65	-3976873737	5409902093	0,001272
Story3	Ey	LinStatic	Step By Step	3	Top	0	0	-241022,65	-3253805785	4445811490	0,001031
Story3	Ey	LinStatic	Step By Step	3	Bottom	0	0	-241022,65	-3253805785	5409902093	0,001275
Story2	Ex	LinStatic	Step By Step	1	Top	0	-245443,48	0	2208991282	-0,001266	-5409902093
Story2	Ex	LinStatic	Step By Step	1	Bottom	0	-245443,48	0	2208991282	-0,001515	-6391675997
Story2	Ex	LinStatic	Step By Step	2	Top	0	-245443,48	0	2429890411	-0,001256	-5409902093
Story2	Ex	LinStatic	Step By Step	2	Bottom	0	-245443,48	0	2429890411	-0,001505	-6391675997
Story2	Ex	LinStatic	Step By Step	3	Top	0	-245443,48	0	1988092154	-0,001276	-5409902093
Story2	Ex	LinStatic	Step By Step	3	Bottom	0	-245443,48	0	1988092154	-0,001526	-6391675997
Story2	Ey	LinStatic	Step By Step	1	Top	0	0	-245443,48	-3681652137	5409902093	0,001268
Story2	Ey	LinStatic	Step By Step	1	Bottom	0	0	-245443,48	-3681652137	6391675997	0,00152
Story2	Ey	LinStatic	Step By Step	2	Top	0	0	-245443,48	-4049817351	5409902093	0,001268
Story2	Ey	LinStatic	Step By Step	2	Bottom	0	0	-245443,48	-4049817351	6391675997	0,001521
Story2	Ey	LinStatic	Step By Step	3	Top	0	0	-245443,48	-3313486923	5409902093	0,001272

TABLE: Story Forces											
Story	Output Case	Case Type	Step Type	Step Number	Location	P kgf	VX kgf	VY kgf	T kgf-mm	MX kgf-mm	MY kgf-mm
Story2	Ey	LinStatic	Step By Step	3	Bottom	0	0	-245443,48	-3313486923	6391675997	0,001523
Story1	Ex	LinStatic	Step By Step	1	Top	0	-246849,69	0	2221647204	-0,001511	-6391675997
Story1	Ex	LinStatic	Step By Step	1	Bottom	0	-246849,69	0	2221647204	-0,001763	-7379074754
Story1	Ex	LinStatic	Step By Step	2	Top	0	-246849,69	0	2443811924	-0,001499	-6391675997
Story1	Ex	LinStatic	Step By Step	2	Bottom	0	-246849,69	0	2443811924	-0,001751	-7379074754
Story1	Ex	LinStatic	Step By Step	3	Top	0	-246849,69	0	1999482484	-0,001521	-6391675997
Story1	Ex	LinStatic	Step By Step	3	Bottom	0	-246849,69	0	1999482484	-0,001774	-7379074754
Story1	Ey	LinStatic	Step By Step	1	Top	0	0	-246849,69	-3702745340	6391675997	0,001519
Story1	Ey	LinStatic	Step By Step	1	Bottom	0	0	-246849,69	-3702745340	7379074754	0,001774
Story1	Ey	LinStatic	Step By Step	2	Top	0	0	-246849,69	-4073019874	6391675997	0,001523
Story1	Ey	LinStatic	Step By Step	2	Bottom	0	0	-246849,69	-4073019874	7379074754	0,001778
Story1	Ey	LinStatic	Step By Step	3	Top	0	0	-246849,69	-3332470806	6391675997	0,001524
Story1	Ey	LinStatic	Step By Step	3	Bottom	0	0	-246849,69	-3332470806	7379074754	0,001777

TSD

Level [m]	Reference	Σ Shear Dir 1 [kN]	Σ Shear Dir 2 [kN]
40,000	St. 10 (10)	491,136	491,136
36,000	St. 9 (9)	978,817	978,817
32,000	St. 8 (8)	1380,244	1380,244
28,000	St. 7 (7)	1702,184	1702,184
24,000	St. 6 (6)	1951,728	1951,728
20,000	St. 5 (5)	2146,483	2146,483
16,000	St. 4 (4)	2282,529	2282,529
12,000	St. 3 (3)	2367,101	2367,101
8,000	St. 2 (2)	2410,376	2410,376
4,000	St. 1 (1)	2424,141	2424,141



KEMENTERIAN PENDIDIKAN, KEBUDAYAAN,
RISET DAN TEKNOLOGI
UNIVERSITAS SULTAN AGENG TIRTAYASA
FAKULTAS TEKNIK

Jalan Jendral Soedirman KM. 3 Kota Cilegon Provinsi Banten 42435
Telepon (0254) 376712 Laman: f.untirta.ac.id

FORM PERSETUJUAN TANGGAL SIDANG

Nama : Rizki Ardiyansah
NIM : 3336210023
Jurusan : Teknik Sipil
Rencana Sidang : Seminar Proposal/ Seminar Hasil/ Sidang Akhir *)
Waktu Sidang :

Hari/ Tanggal : Rabu , 4 Juni 2025

Jam : 08.00 - Selesai

No	Nama Dosen	Pembimbing	Penguji	Tanda Tangan
1	Baehaki, S.T., M.Eng	I		Tanggal: 04/06/2025 Paraf:
2	Dr., Soelarso, S.T., M.Eng	II		Tanggal: Paraf:
3	Zulmahdi Darwis, S.T., M.Eng		I	Tanggal: 04/06/2025 Paraf:
4	Midia Rahma , S.Pd., M.T		II	Tanggal: Paraf:

Cilegon,
Koordinator TA

2025

Firyal Nabila, S.T.,M.Eng.
NIP. 199810252024062001

*) coret yang tidak perlu



KEMENTERIAN PENDIDIKAN, KEBUDAYAAN,
RISET DAN TEKNOLOGI
UNIVERSITAS SULTAN AGENG TIRTAYASA
FAKULTAS TEKNIK

Jalan Jendral Soedirman KM. 3 Kota Cilegon Provinsi Banten 42435
Telepon (0254) 376712 Laman: fakultas.untirta.ac.id

FORM PENETAPAN DOSEN PEMBIMBING TA

Nama : Rizki Ardiyansah
NIM : 3336210023
Program Studi : Teknik Sipil
Semester : Ganjil/Genap *) Tahun Akademik 2025
KBK : Struktur
Judul Tugas Akhir : PERBANDINGAN PERANCANGAN STRUKTUR GEDUNG SRPMK MENGGUNAKAN ETABS DAN TEKLA STRUCTURAL DESIGNER

No	Uraian	Nama Dosen	Paraf Dosen
1.	Pembimbing 1	1. Baehaki, S.T., M.Eng	1.
2.	Pembimbing 2	2. Dr., Soelarso, S.T., M.Eng	2.

Cilegon, *27 Mei* 2025
Ketua KBK

Dr., Soelarso, S.T., M.Eng
NIP. 198010012008121004

*) coret yang tidak perlu



KEMENTERIAN PENDIDIKAN, KEBUDAYAAN,
RISET DAN TEKNOLOGI
UNIVERSITAS SULTAN AGENG TIRTAYASA
FAKULTAS TEKNIK

Smp-01

Jl. Jendral Soedirman Km. 3 Kota Cilegon Provinsi Banten 42435
Telepon (0254) 376712 Laman: ft.untirta.ac.id

SURAT PERMOHONAN SEMINAR PROPOSAL SKRIPSI

Yang bertanda tangan di bawah ini, saya mahasiswa Program Sarjana Jurusan Teknik Sipil Fakultas Teknik Universitas Sultan Ageng Tirtayasa,

Nama Mahasiswa : Rizki Ardiyansah

Nomor Mahasiswa : 3336210023

Alamat Mahasiswa : Kavling kemuning, Ciracas, Serang, Banten

Dosen Pembimbing : Baehaki, S.T., M.Eng

dengan prestasi studi 3,8 sampai dengan tanggal: **5 Juni** 2025 seperti terlampir. Dengan ini saya mengajukan permohonan untuk dapat menyelenggarakan seminar proposal skripsi.

Cilegon, **5 Juni** 2025

Pemohon



Rizki Ardiyansah

PEMERIKSAAN (oleh Koord. Skripsi)

No	Perihal	Catatan
1.	Hasil studi kumulatif (≥ 116 sks dan IPK $\geq 2,00$)	143 SKS & IPK 3,8
2.	Nilai D maksimal 10% dari total SKS mata kuliah	0 %
3.	Kerja Praktek	
4.	Mengontrak mata kuliah Skripsi dalam KRS berjalan	
5.	Melakukan pendaftaran pada SISTA (TA-01)	
6.	Draf proposal telah disetujui Dosen Pembimbing (TA-02) Salinan sebanyak 4 eksemplar masing-masing untuk pembimbing dan pengaji	
7.	Naskah seminar telah disetujui Dosen Pembimbing (TA-02) Salinan sebanyak 10-15 eksemplar untuk peserta sidang	
8.	Berita Acara Seminar Proposal (Smp-02)	
9.	Lembar saran & masukan (Smp-03)	
10.	Daftar hadir dosen (Smp-04)	
11.	Daftar hadir peserta seminar (Smp-05)	

Seminar tersebut dapat dilaksanakan, waktu dan tempat seminar harap dikonsultasikan dengan Dosen Pembimbing dan Dosen Pengaji.

Cilegon, 2025
Koordinator Skripsi,



Firyaal Nabila, S.T., M.Eng.
NIP. 199810252024062001

Dibuat rangkap 2 untuk:

1. Mahasiswa ybs
2. Koord. Skripsi

* Pendaftaran Seminar Proposal Skripsi selambat-lambatnya 2 hari kerja sebelum seminar dilaksanakan.



KEMENTERIAN PENDIDIKAN, KEBUDAYAAN,
RISET DAN TEKNOLOGI
UNIVERSITAS SULTAN AGENG TIRTAYASA
FAKULTAS TEKNIK

Smp-02

Jl. Jendral Soedirman Km. 3 Kota Cilegon Provinsi Banten 42435
Telepon (0254) 376712 Laman: ft.untirta.ac.id

**BERITA ACARA SEMINAR PROPOSAL SKRIPSI
JURUSAN TEKNIK SIPIL UNTIRTA**

Pada hari ini Rabu tanggal 5 bulan Juni tahun 2025, telah dilaksanakan Seminar Proposal Skripsi dari mahasiswa/mahasiswi, yaitu :

Nama : Rizki Ardiyansah

NPM : 3336210023

Judul Skripsi : PERBANDINGAN PERANCANGAN STRUKTUR GEDUNG SRPMK MENGGUNAKAN ETABS DAN TEKLA STRUCTURAL DESIGNER

Dosen pembimbing I : Baehaki, S.T., M.Eng

Dosen pembimbing II: Dr., Soelarso, S.T., M.Eng

Dosen Penguji I : Zulmahdi Darwis, S.T., M.Eng

Dosen Penguji II : Midia Rahma , S.Pd., M.T

Dari Seminar Proposal Skripsi ini dinyatakan bahwa mahasiswa tersebut telah dinyatakan MEMENUHI PERSYARATAN / TIDAK MEMENUHI PERSYARATAN untuk melanjutkan Penelitian (Skripsi *)

Demikian Berita Acara ini dibuat dan selanjutnya untuk dapat dipergunakan sebagaimana mestinya.

Cilegon, 5 Juni 2025

Dosen Penguji I

Zulmahdi Darwis, S.T., M.Eng
NIP. 197706182008011005

Dosen Penguji II

Midia Rahma, S.Pd., M.T
NIP. 199601192024062002

Dosen Pembimbing I

Baehaki, S.T., M.Eng
NIP. 198705082015041001

Dosen Pembimbing II

Dr. Soelarso, S.T., M.Eng
NIP. 198010012008121004

Ket : *) coret yang tidak perlu

CC : Arsip



KEMENTERIAN PENDIDIKAN, KEBUDAYAAN,
RISET DAN TEKNOLOGI
UNIVERSITAS SULTAN AGENG TIRTAYASA
FAKULTAS TEKNIK

Smp-03

Jl. Jendral Soedirman Km. 3 Kota Cilegon Provinsi Banten 42435
Telepon (0254) 376712 Laman: ft.untirta.ac.id

**SARAN / MASUKAN
SEMINAR PROPOSAL SKRIPSI**

Hari/Tgl : Kamis, 5 Juni 2025 Waktu : 08.00 - Selesai
Nama Peserta : Rizki Ardiyansah NPM : 3336210023
Judul Skripsi : PERBANDINGAN PERANCANGAN STRUKTUR GEDUNG SRPMK
MENGGUNAKAN ETABS DAN TEKLA STRUCTURAL DESIGNER

NO	HAL	MASUKAN/SARAN/KOREKSI/DLL	KET.
	-	awal kalimat usahakan tidak menggunakan kata kerja kata samarbing dan pengandaian - .	
	-	tuar belah. - Dipungkaskan alih dari bahasan <u>sebut</u> .	

Cilegon, 5 Juni 2025
Dosen Penguji I

Zulmahdi Darwis, S.T., M.Eng
NIP. 197706182008011005



KEMENTERIAN PENDIDIKAN, KEBUDAYAAN,
RISET DAN TEKNOLOGI
UNIVERSITAS SULTAN AGENG TIRTAYASA
FAKULTAS TEKNIK

Smp-03

Jl. Jendral Soedirman Km. 3 Kota Cilegon Provinsi Banten 42435
Telepon (0254) 376712 Laman: ft.untirta.ac.id

SARAN / MASUKAN
SEMINAR PROPOSAL SKRIPSI

Hari/Tgl : Kamis, 5 Juni 2025 Waktu : 08.00 - Selesai
Nama Peserta : Rizki Ardiyansah NPM : 3336210023
Judul Skripsi : PERBANDINGAN PERANCANGAN STRUKTUR GEDUNG SRPMK
MENGGUNAKAN ETABS DAN TEKLA STRUCTURAL DESIGNER

NO	HAL	MASUKAN/SARAN/KOREKSI/DLL	KET.
(1)		Pemelajaran fenis relatif pada ETABS & tso (shell / slab on beam)	✓
(2)		Tujuan dijelaskan apa yang mau di tuju	✓
(3)		Rumusan masalah diperjelas	✓
(4)		Manfaat penelitian berdasarkan tujuan yg telah tercapai	✓
(5)		teori magisterium yang dipakai dalam proposal	✓

Cilegon, 5 Juni 2025
Dosen Pembimbing I

Bachaki, S.T., M.Eng
NIP. 198705082015041001



KEMENTERIAN PENDIDIKAN, KEBUDAYAAN,
RISET DAN TEKNOLOGI
UNIVERSITAS SULTAN AGENG TIRTAYASA
FAKULTAS TEKNIK

Smp-03

Jl. Jendral Soedirman Km. 3 Kota Cilegon Provinsi Banten 42435
Telepon (0254) 376712 Laman: ft.untirta.ac.id

**SARAN / MASUKAN
SEMINAR PROPOSAL SKRIPSI**

Hari/Tgl : Kamis, 5 Juni 2025 Waktu : 08.00 - Selesai
Nama Peserta : Rizki Ardiyansah NPM : 3336210023
Judul Skripsi : PERBANDINGAN PERANCANGAN STRUKTUR GEDUNG SRPMK
MENGGUNAKAN ETABS DAN TEKLA STRUCTURAL DESIGNER

NO	HAL	MASUKAN/SARAN/KOREKSI/DLL	KET.
1.		<i>tujan tidak memakai tanda tanya (?)</i>	

Cilegon, 5 Juni 2025
Dosen Penguji II


Midia Rahma , S.Pd., M.T
NIP. 199601192024062002



DAFTAR HADIR SEMINAR PROPOSAL SKRIPSI

Hari/Tgl : Kamis, 5 Juni 2025

Waktu : 08.00 - Selesai

Nama Peserta : Rizki Ardiyansah

NPM : 3336210023

Judul Skripsi : PERBANDINGAN PERANCANGAN STRUKTUR GEDUNG SRPMK

MENGGUNAKAN ETABS DAN TEKLA STRUCTURAL DESIGNER

NO	NAMA	NIP	TANDA-TANGAN
1.	Baehaki, S.T., M.Eng	198705082015041001	1.
2.	Dr., Soelarso, S.T., M.Eng	198010012008121004	2.
3.	Zulmahdi Darwis, S.T., M.Eng	197706182008011005	3.
4.	Midia Rahma , S.Pd., M.T	199601192024062002	4.

Cilegon, 2025
Koordinator Skripsi

Firyaal Nabila, S.T.,M.Eng.
NIP. 199810252024062001



KEMENTERIAN PENDIDIKAN, KEBUDAYAAN,
RISET DAN TEKNOLOGI
UNIVERSITAS SULTAN AGENG TIRTAYASA
FAKULTAS TEKNIK

Smp-05

Jalan Jenderal Soedirman KM. 3 Kota Cilegon Provinsi Banten 42435
Telepon (0254) 376712 Laman: f.untirta.ac.id

DAFTAR HADIR SEMINAR PROPOSAL SKRIPSI

Hari/Tgl : Kamis, 5 Juni 2025
Waktu : 08.00 - Selesai
Nama Peserta : Rizki Ardiyansah
NPM : 3336210023
Judul Skripsi : PERBANDINGAN PERANCANGAN STRUKTUR GEDUNG SRPMK
MENGGUNAKAN ETABS DAN TEKLA STRUCTURAL DESIGNER

NO	NAMA	NPM	TANDA-TANGAN	KET.
1.	Tegar Andriansyah	3336200031	1.	
2.	Mohamed Syaifulmen A	3336210093	2.	
3.	Ahmad Fauzan Ardiansyah	3336210030	3.	
4.	Deden Bustomi	3336210020	4.	
5.	M. Faruq. A	3336210029	5.	
6.	M. Gema Pramadhan	3336210093	6.	
7.	Gusti Shandika Parawara	3336220010	7.	
8.	Akmal Alif Rizaldi	3336220093	8.	
9.	Faith Setiawan	3336230001	9.	
10.	M. Ambari Rumwom	3336223016	10.	
11.	Siti Djulia Murcahya	3336210057	11.	
12.	Happy Tracy A	3336210053	12.	
13.	Shinta Jihan Abiutau	3336210109	13.	
14.			14.	
15.			15.	

Cilegon, 2025
Koordinator Skripsi

Firyaal Nabila, S.T.,M.Eng.
NIP. 199810252024062001



KEMENTERIAN PENDIDIKAN, KEBUDAYAAN,
RISET DAN TEKNOLOGI
UNIVERSITAS SULTAN AGENG TIRTAYASA
FAKULTAS TEKNIK

Smp-06

Jalan Jenderal Soedirman KM. 3 Kota Cilegon Provinsi Banten 42435
Telepon (0254) 376712 Laman: f.untirta.ac.id

BUKTI PERBAIKAN PROPOSAL SKRIPSI

Nama Peserta : Rizki Ardiyansah
NPM : 3336210023

NO	HARI/ TANGGAL	PERIHAL	BAB	HALAMAN

Cilegon,
2025
Dosen Pembimbing II


Dr. Soelarso, S.T., M.Eng
NIP. 198010012008121004



KEMENTERIAN PENDIDIKAN, KEBUDAYAAN,
RISET DAN TEKNOLOGI
UNIVERSITAS SULTAN AGENG TIRTAYASA
FAKULTAS TEKNIK

Smp-06

Jalan Jenderal Soedirman KM. 3 Kota Cilegon Provinsi Banten 42435
Telepon (0254) 376712 Laman: ft.untirta.ac.id

BUKTI PERBAIKAN PROPOSAL SKRIPSI

Nama Peserta : Rizki Ardiyansah
NPM : 3336210023

NO	HARI/ TANGGAL	PERIHAL	BAB	HALAMAN
1.		Tujuan tidak memalai tanda tanya (?)		

Cilegon,
2025
Dosen Penguji II

Midia Rahma , S.Pd., M.T
NIP. 199601192024062002



KEMENTERIAN PENDIDIKAN, KEBUDAYAAN,
RISET DAN TEKNOLOGI
UNIVERSITAS SULTAN AGENG TIRTAYASA
FAKULTAS TEKNIK

Smp-06

Jalan Jenderal Soedirman KM. 3 Kota Cilegon Provinsi Banten 42435
Telepon (0254) 376712 Laman: ft.untirta.ac.id

BUKTI PERBAIKAN PROPOSAL SKRIPSI

Nama Peserta : Rizki Ardiyansah
NPM : 3336210023

NO	HARI/ TANGGAL	PERIHAL	BAB	HALAMAN

Cilegon,

2025

Dosen Penguji I

Zulmahdi Darwis, S.T., M.Eng
NIP. 197706182008011005



KEMENTERIAN PENDIDIKAN, KEBUDAYAAN,
RISET DAN TEKNOLOGI
UNIVERSITAS SULTAN AGENG TIRTAYASA
FAKULTAS TEKNIK

Smp-06

Jalan Jenderal Soedirman KM. 3 Kota Cilegon Provinsi Banten 42435
Telepon (0254) 376712 Laman: ft.untirta.ac.id

BUKTI PERBAIKAN PROPOSAL SKRIPSI

Nama Peserta : Rizki Ardiyansah
NPM : 3336210023

NO	HARI/ TANGGAL	PERIHAL	BAB	HALAMAN
(1)		jenis Relat FTAB (Shell) & TSD (slab on Beam)		
(2)		Rumusan Masalah (ganda, Simpangan, Detailing struktur)		
(3)		Tujuan menjawab rumusan masalah		
(4)		Manfaat penelitian setelah tujuan dicapai		
(5)		teori diponcei untuk proposal		

Cilegon, 2025

Dosen Pembimbing I

Baehaki, S.T., M.Eng
NIP. 198705082015041001



Dipindai dengan CamScanner



KEMENTERIAN PENDIDIKAN, KEBUDAYAAN,
RISET DAN TEKNOLOGI
UNIVERSITAS SULTAN AGENG TIRTAYASA
FAKULTAS TEKNIK

Jalan Jenderal Soedirman KM. 3 Kota Cilegon Provinsi Banten 42435
Telepon (0254) 376712 Laman: ft.untirta.ac.id

Smp-07

FORM BIMBINGAN TUGAS AKHIR

Nama Mahasiswa : Rizki Ardiyansah
NIM : 3336210023
Program Studi : Teknik Sipil
Semester : 8
Pembimbing I : Baehaki, S.T., M.Eng
Judul Tugas Akhir : PERBANDINGAN PERANCANGAN STRUKTUR GEDUNG SRPMK MENGGUNAKAN ETABS DAN TEKLA STRUCTURAL DESIGNER

No.	Tanggal	Topik Pembahasan	Paraf Pembimbing
1	21/05/2025	Bimbingan PROPOSAL (tujuan longsung mengacu, tujuan pustaka)	
2.	27/05/2025	Seminar Proposal	
3.	13/06/2025	Revisi Bab 5 (Detailing)	
4.	16/06/2025	Bimbingan BAB 5 & 6	
5.	19/06/2025	Seminar Hasil	
6.	23/06/2025	Sidang Akhir ^{30/06/2025}	

Cilegon, 27 Mei 2025
Mahasiswa,

Rizki Ardiyansah
NIM. 3336210023

Mengetahui,
Pembimbing I Skripsi,

Baehaki, S.T., M.Eng
NIP. 198705082015041001



KEMENTERIAN PENDIDIKAN, KEBUDAYAAN,
RISET DAN TEKNOLOGI
UNIVERSITAS SULTAN AGENG TIRTAYASA
FAKULTAS TEKNIK

Jalan Jenderal Soedirman KM. 3 Kota Cilegon Provinsi Banten 42435
Telepon (0254) 376712 Laman: ft.untirta.ac.id

Smp-07

FORM BIMBINGAN TUGAS AKHIR

Nama Mahasiswa : Rizki Ardiyansah
NIM : 3336210023
Program Studi : Teknik Sipil
Semester : 8
Pembimbing II : Dr. Soelarso, S.T., M.Eng
Judul Tugas Akhir : PERBANDINGAN PERANCANGAN STRUKTUR GEDUNG SRPMK MENGGUNAKAN ETABS DAN TEKLA STRUCTURAL DESIGNER

No.	Tanggal	Topik Pembahasan	Paraf Pembimbing
1.	21/05/2025	Bimbingan Proposal (tambahin teori dasar)	\$
2	27/05/2025	Seminar Proposal	\$
3	13/06/2025	BAB 5 - 6	\$
4	16/06/2025	BAB 1 - 6	\$
5	19/06/2025	Seminar Hasil	\$
6	23/06/2025	Sidang Akhir	\$

Cilegon, 27 Mei
Mahasiswa,

Rizki Ardiyansah
NIM. 3336210023

2025

Mengetahui,
Pembimbing II Skripsi,

Dr. Soelarso, S.T., M.Eng
NIP. 198010012008121004



KEMENTERIAN PENDIDIKAN TINGGI, SAINS,
DAN TEKNOLOGI
UNIVERSITAS SULTAN AGENG TIRTAYASA
FAKULTAS TEKNIK

Ahr-01

Jalan Jendral Soedirman Km. 03 Kota Cilegon Provinsi Banten
Laman: : www.ft.untirta.ac.id, email: ft.untirta.ac.id

SURAT PERMOHONAN SIDANG AKHIR SKRIPSI

Yang bertanda tangan di bawah ini, saya mahasiswa Program Sarjana Jurusan Teknik Sipil Fakultas Teknik Universitas Sultan Ageng Tirtayasa,

Nama Mahasiswa : Rizki Ardiyansah
Nomor Mahasiswa : 3336210023
Alamat Mahasiswa : Ciracas, Serang, Banten
Dosen Pembimbing : Baehaki S.T., M.Eng

dengan prestasi studi 3,8 sampai dengan tanggal: 23 Juni 2025 seperti terlampir. Dengan ini saya mengajukan permohonan untuk dapat menyelenggarakan sidang akhir skripsi.

Cilegon, 23 Juni 2025

Pemohon,

Rizki Ardiyansah

PEMERIKSAAN (oleh Koord. Skripsi)

No	Perihal	Catatan
1.	Hasil studi kumulatif (≥ 139 sks dan IPK $\geq 2,00$)	147 sks, IPK 3,8
2.	Hasil studi kumulatif (nilai D $\leq 10\%$)	Nilai D 0 %
3.	Draf bimbingan telah disetujui Dosen Pembimbing (SIAKANG)	
4.	Daftar hadir dosen (Ahr-02)	
5.	Formulir saran & masukan (Ahr-03)	
6.	Formulir Penilaian Skripsi (Ahr-04)	
7.	Berita Acara Sidang Akhir (Ahr-05)	
8.	Formulir Rekapitulasi Penilaian Skripsi (Ahr-06)	
9.	Formulir Revisi Laporan Skripsi (Ahr-07)	
10.	Transkip Nilai Mahasiswa ditandatangani Mahasiswa	
11.	Form bukti pelaksanaan seminar hasil (Hsl-01 sampai Hsl-06)	
12.	Sertifikat TOEFL Lab. Bahasa FT. Untirta (Min. Score 425)	

Sidang Akhir tersebut dapat dilaksanakan, waktu dan tempat seminar harap dikonsultasikan dengan Dosen Pembimbing dan Dosen Penguji.

Cilegon, 2025

Koordinator Skripsi,

Firyaal Nabila, S.T., M.Eng
NIP. 199810252024062001

Dibuat rangkap 3 untuk:

1. Mahasiswa ybs
2. Koordinator Skripsi

* Pendaftaran Sidang Akhir Skripsi selambat-lambatnya 5 hari kerja sebelum sidang dilaksanakan.



KEMENTERIAN PENDIDIKAN, KEBUDAYAAN,
RISET DAN TEKNOLOGI
UNIVERSITAS SULTAN AGENG TIRTAYASA
FAKULTAS TEKNIK

Ahr-02

Jalan Jenderal Soedirman KM. 3 Kota Cilegon Provinsi Banten 42435
Telepon (0254) 376712 Laman: ft.untirta.ac.id

DAFTAR HADIR SIDANG AKHIR SKRIPSI

Hari/Tgl : Senin, 30 Juni 2025

Waktu : 08.00 - Selesai

Nama Peserta : Rizki Ardiyansah

NPM : 3336210023

Judul Skripsi : PERBANDINGAN PERANCANGAN STRUKTUR GEDUNG
SRPMK MENGGUNAKAN ETABS DAN TEKLA STRUCTURAL DESIGNER

NO	NAMA	NIP	TANDA-TANGAN
1.	Baehaki, S.T., M.Eng	198705082015041001	1.
2.	Dr., Soelarso, S.T., M.Eng	198010012008121004	2.
3.	Zulmahdi Darwis, S.T., M.Eng	197706182008011005	3.
4.	Midia Rahma , S.Pd., M.T	199601192024062002	4.

Cilegon, 2025
Koordinator Skripsi

Firyaal Nabila, S.T.,M.Eng.
NIP. 199810252024062001



KEMENTERIAN PENDIDIKAN, KEBUDAYAAN,
RISET DAN TEKNOLOGI
UNIVERSITAS SULTAN AGENG TIRTAYASA
FAKULTAS TEKNIK

Ahr-03

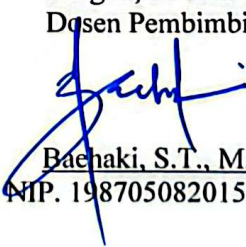
Jl. Jendral Soedirman Km. 3 Kota Cilegon Provinsi Banten 42435
Telepon (0254) 376712 Laman: ft.untirta.ac.id

SARAN / MASUKAN
SIDANG AKHIR SKRIPSI

Hari/Tgl : Senin, 30 Juni 2025 Waktu : 08.00 - Selesai
Nama Peserta : Rizki Ardiyansah NPM : 3336210023
Judul Skripsi : PERBANDINGAN PERANCANGAN STRUKTUR GEDUNG SRPMK
MENGGUNAKAN ETABS DAN TEKLA STRUCTURAL DESIGNER

NO	HAL	MASUKAN/SARAN/KOREKSL/DLL	KET.

Cilegon, 30 Juni 2025
Dosen Pembimbing I


Baehaki, S.T., M.Eng
NIP. 198705082015041001



KEMENTERIAN PENDIDIKAN, KEBUDAYAAN,
RISET DAN TEKNOLOGI
UNIVERSITAS SULTAN AGENG TIRTAYASA
FAKULTAS TEKNIK

Ahr-03

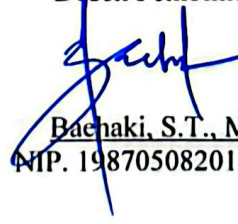
Jl. Jendral Soedirman Km. 3 Kota Cilegon Provinsi Banten 42435
Telepon (0254) 376712 Laman: ft.untirta.ac.id

SARAN / MASUKAN
SIDANG AKHIR SKRIPSI

Hari/Tgl : Senin, 30 Juni 2025 Waktu : 08.00 - Selesai
Nama Peserta : Rizki Ardiyansah NPM : 3336210023
Judul Skripsi : PERBANDINGAN PERANCANGAN STRUKTUR GEDUNG SRPMK
MENGGUNAKAN ETABS DAN TEKLA STRUCTURAL DESIGNER

NO	HAL	MASUKAN/SARAN/KOREKSI/DLL	KET.

Cilegon, 30 Juni 2025
Dosen Pembimbing I


Baehaki, S.T., M.Eng
NIP. 198705082015041001



KEMENTERIAN PENDIDIKAN, KEBUDAYAAN,
RISET DAN TEKNOLOGI
UNIVERSITAS SULTAN AGENG TIRTAYASA
FAKULTAS TEKNIK

Ahr-03

Jl. Jendral Soedirman Km. 3 Kota Cilegon Provinsi Banten 42435
Telepon (0254) 376712 Laman: ft.untirta.ac.id

SARAN / MASUKAN
SIDANG AKHIR SKRIPSI

Hari/Tgl : Senin, 30 Juni 2025 Waktu : 08.00 - Selesai
Nama Peserta : Rizki Ardiyansah NPM : 3336210023
Judul Skripsi : PERBANDINGAN PERANCANGAN STRUKTUR GEDUNG SRPMK
MENGGUNAKAN ETABS DAN TEKLA STRUCTURAL DESIGNER

NO	HAL	MASUKAN/SARAN/KOREKSI/DLL	KET.
-		Latar belakang dibuatlah Penelitian = sebelumnya.	
-		Anal kalimat vadah tidak menggunakan Kata depan. pengaduan Sambing .	

Cilegon, 30 Juni 2025
Dosen Penguji I

Zulmahdi Darwis, S.T., M.Eng
NIP. 197706182008011005



KEMENTERIAN PENDIDIKAN, KEBUDAYAAN,
RISET DAN TEKNOLOGI
UNIVERSITAS SULTAN AGENG TIRTAYASA
FAKULTAS TEKNIK

Ahr-03

Jl. Jendral Soedirman Km. 3 Kota Cilegon Provinsi Banten 42435
Telepon (0254) 376712 Laman: ft.untirta.ac.id

**SARAN / MASUKAN
SIDANG AKHIR SKRIPSI**

Hari/Tgl : Senin, 30 Juni 2025 Waktu : 08.00 - Selesai
Nama Peserta : Rizki Ardiyansah NPM : 3336210023
Judul Skripsi : PERBANDINGAN PERANCANGAN STRUKTUR GEDUNG SRPMK
MENGGUNAKAN ETABS DAN TEKLA STRUCTURAL DESIGNER

NO	HAL	MASUKAN/SARAN/KOREKSI/DLL	KET.
		Cek., perbedaan rasio antara ETABS Tetapi,	

Cilegon, 30 Juni 2025
Dosen Pembimbing II

Dr., Soelarso, S.T., M.Eng
NIP. 198010012008121004



KEMENTERIAN PENDIDIKAN, KEBUDAYAAN,
RISET DAN TEKNOLOGI
UNIVERSITAS SULTAN AGENG TIRTAYASA
FAKULTAS TEKNIK

Ahr-03

Jl. Jendral Soedirman Km. 3 Kota Cilegon Provinsi Banten 42435
Telepon (0254) 376712 Laman: ft.untirta.ac.id

SARAN / MASUKAN
SIDANG AKHIR SKRIPSI

Hari/Tgl : Senin, 30 Juni 2025 Waktu : 08.00 - Selesai
Nama Peserta : Rizki Ardiyansah NPM : 3336210023
Judul Skripsi : PERBANDINGAN PERANCANGAN STRUKTUR GEDUNG SRPMK
MENGGUNAKAN ETABS DAN TEKLA STRUCTURAL DESIGNER

NO	HAL	MASUKAN/SARAN/KOREKSI/DLL	KET.
1.		Tambahkan kesimpulan pada setiap bahasan rumusan masalah terbaik lebih conservatif mana software ETABS dan TSD .	

Cilegon, 30 Juni 2025
Dosen Penguji II

Midia Rahma, S.Pd., M.T
NIP. 199601192024062002



KEMENTERIAN PENDIDIKAN TINGGI, SAINS
DAN TEKNOLOGI
UNIVERSITAS SULTAN AGENG TIRTAYASA
FAKULTAS TEKNIK

Ahr-04

Jalan Jendral Soedirman Km. 03 Kota Cilegon Provinsi Banten
Laman: www.ft.untirta.ac.id, email: ft.untirta.ac.id

DRAFT FORMAT PENILAIAN SIDANG AKHIR SKRIPSI

Judul Tugas Akhir: Hari/Tgl :Senin, 30 Juni 2025
PERBANDINGAN PERANCANGAN STRUKTUR Waktu : 08.00 - Selesai
GEDUNG SRPMK MENGGUNAKAN ETABS DAN Nama Mahasiswa : Rizki Ardiyansah
TEKLA STRUCTURAL DESIGNER NPM : 3336210023

NO	ASPEK YANG DINILAI	PENGUASAAN (0-100)
A	METODOLOGI 1. Rumusan Masalah & Tujuan Penelitian 2. Prosedur Pengumpulan Data & Analisis Data 3. Interpretasi Hasil 4. Penarikan Kesimpulan
	Jumlah Nilai Rata-Rata Nilai (RA) = Jumlah Nilai / 4
B	ISI SKRIPSI 1. Relevansi Teori dan Pembahasan 2. Tata Tulis
	Jumlah Nilai Rata-Rata Nilai (RB) = Jumlah Nilai / 2
C	PROSES BIMBINGAN 1. Intensitas Bimbingan 2. Sikap Saat Bimbingan
	Jumlah Nilai Rata-Rata Nilai (RC) = Jumlah Nilai / 2
D	PROSES SIDANG AKHIR 1. Kemampuan Presentasi 2. Penggunaan Materi 3. Kemampuan Menjawab 4. Sikap Saat Presentasi
	Jumlah Nilai Rata-Rata Nilai (RD) = Jumlah Nilai / 4
NILAI AKHIR = (RA + RB + RC + RD)/4		

Cilegon, 30 Juni 2025
Pengaji II,

Midia Rahma , S.Pd., M.T
NIP. 199601192024062002



Dipindai dengan CamScanner



KEMENTERIAN PENDIDIKAN TINGGI, SAINS
DAN TEKNOLOGI
UNIVERSITAS SULTAN AGENG TIRTAYASA
FAKULTAS TEKNIK

Ahr-04

Jalan Jendral Soedirman Km. 03 Kota Cilegon Provinsi Banten
Laman: : www.ft.untirta.ac.id email: ft.untirta.ac.id

DRAFT FORMAT PENILAIAN SIDANG AKHIR SKRIPSI

Judul Tugas Akhir: Hari/Tgl :Senin, 30 Juni 2025
PERBANDINGAN PERANCANGAN STRUKTUR Waktu : 08.00 - Selesai
GEDUNG SRPMK MENGGUNAKAN ETABS DAN Nama Mahasiswa : Rizki Ardiyansah
TEKLA STRUCTURAL DESIGNER NPM : 3336210023

NO	ASPEK YANG DINILAI	PENGUASAAN (0-100)
A	METODOLOGI 1. Rumusan Masalah & Tujuan Penelitian 2. Prosedur Pengumpulan Data & Analisis Data 3. Interpretasi Hasil 4. Penarikan Kesimpulan
	Jumlah Nilai Rata-Rata Nilai (RA) = Jumlah Nilai / 4
B	ISI SKRIPSI 1. Relevansi Teori dan Pembahasan 2. Tata Tulis
	Jumlah Nilai Rata-Rata Nilai (RB) = Jumlah Nilai / 2
C	PROSES BIMBINGAN 1. Intensitas Bimbingan 2. Sikap Saat Bimbingan
	Jumlah Nilai Rata-Rata Nilai (RC) = Jumlah Nilai / 2
D	PROSES SIDANG AKHIR 1. Kemampuan Presentasi 2. Penggunaan Materi 3. Kemampuan Menjawab 4. Sikap Saat Presentasi
	Jumlah Nilai Rata-Rata Nilai (RD) = Jumlah Nilai / 4
NILAI AKHIR = (RA + RB + RC + RD)/4		

Cilegon, 30 Juni 2025
Pembimbing II,

Dr., Soelarso, S.T., M.Eng
NIP. 198010012008121004



KEMENTERIAN PENDIDIKAN TINGGI, SAINS
DAN TEKNOLOGI
UNIVERSITAS SULTAN AGENG TIRTAYASA
FAKULTAS TEKNIK

Ahr-04

Jalan Jendral Soedirman Km. 03 Kota Cilegon Provinsi Banten
Laman: : www.ft.unirta.ac.id email: ft.unirta.ac.id

DRAFT FORMAT PENILAIAN SIDANG AKHIR SKRIPSI

Judul Tugas Akhir: Hari/Tgl :Senin, 30 Juni 2025
PERBANDINGAN PERANCANGAN STRUKTUR Waktu : 08.00 - Selesai
GEDUNG SRPMK MENGGUNAKAN ETABS DAN Nama Mahasiswa : Rizki Ardiyansah
TEKLA STRUCTURAL DESIGNER NPM : 3336210023

NO	ASPEK YANG DINILAI	PENGUASAAN (0-100)
A	METODOLOGI 1. Rumusan Masalah & Tujuan Penelitian 2. Prosedur Pengumpulan Data & Analisis Data 3. Interpretasi Hasil 4. Penarikan Kesimpulan
	Jumlah Nilai Rata-Rata Nilai (RA) = Jumlah Nilai / 4
B	ISI SKRIPSI 1. Relevansi Teori dan Pembahasan 2. Tata Tulis
	Jumlah Nilai Rata-Rata Nilai (RB) = Jumlah Nilai / 2
C	PROSES BIMBINGAN 1. Intensitas Bimbingan 2. Sikap Saat Bimbingan
	Jumlah Nilai Rata-Rata Nilai (RC) = Jumlah Nilai / 2
D	PROSES SIDANG AKHIR 1. Kemampuan Presentasi 2. Penguasaan Materi 3. Kemampuan Menjawab 4. Sikap Saat Presentasi
	Jumlah Nilai Rata-Rata Nilai (RD) = Jumlah Nilai / 4
NILAI AKHIR = (RA + RB + RC + RD)/4		

Cilegon, 30 Juni 2025
Penguji I,

Zulmahdi Darwis, S.T., M.Eng
NIP. 197706182008011005



KEMENTERIAN PENDIDIKAN TINGGI, SAINS
DAN TEKNOLOGI
UNIVERSITAS SULTAN AGENG TIRTAYASA
FAKULTAS TEKNIK

Ahr-04

Jalan Jendral Soedirman Km. 03 Kota Cilegon Provinsi Banten
Laman: : www.ft.untirta.ac.id, email: ft.untirta.ac.id

DRAFT FORMAT PENILAIAN SIDANG AKHIR SKRIPSI

Judul Tugas Akhir: Hari/Tgl :Senin, 30 Juni 2025
PERBANDINGAN PERANCANGAN STRUKTUR Waktu : 08.00 - Selesai
GEDUNG SRPMK MENGGUNAKAN ETABS DAN Nama Mahasiswa : Rizki Ardiyansah
TEKLA STRUCTURAL DESIGNER NPM : 3336210023

NO	ASPEK YANG DINILAI	PENGUASAAN (0-100)
A	METODOLOGI 1. Rumusan Masalah & Tujuan Penelitian 2. Prosedur Pengumpulan Data & Analisis Data 3. Interpretasi Hasil 4. Penarikan Kesimpulan
	Jumlah Nilai Rata-Rata Nilai (RA) = Jumlah Nilai / 4
B	ISI SKRIPSI 1. Relevansi Teori dan Pembahasan 2. Tata Tulis
	Jumlah Nilai Rata-Rata Nilai (RB) = Jumlah Nilai / 2
C	PROSES BIMBINGAN 1. Intensitas Bimbingan 2. Sikap Saat Bimbingan
	Jumlah Nilai Rata-Rata Nilai (RC) = Jumlah Nilai / 2
D	PROSES SIDANG AKHIR 1. Kemampuan Presentasi 2. Penguasaan Materi 3. Kemampuan Menjawab 4. Sikap Saat Presentasi
	Jumlah Nilai Rata-Rata Nilai (RD) = Jumlah Nilai / 4
NILAI AKHIR = (RA + RB + RC + RD)/4		

Cilegon, 30 Juni 2025

Pembimbing I,

Bachaki, S.T., M.Eng
NIP. 198705082015041001



BERITA ACARA SIDANG SKRIPSI/TUGAS AKHIR

Pada hari ini, Tanggal 30 Bulan Juni Tahun 2025, bertempat di Ruang Sidang Fakultas Teknik Universitas Sultan Ageng Tirtayasa, telah dilaksanakan Ujian Sidang Skripsi/Tugas Akhir atas nama:

Nama Mahasiswa : Rizki Ardiyansah
NIM : 3336210023
Pengguji : Ketua Sidang : Baehaki, S.T., M.Eng
Pengguji I : Zulmahdi Darwis, S.T., M.Eng
Pengguji II : Midia Rahma , S.Pd., M.T
Pengguji III : Dr. Soelarso, S.T., M.Eng
Judul Skripsi/Tugas Akhir : PERBANDINGAN PERANCANGAN STRUKTUR GEDUNG SRPMK MENGGUNAKAN ETABS DAN TEKLA
STRUCTURAL DESIGNER
Waktu : 08.00 - Selesai
Catatan Kegiatan :

Lulus bersyarat

Demikian Berita Acara ini dibuat dengan sebenar – benarnya untuk diketahui dan dipergunakan sebagaimana mestinya

Cilegon, 30 Juni 2025

Ketua Sidang	:	<u>Baehaki, S.T., M.Eng</u> NIP. 198705082015041001	:	
Pengguji 1	:	<u>Zulmahdi Darwis, S.T., M.Eng</u> NIP. 197706182008011005	:	
Pengguji 2	:	<u>Midia Rahma , S.Pd., M.T</u> NIP. 199601192024062002	:	
Pengguji 3	:	<u>Dr. Soelarso, S.T., M.Eng</u> NIP. 198010012008121004	:	



KEMENTERIAN PENDIDIKAN TINGGI, SAINS,
DAN TEKNOLOGI
UNIVERSITAS SULTAN AGENG TIRTAYASA
FAKULTAS TEKNIK
Jalan Jendral Soedirman Km. 03 Kota Cilegon Provinsi Banten
Laman: : www.ft.untirta.ac.id email: ft.untirta.ac.id

Ahr-06

**FORM REKAPITULASI PENILAIAN
UJIAN SIDANG SKRIPSI/TUGAS AKHIR**

Nama Mahasiswa : Rizki Ardiyansah
NIM : 3336210023
Judul Skripsi/Tugas Akhir : PERBANDINGAN PERANCANGAN STRUKTUR
GEDUNG SRPMK MENGGUNAKAN ETABS DAN TEKLA
STRUCTURAL DESIGNER
Waktu : 08.00 – Selesai

No	Pengguji	Rentang Nilai	Nilai
1	Baehaki, S.T., M.Eng	10 – 100	
2	Zulmahdi Darwis, S.T., M.Eng	10 – 100	
3	Midia Rahma , S.Pd., M.T	10 – 100	
4	Dr., Soelarso, S.T., M.Eng	10 – 100	
Total Nilai			
Nilai Huruf Mutu			

Cilegon, 30 Juni 2025

Ketua
Sidang : Baehaki, S.T., M.Eng
NIP. 198705082015041001

:

Pengguji 1 : Zulmahdi Darwis, S.T., M.Eng
NIP. 197706182008011005

:

Pengguji 2 : Midia Rahma , S.Pd., M.T
NIP. 199601192024062002

:

Pengguji 3 : Dr., Soelarso, S.T., M.Eng
NIP. 198010012008121004

:



KEMENTERIAN PENDIDIKAN TINGGI, SAINS,
DAN TEKNOLOGI
UNIVERSITAS SULTAN AGENG TIRTAYASA
FAKULTAS TEKNIK
Jalan Jendral Soedirman Km. 03 Kota Cilegon Provinsi Banten
Laman: : www.ft.untirta.ac.id, email: ft.untirta.ac.id

Ahr-07

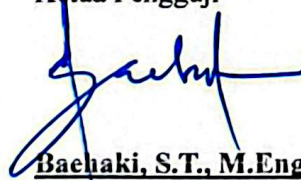
FORM REVISI LAPORAN SKRIPSI/TUGAS AKHIR

Nama Mahasiswa : Rizki Ardiyansah
NIM : 3336210023
Tanggal Sidang : Senin, 30 Juni 2025
Waktu : 08.00 - Selesai
Judul Skripsi/Tugas Akhir : PERBANDINGAN PERANCANGAN STRUKTUR
GEDUNG SRPMK MENGGUNAKAN ETABS DAN TEKLA
STRUCTURAL DESIGNER

No	NAMA PENGGUJI	HAL YANG PERLU DIREVISI	PARAF
1	Baehaki, S.T., M.Eng	- Penjelasan Grafik Sampaikan - Pelajaran Over/Under reinforcement	Tgl: 
2	Zulmahdi Darwis, S.T., M.Eng		Tgl: 
3	Midia Rahma , S.Pd., M.T		Tgl: 
4	Dr., Soelarso, S.T., M.Eng		Tgl: 

Cilegon, 30 Juni 2025

Ketua Pengguji



Baehaki, S.T., M.Eng

NIP. 198705082015041001



KEMENTERIAN PENDIDIKAN, KEBUDAYAAN,
RISET DAN TEKNOLOGI
UNIVERSITAS SULTAN AGENG TIRTAYASA
FAKULTAS TEKNIK

Jalan Jenderal Soedirman KM. 3 Kota Cilegon Provinsi Banten 42435
Telepon (0254) 376712 Laman: ft.untirta.ac.id

Hsl-01

**BERITA ACARA SEMINAR HASIL SKRIPSI
JURUSAN TEKNIK SIPIL UNTIRTA**

Pada hari ini Jum'at tanggal 20 bulan Juni tahun 2025, telah dilaksanakan Seminar Hasil Skripsi dari mahasiswa/mahasiswi, yaitu :

Nama : Rizki Ardiyansah

NPM : 3336210023

Judul Skripsi : PERBANDINGAN PERANCANGAN STRUKTUR GEDUNG SRPMK MENGGUNAKAN ETABS DAN TEKLA STRUCTURAL DESIGNER

Dosen pembimbing I : Baehaki, S.T., M.Eng

Dosen pembimbing II: Dr., Soelarso, S.T., M.Eng

Dari Seminar Hasil Skripsi ini dinyatakan bahwa mahasiswa tersebut telah dinyatakan MEMENUHI PERSYARATAN / TIDAK MEMENUHI PERSYARATAN untuk melanjutkan ke Sidang Akhir *)

Demikian Berita Acara ini dibuat dan selanjutnya untuk dapat dipergunakan sebagaimana mestinya.

Cilegon,

2025

Dosen Pembimbing I

Baehaki, S.T., M.Eng
NIP. 198705082015041001

Dosen Pembimbing II

Dr., Soelarso, S.T., M.Eng
NIP. 198010012008121004

Ket : *) coret yang tidak perlu
CC : Arsip



KEMENTERIAN PENDIDIKAN, KEBUDAYAAN,
RISET DAN TEKNOLOGI
UNIVERSITAS SULTAN AGENG TIRTAYASA
FAKULTAS TEKNIK

Hsl-02

Jalan Jenderal Soedirman KM. 3 Kota Cilegon Provinsi Banten 42435
Telepon (0254) 376712 Laman: ft.untirta.ac.id

SARAN / MASUKAN
SEMINAR HASIL SKRIPSI

Hari/Tgl : Jum'at, 20 Juni 2025 Waktu : 09.00 - Selesai

Nama Peserta : Rizki Ardiyansah NPM : 3336210023

Judul Skripsi : PERBANDINGAN PERANCANGAN STRUKTUR GEDUNG SRPMK
MENGGUNAKAN ETABS DAN TEKLA STRUCTURAL DESIGNER

NO	HAL	MASUKAN/SARAN/KOREksi/DLL	KET.

Cilegon, 2025
Dosen Pembimbing II


Dr., Soelarso, S.T., M.Eng
NIP. 198010012008121004



KEMENTERIAN PENDIDIKAN, KEBUDAYAAN,
RISET DAN TEKNOLOGI
UNIVERSITAS SULTAN AGENG TIRTAYASA
FAKULTAS TEKNIK

Hsl-02

Jalan Jenderal Soedirman KM. 3 Kota Cilegon Provinsi Banten 42435
Telepon (0254) 376712 Laman: ft.untirta.ac.id

SARAN / MASUKAN
SEMINAR HASIL SKRIPSI

Hari/Tgl : Jum'at, 20 Juni 2025 Waktu : 09.00 - Selesai

Nama Peserta : Rizki Ardiyansah NPM : 3336210023

Judul Skripsi : PERBANDINGAN PERANCANGAN STRUKTUR GEDUNG SRPMK
MENGGUNAKAN ETABS DAN TEKLA STRUCTURAL DESIGNER

NO	HAL	MASUKAN/SARAN/KOREKSI/DLL	KET.

Cilegon, 2025
Dosen Pembimbing I


Baehaki, S.T., M.Eng
NIP. 198705082015041001



KEMENTERIAN PENDIDIKAN, KEBUDAYAAN,
RISET DAN TEKNOLOGI
UNIVERSITAS SULTAN AGENG TIRTAYASA
FAKULTAS TEKNIK
Jalan Jenderal Soedirman KM. 3 Kota Cilegon Provinsi Banten 42435
Telepon (0254) 376712 Laman: f.untirta.ac.id

Hsl-03

DAFTAR HADIR SEMINAR HASIL SKRIPSI

Hari/Tgl : Jum'at, 20 Juni 2025
Waktu : 09.00 - Selesai
Nama Peserta : Rizki Ardiyansah
NPM : 3336210023
Judul Skripsi : PERBANDINGAN PERANCANGAN STRUKTUR GEDUNG SRPMK
MENGGUNAKAN ETABS DAN TEKLA STRUCTURAL DESIGNER

NO	NAMA	NIP	TANDA-TANGAN
1.	Baehaki, S.T., M.Eng	198705082015041001	1.
2.	Dr., Soelarso, S.T., M.Eng	198010012008121004	2.

Cilegon, 2025
Koordinator Skripsi

Firyaa Nabila, S.T., M.Eng.
NIP. 199810252024062001



KEMENTERIAN PENDIDIKAN, KEBUDAYAAN,
RISET DAN TEKNOLOGI
UNIVERSITAS SULTAN AGENG TIRTAYASA
FAKULTAS TEKNIK

Hsl-04

Jalan Jenderal Soedirman KM. 3 Kota Cilegon Provinsi Banten 42435
Telepon (0254) 376712 Laman: ft.untirta.ac.id

DAFTAR HADIR SEMINAR HASIL SKRIPSI

Hari/Tgl : Jum'at, 20 Juni 2025
Waktu : 09.00 - Selesai
Nama Peserta : Rizki Ardiyansah
NPM : 3336210023
Judul Skripsi : PERBANDINGAN PERANCANGAN STRUKTUR GEDUNG SRPMK MENGGUNAKAN ETABS DAN TEKLA STRUCTURAL DESIGNER

NO	NAMA	NPM	TANDA-TANGAN	KET.
1.	Fitra Romadhoni	3336210054	1.	
2.	M NAUFAL FARRAS M	3336210029	2.	
3.	Andrea Puspita Syahranie	3336210077	3.	
4.	Senseryu Apriyantongom Simbolon	3336210028	4.	
5.	Zainan Guardina	3336210076	5.	
6.	Syahrui Arya Nurnady	3336210019	6.	
7.	RENDY YUSTIANA Y	3336210166	7.	
8.	Robby Firman H	3336210093	8.	
9.	Rizka A.	3336210021	9.	
10.	Akmal Sulthon Al-Mubarok	3336210091	10.	
11.			11.	
12.			12.	
13.			13.	
14.			14.	
15.			15.	

Cilegon, 2025
Koordinator Skripsi

Firyaa Nabila, S.T.,M.Eng.
NIP. 199810252024062001



BUKTI PERBAIKAN LAPORAN HASIL SKRIPSI

Nama Peserta : Rizki Ardiyansah
NPM : 3336210023

NO	HARI/ TANGGAL	PERIHAL	BAB	HALAMAN

Cilegon, 2025

Dosen Pembimbing I

Baehaki, S.T., M.Eng
NIP. 198705082015041001



BUKTI PERBAIKAN LAPORAN HASIL SKRIPSI

Nama Peserta : Rizki Ardiyansah
NPM : 3336210023

NO	HARI/ TANGGAL	PERIHAL	BAB	HALAMAN

Cilegon, 23 - 06 - 2025
Dosen Pembimbing II

Dr. Soelarso, S.T., M.Eng
NIP. 198010012008121004



KEMENTERIAN PENDIDIKAN, KEBUDAYAAN,
RISET DAN TEKNOLOGI
UNIVERSITAS SULTAN AGENG TIRTAYASA
FAKULTAS TEKNIK

Hsl-06

Jalan Jenderal Soedirman KM. 3 Kota Cilegon Provinsi Banten 42435
Telepon (0254) 376712 Laman: ft.untirta.ac.id

BUKTI KEHADIRAN TELAH MENGIKUTI SEMINAR

Nama Peserta : Rizki Ardiyansah
NPM : 3336210023

SEMINAR YANG PERNAH DIIKUTI

NO	JUDUL	Mahasiswa	Paraf ¹
1	Analisis Produktivitas Pekerjaan Penyeberangan Tiang Poncon menggunakan Dicel Hammer (Studi Kasus : Proyek Samudra Monne Indonesia 3 Bojonegoro)	Rodi Arya Rafaely (3336210072)	
2	Analisis Perbandingan preferensi Penumpang pada moda transportasi travel dengan bus AKAP (Batu Karung - Bandung)	DIVA Galuh Aisyanti (3336210088)	
3	Analisis kebutuhan fasilitas Pedestrian Berbasis Konsep Active living & Inklusif pada kawasan campus UNEJ Irepandeun UNJATM	Muhammad Rendi Ardiyansah (3336210078)	
4	Analisis tingkat pelayanan stasiun Batu Ceper berdasarkan preferensi penumpang	Mulyanah (3336210007)	
5	Pengaruh Penambahan Abu Sawit dan Semen Portland terhadap nilai CBR unsaked (Studi Kasus : Jl. Raya Sobang, Ciamis, Kec. Sobong)	Purwita Pawitri (3336210007)	
6	Stabilisasi Tanah Lempung Menggunakan Serbuk Limbah Karet Ban terhadap nilai kuat Tekan Beton	Zahra Afirda Nur. F (3336210063)	
7	Ptabilisasi tanah lempung menggunakan Zeolit batah dan semen portland terhadap nilai CBR unsaked	Wira Yulia Putri (3336210002)	
8	Stabilisasi tanah lempung menggunakan Serbuk Limbah Karet Ban terhadap nilai CBR unsaked	Siti Djulia (3336210057)	
9	Analisis kebutuhan fasilitas perunjung Halte BRT di Coridor 1 Kota Serang	Hobby Firman Aisyah (3336210049)	
10	Evaluasi zona pelamat sekolah (Zoss) di Kabupaten Pandeglang	Faidi Fauziah (3336210062)	

¹ paraf pembimbing 1 skripsi



UNIVERSITAS SULTAN AGENG TIRTAYASA

Jalan Raya Jakarta KM. 04 Pakupatan Kota Serang - Banten, Telp. 0254-280330, Faks. (0254)-281254

TRANSKRIP AKADEMIK

Sementara

Diberikan Kepada : **RIZKI ARDIYANSAH**
 Tempat, Tanggal Lahir : JAKARTA, 08 Januari 2003
 Nomor Pokok Mahasiswa : 3336210023
 Tanggal Kelulusan : -
 Program Pendidikan : (S1)
 Fakultas : TEKNIK
 Program Studi : TEKNIK SIPIL
 Terakreditasi B
 Nomor: 1824/SK/BAN-PT/Ak-PPJ/S/III/2022 Tanggal 30 Maret 2022

No	Nomor Kode dan Nama Matakuliah	Prestasi			
		HM	AM	K	M
1	UNI622101 Agama	A	4,00	2	8,00
2	TSP622105 Dasar-dasar Transportasi	B+	3,50	2	7,00
3	TEKSP622101 Fisika Dasar I	A-	3,75	2	7,50
4	TSP622103 Gambar Teknik	B+	3,50	2	7,00
5	TEKSP622105 Ilmu Lingkungan	A	4,00	2	8,00
6	TSP622107 Ilmu Ukur Tanah	A-	3,75	2	7,50
7	TEKSP622103 Kalkulus I	A	4,00	3	12,00
8	TEKSP622109 Praktikum Fisika Dasar	A	4,00	1	4,00
9	TEKSP622107 Statistik dan Probabilitas	B	3,00	2	6,00
10	TEKSP622102 Fisika Dasar 2	A	4,00	2	8,00
11	TEKSP622104 Kalkulus 2	A	4,00	3	12,00
12	TSP622106 Kesehatan dan keselamatan kerja	A-	3,75	2	7,50
13	TEKSP622106 Kimia Dasar	B	3,00	2	6,00
14	TSP622102 Konstruksi Bangunan	A-	3,75	2	7,50
15	UNI622102 Moderasi Beragama	A	4,00	2	8,00
16	TSP622110 Praktikum Gambar Teknik	A-	3,75	1	3,75
17	TSP622112 Praktikum Ilmu Ukur Tanah	A	4,00	1	4,00
18	TSP622104 Struktur Statis Tertentu	A-	3,75	3	11,25
19	TSP622108 Teknik Lalu Lintas	A	4,00	2	8,00
20	TSP622205 Bandar Udara	A-	3,75	2	7,50
21	TSP622201 Hidrologi	A	4,00	2	8,00
22	TEKSP622201 Kalkulus 3	A	4,00	2	8,00
23	TSP622211 Mekanika Bahan	A	4,00	3	12,00
24	TSP622209 Mekanika Fluida dan Hidrolik	A	4,00	2	8,00
25	TSP622213 Mekanika Tanah 1	A	4,00	2	8,00
26	TSP622203 Pemindahan Tanah Mekanis & Alat Berat	A	4,00	2	8,00
27	TSP622215 Praktikum Hidrolik	A	4,00	1	4,00
28	TSP622217 Praktikum Teknologi Beton	A-	3,75	1	3,75
29	TSP622207 Rel Kereta Api	A-	3,75	2	7,50
30	TSP622202 Drainase	A-	3,75	2	7,50

Nama: **RIZKI ARDIYANSAH**

Nomor Pokok Mahasiswa: **3336210023**

No	Nomor Kode dan Nama Matakuliah	Prestasi			
		HM	AM	K	M
31	TSP622204 Irrigasi dan Bangunan Air	A	4,00	2	8,00

32	TEKSP622202	Kalkulus 4	B+	3,50	2	7,00
33	TSP622212	Manajemen Proyek	A	4,00	2	8,00
34	TSP622210	Mekanika Tanah 2	A	4,00	2	8,00
35	TSP622206	Pemograman Teknik Sipil	A-	3,75	2	7,50
36	TSP622218	Praktikum Mekanika Tanah	A-	3,75	1	3,75
37	TSP622214	Struktur Beton 1	B	3,00	2	6,00
38	TSP622208	Struktur Statis Tak Tentu	A	4,00	3	12,00
39	TSP622216	Teknik Pantai	A-	3,75	2	7,50
40	TSP622303	Analisa Struktur Metode Matriks	A-	3,75	3	11,25
41	UNI622305	Bahasa Indonesia	B+	3,50	2	7,00
42	UNI622303	Kewarganegaraan	A	4,00	2	8,00
43	TEKSP622301	Metode Numerik	A-	3,75	2	7,50
44	UNI622301	Pancasila	A	4,00	2	8,00
45	TSP622301	Perencanaan Struktur Geometri Jalan	B+	3,50	2	7,00
46	TSP622305	Rekayasa Pondasi 1	B+	3,50	2	7,00
47	TSP622307	Struktur Baja 1	A	4,00	2	8,00
48	TSP622309	Struktur Beton 2	A	4,00	2	8,00
49	TSP622300	Kerja Praktek	A	4,00	2	8,00
50	UNI622304	Kuliah Kerja Mahasiswa (KKM)	A	4,00	3	12,00
51	TSP622312	Metodologi Penelitian	A-	3,75	2	7,50
52	TSP622304	Perencanaan Perkerasan Jalan	A-	3,75	2	7,50
53	TSP622314	Praktikum Perkerasan Jalan	A	4,00	1	4,00
54	TSP622306	Rekayasa Pondasi 2	C+	2,50	2	5,00
55	TSP622308	Struktur Baja 2	A	4,00	2	8,00
56	TSP622302	Struktur Kayu	A-	3,75	2	7,50
57	UNI622302	Studi Kebantenan	A	4,00	2	8,00
58	TSP622310	Teknik Gempa	A	4,00	2	8,00
59	UNI622401	English for Academic Purpose	A	4,00	3	12,00
60	UNI622405	Ketahanan Pangan	B+	3,50	2	7,00
61	TSP622403	Kewirausahaan Teknik Sipil	A-	3,75	2	7,50
62	TSP622410	Manajemen Lalu lintas	A	4,00	2	8,00
63	TSP622407	Metode Pelaksanaan Konstruksi	A-	3,75	2	7,50

Nama: RIZKI ARDIYANSAH

Nomor Pokok Mahasiswa: 3336210023

No	Nomor Kode dan Nama Matakuliah	Prestasi			
		HM	AM	K	M
64	TSP622405 Pelabuhan	A	4,00	2	8,00
65	TSP622401 Perencanaan Struktur Gedung	A	4,00	2	8,00
66	TSP622412 Rencana Anggaran Biaya (RAB)	A-	3,75	2	7,50
67	TSP622414 Teknik Lalu lintas Lanjut	A	4,00	2	8,00
68	UNI622403 Teknologi dan Transformasi Digital	A-	3,75	2	7,50
69	TSP622404 Aspek Hukum Teknik Sipil	A	4,00	2	8,00
70	TSP622428 Building Information Modelling	A	4,00	2	8,00
71	TSP622402 Jembatan	B-	2,75	2	5,50
72	TSP622400 Skripsi	A	4,00	3	12,00
73	TSP622427 Struktur Beton 3	A	4,00	2	8,00
74	TSP622425 Teknologi Bambu dan Kayu	A	4,00	2	8,00
Judul:		Jumlah	150	571	
		Indeks Prestasi	: 3,81		
		Predikat Kelulusan	: Dengan Pujian		

Keterangan:

HM = Huruf Mutu AM = Angka Mutu
K = Kredit M = Mutu

Serang, 28 Juli 2025

Ketua Jurusan



Dr. Rindu Twidi-Bethary, S.T., M.T
NIP 198212062010122001

NIP



UNIVERSITAS SULTAN AGENG TIRTAYASA
UPA BAHASA (LANGUAGE CENTER)

ENGLISH PROFICIENCY TEST (EPT)
SCORE RECORD
No.4075/EPT.PB/2025

NAME : RIZKI ARDIYANSAH
PLACE & DATE OF BIRTH : JAKARTA, 8 JANUARY 2003
SEX : MALE
NATIVE COUNTRY : INDONESIA
NATIVE LANGUAGE : INDONESIAN
SCORES : LISTENING : 47
STRUCTURE AND WRITTEN EXPRESSION : 46
READING : 43
TOTAL SCORE : 453

TEST DATE : 18/6/2025

THIS ENGLISH PROFICIENCY TEST (EPT) IS ADMINISTERED BY THE LANGUAGE CENTRE
OF SULTAN AGENG TIRTAYASA UNIVERSITY (UNTIRTA).

AUTHORIZED BY
THE HEAD OF LANGUAGE CENTRE

UDI SAMANHUDI, PH.D.
NIP. 198301232006041001

JL. RAYA JKT KM 4 JL. PAKUPATAN, PENANGKANGAN,
KEC. CIPOCOK JAYA, KOTA SERANG, BANTEN 42124

PERNYATAAN KEASLIAN SKRIPSI

Dengan ini saya sebagai penulis Skripsi berikut :

Judul : PERBANDINGAN PERANCANGAN STRUKTUR
GEDUNG SRPMK MENGGUNAKAN ETABS DAN
TEKLA STRUCTURAL DESIGNER

Nama : Rizki Ardiyansah

Nim : 3336210023

Fakultas/Jurusan : Teknik/Teknik Sipil

Menyatakan dengan sesungguhnya bahwa Skripsi tersebut di atas adalah benar-benar hasil karya asli saya dan tidak memuat hasil karya orang lain, kecuali dinyatakan melalui rujukan yang benar dan dapat dipertanggung jawabkan. Apabila dikemudian hari ditemukan hal – hal yang menunjukkan bahwa sebagian atau seluruh karya ini bukan karya saya, maka saya bersedia dituntut melalui hukum yang berlaku. Saya juga bersedia menanggung segala akibat hukum yang timbul dari pernyataan yang secara sadar dan sengaja akibat hukum yang timbul dari pernyataan yang secara sadar dan sengaja saya nyatakan melalui lembar ini.

Cilegon, Juni 2025

